

07

ARCHAEOLOGICA HEREDITAS

Grodziska Warmii i Mazur **2.**
Nowe badania i interpretacje

pod redakcją Zbigniewa Kobylińskiego

Archaeologica Hereditas
Prace Instytutu Archeologii UKSW

Komitet Redakcyjny:
Redaktor serii: Zbigniew Kobyliński
Członkowie Komitetu: Tadeusz Gołgowski, Jacek Lech, Przemysław Urbańczyk
Sekretarz: Magdalena Żurek

Adres Redakcji:
ul. Wóycickiego 1/3, bud. 23, 01-938 Warszawa
tel. +48 22 569 68 17, e-mail: archeologia@uksw.edu.pl
www.archeologia.uksw.edu.pl

Redakcja: Zbigniew Kobyliński
Korekty: Zbigniew Kobyliński
Skład: Bartłomiej Gruszka
Projekt okładki: Katja Niklas i Ula Zalejska-Smoleń
Linguistic consultation: Louis Daniel Nebelsick

Rycina na okładce: grodzisko w Rygarbach, gm. Sępólno (fot. Jacek Radkowski)

Publikacja recenzowana do druku przez dr. Wojciecha Brzezińskiego

© Copyright by Uniwersytet Kardynała Stefana Wyszyńskiego, Warszawa

ISBN 978-83-946496-1-6
ISSN 2451-0521

Wydawnictwo:
Fundacja Res Publica Multiethnica
ul. Cypryjska 44
02-761 Warszawa
<http://res-publica-multiethnica.pl/>

Tom wydany z funduszy projektu badawczego Narodowego Programu Rozwoju Humanistyki
Katalog grodzisk Warmii i Mazur. Część I: Pomezania, Pogezania i Warmia



NARODOWY PROGRAM
ROZWOJU HUMANISTYKI

SPIS TREŚCI

- 5 *Wprowadzenie*
*
- 7 Marcin Engel i Cezary Sobczak
Grodziska jaćwieskie w świetle najnowszych badań interdyscyplinarnych
- 27 Arkadiusz Koperkiewicz
Wczesnośredniowieczny zespół osadniczy Olsztyn – Las Miejski
- 49 Felix Biermann, Christofer Herrmann i Arkadiusz Koperkiewicz
Alt Wartenburg / Barczewko na Warmii. Początki miasta średniowiecznego i jego fortyfikacje
- 71 Robert Klimek
Grodziska w Baranówce, gm. Frombork w świetle mitów, źródeł pisanych i badań archiwalnych
- 79 Andrzej Pydyn
Wyniki archeologicznych prospekcji podwodnych w jeziorach Pojezierza Iławskiego w latach 2013-2014
*
- 93 Zbigniew Kobyliński
Projekt Narodowego Programu Rozwoju Humanistyki Katalog grodzisk Warmii i Mazur. Część I: Pomezania, Pogezania i Warmia: realizacja w latach 2012-2016
- 113 Maciej J. Bojanowski, Urszula Czarniecka, Arkadiusz Gąsiński, Petras Jokubauskas, Urszula Kobylińska, Zbigniew Kobyliński i Łukasz Kruszewski
Petrografia ceramiki pradziejowej i średniowiecznej z grodzisk zachodniej części ziem pruskich
- 173 Joanna Kałużna-Czaplińska, Paulina Gątarek, Angelina Rosiak, Urszula Kobylińska i Zbigniew Kobyliński
Zawartość kwasów tłuszczowych w ceramice pochodzącej z pradziejowych i średniowiecznych grodzisk z zachodniej części ziem pruskich
- 211 Maria Lityńska-Zajac i Magdalena Moskal-del Hoyo
Wyniki badań archeobotanicznych grodzisk z zachodniej części województwa warmińsko-mazurskiego
- 231 Tomasz Stępnik
Analiza dendrologiczna prób drewna i węgla drzewnych z grodzisk zachodniej części województwa warmińsko-mazurskiego
- 247 Zbigniew Kobyliński, Jerzy Nitychoruk, Kamil Rabiega, Magdalena Rutyna, Dariusz Wach, Fabian Welc, Jacek Wysocki, Katarzyna Zeman-Wiśniewska i Magdalena Żurek
Falsyfikacja domniemanych grodzisk w powiecie iławskim i ostródzkim
- 295 Jacek Radkowski i Jacek Wysocki
Wstęp do problematyki gródków stożkowatych z terenu średniowiecznego państwa zakonu krzyżackiego, znajdujących się na obszarze województwa warmińsko-mazurskiego
*
- 387 *Noty o autorach*

Wprowadzenie

Dobiega końca pięcioletni okres realizacji projektu *Katalog grodzisk Warmii i Mazur. Część I: Pomezania, Pogezania i Warmia*, finansowanego przez Narodowy Program Rozwoju Humanistyki. Z tej okazji prezentujemy drugi tom prac dotyczących problematyki starożytnych i średniowiecznych grodzisk, znajdujących się na terenie województwa warmińsko-mazurskiego.

Znaczną część tomu wypełniają prace związane bezpośrednio z projektem, realizowanym przez Instytut Archeologii Uniwersytetu Kardynała Stefana Wyszyńskiego w Warszawie. Czytelnik znajdzie tu podsumowujące sprawozdanie z realizacji projektu, jak również syntetyczne opracowania petrografii ceramiki pochodzącej z badań w ramach projektu grodzisk, zawartości kwasów tłuszczowych w tej ceramice, jak również podsumowujące opracowania wyników badań paleobotanicznych i dendrologicznych próbek pozyskanych w trakcie realizacji projektu. Te opracowania uzupełniają przygotowywany do druku szczegółowy katalog grodzisk, który obejmie 35 zweryfikowanych i zbadanych wykopaliskowo stanowisk z zachodniej części województwa warmińsko-mazurskiego, w tym części nowoodkrytych. Niniejsza publikacja zawiera także informacje na temat domniemanych grodzisk, których istnienie zostało sfalsyfikowane w wyniku realizacji projektu. W ścisłym związku z realizacją projektu pozostaje także prezentowany tutaj katalog

średniowiecznych gródków stożkowatych z terenu województwa warmińsko-mazurskiego, dostarczający podstawy do dalszych badań tego ciągle nie do końca dobrze rozumianego zjawiska.

Niniejszy tom zawiera również prace dotyczące grodzisk województwa warmińsko-mazurskiego powstałe w innych ośrodkach naukowych, a stanowiące istotne tło porównawcze dla wyników naszego projektu. Znajdziemy tu informacje na temat postępu prac nad *Atlasem grodzisk Jaćwieży* przygotowywanym w Państwowym Muzeum Archeologicznym w Warszawie, informacje o wynikach poszukiwań podwodnych w jeziorach sąsiadujących z grodziskami na Pojezierzu Ławskim, prowadzonych przez Instytut Archeologii Uniwersytetu Mikołaja Kopernika w Toruniu, jak również informacje na temat międzynarodowych badań wykopaliskowych grodzisk w Barczewku i Olsztynie – Lesie Miejskim. Nie brakuje też w niniejszym tomie studiów z zakresu „archeologii archiwalnej”.

Łącznie z wydanym w roku 2013 pierwszym tomem publikacji *Grodziska Warmii i Mazur*, tom niniejszy dostarcza – mam nadzieję – zarówno ważnych nowych informacji źródłowych, jak i nowych interpretacji funkcji i chronologii grodzisk z dawnych terenów pruskich.

Zbigniew Kobyliński

Grodziska jaćwieskie w świetle najnowszych badań interdyscyplinarnych

WPROWADZENIE

Choć historia badań położonych na terenie historycznej Jaćwieży grodzisk przez Państwowe Muzeum Archeologiczne sięga okresu międzywojennego, to ich intensyfikacja przypadła na ostatnie 35 lat. Stan rozpoznania tych obiektów, zamykający się działaniami z 2012 roku, zaprezentowany został w artykule *Grodziska Jaćwieży w perspektywie badań Działu Archeologii Bałtów Państwowego Muzeum Archeologicznego w Warszawie*¹. W pracy tej przedstawiono również nowoczesną, multidyscyplinarną koncepcję rozpoznania obiektów obronnych oraz zaprezentowano projekt *Atlasu Grodzisk Jaćwieży* powołany w 2010 r. Na etapie tworzenia artykułu projekt ten był na wstępnym etapie realizacji, podczas którego tworzono mapę grodzisk jaćwieskich oraz gromadzono informacje archiwalne z dawnych badań. Obok badań gabinetowych kontynuowano także prace terenowe. Do najważniejszych działań należy tu zaliczyć badania wykopaliskowe, planigraficzne i geofizyczne ośrodka w Szurpiłach oraz rozpoznanie kilku obiektów powiatu suwalskiego za pomocą lotniczego skaningu laserowego (LiDAR)². Po 2012 r. kontynuowano prace na grodziskach. Dzięki pozyskanemu w ciągu ostatnich lat dofinansowaniu działalność badawcza Działu Archeologii Bałtów (DAB) PMA nabrała dynamiki. Przede wszystkim przygotowano i opublikowano w internecie *Atlas Grodzisk Jaćwieży*³. Na jaćwieskich grodziskach przeprowadzono liczne badania inwazyjne i nieinwazyjne oraz wykonano serię niezwykle interesujących badań środowiskowych. Pomimo wstępnego jeszcze opracowania wyników, z pełnym przekonaniem można stwierdzić, że zdobyte dotychczas informacje są niezwykle przydatne przy rekonstrukcji krajobrazu archeologicznego i ochronie dziedzictwa kulturowego północno-wschodniej Polski. Wnoszą też dużo nowych, istotnych danych na temat systemów osadniczych i obronnych wczesnośredniowiecznej Jaćwieży (ryc. 1).

ZREALIZOWANE PROJEKTY BADAWCZE

W latach 2013-2016 na obszarze historycznej Jaćwieży Dział Archeologii Bałtów PMA realizował trzy projekty badawcze grodzisk dofinansowane ze środków zewnętrznych. Dwa z nich były kontynuacją nieinwazyjnych działań z 2012 r. i polegały na rozpoznaniu grodzisk oraz terenów do nich przyległych za pomocą lotniczego skanowania laserowego oraz weryfikacji terenowej pozyskanych wyników. Pierwszy grant, pod tytułem *Nowoczesne metody badań systemów obronnych zachodniej Jaćwieży*, zrealizowany został w 2013 r. Do badań wytypowano obiekty położone na terenie powiatu gołdapskiego i oleckiego. Były to stanowiska zlokalizowane w Bałupianach, gm. Gołdap, Dąbrowskich, gm. Olecko, Dybowie, gm. Świętajno, Grodzisku, gm. Banie Mazurskie, Kolniskach, gm. Gołdap, Konikowie, gm. Gołdap, Orlińcu (Skajzgirach), gm. Dubeninki, Szwałku, gm. Kowale Oleckie i Wężewie, gm. Kowale Oleckie⁴. W ramach tego projektu korzystano z konsultacji geomorfologa, a na majdanie obiektów w Grodzisku i Bałupianach przeprowadzono dodatkowo badania geofizyczne metodą magnetyczną i elektrooporową⁵. Kolejny, analogiczny grant zrealizowany został w 2015 r. i nosił tytuł *Nieinwazyjne badania jaćwieskich ośrodków grodowych Pojezierza Ełckiego*. Do badań wytypowano obiekty obronne położone na terenie powiatu ełckiego i grajewskiego. Rozpoznano stanowiska w Bajtkowie, gm. Ełk, Gorczykach, gm. Prostki, Ostrykole, gm. Prostki, Rajgrodzie, gm. loco, Rogalach, gm. Stare Juchy, Skomacku Wielkim (Ostrowie), gm. Stare Juchy, Skomętnie Wielkim, gm. Kalinowo, Starych Juchach, gm. loco, Szeligach, gm. Ełk, Talusach, gm. Ełk i Wierzbowie, gm. Kalinowo. Także i w tym przypadku wytypowano obiekty do badań geofizycznych⁶. Pomiary metodą magnetyczną i elektrooporową wykonano w Rogalach i Wierzbowie⁷. Uzupełnieniem rozpoznania z 2013 r., wykonanym już poza projektem nieinwazyjnym,

¹ Engel *et al.* 2013.

² Sobczak 2015.

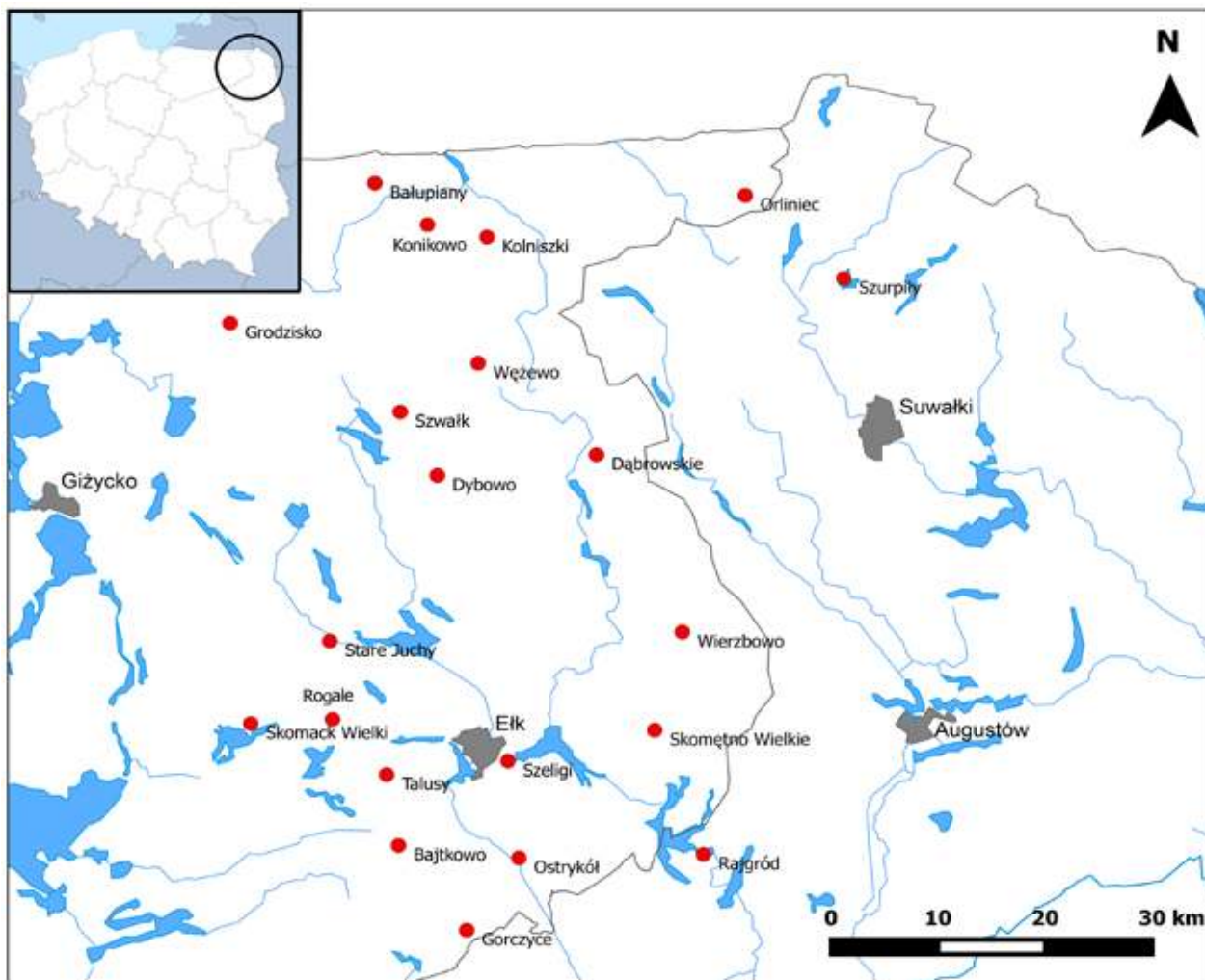
³ *Atlas Grodzisk Jaćwieży*.

⁴ Sobczak w druku.

⁵ Sobczak, Wroniecki i Kuś w druku.

⁶ Sobczak, Wroniecki i Kuś w druku.

⁷ Wszystkie wymienione projekty realizowane były ramach programu operacyjnego Ministerstwa Kultury i Dziedzictwa Narodowego *Dziedzictwo kulturowe*, priorytet 5 *Ochrona zabytków archeologicznych*. Instytucją zarządzającą projektami jest Narodowy Instytut Dziedzictwa.



Ryc. 1. Lokalizacja stanowisk badanych przez Dział Archeologii Bałtów Państwowego Muzeum Archeologicznego w latach 2012–2016 (oprac. C. Sobczak)

Fig. 1. The location of archaeological sites investigated by the Balts Archaeological Department of the State Archaeological Museum in 2012–2016 (elaborated by C. Sobczak)

były badania planigraficzne z wykorzystaniem wykrywaczy metali przeprowadzone w 2015 r. w Bałupianach, Dybowie oraz na terenie dwóch grodzisk w Szwałku⁸.

W latach 2014–2016 na terenie ośrodków grodowych w Szurpiłach i Skomacku Wielkim/Ostrowie realizowano projekt *Polsko-Norweska Inicjatywa Nowoczesnego Konserwatorstwa Archeologicznego „Archeologia Jaćwieży”*⁹. W obrębie obydwu zespołów wykonano serie odwiertów i zdjęć lotniczych. Przeprowadzono badania geofizyczne, planigraficzne i wykopaliskowe¹⁰, a na podstawie pozyska-

nych źródeł zlecono wykonanie analiz osteologicznych¹¹ i datowania radiowęglowego¹². Na terenie ośrodka skomackiego prowadzono dodatkowo badania środowiskowe: geologiczne, geomorfologiczne i palinologiczne¹³. Efektem wszystkich tych działań było przygotowanie wystawy *Jaćwingowie. Zapomniani wojownicy / Yatvings. The forgotten warriors* oraz publikacja *Archeologia Jaćwieży. Dawne badania i nowe perspektywy*¹⁴.

⁸ Engel, Iwanicki i Sobczak w druku

⁹ Projekt zrealizowany w ramach programu Ministerstwa Kultury i Dziedzictwa Narodowego *Promowanie różnorodności kulturowej i artystycznej* finansowanego przez Mechanizm Finansowy Europejskiego Obszaru Gospodarczego 2009–2014. Koordynatorem projektu była dr hab. Anna Bitner-Wróblewska, a głównymi wykonawcami dr Marcin Engel i mgr Cezary Sobczak z Działu Archeologii Bałtów PMA.

¹⁰ Bitner-Wróblewska, Engel i Sobczak 2016; Kuś i Wroniecki 2016; Włoszek 2016; Hrynczyszyn 2016.

¹¹ Analizę archeozoologiczną wykonała dr Anna Gręzak z Instytutu Archeologii UW, natomiast analizą antropologiczną zajęli się dr Łukasz Stanaszek z PMA.

¹² Serię datowań C14 wykonali pracownicy Laboratorium Radiowęglowego Instytutu Fizyki Politechniki Śląskiej w Gliwicach pod kierunkiem dr inż. Natalii Piotrowskiej i dr hab. inż. Adama Michczyńskiego.

¹³ Bitner-Wróblewska, Engel i Sobczak 2016; Smolska i Szwarzewski 2016; Kupryjanowicz i Fiłoc 2016.

¹⁴ Bitner-Wróblewska, Brzeziński i Kasprzycka (red.) 2016; Bitner-Wróblewska, Engel i Sobczak 2016: 123–126.

WYNIKI LOTNICZEGO SKANOWANIA LASEROWEGO I JEGO TERENOWA WERYFIKACJA

Naloty badawcze przeprowadzone w latach 2013 i 2015 objęły swym zasięgiem ponad 200 km² powierzchni powiatów etckiego, gołdapskiego i oleckiego. Skupione wokół dwudziestu obszarów położonych wokół obiektów obronnych miały na celu rozpoznanie morfologii relikwów fortyfikacji wczesnośredniowiecznych oraz terenów bezpośrednio do nich przylegających. W szczególności chodziło o wyszukanie nieznanymi dotychczas elementów dawnych systemów i konstrukcji obronnych.

W przypadku czterech obszarów położonych wokół grodzisk w Rajgrodzie, Skomętnie Wielkim i Wierzbowie oraz szarńca w Ostrykole dane do wykonania Numerycznego Modelu Terenu (NMT) zostały pozyskane z Centralnego Ośrodka Dokumentacji Geograficznej i Kartograficznej (projekt ISOK). Gęstość próbkowania tych danych była równa 4 pkt/m². Dla pozostałych szesnastu obszarów skanowanie zostało wykonane za pomocą urządzenia Riegl lms-q680i. Zlecona gęstość próbkowania była dwukrotnie większa, co miało korzystny wpływ na wyrazistość wygenerowanych modeli terenowych¹⁵. Na podstawie gabinetowych analiz NMT do weryfikacji terenowych wytypowano ponad 250 miejsc. Rezultatem badań terenowych było odkrycie kilku grodzisk, wałów, domniemanych kopców strażniczych i przejść bramnych, a w konsekwencji wykonanie sześćdziesięciu nowych lub zaktualizowanych Kart Ewidencji Zabytku Archeologicznego.

Dla zweryfikowania większości zarejestrowanych obiektów niezbędne będą badania wykopaliskowe, jednak w przypadku kilku z nich interpretacja wydaje się być oczywista. I tu należy wymienić odkrycie niedużego grodziska w Szwałku położonego na półwyspie zamierającego jeziora Ślepek (ryc. 2). Otoczony podwójną linią wałów majdan miał średnicę ok. 25 m. Z powodu erozji wzgórza, na którym zlokalizowano fortyfikację, jej część południowa oraz fragment północny obecnie nie istnieją. Obiekt ten, pomimo dużej dostępności terenowej oraz faktu, że znajduje się w bezpośrednim sąsiedztwie drugiego w tej miejscowości grodziska, nie był znany archeologom niemieckim. Nie zarejestrował go nawet słynny badacz grodzisk Carl Engel wizytujący i fotografujący sąsiednią fortyfikację w latach 30. XX w.¹⁶. Tłumaczyć to można niewielkimi rozmiarami i praktycznie niewidocznymi w terenie obwałowaniami nowoodkrytego stanowiska.

Drugi, do pewnego stopnia analogiczny obiekt zlokalizowany został w sąsiedztwie fortyfikacji w Grodzisku (ryc. 3). Relikty gródka, położonego na szczycie wąskiego garbu terenowego, zostały bardzo mocno zniszczone poprzez wybieranie żwiru, prawdopodobnie jeszcze w czasach przedwojennych. Do dziś zachował się jedynie

południowo-zachodni fragment majdanu i przylegająca do niego pojedyncza linia obwałowań.

Kolejnego, niezwykle interesującego odkrycia dokonano w obrębie rozpoznanego już przez badaczy niemieckich grodziska w Starych Juchach. Dzięki analizie NMT tego obiektu zaobserwowano nieznanymi dotychczas i zupełnie niewidoczne w terenie pozostałości wału okalającego majdan na szczycie wzniesienia (ryc. 4). Analiza jego przebiegu może sugerować istnienie dodatkowych konstrukcji obronnych we wschodniej części wzgórza. Przylegające do głównego wału umocnienia byłyby więc dość nietypowe dla rozpoznanych grodzisk północno-wschodniej Polski. Dla sprawdzenia tych obserwacji niezbędne jest jednak przeprowadzenie badań wykopaliskowych.

Interesujące są również wyniki uzyskane ze skanowania badanego wykopaliskowo w latach 1985 oraz 1987–1989 grodziska w Dąbrowskich. Pomimo licznych okopów zlokalizowanych na stokach wzniesienia, majdan nie został zniszczony podczas działań wojennych. Dzięki NMT można dostrzec jego regularny, nieckowaty kształt (ryc. 5). Warto podkreślić, że po okalających go wałach o konstrukcji przekładkowej, odkrytych podczas wykopalisk¹⁷, na NMT nie ma śladów. Północny skraj grodziska jest nieznacznie wyższy i przylega do niewielkiego obniżenia. Na jego szczycie zarejestrowano kilka szczegółów mikroreliefu. Jest to niewysoki kopiec połączony ze stokiem grodziska regularnym fałdem terenowym. Regularność śladów świadczy o ich antropogenicznym pochodzeniu, a w ich formie można by się dopatrywać relikwów rozbudowanego przejścia bramnego. Hipoteza ta wymaga jednak dalszych studiów i weryfikacji metodami wykopaliskowymi. Badania powierzchniowe nie dostarczyły także odpowiedzi na pytanie o charakter regularnie ukształtowanego wzniesienia, przylegającego do grodziska od północy. Wydaje się, że z racji jego bezpośredniego sąsiedztwa wzniesienie to musiało pełnić jakąś konkretną rolę we wczesnośredniowiecznym systemie osadniczym.

Wykonanie weryfikacyjnych badań wykopaliskowych jest niezbędne także w przypadku kilku innych domniemanych grodzisk identyfikowanych w trakcie badań nieinwazyjnych. Do najciekawszych należy zaliczyć dwa obiekty zlokalizowane w sąsiedztwie grodziska w Dąbrowskich oraz trzeci znajdujący się w miejscowości Ostryków. Wzniesienia noszące ślady antropogenicznych przekształceń z Dąbrowskich znane były już archeologom niemieckim¹⁸. Zarówno przedwojenne jak i powojenne badania powierzchniowe nie dostarczyły jednoznacznego potwierdzenia funkcji obronnych ani na pozwoliły ustalić chronologii tych obiektów. Obecnie, odpowiedź na te pytania dodatkowo utrudniają przekształcenia wzniesień związane z wybieraniem żwiru.

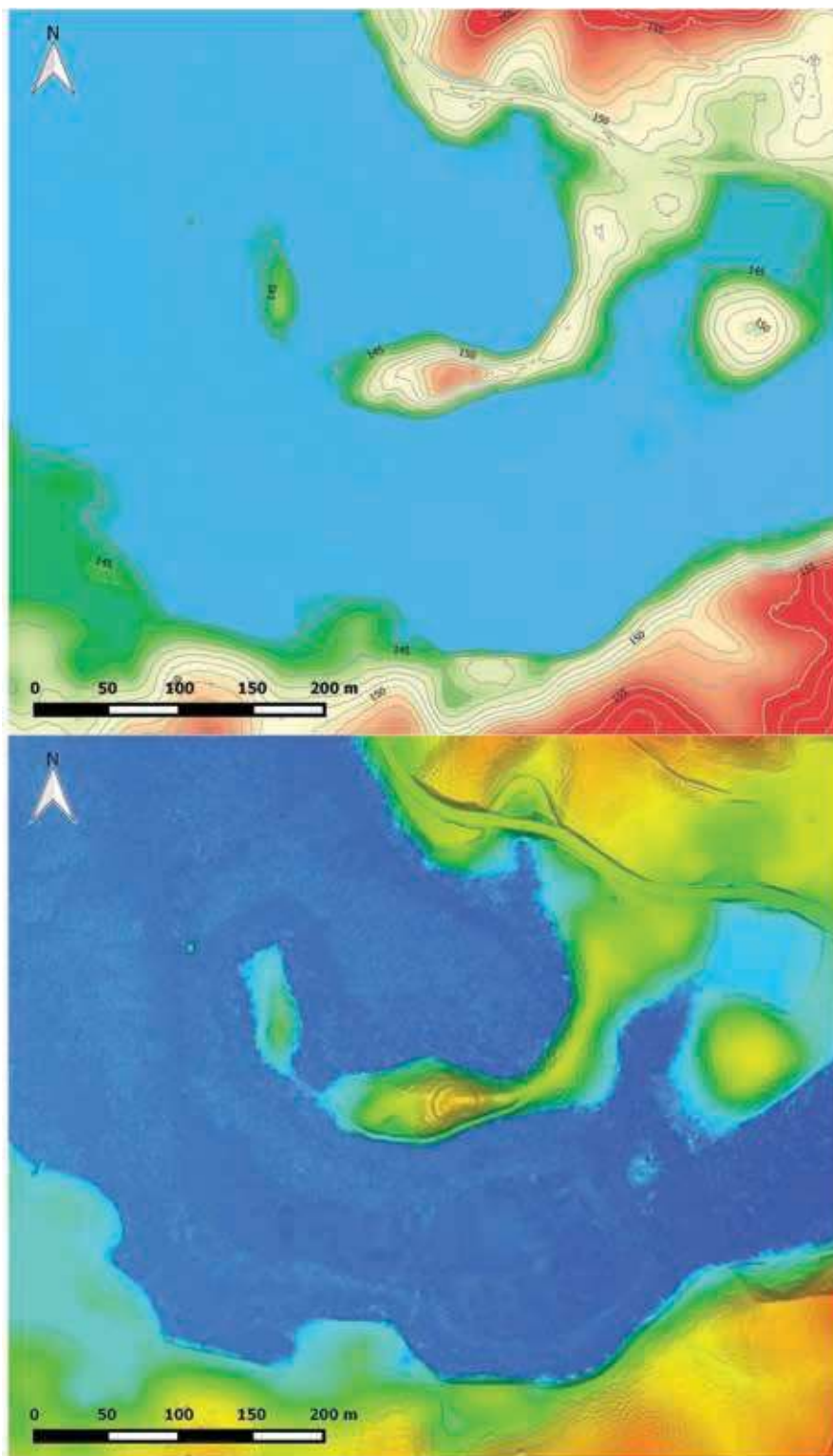
Nie mniej zagadkowe jest również domniemane grodzisko w Ostrykole. Położone jest ono na niewielkim,

¹⁵ Sobczak, Wroniecki i Kuś w druku.

¹⁶ Grenz Kartoteka: Klein Schwalg. Prussia-Museum Archiv: PM-A 1785/1.

¹⁷ Siemaszko 1991: 78.

¹⁸ Grenz Kartoteka: Dombrowsken, Stobbenort; Prussia-Museum Archiv: PM-A 249/1.



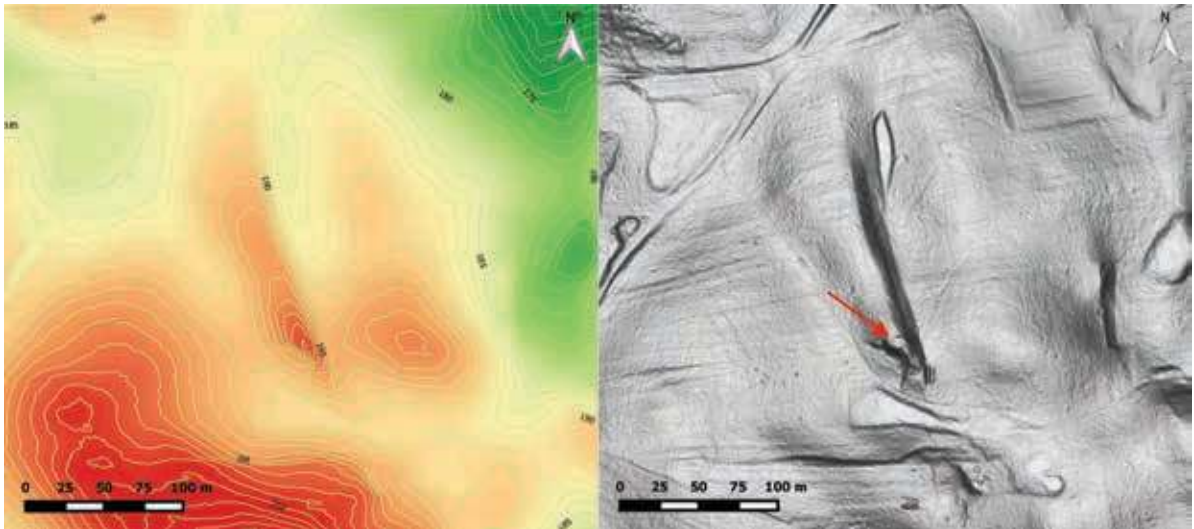
Ryc. 2. Szwałk, gm. Kowale Oleckie. Numeryczny model terenu nowoodkrytego gródka (oprac. C. Sobczak)

Fig. 2. Szwałk, community of Kowale Oleckie. Digital terrain model of the newly discovered stronghold (elaborated by C. Sobczak)

piaszczystym wyniesieniu, otoczonym rozlewiskami uchodzącej w tym miejscu do Ełku rzeczki Karmelówki. Wybieranie piasku oraz wiodąca przez wzniesienie droga mocno zniszczyły domniemaną fortyfikację. Dla weryfikacji tego miejsca niezbędne są dalsze badania archeologiczne.

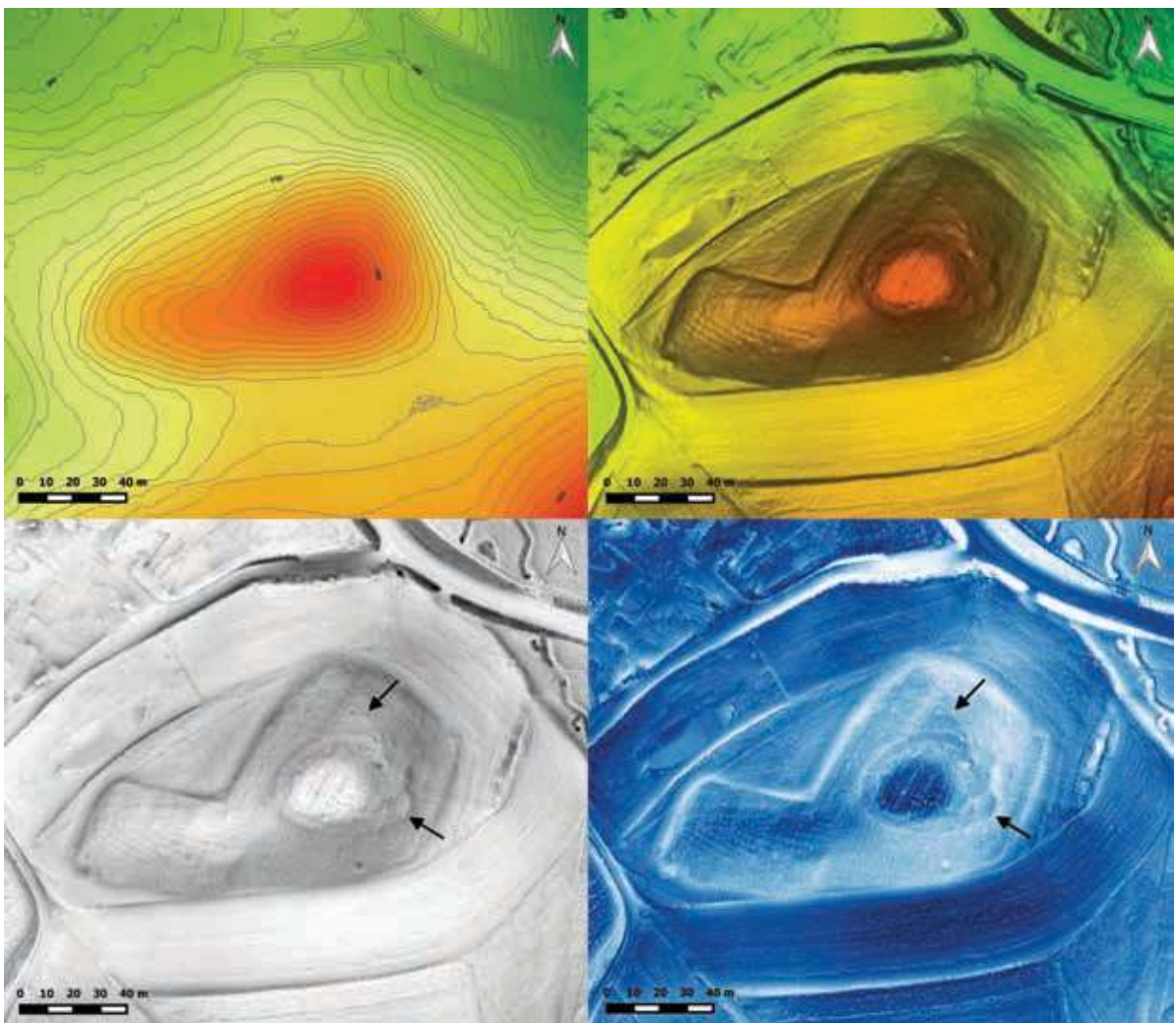
Przedstawione powyżej przykłady dobitnie świadczą o potencjale zgromadzonych z terenu Jaćwieży danych i wadze LiDARu dla prowadzonych studiów krajozra-

wych. Analizy gabinetowe numerycznych modeli terenu oraz ich powierzchniowa weryfikacja będzie kontynuowana w najbliższych latach. Dodatkowo, prowadzone w DAB badania wykraczają poza obszary, z których pozyskano NMT w ramach realizowanych projektów. Dzięki projektowi ISOK i udostępnieniu jego rezultatów w sieci rozwijają się prace nad identyfikacją stanowisk archeologicznych północno-wschodniej Polski. W ich rezultacie odkryto



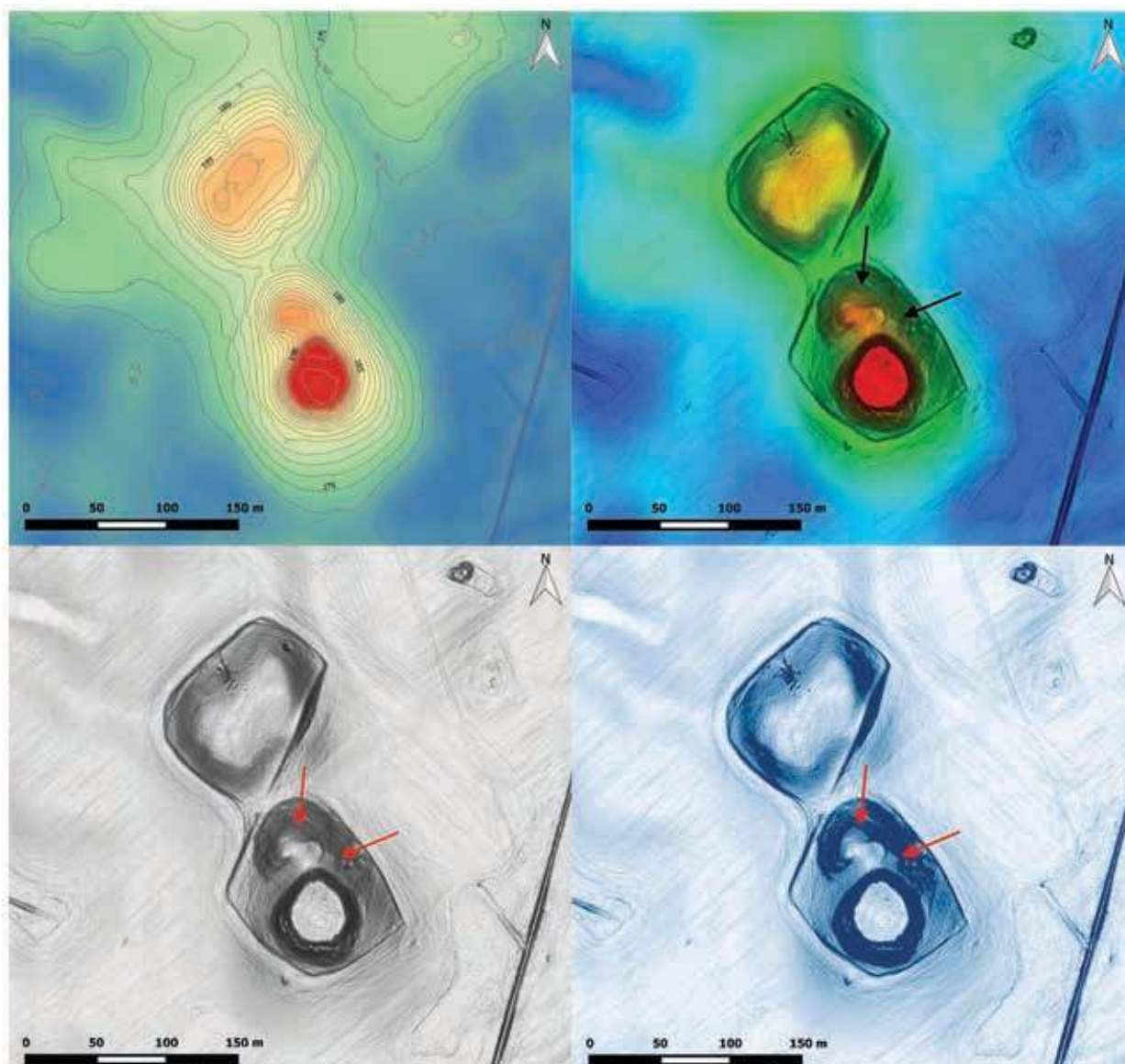
Ryc. 3. Grodzisk, gm. Banie Mazurskie. Numeryczny model terenu nowoodkrytego gródka (oprac. C. Sobczak)

Fig. 3. Grodzisk, community of Banie Mazurskie. Digital terrain model of the newly discovered stronghold (elaborated by C. Sobczak)



Ryc. 4. Stare Juchy, gm. *loco*. Numeryczny model terenu (oprac. C. Sobczak)

Fig. 4. Stare Juchy, community of Stare Juchy. Digital terrain model (elaborated by C. Sobczak)



Ryc. 5. Dąbrowskie, gm. Olecko. Numeryczny model terenu (oprac. C. Sobczak)

Fig. 5. Dąbrowskie, community of Olecko. Digital terrain model (elaborated by C. Sobczak)

i pozytywnie zweryfikowano terenowo między innymi grodzisko w Żytkiejmach oraz wytypowano kilka innych domniemyanych fortyfikacji do badań powierzchniowych¹⁹.

Prospekcja geofizyczna

W ramach trzech opisanych wyżej projektów Państwowe Muzeum Archeologiczne w latach 2013-2015 zleciło prospekcję geofizyczną sześciu obiektów o charakterze obronnym²⁰. Podstawowym celem badań była identyfikacja elementów wczesnośredniowiecznego systemu obronnego oraz rozpoznanie osadnictwa na terenie

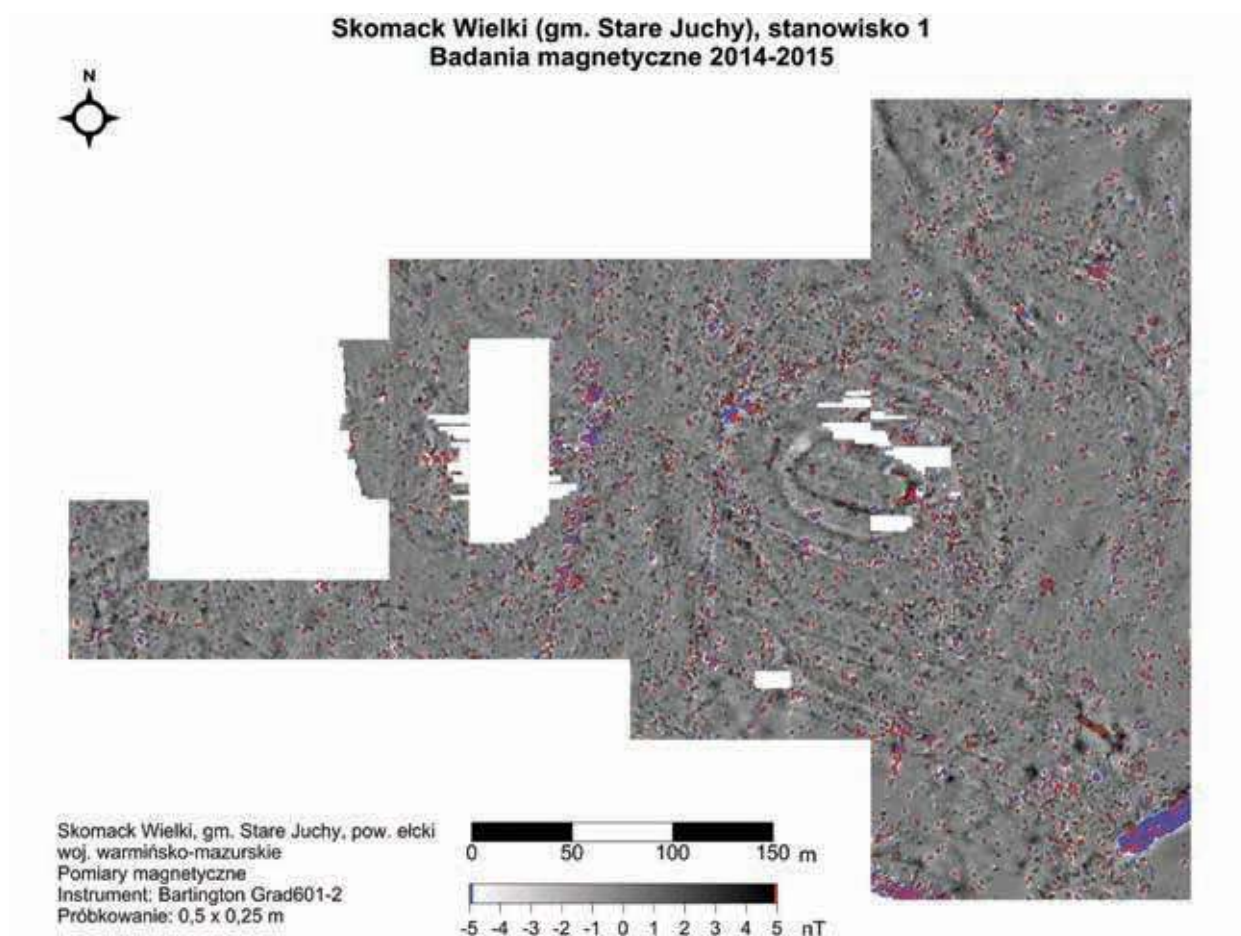
ośrodków grodowych za pomocą metod magnetycznej i elektrooporowej. Największy wyznaczony do badań obszar obejmował grodzisko w Skomacku Wielkim (Ostrowiu), który wraz z terenem do niego przyległym wyniósł ponad 15 ha²¹. Kolejnym pod względem zasięgu rozpoznania miejscem był ośrodek w Szurpiłach, gdzie obydwoma metodami rozpoznano ok. 6 ha powierzchni stanowisk²². Znacznie mniejszy zasięg miały badania pozostałych czterech obiektów. I tak dla grodziska w Grodzisku wyniósł on

¹⁹ Sobczak, Wroniecki i Kuś w druku.

²⁰ Sobczak, Wroniecki i Kuś w druku.

²¹ Kuś, Sobczak i Wroniecki w druku.

²² Badania geofizyczne w Szurpiłach prowadzone od 2008 r. tylko w niewielkim stopniu objęły swym zasięgiem majdan grodziska na Górze Zamkowej, koncentrując się na osadach położonych po południowej i zachodniej stronie fortyfikacji. Engel i Sobczak 2012: 146-147; Engel *et al.* 2013: 49.



Ryc. 6. Skomack Wielki-Ostrów, gm. Stare Juchy. Wyniki badań geomagnetycznych (oprac. P. Wroniecki)

Fig. 6. Skomack Wielki-Ostrów, community of Stare Juchy. Results of the geomagnetic examination (elaborated by P. Wroniecki)

łącznie 3 ha, dla Wierzbowa ok. 3 ha, dla Rogali ok. 2 ha i dla obiektu w Bałupianach niespełna 1 ha.

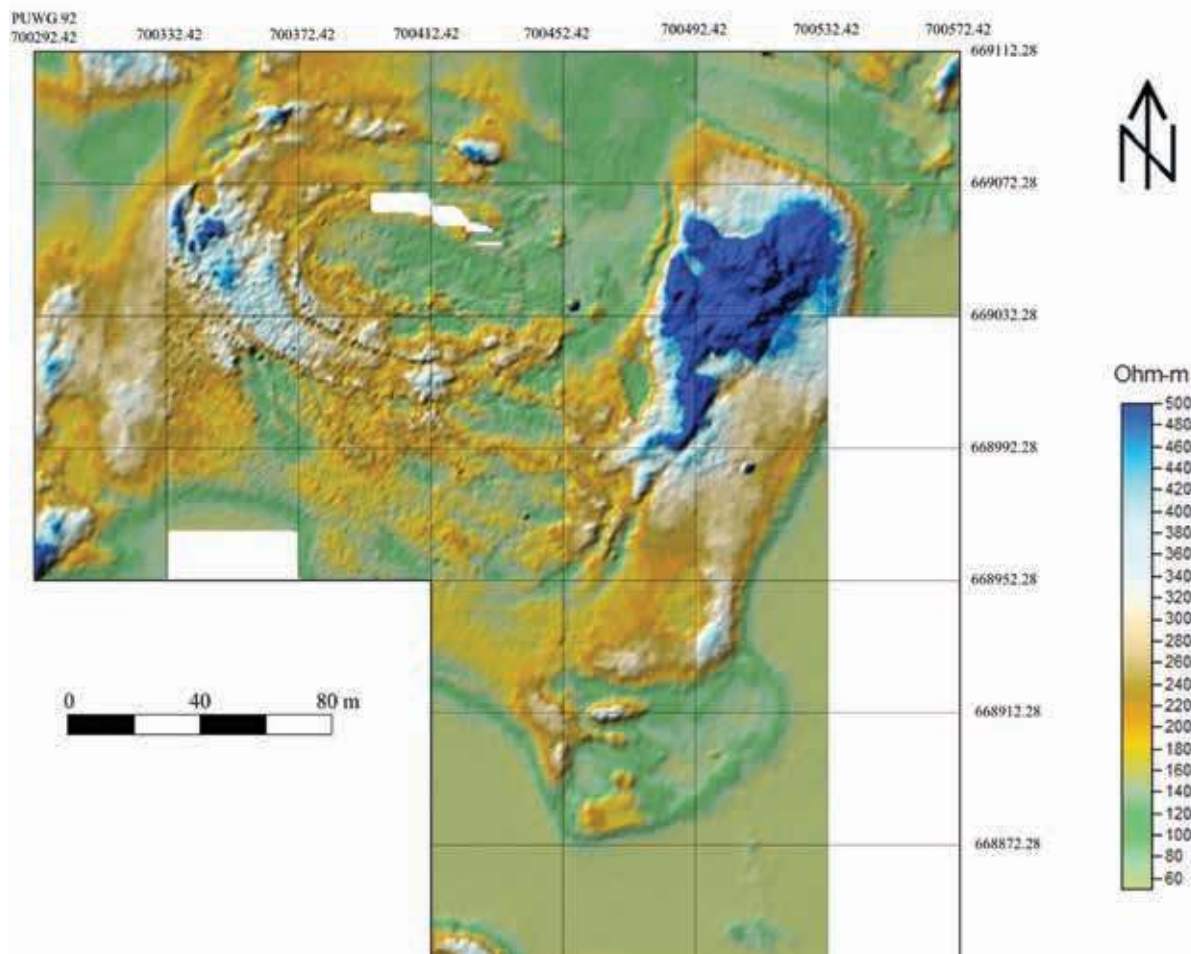
Jedne z najciekawszych i najbardziej zróżnicowanych obserwacji geofizycznych uzyskano w Skomacku Wielkim (Ostrowiu)²³. Wyniki prospekcji magnetycznej wskazały na olbrzymie zanieczyszczenie metalami ferromagnetycznymi badanego terenu. Płytkie i silne anomalie w zdecydowanej większości pochodzą od stalowych śmieci z czasów funkcjonowania na tym terenie Państwowego Gospodarstwa Rolnego. Taką interpretację potwierdzają między innymi ich koncentracje na skrajach działek, w miejscach gdzie przebiegały ogrodzenia. Obserwacje te zostały w pełni potwierdzone dzięki badaniom planigraficznym. Kolejna zarejestrowana grupa anomalii miała charakter naturalny. Były one wynikiem budowy geologicznej terenu, charakteryzującej się występowaniem struktur o właściwościach magnetycznych. Zarejestrowano jednak grupę analogicznych, liniowych zaburzeń, które mogłyby uchodzić za pozostałości obiektów i konstrukcji pradziejowych lub wczesnośredniowiecznych. Anomalie te przypominają swym charakterem zaburzenia spowo-

dowane przez relikty różnego rodzaju umocnień. W tym przypadku niezbędna jest ich weryfikacja wykopaliskowa. Bezdyskusyjne anomalie pochodzenia antropogenicznego zarejestrowano na grodzisku, na szczycie wzniesienia i na okalającym go tarasie (ryc. 6). Zostały one zinterpretowane jako pozostałości obwałowań. Istnienie niewyróżniających się w terenie umocnień potwierdziły także pomiary wykonane metodą elektrooporową (ryc. 7). Badania te wskazały ponadto istnienie kilku interesujących struktur w centralnej części majdanu oraz u podnóża fortyfikacji. Część geofizycznych obserwacji udało się zweryfikować przeprowadzonymi w kolejnych miesiącach badaniami wykopaliskowymi.

Pomimo zakrojonych na szeroką skalę pomiarów w Szurpiłach, badania te nie dostarczyły spektakularnych wyników²⁴. Najciekawsze rezultaty prospekcji magnetycznej, po weryfikacji wykopaliskowej, okazały się anomaliaми pochodzenia geologicznego. Poza anomaliaми nowożytnymi, pomiary elektrooporowe dostarczyły dowodów na istnienie licznych struktur antropogenicznych o starszej metryce. Część zaburzeń oporności zinterpretowana zo-

²³ Kuś i Wroniecki 2016: 184-186, 191-194.

²⁴ Kuś i Wroniecki 2016: 186-190, 194-199.



Ryc. 7. Skomack Wielki-Ostrów, gm. Stare Juchy. Wyniki badań elektrooporowych (oprac. G. Kuś)

Fig. 7. Skomack Wielki-Ostrów, community of Stare Juchy. Results of the electro-resistivity survey (elaborated by G. Kuś)

stała jako pochodna wkopów oraz podziemnych koncentracji kamiennych. Niektóre z anomalii łączone są z relikwami umocnień wczesnośredniowiecznych. Niestety, nie zostały one jak dotychczas zweryfikowane wykopaliskowo.

W Grodzisku, pomimo dość silnego zalesienia dolnych partii wzniesienia, zniszczeń agrotechnicznych i tych powstałych w czasie II wojny światowej, pomiarami objęto znaczną część majdanu oraz fragmenty stoków grodziska²⁵. Pomijając anomalie związane z nowożytnymi przekształceniami wzgórza, obydwie metody zarejestrowały tu liczne pozostałości umocnień wokół majdanu oraz domniemane obiekty archeologiczne. Szczególnie interesujące są wyniki badań magnetycznych, rejestrujące przebieg wałów, na podstawie których można doszukiwać się szczegółów konstrukcyjnych lub ewentualnych pozostałości bramy (ryc. 8). Na mapie wyników pomiarów oporności elektrycznej gruntu, oprócz przebiegu wałów, zanotowano także anomalię interpretowaną jako pozostałość dużych rozmiarów budowli. Niestety, nieinwazyjny charakter projektu nie pozwalał na wykonanie weryfikacji

uzyskanych z prospekcji wyników metodą wykopaliskową bądź przy pomocy wierceń świdrem geologicznym.

Interesujące anomalie geofizyczne zostały zarejestrowane podczas pomiarów niewielkiego grodziska w Rogalach²⁶. Obydwie metody dostarczyły map anomalii związanych z pierwotnym przebiegiem obwałowań grodu. Badania zaburzeń oporności zasugerowały istnienie dodatkowych relikwów budowli obronnych w postaci bramy i wieży. Nie wykluczyły także istnienia w przeszłości jakichś niewielkich budowli na majdanie grodziska. Znacznie mniej obiecujące są wyniki pomiarów wykonanych na domniemanej osadzie przylegającej od zachodu do relikwów warowni. Pojedyncze zaburzenia rejestrowane zarówno w prospekcji magnetycznej jak i elektrooporowej wydają się być pochodzenia nowożytnego.

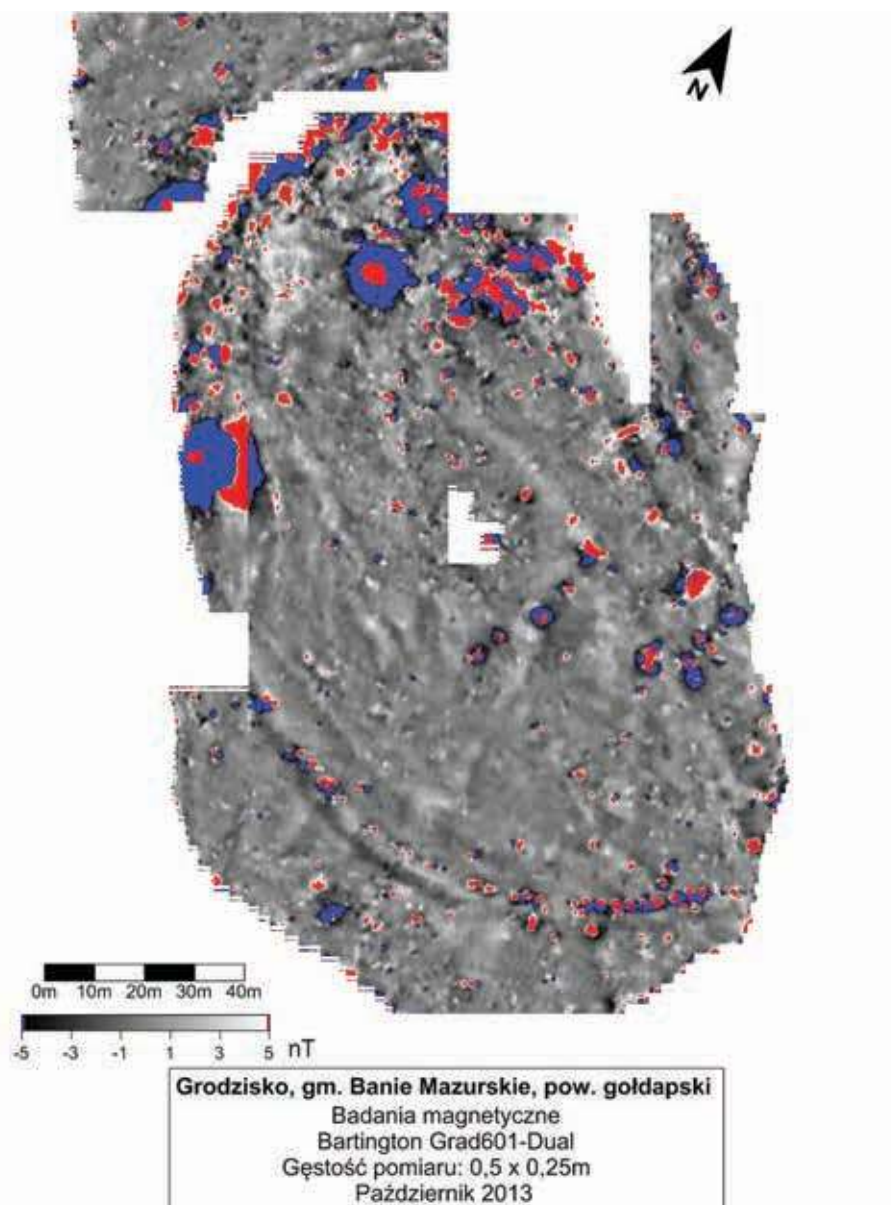
Najsłabsze rezultaty badań geofizycznych uzyskano w Wierzbowie. W ostatnich latach obiekt ten porosły liczne drzewa i krzewy uniemożliwiające wykonanie pomiarów na majdanie oraz na większej części stoków grodziska. Ponadto, nielegalne pozyskiwanie piasku w znacz-

²⁵ Sobczak, Wronecki i Kuś w druku.

²⁶ Sobczak, Wronecki i Kuś w druku.

Ryc. 8. Grodzisk, gm. Banie Mazurskie. Wyniki badań geomagnetycznych (oprac. P. Wroniecki)

Fig. 8. Grodzisk, community of Banie Mazurskie. Results of the geomagnetic examination (elaborated by P. Wroniecki)



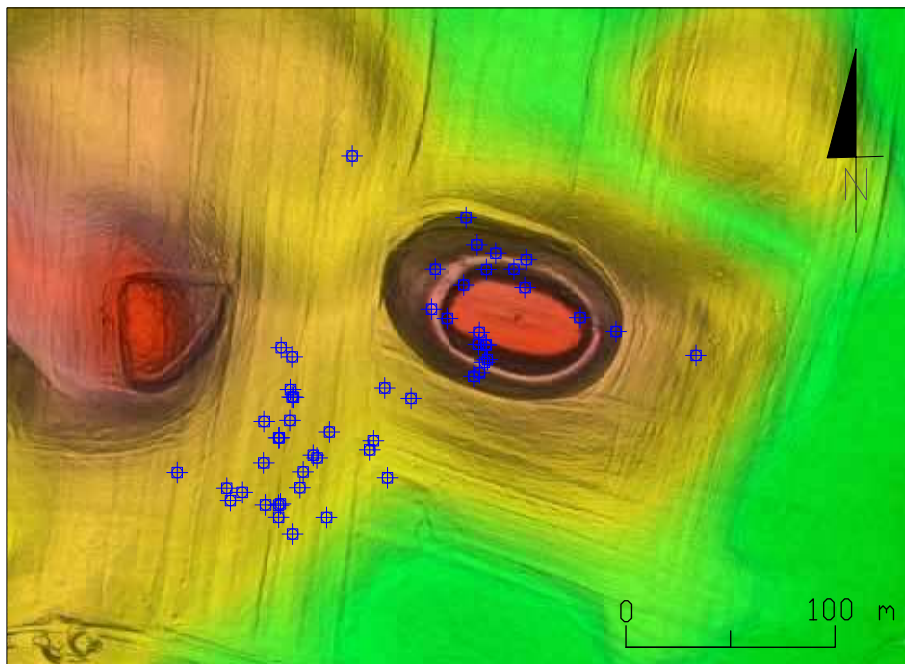
nej części przyczyniło się do zniszczenia nawarstwień zalegających w dolnych partiach i częściowo u podnóży wzniesienia²⁷. Z tych powodów w zasadzie pomiary nie objęły najważniejszych partii wzniesienia i wykonano je jedynie wokół grodziska. Uzyskane wyniki nie dostarczyły ewidentnych dowodów na istnienie osadnictwa w bezpośrednim sąsiedztwie fortyfikacji, ponieważ większość zarejestrowanych tu anomalii była pochodzenia geologicznego²⁸.

²⁷ Na bazie archiwaliów wiadomo, że wzgórze niszczone już przed II wojną światową. Niszczenie trwa nadal. Autorzy artykułu zarejestrowali dziury po niedawnym wybierzysku w południowej części grodziska, na obrzeżach którego zaobserwowano pozostałości nawarstwień antropogenicznych.

²⁸ Badania powierzchniowe przeprowadzone na przylegających do grodziska polach również nie dostarczyły jakiegokolwiek materiału zabytkowego.

Niezbyt imponujące były także wyniki pomiarów wykonanych w Bałupianach, które tylko częściowo można tłumaczyć niewielką skalą badań. Dzięki przeprowadzonemu rozpoznaniu powierzchniowemu i geofizycznemu okazało się, że obiekt ten nosi liczne ślady przekształceń powstałych podczas II wojny światowej. Pomimo odkrycia szeregu anomalii na majdanie, żadna z nich nie może być w sposób jednoznaczny wiązana z obecnością obiektów archeologicznych. Najważniejszą zdobytą informacją jest brak śladów umocnień domniemanej fortyfikacji. Odkrycie to wymaga oczywiście dodatkowej weryfikacji wykopaliskowej, jednak inne pozyskane dane²⁹ sugerują, że wzniesienie w Bałupianach użytkowane było jedynie w pradziejach, pełniąc prawdopodobnie funkcję wysoczyznowej osady obronnej.

²⁹ Porównaj wyniki badań planigraficznych z Bałupian.



Ryc. 9. Skomack Wielki-Ostrów, gm. Stare Juchy. Wyniki badań planigraficznych (prac. C. Sobczak)

Fig. 9. Skomack Wielki-Ostrów, community of Stare Juchy. Results of the planigraphic examinations (elaborated by C. Sobczak)

BADANIA PLANIGRAFICZNE

W latach 2013-2015 przeprowadzono w pełni metodyczne badania planigraficzne z wykorzystaniem wykrywaczy metali na terenie sześciu obiektów o charakterze obronnym. Rozpoznaniem objęto przede wszystkim stoki wzniesień, na których położone były fortyfikacje, w mniejszym stopniu majdany obiektów oraz tereny położone u ich podnóży. Badania miały na celu przede wszystkim ocenę skali i zasięgu osadnictwa wczesnośredniowiecznego, rozpoznanie funkcji i chronologii obiektów oraz zabezpieczenie zabytków metalowych przed działalnością nielegalnych poszukiwaczy skarbów. Największą skalę osiągnęły w Skomacku Wielkim (Ostrowiu) i Szurpiłach, gdzie w ramach „projektu norweskiego” łącznie przebadano kilkadziesiąt hektarów powierzchni tych ośrodków i odkryto ponad 300 artefaktów. Znacznie mniejszy zasięg i intensywność miało rozpoznanie przeprowadzone w Dybowie (ponad 2 ha), Szwałku (łącznie na dwóch obiektach ok. 2 ha) i Bałupianach (ok. 1 ha). W ich rezultacie z humusu podjęto prawie 200 zabytków, przy czym w jednym przypadku, tj. na nowoodkrytym, niewielkim grodzisku w Szwałku nie znaleziono żadnego materiału zabytkowego. Znaleźiska z planigrafii reprezentują kilka horyzontów osadniczych datowanych od wczesnej epoki żelaza po czasy nowożytny. Jednak zdecydowaną większość spośród pół tysiąca artefaktów stanowiły przedmioty wczesnośredniowieczne³⁰.

Badania planigraficzne grodziska w Skomacku Wielkim (Ostrowiu), przeprowadzone wiosną 2014 r., objęły

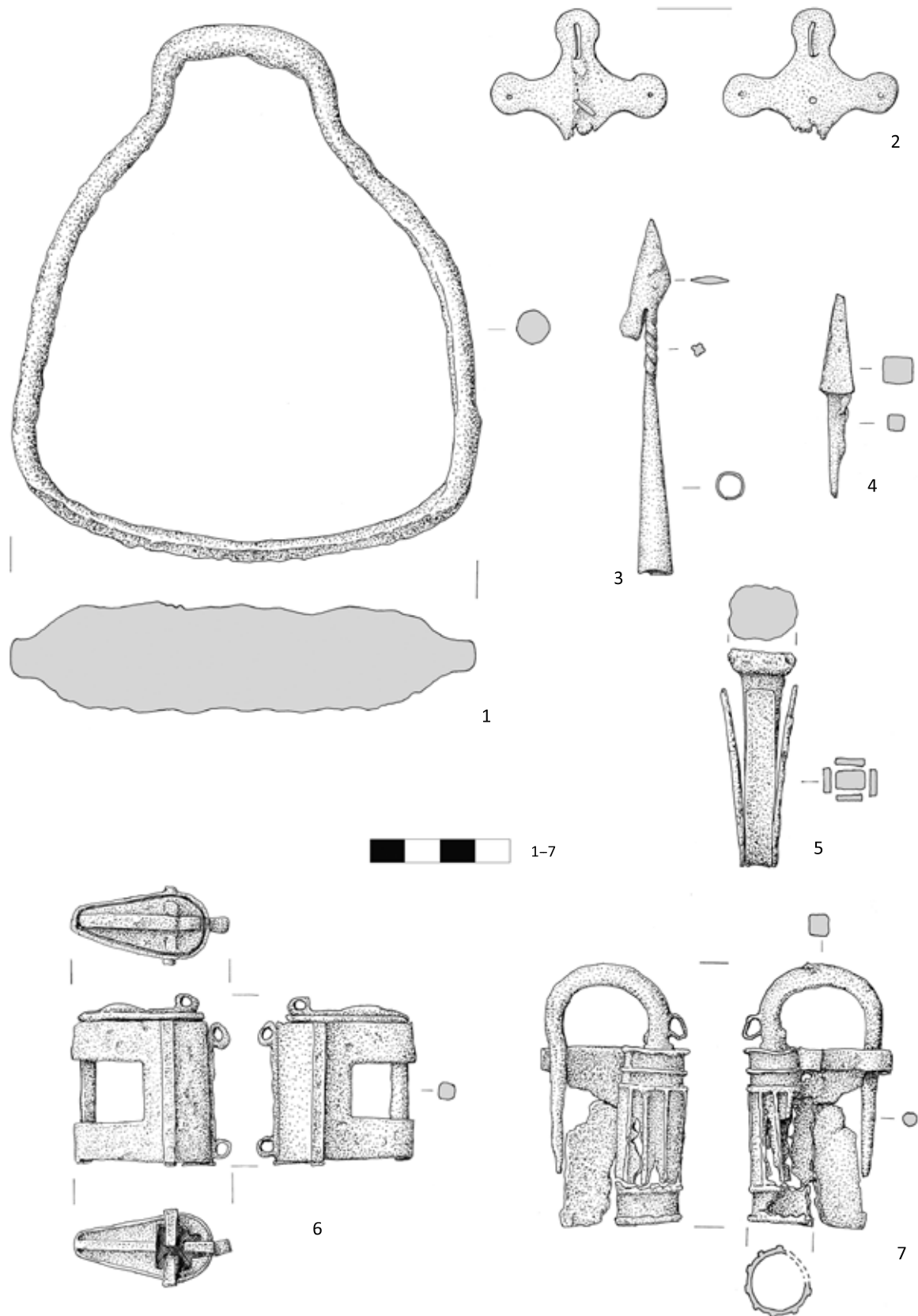
swym zasięgiem przede wszystkim stoki grodziska oraz tereny położone u jego podnóży. Majdan rozpoznawany był tylko w niewielkim stopniu. Ze względu na olbrzymie zanieczyszczenie terenu współczesnymi śmieciami badania okazały się niezwykle trudne³¹. Bez wątpienia miało to zasadniczy wpływ na możliwość szczegółowego rozpoznania terenu oraz uzyskane rezultaty. łącznie z humusu podjęto ponad 50 zabytków metalowych datowanych na okres wędrówek ludów, wczesne średniowiecze i czasy nowożytny (ryc. 9). Znaleźiska te, oraz zarejestrowane w kretowinach fragmenty ceramiki, pozwoliły na powiększenie zasięgu osad położonych u podnóży grodziska, określonych podczas badań AZP w 2008 r³². Do najciekawszych odkryć z wczesnego średniowiecza należy zaliczyć strzemię, fragment brązowej zapinki krzyżowej, brodę topora oraz kilka grotów strzał (ryc. 10: 1–4). Wszystkie te przedmioty odkryte zostały na stokach fortyfikacji. Jedynie fragment sprzączki brązowej, datowanej prawdopodobnie na wczesne średniowiecze, znaleziony został na osadzie u południowo-zachodniego podnóży grodziska³³.

³⁰ Engel, Iwanicki i Sobczak w druku.

³¹ Z humusu podjęto ponad 100 kilogramów śmieci. Były to głównie części maszyn i narzędzi rolniczych, elementy parkanu pobliskiego cmentarza poniemieckiego, fragmenty drutów ogrodzeniowych, fańcuchy, gwoździe, puszki, kapsle, etc.

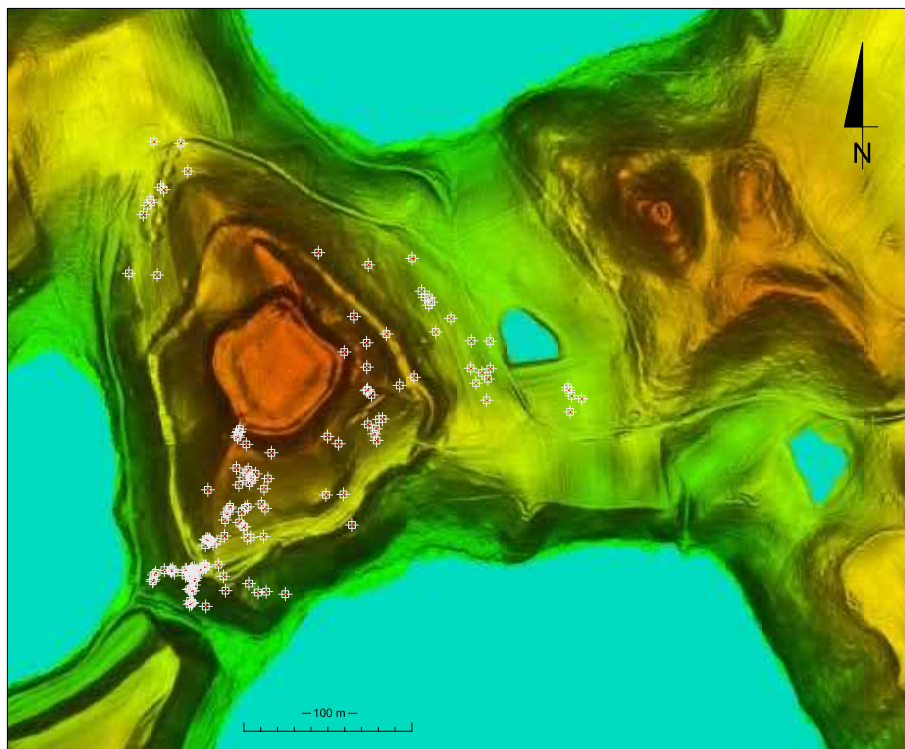
³² Badania AZP na zlecenie WUOZ w Olsztynie przeprowadzili Jerzy Siemaszko i Renata Maskowicz z Muzeum Okręgowego w Suwałkach.

³³ Oprócz sprzączki, na terenie osady tej odkryto liczne fragmenty ceramiki oraz zestaw artefaktów datowanych na okres wędrówek ludów. Bitner-Wróbleska, Engel i Sobczak 2016: 104-105; Hrynczyszyn 2016: 218.



Ryc. 10. Skomack Wielki-Ostrów, gm. Stare Juchy (1-4), Szurpiły, gm. Jeleniewo (5-7). Wybór zabytków znalezionych podczas badań planigraficznych w 2014 r. (rys. B. Karch)

Fig. 10. Skomack Wielki-Ostrów, community of Stare Juchy (1-4) and Szurpiły, community of Jeleniewo (5-7). Selection of finds discovered during planigraphic examinations in 2014 (drawn by B. Karch)



Ryc. 11. Szurpity, gm. Jeleniewo. Wyniki badań planigraficznych (oprac. C. Sobczak)
Fig. 11. Szurpity, community of Jeleniewo. Results of the planigraphic examinations (elaborated by C. Sobczak)

Badania planigraficzne na grodzisku w Szurpicach począwszy od 2008 r. przeprowadzane były kilkakrotnie³⁴. Podobnie jak w latach wcześniejszych, także i w 2014 r. rozpoznaniem objęto jedynie stoki grodziska oraz osady u podnóża (ryc. 11). Ze względu na stale prowadzone badania wykopaliskowe, majdan obiektu nie był przeszukiwany. Oprócz dominujących zabytków wczesnośredniowiecznych na terenie grodziska odkrywano są przedmioty z wczesnej epoki żelaza, okresu wpływów rzymskich, czasów nowożytnych, a u jego podnóża także artefakty z okresu wędrówek ludów³⁵. Jednymi z najciekawszych znalezisk tego sezonu były fragmenty kilku kłódek żelaznych odkrytych na terenie osad położonych wokół grodziska (ryc. 10: 5–7). Odkrycia te były przyjemnym zaskoczeniem dla badaczy, ponieważ dotychczas z Szurpiał znano jedynie pojedyncze fragmenty kluczy wczesnośredniowiecznych. W przypadku samej Góry Zamkowej, na której położone jest grodzisko, większość znalezionych na stokach zabytków to militaria. W zdecydowanej większości były to groty strzał, zarówno z tuleją jak i z trzpieniem, datowane na X-XI w. W związku z procesami postdepozycyjnymi zabytki zalegały dość płytko w humusie, zazwyczaj na mniej stromych fragmentach stoków i w obniżeniach terenowych.

³⁴ Engel i Sobczak 2012: 146; Engel *et al.* 2013: 53.

³⁵ Najciekawszym, nie wczesnośredniowiecznym znaleziskiem jest brązowa moneta rzymska z połowy IV w. n.e., odkryta na przedpiersiu okopu z I wojny światowej zlokalizowanego przy wale górnym grodziska. Kontekst znaleziska świadczy o tym, że sestercja pierwotnie zalegała w nawarstwieniach majdanu, które zostały zniszczone podczas budowy tranzei; Bitner-Wróblewska, Engel i Sobczak 2016: 117, ryc. 17.

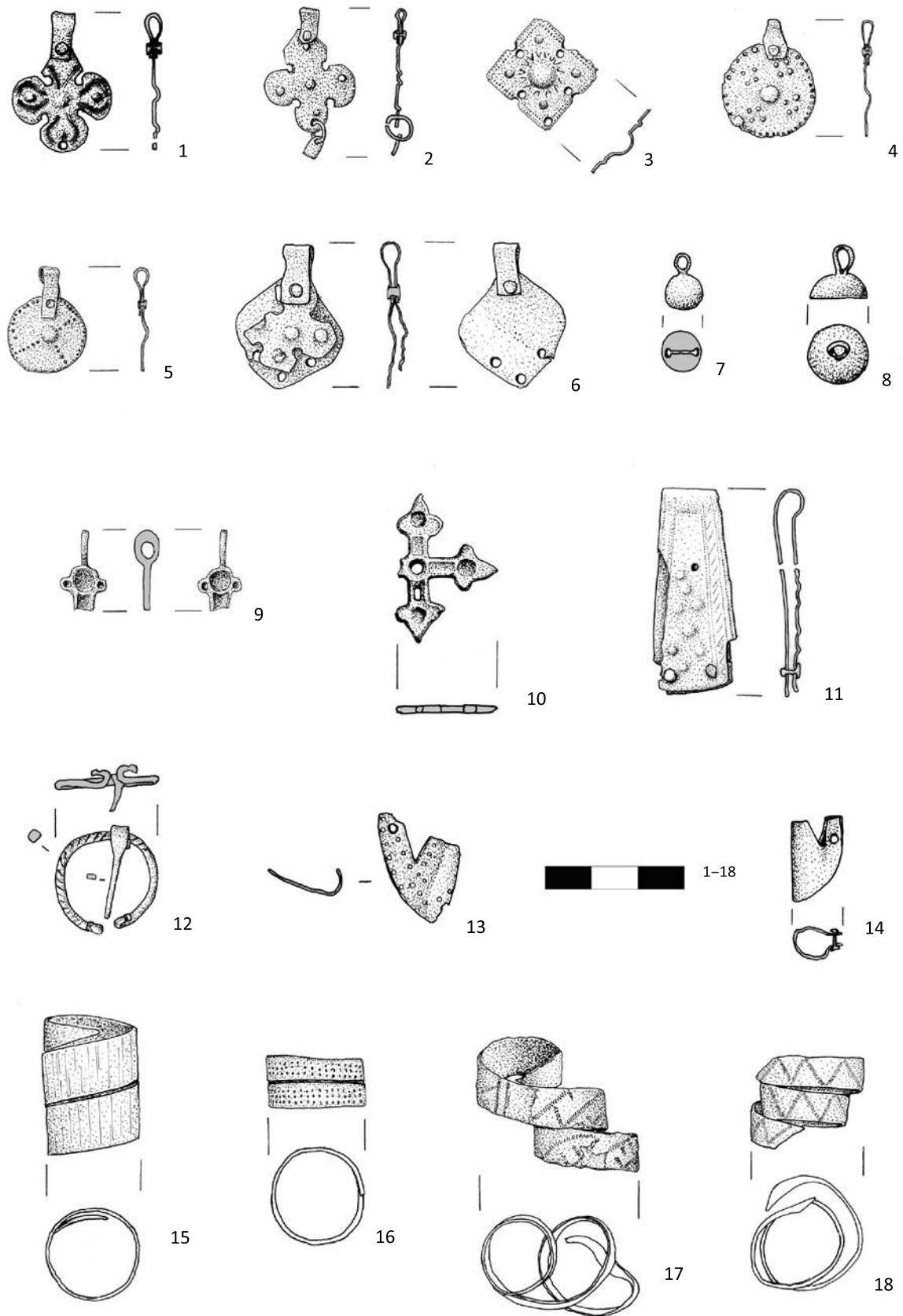
Mniej liczny zbiór tworzyły ozdoby brązowe, takie jak zapinki podkowiaste, zawieszki, pierścionki oraz ich fragmenty, szeroko datowane w przedziale XI-XIII w. Zabytki brązowe odkryto głównie w południowo-zachodniej części wzniesienia, poniżej zniszczonego w tym miejscu wału dolnego. Kontekst znalezisk wskazuje, że przedmioty te - pierwotnie złożone w izbicach - mogły pełnić funkcje ofiary zakładzinowej. Podczas budowy nowożytnej drogi na grodzisko zniwelowano pozostałości obwałowań, zabytki zaś spłynęły w dół stoku³⁶.

Analogicznego odkrycia dokonano wiosną 2015 r. podczas badań planigraficznych w Dybowie. Na południowym stoku oraz u podnóża grodziska znaleziono koncentrację ponad 150 całych przedmiotów brązowych³⁷ oraz ich fragmentów. W skład skarbu wchodziły głównie zawieszki (w tym fragmenty emaliowanych krzyżyków) i pierścionki, ale wystąpiły także dzwonki, zapinka podkowiasta i różnego rodzaju okucia (w tym trzewiki pochewek noży) (ryc. 12). Rozkład przestrzenny znalezisk świadczy o tym, że przedmioty pierwotnie zdeponowane w skrzyniach wału, po jego erozji spłynęły w dół do podnóża grodziska³⁸. Oprócz opisanego skupiska znalezisk, na

³⁶ Bitner-Wróblewska, Engel i Sobczak 2016: 105, 116-117.

³⁷ Odkryto także pojedyncze przedmioty wykonane były z tzw. białego metalu. Badania metaloznawcze w celu określenia składu stopu nie zostały jeszcze wykonane.

³⁸ Podobne znalezisko miało miejsce na grodzisku w Jeglińcu, z tą różnicą, że tam przedmioty odkrywano na majdanie, po wewnętrznej stronie wału. W tym przypadku naturalną erozję wałów wzmogły między innymi budowa okopów podczas działań wojennych; Iwanowska 1991; 2015.



Ryc. 12. Dybowo, gm. Świętajno. Wybór zabytków znalezionych podczas badań planigraficznych w 2015 r. (rys. B. Karch)

Fig. 12. Dybowo, community of Świętajno. Selection of finds discovered during planigraphic examinations in 2015 (drawn by B. Karch)

terenie grodziska w Dybowie odkryto jedynie pojedyncze zabytki datowane na wczesną epokę żelaza³⁹.

Na terenie grodziska w Szwałku, oprócz pojedynczych fragmentów ceramiki wczesnośredniowiecznej, żadnych zabytków metalowych z tego okresu nie znaleziono⁴⁰. Żadnych zabytków datowanych na wczesne średniowiecze nie znaleziono także w Bałupianach. Na stokach i majdanie obiektu odkryto jedynie fragmenty naczyń glinianych z wczesnej epoki żelaza oraz żelazne i brązowe zabytki z okresu wpływów rzymskich⁴¹. Brak znalezisk datowanych na wczesne średniowiecze oraz dotychczasowe badania obiektu w Bałupianach, mogą wskazywać, że we wczesnym średniowieczu wzniesienie to nie było użytkowane. Dla zweryfikowania tej obserwacji niezbędne będą jednak badania wykopaliskowe.

Badania wykopaliskowe i odwierty

Realizacja projektu norweskiego dała szansę przeprowadzenia szeroko zakrojonych badań wykopaliskowych na terenie dwóch całkowicie odmiennych pod względem archeologicznego rozpoznania ośrodków grodowych. Wytypowano do projektu najlepiej chyba znany kompleks osadniczy północno-wschodniej Polski w Szurpiłach oraz równie malowniczo położony, choć całkowicie niemal nieznanymi zespoł stanowisk w Skomacku Wielkim (Ostrowiu). W oparciu o posiadaną wiedzę oraz zgromadzone w ramach projektu dane na obydwu obszarach wytypowano miejsca, które w ciągu ośmiu miesięcy prac miały zostać przebadane metodami wykopaliskowymi. Głównym celem tych badań było rozpoznanie i porównanie dwóch wczesnośredniowiecznych systemów osadniczych ze szczególnym uwzględnieniem aspektów obronnych⁴².

Wykopy badawcze w Skomacku Wielkim (Ostrowie) założono na terenie grodziska oraz osady położonej u jego południowych podnóży (ryc. 13)⁴³. Na terenie osady, oprócz nielicznych fragmentów naczyń wczesnośredniowiecznych, nie zarejestrowano żadnych obiektów czy konstrukcji z tego okresu. Najciekawsze odkrycia na tym terenie pochodzą z okresu wędrówek ludów. Miały one postać ozdób brązowych, naczyń i narzędzi grupy olsztyńskiej. Za wyjątkiem pojedynczych fragmentów ceramiki, wykopaliska na terenie grodziska także nie przyniosły znalezisk z wczesnego średniowiecza. W wykopach na majdanie nie odsłonięto żadnych pozostałości osadnic-

twą z tego okresu, a jedynie relikty osady wysoczyznowej datowanej na wczesną epokę żelaza. W części centralnej majdanu odsłonięto fragment dwóch nowożytnych pochówków, odkrytych w resztkach drewnianych trumien⁴⁴. Na podstawie przeprowadzonych badań wysunięto hipotezę, że grodzisko zostało w znacznym stopniu przekształcone w czasach nowożytnych, najprawdopodobniej w XIX w. Przeprowadzone tu niwelacje mogły zniszczyć nawarstwienia wczesnośredniowieczne.

Informacji najciekawszych z punktu widzenia celów projektu dostarczyły przekopy przez wały założone przy wschodnim i zachodnim skraju wzniesienia⁴⁵. W zachodnim przekopie zadokumentowano pozostałości drewnianej konstrukcji opartej na bardzo głębokim palowaniu. Po wewnętrznej stronie rozbudowanego płotu palisadowego zarejestrowano pozostałości wykładanej pierwotnie drewnem odsadki. Na poziomie dolnego tarasu odsłonięto drugą linię umocnień, składających się z rowu i konstrukcji drewnianych stabilizowanych brukiem kamiennym. Sądząc po zalegającej między kamieniami spaleniznie można przypuszczać, że linia ta została zniszczona pożarem⁴⁶.

Wschodni przekop przez wał zaplanowano w miejscu obniżenia terenowego. W wykopie odsłonięto przypuszczalnie pozostałości podwalin bramy. Relikty dość potężnej drewnianej konstrukcji palowej umocnionej głązami były prostopadłe do obydwu linii wałów grodziska. Z odkrytych w tym miejscu węgielków drzewnych wykonano analizy ¹⁴C, które pozwoliły wydatować konstrukcję na 1165 ± 95 BP⁴⁷. Na podstawie badań wykopaliskowych oraz dotychczasowych analiz nie można wykluczyć, że gród skomacki we wczesnym średniowieczu był użytkowany krótko lub niezbyt intensywnie⁴⁸. Być może jednak ślady osadnictwa z tego okresu zostały zniszczone w czasach nowożytnych zarówno na grodzisku, jak i u jego podnóża.

Na terenie ośrodka szurpiłskiego w sezonie 2014-2015 prowadzono prace na dziewięciu stanowiskach⁴⁹. Założono 17 wykopów i sondaży badawczych o łącznej powierzchni 6 arów (ryc. 14). Do najciekawszych wyników badań należy zaliczyć rozpoznanie kulminacyjnej części majdanu grodziska na Górze Zamkowej pod względem ewentualnego istnienia tu zabudowy wczesnośredniowiecznej. Z uwagi na zniszczenia warstw stropowych nie udało się tej tezy zweryfikować, natrafiono jednak na koncentrację ozdób brązowych datowanych na młod-

³⁹ Engel, Iwanicki i Sobczak w druku.

⁴⁰ Na terenie tego grodziska odkryto pojedyncze zabytki metalowe datowane na wczesną epokę żelaza. Ponadto na południowym i zachodnim stoku zarejestrowano pozostałości zniszczonej ciemnobrunatnej warstwy kulturowej z licznymi fragmentami naczyń ceramicznych datowanych na wczesną epokę żelaza i okres wpływów rzymskich.

⁴¹ Engel, Iwanicki i Sobczak w druku.

⁴² Bitner-Wróblewska, Engel i Sobczak 2016: 112-117; Włoszek 2016; Hrynczyszyn 2016.

⁴³ Hrynczyszyn 2016.

⁴⁴ Na ślad tych pochówków natrafiono w wykopie 5. Są to odkrycia o tyle zagadkowe, że nie towarzyszyły im znaleziska pozwalające na ich datowanie, dodatkowo na sąsiednim wzniesieniu w przeszłości funkcjonował cmentarz. Jest on zresztą wciąż zaznaczony na mapach.

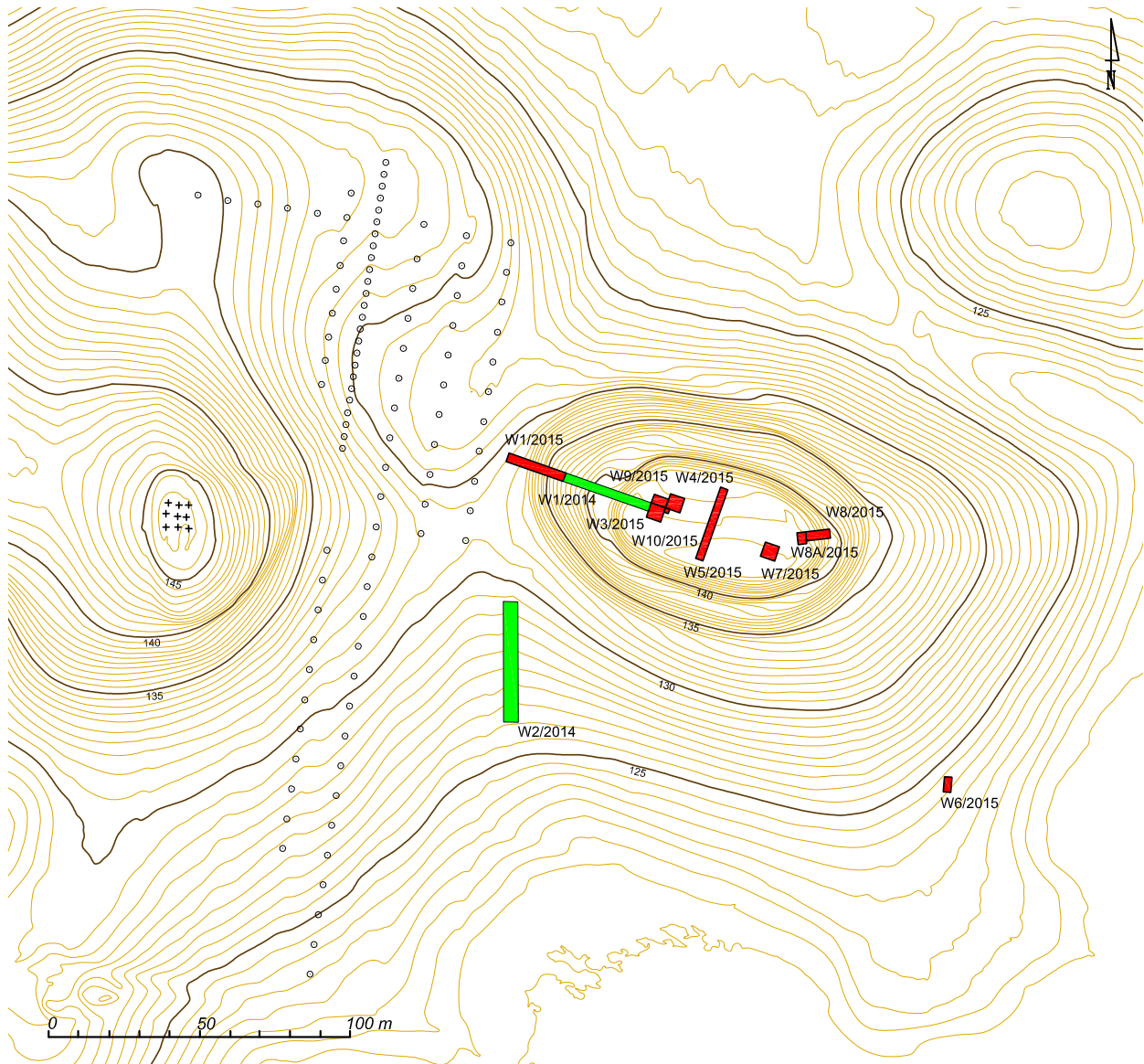
⁴⁵ Hrynczyszyn 2016: 222.

⁴⁶ Nie można wykluczyć, że odkryte ponad spalenizną nawarstwienia miały charakter niwelacyjny i powstały podczas przebudowy stanowiska w XIX w.

⁴⁷ Po kalibracji otrzymaliśmy daty: 765 – 975 cal AD (68,2%), 670 – 1025 cal AD (95,4%)

⁴⁸ Hrynczyszyn 2016: 223-224.

⁴⁹ Włoszek 2016.



Ryc. 13. Skomack Wielki-Ostrów, gm. Stare Juchy. Plan wykopów badawczych i wierzeń w latach 2014–2015 (oprac. C. Sobczak)

Fig. 13. Skomack Wielki-Ostrów, community of Stare Juchy. Location of trenches and drillings in 2014–2015 (elaborated by C. Sobczak)

sze fazy wczesnego średniowiecza. Na północnym stoku Góry Zamkowej rozpoznawano relację odkrytego w 2008 r. cmentarzyska z przełomu X/XI w. ze zlokalizowanym w sąsiedztwie wałem dolnym grodziska⁵⁰. W rezultacie badań stwierdzono, że podczas budowy obwałowań częściowemu zniszczeniu uległo stanowisko sepulkralne. Pod wałem nie znaleziono żadnych obiektów, zaś w warstwach o charakterze niwelacyjnym odkryto fragmenty dwóch niezwykle ozdobnych trzewików pochew mieczy typu IIIb1 wg Kazakevičiusa (ryc. 15). Odkrycie to chronologicznie i kulturowo można łączyć z pozostałymi znaleziskami z badanego cmentarzyska⁵¹. Dzięki analizie

materiałów i nawarstwień wał dolny o konstrukcji skrzyniowej, licowany kamieniami i głazami, można datować na młodsze fazy wczesnego średniowiecza.

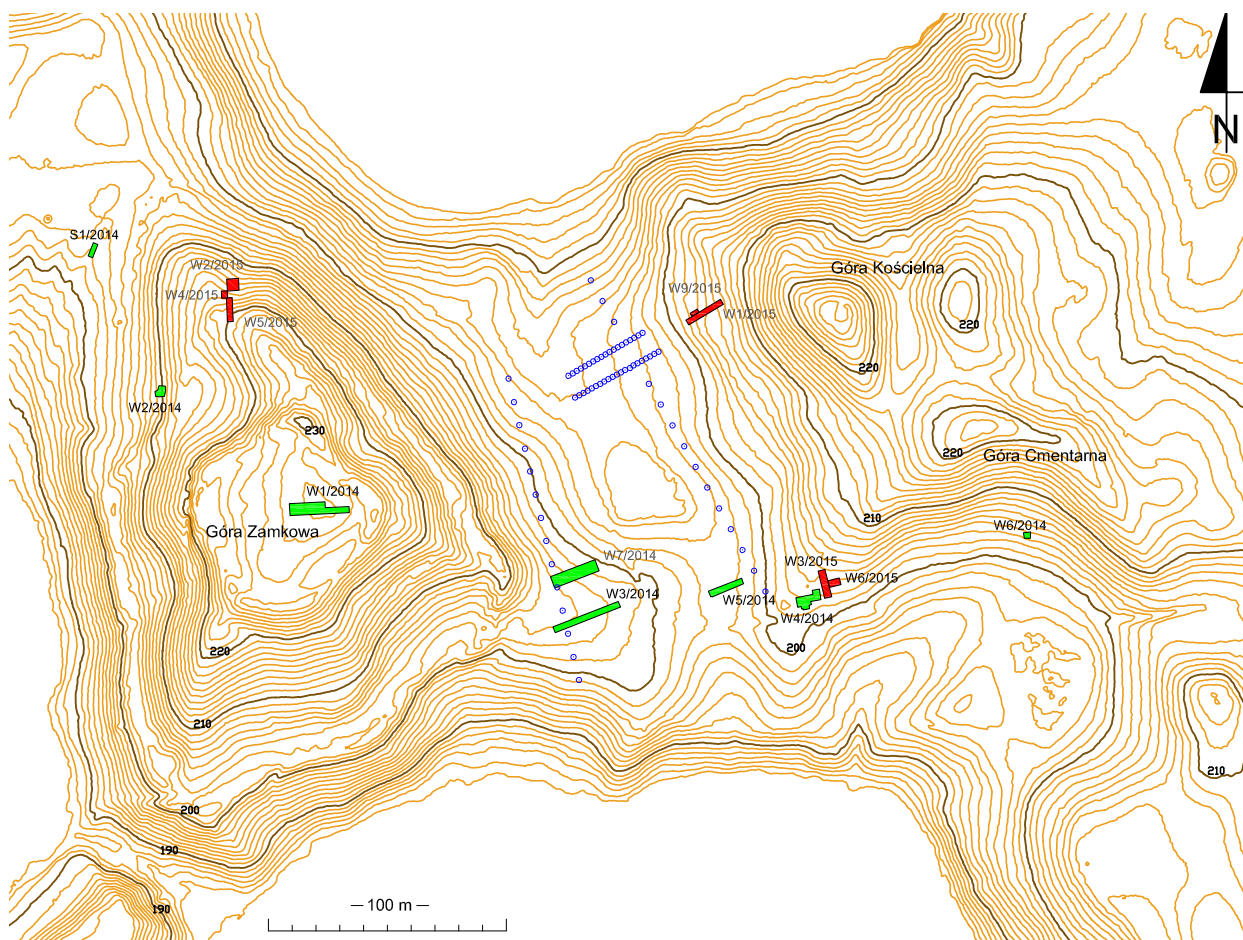
Analogiczną konstrukcją skrzyniową odsłonięto podczas rozpoznania wału zewnętrznego zlokalizowanego u zachodnich podnóży masywu gór Kościelnej i Cmentarnej⁵². Od strony zewnętrznej, patrząc od grodziska, do umocnień przylegał rów o głębokości 0,5 m. Odkrycia te potwierdziły funkcję obronną budowli, pośrednio także umożliwiły jej wczesnośredniowieczne datowanie⁵³.

⁵⁰ Engel i Sobczak 2015.

⁵¹ Engel i Sobczak 2015.

⁵² Włoszek 2016: 213-214.

⁵³ Z materiału organicznego odkrytego w wale wykonano analizę ¹⁴C. Jednak w jej wyniku otrzymaliśmy datę o zbyt szerokim zakresie chronologicznym: 1220 ± 480 BP.



Ryc. 14. Szurpiły, gm. Jeleniewo. Plan wykopów badawczych i wierceń w latach 2014–2015 (oprac. C. Sobczak)

Fig. 14. Szurpiły, community of Jeleniewo. Location of trenches and drillings in 2014–2015 (elaborated by C. Sobczak)

W ramach omawianych badań założono także niewielki wykop sondażowy (o powierzchni ok. 20 m²) na domniemanym gródku strażniczym w Wodziłkach. Został on usytuowany przy północno-zachodnim skraju wzgórza w celu rozpoznania przypuszczalnych obwałowań. W wykopie odkryto pozostałości drewnianych umocnień. Z konstrukcji tej pobrano próbki, które w wyniku analizy radiowęglowej wydatowano na 2419 ± 29 BP⁵⁴. Wydaje się, że umocnienia te miały postać płotu palisadowego. W bezpośrednim sąsiedztwie konstrukcji odsłonięto pozostałości półziemianek, w których zalegał zabytkowy materiał kostny i ceramiczny datowany na wczesną epokę żelaza. Można zatem przypuszczać, że wzniesienie to nie pełniło jakiejś szczególnej roli we wczesnym średniowieczu. We wczesnej epoce żelaza pełniło ono funkcję ufortyfikowanej osady wysoczyznowej, podobnie jak szczyt Góry Zamkowej w tym czasie.

Uzupełnieniem badań wykopaliskowych były odwierty wykonane próbnikiem żłobkowym. Wykonywano je na terenie obydwu ośrodków. Celem wierceń w Skomacku

Wielkim (Ostrowiu) było rozpoznanie zasięgu osady zewidencjonowanej podczas badań AZP, objętej badaniami planigraficznymi, a położonej u południowo-zachodniego podnóża grodziska⁵⁵. Łącznie wykonano 100 odwiertów, z których większość zlokalizowana była w siatce 10 x 15 m (ryc. 13). Rozpoznano w ten sposób ok. 1 ha terenu położonego u zachodniego oraz południowo- i północno-zachodniego podnóża grodziska. Obszar ten położony jest w „siodle” pomiędzy dwoma wzniesieniami: Górą Grodzisko a wzgórzem, na którego szczycie usytuowano w XIX w. cmentarz. Odwierty wykazały znaczną miąższość humusu, osiągającego miejscami 50 cm; ukazały także złożoną budowę geologiczną terenu. Podstawowym materiałem geologicznym są tu piaski i żwiry różnych frakcji. Szczególnie głębokie nawarstwienia antropogeniczne, do głębokości ponad 2 m, wystąpiły na zachód od grodziska. W odwiertach tych napotymano węgielki drzewne, niewielkie fragmenty polepy i kości zwierzęcych. W sondach zlokalizowanych na północny- i południowy zachód od grodziska warstwowanie było znacznie bardziej uproszczone i osiągało niekiedy maksymalną głębokość kilku

⁵⁴ Po kalibracji otrzymaliśmy daty: 521 BC – 411 BC (63,8%), 555 BC – 402 BC (76,6%).

⁵⁵ Hrynczyszyn 2016: 218.

Ryc. 15. Szurpiły, gm. Jeleniewo. Fragmenty trzewików pochew mieczy wraz z rekonstrukcjami (fot. M. Bajkowska, rys. B. Karch, oprac. M. Engel)

Fig. 15. Szurpiły, community of Jeleniewo. Fragments of the sword scabbard chapes with reconstructions (photo by M. Bajkowska, drawn by B. Karch, elaborated by M. Engel)



dziesięciu centymetrów. Na podstawie tych informacji można przypuszczać, że pierwotna dość głęboka przełęcz między wzniesieniami została zniwelowana podczas kolejnych faz osadniczych. Nawarstwienia z wyższych partii terenu, w tym najprawdopodobniej także warstwy kulturowe datowane na wczesne średniowiecze, zostały zniesione i częściowo wypełniły zagłębienia i nierówności terenowe. Największego spustoszenia dokonały zapewne działania melioracyjne jeszcze z czasów niemieckich oraz głęboka orka traktorowa z czasów funkcjonowania w tym miejscu Państwowego Gospodarstwa Rolnego.

Celem odwiertów wykonanych w Szurpiłach było rozpoznanie obszaru pomiędzy Górą Zamkową a Górą Kościelną, a w szczególności terenu położonego w są-

siedztwie niewielkiego stawu otoczonego głazami⁵⁶. To rozległe miejsce nigdy wcześniej nie było objęte badaniami wykopaliskowymi. Z badań powierzchniowych i planigraficznych znany był jedynie materiał luźny w postaci pojedynczych fragmentów ceramiki pradziejowej i wczesnośredniowiecznej oraz przedmiotów metalowych, w tym militariów z kilku faz osadniczych. Część spośród znalezisk nie tworzyło większych skupisk. Podjęto zatem próbę określenia zasięgu znajdującego się tu stanowiska. Wykonano 70 wierceń, zlokalizowanych w dwóch liniach głównych co 10 m i w dwóch liniach pomocniczych co 2 m. W ten sposób rozpoznaniem objęto obszar ok. 0,5 ha (ryc. 14). Na podstawie wykonanych wierceń i wykopalisk stwierdzono, że obecne ukształtowanie terenu jest wy-

⁵⁶ Włoszek 2016: 206.

nikami dużych niwelacji i działań agrotechnicznych mających miejsce w przeszłości. Nawarstwienia kulturowe powstałe we wczesnej epoce żelaza, okresie wędrówek ludów i wczesnym średniowieczu na stokach obydwu wzgórz zostały zniesione zapewne w czasach nowożytnych i skumulowane w części centralnej obszaru. Było to zapewne wynikiem wyrównania i utworzenia jak największego pola uprawnego oraz regulacji brzegów stawu, przypuszczalnie dla wygodniejszego pojenia bydła. Pierwotne zagłębienie terenu w centralnej części plateau sięgało ponad 2 m niżej obecnego stropu humusu. Można zatem sądzić, że pod stropowymi warstwami niwelacyjnymi w środkowej części stanowiska ocalały nie zaburzone nawarstwienia pradziejowe i wczesnośredniowieczne.

ZAKOŃCZENIE

Intensywność i zasięg działań prowadzonych w ciągu ostatnich lat przez badaczy spowodowała, że uzyskane źródła i materiały nie zostały dotychczas w pełni opracowane i opublikowane. Obecnie w Dziale Archeologii Bałtów PMA trwają intensywne prace nad analizą źródeł archeologicznych i ich publikacją w internetowym *Atlasie grodzisk Jaćwieży*. W planach jest także przygotowanie jego książkowej formy. Jednak zanim to nastąpi, dla zamknięcia katalogu grodzisk niezbędne jest wykonanie nalotów lidarowych i pomiarów fortyfikacji położonych w południowo-wschodniej części Jaćwieży. W ostatnim czasie podjęto działania w celu pozyskania danych z międzyrzecza Biebrzy i Supraśli. Teren ten jest niezwykle

ważny dla prowadzonych badań osadniczych i krajobrazowych z racji swego przygranicznego charakteru. Ze względu na swoją specyfikę fizjograficzną i kulturową jest przez część badaczy uważany za obszar nie objęty osadnictwem jaćwieskim. Z powodu tych wątpliwości problem ten wymaga pogłębionych studiów i analiz.

Już na podstawie przedstawionej powyższej dość ogólnej relacji z ostatnich działań DAB wyraźnie widać potrzebę kontynuacji badań na kilku grodziskach jaćwieskich. Do najważniejszych należy zaliczyć weryfikacyjne badania wykopaliskowe obserwacji lidarowych ze Starych Juch, Szwałku i Dąbrowskich. Analogicznej weryfikacji wymaga prospekcja geofizyczna ze Skomacka Wielkiego (Ostrowa), Grodziska czy Rogali. Za kluczowe dla rozpoznania hipotez związanych ze skarbami przedmiotów brązowych uważa się przeprowadzenie wykopalisk w Dybowie. Ze względu na specyfikę prac wykopaliskowych opisany proces bez wątpienia będzie rozciągnięty w czasie.

W celu weryfikacji kolejnych domniemyanych grodzisk odnajdywanych dzięki analizie numerycznych modeli terenu niezbędne są szeroko zakrojone badania powierzchniowe, w tym planigraficzne. Dla jak najszybszego objęcia ochroną konserwatorską nowo odkrywanych stanowisk są to badania priorytetowe. Niezwykle ważna jest także kontynuacja rozpoznania geofizycznego obejmującego wielohektarowe powierzchnie nowoodkrytych oraz znanych od dawna stanowisk. W miarę możliwości rozpoznanie archeologiczne wspierane będzie badaniami środowiskowymi. Na tych działaniach będą się koncentrowały wysiłki badaczy Jaćwieży w najbliższych latach.

Wykaz cytowanej literatury:

- Bitner-Wróblewska, A., W. Brzeziński i M. Kasprzycka (red.)
2016. *Archeologia Jaćwieży. Dawne badania i nowe perspektywy. Yatving archaeology. Past research, new perspectives*. Warszawa: Państwowe Muzeum Archeologiczne, Stowarzyszenie Starożytników.
- Bitner-Wróblewska, A., M. Engel i C. Sobczak
2016. Projekt „Archeologia Jaćwieży”. Polsko-Norweska Inicjatywa Nowoczesnego Konserwatorstwa Archeologicznego. The „Archaeology of Yatvings” Project. A Polish-Norwegian Modern Archaeological Conservation Initiative, [w:] A. Bitner-Wróblewska, W. Brzeziński i M. Kasprzycka (red.), 95–131.
- Engel, M., P. Iwanicki, G. Iwanowska i C. Sobczak
2013. Grodziska Jaćwieży w perspektywie badań Działu Archeologii Bałtów Państwowego Muzeum Archeologicznego w Warszawie, [w:] Z. Kobyliński (red.), *Grodziska Warmii i Mazur 1, Stan wiedzy i perspektywy badawcze*, 45–63. *Archaeologica Hereditas 2*. Warszawa–Zielona Góra: Wydawnictwo Fundacji Archeologicznej
- Engel, M., P. Iwanicki i C. Sobczak
w druku. Badania planigraficzne z wykorzystaniem wykrywaczy metali na terenie jaćwieskich ośrodków grodowych. Nowe odkrycia i nowe interpretacje, *Materiały do Archeologii Warmii i Mazur 2*.
- Engel, M. i C. Sobczak
2012. Nie tylko archeologia. Interdyscyplinarne badania wielokulturowego zespołu osadniczego w Szurpiłach na Suwalszczyźnie. *Pruthenia 7*: 137–157.
2015. W poszukiwaniu nekropoli Âtvâgov. Uwagi na temat znalezisk sepulkralnych z okresu wikingów w Szurpiłach, [w:] B. Kontny (red.), *Ubi tribus faucibus fluenta Vistulae fluminis ebibuntur. Jerzy Okulicz-Kozaryn in memoriam*, 131–158. *Światowit Supplement Series B: Barbaricum 11*. Warszawa: Instytut Archeologii Uniwersytetu Warszawskiego.
- Hrynczyszyn, M.
2016. Skomack Wielki, gm. Stare Juchy, stan. 1 i stan. 16. Wstępne wyniki badań archeologicznych z lat 2014–

2015. Skomack Wielki, Stare Juchy commune, sites 1 and 16. Preliminary findings from archaeological research made in 2014–2015, [w:] A. Bitner-Wróblewska, W. Brzeziński i M. Kasprzycka (red.), 217–224.
- Iwanowska, G.
1991. Excavations at the Jegliniec hillfort – recent developments in Balt archaeology. *Antiquity* 65 (248): 684–695.
2015. Grodzisko w Jeglińcu w świetle nowych badań, [w:] S. Wadyl, M. Karczewski i M. Hoffmann (red.), *Materiały do archeologii Warmii i Mazur* 1, 29–38. Warszawa–Białystok: Instytut Archeologii Uniwersytetu Warszawskiego, Instytut Historii i Nauk Politycznych Uniwersytetu w Białymstoku.
- Kupryjanowicz, M. i M. Fiłoc
2016. Badania palinologiczne Jaćwieży. Palynological studies in the Yatving territory, [w:] A. Bitner-Wróblewska, W. Brzeziński i M. Kasprzycka (red.), 133–157.
- Kuś, G. i P. Wroniecki
2016. „Archeologia Jaćwieży” – badania geofizyczne. „Archaeology of Yatvings” – geophysical prospection, [w:] A. Bitner-Wróblewska, W. Brzeziński i M. Kasprzycka (red.), 177–202.
- Siemaszko, J.
1991. Archeologiczne badania wykopaliskowe w woj. suwalskim w latach 1981–1989, [w:] J. Kopciał (red.), *Rocznik-Suwalsko Mazurski*, 75–89. Suwałki: Suwalskie Towarzystwo Kultury.
- Smolska, E. i P. Szwarczewski
2016. Zagłębienia jako geoarchiwa i ich wykorzystanie w badaniach antropopresji na przykładzie okolic Góry Grodzisko koło Skomacka Wielkiego na Pojezierzu Etckim. Hollows as geoarchives and their uses in the study of human impact on the environment – the case study of Góra Grodzisko (Hillfort Hill) at Skomack Wielki in Etck Lake District, [w:] A. Bitner-Wróblewska, W. Brzeziński i M. Kasprzycka (red.), 159–175.
- Sobczak, C.
2015. Lotnicze skanowanie laserowe wybranych obszarów Suwalszczyzny i jego weryfikacja terenowa, [w:] S. Wadyl, M. Karczewski i M. Hoffmann (red.), *Materiały do archeologii Warmii i Mazur* 1, 39–66. Warszawa–Białystok: Instytut Archeologii Uniwersytetu Warszawskiego, Instytut Historii i Nauk Politycznych Uniwersytetu w Białymstoku.
- w druku. Kilka uwag na temat lotniczego skanowania laserowego i jego terenowej weryfikacji przeprowadzonych na obszarach leśnych północno-wschodniej Polski, [w:] J. Wysocki (red.), *Konserwacja zaporobiegawcza środowiska 4. Dziedzictwo kulturowe w lasach*.
- Sobczak, C., P. Wroniecki i G. Kuś
- w druku. Wybrane zagadnienia nieinwazyjnego rozpoznania grodzisk jaćwieskich. *Materiały do Archeologii Warmii i Mazur* 2.
- Włoszek, M.
2016. Archeologiczne badania kompleksu szurpilskiego w ramach projektu „Archeologia Jaćwieży” – cele badawcze i wstępne wyniki. An archaeological study of the Szurpity settlement complex made within the „Archaeology of Yatvings” project – research aims and preliminary results, [w:] A. Bitner-Wróblewska, W. Brzeziński i M. Kasprzycka (red.), 205–215.
- Źródła internetowe:
- Atlas grodzisk Jaćwieży*. Internet: <http://grodziskajacwiezy.pl/> (wgląd 21.10.2016)
- Źródła archiwalne:
- Grenz Kartoteka*. Kartoteka Rudolfa Grenza, Stiftung Schleswig-Holsteinische Landesmuseen Schloss Gottorf, Schleswig.
- Prussia-Museum Archiv*. Prussia-Museum Archiv, Staatliche Museen zu Berlin – Preussischer Kulturbesitz, Museum für Vor- und Frühgeschichte, Berlin.

Marcin Engel and Cezary Sobczak

Yatvingian strongholds in the light of recent interdisciplinary research

Summary

Thanks to co-financing obtained in last few years, activities of the Balts Archeology Department of the State Archaeological Museum in Warsaw become more dynamic. First of all the *Atlas of Yatvings' Hillforts* has been prepared and published online. Numerous Yatvingian hillforts have been test trenched and /or been surveyed using non destructive methods and series of remarkably interesting environmental analyses have been conducted. Despite what are the preliminary studies of their results we can definitely state that the information we

have gained is extremely useful for reconstruction of the archaeological landscape and protection of cultural heritage of north-eastern Poland. Moreover, they reveal many new essential data concerning settlement and protection systems of the Early Medieval Yatvingia.

During years 2013–2016 the Balts Archeology Department of the State Archaeological Museum realized three research projects co-financed with external resources in the area of historical Yatvingia. Two of them involved recognizing hillforts

and their adjoining area with help of laser scanning and terrain verification of the obtained results. Sites selected for the examination were situated in the Goldap and Olecko districts. Geomorphologist were also involved in the project. Moreover supplementary geophysical prospection with use of magnetic gradiometry survey and earth resistance survey was done in the interior of the strongholds at Grodzisko and Białupiany

The next analogous grant was realized in 2015 and was named *Non-destructive examinations of Yatvingian Hillfort Centres of the Elk Lake District*. Defensive sites situated in Elk and Grajewo districts were selected for the examination. Also in this case some of them were chosen for geophysical examinations. Magnetic gradiometry survey and earth resistance survey were conducted in hillforts at Rogale and Wierzbowo. Moreover planigraphic examination with metal detectors were conducted at Białupiany, Dybowo and two hillforts at Szwalk in 2015 as a supplement of recognition from 2013 done beyond this project.

In years 2014-2016 a project called *Polish-Norwegian Modern Archeological Conservation Initiative "Archeology of the Yatvings"* was carried out in the hillfort centers at Szurpiły and Skomack Wielki/Ostrów. In both complexes series of drillings and aerial photos were taken. Numerous geophysical, planigraphic and excavation examinations were conducted and the excavated material was examined by osteological analyzes and radiocarbon dating. Additional environmental, geological, geomorphologic and paleontological examinations were conducted at the Skomack centre. The results of these projects were publicized in an exhibition titled *The Yatvings. The forgotten warriors* and a publication *Archeology of Yatvings. Old examinations and new perspectives*.

Translated by Joanna Engel

Wczesnośredniowieczny zespół osadniczy Olsztyn – Las Miejski

Stanowisko Olsztyn - Las Miejski usytuowane jest na obszarze makroregionu Pojezierze Mazurskie i w centrum mezoregionu Pojezierza Olsztyńskiego¹, na prawym brzegu rzeki Łyny, w pobliżu ujścia do niej rzeki Wadąg (ryc. 1).

W obrębie granic administracyjnych Olsztyna zewidencjonowano dotychczas ponad sto stanowisk archeologicznych, poczynając chronologicznie od środkowej epoki kamienia. W liczbie tej nie było jednak żadnego związanego z osadnictwem wczesnośredniowiecznych Prusów. Taka sytuacja wydawała się dziwna, tym bardziej że w dokumencie lokacyjnym wymieniane są przyznane miastu wsie o prusko brzmiących nazwach. Miejsce lokacji średniowiecznego Olsztyna wybrano nieprzypadkowo, kierując się wybitnie korzystnymi walorami obronnymi terenu w szerokim zakolu rzeki Łyny (ryc. 2)². Zamek kapituły warmińskiej powstał na surowym korzeniu. Poświadczają to dość liczne badania archeologiczne, które nie przyniosły odkrycia śladów starszego osadnictwa³. Tego typu pozostałości znajdują się także nad Łyną, ale nieco bardziej na północ. Szczególna intensyfikacja zasiedlenia miała tu miejsce w okresie wędrówek ludów i wczesnym średniowieczu. W tym czasie cały ten obszar przynależał najprawdopodobniej do pruskiej ziemi *Berting*. Historycy akcentują, że późniejsze komornictwa tworzone w oparciu o wcześniejszą strukturę terytorialną ziem pruskich⁴.

Obszar dzisiejszego Lasu Miejskiego już w średniowieczu znalazł się w obrębie Olsztyna. Dokument lokacyjny z 1355 r. określa zasięg granicy miasta, która od strony zachodniej przebiega „do granic wsi Likusy, a następnie wzdłuż pół tej wsi do granic rzeki Łyny, dalej wraz z rzeką Łyną dochodzi do miejsca, gdzie łączy się z nią Wadąg”. W rejonie ujścia Wadąga znajdować się miała wieś Sądyty (*Sanditten*). W przywileju lokacyjnym znalazło się postanowienie mówiące, że przyznano ją miastu w zamian za obszar leśny oddany wsi Likusy. Czynsz z Sądyt do czasu uzyskania przychodów w Likusach płacony miał być na rzecz kapituły, a nie miasta. Wzmianki te stanowią dla historyków argument, że formalna lokacja Olsztyna mia-

ła miejsce *ex post*, a w rzeczywistości miasto funkcjonowało już wcześniej wraz z istniejącymi w jego granicach osadami⁵. Jest wielce prawdopodobne, że ta wcześniejsza, pruska tradycja osadnicza tego miejsca mogła mieć istotne znaczenie w procesie lokacji późniejszego miasta Olsztyna.

Fakt, że nazwa wsi Sądyty przewija się w źródłach historycznych⁶, następnie ikonograficznych oraz w lokalnej tradycji sprawił, że zidentyfikowane na tym obszarze stanowisko archeologiczne było z nią utożsamiane. Rozpoczynając prace w terenie przejęto tradycję tego nazewnictwa ze świadomością, że nie musi odpowiadać historycznej rzeczywistości. Wkrótce okazało się, że na terenie wczesnośredniowiecznej osady brak jest jakichkolwiek pozostałości z czasów późnego średniowiecza, a zatem historyczna nazwa dla stanowiska archeologicznego pozostała umowną. Dziś istnieje już wiele przesłanek do właściwej lokalizacji wsi średniowiecznej⁷.

Historia dokumentowania na terenie lasu starożytnych założeń obronnych sięga początków czasów nowożytnych. Najstarszy sygnał to mapa Caspara Hennenbergera z 1576 r., na której autor u ujścia Wadąga zamieszcza nazwę *Sanditten* obok symbolu opisanego w legendzie jako „góra, na której stał zamek” (ryc. 3 a)⁸. Prawdopodobnie ten sam obiekt opisuje i dokumentuje porucznik Johann Michael Guise (1796-1861), który został oddelegowany z Torunia do wykonania inwentaryzacji założeń obronnych w Prusach. Jego pruskie „peregrynacje” przypadły na lata 1826–1828. Odbił dwie wyprawy, podczas których zlustrował, zarejestrował i zadokumentował ponad sześćset obiektów, zaznaczając je na tak zwanej *Generalkarte* – czyli mapie sporządzonej na podkładzie map Schröttera. Trasa pierwszej ekspedycji wiodła z Królewca do Torunia i z powrotem i trwała od 14 sierpnia 1826 roku do 30 maja 1827 roku⁹. Wtedy właśnie Guise lustr-

¹ Kondracki 2002.

² Hoffmann 1997; Achremczyk 2010: 423.

³ Rzempotuch 2009: 11.

⁴ Białuński 2015: 26-28.

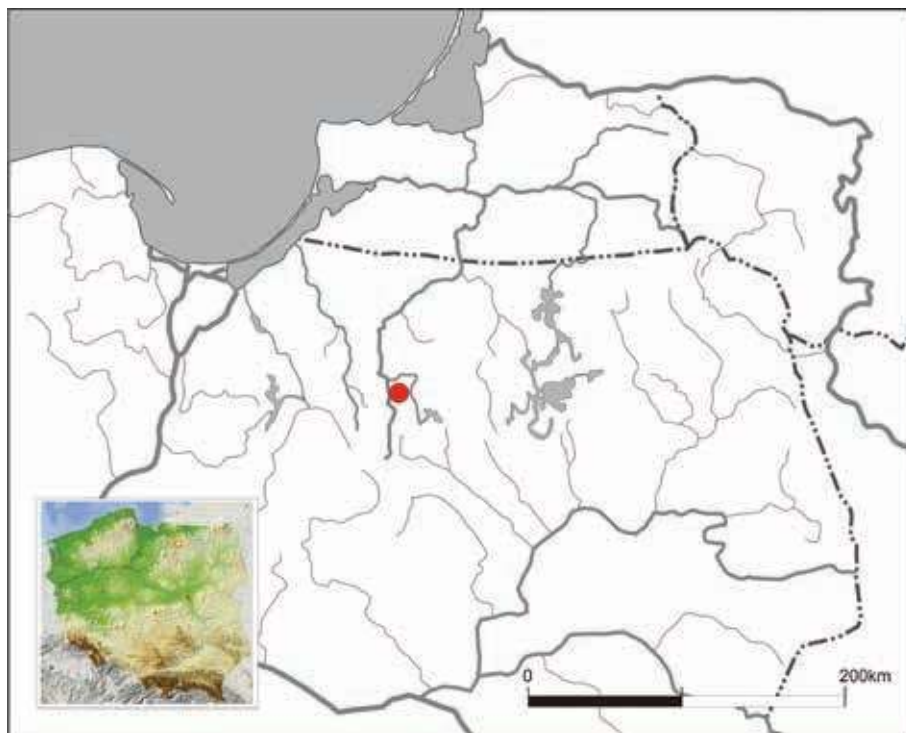
⁵ Achremczyk i Ogrodziński (red.) 2003.

⁶ Kres istnienia wsi przynosi zaraza dżumy, która w pocz. XVIII w. nawiedziła Warmię. Pomimo faktu, że położenie wsi zostało dość precyzyjnie określone, do dziś nie udało się tego miejsca zlokalizować w terenie (por. Białuński 2015: 28).

⁷ Dobrosielska 2015: 32, 5.

⁸ Klimek 2015: 11-14.

⁹ Crome 1927: 62-63.



Ryc. 1 Olsztyn – Las Miejski. Lokalizacja stanowiska (oprac. A. Koperkiewicz)

Fig. 1. Olsztyn – City Forest. Location of the site (elaborated by A. Koperkiewicz)



Ryc. 2. Olsztyn – Las Miejski. Fotografia lotnicza osady w rozlewisku rzeki Łyny (fot. J. Miałdun)

Fig. 2. Olsztyn – Las Miejski. Aerial photograph of the site in the pool of the Łyna River (photo by J. Miałdun)

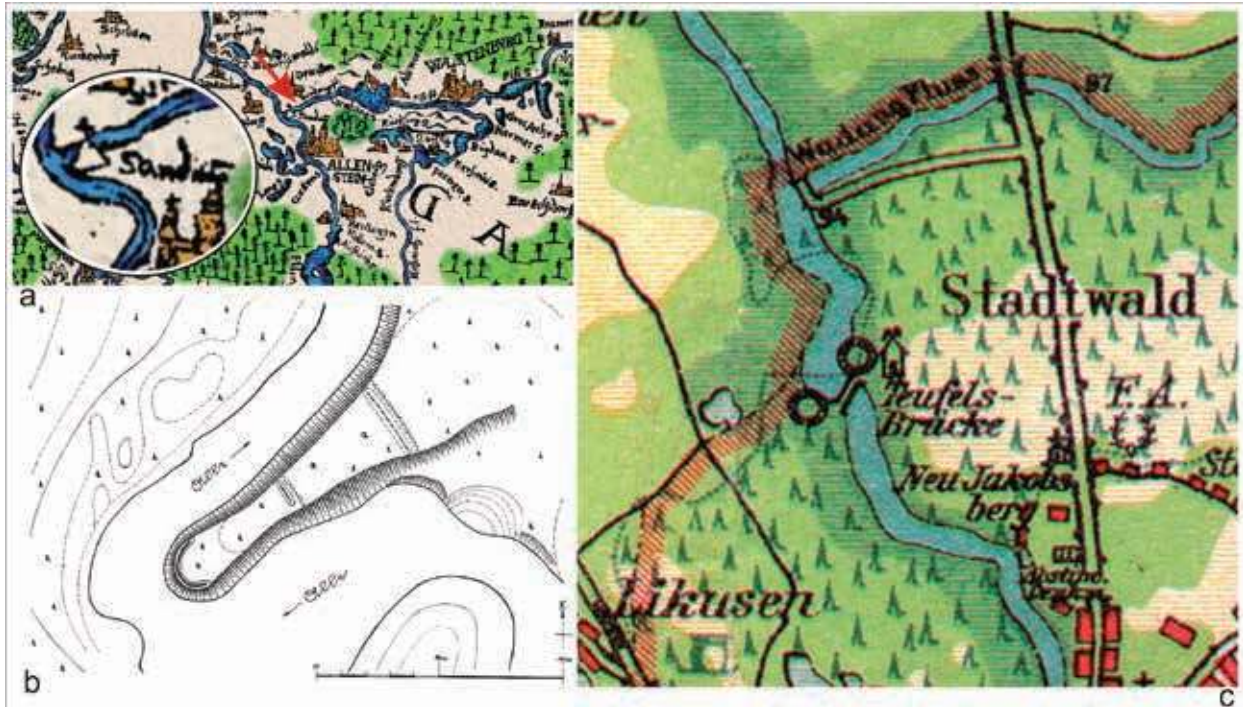
wał obiekty w olsztyńskim Lesie Miejskim¹⁰. Zanotował, że na północ od Olsztyna usytuowane są dwa grodziska po obu stronach Łyny. Jedno z nich - *Schloss Sundrythen* - znajdować się miało na południe od wpływu Wadąga do Łyny¹¹. W *Guise Uebersicht* – krótkim komentarzu do kartoteki, jak podawał badacz grodzisk pruskich Hans Crome, obiekt ten scharakteryzowany jest jako „zamek w le-

sie Sanditten na północ od Olsztyna”. Naprzeciwko, po drugiej stronie Łyny, Guise zlokalizował drugie założenie obronne zwane *Schlossberg* (Góra Zamkowa)¹². Rozpoznanie powierzchniowe, w wyniku którego zlokalizowano osadę, miało miejsce jeszcze później. W latach międzywojennych stanowisko wizytował miejscowy nauczyciel Leonhard Fromm. Pozostawił on odręczny szkic półwyspu z zaznaczonymi dwiema fosami (ryc. 3 b). Guise nie wspo-

¹⁰ Hoffmann 2007: 149-169.

¹¹ Hollack 1908: 4.

¹² Crome 1938: 193; Klimek 2013: 15.



Ryc. 3. Kartografia historyczna: a) mapa Kaspara Hennebergera z XVI w., na której zaznaczono wieś Sedyty nad Łyną (wg: R. Klimek 2013; oprac. M. Pacholec); b) szkic półwyspu nad Łyną z zaznaczonymi fosami wykonany przez L. Fromma (wg: R. Klimek 2013); c) mapa archeologiczna powiatu olsztyńskiego autorstwa Fromma i Steffela (Archiwum Działu Archeologii Muzeum Warmii i Mazur w Olsztynie)

Fig. 3. Historical cartography: a) Caspar Hennenberger's map from 16th cent. with marked location of the village of Sundithen by the Łyna River (after R. Klimek 2013; elaborated by M. Pacholec); b) sketch of peninsula by the Łyna River with marked moats, according to L. Fromm (after R. Klimek 2013); c) archaeological map of the Olsztyn District according to Fromm and Steffel (Archive of Archaeological Department of the Museum of Warmia and Mazury in Olsztyn)

minał o miejscu osadniczym położonym obok grodu. Było ono jednak znane późniejszym badaczom niemieckim, o czym świadczy fakt, że występuje na archeologicznej mapie powiatu olsztyńskiego¹³. Przygotowali ją społeczni opiekunowie zabytków archeologicznych: wspomniany Leonard Fromm z Olsztyna i Wolfgang Steffel z Barczewa. Chronologię osady określono wówczas na wczesną epokę żelaza (ryc. 3 c). Na mapie zaznaczono również tzw. *Teufels brücke*, czyli Diabelski Most, łączący oba brzegi rzeki, który współcześnie jest dobrym punktem odniesienia dla lokalizacji stanowiska. Z dna rzeki ciągle wystają elementy pali konstrukcyjnych. Mimo to, w latach 80. XX w., w ramach programu AZP, stanowisko nad Łyną zwerfikowano negatywnie i potraktowano jako archiwalne.

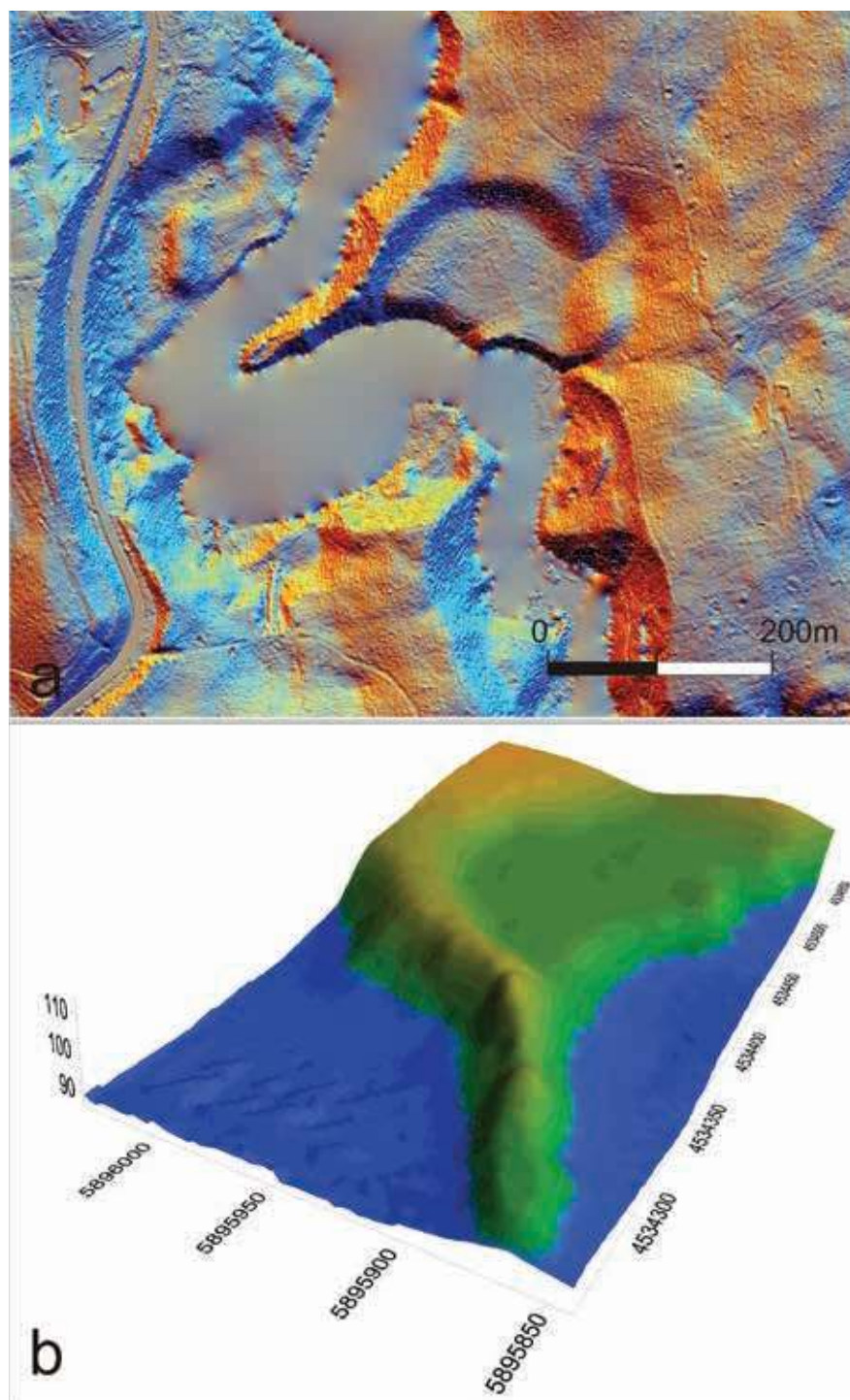
Grodzisko utożsamiane z „zamkiem” Guisego to w rzeczywistości cypel polodowcowy, wokół którego Łyna tworzy głębokie rozlewisko. Od strony północnej forma ta ma bardzo strome stoki, wypiętrzające się na wysokość 15 m ponad lustro wody. Strona południowa znajduje się na wysokości około 6 m ponad poziomem osady, zamykając w ten sposób obszar o powierzchni około 2,5 ha (ryc. 4 a-b). Dojście do grodziska znajduje się od strony

północno-wschodniej. Kulminację półwyspu, określane go jako „grodzisko”, tworzą dwa stożkowate wyniesienia, odcięte od lądu dwiema suchymi fosami o głębokości ok. 2 m. Osada znajduje się bezpośrednio na północny wschód od grodziska, na terasie nadzalewowej Łyny. Teren jest lekko pofałdowany, ograniczony od północy i wschodu stokami wysoczyzny, co daje złudzenie otoczenia wałami (ryc. 4 b). Od zachodu granicą jest wał morenowy, będący kontynuacją utworu geologicznego, na którym posadowiono „grodzisko”. W ten sposób wykorzystano naturalne walory obronne i osadnicze miejsca. W przeszłości mogło ono spełniać być może rolę refugium dla zagrożonych mieszkańców osady, więc zwyczajowa nazwa gród, zamek (*Schloss*) nie była pozbawiona podstaw. Jak ustalił R. Klimek, pierwszy takiego skojarzenia dokonał chyba Leonard Fromm, który w pobliżu „Diabelskiego Mostu” odnalazł fragmenty ceramiki i żelazny haczyk do połowu ryb, kojarząc to z wcześniejszymi odkryciami Pfeiffera i Köllnera¹⁴.

Historia rozpoczęcia badań archeologicznych związana jest z przeprowadzeniem w 2006 r. głębokiej orki leśnej,

¹³ Hoffmann 1998: 192.

¹⁴ Klimek 2013: 14.



Ryc. 4. Olsztyn – Las Miejski: a) numeryczny model terenu (oprac. P. Wroniecki) i b) model hipsometryczny 3D (oprac. J. Miałdun). Naturalna forma sztucznie przekopana i wykorzystana ze względu na walory obronne

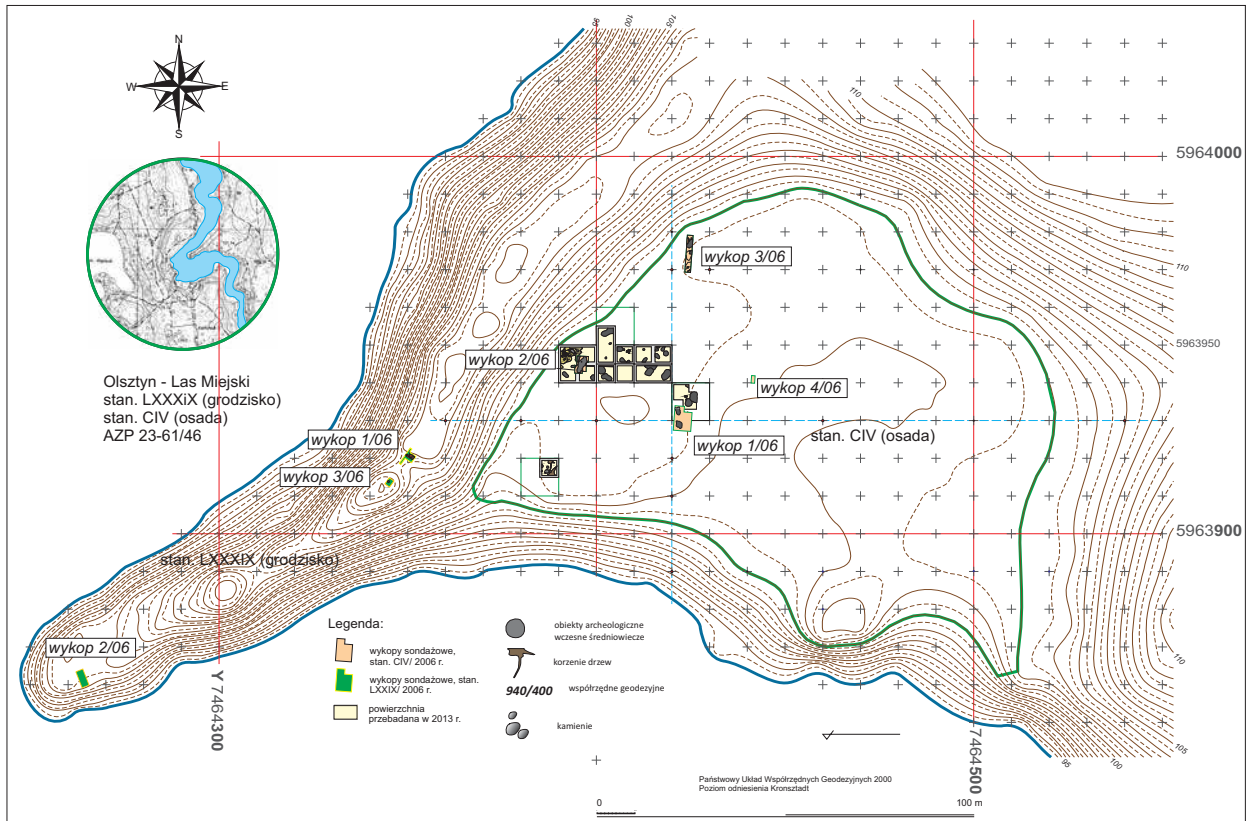
Fig. 4. Olsztyn – City Forest: a) digital model of the terrain (elaborated by P. Wroniecki), and b) hypsometric 3D model 3D (elaborated by J. Miałdun). Natural form of landscape intentionally dug and used due to its' defensive qualities

celem utworzenia nowych nasadzeń¹⁵. W ten sposób po raz pierwszy na powierzchni znalazła się bardzo duża ilość ceramiki pochodzącej z naruszonych warstw kulturowych

¹⁵ Ten przykład ilustruje jak ważne jest wykonywanie nadzorów archeologicznych na terenie zalesionym. W tym przypadku (jeszcze przed regulacją prawną w tym zakresie) nie do przecenienia była czujność i interwencja ówczesnego społecznego opiekuna zabytków R. Klimka oraz inicjatywa zarządu Lasu Miejskiego w osobie dyrektora Jana Bronowskiego. Spowodowało to zainteresowanie obiektem prezydenta miasta i służb konserwatorskich.

i obiektów osadniczych. Dostrzegając znaczenie odkrycia dla poznania najdawniejszych dziejów ziemi olsztyńskiej, wysłany został niezwłocznie raport na ręce ówczesnego prezydenta Olsztyna. Jeszcze tego samego roku przeprowadzono w niewielkim zakresie badania sondażowe, rozpoczynając od prac geodezyjnych (ryc. 5)¹⁶.

¹⁶ Badania finansowane były przez miasto Olsztyn. Zrealizowano je na wniosek olsztyńskiego oddziału Stowarzyszenia Naukowego Archeologów Polskich przy udziale Towarzystwa Naukowego Pruthenia



Ryc. 5. Olsztyn – Las Miejski. Planigrafia znalezisk i lokalizacja wykopów (oprac. J. Miądun i A. Koperkiewicz)

Fig. 5. Olsztyn – City Forest. Planigraphy of finds and location of trenches (elaborated by J. Miadun and A. Koperkiewicz)

Pierwszy z wykopów usytuowano w centralnej części półwyspu (st. LXXIX) przecinając jedną z dwóch domniemanych fos (ryc. 6). Obserwacja profili pozwoliła rozróżnić pięć poziomów nawarstwień. Powstały one wskutek procesów erozyjnych, wypełniając i niwelując z biegiem czasu zagłębienie fosy. Na głębokości około 60 cm od powierzchni terenu odstoniето w promieniu jednego metra koncentrację ceramiki wczesnośredniowiecznej. Depozyt ten powstał wtórnie na dnie wypełnionej już częściowo fosy. Były to fragmenty naczyń zasobowego wykonanego w technice całkowitego obtaczania i zdobionego poziomymi żłobieniami.

W sondażu na kulminacji wyniesienia (wykop 2/06) pod humusem stwierdzono obecność warstwy kulturowej o grubości 30 cm. Zawierała ona sedyment piasku (o ciemnym, szaro-żółtym odcieniu, z licznymi przebarwieniami), drobne kamienie oraz nieliczne fragmenty ceramiki wczesnośredniowiecznej. Poniżej zaobserwowano jeszcze dwie układające się w poziomie warstwy

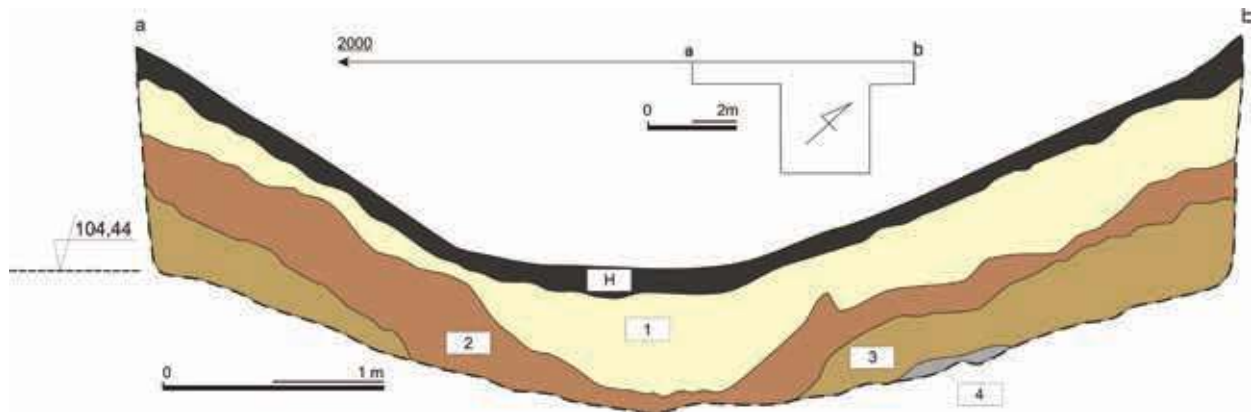
antropogeniczne z zawartością węgli drzewnych, choć bez materiału zabytkowego. Na jednym z przekrojów zaobserwowano współczesny dół postępowy, przecinający starsze nawarstwienia. W narożniku południowym widać było niezaburzony układ stratygrafii poziomej. Najniżej położona warstwa, o miąższości około 25 cm, przesycona była dużą ilością spalenizny i węgli drzewnych. Czytelna była stromizna skarpy i zrzucone na nią pokłady gliny, zawierającej dużą ilość kamieni oraz węgli drzewnych (ryc. 7). W miejscu tym można domyślać się istnienia bliżej nieokreślonej konstrukcji drewniano-ziemnej, która uległa spaleniю, a potem zawaleniu na strome stoki¹⁷.

W południowo-wschodniej partii wypłaszczenia cypla (wykop 3/06) pod próchnicą odstoniето resztki kamiennego bruku. Pomiędzy kamieniami znajdowano pojedyncze drobne fragmenty ceramiki wczesnośredniowiecznej.

Pozostałe wykopy założono w niecce, na terenie osady (st. CIV). Pod grubą warstwą leśnej próchnicy przesyconej zabytkami (głównie ceramiką, ale także zabytkami metalowymi), znajdowały się pozostałości spągów obiektów wczesnośredniowiecznych, czytelne dopiero na poziomie naturalnego podłoża. Warstwa kulturowa została częściowo zniszczona głęboką orką leśną. Zaskoczeniem było pozyskanie stosunkowo dużej liczby przedmiotów, takich

i Zakładu Archeologii Uniwersytetu Gdańskiego. Uczestniczyła w nich grupa studentów wolontariuszy z Uniwersytetu Warmińsko-Mazurskiego w Olsztynie, członków Towarzystwa Naukowego Pruthenia, Studenckiego Koła Badań Podwodnych z Uniwersytetu Mikołaja Kopernika w Toruniu oraz studentów Zakładu Archeologii Uniwersytetu Gdańskiego.

¹⁷ Hoffmann i Koperkiewicz 2007: 178-185.



Ryc. 6. Olsztyn – Las Miejski, st. LXXIX (grodzisko). Wykop nr 1/06 06. Przekrój pierwszej fosie (oprac. A. Koperkiewicz)

Fig. 6. Olsztyn – City Forest, site LXXIX (stronghold). Trench no 1/06. Cross-section of the first moat (elaborated by A. Koperkiewicz)



Ryc. 7. Olsztyn – Las Miejski, st. LXXIX (grodzisko). Wykop nr 1/06 na kulminacji półwyspu, przy pierwszej fosie (fot. A. Koperkiewicz)

Fig. 7. Olsztyn – City Forest, site LXXIX (stronghold). Trench no 1/06 on the summit of the peninsula, by the first moat (photo by A. Koperkiewicz)

jak noże, krzesiwa, rozcieracze, groty strzał i fragmenty ozdób brązowych, w tym zawieszka z krzyżem. Masowo występowały fragmenty ceramiki wczesnośredniowiecznej. W sąsiedztwie obiektu nr 3/06 znaleziono trzy dirhamy w doskonałym stanie zachowania. Wypełnisko jamy stanowiły warstwy przemieszane ze spalenizną i zawierające fragmenty naczyń całkowicie obtaczanych, noże oraz kłamy haczykowate (ryc. 8)¹⁸.

Zaskakująco duża liczba pozostałości ceramiki, zabytków metalowych, jak i rozległość założenia sugerowały, że musiało być to ważne centrum osadnicze w dorzeczu środkowej Łyny, a z pewnością najważniejszy z ośrodków założonych tak blisko miejsca, gdzie później lokowano Olsztyn. Osadnicy pruscy uczestniczyli zapewne w dalekosiężnej wymianie handlowej między Orientem

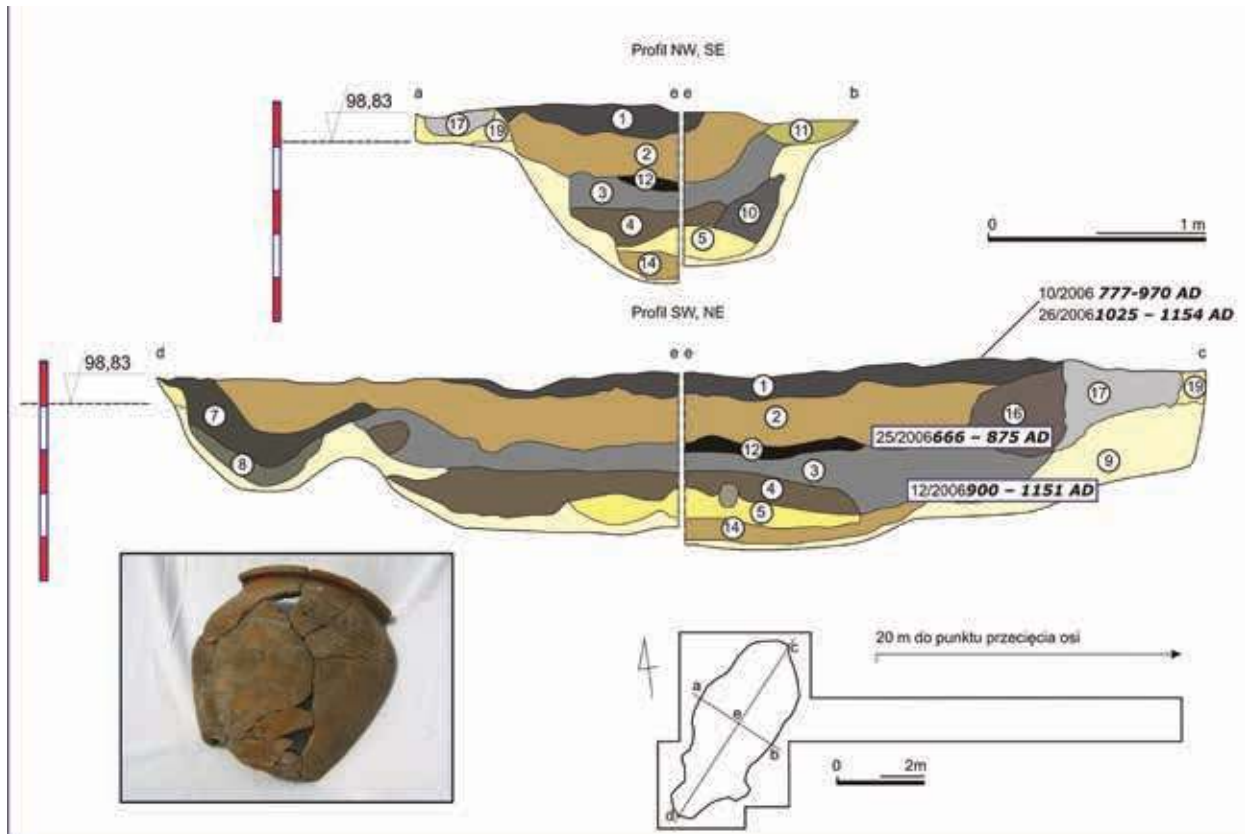
a Skandynawią, co poświadczały znaleziska monet abbasydzkich. Sprzyjało temu dogodne położenie całego kompleksu nad Łyną, która dzięki swemu ujściu do Pregoty i dalej do Bałtyku mogła spełniać funkcję arterii komunikacyjnej, prowadzącej w głąb ziem pruskich. Już wstępne wyniki badań stanowiska pozwoliły ustalić, że główną fazę zasiedlenia należało wiązać z tzw. grupą olsztyńską ze schyłkowej fazy okresu wędrówek ludów i z kontynuacją osadnictwa w głąb wczesnego średniowiecza¹⁹.

W ramach międzynarodowego projektu prace na stanowisku wznowiono w 2013 r.²⁰ Zaplanowano wówczas

¹⁸ W tym przypadku nie korespondują ze sobą znaleziska monet z pocz. IX w. wokół obiektu oraz ceramiki z obiektu o chronologii co najmniej z końca X w.

¹⁹ Hoffmann i Koperkiewicz 2007: 180-185.

²⁰ Okazją do wznowienia badań w 2013 r. było włączenie się przez Towarzystwo Naukowe Pruthenia w Olsztynie w realizację międzynarodowego projektu *Lagoons as crossroads for tourism and interactions of peoples of South-East Baltic: from the history to present. CROSSROADS 2.0* w ramach programu Unii Europejskiej Litwa – Polska - Rosja - Program Współpracy Transgranicznej 2007-2013. Uczestniczyło w nim 13 partnerów z Rosji (Obwód Kaliningradzki), Litwy i Pol-



Ryc. 8. Isztyn – Las Miejski, st. CIV (osada). Wykop nr 2, ob. nr 3/06, z wynikami badań radiowęglowych i wyklejonym naczyniem (oprac. A. Koperkiewicz)

Fig. 8. Olsztyn – City Forest, site CIV (settlement). Trench no 2, feature 3/06, with results of radiocarbon dating and reconstructed vessel (photo by A. Koperkiewicz)

przebadanie obszaru o powierzchni 400 m². W dalszym ciągu stanowiło to znikomy procent powierzchni reliktowej, ale pozwoliło lepiej rozpoznać strukturę przestrzenną osady. Prace terenowe poprzedzono systematyczną penetracją powierzchni detektorami metali²¹, a następnie

wykonaniem planigrafii znalezisk²². Wykopy sytuowano w miejscach największej koncentracji zabytków.

Na podstawie znalezisk powierzchniowych utworzono mapę rozrzutu zabytków metalowych w obrębie stanowiska. Na całym obszarze niecki terenowej znajdowano wiele fragmentów przedmiotów metalowych, takich jak np. żelazne noże, krzesiwa, groty strzał, a także zabytków wykonanych z brązu - elementów ozdób i przedmiotów codziennego użytku. Zabytki znajdowały się zwykle w warstwie humusu, na niewielkiej głębokości. Kolejne monety arabskie koncentrowały się w pobliżu znalezisk z 2006 r., choć występowały także na pozostałym obszarze.

Łącznie w 2006 i 2013 r. zidentyfikowano 48 obiektów osadniczych, z których większość chronologicznie należy wiązać z okresem wczesnego średniowiecza (ryc. 9). Na zachodzie osady, w pobliżu podstawy stoku półwyspu, odsłonięto układ nawarstwień kulturowych datowanych na wczesną epokę żelaza. Zawierały one w jednym skupieniu kilkaset fragmentów ceramiki, ale nie udało się

ski. Za koordynację projektu odpowiedzialny był dr B. Radzicki z UWM w Olsztynie. Przewidziano badania archeologiczne na stanowiskach o zbliżonej chronologii prowadzone w Olsztynie i na Półwyspie Sambijskim w miejscowości Kaup prowadzone równoległe przez Prof. V. Kulakowa. W badaniach olsztyńskich, prowadzonych od 6 maja do 17 czerwca 2013 r., brała udział grupa rosyjskich studentów z Uniwersytetu Immanuela Kanta w Kaliningradzie oraz studentów litewskich z Uniwersytetów w Kłajpedzie i w Wilnie. Partnerem ze strony polskiej byli studenci z Instytutu Archeologii Uniwersytetu Gdańskiego oraz historii Uniwersytetu Warmińsko-Mazurskiego w Olsztynie. Po raz kolejny badania Lasu Miejskiego zyskały wsparcie Prezydenta Miasta Olsztyna. W trakcie trwania ekspedycji stanowisko lustrowali przedstawiciele Wojewódzkiego Konserwatora Zabytków w Olsztynie prowadzący procedurę objęcia go ochroną prawną poprzez wpis do rejestru zabytków.

²¹ Prospekcja powierzchni z zastosowaniem detektorów metali prowadzona była pod kierunkiem A. Troncika z grupą Warmińsko-Mazurskiego Stowarzyszenia Historyczno-Kolekcjonerskiego.

²² Rejestrację znalezisk na bazie mapy warstwicowej autorstwa dr inż. J. Miałduna wykonali dr A. Dumalski i mgr K. Hejbdzka z Instytutu Geodezji i Kartografii UWM w Olsztynie.

Ryc. 10. Olsztyn – Las Miejski, st. CIV (osada). Wczesnośredniowieczne jamy osadnicze nr 22 i 23/13 na poziomie ich stropów (photo by A. Koperkiewicz)

Fig. 10. Olsztyn – City Forest, site CIV (settlement). Early Medieval settlement pits no 22 and 23/13 at the level of the top of their fills (photo by A. Koperkiewicz)



- biżuteria: pierścionki (3 sztuki), paciorki (4 sztuki), bransolety (2 sztuki) i fragmenty nieokreślonych ozdób (5 sztuk),
- elementy stroju: sprzączki (5 sztuk), zapinki podkowiaste (3 sztuki), zapinka kuszowata, szpila z tabędzią szyjką i rozklepaną zawiniętą główką, zapięcia (3 sztuki), klamry haczykowate (5 sztuk),
- monety i płacidła: dirhamy (16 sztuk), monety nowożytnie (3 sztuki) i dwudziestowieczne (3 sztuki), grzywny grotowate (3 sztuki),
- przedmioty związane z rzemiosłem i handlem: tygłe odlewnicze (2 sztuki), spiek szklany, szlaka, półwytwory z poroża (2 sztuki), przęśliki (3 sztuki), szydło, fragment wagi szalkowej(?),
- przedmioty związane ze zdobywaniem i przetwarzaniem żywności: haczyki na ryby (11 sztuk), żarna (2 sztuki), rozcieracz,
- przedmioty codziennego użytku: noże (35 sztuk), osełki (3 sztuki), krzesiwa (2 sztuki), okucia wiader (2 sztuki).

Najstarsze ślady intensywnego osadnictwa pochodzą z połowy I tys. przed Chrystusem i wiązać je można z kulturą kurhanów zachodniobałtyjskich. Dość czytelny jest schyłek okresu wędrówek ludów (VI-VII w). Wydaje się, że może to być jedno z najbardziej reprezentatywnych stanowisk osadniczych tzw. grupy olsztyńskiej, określanej dawniej też jako kultura mazursko-germańska lub staropruska.

Schyłek okresu wędrówek ludów i początki okresu wczesnego średniowiecza na Mazurach określane są w chronologii względnej na fazę E3 wg datowania J. Okulicza i J. Kowalskiego, a zatem jest to okres około drugiej połowy VII w. po Chr.²³ Chronologia ta wyznaczona jest przez zjawisko zaniku cmentarzysk specyficznej grupy kulturowej, określanej w literaturze archeologicznej jako

grupa olsztyńska. Ludność tej kultury znana jest głównie z bogatych, płaskich cmentarzysk ciałopalnych. Było to zjawisko kulturowe zwracające uwagę niezwykle bogatą i zróżnicowaną kulturą materialną, świadczącą o przenikaniu się wielu impulsów kulturowych czy powiązań etnicznych m.in. ze światem awarskim. Ciągłe nie rozwiązane są problemy chronologii i przyczyn załamania się tej formacji kulturowej. Niektórzy rozwiązania tej zagadki upatrują w utracie dalekosiężnych powiązań gospodarczych w wyniku ekspansji Słowian. O wiele mniej wiadomo o miejscach osiedlania się. Jednym z najważniejszych rozpoznanych stanowisk osadniczych związanych z tą kulturą jest stanowisko w Pasymiu²⁴, czy np. w Wyszemborku. Szczególnie to ostatnie ma duże znaczenie porównawcze dla badań Lasu Miejskiego ze względu na opracowany materiał ceramiczny i licznie występujące analogie. Większość obiektów osadniczych wiązana jest z grupą olsztyńską. Są to najczęściej owalne jamy, często o prostokątnym przekroju i średnicy do około 1 m. Liczne znaleziska ziaren złóż sugerują, że należy je interpretować jako pozostałości jam zasobowych i spichlerzy. Obok jam występują także paleniska²⁵.

Na stanowisku Olsztyn – Las Miejski obiekty osadnicze mają kształty owalne, najczęściej wydłużone, o wymiarach do 2-3 m długości i 1-2 m szerokości. Średnia głębokość to około 0,5 do 1 m. Wypełniska noszą ślady działania wysokiej temperatury. Zawierają przepaloną glinę i piasek oraz duże ilości spalenizny. Pozwoliło to wykonać całą serię analiz radiowęglowych z prób pobieranych w niezakłóconych partiach obiektów. Czasem z jednego miejsca

²³ Kowalski 2000: 203–266; Szymański 2013b: 165 ryc. 92.

²⁴ Odoj 1968: 113-146. W 2016 r. kontynuację badań na tym stanowisku podjął dr S. Wadył z Uniwersytetu Warszawskiego.

²⁵ Szymański 2003a: 63-125.

pobierano i wykonano kilka analiz. Uzyskano kilkanaście wyników, które wymagają krótkiego komentarza²⁶.

Większość prób została datowana na okres wczesnego średniowiecza. Stosunkowo duża liczba analiz z różnych obiektów pozwoliła na pozytywną weryfikację wyników dla całej serii. W dwóch przypadkach otrzymano daty skrajnie odbiegające od średniej. Pierwszy z nich to obiekt 9 (wykop nr 3/2006), usytuowany pod stokiem, w północno-zachodniej części osady. Strop uchwycono na znacznej głębokości, w nawarstwieńcach datowanych ceramiką od wczesnej epoki żelaza po okres wpływów rzymskich. Kalibrowana data dla próby obejmuje okres pomiędzy schyłkiem VIII a III w. przed Chr. Drugi skrajny przypadek to obiekt nr 17 z 2013 r. W tym przypadku datowanie próby obejmuje czasy między końcem XVIII w. a poł. XX w. po Chr. W pierwszym przypadku data zdaje się być weryfikowana materiałem zabytkowym. W drugim przypadku obiekt, zawierający dość dużo substancji organicznej i różniący się strukturalnie od pozostałych, okazał się dołem pokorzeniowym. Na okres pierwszych trzech wieków po Chr. datowany był obiekt nr 1/2006 r. Tym samym wiarygodność pozostałych wyników znacznie wzrasta. W 2006 r. odsłonięto podłużną jamę (obiekt nr 3/06) w zachodniej części stanowiska. Wokół niej, choć nie bezpośrednio wewnątrz, koncentrowały się znaleziska dziewięciu monet arabskich, z których najmłodszą wybito za panowania dynastii Abbasydów w pocz. IX w. Choć monety nie pochodzą z wnętrza wypełniska jamy, należą do jej kontekstu. Uzyskano w tym przypadku aż cztery daty radiowęglowe. Kontekst stratygraficzny wydawał się być nienaruszony, jednak - jak się okazało - następstwo dat było odwrócone (ryc. 8). Z najniższej partii uzyskano datę X-XI w. po Chr., powyżej z centralnej części obiektu zwarta warstwa spalenizny datowana została na lata 666–875 po Chr., zaś z najwyższej partii wypełniska uzyskano datę 777–970 po Chr. Biorąc pod uwagę aż trzy wyniki zawierające wysokie prawdopodobieństwo datowania na IX w. i mając na uwadze kontekst znalezisk numizmatycznych można przyjąć, że datowanie tego obiektu powinno odnosić się do IX i pocz. X w. Kolejny zestaw to dwie jamy pokonsumpcyjne (obiekty nr 22 i 2/2013) o zbliżonym kształcie, znajdujące się obok siebie, z podobnym układem nawarstwień (ryc. 10). Daty uzyskane z tych obiektów również oscylowały wokół przełomu IX i X w. Następny zespół obiektów położony był nieco dalej na wschód, na arze 940/410. Były to trzy owalne, duże jamy, o numerach 25, 48 i 36/13. Obiekt 25/13 przecinał obiekt 48/13. W tym przypadku chronologia względna pozostała spójna z zapisem stratygraficznym. Pierwszy z obiektów był młodszy (1045–1248 po Chr.), a drugi starszy. Z obiektu 48/13 wykonano datowanie dwóch osobnych próbek, przy czym obie dały zbliżone wyniki (726–941 i 775–941 po Chr.). Datowanie obiektu nr 36/13 zamyka się w przedziale chronologicznym między

latami 778 i 884 po Chr. Podobnie było w przypadku relacji między obiektami 26/13 i 47/13. Obiekt 26/13, z datowaniem 901-1026 r. po Chr., przecinał obiekt nr 47/13, datowany w przedziale lat 880–1118 po Chr.

Podsumowując, okazuje się, że wyniki analiz radiowęglowych dla obiektów wczesnośredniowiecznych zamykają się w przedziale chronologicznym pomiędzy końcem VII i początkiem XII w. po Chr. Dominuje przedział między połową VIII i połową X w. W tym czasie na pograniczu Słowian i Prusów w IX-XI w. funkcjonowała skandynawska osada Truso. Rozwijała się ona dynamicznie, głównie dzięki powiązaniom Wikingów z całą Europą i z Orientem, aby podupaść na przełomie X/XI w. wskutek istotnych zmian politycznych na mapie tego regionu²⁷. Oddziaływanie Truso sięgało niewątpliwie głęboko w terytorium Prusów. Wydaje się, że to był także czas największej aktywności i rozwoju osady nad Łyną.

W kontekście problematyki chronologii stanowiska na szczególną uwagę zasługują zabytki odnalezione w trakcie eksploracji i prospekcji powierzchniowej (ryc. 12). Jednym z nich jest fragment zapinki kuszowatej, charakterystycznej dla znalezisk sambijskich, a także pochówków grupy olsztyńskiej (ryc. 12 c). Zachowany element kabłąka ze sprężynką i cięciwą posiada dwa „pierścienie” srebrne oraz misternie zdobioną srebrną okładzinę, m.in. rytym motywem ukośnego krzyża w prostokątnym polu. Zabytek ten posiada dobre analogie pośród zapinek z cmentarzyska w Oberhof pod Kłajpedą, ale także w Kielarach i Tumianach²⁸. Forma ta była typowa dla fazy E, czyli dla późnego okresu wędrówek ludów, a zatem - opierając się na chronologii J. Kowalskiego - występowała do około schyłku drugiej poł. VII w. po Chr.²⁹

Kolejnym zabytkiem bez kontekstu obiektowego, bo znalezionym w trakcie prospekcji powierzchniowej wykrywaczami metalu, ale mającym znaczenie dla ustalania chronologii stanowiska jest ostroga (ryc. 12 f, 13). Jest to egzemplarz o żelaznym kabłąku i kielichowatym brązowym bodźcu, zdobionym trzema guzkami. Podobne egzemplarze znane są z Birki i datowane na X w., z terenów Polski m.in. z Klimów na Podlasiu i Radochówki nad Świdrem³⁰ i datowane - w zależności od autorów - najczęściej na IX/X lub VIII/IX w. Z Czaplina na Białorusi znany jest okaz datowany na poł. IX w.³¹, a z miejscowości Udraj k. Nowogrodu - datowany na XI w.³² Niektórzy badacze zwracają uwagę na związek tego typu zabytków ze szlakami wodnymi³³. Najbliższą terytorialnie analogią pozostaje znalezisko tego typu ostrogi z Pasymia, datowane przez autora badań (może zbyt wcześnie) na VIII/IX w.³⁴ Znalezisko olsztyńskie w kontekście występowanie

²⁶ Badania wykonał prof. Marek Krapiec w Laboratorium Datowań Bezwzględnych w Krakowie (por. Krapiec 2013).

²⁷ Brather i Jagodziński 2012: 302.

²⁸ Aberg 1919: 15-17 ryc. 6-8; Jakobson 2009: 397-414.

²⁹ Kowalski 1991: 72 ryc. 2.

³⁰ Błoński 2003: 109-114.

³¹ Żak i Maćkowiak-Kotkowska 1988: 4.

³² Dulnicz 2009: 735-751.

³³ Błoński 2003: 114.

³⁴ Odoj 1968: 126-128 ryc. 1.

Ryc. 11. Olsztyn – Las Miejski, st. CIV (osada). Wybór ceramiki: a) ob. 2/06; b) ob. 25/13; c) ob. 47/13 (fot. M. Pacholec)

Fig. 11. Olsztyn – City Forest, site CIV (settlement). A selection of pottery: a) feature 2/06; b) feature 25/13; c) feature 47/13 (photo by M. Pacholec)



monet arabskich postrzegać można jako ślad największej aktywności osadniczej w tym miejscu w IX i X w. po Chr.

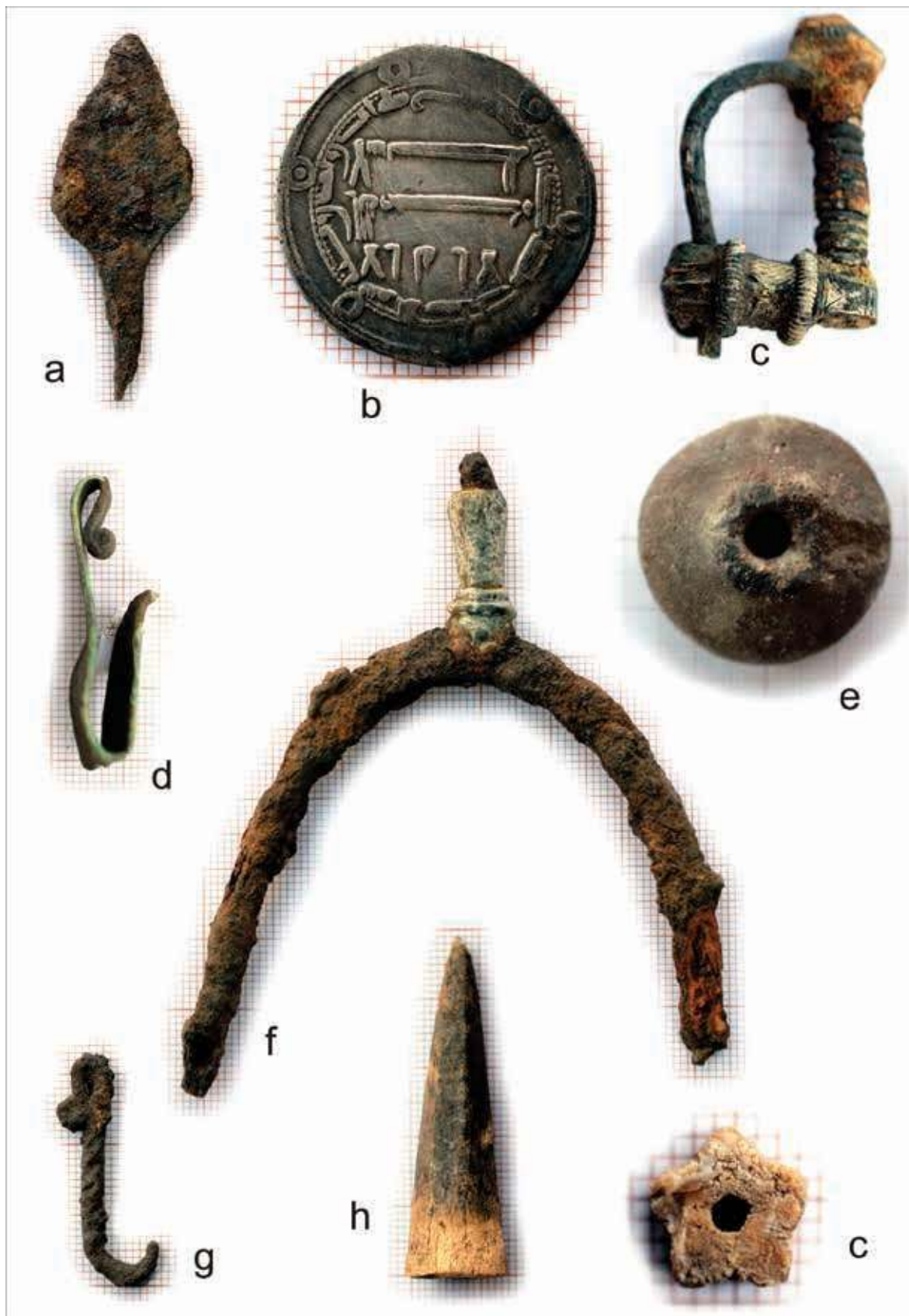
Najbardziej spektakularne odkrycie to stosunkowo duża liczba monet arabskich (także połówek i ćwiartek) pochodzących może z jednego depozytu (ryc. 12 b). Główna koncentracja (dziewięć monet) występuje wokół obiektu 3/06, a pozostałe znajdowano w promieniu 80 m od tego miejsca. Zwraca uwagę fakt, że większość stanowią egzemplarze całe i połówki. Wszystkie należą do zwartego zespołu monet kalifów wczesno-abbasydzkich, emitowanych w latach 753–822 w mennicach wschodnich kalifatu, m.in. w al-Kufa, Madinat as-Salam, al-Muhammadiyya, Madinat Balh i Madinat Samarqand. Przyjmuje się, że główna fala napływu srebra na ziemię pruskie to początek IX w. Najmłodsza z monet wybita została w drugiej dekadzie IX w., a zatem stanowi ona *terminus post quem* dla możliwości napływu tej serii monet nad Łynę. Najstarszy dirham wybity został w al-Kufa za panowania kalifa as-Saffaha (132-136 = 750-754) lub al-

-Mansura (136-158 = 754-775). Najmłodszy dirham - kalifa al-Ma'muna - wybity został w roku 202 AH (817/818 AD) w Madinat as-Salam³⁵.

Czy wykorzystano możliwość bezpośredniego kontaktu, jaki dawało położenie osady nad rzeką powiązaną z siecią dalekosiężnych, wodnych szlaków komunikacyjnych? Czy przy obiegu kruszcu korzystano z pośrednictwa aglomeracji typu Truso? Są to kluczowe pytania dotyczące funkcjonowania osadnictwa pruskiego na zapleczu wielkich emporiów handlowych, na które nie można jeszcze jednoznacznie odpowiedzieć.

Pośród zabytków zdarzają się inne, nie tak może oczywiste, ale wskazujące na wymienione powiązania. Są to m.in. wyroby szklane, nieliczne, bo reprezentowane przez okruchy niebieskiego szkła oraz jeden paciorek. Ten ostatni stanowi przykład paciorka dwusegmentowego, wykonanego z żółtego, lekko przezroczystego szkła i wykonanego techniką wydmuchiwaną. Egzemplarze

³⁵ Malarczyk 2014.

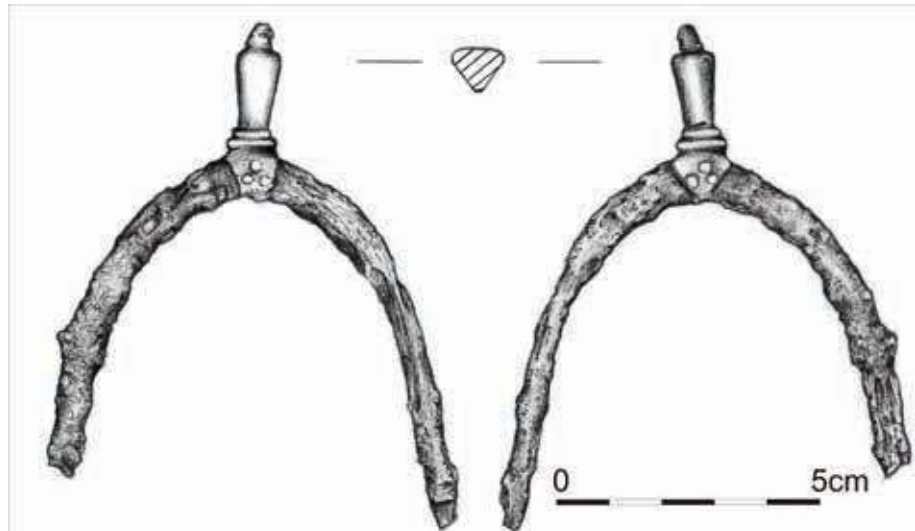


Ryc. 12. Olsztyn - Las Miejski, st. CIV (osada). Wybór zabytków z badań w 2013 r. (fot. A. Koperkiewicz)

Fig. 12. Olsztyn - City Forest, site CIV (settlement). Selection of finds from excavations in 2013 (photo by A. Koperkiewicz)

Ryc. 13. Olsztyn – Las Miejski, st. CIV (osada). Ostroga wczesnośredniowieczna (IX/X w. po Chr.), znalezisko z powierzchni (rys. H. Michel)

Fig. 13. Olsztyn – City Forest, site CIV (settlement). Early Medieval spur (9th–10th cent. AD). found on the surface (drawn by H. Michel)



takie występują w Janowie Pomorskim, gdzie badacze skłonni są identyfikować lokalną pracownię szklarską. Technikę wykonania zdradza szczególnie technologiczny charakterystyczny się równoległymi liniami na powierzchni i pęcherzykami gazowymi układającymi się wzdłuż dłuższej osi. Wnętrza paciorka nie tworzy kanalik lecz pusta przestrzeń, zaś jego ścianki są bardzo cienkie. Analogie polskie pochodzą z Bardów, Świelubia i Kołobrzegu na Pomorzu oraz z Janowa Pomorskiego, gdzie datowane są na IX w.³⁶ Po raz kolejny zarówno ogólne ramy chronologiczne, jak i kierunek importu skłaniają do poszukiwania źródła napływu różnych dóbr nad Łynę z tego właśnie ośrodka.

O typowo osadniczym charakterze osady świadczą przedmioty życia codziennego, typowe dla tego okresu w strefie południowego Bałtyku. Oprócz dość uniwersalnych form żelaznych noży, na uwagę zwracają znaleziska haczyków na ryby (ryc. 12 g). Ich kolekcja liczy 11 egzemplarzy różnych typów. Są to okazy - począwszy od najprostszych form - lekko wygięte (grupa I wg Rulewicza), egzemplarze o okrągłym w przekroju trzonku, wygiętym na końcu w uszko i zaopatrzone w żądło (grupa II wg Rulewicza) i w końcu odmiany grupy III o tordowanym trzonku i misternie wygiętym uszku, bez żądła na końcu. Te ostatnie występują na Wolinie od poł. X w.

Uwagę zwracają znaleziska niewielkich przedmiotów, które zwykle posiadają lancetowaty kształt z płaską, czasami zdobioną powierzchnią. Zakończone są z jednej strony haczykiem, a z drugiej zawiniętym uszkiem (ryc. 12 d). Rulewicz zaliczał je do zabytków związanych z rybołówstwem³⁷. W literaturze przedmioty te określane są najczęściej jako klamry haczykowate; występują one szeroko w ośrodkach koncentrujących się na wybrzeżu południowego Bałtyku w IX i X w., takich jak Wolin, Szczecin, Kołobrzeg, Gdańsk, Janów Pomorski, czy Kaup. Z badań olsztyńskich pochodzi kilka żelaznych i brązowych oka-

zów, wszystkie niezdobione. Na podstawie pokaźnego zbioru tego typu zabytków z wczesnośredniowiecznego Gdańska (często zdobionych, z pozostałościami tkaniny)³⁸ oraz znalezisk z Wolina, funkcję przedmiotów powiązano z zapięciem kologii lub zaczepem³⁹. W ostatnim i niepublikowanym jeszcze opracowaniu S. Wadyła, autor uzasadnił tezę, że klamry haczykowate były elementem pasa, pełniąc rolę zawieszki na sakwę lub inne przedmioty. Opowiedział się jednocześnie za ich miejscowym pochodzeniem. Interesujących wniosków dostarcza skartowanie znalezisk tych przedmiotów; widać bowiem wyraźne koncentracje na obszarze Meklemburgii oraz Prus. Nie została ostatecznie wyjaśniona kwestia proveniencji klamer haczykowatych, a natężenie ich występowania wykracza poza strefę Słowiańszczyzny północno-zachodniej. Zabytki te datowane są w przedziale najczęściej od X do XII w.⁴⁰ Analizując mapę trudno nie dostrzec, że miejsca ich znalezienia mają przede wszystkim związek ze stanowiskami położonymi w strefie nadmorskiej lub zapleczem powiązanych arteriami wodnymi. Byłby to może kolejny argument wskazujący, że dla stanowiska olsztyńskiego Łyna jest główną arterią umożliwiającą wymianę i kontakt ze światem zewnętrznym (ryc. 1).

W rezultacie analizy pozyskanych zabytków ruchomych wyróżniają się trzy fazy funkcjonowania osady w olsztyńskim Lesie Miejskim. Stosunkowo nielicznie, lecz wyraźnie reprezentowana jest ceramika z wczesnej epoki żelaza, przede wszystkim ze starszego okresu przedrzymskiego (V-III w. p.n.e.). Znacznie więcej odkryto ceramiki, która pod względem stylistycznym nawiązuje do późnych i bardzo późnych form naczyń zaliczanych dawniej do tzw. kultury mazursko-germańskiej. W obiektach

³⁶ Dekówna i Purowski 2012: 173-178.

³⁷ Rulewicz 1994: 99-129.

³⁸ Informacja ustna pani Ewy Trawickiej z Muzeum Archeologicznego w Gdańsku.

³⁹ Stanisławski i Filipowiak 2013: ryc. 19.

⁴⁰ Dziękuję autorowi - Sławomirowi Wadyłowi - za udostępnienie niepublikowanego tekstu pt. *Klamry do pasa, błystki czy zapinki? Wczesnośredniowieczne klamry haczykowate z ziem pruskich.*

z tą ceramiką współwystępują fragmenty naczyń glinianych o młodszej metryce, które odnieść należy głównie do okresu F i G wg Adalberta Bezenbergera, czyli przedziału czasowego między drugą połową VIII, a przełomem X i XI wieku. W periodyzacji Carla Engla obejmuje to okresy „przedwikiński” i „wikiński” kultury pruskiej. Najwięcej materiału ceramicznego pochodzi najpewniej z okresu określonego przez Engla jako „późnopogański”, a przez Bezenbergera nazwanego okresem H, czyli mieszczącego się między połową XI w., a początkiem XIII stulecia po Chrystusie. W tej grupie ceramiki mieszczą się zarówno naczynia zdobione żłobkami i linią falistą, jak też fragmenty ornamentowane na brzuścu odciskami stempla w kształcie „czterolistnej koniczyny” (ryc. 14l)⁴¹. Na podstawie fragmentów naczyń odkrytych w wykopach założonych w obrębie „grodziska” Zaklęty Zamek, wstępnie przyjąć można, że gródek był formowany dopiero w najmłodszej fazie funkcjonowania całego zespołu osadniczego.

Jak dotąd badania nad ceramiką wczesnośredniowieczną z terytorium Prus napotykały na wiele istotnych problemów, z czego najważniejsze dotyczyły ustalenia jej periodyzacji, możliwości identyfikacji etno-kulturowej, wpływów słowiańskich na rozwój tej ceramiki, współwystępowania ceramiki tradycyjnej ręcznie lepionej z ceramiką obtaczaną i w końcu drogi rozwojowej od schyłku okresu wędrówek ludów po okres średniowiecza⁴².

Liczący prawie 10 tysięcy fragmentów ceramiki zbiór, a przede wszystkim zespoły naczyń zalegających w datowanym radiowęglowo kontekście obiektowym, stanowią pokaźny zasób materiału źródłowego. Szczególnie istotny jest fakt ciągłości osadnictwa w tym miejscu od pradziejów, choć pogłębioną analizę utrudnia brak rozbudowanej stratygrafii miejsca. Stanowisko w Lesie Miejskim może stać się reprezentatywnym, jeśli chodzi o możliwość obserwacji zmian zachodzących w pruskim garnkarstwie wczesnośredniowiecznych. Na łamach literatury archeologicznej od lat toczy się dyskusja o możliwości przeżywania się niektórych form ceramiki związanej z tzw. grupą olsztyńską w głąb wczesnego średniowiecza i koegzystencji dwóch nurtów w technologii wytwarzania ceramiki, a konkretnie współistnienia form tzw. grupy olsztyńskiej czy późnoolsztyńskiej i ceramiki słowiańskiej⁴³. Coraz więcej materiałów wskazuje na to, że tzw. grupa olsztyńska nie kończy się wraz z zaprzestaniem użytkowania charakterystycznych dla niej cmentarzysk. Wsuwanym dawniej sugestiom o wyludnieniu się tego terytorium u schyłku VII w. zdają się przeczyć materiały z grodzisk i osad.

Na stanowisku w Olsztynie bardzo reprezentatywny jest zestaw „klasycznych form” ceramiki wiązanej z grupą olsztyńską, ze spłaszczonymi wylewami i plastycznymi listwami oraz sypaniem tłuczni na dno garnków. Rysuje się jednocześnie podział na dwie grupy, umownie nazywane ceramiką kuchenną i stołową. Tę pierwszą reprezentują dużej wielkości naczynia ręcznie lepiące, o grubych ściankach i powierzchni niewygładzanej, chropowatej. Ich głównym wątkiem ornamentacyjnym, a zarazem znakiem rozpoznawczym jest plastyczna listwa poniżej krawędzi wylewu zdobiona ornamentem paznokciowym, szczypania i odciski palców. Zdobienie palcami spotykane jest na brzuścach i wylewach naczyń. Do drugiej grupy należą naczynia mniejsze, wykonane bardziej starannie i wygładzane, ornamentowanych odciskami stempli, dołkowatych odcisków, sprężynek, czasami rozbudowanych geometrycznych nakłuwanych wzorów. Przeglądając materiał ceramiczny widać bardzo silne analogie do ceramiki z grodziska w Pasymiu i materiałów z Wyszemborka. W przypadku tego drugiego stanowiska dość bliską analogią jest również kontekst występowania ceramiki i podobnych obiektów – dużych, owalnych jam wypełnionych spalenizną⁴⁴.

Przyjmuje się, że ceramika wytwarzana z użyciem koła upowszechnia się w Prusach na przełomie IX i X wieku. W zespołach obiektowych już w sezonie 2006 zauważono jednocześnie obecność ceramiki cienkościennej, całkowicie lub częściowo obtaczanej, zdobionej poziomymi żłobieniami o klasycznie „słowiańskiej” morfologii. Najbliższe analogie występują na stanowiskach w Pasymiu i Wyszemborku. Na uwagę zasługuje, sygnalizowane już dawniej przez J. Okulicza, zjawisko występowania na ziemiach pruskich naczyń nawiązujących do słowiańskiej tzw. ceramiki praskiej⁴⁵. W tym kontekście za szczególnie interesujący należy uznać materiały z ob. 47/15 (ryc. 15)⁴⁶. Na szyjce umieszczono niestarannie wykonany ornament linii falistej. Drugie naczynie, o nieco baniastej formie i lekko wywiniętym wylewie, pokryte jest ornamentem krokwiowym, nawiązując morfologią do wczesnych form zachodniosłowiańskich (np. typu C – Szczecin, Feldberg). Bardzo podobny zestaw ceramiki zidentyfikowano w obiekcie 686/1056/1356 w Wyszemborku. Zwraca tam uwagę charakterystyczny krokwiowy ornament jednego z naczyń, które mimo słowiańskich konotacji traktowane jest jako wyrób lokalny i datowane od VII do IX w. Cały zespół, mimo wątpliwości, określono jako wczesnośredniowieczny⁴⁷. Ceramika z Olsztyna zdaje się potwierdzać taką tendencję. Analogicznie jak w Wyszemborku, w kontekście opisanych naczyń występują ręcznie lepiące naczynia z charakterystyczną

⁴¹ Bardzo bliska analogia znana z grodziska Romowa Góra w Barczewku, to częściowo wtórnie przepalona misa, znaleziona w palenisku z kamienną formą do odlewu srebrnych ozdób lunulowatych; por. Archiwum Działu Archeologii Muzeum Warmii i Mazur w Olsztynie, teczka Barczewko, pow. Olsztyn.

⁴² Wadył 2015.

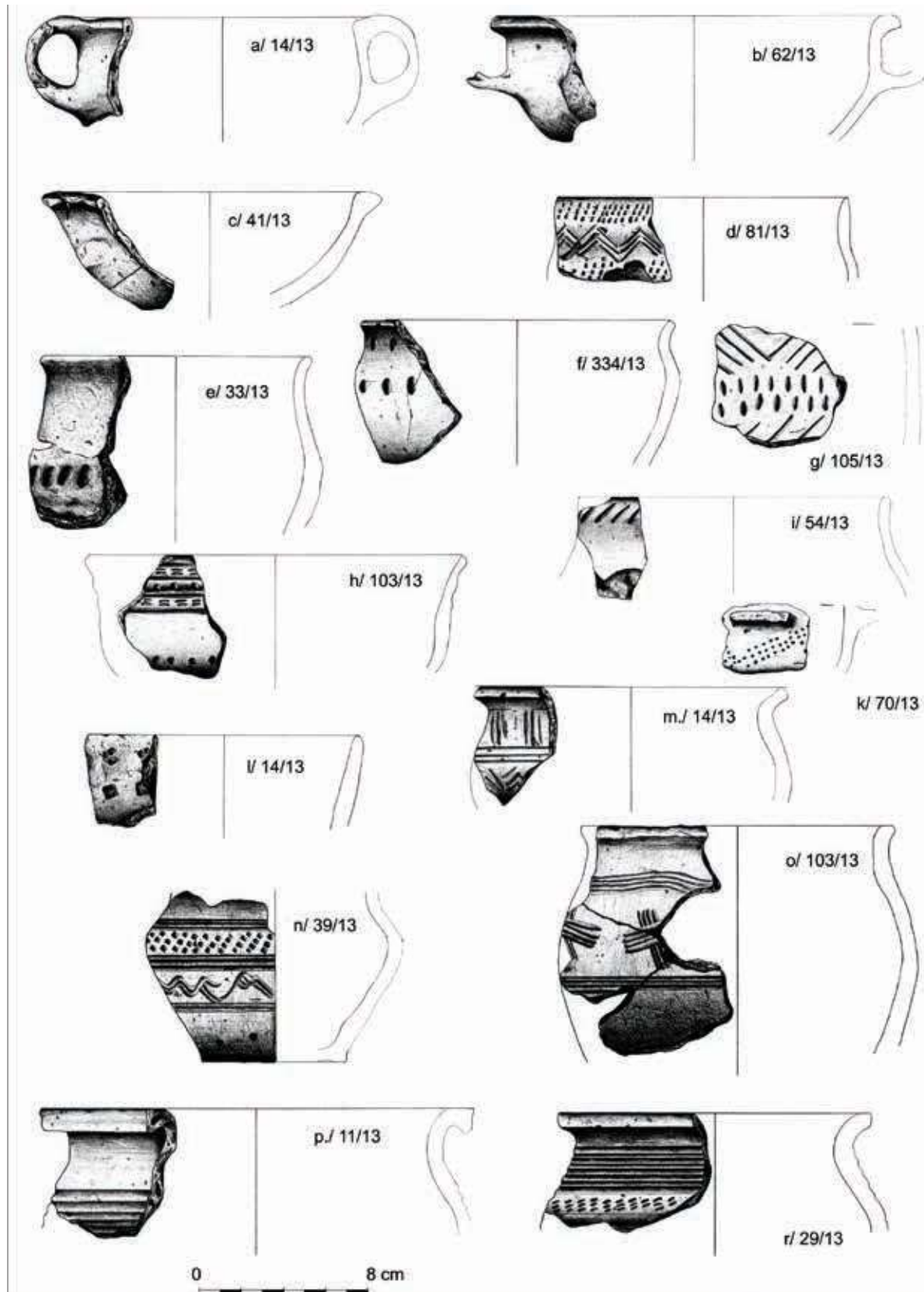
⁴³ Wróblewski i Nowakiewicz 2003: 171.

⁴⁴ Szymański 2013: 164.

⁴⁵ Okulicz 1988: 103-133.

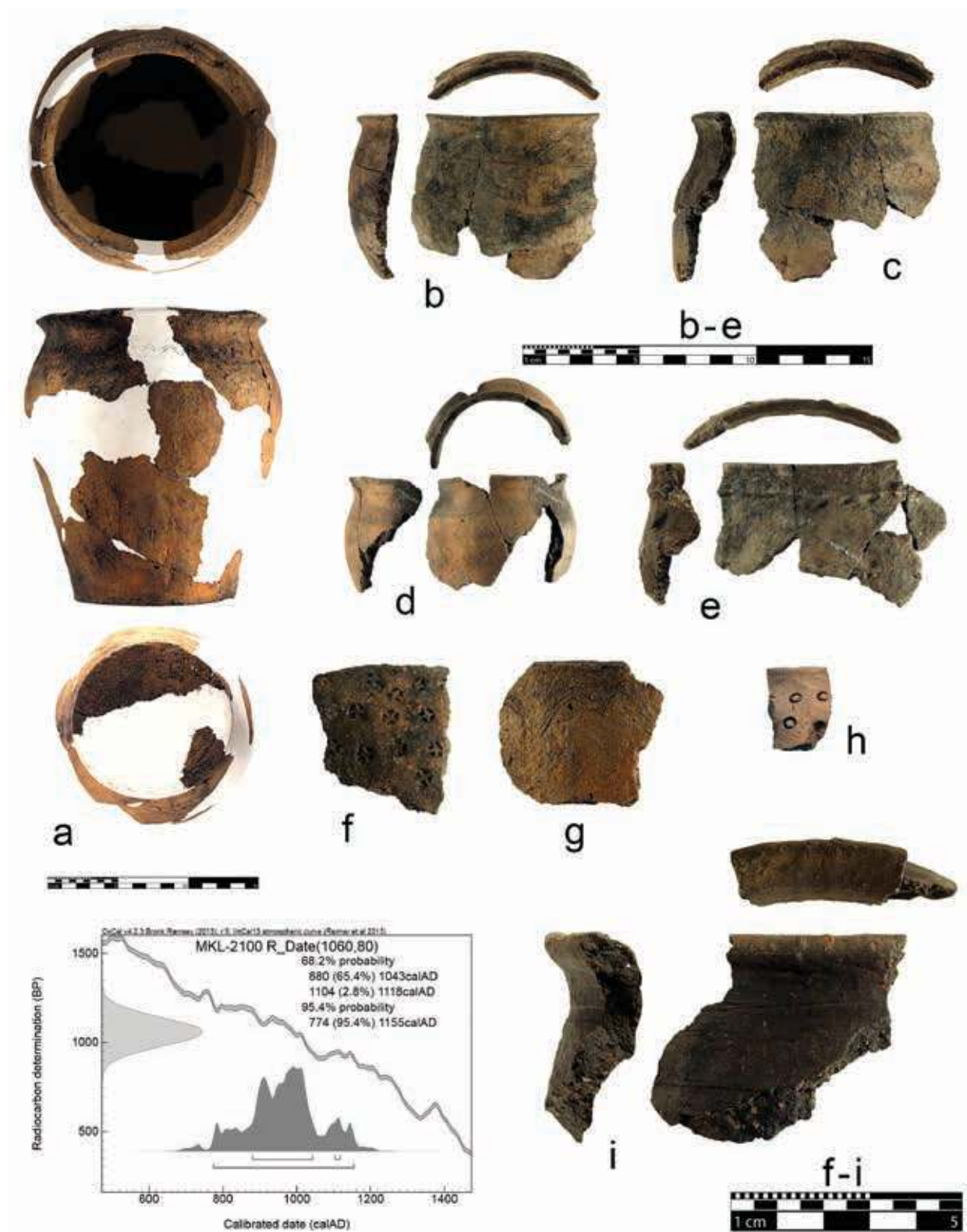
⁴⁶ Trzeba zaznaczyć, że wypełnik ob. 47/13 miało wybitnie jednorodny charakter. Zawierało warstwę silnie nasyconą spalenizną, gdzie obok dużej ilości ceramiki występowały licznie kości bydła, sarny i jelenia ze śladami obróbki rzeźniczej (por. Makowiecki 2015: 116 tab. 1).

⁴⁷ Szymański 2013b: 123-124.



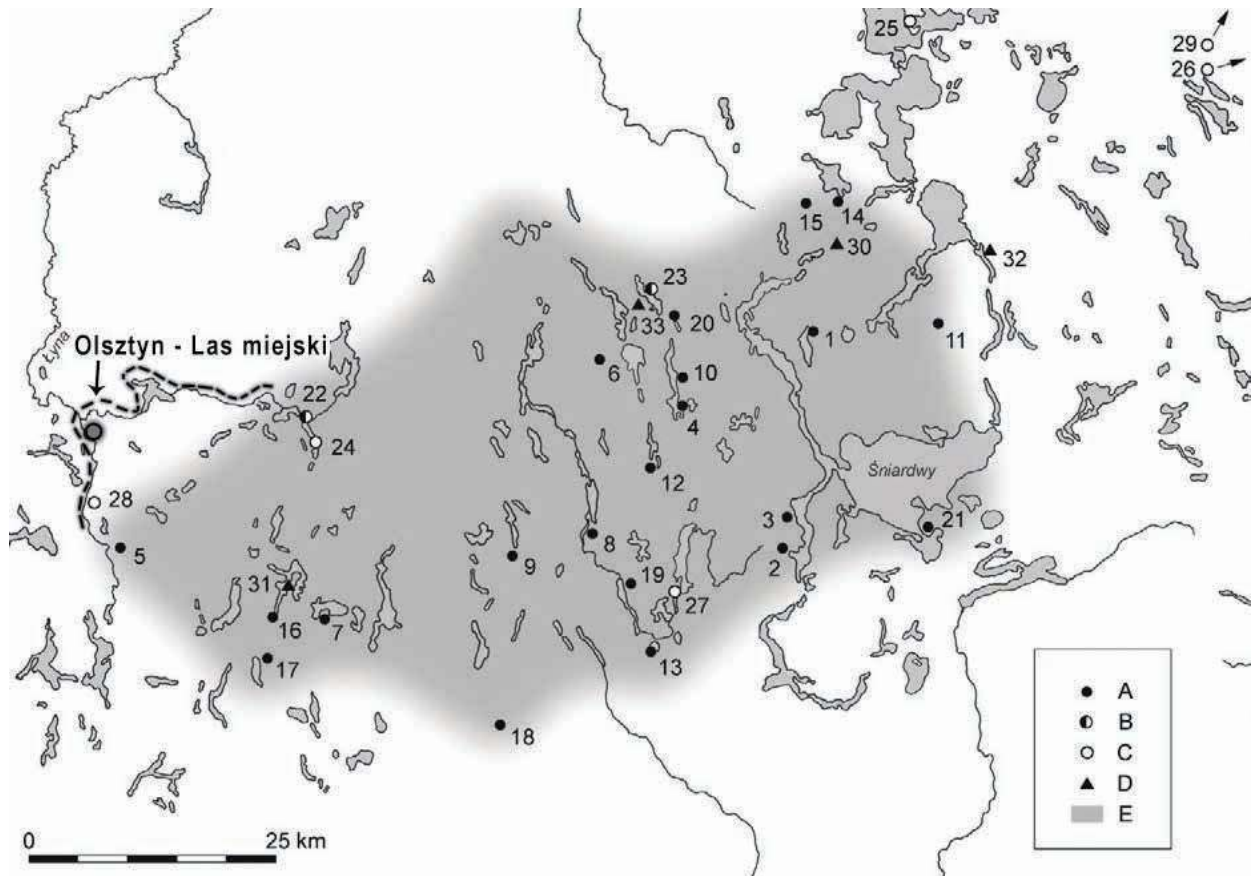
Ryc. 14. Olsztyn – Las Miejski, st. CIV (osada). Wybór ceramiki pradziejowej (a-c) i wczesnośredniowiecznej (rys. D. Sakowicz)

Fig. 14. Olsztyn – City Forest, site CIV (settlement). Selection of Prehistoric (a-c) and Early Medieval pottery (drawn by D. Sakowicz)



Ryc. 15. Olsztyn - Las Miejski, st. CIV (osada). Wybór „wczesnej” ceramiki wczesnośredniowiecznej z ob. 47/13 (fot. M. Pacholec, oprac. A. Koperkiewicz i M. Pacholec)

Fig. 15. Olsztyn - City Forest, site CIV (settlement). Selection of „early” Early Medieval pottery from the feature no 47/13 (photo by M. Pacholec, elaborated by A. Koperkiewicz and M. Pacholec)



Ryc. 16. Mapa zasięgu grupy olsztyńskiej z zaznaczoną lokalizacją stanowiska w olsztyńskim lesie (Szymański 2013: ryc. 61)

Fig. 16. Map of the probable extent of the Olsztyn Group with location of archaeological site in the City Forest in Olsztyn (Szymański 2013: fig. 61)

plastyczną listwą i paznokciowym ornamentem, a obok nich fragmenty z ornamentem stempelkowym, z poziomymi żłobieniami i ornamentem linii falistej (ryc. 14 f-i). Dla obiektu 47/2013 z lasu olsztyńskiego uzyskano datę radiowęglową zawierającą się w przedziale prawdopodobieństwa 95,4 % pomiędzy 774 i 1155 AD⁴⁸. Rodzi to jednak problem jeśli chodzi o interpretację wyników badań radiowęglowych. Jest to bowiem wynik zdecydowanie „młodszy” niż datowania pozostałych obiektów (por. ryc. 9). Występowała tam ceramika o wiele bardziej zaawansowana technologicznie z „barokowym” ornamentem, jak np. w ob. 23/13 (ryc. 14 n), całkowicie obtaczana i wyprofilowana, jak np. w ob. 22/13, 36/13 (ryc. 14 p, r), chociaż także w towarzystwie ceramiki „typowej” dla zespołów „olsztyńskich” z późnego okresu wędrówek ludów.

Mimo tych wątpliwości wydaje się, że na mapę zasięgu występowania stanowisk archeologicznych grupy olsztyńskiej i wczesnośredniowiecznej kontynuacji tej formacji kulturowej jako horyzontu „postolsztyńskiego” nanieść można nareszcie eponimiczny dla niej obszar

Olsztyna⁴⁹ (ryc. 16). Kwestią otwartą pozostaje pytanie o możliwą lokalizację miejsca grzebania zmarłych⁵⁰.

Odkryte na omawianym stanowisku zabytki ruchome, m.in. żelazne noże, przęśliki, krzesiwa i dłuta, piesznia do dziania barci oraz kamienne rozcieracze do żaren, żarna, a także struktura gatunkowa kości zwierzęcych, wskazują na typowo osadniczy model gospodarki. Próbkę żelaza pobrane do analizy jakościowej (noże, grot strzały, tuleja, sierp) wykazały bardzo podobny skład, co być może świadczy o lokalnej produkcji⁵¹. Głównym źródłem utrzymania była uprawa i hodowla zwierząt. Pośród szczątków roślin dominowały ziarna żyta, ale uprawiano także pszenicę, proso i owies⁵². Pochodzą one z jam paleniskowych,

⁴⁹ Szymański 2013b: 114, 127 ryc. 71: 10.

⁵⁰ W 2013 r. podczas powierzchniowej prospekcji z użyciem wykrywaczy metali u nasady półwyspu i na kulminacji wysoczyzny zlokalizowano miejsce występowania drobnych fragmentów stopionych metali, fragmentów noży i nieokreślonych zabytków żelaznych. Zabytki zalegały w podglebiu, niemal na powierzchni. Być może tego typu znaleziska mogą być kojarzone z trudnym do uchwycenia elementem rytuału pogrzebowego w postaci tzw. *Aschenplätze* (por. Wróblewski 2006; Sawicka 2011).

⁵¹ Ryl 2015: 138-146.

⁵² Pińska 2014.

⁴⁸ Próba laboratoryjna MKL- 2100; Krąpiec 2013.



Ryc. 17. Olsztyn – Las Miejski. Flotacja zawartości jam osadniczych w poszukiwaniu makroszczątków (fot. A. Koperkiewicz)

Fig. 17. Flotation of contents of settlement pits. Survey for macroremains (photo by A. Koperkiewicz)

a może pozostałości pieców, w których palono drewnem sosnowym i dębowym⁵³. O poważnej roli hodowli świadczy fakt, że w materiale osteologicznym aż ok. 70% stanowiły kości ssaków domowych z dominacją świni. Mimo to, na tle ośrodków wczesnośredniowiecznych z terenów ościennych obecność szczątków ssaków dzikich jest niewspółmiernie duża. Dominują szczątki jelenia i sarny, przy czym warto odnotować również obecność niedźwiedzia brunatnego. Łowiectwo musiało być zatem istotną częścią lokalnej gospodarki. Na niektórych szczątkach kostnych stwierdzono ślady działania wysokiej temperatury oraz obróbki rzeźniczej, m.in. nacinania ostrym nożem i rąbania ciężkim narzędziem⁵⁴. Codzienne zajęcia uzupełniały rybołówstwo oraz bartnictwo. Wprawdzie szczątków ryb zidentyfikowano niewiele, ale bliskość rzeki i obecność haczyków nie pozostawia wątpliwości co do roli połowu ryb w gospodarce.

Na podstawie różnic w udziale procentowym zabytków z poszczególnych okresów chronologicznych ustalono, że główną fazę zasiedlenia wiązać należy z okresem wczesnego średniowiecza (VIII/IX – XIII w). Zaskakująco duża liczba zabytków metalowych i rozległość założenia przestrzennego tego zespołu sugerują, że był to najpewniej jeden z głównych ośrodków osadniczych w dorzeczu

środkowej Łyny, a z pewnością najważniejszy z założonych tak blisko miejsca, gdzie później lokowano Olsztyn. Odkrycie monet arabskich ze schyłku VIII i pocz. IX w sugeruje, że miejscowi osadnicy pruscy uczestniczyli pośrednio w dalekosiężnej wymianie handlowej między Orientem a Skandynawią. Sprzyjało temu niewątpliwie dogodne położenie tego kompleksu osadniczego nad rzeką Łyną, która dzięki swemu ujściu do Pregoty i dalej do Bałtyku mogła pełnić funkcję ważnego szlaku komunikacyjnego we wczesnym średniowieczu prowadzącego w głąb ziem pruskich. Najpewniej osada w Lesie Miejskim znajdowała się w orbicie oddziaływania skandynawskiego Truso znad jez. Drużno. Nie jest wykluczone, że również nieco później to właśnie „rzeczna autostrada” pomagała nawiązywać kontakty z całym słowiańskim wybrzeżem Bałtyku, co się objawia zarówno w postaci typowych dla tego regionu przedmiotów, jak i w standaryzacji ceramiki.

Teren kompleksu położonego nad rozlewiskiem Łyny posiada wyjątkowe atuty przyrodnicze. W latach 30. XX wieku były to popularne miejsca wędrówek Olsztynian, czego pamiątką może być znalezisko feniga z tego okresu. Wzdłuż rzeki wytyczone były ścieżki spacerowe, a jej brzegi połączone były drewnianymi mostami. Malownicze pozostałości „diabelskiego mostu” po dzień dzisiejszy znaczą punkt na szlaku kajakowych spływów (ryc. 17). Warto przywrócić temu miejscu pamięć o pruskich mieszkańcach sprzed czasów założenia miasta.

⁵³ Bienias 2015: 127-137.

⁵⁴ Makowiecki 2014.

Wykaz cytowanej literatury:

- Åberg, N.
1919. *Ostpreussen in der Völkerwanderungszeit*. Uppsala: A.-B. Akademiska Bokhandeln.
- Achremczyk, S.
2010. *Historia Warmii i Mazur, t. 1. Pradzieje – 1772*. Olsztyn: Towarzystwo Naukowe i Ośrodek Badań Naukowych im. Wojciecha Kętrzyńskiego.
- Achremczyk, S., i W. Ogrodziński (red.)
2003. *Olsztyn 1353-2003*. Olsztyn: Towarzystwo Naukowe i Ośrodek Badań Naukowych im. Wojciecha Kętrzyńskiego.
- Białyński, G.
2015. Źródła pisane do osadnictwa wczesnośredniowiecznego (okres wikiński) okolic Olsztyna – poszukiwanie zaginionej wsi Sentyty. Studium osadnictwa wczesnośredniowiecznego Olsztyna, [w:] A. Koperkiewicz i B. Radzicki (red.), *Zanim powstało miasto. Raport z realizacji interdyscyplinarnego projektu badań wczesnośredniowiecznego zespołu osadniczego Olsztyn – las miejski*, 15-31. Olsztyn: Towarzystwo Naukowe Pruthenia.
- Bienias, D.
2015. Analiza antrakologiczna materiałów z badań stanowiska Olsztyn – Las Miejski, stan. CICIV (AZP 23-61/46, sezon 2013, [w:] A. Koperkiewicz i B. Radzicki (red.), *Zanim powstało miasto. Raport z realizacji interdyscyplinarnego projektu badań wczesnośredniowiecznego zespołu osadniczego Olsztyn – las miejski*, 123-133. Olsztyn: Towarzystwo Naukowe Pruthenia.
- Błoński, M.
2003. Ostroga z Radochówki nad Świdrem, [w:] M. Dulnicz (red.), *Słowianie i ich sąsiedzi we wczesnym średniowieczu*, 109-114. Lublin-Warszawa: Wydawnictwo Uniwersytetu Marii Curie-Skłodowskiej i Instytut Archeologii i Etnologii PAN.
- Brather, S. i M.F. Jagodziński
2012. *Der wikingerzeitliche Seehandelsplatz von Janów (Truso) / Nadmorska osada handlowa z okresu Wikingów z Janowa (Truso). Geophysikalische, archäopedologische und archäologische Untersuchungen 2004-2008, mit Beiträgen von Mateusz Bogucki, Susanne Brather-Walter, Norbert Buthmann, Peter Kühn, Heiko Steuer und Benno Zickgraf / Badania geofizyczne, archeopedologiczne i archeologiczne w latach 2004-2008 z referatami autorstwa Mateusza Boguckiego, Susanne Brather-Walter, Norberta Buthmanna, Petera Kühna, Heiko Steuera oraz Benno Zickgrafa*. Zeitschrift für Archäologie des Mittelalters, Beiheft 24. Bonn: Dr Rudolf Habelt GmbH.
- Crome, H.
1927. Johann Michael Guise, sein Leben und sein Werk. *Sitzungsberichte der Altertumsgesellschaft Prussia* 27: 62-63.
1938. Alphabetisches Verzeichnis der Wehranlagen mit Angabe des Schrifttums. *Prussia. Zeitschrift für Heimatkunde und Heimatschutz* 32 (1): 193.
- Dekówna, M i T. Purowski
2012. Znaleźiska związane ze szklarstwem oraz okazy z kwarcu ze stanowiska Janów Pomorski, [w:] M. Bogucki i B. Jurkiewicz (red.), *Janów Pomorski, stan. 1. Wyniki ratowniczych badań archeologicznych w latach 2007-2008*, t. 1:3, 65–260. Elbląg: Muzeum Archeologiczno-Historyczne.
- Dobrosielska, A.
2015. Zaginiona wieś – odnaleziona pamięć. Wieś Sundrythen w świetle olsztyńskich archiwów i zbiorów kartograficznych Muzeum Warmii i Mazur, [w:] A. Koperkiewicz i B. Radzicki (red.), *Zanim powstało miasto. Raport z realizacji interdyscyplinarnego projektu badań wczesnośredniowiecznego zespołu osadniczego Olsztyn – las miejski*, 32-57. Olsztyn: Towarzystwo Naukowe Pruthenia.
- Dulnicz, M.
2009. Tradycja czy innowacja ? Mazowieckie groby z XI i XII wieku, [w:] A. Bitner-Wróblewska i G. Iwanowska (red.), *Bałtowie i ich sąsiedzi*, 735–751. Warszawa: Państwowe Muzeum Archeologiczne.
- Hoffmann, M.J.
1997. *Zanim powstało miasto*. Folder wystawy archeologicznej. Olsztyn: Muzeum Warmii i Mazur.
1998. „Kreiskarte Stadt- und Landkreis Allenstein”. Mapa archeologiczna L. Fromma i W. Steffela, 1:100 000, [w:] M. J. Hoffmann i J. Sobieraj (red.), *Archeologia ziem pruskich. Nieznane zbiory i materiały archiwalne*, 192. Olsztyn: Muzeum Warmii i Mazur.
2007. Inwentaryzacje założeń obronnych na ziemiach pruskich w pierwszej połowie XIX wieku, [w:] Z. Rybczyński i A. Gruszka (red.), *Opuscula archeologia. Opera dedicata in profesorem Thaddeum Malinowski, Księga jubileuszowa Profesora Tadeusza Malinowskiego*, 149-169. Zielona Góra: Oficyna Wydawnicza Uniwersytetu Zielonogórskiego.
- Hoffmann, M.J. i A.C. Koperkiewicz
2007. Tajemnice lasu miejskiego, [w:] *Kalendarz Olsztyna 2008*, 178–185. Olsztyn: WERS.
- Hollack, E.
1908. *Erläuterungen zur vorgeschichtlichen Übersichtskarte von Ostpreussen*, 4. Glogau - Berlin: Kommissions-Verlag von Carl Flemming.
- Jakobson, F.
2009. Die Brandgräberfelder von Daumen und Kellaren im Kreise Allenstein, Ostpr. Daumen und Kellaren – Tumiary i Kielary, 1. *Schriften des Archäologischen Landesmuseums* 9: 397–414. Neumünster: Wachholtz Verlag.
- Klimek, R.
2013. Początki Olsztyna: ślady wczesnego średniowiecza, [w:] G. Białyński i R. Klimek (red.), *Początki Olsztyna. Prze-*

- wodnik archeologiczny, 9-24. Olsztyn: Stowarzyszenie „Nasze Gady”.
2015. Historia odkrycia grodziska i osady Sanditten (Sądyty) w olsztyńskim Lesie Miejskim, [w:] A. Koperkiewicz i B. Radzicki (red.), *Zanim powstało miasto. Raport z realizacji interdyscyplinarnego projektu badań wczesnośredniowiecznego zespołu osadniczego Olsztyn – las miejski*, 11-14. Olsztyn: Towarzystwo Naukowe Pruthenia.
- Kondracki, J.
2002. *Geografia regionalna Polski*. Warszawa: Wydawnictwo Naukowe PWN.
- Kowalski, J.
1991. Z badań nad chronologią okresu wędrówek ludów na ziemiach zachodniobałtyjskich (faza E), [w:] *Archeologia bałtyjska. Materiały z konferencji Olsztyn, 24-25 kwietnia 1988 roku*, 67–85, Olsztyn: Biuro Badań i Dokumentacji Zabytków, Ośrodek Badań Naukowych.
2000. Chronologia grupy elbląskiej i olsztyńskiej kregu zachodniobałtyjskiego (V-VII w.). Zarys problematyki. *Barbaricum* 6: 203–266.
- Krąpiec, M.
2013. *Badania radiowęglowe prób ze stanowiska Olsztyn – Las Miejski* (maszynopis opracowania). Katowice.
- Malarczyk, D.
2014. *Katalog monet ze stanowiska Olsztyn – Las Miejski, stanowisko CIV (osada), AZP 23-61/46, badania 2013* (maszynopis opracowania). Kraków.
- Makowiecki, D.
2014. Zwierzęce szczątki kostne z miejscowości Olsztyn – Las Miejski, stan. CIV, AZP 23-61/46, sezon 2013, [w:] A. Koperkiewicz i B. Radzicki (red.), *Zanim powstało miasto. Raport z realizacji interdyscyplinarnego projektu badań wczesnośredniowiecznego zespołu osadniczego Olsztyn – las miejski*, 108-119. Olsztyn: Towarzystwo Naukowe Pruthenia.
- Odoj, R.
1968. Wyniki badań grodziska z VI-VIII w. n.e. w Pasymiu, pow. Szczytno, a problemy kultury mazurskiej. *Rocznik Olsztyński* 7: 113-150.
- Okulicz, J.
1988. Problem ceramiki typu praskiego w grupie olsztyńskiej kultury zachodniobałtyjskiej (VI-VII w. n.e.). *Pomerania Antiqua* 13: 103-133.
- Pińska, K.
2014. *Wyniki analizy archeobotanicznej materiałów ze stanowiska Olsztyn – Las Miejski* (maszynopis opracowania). Gdynia.
- Rulewicz, M.
1994. Rybołówstwo Gdańska na tle ośrodków miejskich Pomorza od IX do XIII w., [w:] A. Zbierski (red.), *Gdańsk wczesnośredniowieczny*, t. 10: 99-129. Wrocław: Ossolineum.
- Ryl, J.
2015. Wyniki badań wybranych próbek metali z badań archeologicznych na stanowisku Olsztyn – Las Miejski stan. CIV (AZP 23-61/46), [w:] A. Koperkiewicz i B. Radzicki (red.), *Zanim powstało miasto. Raport z realizacji interdyscyplinarnego projektu badań wczesnośredniowiecznego zespołu osadniczego Olsztyn – las miejski*, 138-146. Olsztyn: Towarzystwo Naukowe Pruthenia.
- Rzempołuch, A.
2009. *Zamek kapituły warmińskiej w Olsztynie*. Olsztyn: Muzeum Warmii i Mazur.
- Sawicka, L.
2011. Szurpiły, st. 8 („Mosiężysko”), woj. podlaskie. Badania w latach 2008-2010. *Światowit* 8: 144-145.
- Stanisławski, B. i W. Filipowiak
2013. *Wolin wczesnośredniowieczny*. Warszawa: TRIO.
- Szymański, P.
2003. Wielokulturowa osada w Wyszemborku, stanowisko V, gm. Mrągowo. *Studia Galindzkie* 1: 63-125. Warszawa: Instytut Archeologii Uniwersytetu Warszawskiego.
2013. Z badań nad chronologią i zróżnicowaniem kulturowym społeczności Mazur w późnej starożytności i u progu wczesnego średniowiecza. *Barbaricum* 9.
- Wadył, S.
2012. Kilka uwag o ceramice wczesnośredniowiecznej w Prusach, [w:] M. Franz i Z. Pilarczyk, (red.) *Studia nad dziejami wybrzeży Morza Bałtyckiego*, 260-278. Toruń: Adam Marszałek.
- Wróblewski, W. i T. Nowakiewicz
2003. Ceramika „pruska” i „słowiańska” we wczesnośredniowiecznej Galindii, [w:] M. Dulinicz (red.), *Słowianie i ich sąsiedzi we wczesnym średniowieczu*, 165-181. Lublin – Warszawa: Wydawnictwo Uniwersytetu Marii Curie-Skłodowskiej i Instytut Archeologii i Etnologii PAN.
- Wróblewski, W.
2006. *Aschenplätze – the forgotten burial rituals of the Old Prussians*. *Archaeologia Lituana* 7: 221–234.
- Żak, J i L. Maćkowiak-Kotkowska
1988. *Studia nad uzbrojeniem środkowoeuropejskim VI-X wieku. Zachodniobałtyjskie i słowiańskie ostrogi o zaczepach haczykowato zagiętych do wnętrza*. Poznań: Wydawnictwo Uniwersytetu im. Adama Mickiewicza.

Arkadiusz Koperkiewicz

Early Medieval settlement complex in the City Forest in Olsztyn

Summary

The archaeological site discussed in the paper is located in the north-eastern Poland. It was in the past the Prussian territory *terra Gunelauke*. The area of today's City Forest was located within the bounds of the town of Olsztyn as early as in the Middle Ages. However, was it the natural defense advantage the only reason which decided on the location of Olsztyn? This is highly likely, in the light of the archaeological research in the Olsztyn's City Forest that the robust Prussian settlement in this area, preceding the colonisation of Warmia, was also of crucial importance for the location of the later town.

Caspar Hennenberger in his map from 1576, placed the name *Sanditten* in the Wadąg River estuary, next to the symbol described in the legend as "the mountain where a castle was". Probably, Johann Michael Guise in the year 1926/1927 describes and documents the same feature. The fortified settlement - identified with Guise's "castle" - in reality is a natural headland, a glacial phenomenon with natural defense values, around which the Łyna River creates a backwater.

The history of the beginning of the archaeological research is connected with conducting deep tillage in order to create new areas to plant forests. Owing to this, for the first time, a copious amount of pottery coming from encroached cultural stratification was found on the surface. The opportunity to renew the research in 2013 opened up because of the fact that the Pruthenia Scientific Society in Olsztyn joined the realisation of the international project *Lagoons as crossroads for tourism and interactions of peoples of the South-East Baltic: from prior history to the present*. The extent of the field study in 2013 included an area of about 400 sq.m. In 2006 and 2013 there were 48 settlement features found, most of which chronologically should be associated with the Early Middle Ages (8th/9th–13th cents). The oldest traces of intensive settlement come from the

mid 1st century BC and can be associated with the so-called Western Baltic Barrow Culture. The decline in the Period of the Migration of Peoples (6th and 7th centuries) is quite clear. It is one of the most representative settlement site of the so-called Olsztyn Group, formerly referred to as the Masurian-Germanic, or Old Prussian Culture. It was a phenomenon conspicuous by its extremely rich and diverse material culture, which indicates the permeation of various cultural impulses or ethnic ties, including those with the Avarian world. A surprisingly large number of metal objects and the spatial extent of this complex suggest that this was probably one of the main centres of settlement in the basin of the middle Łyna River, and certainly the most important one of the settlements founded so close to the place where later Olsztyn was established. The discovery of Arabic coins from the late 8th century and the beginning of the 9th century suggests that the local settlers participated indirectly in the far-reaching trade between the Orient and Scandinavia. This was supported by the undoubtedly convenient location of the settlement complex by the Łyna River, which thanks to its mouth to Pregoła River and further to the Baltic Sea could serve as a major communication route – leading into the Prussian lands. Most likely, the settlement in the City Forest was in the area of impact of the Scandinavian Truso, located on the Lake Drużno. The area of the complex located at the backwater of Łyna River also has outstanding natural values. The archaeological studies have revealed completely unknown, new pages of the Olsztyn history and have restored the memory of the first autochthonic inhabitants even from the period before the establishment of the city.

Translated by Nicholas Secunda

Alt Wartenburg / Barczewko na Warmii. Początki miasta średniowiecznego i jego fortyfikacje

1. WPROWADZENIE

Barczewko to niewielka wieś na Warmii, położona około 10 km na północny-wschód od Olsztyna. Od czasów średniowiecznych egzystuje ona w cieniu pobliskiego miasteczka Barczewa. Związek ten odzwierciedlały historyczne nazwy miejscowości *Alt Wartenburg* (Barczewko) – *Wartenburg* (Barczewo), które dokumentują powszechny w średniowiecznych Prusach proces translokacji pierwotnego miejsca osadniczego¹.

Historyczne początki Barczewa / Wartenburga nie były łatwe. Zaczynają się one około roku 1325, właśnie w Barczewku / Alt Wartenburgu. Pod taką datą kronikarz krzyżacki Piotr z Dusburga odnotował, że nad rzeką Pisą z inicjatywy biskupa Eberharda z Nysy i pod kierownictwem wójta Fryderyka von Liebenzell założono *castrum Wartenbergk*. Kolejne źródło historyczne podaje, że w wyniku niszczycielskiego najazdu Kiejstuta i jego drużyny w 1354 r. *Wartenberg* został spalony, a mieszkańcy i obrońcy wymordowani². Nowe miasto *Wartenburg* (Barczewo) założono dopiero w 1364 r. w obecnym miejscu, a na północ od niego lokowano w 1369 r. wieś czynszową *Aldewartberg* – *Alt Wartenburg* – Barczewko³.

Na południu wsi, nad rzeką Orzechówką i brzegiem jez. Wadąg zachowały się ślady fortyfikowanego obiektu, nazywane zwyczajowo *Altstadt*, czyli Stare Miasto (ryc. 1). W nomenklaturze ewidencji zabytków wiele takich stanowisk egzystuje pod utrwaloną nazwą „grodzisko”, która sugeruje jeszcze pruską genezę powstania. Czy słusznie? Miejsce tradycyjnie utożsamiano z lokalizacją *Wartberga* wzmiankowanego w średniowiecznych kronikach. Jednoznaczny przekaz o mieście *Wartberg* pochodzi

dopiero z 1337 r. W dokumencie nadania 10 łanów ziemi w obrębie tego miasta dla niejakiego Mikołaja Rusina wymienieni są jako świadkowie pleban Henryk i sołtys Jan. W tym samym jeszcze roku bracia Jan i Piotr otrzymują 10 łanów ziemi i młyn nad rzeką Wadąg. To oni są najprawdopodobniej faktycznymi lokatorami miasta *Wartenberg*. Czy jednak *castrum Wartberg* z 1325 roku i *Wartenberg* zniszczony w 1354 r. przez Kiejstuta to miejsca tożsame? Długo przed rozpoczęciem badań archeologicznych pojawiły się głosy, że mogą to być dwie osobne lokalizacje⁴.

Przeplatanie się współistnienia miasta i strażnicy obecne było w literaturze archeologicznej końca XIX w. Już w latach 1826-1828 grodzisko Stare Miasto było wizytowane przez porucznika J. Guisego, który został oddelegowany do wykonania kompleksowej inwentaryzacji założeń obronnych w Prusach⁵. W tym przypadku nie zachowała się oryginalna dokumentacja. Z wtórnego przekazu wiadomo, że na odręcznych szkicach Guise określał to miejsce jako *Heidnisch Wartenburg* i *Altstadt*⁶. Wizytacja obiektu w 1881 r., dokonana przez majora F. Bönigka, zaowocowała pierwszą publikacją na jego temat. Bönig podawał lokalną nazwę grodziska także w brzmieniu polskim: *die Alte Stadt – stare miasto*. Miejsce opisywał jako wyniesienie na południu wsi, o powierzchni około 2 ha, uformowane częściowo naturalnie przez meandrującą niewielką rzekę Orzechówkę, z dobrze czytelnymi nasypami wałów i fosą (część północno-zachodnia) o szerokości i głębokości ok. 5 m. Od strony zachodniej teren był wypłaszczony, zniwelowany orką, ze śladami obniżenia w centralnej linii wałów. Jeśli chodzi o zespół umocnień Barczewka, wojskowy przypuszczał, że oprócz fosy i wałów miasto posiadało dwie bramy, wyposażone w drewniane wieże. Biskupi zamek (*castrum*), jako samodzielna ufortyfikowana budowla, miał znajdować się na najwyższym wzniesieniu w obrębie miasta⁷. Wniósł on też, że tego rodzaju przedsięwzięcie budowlane przekraczałoby siły osadników i z pewnością musiało ono zostać wy-

¹ W pierwszych miesiącach po II wojnie funkcjonowała jeszcze spolszczona nazwa obecnego Barczewa, czyli *Wartenborg*, ale wkrótce zamieniono ją na *Nowowiejsk* na cześć urodzonego w Barczewie Feliksa Nowowiejskiego (1877-1946), kompozytora *Roty*. Paradoksalnie, ta wtórna polonizacja nie była dobrze przyjęta i ostatecznie dla miasteczka wymyślono nazwę Barczewo dla uczczenia pamięci ks. Walentego Barczewskiego. Szczęśliwie w tym przypadku, mimo że zerwano z nazewnictwem historycznym, zachowano chyba świadomie konsekwentny związek obu miejscowości poprzez nadanie wsi zdrobnienia - Barczewko (por. Tomkiewicz 2014: 132-134).

² Raczyński 1843: 97-99; Herrmann 2014: 46-47.

³ Białuński 2014: 26-29.

⁴ Klimek 2008: 14, 2013: 216-217.

⁵ Hoffmann 2013: 25.

⁶ Crome 1938-1940: Bd 32, T. 1, 96; Klimek 2014: 56-57.

⁷ Z pewnością wizja majora Bönigka przyczyniła się do powstania rysunkowej wizualizacji Thomasa Hauke w opracowaniu monograficznym wsi autorstwa prof. Ulricha Focha; por. Fox 1989: 23.



Ryc. 1. Lokalizacja Barczewka / Alt Wartenburga na wojskowej mapie topograficznej z (Messtischblatt w skali 1:25 000, Arkusz Alt Wartenburg / Barczewo, 1915 r.)

Fig. 1. The location of Barczewko / Alt Wartenburg as shown on a military topographical map (Messtischblatt scale 1:25,000, sheet Alt Wartenburg/Barczewo, 1915)



Ryc. 2. Barczewko, gm. Barczewo, st. II. Średniowieczny kompleks osadniczy w Barczewku na fotografii z lat 90. XX w. (Archiwum J. Miałduna)

Fig. 2. Barczewko, community of Barczewo, site II. Medieval settlement at Barczewko shown in a photograph from the 1990s (from the archive of J. Miałdun)

konane przez biskupa, z pomocą krzyżackiego „inżyniera wojennego”. Od południa i wschodu zachowały się naturalne, strome skarpy wzgórza (ryc. 2)⁸. Na powierzchni znajdowano fragmenty ornamentowanej ceramiki, wypalanej polepy z odciskami słomy, a także szlaki żelaznej.

⁸ Von Bönigk 1883: 152-156.

Podobnie jak współcześnie, teren obiektu porośnięty był trawą i krzakami głogu. Wcześniejsze przypuszczenia Maxa Toeppena⁹, i znaleziska powierzchniowe, skłoniły Bönigka do uznania grodziska Stare Miasto za pozostałość

⁹ Max Toeppen wzmiankował założenie i zniszczenie Barczewka, łącząc nazwę i lokalizację; por. Toeppen 1870: 68.

ści młodej kolonii miejskiej, pierwszej lokalizacji Wartenburga (Barczewa). Z perspektywy wojskowej lokalizacja taka jawiła się jako wadliwa pod względem strategicznym, m.in. ze względu na słabą dostępność wody. Finałem tej pierwszej pogłębionej analizy i terenowego zwiadu były nie do końca trafne spostrzeżenia. Wobec pozornego braku śladów Kiejstutowej pożogi na piaszczystym podłożu, autor publikacji stwierdził, że wojska litewskie zniszczyły tylko teren wokół osady. Bönigk dostrzegał jednak olbrzymi potencjał stanowiska, zwracając słusznie uwagę na potencjalnie uwięzione w ziemi artefakty jako świadectwa krótkiej epoki, mogące stanowić w przyszłości punkt odniesienia chronologicznego dla innych badań i obiektów. Podkreślał wówczas, że w interesie historii kultury powinno być prowadzenie badań wykopaliskowych w tym miejscu. Wyjaśnienie rangi i znaczenia tych prac odpowiednim władzom miało spoczywać na barkach powiatowego kuratora oświaty o nazwisku Vigouroux¹⁰. Do podjęcia prac nigdy jednak nie doszło.

Ważną publikacją, w której założenie Barczewka usytuowane zostało w kontekście średniowiecznego osadnictwa na Warmii, jest obszernie opracowanie pióra Victora Röhricha na temat kolonizacji Warmii, które ukazało się w kilku częściach w „*Zeitschrift für Geschichte und Altertumskunde Ermlands*” w latach 1899-1926. Röhrich wykorzystał skrupulatnie wszystkie znane źródła historyczne dotyczące Starego Miasta, omawiając założenie i rozwój Barczewa¹¹. Swoje dociekania na ten temat zamieścił skrótowo w *Geschichte des Fürstbistums Ermland* z 1925 r.¹². W tym samym roku Röhrich opublikował w *Ermländischer Hauskalender* opis tragicznego oblężenia i zniszczenia Barczewka przez Litwinów, w stylu trzymającego w napięciu, krótkiego opowiadania¹³. Jeśli chodzi o szczegóły, opowieść ta stanowi na pewno wytwór fantazji autora. W ogólnym zarysie jednak pod wieloma względami może być bliska prawdy, ponieważ Röhrich swoją relację pisał na podstawie dogłębnej znajomości źródeł dotyczących historii Warmii.

Kolejne zainteresowanie obiektem, być może pod wpływem wspomnianych publikacji, miały miejsce w okresie międzywojennym, 45 lat po wizycie Bönigka. W 1928 r. badania powierzchniowe zostały przeprowadzone przez Gaertego¹⁴, zaś w 1929 r. grodzisko miał penetrować Leonhard Fromm. Ten ostatni pomierzył obiekt, odnotował występowanie fragmentów naczyń toczonych i ocenił, że obiekt, użytkowany jako pastwisko, nie jest narażony na zniszczenie¹⁵. W tym samym roku badania ratownicze na pobliskim *Wachthügel*, zwanym też zamkiem *Gunelauke*, przeprowadził Carl Engel¹⁶. W trakcie plantowania terenu

w zakolu Pisy, w związku z planowaną budową, odsonięto pradziejowe i średniowieczne warstwy kulturowe. Zachowała się informacja o śladach budowli drewnianej i prostokątnego budynku¹⁷. Miejsce to, jak wspomniano, bierze się pod uwagę jako potencjalną pierwszą lokalizację Dusburgowej strażnicy *Wartberg* (ryc. 3)¹⁸.

Po II wojnie światowej kolejną weryfikację powierzchniową obu stanowisk w 1947 r. przeprowadził Jerzy Antoniewicz jako delegat Państwowego Muzeum Archeologicznego w Warszawie na woj. olsztyńskie. Z jego inicjatywy 19 lipca 1948 r. Zamczysko - Stare Miasto nad Orzechówką oraz (tym razem) Romowa Góra nad Pisą zostały wpisane do rejestru zabytków (ryc. 4). Znalazło się tam uzasadnienie uwypuklające znaczenia tego stanowiska dla kultury polskiej i badań nad prehistorią¹⁹.

Ważną publikacją w języku niemieckim jest monografia parafii Barczewko autorstwa Ulricha Focha, która ukazała się w 1989 r. W jednym z ustępów pierwszego rozdziału omówił on znane fakty z historii miasta lokacyjnego i powtórzył w całości opowieść Röhricha dotyczącą upadku miejscowości w 1354 r.²⁰ Graficznym uzupełnieniem była fantastyczna rekonstrukcja miasta Thomasa Haucka, który z pewnością sugerował się opisem Bönigka (ryc. 5).

W polskich publikacjach z czasów powojennych, dotyczących historii Barczewa i Warmii, również wzmiankowany jest krótki historyczny epizod istnienia miasta lokacyjnego Barczewko. Autorzy ograniczali się jednak przeważnie do kilku zdań, w których wymieniają ważniejsze fakty. Wskazać można zwięzłą historię miasta Barczewo pióra Koziełło-Poklewskiego²¹, historię dominium warmińskiego autorstwa Alojzego Szorca²², przedstawienie dziejów parafii Św. Anny w Barczewie przez Urszulę Laskowską²³, syntetyczne opracowanie dotyczące miast warmińskich pióra Jerzego Kiełbika²⁴, czy artykuł Roberta Klimka o zaginionych zamkach i strażnicach na Warmii do połowy XIV w.²⁵.

Od terenowych oględzin obiektu w latach 20. XX w. trzeba było niemal kolejnych 45 lat, aby za sprawą fotografii lotniczej łąka w Barczewku odsoniło kolejny rąbek tajemnicy Starego Miasta. W czerwcu 1992 r. geodeta Jerzy Miałdun przy sprzyjających warunkach pogodowych wykonał zdjęcie obiektu we wczesnej fazie wegetacji zbóż (ryc. 6). Pojawiły się na nim zaciemnione, regularne anomalie (ciemnozielone bujne zboże rosnące w miejscach

¹⁰ Bönigk 1883: 156.

¹¹ Röhrich 1903: 683-708.

¹² Röhrich 1925a: 157.

¹³ Röhrich 1925b.

¹⁴ Maszynopis, notatka w Archiwum MWiM w Olsztynie, teczka „Barczewko”.

¹⁵ Klimek 2014: 57.

¹⁶ Klimek 2013: 215-216.

¹⁷ Brak jest bardziej precyzyjnych danych, np. czy relikty drewna były zwęglone, oraz na jakiej podstawie określono, że obiekt pochodzi z czasów kolonizacji krzyżackiej. Maszynopis, notatka w Archiwum MWiM w Olsztynie, teczka „Barczewko”.

¹⁸ Klimek 2008, 2013, 2014; Białuński 2014: 27; Herrmann 2014: 43.

¹⁹ Oryginał dokumentu w Archiwum MWiM w Olsztynie, teczka „Barczewko”.

²⁰ Fox 1989: 21-29. Autor wspominał także legendę o kościele zatopionym w jeziorze Wadąg i średniowieczną historię założenia wsi Barczewko, Tuławki / *Tollack* i Gady / *Jadden*.

²¹ Koziełło-Poklewska 1964: 4.

²² Szorc 1990: 166.

²³ Laskowska 1999: 21-23.

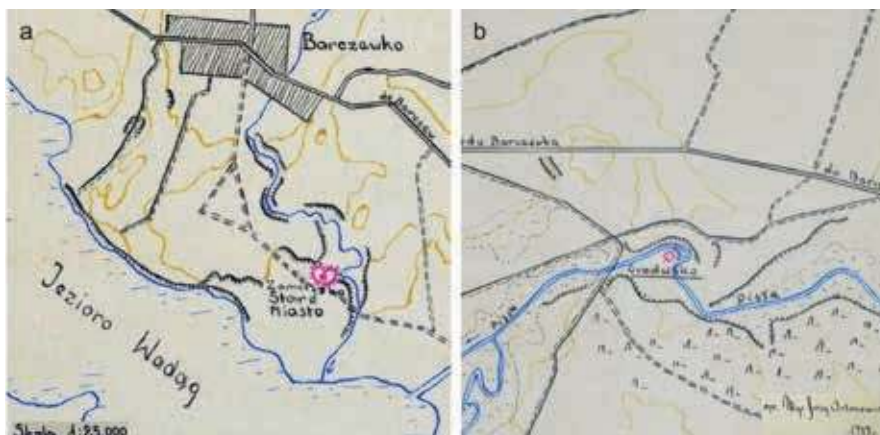
²⁴ Kiełbik 2007: 30.

²⁵ Klimek 2013: 214-217.



Ryc. 3. Archiwalne fotografie grodziska Stare Miasto (a) i Romowa Góra (b) w Barczewku z roku 1929 (?) (Archiwum MWiM w Olsztynie,teczka „Barczewko”)

Fig. 3. Archival photograph of the settlement (a) Stare Miasto (Old City) and (b) Romowa Góra at Barczewko from the year 1929 (?) (Archive of the Museum of Warmia and Mazuria in Olsztyn, file “Barczewko”)



Ryc. 4. Plany sytuacyjne z 1949 r. „zamczyska zw. Stare Miasto” oraz „gródka strażniczego” w Barczewku autorstwa delegata PMA na woj. olsztyńskie Jerzego Antoniewicza (Archiwum MWiM w Olsztynie,teczka „Barczewko”)

Fig. 4. Plans showing the situation in 1949 of the ruined stronghold of so-called Stare Miasto (Old City) as well as the watch-hill at Barczewko executed by Jerzy Antoniewicz, delegate of the State Archaeological Museum for the Olsztyn Province (Archive of the Museum of Warmia and Mazuria in Olsztyn, file “Barczewko”)

Ryc. 5. Autorska wizja „warowni” Alt Wartenburg wg grafiki Thomasa Haucka (wg Fox 1989: 23)

Fig. 5. An impression of the “watchtower” of Alt Wartenburg after a drawing of Thomas Hauck (after Fox 1989: 23)



Ryc. 6. Barczewko, gm. Barczewo, st. II. Fotografia lotnicza obiektu z czerwca 1992 r. (Archiwum J. Miałduna)

Fig. 6. Barczewko, community of Barczewo, site II. Aerial photograph of the site taken in June 1992 (from the archive of J. Miałdun)



zasobnych w szczątki organiczne i minerały), charakterystyczne dla obecności relikwów antropogenicznych. Weryfikacja powierzchniowa, przeprowadzona przez Izabelę Mirkowską, archeologa z Muzeum Warmii i Mazur w Olsztynie, potwierdziła raz jeszcze zaleganie na powierzchni stanowiska zabytków średniowiecznych, m.in. ceramiki i szlaki żelaznej²⁶. Wspomniana fotografia stała się inspiracją dla idei przeprowadzenia szeroko zakrojonych prac, uzupełnionych o możliwości fotointerpretacji, kwerendy zasobów archiwalnych Centralnego Ośrodka Dokumentacji Geodezyjnej i Kartograficznej (CODGiK) i szerokiego spektrum badań nieinwazyjnych z geofizyką na czele. Okazją do realizacji tego zamierzenia stał się polsko-niemiecki projekt badawczy *Alt Wartenburg*

²⁶ Notatka służbowa w Archiwum MWiM w Olsztynie, teczką „Barczewko”.

/ *Barczewko – warmińskie Pompeje*, realizowany przez zespół z uniwersytetów w Gdańsku i Getyndze²⁷.

Oczywiste było, że grodzisko w Barczewku przechowywa ślady miejsca tragedii pierwszego pokolenia osadników, niezakłócone nigdy późniejszym osadnictwem. To oznaczało, że zalegające w ziemi relikwoty dotyczą samych początków kolonizacji Warmii i mogą zawierać obraz miasta lokacyjnego w jego najwcześniejszym, pionierskim jeszcze etapie. Jest to zatem miejsce niezwykle nie tylko dla historii regionu, ale także dotyczy o wiele szerszej problematyki urbanizacji i „westernizacji” Europy Środkowo-Wschodniej w późnym średniowieczu²⁸.

²⁷ Projekt finansowany ze środków Pełnomocnika Rządu Federalnego ds. Kultury i Mediów (Bundesbeauftragte für Kultur und Medien, BKM, Bonn) przy współudziale Uniwersytetu Gdańskiego, Miasta i Gminy Barczewo oraz firmy REM, sp. z o.o. Barczewko.

²⁸ Zernack 1994: 106.

2. ŹRÓDŁA HISTORYCZNE

Prusy krzyżackie i znajdująca się na ich terenie biskupia Warmia były ostatnim dużym terytorium, na którym odbywał się konsekwentny i systematyczny proces niemieckiej kolonizacji na wschodzie Europy²⁹. Osadnikom proponowano korzystne warunki ekonomiczne i wszelką pomoc na etapie pionierskim. W Prusach proces ten regulowany był w oparciu o prawo chełmińskie³⁰. Ciężar organizacji akcji osadniczej leżał po stronie prywatnych „przedsiębiorców”, ponoszących ryzyko finansowe, ale liczących na zwrot kosztów i przywileje w przypadku powodzenia takiego przedsięwzięcia³¹.

W 1243 r. decyzją papieża Innocentego II erygowano biskupstwo warmińskie, będące największą diecezją w Prusach, rozciągającą się od Zalewu Wiślanego na północnym-wschodzie po Puszcę Galindzką na południowym-wschodzie. Wielka Puszcza była już w tym okresie obszarem wyludnionym. Systematyczna niemiecka akcja osadnicza rozpoczęła się na dobre około 1280 r., już po upadku drugiego powstania pruskiego (1274). Najwcześniej nad brzegiem Zalewu powstały na północy Braniewo (1304) i Frombork (1310), a najpóźniej w końcu czternastego stulecia Bisztynek i Biskupiec (1395)³². Proces organizacji osadnictwa na prawie niemieckim obejmował zwykle takie działania, jak meliorację i odlesianie terenu, budowę obiektów militarnych (zamek i strażnic), tworzenie podstaw gospodarczych poprzez organizację rolnictwa, zakładanie wsi i młynów, czy w końcu budowę miast, centrów handlu i administracji pośredniczących w ponadregionalnej wymianie towarowej³³. W centrum kolonizowanych obszarów powstawały także małe miasteczka o lokalnym znaczeniu administracyjnym i gospodarczym. Po lokacji Dobrego Miasta (1325) akcja osadnicza przesunęła się na południe za linię Łyny. W jej toku powstały strażnica i osada *Wartenberg* utworzone na północnym brzegu jez. Wadąg w tzw. *terra Gunelauke*³⁴ (ryc. 7). Takie wysunięte na skraj puszczy ośrodki miały również znaczenie militarne, osłaniając skolonizowane wcześniej terytorium wewnętrzne przed najazdami litewskimi³⁵. Jest to czas, kiedy Zakon Krzyżacki prowadzi zacięte walki z Wielkim Księstwem Litewskim. Na „rejzy” przeciw pogańskim Litwinom i Żmudzi każdego roku zaciąga się wielu krzyżowców z Rzeszy i krajów europej-

skich. Przynosi to litewską reakcję w postaci grabieży państwa zakonnego, w tym terytoriów biskupich. Po obu stronach oblicze tej wojny składa się zasadniczo z pożogi, rabunku, okrucieństwa i morderstw na terytorium przeciwnika³⁶. Ofiarą jednego z takich odwetów padła w 1354 r. młoda osada *Wartenberg*. Wiedza o tym zdarzeniu i krótkiej egzystencji miasta oparta jest głównie na dwóch cytowanych wcześniej kronikach średniowiecznych z XIV w. Źródła pośrednich jest jednak znacznie więcej, co pozwala wykroczyć poza dotychczasowy zakres ustaleń.

Najstarszą wzmianką o Barczewku jest łaciński przekaz krzyżackiego duchownego Piotra z Dusburga w *Kronice ziemi pruskiej (Chronica Terre Prussie)*, spisanej między 1324 a 1326 r. na zlecenie wielkiego mistrza Wernera von Orseln³⁷. Wiarygodność tego przekazu nie budzi raczej wątpliwości, ponieważ żyjący w tym czasie autor *Kroniki* czerpie swe informacje często z pierwszej ręki od świadków wydarzeń. Wzmianka o wzniesieniu zamku umieszczona jest niejako na marginesie opowieści brzmiącej w polskim tłumaczeniu następująco: „W tym samym roku (1325) i porze biskup warmiński Eberhard poprzez brata Fryderyka z Liebenzell, swojego wójta, wybudował w ziemi galindzkiej nad brzegiem rzeki Pisy zamek Barczewo [*castrum Wartenbergk*]. Kiedy po zakończeniu budowy tego zamku uroczyście śpiewano mszę Ducha Świętego, w czasie ewangelii ukazała się jedna bardzo biała, oswojona gołębica³⁸”.

Na kronice Dusburga opierała się spisana kilka lat później niemiecka wierszowana wersja kroniki Mikołaja von Jeroschin, w której pojawia się określenie *burc Wartenberc*. Ścisłe tłumaczenie obu źródeł prowadzi do konkluzji, że w 1325 r. został założony tylko zamek, a nie miasto. Na tym etapie kolonizacji mogła być to z pewnością niewielka budowla w rodzaju puszczańskiej strażnicy typu *Wildhaus*. Mieściło się to w logice procesu osadniczego, zabezpieczając właściwą akcją osadniczą i budowę miasta, która mogła nastąpić kilka lat później. W tym miejscu warto podjąć kwestię lokalizacji obu inwestycji. Dotychczas w literaturze na ogół utożsamiano oba miejsca, uznając, że zamek i miasto funkcjonowały obok siebie. Ostatnio jednak pojawiła się hipoteza, zgodnie z którą wspomniany w kronikach zamek znajdował się miał w miejscu oddalonym o 1,6 km od miasta, na półwyspie w zakolu rzeki Pisy (ryc. 8). Miejsce to w starszej literaturze i lokalnej tradycji nazywane było *Wachthügel* (wzgórze strażnicze), Romowa Góra albo Zamkowa Góra. Jest to teren sztucznie uformowany, oblany z trzech stron wodami rzeki, z gródkiem wzniesionym jeszcze w czasach pruskich. Trudno zweryfikować ten pogląd, gdyż jeszcze

²⁹ O średniowiecznej kolonizacji niemieckiej na wschodzie por. Schlesinger 1975; Higounet 1990; Biermann 2010: 32–99.

³⁰ O roli zasadźców w Prusach por. Boockmann 1981: 136; Erlen 1992: 106.

³¹ Por. Kasiske 1934: 150; Erlen 1992: 101, 113; Herrmann 2015: 12.

³² Herrmann 2014b: 47–104.

³³ O osadnictwie krzyżackim w Prusach szczególnie na Warmii por. Pollakówna 1953; Boockmann 1981: 115–137; Erlen 1992: 104–119; Biskup 1991; Czaja 2008; o budownictwie zamkowym w tym kontekście: Klimek 2013; o długotrwałym polskim i niemieckim dyskursie dotyczącym tego procesu: Hackmann 1996.

³⁴ Achremczyk 2010: 422.

³⁵ Erlen 1992: 113.

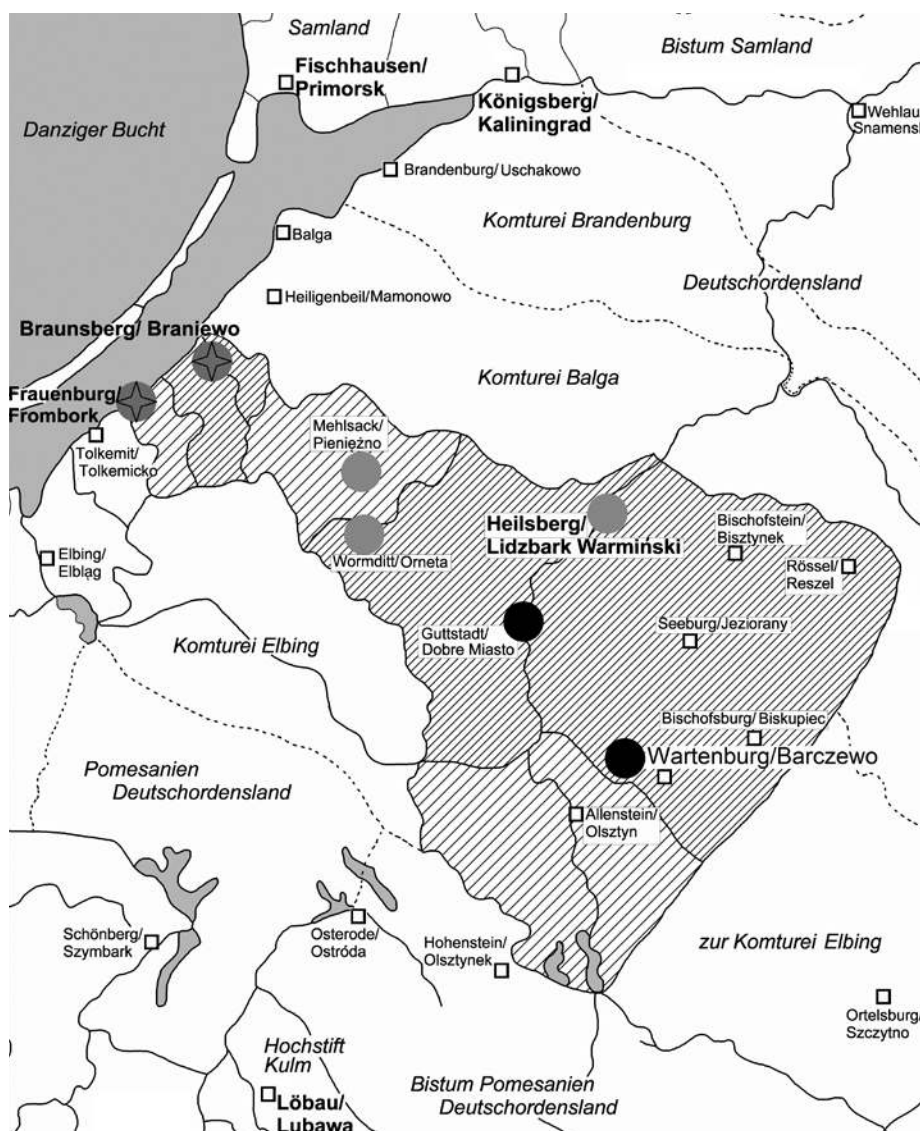
³⁶ Por. Boockmann 1981: 151–169; Paravicini 1989/1995; Trupinda 2009: 23; Herrmann 2015: 14.

³⁷ *De edificacione civitatum plurium et castrorum [...] Eodem anno [1325] et tempore Eberardus episcopus Warminiensis per Fratrem Fridericum de Libencele advocatum suum in terra Galindie in litore fluminis Pisse edificavit castrum Wartenbergk, quod castrum dum esset perfectum, et de sancto spiritu missa solempniter cantaretur, apparuit infra evangelium una columba albissima domestica.*

³⁸ Dusburg 2004: 104.

Ryc. 7. Lokacje miast na Warmii do ok. 1330 r.: Braniewo – drugi przywilej lokacyjny ok. 1304 r., Frombork – 1310 r., Lidzbark Warmiński – 1308 r., Pieniężno – 1312 r., Orneta – 1312 r., Dobrze Miasto – 1329 r., Alt Wartenburg / Barczewko – po 1325 i przed 1337 r., (wg opracowania C. Hermann na podstawie Gatz 2009, rys. T. Kinkeldey)

Fig. 7. Location of the towns of Warmia ca 1330: Braniewo – second town charter ca 1304, Frombork – 1310, Lidzbark Warmiński – 1308, Pieniężno – 1312, Orneta – 1312, Dobrze Miasto – 1329, Alt Wartenburg / Barczewko – between 1325 and 1337 (after C. Hermann on the basis of Gatz 2009, drawn by T. Kinkeldey)



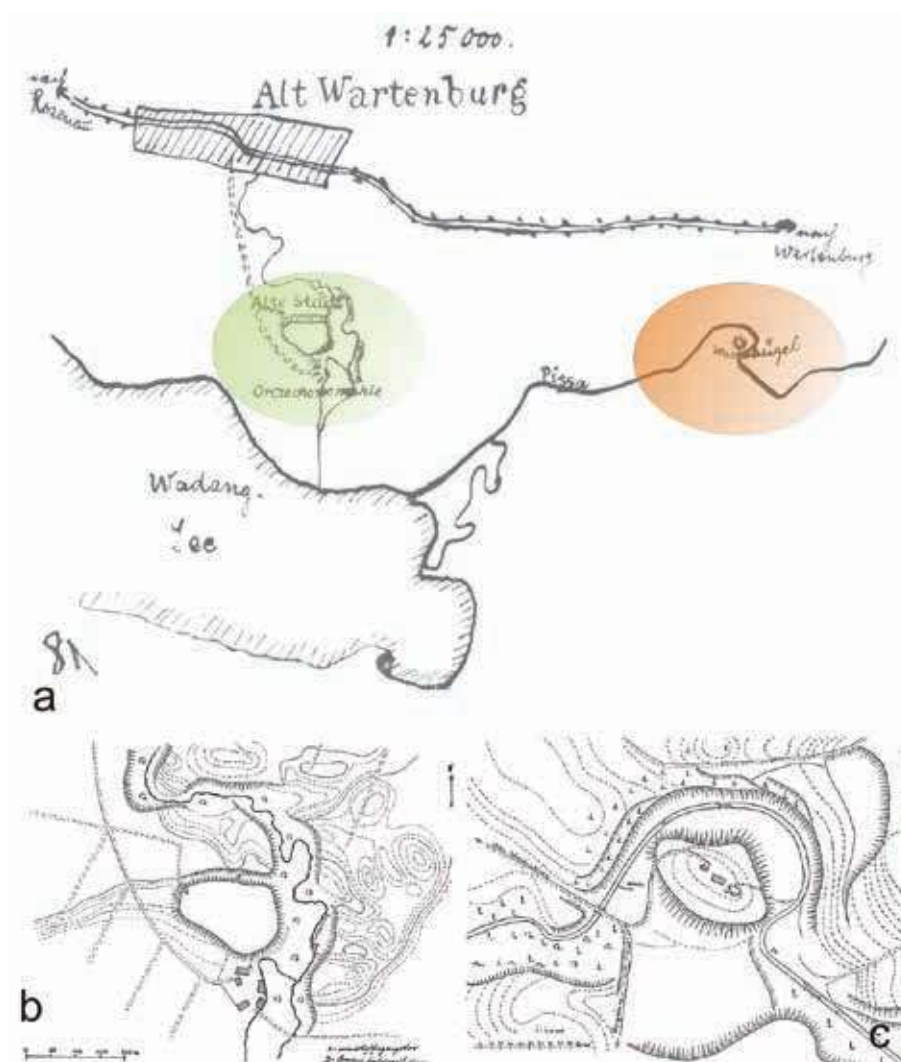
w latach 20. XX wieku teren został zniwelowany i częściowo zniszczony budową gospodarstwa i budynku mieszkalnego w centralnej części obiektu. Na rzecz utrzymania hipotezy przemawia strategiczny charakter miejsca i tradycja osadnicza. Również współczesny obraz topografii tego terenu na numerycznym modelu terenu ukazuje regularnie opracowaną formę gródka. Dziwi jednak zupełny brak zabytków średniowiecznych, a te pozyskane przez C. Engla mają znacznie starszą metrykę. Argumentem przeciw jest także niewielka nadająca się pod zabudowę powierzchnia (około 450 m²). Również odległość od miasta wydaje się być zbyt duża, biorąc pod uwagę fakt, że w przypadku wszystkich miast warmińskich siedziby feudalne znajdowały się w ich bezpośrednim sąsiedztwie. Podsumowując ten wątek należy uznać, że identyfikacja wzgórza *Schlossberg* lub *Wachthügel* w zakolu rzeki Pisy z Dusburgowym zamkiem jest ciągle hipotetyczna. W świetle znanych obecnie wyników rozpoznania grodziska *Altstadt* wiadomo przynajmniej, że strażnicy nie na-

leży szukać w obrębie wałów grodziska, a zatem kwestia jej lokalizacji pozostaje nadal otwarta.

Kolejna informacja pochodzi z dokumentu lokacyjnego Dobrego Miasta (1329), gdzie wspomniana jest droga do *Warthberg*³⁹, ale nie wyjaśniono, czy chodzi o zamek czy miasto. Pierwszym źródłem potwierdzającym istnienie miasta jest dokument ze stycznia 1337 r., w którym świadkami zapisu majątkowego są proboszcz Henryk i sołtys Jan z Barczewa⁴⁰. Wynika z tego, że miasto powstało po 1325 r., kiedy istniała tam tylko strażnica, ale przed 1337 r., gdy znajdowali się tam już zorganizowani osadnicy. Można zatem przyjąć, że stało się to około 1330 r. Obecność proboszcza świadczy też o istnieniu kościoła parafialnego i zorganizowanej wokół przestrzeni, w tym z pewnością cmentarza. Z 1337 r. pochodzi także dokument nadania przywilejów dwóm sołtysom z Barczewa.

³⁹ *Iuxta viam qua itur Warthberg.* CDW I, Nr. 245 (Regest Nr. 376, 142).

⁴⁰ *Sub testibus domino Heinrico plebanus in Wartberg, Jo(hanne) sculteto ibidem.* CDW I, Nr. 282 (Regest Nr. 442, 166).



Ryc. 8. Mapa sztabowa Barczewka (1. ćwierć XX w.) z zaznaczonymi dwoma obiektami archeologicznymi nad Orzechówką i Pisą (a) oraz plany grodzisk: *Alt Stadt* nad Orzechówką (b) i *Wachthügel* nad Pisą (c) (za: Klimek 2013; ryc. 14, 16-17)

Fig. 8. Military map of Barczewko (1st quarter of the 20th cent.) showing (a) the two archaeological sites on the Orzechówka and Pisa rivers, as well as plans of the strongholds (b) *Alt Stadt* on the Orzechówka and (c) *Wachthügel* on the Pisa (after Klimek 2013; figs. 14, 16-17)

Są nimi bracia Piotr i wspomniany wcześniej Jan. Wynika z tego dokumentu, że urząd sołtysa sprawowany był wspólnie. Przyjmuje się, że bracia byli też pierwszymi mieszkańcami Wartenberga⁴¹. W dokumencie tym wymieniono szereg nowych przywilejów, które mają wesprzeć ich działalność gospodarczą. Sytuacja ekonomiczna w latach pionierskich musiała być bardzo trudna, skoro suweren dokonuje korekty. Bracia - i zarazem sołtysi - otrzymali więc 10 włók ziemi na prawie chełmińskim, tartak z kołem młyńskim nad rzeką Wadąg, przywilej wyrębu drzew w lasach biskupich, przywilej połowu ryb w rzece oraz jedną trzecią dochodów z sądownictwa. Na osobną uwagę zasługują postanowienia dotyczące tartaku z kołem młyńskim. Wydaje się oczywiste, że wiążąc się to musiało z olbrzymimi potrzebami pozyskiwania i obróbki drewna niezbędnego do wznoszenia umocnionej osady. Jak już wiadomo, miała ona wyłącznie zabudowę drewnianą. Tartak z kołem młyńskim może oznaczać, że

sołtysi mieli możliwość przekształcenia go w dodatkowy młyn, kiedy zapotrzebowanie na drewno się zmniejszy.

Stopniową kolonizację obszaru między Barczewkiem a Dobrym Miastem dokumentuje akt lokacyjny wsi *Schönewise* z 1346 r. Nazwa tej wsi mogła mieć charakter – jak powiedzielibyśmy dziś – promocyjny, mając na celu przyciągnięcie nowych osiedleńców⁴² i kontynuację osadnictwa w *terra Gunelauke*. Niezbędne doświadczenie z pewnością zbierano w trakcie wznoszenia „miasta” i „zamku” pierwszego Wartenberga.

Tragiczny koniec osady znany jest z dwóch skróconych odpisów kroniki krzyżackiego herolda Wiganda z Marburga. W nieco dłuższej wersji łacińskiej odnotowano zabicie wszystkich mieszkańców podczas najazdu Kiejstuta i Olgierda w 1354 r.⁴³ W polskim tłumaczeniu przekaz brzmi następująco: „Roku 1354 Kynstut, Olgard z Bojarami spieszą do Wartenberga w ziemi Gunelauken,

⁴¹ Rohrich 1903: 686; Koziełło-Poklewska 1964: 4; Białuński 2014: 28-36; Herrmann 2014: 44-45.

⁴² Por. Higounet 1990: 257.

⁴³ *Anno 1354 Kynstute, Algard cum bayoribus etc. festinant in Wartenberg in terram Gunelauken, quam hostili more, igne etc. devastant, et nemo evasit manus eorum.* Por. SRP II, S. 429-452.

którą nieprzyjacielskim obyczajem ogniem niszczą i nikt z rąk ich nie uszedł”. Tekst kroniki powstał na przełomie XIV i XV w. a więc relacja dotyczyła wydarzeń odległych o około 40 lat. Nasuwa się pytanie, na ile wiarygodna była data tego wydarzenia, jednak już w 1356 r. pojawia się wzmianka o *antiqua civitas Wartberg*⁴⁴. Jeśli nawet zniszczenie Barczewka dokładnie w 1354 r. nie jest pewne, to przesunięcie w czasie może być niewielkie, a sam przekaz - wiarygodny. Najpóźniej w 1365 r. około 700 m na północ od starego miasta zostaje założona wieś, która otrzymuje powtórny dokument lokacyjny w 1376 r. Nazwa *Aldenwartberg*, czyli późniejszy *Alt Wartenburg*, po raz pierwszy wymieniona zostaje w 1369 r. Ze źródeł XIV-wiecznych dowiadujemy się jeszcze, że w 1385 r. we wsi *Aldenwartberg* nadano młyn niejakiemu Laurentiusowi Hunderfrewde. Jest wysoce prawdopodobne, że dotyczy to istniejącego już wcześniej młyna nad rzeką Orzechówką przy wschodnim stoku grodziska, który został odbudowany pomiędzy 1376 i 1385 r.⁴⁵ Młyn ten działał do 1875 r., oznaczany na mapach jako *Orzechowo Mühle* (ryc. 1). Na tym miejscu do dnia dzisiejszego istnieje gospodarstwo rolne z zachowanym układem przestrzennym starego młyna. W terenie bardzo dobrze czytelny jest przekop z Orzechówki, niewielki staw spiętrzający wodę i odpływ strugi młyńskiej (ryc. 2).

Miasto Barczewo jako *Wartenburg* zostaje ponownie założone w 1364 r. w miejscu obecnym. Przywilej lokacyjny na prawie chełmińskim nadał Henrykowi z Łajs biskup warmiński Jan II Stryprock. Nowa lokalizacja miała lepsze naturalne zabezpieczenie obronne, komunikację oraz przestrzeń do rozbudowy. Było to zamierzenie o wiele większe niż pierwotnie, stanowiąc fundament pod zupełnie nowy rozdział dziejów miasta⁴⁶.

Brak jest dowodów na istnienie dokumentu lokacyjnego Barczewka. Jego strukturę można częściowo zrekonstruować na podstawie analizy porównawczej źródeł dla innych miast Warmii. Najbardziej istotne będą przywileje lokacyjne miejscowości zakładanych w podobnym okresie co Barczewko, a więc Dobre Miasto (prawa miejskie 1329), Reszel (prawa miejskie 1337) i Jeziorany (prawa miejskie 1338). Początek procesu osadniczego w Barczewku to zapewne okres krótko po dacie 1325. Ponieważ zwykle potrzebowano kilku lat na rozwój, i sam przywilej pieczętował zorganizowaną już strukturę, jego edycję należy upatrywać około 1330 r., już pod rządami biskupa Henryka Wogenap (1329–1334). Adresatami dokumentu mogli być zapewne wspomniani lokatorzy, bracia Piotr i Jan. Początki osadnictwa w Barczewku zamykają okres śląskiej kolonizacji środkowej Warmii, zapoczątkowanej panowaniem pochodzą-

cego stamtąd biskupa Eberharda z Nysy (+1326). Wskazują na to z jednej strony przykłady innych ośrodków zakładanych przez tego biskupa, a z drugiej - utrzymujące się do 1945 r. lokalne wyspy dialektu śląskiego (*breslausch*)⁴⁷.

Powierzchnia gruntów miejskich mogła wynosić około 100 łanów. Z tego około 60 do 70 łanów przeznaczonych było pod uprawę, a około 30–40 łanów stanowiło grunty miejskie. Dla sołtysa przypadało z tego odpowiednio sześć lub siedem łanów, dodając jeszcze dwa jako dobra wyłączne na potrzeby władcy. Proboszcz otrzymywał około 4 łanów ziemi. Lokatorom zabezpieczono ponadto takie przywileje, jak dziedziczenie sołectwa, sąd niższej instancji, jedną trzecią dochodów z sądów wyższej instancji oraz obiektów użyteczności publicznej. Nie wykluczone, że nabywali także praw do dochodów z młyna. Pośród obiektów użytku publicznego znajdowały się na pewno łaźnia i dom handlowy ze straganami piekarzy, rzeźników i szewców, które wymieniane są w prawie każdym dokumencie lokacyjnym miast warmińskich.

3. PRZEBIEG PRAC WYKOPALISKOWYCH

Stanowisko archeologiczne Stare Miasto w Barczewku znajduje się na wyniesieniu położonym około 0,5 km na południe od wsi, w dolinie rzeki Orzechówki i około 350 m na północny-wschód od brzegu jez. Wadąg. Jest to naturalna forma polodowcowa o stromych zboczach, ze skłonem od strony północnej w kierunku rzeki, od wschodu w kierunku stawu młyńskiego i od południa w kierunku podmokłych łąk nad Wadągiem. Maksymalna wysokość skarp wynosi około 10 m. Jedynie teren od zachodu jest wypłaszczony i znacznie się podnosi. Szczególnie z tej strony konieczny był system sztucznych umocnień składających się z fosy i obwałowań. Powierzchnię stanowiska stanowi owal rozciągający się na długość 220 m po osi wschód – zachód i 160 m po osi północ – południe. Do zagospodarowania i zabudowy nadawały się tereny na zachód od wzgórza. Być może mógł być to planowany kierunek ekspansji rozrastającego się miasta. Obszar mieścił, z czytelną formą umocnień i obniżeniem bramy od zachodu, otoczony jest obecnie łąkami i polami uprawnymi. Od wschodu czytelny jest układ przestrzenny młyna, a dalej rozciągają się kompleksy leśne. Całość tworzy zachowany od czasów średniowiecznych unikatowy kompleks przyrodniczo-kulturowy (ryc. 2).

Badania w ramach polsko-niemieckiego projektu rozpoczęły się jesienią 2013 r. W pierwszej kolejności głównym celem było wykonanie serii badań niedestrukcyjnych zmierzających do potwierdzenia lokalizacji miasta. Były to badania geomorfologii terenu z serią odwiertów⁴⁸, badania geofizyczne kilku hektarów powierzchni stanowiska i jego otoczenia, prace geodezyjne oraz dokumentacja

⁴⁴ CDW II, nr 235; Rohrich 1903: 687; PUB VI, Nr. 293; Białuński 2014: 27.

⁴⁵ CDW III, nr 14; Herrmann 2014: 47-49.

⁴⁶ Kwartaly wielkości 250 x 310 m, z dużym rynkiem o wymiarach 50 x 80 m powierzchni, regularną siecią dróg, kościołem, klasztorem franciszkanów i zamkiem jako siedzibą administracji biskupiej w północno-wschodnim narożniku miasta (por. Herrmann 2007: 779–782, 2015: 231).

⁴⁷ W sprawie analiz lingwistycznych por. Lehmann 1842; Mitzka 1937; Riemann 1965.

⁴⁸ Szwarczewski 2013.

lotnicza wraz z kwerendą dostępnych materiałów archiwalnych⁴⁹. Kluczowe rozstrzygnięcie przyniosły badania geofizyczne (ryc. 9). Wykonano georeferencję zdjęć lotniczych na specjalnie stworzonym podkładzie geodezyjnym i zestawiono całość z wynikami analizy geomagnetycznej. W ten sposób powstała mapa obiektów typowanych do weryfikacji w trakcie badań archeologicznych. Prace terenowe, trwające łącznie około 4 miesięcy, przeprowadzono w sezonach 2014 i 2015⁵⁰. Skoncentrowały się one na rozpoznaniu czterech piwnic budynków mieszkalnych, centralnego obszaru rynku z zabudową rzemieślniczo-handlową (tzw. *mercatorium?*), przekroju wału i fosy od zachodu oraz sondażu we wschodniej części stanowiska. Te ostatecznie przyniosły odkrycie miejsca położenia cmentarza. Łącznie w 13 wykopach przebadano powierzchnię około 1600 m² (ryc. 10). Uzupełnieniem badań terenowych były analizy specjalistyczne licznego materiału zabytkowego, w tym badania numizmatyczne⁵¹, archeozoologiczne⁵², dendrochronologiczne⁵³, archeobotaniczne⁵⁴, antropologiczne⁵⁵, studia osadnicze⁵⁶, kwerenda źródeł historycznych⁵⁷ i konserwacja zabytków⁵⁸.

W rezultacie bez cienia wątpliwości zidentyfikowano stanowisko archeologiczne Stare Miasto w Barczewku jako relikty pierwszej lokacji miasta *Wartenberg*, znane go ze źródeł historycznych. Urbanizację terenu oraz ramy chronologiczne wydarzeń związanych z początkami osadnictwa i tragicznym końcem (1325–1354) potwierdzają liczne znaleziska monet, ceramiki, drobnych zabytków i seria ponad 60 dat pozyskanych z prób drewna. *Terminus post quem* wyznaczają najstarsze daty ścięcia drewna po 1169 r., z apogeum przypadającym na trzecią dekadę XIV w. (1336/1337) i najmłodsze próby z połowy XIV w. Ustalono, że głównym materiałem budowlanym był dąb⁵⁹. Zgodny z przekazem źródłowym jest obraz zniszczenia ośrodka, odzwierciedlony pogorzeliem. Dobrze zachowane struktury konstrukcyjne dały podstawy do wykonania dokumentacji 3D i wstępnej rekonstrukcji układu przestrzennego⁶⁰. Osiedle wzniesiono na surowym korzeniu, a stratygrafia kulturowa poza obiektami niemal zupełnie nie istnieje. Liczne ślady osadnictwa pruskiego w okolicy - grodzisk, wałów podłużnych czy osie-

dli otwartych - wskazują, że na ziemi *Gunelauke* istniało rdzenne osadnictwo pruskie. Jak dotąd jednak relacje między autochtonami i osadnikami w trakcie procesu kolonizacyjnego nie zostały ustalone⁶¹.

Należy wspomnieć, że w odległości około 1,7 km w linii prostej na wschód od Starego Miasta w Barczewku, bezpośrednio nad linią brzegową Wadąga, znajduje się inny jeszcze obiekt tradycyjnie nazywany *Schweden Schanze*. Forma i lokalizacja sugerują powiązanie tego miejsca z osadnictwem pruskim, jakkolwiek szata leśna i brak badań nie pozwalają na jednoznaczną ocenę⁶².

4. WYNIKI DWÓCH SEZONÓW BADAŃ 2013-2015

4.1. Układ przestrzenny założenia

Mapa anomalii wykreślona w trakcie badań geomagnetycznych ukazała regularnie rozplanowaną strukturę przestrzenną⁶³ (ryc. 9). Zidentyfikowano około 25 obiektów, które można interpretować jako zagłębienia piwnic budynków. Od strony zachodniej w linii obniżenia wałów, interpretowanego jako relikty przejazdu bramnego, czytelny jest ciąg pozostałości budynków w dwóch osiach. Od strony północnej jest to pięć regularnych zaciemnień. Od strony południowej układ jest mniej przejrzysty, ale wydzielić można co najmniej sześć tego typu struktur. Rozpoznanie archeologiczne dwóch obiektów w części północnej pozwoliło odstąpić zarysy identycznie rozplanowanych piwnic budynków, na planie zbliżonym do kwadratu o wymiarach około 5 x 5 m. Zachowała się jedynie dolna część tych budynków, w postaci zagłębionej na 1,2 m piwniczki. Od strony południowo-zachodniej znajdował się niewielki korytarz o wymiarach około 0,8 x 1,2 m. Domy budowano zapewne w konstrukcji szachulcowej z pokryciem organicznym, ponieważ na całym stanowisku nie znaleziono ani jednego fragmentu cegły lub dachówki. Zachowana konstrukcja piwnicy składa się ze szkieletu symetrycznie rozmieszczonych 9 słupów o średnicy ok. 20 cm, ustawionych na kwadratowej podwalinie i łączonych poziomą belką ramy. Konstrukcja objana była od zewnątrz pionowymi deskami⁶⁴.

W centralnej części przebadanego obszaru rysuje się prostokątne założenie centralnego placu – rynku o wymiarach 40 x 60 m, z dłuższą osią w układzie NE–SW. Zachodnią pierzeję zamyka ciąg wyraźnie rysujących się pięciu obiektów. Przebadany w 2015 r. jeden z tych obiektów okazał się budynkiem nieco większym niż opi-

⁴⁹ Miałdun 2013, 2014.

⁵⁰ W kampaniach wykopaliskowych (27.07.–29.08.2014, 01.–31.08.2015) pod kierunkiem F. Biermanna i A. Koperkiewicza brał udział zespół w składzie: K. Martyka, A. Kieseler, N. Posselt, F. Popek, E. Sidorowicz, P. Zalecka oraz około 30 współpracowników, wolontariuszy, studentów i doktorantów z uczelni w Gdańsku, Getyndze, Erfurcie, Greifswaldzie, Halle i Olsztynie.

⁵¹ Paszkiewicz 2015.

⁵² Makowiecki 2015.

⁵³ Ważny 2016; Heußner 2016.

⁵⁴ Abramów 2015.

⁵⁵ Drozd-Lipińska 2015.

⁵⁶ Szczepański 2014.

⁵⁷ Herrmann 2014b.

⁵⁸ Drozdek 2016; Koperkiewicz 2016.

⁵⁹ Ważny 2016; Heußner 2016.

⁶⁰ Bloch, Podzorska i Koperkiewicz 2015.

⁶¹ Por. Hollack 1908; Crome 1937; Klimek 2008, 2013.

⁶² Klimek 2014: 61-62.

⁶³ Wroniecki, Jaworski i Rzeźnik 2014.

⁶⁴ Na podstawie analogii obserwowanych na stanowisku Freyenstein w Brandenburgii (badania prof. F. Biermanna i prof. T. Schenka), piwnice mogą wyznaczać tylko część zabudowy parceli, zaś budynek właściwy mógł mieć wymiary znacznie większe i obejmować wejście do piwnicy (Biermann i Schenk 2014: 72-73).

Ryc. 9. Barczewko, gm. Barczewo, st. II. Mapa anomalii geofizycznych grodziska Stare Miasto na podkładzie numerycznego modelu terenu (oprac. P. Wroniecki)

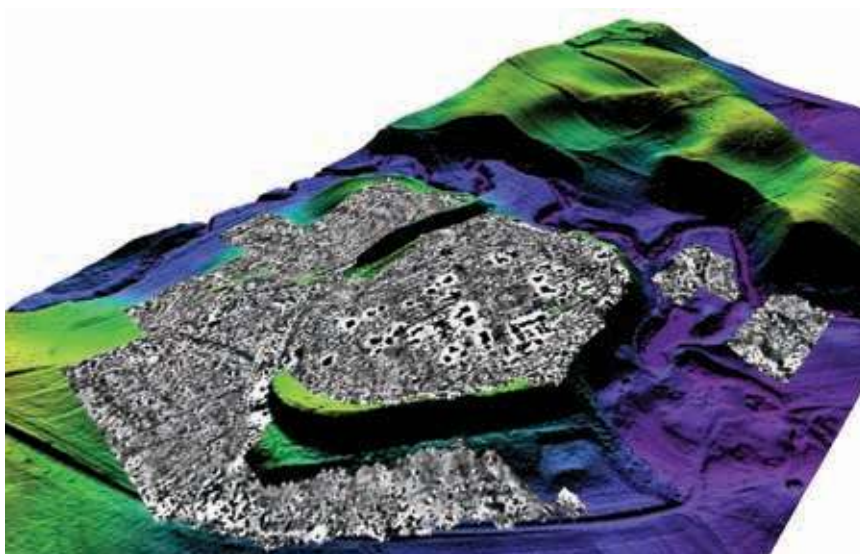


Fig. 9. Barczewko, community of Barczewo, site II. Map of the geophysical anomalies of the stronghold Stare Miasto upon a digitally generated model of the terrain (elaborated by P. Wroniecki)

Ryc. 10. Barczewko, gm. Barczewo, st. II. Planigrafia stanowiska i lokalizacja wykopów w sezonie 2014-2015 (oprac. A. Koperkiewicz)

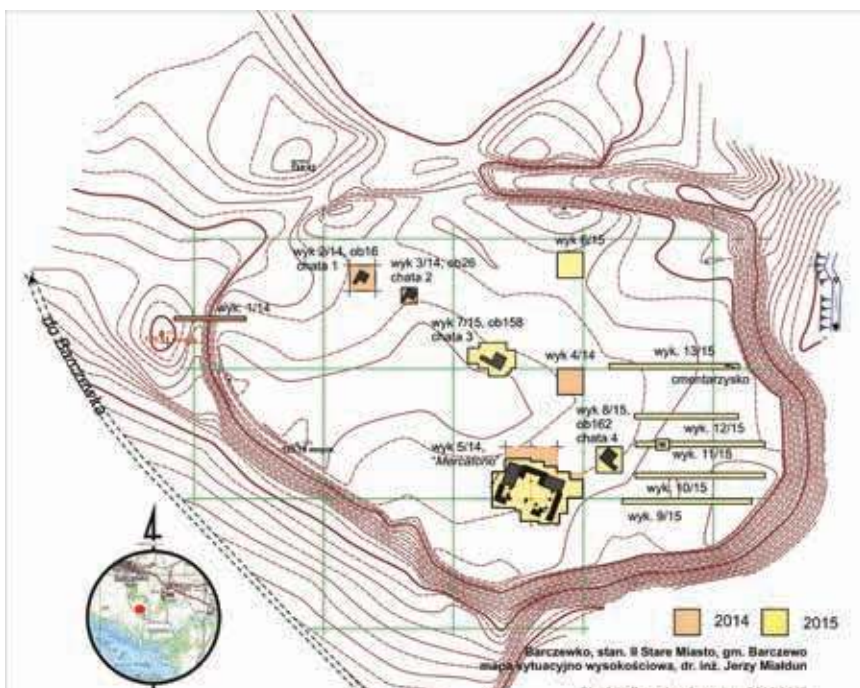


Fig. 10. Barczewko, community of Barczewo, site II. Plan of the archaeological site showing the location of the trenches in the seasons 2014-2015 (elaborated by A. Koperkiewicz)

sane wcześniej (ryc. 11), wzniesionym analogicznie na planie kwadratu o podstawie ok. 5,6 x 5,6 m. W tym przypadku wejście do piwnicy stanowiła rampa od strony zachodniej, o długości 5 m. Na mapie anomalii czytelny jest symetryczny budynek od południa. Oba znajdują się w centralnej części pierzei zachodniej. Naprzeciw, od wschodu, rysują się dwa analogiczne obiekty z wejściami sytuowanymi z kolei od wschodu. Usytuowanie wejść do piwnic może wskazywać przestrzeń zaplecza budynków, gdzie czoło skierowane jest do placu rynkowego lub ciągów komunikacyjnych. Dalej w kierunku wschodnim koncentrują się mniejsze anomalie, z których jedna okazała się półziemianką o wymiarach 2 x 3 m z piecem i brązowym kotłem. Na skraju wysoczyzny od wschodu widać jeszcze tylko jeden większy obiekt na planie prostokąta.

W północno-wschodniej części rynku obecny jest jeden obiekt, bądź kompleks obiektów, również na planie prostokąta. Przepuszczalnie w tym obszarze należałoby poszukiwać pozostałości kościoła, tym bardziej że na wschód od niego zlokalizowano najpewniej cmentarzysko i pojedyncze pochówki ludzkie. Od strony południowej plac centralny zamknięty został kompleksem budynków na planie prostokąta o wymiarach 14 x 24 m (ryc. 12). Linia północną stanowi zwarta zabudowa drewniana, z przerwą o szerokości 2 m. W narożniku NW znajdował się drewniany budynek o wymiarach 4 x 5 m, zaś w narożniku NE także budynek drewniany, ale podpiwniczny, o wymiarach 4 x 8 m. Resztę zabudowy stanowiły najpewniej wiaty i zadaszenia ze ścianami okalającymi dziedziniec otwarty na południe. W linii południowej zidentyfikowano trzy piecowiska. Na całej powierzchni



Ryc. 11. Barczewko, gm. Barczewo, st. II. Zwęglona, drewniana konstrukcja wejścia, stropu i ścian piwnicy domu nr 3 (wykop 7/15, ob. 158) z odsłoniętym fragmentem glinianej podłogi i leżącymi na niej przedmiotami (fot. F. Popek i A. Koperkiewicz)

Fig. 11. Barczewko, community of Barczewo, site II. Entrance, ceiling, and cellar walls of house no. 3 (trench 7/15, feature 158) together with an exposed fragment of the clay floor with objects lying on it (photo by F. Popek and A. Koperkiewicz)



Ryc. 12. Barczewko, gm. Barczewo, st. II. Zarys kompleksu budynków w wykopie nr 5 zlokalizowanych w południowej części placu, interpretowanych jak budynek centralny *mercatorio* (fot. A. Koperkiewicz)

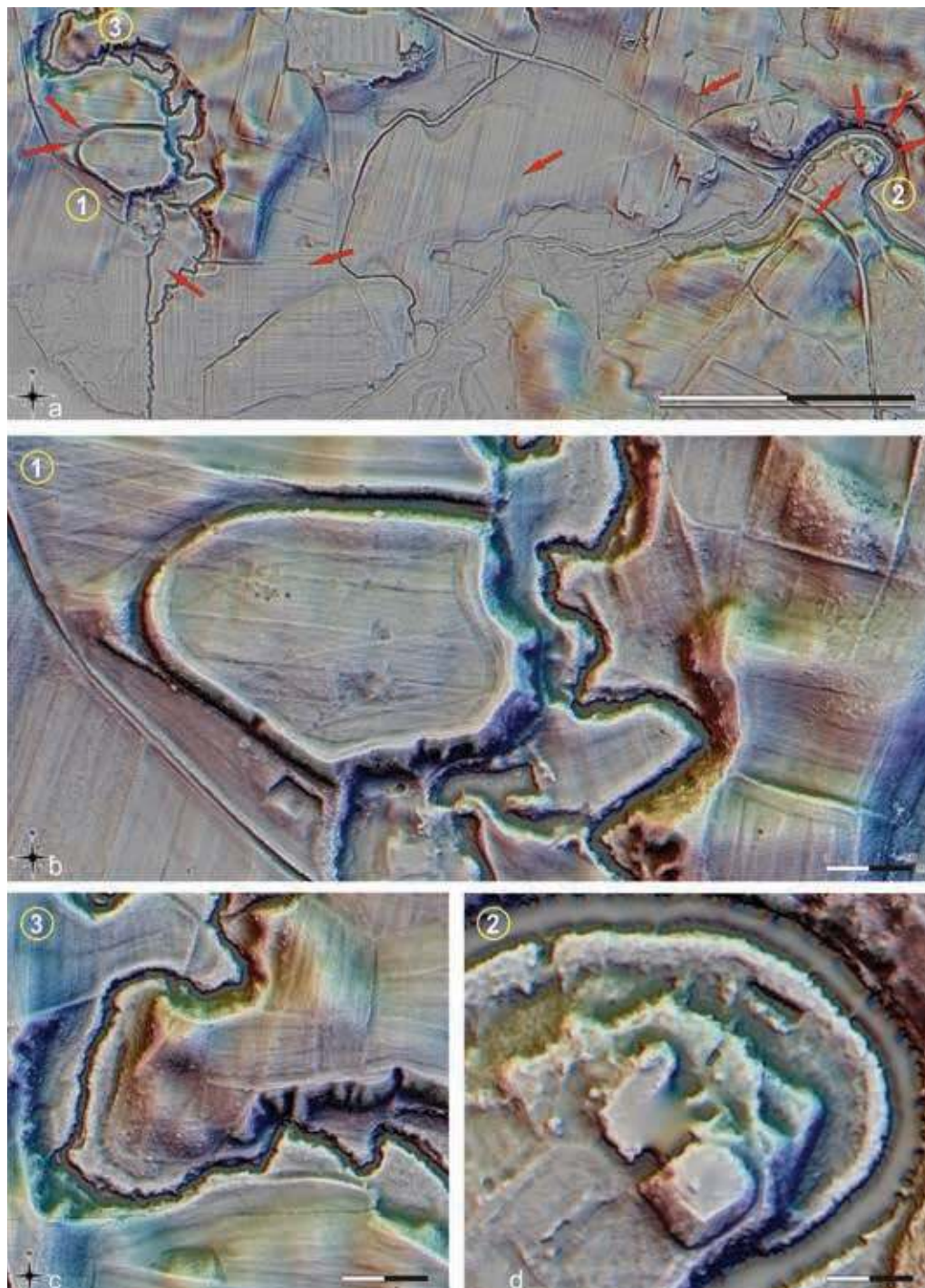
Fig. 12. Barczewko, community of Barczewo, site II. Outline of the complex of buildings in trench no. 5, located in the southern part of the area, interpreted as the central building of the *mercatorio* (photo by A. Koperkiewicz)

znajdowano liczne pozostałości szlaki pozostałej z wytopu żelaza. Być może to właśnie miejsce należałoby traktować jako wymieniane w wielu źródłach *mercatorium* - miejsce centralne, gdzie funkcjonowało rzemiosło, mogły być wystawiane ławy i odbywać się wymiana handlowa. Taki charakter potwierdzają liczne znaleziska drobnych przedmiotów, jak np. kluczy, kłódek, ceramiki, okuć zawiasów drzwi i znaleziska monet⁶⁵. Hipoteza ta zyskuje na wiarygodności, jeśli wziąć pod uwagę, że tu właśnie wystąpiła największa koncentracja monet, a obok znaleziono przedmioty luksusowe, jak np. złocone aplikacje odzieży, grotły włóczni i ostrogi.

⁶⁵ Zbiór z Barczewka liczy obecnie 119 egzemplarzy brakteatów dokumentujących wczesny etap nasycenia pieniądzem tych terenów. W kolekcji dominują egzemplarze wybijane przez mennice państwa krzyżackiego, choć najprawdopodobniej daje się dostrzec również udział monety biskupiej (Paszkiwicz 2015).

4.2. Obronny charakter założenia

Nowy ośrodek, wzniesiony daleko na przedpolu zwartego już osadnictwa na północy, zagrożony był najazdami ze wschodu. Budowniczości kierowali się zapewne względami strategicznymi, wybierając miejsce nieprzypadkowe, które pozwalało wykorzystać naturalne walory obronne przy początkowo minimalnych nakładach. Ośrodki tworzone na pograniczach jako pierwsze brały na siebie ciężar agresywnych akcji przeciwnika. Pozornie można uznać, że lokalizacja była chybiona, wobec późniejszej tragedii i w konsekwencji przeniesienia miasta. Śledząc plastyczne odwzorowanie topografii na podstawie analizy numerycznych modeli terenu widać, że wzgórze Starego Miasta jest skryte za cyplem wysoczyzny (ryc. 13 a-b). Jeśli przyjąć, że najazd litewski nastąpił z kierunku wschodniego, to wojska Kiejstuta musiały najpierw natknąć się na wysuniętą strażnicę (*castrum Wartenberg?*) w zakolu Pisy. Do osady *Wartenberg* napastnicy



Ryc. 13. Numeryczny model terenu północno-wschodniego brzegu jez. Wadąg w okolicach Barczewka: a - formy terenowe, które mogły być brane pod uwagę jako punkty strategiczne w procesie zakładania miasta i rekonstrukcja możliwego kierunku natarcia wojsk litewskich w r. 1354 (1355): 1 - grodzisko, st. II - Stare Miasto; 2 - kopiec strażniczy oraz *Wachthügel*; 3 - niezbadana forma terenowa nad Orzechówką, b - zbliżenie topografii grodziska „Stare Miasto” nad Orzechówką, c - topografia niezbadanej formy terenu na NW od grodziska, d - topografia gródka *Wachthügel* nad Pisą (oprac. A. Koperkiewicz)

Fig. 13. Digital model of the terrain on the NE bank of Lake Wadąg near Barczewko: a - the features of terrain which could have been taken into account as strategic points when the town was founded, and a reconstruction of the possible directions of attack of Lithuanian forces in 1354 (1355): 1 - the stronghold, site II - Stare Miasto; 2 - the watch-mound as well as the *Wachthügel*; 3 - the non-investigated terrain feature on the Orzechówka River; b - a close-up of the topographical feature on the stronghold Stare Miasto on the Orzechówka River; c - the topography of the non-investigated terrain feature to the NW of the stronghold; d - the topography of the small mound *Wachthügel* on the Pisa River (elaborated by A. Koperkiewicz)

dotarli poruszając się zapewne wzdłuż pierwszej terasy Pisy, mijając od południa jej rozlewiska, północny brzeg jeziora Wadąg oraz teren młyna od północy (ryc. 13 a).

System obronny miasta uzupełniała zapewne sieć rozlokowanych w terenie strażnic. Wspomniano wcześniej o lokalizacji w zakolu Pisy obiektu nazywanego w tradycji lokalnej *Wachthügel*⁶⁶. Pomijając kwestię możliwości identyfikacji tego obiektu z *castrum Wartenberg*, jego lokalizacja zdaje się być przemyślanym zabezpieczeniem przeprawy między rzeką i linią brzegową jeziora Wadąg. W chwili obecnej jedynie ukształtowanie wzgórze, czytelne na opracowaniu numerycznego modelu terenu, podkreśla jego domniemaną dawną funkcję militarną.

Rozpoznanie wymaga jedno z wyniesień usytuowanych od północnej strony grodziska Stare Miasto, w meandrach rzeki Orzechówki. Jego formę tworzą regularne płaszczyzny stromych stoków, z niewielkim *plateau* na wierzchołku o powierzchni nie większej niż 10 m² (ryc. 13 a, c). Miejsce to wydaje się być dogodnym punktem obserwacji i obrony.

Trzeci interesujący punkt w terenie znajduje się w bezpośrednim sąsiedztwie wjazdu (ryc. 2, 10, 13 b). Jest to niewielkie wzgórze od strony południowo-zachodniej, które mogło zabezpieczać bramę wjazdową. Także ten teren wymaga jeszcze weryfikacji wykopaliskowej, podobnie jak jeden z najważniejszych elementów fortyfikacji, czyli obszar bramy wjazdowej. Wymienione obiekty tworzą interesujące formy topograficzne, choć częściowo uformowane naturalnie. Nie zmienia to faktu, że nawet bez dodatkowych konstrukcji i umocnień mogły one stanowić skuteczne miejsce obserwacji, kontroli i stawiania oporu. Trudno nie wspomnieć, że w najwcześniejszej fazie zajmowania terytorium Prus nawet ufortyfikowane dęby odegrały swoją rolę⁶⁷.

W przypadku miast uzupełniających sieć warowni i zamków, proces fortyfikowania musiał być znacznie rozłożony w czasie⁶⁸. W Barczewku możemy zaobserwować jedynie początkowe jego stadium. Dostęp na wzgórze utrudniały od północy, wschodu i południa strome skarpy o wysokości około 10 m. Najłabszym punktem obrony, a jednocześnie umożliwiającym komunikację z otoczeniem, była część zachodnia, która w pierwszej kolejności wymagała wzmocnienia. Dlatego tu właśnie wał musiał być szczególnie mocny i wysoki. Do dziś rysują się jego pozostałości, usypane w półksiężyc. W centralnej części wału znajdowało się obniżenie o szerokości około 10 m, słusznie chyba identyfikowane jako relikwiny wjazdu i bramy. Na przedpolu wału wykopano fosę, która z czasem została zniwelowana. Przekop wykonany na linii wschód – zachód, i prowadzący do rzeki Orzechówki, dobrze zachował się od strony północnej. Jego długość wynosi około 120 m, szerokość około 8 m u podstawy, a zachowana głębokość około 5 m.

Próbę rozpoznania systemu fortyfikacji podjęto w południowo-zachodniej części wału (ryc. 10). Założono tu podłużny wykop sondażowy o długości 27 m. Wykopem przecięto nasyp o zachowanej wysokości ponad 1 m oraz domniemaną fosę u jego podstawy. Na podstawie wykonanych wcześniej profili geologicznych wiadomo było, że obniżenie przed wałem zachodnim było znacznie głębsze. Do głębokości około 3 m zalegały przemieszane warstwy piasków z rozproszoną materią organiczną oraz poziomy akumulacyjne gleby kopalnej⁶⁹ (ryc. 14). W przekroju archeologicznym, na kulminacji wału zarejestrowano nasyp o szerokości podstawy ok. 5,5 m oraz zachowanej wysokości 1,2 m (ryc. 15). Pierwotnie wał mógł być znacznie wyższy. Od strony majdanu występuje sekwencja warstw układających się ukośnie, równoległe do wewnętrznego stoku podstawy wału. Całość przykrywa poziom warstwy użytkowanej rolniczo, o grubości około 30 cm. Na uwagę zasługuje najniższy poziom kulturowy. Jest to warstwa piasku zaciemniona spalenizną i oddzielająca nawarstwienia kulturowe od poziomu nawarstwień naturalnych. Ma ona miąższość około 5 cm i występuje na całej długości odsłoniętego profilu wewnętrznego. Wydaje się, że w tym przypadku jest to nie tyle pamiątka tragicznego końca Wartenberga, co raczej ślad początkowej akcji budowlanej i przygotowania terenu. Przykład podobnego działania zarejestrowano w trakcie badań zamku w Bezlawkach⁷⁰. Wydaje się naturalne, że duże akcje budowlane musiał poprzedzać karczunek drzew i zarośli. Nie wspominają o tym źródła, ale takie działanie mogło być zasadne na samym początku procesu inwestycyjnego w trakcie przygotowania placu budowy, choćby ze względu na potrzebę rozmierzania terenu⁷¹. Zastosowanie ognia niewątpliwie przyspieszało ten żmudny proces. Od zachodu, u podstawy stoku wzgórze, odsłonięto idealnie V- kształtny przekrój fosy. Jej maksymalna szerokość wynosiła 8 m, a głębokość sięgała około 2,8 m. Przekop wypełniony był warstwami spływowymi, co można było prześledzić w stratygrafii zbocza. Na samym dnie rowu zalegały ciemne warstwy osadów biogenicznych związanych z okresowym zastoiskiem wody lub ciekami przy wysokich stanach rzeki. W zasypie fosy nie odnotowano żadnych znalezisk ruchomych. Fakt ten, w powiązaniu z układem nawarstwień, świadczy zapewne o krótkotrwałym funkcjonowaniu fosy.

Idealnie wymodelowany kształt przekopu wydaje się być zjawiskiem obcym dla środowiska pruskiego, choć prawdą jest, że niewiele tego typu założeń zostało przebadanych. Tak ukształtowaną fosę widać na rysunkach przekroju wału głównego grodziska w Starym Dzierzgoniu autorstwa Hansa Schleifa⁷², czy na przekroju geologicznym założenia obronnego na wyspie Wielka Żuława na Jezioraku⁷³. Przeprowadzone tam ostatnio badania archeologicz-

⁶⁶ Klimek 2013: 217-229.

⁶⁷ Polński 2007; Arsyński 1995: 117.

⁶⁸ Chęć 2007: 204.

⁶⁹ Szwarzewski 2013: 18.

⁷⁰ Koperkiewicz 2013: 61-62.

⁷¹ Arsyński 1995: 160.

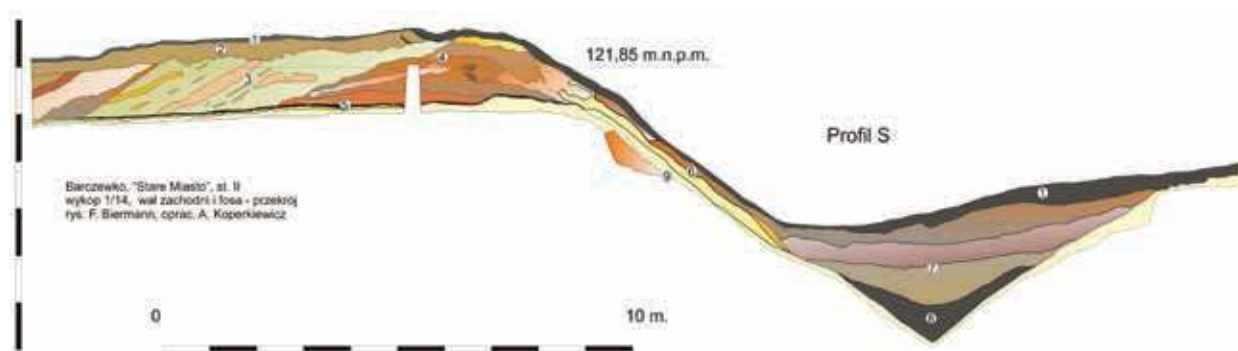
⁷² Von Seefeld 1937: ryc. 9; Gazda *et al.* 2013: 143, ryc. 8.

⁷³ Ntrychoruk i Welc 2013: 264.

Ryc. 14. Barczewko, gm. Barczewo, st. II, wykop 1/14. Przekrój zachodniego odcinka wału i fosy (fot. F. Biermann i A. Koperkiewicz)



Fig. 14. Barczewko, community of Barczewo, site II, trench 1/14. Section of the western part of the embankment and ditch (photo by F. Biermann and A. Koperkiewicz)



Ryc. 15. Barczewko, gm. Barczewo, st. II, wykop 1/14. Południowy profil zachodniego odcinka wału i fosy (rys. F. Biermann, oprac. A. Koperkiewicz)

Fig. 15. Barczewko, community of Barczewo, site II, trench 1/14. Southern section of the western portion of the embankment and trench (elaborated by A. Koperkiewicz, drawn by F. Biermann)

ne potwierdziły, że jest to wczesna forma warowni krzyżackiej. Kształt fosy widoczny na przekroju archeologicznym jest uformowany podobnie jak w Barczewku. Miąższość nawarstwień fosy jest nieco mniejsza, co wynika z dobrego zachowania obiektu, z czytelnym do dziś korytem fosy. Chronologię założenia potwierdza identyczny zestaw znalezisk⁷⁴. Profilowane, V-kształtne rowy charakterystyczne były dla wczesnośredniowiecznych założeń obronnych zachodniej i środkowej Europy, chociaż obecne były jeszcze także w późnym średniowieczu⁷⁵. Ostatnio w Dolnej Saksonii odkryto analogicznie kształtowaną fosę tzw. *Spitzgraben* o szerokości 11,5 m i głębokości 3 m⁷⁶. To może być kolejna przesłanka, która pozwala przykład Barczewka identyfikować z zachodnią tradycją wznoszenia obwałowań i umocnień. W nawarstwieńach fosy nie odnaleziono żadnych śladów szalunków i konstrukcji drewnianych, które mogły tam wpaść wraz z jej erozją. Można się jednak domyślać, że na koronie wału istniała jakaś forma drewnia-

nego ogrodzenia, płotu lub palisady. W systemie umocnień miast Europy Środkowej często występowała kombinacja drewnianego szkieletu z nasypem ziemnym⁷⁷.

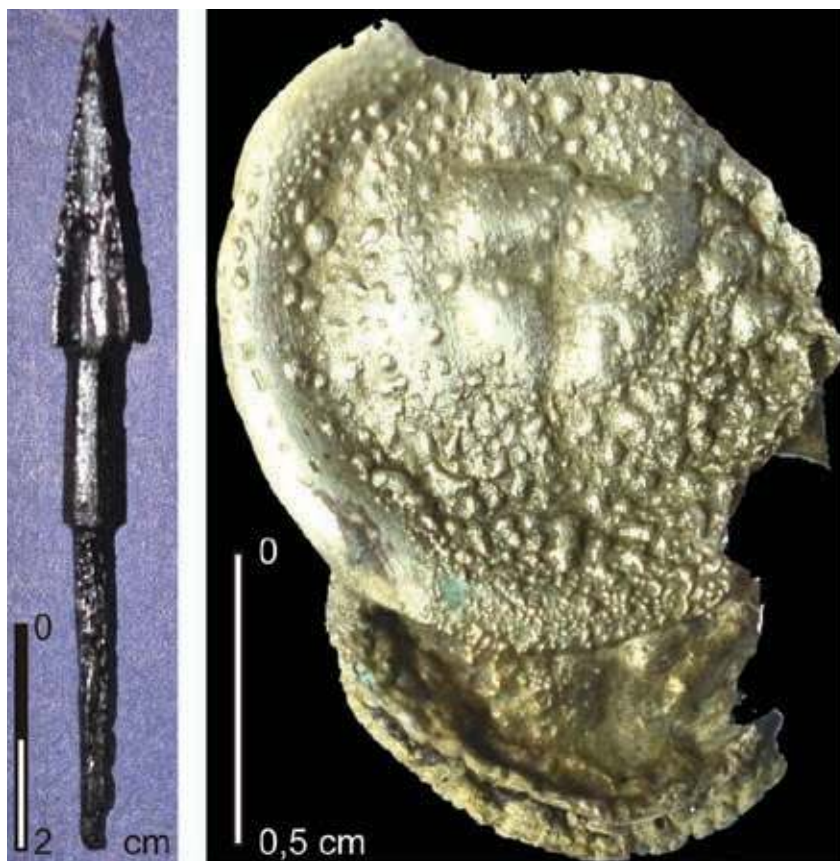
Przy okazji analizy systemu fortyfikacji osady *Wartenberg* uwagę zwraca wyizolowany budynek na wschodnim skraju stanowiska, tuż nad stromizną stoku (ryc. 12). Regularna anomalia widoczna jest na echogramie badań geofizycznych. Obiekt rozpoznano jedynie powierzchniowo, odkrywając i dokumentując zarys warstw stropowych w jednym z wykopów sondażowych. Na tle innych przebadanych budynków tutaj zwraca uwagę wyjątkowa duża ilość kamienia, zupełnie nieobecnego gdzie indziej. Pośród materiału ceramicznego znajdowano stosunkowo liczne fragmenty ceramiki przedlokacyjnej, tradycyjnej. Przyjęto roboczą hipotezę, że mógł być to element najstarszej części założenia, wzniesiony skrajnie daleko od wjazdu, w miejscu trudno dostępnym, a przez to łatwiejszym do obrony od wschodu. Mógł być to również dobry punkt do obserwacji terenowej, z którego ponad linią drzew widać rozległą panoramę obszarów nad Wa-

⁷⁴ Wysocki i Klęczar 2013: 330-334.

⁷⁵ Por. Zeune 1999: 227; Schütz 2007: 330; Rosmanitz 2009.

⁷⁶ Brückner 2016: 49.

⁷⁷ Plate 2000: 7n.; Stephan 2010: 234, 2011: 91.



Ryc. 16. Barczewko, gm. Barczewo, st. II. Żelazny grot bełtu kuszy o prawdopodobnej wschodniej lub północnej proveniencji (a) oraz częściowo nadtopiony na całej powierzchni srebrny brakteat (fot. A. Koperkiewicz)

Fig. 16. Barczewko, community of Barczewo, site II. Iron head of a crossbow bolt of probable eastern or northern provenance (a), as well as a silver bracteate partly melted over its whole surface (photo by A. Koperkiewicz)

dągiem. W tej części stanowiska brak jest śladów sztucznych nasypów, które można byłoby identyfikować jako pozostałość obwałowań. Przy ostrym nachyleniu stoku, jedynym zabezpieczeniem mogło być drewniane ogrodzenie. Badania wczesnych warowni krzyżackich ziemi chełmińskiej potwierdzają, że często obwody fortyfikowane były niewielkimi nasypami wzmocnionymi palisadowo-płotową konstrukcją drewnianą. Tradycyjnie założeniom obronnym w państwie krzyżackim przypisywano skłonność do monumentalnych i zgeometryzowanych kształtów, postrzeganych przez pryzmat późnej kasztelowej architektury murowanej. Formy wczesnych założeń obronnych wydają się bardzo zróżnicowane. Często mylone bywają z założeniami pruskimi, co wynika ze słabego rozpoznania większości z nich. Niełatwo jest zdefiniować tę architekturę, bo są to czasem rozległe twierdze, składające się z grodu i podgrodzia (np. Weklice), monumentalne systemy obronne (np. Stary Dzierzgoń), bądź gródki o niewielkiej powierzchni typu *motte* (np. Gruta lub Równina Dolna)⁷⁸. Czasami, jak w przypadku Rogóżna, Torunia czy Pokrzywna, warownie drewniano-ziemne przekształcono w murowane. Na Warmii nie widać wielu przykładów wczesnych warowni wieloczołowych i tak monumentalnych, jak np. na Sambii. W wielu przypadkach wykorzystywano tam stare założenia obronne, wznoszono zamki o owalnej formie na fundamentach gródka czy z dawnego grodziska tworzone przedzamcze.

⁷⁸ Poliński 2007: 43, 48-49, 56.

W trakcie trwających ostatnio projektów badawczych w Obwodzie Kaliningradzkim dostrzeżono, że również tam nie wszystkie grodziska „pruskie” są pruskie⁷⁹. Barczewko, podobnie jak wiele innych tego typu obiektów, postrzegane było w literaturze jako pozostałości grodów plemiennych, adaptowanych potem przez krzyżaków⁸⁰. Dopiero badania archeologiczne (np. Olsztyn, Barciany, Beżławki i wiele innych) wykluczają taki scenariusz. W przypadku Barciany i Beżławk grodziska znajdowały się w oddaleniu od zamku, przy czym nadal brak jest pewności, czy na pewno osadnictwo pruskie było tam głównym żywiołem. Tak przynajmniej wynika z badań obwarowania nad Dajną w Beżławkach, gdzie także istnieje podstawa do sądu, że to głównie krzyżackie działania inżynieryjne fortyfikowały teren⁸¹.

Charakterystyczną cechą wczesnych założeń jest drewniana zabudowa o konstrukcji szkieletowej, która całkowicie dominuje w Barczewku. Badacze zgodnie przyjmują, że ta forma architektury przybyła na obszary ziem polskich, południowej strefy Bałtyku i do Prus wraz z osadnictwem niemieckim, rozprzestrzeniając się wskutek procesów osadniczych. Zabudowa drewniana miast

⁷⁹ Roman Shiroukhov, *Ziemne piramidy Prusów – wszystko o grodziskach Sambii i nie tylko*. Wykład wygłoszony 17.11.2016 r. w Olsztynie oraz informacje na temat ostatnio prowadzonych projektów badawczych w Obwodzie Kaliningradzkim.

⁸⁰ Klimek 2008: 14.

⁸¹ Nowakiewicz 2013.



Ryc. 17. Barczewko, gm. Barczewo, st. II. Wybór żelaznych militariów i ozdobny kluczyk gotycki (fot. M. Pacholec)

Fig. 17. Barczewko, community of Barczewo, site II. Selected iron finds connected with military activities, and a decorative Gothic key (photo by M. Pacholec)

jest dominująca w XIII i XIV w.⁸², a nawet później jest charakterystyczna dla siedzib urzędników niższej rangi jeszcze nawet w XV w.⁸³ Słupowa konstrukcja nośna charakteryzuje wczesne budowle obronne ziemi chełmińskiej, takie jak np. Pień i Słozewy⁸⁴.

Zarówno prace wykopaliskowe, jak i prospekcja powierzchniowa z użyciem detektorów metali przyniosły znaleziska setek zabytków, a w tym także militariów. Z tych ostatnich największą grupę stanowiły groty bełtów kuszy i groty strzał. Niektóre z nich tkwiły jeszcze w belkach zwęglonych konstrukcji. W kolekcji kilkudziesięciu zabytków znajduje się zupełnie nietypowy okaz grotu strzały z trzpieniem i długości 7 cm (ryc. 16a). Składa się on z trzech części: graniastej podstawy kolca, sześciokątnej tulei i ostrego trzpienia. Tego typu okazy znane są od XI (być może nawet od IX) wieku⁸⁵ i znajdują szerokie analogie od Skandynawii na północy po Mandżurię na wschodzie. Obecne są one także na Litwie pośród znalezisk z drugiej połowy XIV w.⁸⁶. Groty takie miały trafić na Ruś za pośrednictwem Mongołów (typ 24 wg Medvedeva?)⁸⁷. Niewykluczone, że jest to jeden z najbardziej namacalnych dowodów obecności pod Barczewkiem Kiejstutowej drużyny, dobrze korespondujący ze śladami pożaru, obecnymi także na przepalonych monetach (ryc. 16a, b).

Na powierzchni stanowiska groty bełtów kuszy znajdowane były luzem, co nie dziwi w takim stopniu, jak znalezisko dźwigni spustowej kuszy i haków naciągowych. Tej broni raczej nie gubiono, co ponownie daje mocne przesłanki do stwierdzenia obecności śladów bitwy. Większość przedmiotów znajdowana była w nawarstwieniach piwnic. Topór, groty włóczni i strzał czy pugi nały nożowe miały charakter uniwersalny. Służyły w życiu codziennym⁸⁸, jak i mogły zarazem stanowić uzbrojenie defensywne (ryc. 17). Inne przedmioty pozostałe *in situ* w pogorzelisku, spieczone monety (ryc. 16 b) i naczynia (ryc. 18), pług i topór (ryc. 19) w piwnicy, czy szczątki dziecka pod zwaloną konstrukcją, świadczą o nagłym charakterze zdarzenia. Trudno spekulować jak wyglądała obrona miasta i które jej elementy zawiodły. Z całą pewnością można jednak zamknąć te rozważania konkluzją, że Barczewko / *Alt Wartenburg* jest kapsułą czasu z początków pierwszego osadnictwa zorganizowanego na Warmii (ryc. 20). Stanowisko Stare Miasto w Barczewku i jego zrozumienie wpisuje się w nurt badań, w którym proces odkrywania i rozumienia następuje dzięki połączeniu metod niedestrukcyjnych - fotografii lotniczej, badań geofizycznych i wykopalisk archeologicznych⁸⁹.

Prace przeprowadzone w latach 2013–2015 przede wszystkim potwierdziły prawdę przekazu historycznego i pierwszej lokalizacji biskupiej osady *Wartenberg*. Przyczyniły się do zrozumienia różnych aspektów planowania,

⁸² Nawrońska 2012: 105.

⁸³ Poliński 2013: 168-177.

⁸⁴ Poliński 2007: 56.

⁸⁵ Wegraeus 1973: 191-208.

⁸⁶ Rackevičius 2002: 167, ryc. 42 – tu potraktowany jako grot bełtu kuszy.

⁸⁷ Medvedev 1966: 61, tabl. 30:24. Za uwagi na ten temat dziękujemy dr. Marcinowi Englowi.

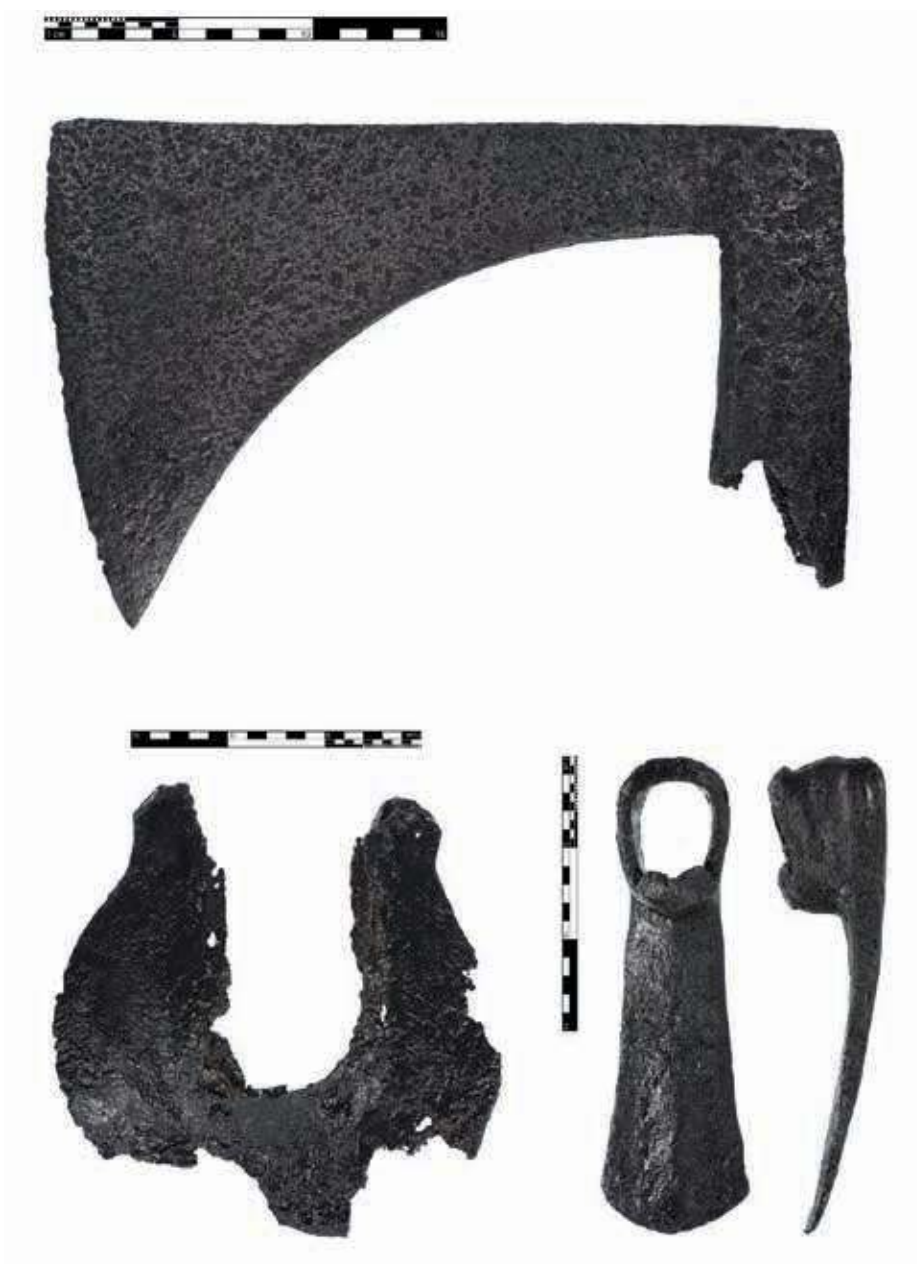
⁸⁸ Na kościach zwierzęcych z piwnicy domu nr 1 (ob. 16/14) zidentyfikowano liczne ślady obróbki rzeźniczej, które można próbować pasować do konkretnego narzędzia (por. Makowiecki 2015), bowiem w tym samym obiekcie i kontekście znajdowały się m.in. tasak i pugi nały.

⁸⁹ Por. Andrzejewski i Wroniecki red. 2015.



Ryc. 18. Barczewko, gm. Barczewo, st. II. Wybór ceramiki. Zwracają uwagę egzemplarze zdeformowane w wyniku wysokiej temperatury (fot. M. Pacholec)

Fig. 18. Barczewko, community of Barczewo, site II. Selected ceramics. Note the examples distorted by exposure to high temperatures (photo by M. Pacholec)



Ryc. 19. Barczewko, gm. Barczewo, st. II. Wybór żelaznych narzędzi (fot. M. Pacholec)

Fig. 19. Barczewko, community of Barczewo, site II. Selection of iron implements (photo by M. Pacholec)

Ryc. 20. Ilustracja w kodeksie prawa, tzw. *Zwierciadło Saskim* (*Sachsenspiegel*) ukazująca proces zakładania wsi ok. 1300 r. (wg: Oldenburger Sachsenspiegel)

Fig. 20. Illustration in the legal codex known as the *Saxon Mirror* (*Sachsenspiegel*) showing the settlement of a village ca 1300 (after the Oldenburger Sachsenspiegel)



architektury, organizacji i podstaw ekonomicznych wczesnego rozwoju miasta. Udokumentowano pozostałości budynków o funkcji mieszkalnej, gospodarczej i usługowej

oraz odnaleziono setki artefaktów pochodzących z wąskiego przedziału chronologicznego (ok. 1330-1354 r.) i tworzących kompletny obraz kultury materialnej tego okresu.

Wykaz cytowanej literatury:

Źródła:

CDW I–III

1860-1874. *Codex Diplomaticus Warmiensis oder Regesten und Urkunden zur Geschichte Ermlands*, T. 1 (1231–1340), T. 2 (1341–1375), T. 3 (1376–1424). Mainz – Braunsberg – Leipzig: Franz Kirchheim.

Dusburg

2004. Piotr z Dusburga, *Kronika ziemi pruskiej*, przeł. S. Wyszomirski, koment. J. Wenta. Toruń: Wydawnictwo Uniwersytetu Mikołaja Kopernika.

PUB VI

1986. *Preußisches Urkundenbuch*, red. K. Conrad. T. 6, cz. 1 (1362–1366). Marburg: Elwert.

SRP I-II

1861-1863. *Scriptores rerum Prussicarum. Die Geschichtsquellen der preußischen Vorzeit bis zum Untergange der Ordensherrschaft*, red. T. Hirsch, M. Töppen i E. Strehlke. T. 1-2. Leipzig: S. Hirzel.

Literatura:

Abramów, J.

2016. *Wyniki analizy archeobotanicznej makroskopowych szczątków roślin z prób glebowych oraz odcisków na polepie, pobranych w trakcie badań archeologicznych na stanowisku Barczewko (grodzisko Alt Stadt), stan. II, AZP 22-62/3, gm. Barczewo, woj. warmińsko-mazurskie*. Lubsin (maszynopis opracowania).

Achremczyk, S.

2010. *Historia Warmii i Mazur. T. 1. Pradzieje – 1772*. Olsztyn: Towarzystwo Naukowe i Ośrodek Badań Naukowych im. Wojciecha Kętrzyńskiego w Olsztynie.

Andrzejewski, A. i P. Wroniecki (red.)

2015. *W poszukiwaniu zaginionego miasta: 15 lat badań średniowiecznej lokalizacji Nieszawy*. Łódź: Stowarzyszenie Naukowe Archeologów Polskich, Oddział w Łodzi i Instytut Archeologii Uniwersytetu Łódzkiego.

Arszyński, M.

1995. *Budownictwo warowne zakonu krzyżackiego w Prusach (1230–1454)*. Toruń: Wydawnictwo Uniwersytetu Mikołaja Kopernika.

Białyński, G.

2014. *Wartenberg quomodo reedificatur. O trudnych początkach Barczewa*, [w:] G. Białyński (red.), *Szkice z dziejów Barczewa*, 21–37. Barczewo: Centrum Kultury i Promocji Gminy w Barczewie.

Biermann, F.

2010. *Archäologische Studien zum Dorf der Ostsiedlungszeit. Die Wüstungen Miltendorf und Damsdorf in Brandenburg und das ländliche Siedlungswesen des 12. bis 15. Jahrhunderts in Ostmitteleuropa*. Forschungen zur Archäologie im Land Brandenburg 12. Wünsdorf: Brandenburgisches Landesamt für Denkmalpflege und Archäologisches Landesmuseum.

Biermann, F. i T. Schenk

2014. *Neue Einsichten zur Gründung der Stadt Freyenstein (Prignitz)*. *Mitteilungen der Deutschen Gesellschaft für Archäologie des Mittelalters und der Neuzeit* 27: 69–76.

Bloch, S., A. Podzorska i A. Koperkiewicz

2015. *Alt Wartenburg/Barczewko na Warmii. Narodziny średniowiecznego miasta - badania archeologiczne*

- 2013-2015. Internet: <https://www.youtube.com/watch?v=4ZfnGtevmL8> (wgląd 15.09.2016)
- Bönigk, von G.
1883. Die Stätte der alten Stadt Warteburg und die Wallberge der Umgebung. *Altpreußische Monatschrift*, NF 20 / Alterthumsgesellschaft Prussia in Königsberg 1881/1882, Sitzung vom 16. September 1883, 152–160.
- Boockmann, H.
1981. *Der deutsche Orden. Zwölf Kapitel aus seiner Geschichte*. München: C.H. Beck.
- Brückner, M.
2016. Gräben und Keller – Hannovers Stadtbefestigung im Querschnitt. *Archäologie in Deutschland* 5: 49.
- Chęć, A.
2007. Ufortyfikowane miasta w systemie obronnym południowych rubieży państwa zakonnego w Prusach, [w:] K. Grążawski (red.), *Pogranicze polsko-pruskie i krzyżackie (II)*, 197-207. Włocławek – Brodnica: Włocławskie Towarzystwo Naukowe.
- Crome, H.
1937. Karte und Verzeichnis der vor- und frühgeschichtlichen Wehranlagen in Ostpreußen. *Altpreußen* 2: 97–125.
1938-1940. Alphabetisches Verzeichnis der Wehranlagen Ostpreussens mit Angabe des Schrifttums. *Sitzungsberichte der Altertumsgesellschaft Prussia* 32: 173–209, 297–324; 33: 263–289; 34: 83–154.
- Czaja, R.
2008. Urbanizacja kraju, [w:] M. Biskup i R. Czaja (red.), *Państwo zakonu krzyżackiego w Prusach. Władza i społeczeństwo*, 177-199. Warszawa: Wydawnictwo Naukowe PWN.
- Drozd-Lipińska, A.
2015. *Opracowanie antropologiczne ludzkich szczątków kostnych odkrytych na stanowisku Alt-Wartenburg/Barczewko, pow. Olsztyn*. Toruń (maszynopis opracowania).
- Drozdek, A.
2015. *Sprawozdanie z przebiegu prac konserwatorskich dotyczące ceramiki ze st. II w Barczewku, gm. Barczewo, woj. warmińsko-mazurskie. Sezon badań 2014-2015*. Olsztyn (maszynopis opracowania).
- Erlen, P.
1992. *Europäischer Landesausbau und mittelalterliche deutsche Ostsiedlung. Ein struktureller Vergleich zwischen Südwestfrankreich, den Niederlanden und dem Ordensland Preußen*. Historische und landeskundliche Ostmitteleuropa-Studien 9. Marburg: J.G. Herder-Institut.
- Fox, U.
1989. *Kirchspiel Alt-Wartenburg im Ermland: mit Jadden - Tengutten – Tollack, 1325-1985*. Paderborn: U. Fox.
- Gatz, E. (red.)
2009. *Atlas zur Kirche in Geschichte und Gegenwart. Heiliges Römisches Reich, deutschsprachige Länder*. Regensburg: Schnell & Steiner.
- Gazda, D., J. Jezierska, J. Konik i P. Szlązak
2013. Badania Archeologicznej Misji Pomeziańsko-Bałtyckiej obiektów warownych w Starym Dzierzgoniu i Bogdanach w latach 2009-2012, [w:] Z. Kobyliński (red.), *Grodziska Warmii i Mazur. 1. Stan wiedzy i perspektywy badawcze*, 135-180. Archaeologica Hereditas 2. Warszawa-Zielona Góra: Instytut Archeologii UKSW i Fundacja Archeologiczna.
- Hackmann, J.
1996. *Ostpreußen und Westpreußen in deutscher und polnischer Sicht. Landeshistorie als beziehungsge-schichtliches Problem*. Deutsches Historisches Institut Warschau, Quellen und Studien 3, Wiesbaden: Harras-sowitz Verlag.
- Herrmann, C.
2014a. Lokacja Barczewka w źródłach historycznych, [w:] G. Białuński (red.), *Szkice z dziejów Barczewka*, 39–50. Barczewo: Centrum Kultury i Promocji Gminy w Barczewie
2014b. *Barczewko / Alt-Wartenburg. Historia średniowiecznego miasta lokacyjnego w kontekście kolonizacji Warmii w XIV wieku*. Olsztyn (maszynopis opracowania).
2015. *Burgen im Ordensland Preußen. Handbuch zu den Deutschordens- und Bischofsburgen in Ost- und Westpreußen*. Petersberg: Michael Imhof Verlag.
- Heußner, K.-U.
2016. *Dendrochronologische Untersuchung von Holzproben aus Barczewko/Alt-Wartenburg (Ermland)*. Toruń (maszynopis opracowania).
- Higounet, C.
1990. *Die deutsche Ostsiedlung im Mittelalter*. München: DTV.
- Hoffmann, M.
2013. *Dzieje archeologii Prus Wschodnich od początku XVIII wieku do 1920 roku*. Olsztyn: Pracownia Wydawnictw Naukowych.
- Hollack, E.
1908. *Erläuterungen zur vorgeschichtlichen Übersichtskarte von Ostpreußen*. Glogau-Berlin: Kommissions-Verlag von Carl Flemming.
- Kasiske, K.
1934. *Die Siedlungstätigkeit des Deutschen Ordens im östlichen Preußen bis zum Jahre 1410*. Einzelschriften der historischen Kommission für ost- und westpreußische Landesforschung 5. Königsberg: Gräfe und Unzer.
- Kiełbik, J.
2007. *Miasta warmińskie w latach 1466–1772*. Olsztyn: Ośrodek Badań Naukowych.
- Klimek, R.
2008. *Terra Gunelauke. Przewodnik archeologiczny*. Barczewo: Nasze Gady.
2013. Zaginione zamki i strażnice z pierwszej połowy XIV wieku z obszaru Warmii biskupiej oraz propozycje ich lokalizacji, [w:] Z. Kobyliński (red.), *Grodziska Warmii i Mazur. 1. Stan wiedzy i perspektywy badawcze*, 205-224. Archaeologica Hereditas 2. Warszawa-Zielona Góra.
2014. Średniowieczne założenia obronne na terenie obecnej gminy Barczewo, [w:] G. Białuński (red.), *Szkice z dzie-*

- jów Barczewa, 51-94. Barczewo: Centrum Kultury i Promocji Gminy w Barczewie.
- Koperkiewicz, A.
2013. Zamek w Bezlawkach w świetle badań archeologicznych, [w:] A. Koperkiewicz (red.), *Bezlawki - ocalić od zniszczenia. Wyniki prac interdyscyplinarnych prowadzonych w latach 2008 – 2011*, 44-74. Gdańsk: Uniwersytet Gdański.
2016. *Raport z przebiegu prac konserwatorskich zabytków metalowych z badań na st. II w Barczewku, gm. Barczewo, w sezonie 2015-2015*. Gdańsk (maszynopis opracowania).
- Koziełto-Poklewski, B.
1964. *600 lat Barczewa*. Olsztyn: Pojezierze.
- Laskowska, U.
1999. *Barczewo. Z dziejów parafii św. Anny*. Olsztyn: AD REM.
- Lehmann, J.A.
1842. Die Volksmundarten in der Provinz Preußen. *Preußische Provinzialblätter* 27: 5–63.
- Lipscher, W.
2014. Między Wartenburgiem a Barczewem, [w:] G. Białuński (red.), *Szkice z dziejów Barczewa*, 163–182. Barczewo: Centrum Kultury i Promocji Gminy w Barczewie.
- Makowiecki, D.
2015. *Badania archeozoologiczne szczątków kostnych z wykopalisk w Barczewku (grodzisko - Alt Stadt), stan. II* (maszynopis opracowania).
- Medvedev, A.F.
1966. *Ručnoe metalnoe orużie (luk i strely, samostrel) VIII–XIV vv. Arheologia SSSR. Svod arheologičeskich istočnikov E1-36*. Moskwa: Nauka.
- Miałdun, J.
2013. *Sprawozdanie z wykonania prac geodezyjnych i fotografii lotnicznych związanych z badaniami stanowiska II w Barczewku, gm. Barczewo, woj. warmińsko-mazurskie, AZP 22-62/3, sz. 305*. Olsztyn (maszynopis opracowania).
2014. *Sprawozdanie (kontynuacja) z wykonania prac geodezyjnych i fotografii lotnicznych związanych z badaniami stanowiska II w Barczewku, gm. Barczewo, woj. warmińsko-mazurskie, AZP 22-62/3, sz. 305*. Olsztyn (maszynopis opracowania).
- Mitzka, W.
1937. *Grundzüge nordostdeutscher Sprachgeschichte*. Halle/Saale: Max Niemeyer.
- Nawrońska, G.
2012. *Początki Elbląga w świetle źródeł archeologicznych*. Elbląg: Stowarzyszenie Miłośników Truso.
- Nitrychoruk, J. i F. Welc
2013. Sytuacja geomorfologiczna wybranych grodzisk w okolicach jeziora Jeziorak, [w:] Z. Kobyliński (red.), *Grodziska Warmii i Mazur. 1. Stan wiedzy i perspektywy badawcze*, 253-280. *Archaeologica Hereditas* 2. Warszawa-Zielona Góra: Instytut Archeologii UKSW i Fundacja Archeologiczna.
- Nowakiewicz, T.
2013. Grodzisko w Bezlawkach jako element średniowiecznej sieci osadniczej w Prusach krzyżackich, [w:] A. Koperkiewicz (red.), *Bezlawki - ocalić od zniszczenia*, 235-248. Gdańsk: Uniwersytet Gdański.
- Paravicini, W.
1989/1995. *Die Preußenreisen des europäischen Adels* 1, 2. Beihfte Francia 17. Sigmaringen: Jan Thorbecke Verlag.
- Paszkiewicz, B.
2015. *Monety z badań w Barczewku w latach 2014–2015*. Warszawa (maszynopis opracowania).
- Plate, C.
2000. Graben, Wall, Mauer, Tor und Turm. Die Stadtbefestigung im archäologischen Befund aus Untersuchungen im Land Brandenburg 1991–1998, [w:] J. Kunow (red.), *Befestigungen brandenburgischer Städte in der archäologischen Überlieferung*, 1–34. Arbeitsberichte zur Bodendenkmalpflege in Brandenburg 5. Wünsdorf: Brandenburgisches Landesamt für Denkmalpflege und Archäologisches Landesmuseum.
- Poliński, D.
2007. Wczesne warownie krzyżackie w Prusach w kontekście miejscowych obiektów obronnych o umocnieniach drewniano-ziemnych. *Archaeologia Historica Polona* 16: 41-61.
- Pollakówna, M.
1953. *Osadnictwo Warmii w okresie krzyżackim*. Poznań: Instytut Zachodni.
- Rackevičius, G.
2002. *Arbaletas ir lankas Lietuvije XIII-XVI a.* Vilnius: "Lietuvos Pilys".
- Raczyński, E.
1842. *Puścizna po Janie Długoszu dziejopis polskim, to jest: Kronika Wiganda z Marburga rycerza i kapłana Zakonu Krzyżackiego na wezwanie Długosza z rymowanej kroniki niemieckiej na język łaciński przetłumaczona*. Poznań: W Księgarni Nowej.
- Riemann, E.
1965. Wortgeographie und Besiedlungsgeschichte Altpreußens. *Jahrbuch des Vereins für niederdeutsche Sprachforschung* 88: 72–106.
- Röhrich, V.
1903–1914. Die Kolonisation des Ermlands. *Zeitschrift für die Geschichte und Altertumskunde des Ermlands* 14, 1903, 131–355, 611–708; 18, 1913, 243–394; 19, 1914, 173–306.
- 1925a. *Geschichte des Fürstbistums Ermland*. Braunschweig: Ermländische Zeitungs- und Verlagsdruckerei (C. Skowronski).
- 1925b. Wie die Litauer im Winter 1353 auf 1354 die Stadt und das Schloß Alt-Wartenburg aufbrannten. *Ermländischer Hauskalender* 69: 43–48.
- Rosmanitz, H.
2009. Burgenforschung im Spessart. Das „Alte Schloss“ in Kleinwallstadt. *Beiträge zur Archäologie in Unterfranken* 2009: 243–286.
- Szczepański, S.
2014. *Okolice Barczewka w kontekście pruskiego osadnictwa ziemi Gunelauke. Studium historyczno-osadnicze*. Olsztyn (maszynopis opracowania).

- Schlesinger, W. (red.)
1975. *Die deutsche Ostsiedlung des Mittelalters als Problem der europäischen Geschichte. Reichenau-Vorträge 1970–1972.* Vorträge und Forschungen 18. Sigmaringen: J. Thorbecke Verlag.
- Schütz, A.
2007. *Die hoch- und spätmittelalterlichen Burgen und Adelssitze in der Uckermark, Land Brandenburg. Bestandsaufnahme und vergleichende Untersuchungen vom späten 12. bis zum 15. Jahrhundert.* Berlin: Humboldt- Universität. Internet: <https://www.baufachinformation.de/dissertation/Die-hoch-und-sp%C3%A4tmittelalterlichen-Burgen-und-Adelssitze-in-der-Uckermark-Land-Brandenburg/2009049018793/> (wgląd 15.09.2016).
- Seelfeld von, W.
1937. SS Grabung auf dem Schlossberg Alte-Christburg. *Germanen-Erbe* 2 (9/10): 277-282.
- Stephan, H.-G.
2010. *Der Solling im Mittelalter. Archäologie – Landschaft – Geschichte.* Hallesche Beiträge zur Archäologie des Mittelalters und der Neuzeit 1. Dormagen: Archaeotopos-Verlag.
- Szorc, A.
1990. *Dominium warmińskie 1243–1772.* Olsztyn: Pojezierze.
Szwarczewski, P.
2013. *Sprawozdanie z badań geologiczno-geomorfologicznych przeprowadzonych w związku z realizacją projektu badawczego „Barczewko - warmińskie Pompeje”.* Warszawa (maszynopis opracowania).
- Toeppen, M.
1870. *Geschichte Masurens.* Danzig: Theodor Bertling.
- Tomkiewicz, R.
2014. Od Wartenburga do Barczewa. Odradzanie się miasta, [w:] G. Białuński (red.), *Szkice z dziejów Barczewa,* 121–141. Barczewo: Centrum Kultury i Promocji Gminy w Barczewie.
- Trupinda, J.
2009. Der Deutschordensstaat in Preußen, [w:] M. Jackiewicz-Garniec i M. Garniec, *Burgen im Deutschordensstaat Preußen. Pomesanien, Oberland, Ermland, Masuren,* 9–26. Olsztyn: ARTA.
- Ważny, T.
2016. *Dendrochronologische Untersuchung von Holzproben aus Barczewko/Alt-Wartenburg (Ermland).* Toruń (maszynopis opracowania).
- Wegraeus, E.
1973. Pilspetsar under vikingatid. *Tor* 15: 191–208.
- Wroniecki, P., M. Jaworski i S. Rzeźnik
2014. *Sprawozdanie z badań geofizycznych wykonanych w miejscowości Barczewko, gm. Barczewo, stan. 1, AZP 22-62/3, działka nr 305 w 2014 r.* Warszawa (maszynopis opracowania).
- Wysocki, J. i B. Klęczar
2013. Grodzisko typu stożkowatego na wyspie Wielka Żuława w Iławie, w Lasecznie Małym i Mozgowie, [w:] Z. Kobylński (red.), *Grodziska Warmii i Mazur. Stan wiedzy i perspektywy badawcze,* 327-349. Archaeologica Hereditas 2. Warszawa-Zielona Góra: Instytut Archeologii UKSW i Fundacja Archeologiczna.
- Zernack, K.
1994. „Ostkolonisation“ in universalgeschichtlicher Perspektive, [w:] G. Hübinger, J. Osterhammel i E. Pelzer (red.), *Universalgeschichte und Nationalgeschichten,* 105–116. Freiburg: Rombach Verlag.
- Zeune, J.
1999. Gräben, [w:] H. W. Böhme, B. von der Dollen, D. Kerber, C. Meckseper, B. Schock-Werner i J. Zeune (red.), *Burgen in Mitteleuropa. Ein Handbuch I: Bauformen und Entwicklung,* 227. Stuttgart: Konrad Theiss Verlag.

Felix Biermann, Christofer Herrmann and Arkadiusz Koperkiewicz

The Medieval deserted town of Alt Wartenburg / Barczewko with focus on its fortification

Summary

Castle and town of *Alt Wartenburg* (Barczewko, Warmian-Masurian Province) were founded ca 1325 by the bishop of Ermland in the province of Galinden, as a military outpost and urban centre in the colonisation of so-called “Great Wilderness”. Nevertheless, in 1354 the town was destroyed by Lithuanian Grand-Dukes and renewed later in a distance of some kilometres (nowadays Barczewo). The place of first foundation, a ringfort called Old Town at the shore of lake Wadąg, remained deserted and preserves the relics of a Medieval town in the Prussian lands, existing hardly three decades. The site was investigated interdisciplinary within

the scope of a Polish-German research project in 2013-2015, providing comprehensive insights into the foundation and structure of the town, the fortification, house building, infrastructure as well as the economic and living conditions of the inhabitants. This paper gives an overview to the results and discusses them in their historical context, with a focus on the town’s fortification: an earthen rampart probably with wooden constructions, a V-shaped ditch and probably wooden towers, too.

Translated by the authors

Grodziska w Baranówce, gm. Frombork w świetle mitów, źródeł pisanych i badań archiwalnych

Na wschód od Fromborka płynie rzeka Bauda, o długości 54 km, której wody wpadają do Zalewu Wiślanego. Jej źródła znajdują się koło wsi Milejewo, we wschodniej części Wzniesienia Elbląskiego. Na obszarze historycznej Warmii Bauda płynie w głębokich jarach, powstałych wskutek postępującej erozji. Charakteryzuje się dużymi spadkami; jedynie od wsi Sędkowo, leżącej blisko Zalewu Wiślanego rzeka ma charakter typowo nizinny, tworząc szerokie rozlewiska porośnięte trzciną. Nazwa Bauda po raz pierwszy pojawia się w dokumentach w 1251 r.¹ Jest ona pochodzenia pruskiego i oznacza „pobudzenie” (prus. *et-baudinnons*)². Zapewne wartki, żywy strumień wody, drążącej głębokie wąwozy, był głównym czynnikiem, który miał wpływ na powstanie tej nazwy. Wśród głębokich jarów, w zakolach Baudy, znajdują się ślady kilku okazałych grodzisk, których chronologia sięga czasów średniowiecza. Podróżując w dół rzeki natkniemy się na założenia obronne w następujących miejscowościach: Wierzno Wielkie, Baranówka, Bogdany i Sędkowo. Wyżej wymienione obiekty rozlokowane są nad brzegami Baudy na przestrzeni 8 km. Jak widać, tworzyły one linię strategicznych umocnień. Wspomniane grodziska znajdują się na wysokich wzniesieniach górujących nad doliną Baudy i w miejscach, gdzie w przeszłości przeprawiano się przez rzekę.

W niniejszym artykule zajmę się problematyką dwóch interesujących założeń obronnych w Baranówce (niem. *Schafsberg* – Owcza Góra), miejscowości położonej 5 km na południe od Fromborka (ryc. 1). Znajdujące się tam grodziska dotąd nie doczekały się kompleksowych badań archeologicznych. Pierwsze z nich w przeszłości zwane było *Schloßberg* (Zamkowa Góra), a także *Hünenberg* (Góra Olbrzymów), czy *Haberg*³. Zostało ono zbudowane na naturalnym wzniesieniu o kształcie nieregularnego prostokąta, rozciągającego się wzdłuż lewego brzegu doliny Baudy. Wzniesienie to ma strome zbocza. Od południowej strony zachował się wał obronny o wysokości ok. 1,5 m oraz fosa o głębokości ok. 9 m, która odcina teren grodu od reszty płaskowyżu. Majdan jest płaski i ma wy-

miary 70 x 150 m. W jego południowej części, w pobliżu wału, obecnie znajduje się studnia. Północna część majdanu została współcześnie rozplantowana.

Drugie założenie obronne zwane jest *Schloßberg* (Zamkowa Góra) lub *Heidenschanze* (Pogański Szaniec)⁴. Według Hansa Cromego jest to grodzisko staropruskie typu cypłowego⁵. Położone jest ono na północny zachód od wsi, na cyplu, który u nasady odcięty jest fosą. Wymiary grodziska wynoszą ok. 45 x 100 m.

Podczas badań poszukiwawczych przeprowadzonych w 1996 r. na terenie tych grodzisk nie znaleziono żadnych śladów kultury materialnej. Stwierdzono jedynie istnienie w ich pobliżu na powierzchni liczącej około 0,5 ha, osady, której chronologię Łucja Okulicz-Kozaryn wstępnie ustaliła na XI-XIII w.⁶

Inspiracją do badań podjętych w niniejszym artykule była zawarta w opublikowanej w 1521 r. *Preußische Chronik* dominikanina Szymona Grunaua informacja, że w Baranówce znajdowała się siedziba Hoggo, jednego z synów Widewuta. Według relacji Grunaua w 521 r. bracia Bruten i Widewut – legendarni protoplaści Prus – wraz ze swoimi ludźmi, w liczbie 46 tysięcy, przepłynęli łodziami z Cymbrii przez wody zwane Crono i Hailibo. Następnie dotarli do ziemi zwanej Ulmiganea, którą zajęli. Bruten i jego brat Widewut zbudowali tam następujące grody: Honeda, Peilpeillo, Nangast, Wustoppos, Gallons oraz Noito. Widewut dobrze sprawował rządy i był lubiany przez swój lud. Doczekał się 12 synów: Litpoho, Zamo, Sudo, Nadro, Scalwo, Nattango, Barto, Galynndo, Warmo, Hoggo, Pomeso, Chelmo. Każdemu z nich przydzielił ziemię⁷. Zgodnie z legendą w ten oto sposób powstały plemiona Prusów. Hoggo, który był dziesiątym synem Widewuta, otrzymał obszar położony między rzeką Wąską, Pasłęką i jeziorem Družno. Kiedy Hoggo zaczął sprawować rządy nad swoją ziemią, zbudował tam na pewnej górze twierdzę, którą nazwał Tolko. Grunau wspominał, że miejsce to jest położone w miejscowości *Schafsberg*, zaś ziemia na której znajdowała się warownia

¹ CDW 1: nr 26.

² Gerullis 1922: 17.

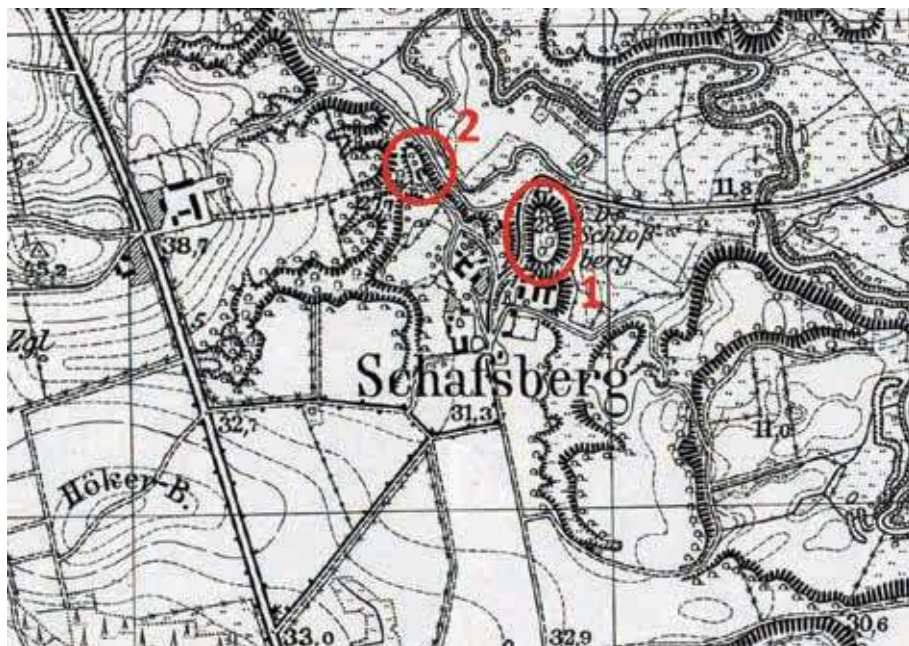
³ AZP 12-54, st. 1 (17); Jagodziński 1997: 26-27.

⁴ AZP 12-54, st. 3 (30).

⁵ Crome 1940: 116.

⁶ Jagodziński 1997: 27.

⁷ Grunau 1875: 61-63.



Ryc. 1. Grodziska w Baranówce na mapie sztabowej Meßtischblatt, Nr 1684 z 1937
Fig. 1. The strongholds at Baranówka on an ordnance survey map Meßtischblatt, No. 184, 1:25 000, 1937

to *Hockerland*. Nazwa tej ziemi pojawia się na pierwszej mapie ziem pruskich opracowanej w 1542 r. przez Henryka Zella⁸. Na kolejnej mapie Prus z 1576 r., autorstwa Kaspra Hennenbergera, między Elblągiem i Pasłęką, obok nazwy *Hockerland* pojawia się także *Pogesania*⁹. Zastanawiający jest także fakt, że na obszarze Baranówki leżało wzgórze zwane *Höcker Berg*¹⁰. Hoggo nie miał syna, który odziedziczyłby po nim ziemię. Pozostawił jednakże trzy córki o imionach Mita, Kadyna i Pogezana. Pierwsza z wymienionych córek wyszła za mąż i zamieszkała w grodzie swego ojca. Kadyna także była mężatką. Według legendy zbudowała ona na pewnej wysokiej górze warownię. Gród ten od jej imienia z czasem został nazwany Kadyny¹¹. Pogezana – trzecia córka Hoggo – zamieszkała w dębowym lesie i została wieszczką. To właśnie od jej imienia ziemia *Hockerland* zmieniła nazwę na *Pogezania*. Była ona osobą pełną dobroci, spełniała prośby Prusów i kontaktowała się z bóstwami. Podobno do końca swoich dni pozostała dziewicą. Grunau wspominał także, że Pogezana była olbrzymką. Kronikarz napisał, że w 1499 r., w klasztorze w Elblągu, miał sposobność widzieć jej czapkę. Jak zaznaczył, była ona dużego rozmiaru, o szerokości pół łokcia (jeden łokieć chełmiński – 57,62 cm)¹².

W średniowiecznych dokumentach źródłowych pierwsza informacja na temat Baranówki pojawia się w 1298 r. Wówczas pewien Jordan i Mikołaj otrzymali od kapituły 20 łanów między rzekami Narusa i Bauda¹³. W 1320 r. Jordan z Schafsbergu został świadkiem podczas nadania Janowi Potelkau przez kapitułę we Fromborku ziemi nad rzeką Baudą¹⁴. Kolejna informacja pochodzi z 1358 r. W tymże roku sporządzony został przez biskupa Warmii akt nadania wsi Frączki dla Henryka Fleminga z Wuszen. Dokument został sporządzony w Baranówce – *acta sunt hec in Schoffisberg*¹⁵. Zazwyczaj akty lokacyjne na Warmii były spisywane na zamkach biskupich lub kapitulnych. Sporadycznie powstawały w umocnionych warowniach, takich jak Bogdany czy Bartag¹⁶. Sporządzenie dokumentu lokacyjnego w Baranówce poświadcza, że już w połowie XIV w. musiał tam już istnieć jakiś zameczek lub umocniony dwór. Najwyraźniej były tam warunki do tego, aby gościć biskupa i świadków, a także zadbać o ich bezpieczeństwo. Kolejna wzmianka o wsi pochodzi z 3 listopada 1366 r. Wówczas kapituła zapisała dla Reineira Strypteroa 20 łanów, młyn i łąkę zwaną *Oue*¹⁷. Dostyc istotna dla badań wydaje się być kolejna informacja źródłowa, pochodząca z 1419 r. Wówczas Andreas Scholim, rycerz z Baranówki – *Schoffsberge*, koło Fromborka, sprzedał Nikłosowi Molnerowi karczmę razem z należącym gruntem na prawie chełmińskim i użytkowaniem dąbrowy oraz stawu. Same dęby zostały zastrzeżone do użytku młyna. Czynnosc wynosił 4 marki, które należało opłacić do dnia św. Marcina (tj. do 11 listopada)¹⁸. Najwy-

⁸ Ortelius 1574; Szeliga 1982: 40-41. Oryginał mapy Prus Henryka Zella znajduje się w bibliotece Św. Marka w Wenecji. Pomniejszoną kopię tej mapy Abraham Ortelius umieścił w swoim atlasie *Theatrum Orbis Terrarum*.

⁹ Hennenberger 1576.

¹⁰ Meßtischblatt, Nr 1684. W języku niemieckim wyrażenie *hocker* oznacza „stolek”, dawniej także „handlarza”.

¹¹ Jagodziński 1997: 33; grodzisko położone jest na wysokim wzniesieniu, górującym nad okolicą. Obiekt jest bardzo zniszczony przez budownictwo nowożytne i współczesne. Na obszarze grodziska znajdują się zabudowania klasztorne Franciszkanów.

¹² Grunau 1875: 74-75.

¹³ CDW 1: nr 105.

¹⁴ CDW 1: nr 205.

¹⁵ CDW 2: nr 267.

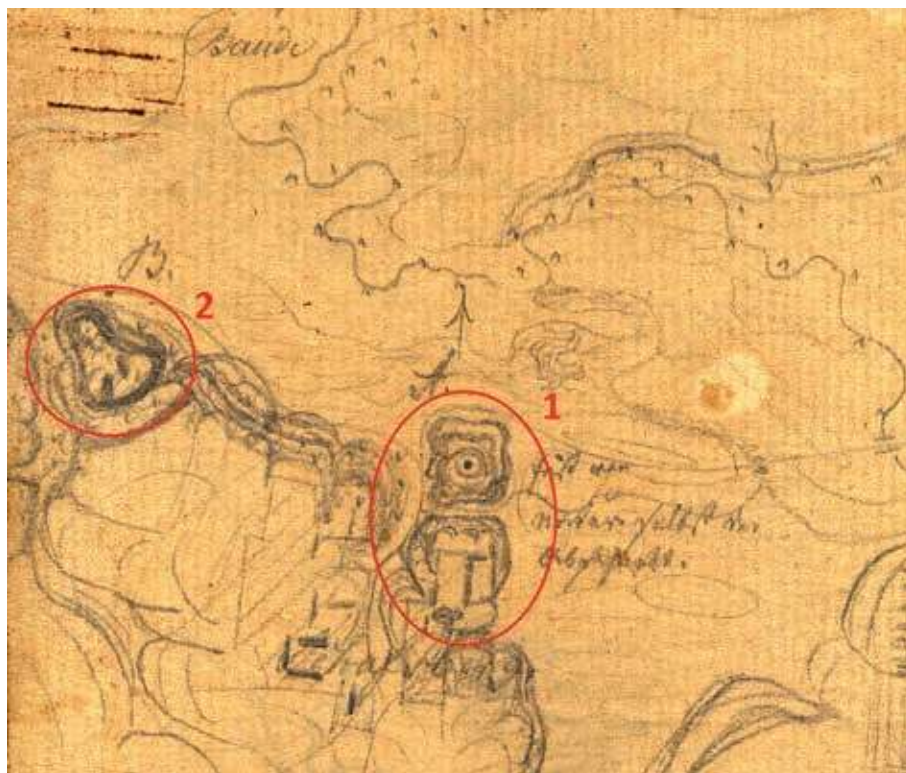
¹⁶ CDW 1: nr 54; CDW 1: nr 126; CDW 1: nr 130; CDW 2: nr 108-113.

¹⁷ CDW 2: nr 405.

¹⁸ CDW 3: nr 538.

Ryc. 2. Plan grodzisk w Baranówce według Johanna Guise, lata 1826-1828

Fig. 2. The plan of strongholds at Baranówka by Johann Guise, 1826-1828



rażniej wspomniany rycerz zamieszkiwał jeden z grodów znajdujących się w Baranówce. Nie jest wykluczone, że ta siedziba rycerska została zniszczona w latach 1454-1466, podczas wojny trzynastoletniej i później nie została już odbudowana.

Ożywione zainteresowanie założeniem obronnym w Baranówce można zaobserwować w czasach nowożytnych, za sprawą przywołanego wcześniej Szymona Grunaua. Informacja o mieszczącej się tam siedzibie legendarnego Hoggo, zwanej Tolko, pojawiała się także u innych badaczy z XVI wieku, np. u Lukasa Davida czy Kaspara Hennenbergera¹⁹. Szczególne zainteresowanie opisanymi grodziskami przyniósł XIX wiek. W latach 1826-28 inwentaryzował je Johann Guise, który naniósł na planie Baranówki dwa umocnienia (ryc. 2). Jedno z nich, położone po wschodniej stronie wsi, nazwał Tolko²⁰. W drugiej połowie XIX wieku doczekaliśmy się w literaturze przedmiotu dwóch kolejnych wzmianek. Dużo miejsca opisiwi grodziska leżącego w zachodniej części wsi poświęcił B. Winckler. Jego zdaniem Baranówka, zbudowana została na terenie bardzo starej osady, gdzie można było zauważyć ślady umocnień obronnych. Według jego obserwacji poprzedni, wyższy stan wody tej rzeki, utworzył rozległą zieloną dolinę, rozpościerającą się w zachodnim kierunku od strony Bętkowa, w większości otoczoną stromymi spadami. W ten sposób ściany wzgórza, na którym znajdowało się grodzisko, opadały bardzo stromo do

rzeki. Pierścień wałów był dosyć wyraźny. Powierzchnia majdanu była płaska i posiadała kształt nieregularnego owalu. Długość majdanu na osi północ-południe wynosiła ok. 150 kroków, zaś na osi wschód-zachód 60-80 kroków. Na majdanie znajdowało się niewielkie podwórko, otoczone sadem i ziemią uprawną. Głęboki rów z południowej strony wskazywał zdaniem Wincklera na osunięcie się znacznej części plateau. Jak wspominał autor relacji, wśród miejscowej ludności, umocnienie to nazywane było „Pogański Szaniec” – *Heiden-Schanze*²¹. Z kolei drugie grodzisko w Baranówce, położone we wschodniej części wsi, opisał Adolf Boetticher. Jego zdaniem było ono umocnieniem zbudowanym na planie kwadratu. Zamieścił on także plan założenia obronnego, który opracował w oparciu o rysunek Johanna Guise. Boetticher napisał, że w dalekiej przeszłości grodzisko to podlegało pod gród w Bogdanach (ryc. 3), który z kolei należał do pruskiego rodu Zopny²². O związkach Zopny z Bogdanami wspomina między innymi spisana w XVI w. *Kronika Lidzbarska* oraz Kaspar Hennenberger²³.

Grodziska w Baranówce były także inwentaryzowane w okresie międzywojennym. Z tego okresu pozostała dokumentacja archiwalna, która jeszcze dotąd nie była publikowana. Cenna wydaje się być relacja Carla Engla napisana 26 czerwca 1931 r. Składa się ona z dwóch notatek ze szkicami grodzisk. Pierwsza z nich informuje, że

¹⁹ Hennenberger 1595: 352; David 1812: 72-73.

²⁰ SMPK MVF: Guise Zettel, PM-IXh 00178b.

²¹ Winckler 1863: 650-651.

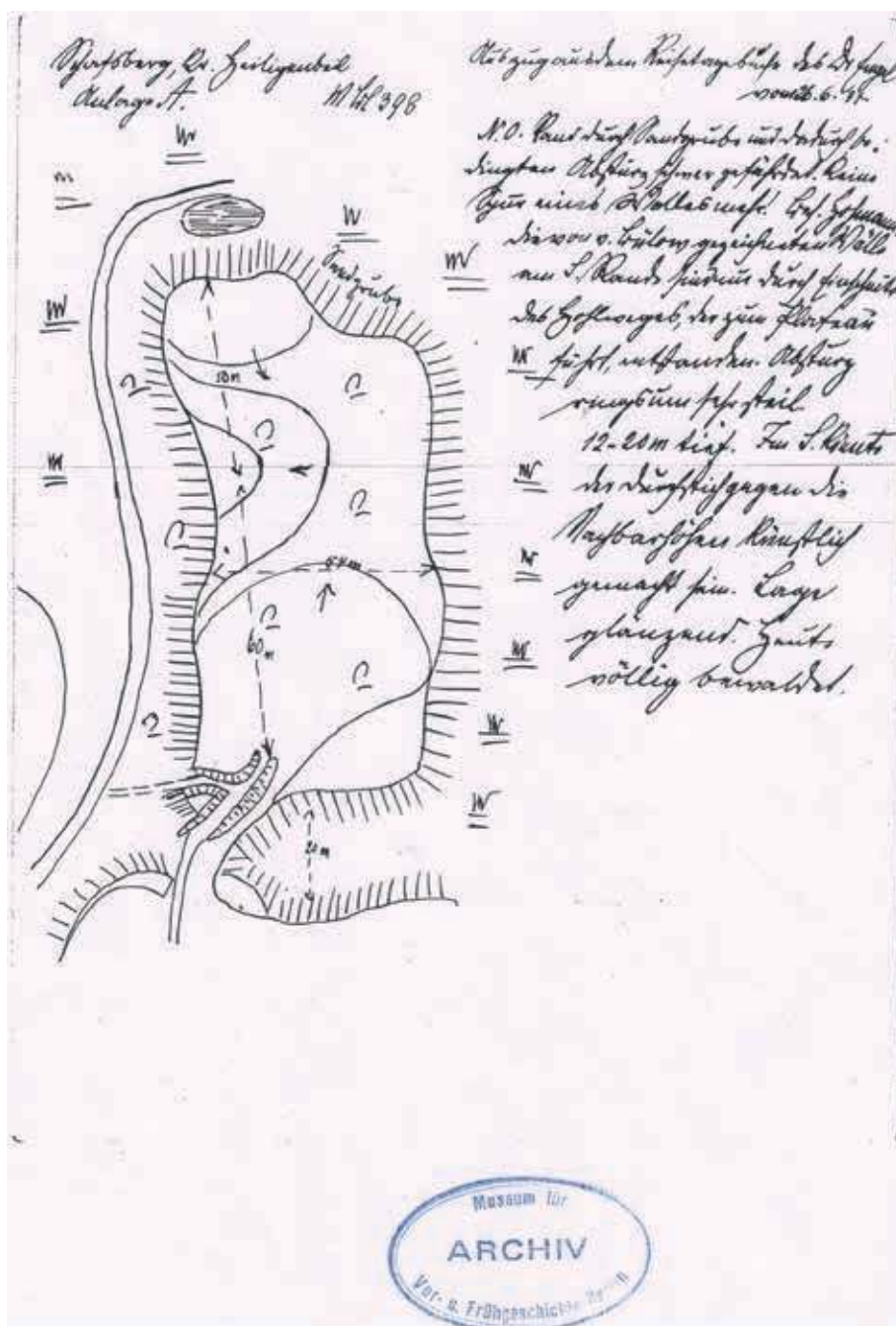
²² Boetticher 1894: 76.

²³ Hennenberger 1595: 436; *Die Heilsberger Chronik* 1889: 248.



Ryc. 3. Widok grodziska w Bogdanach według Johanna Guise (fragment), lata 1826-1828

Fig. 3. The view of stronghold in Bogdany by Johann Guise (a part), 1826-1828

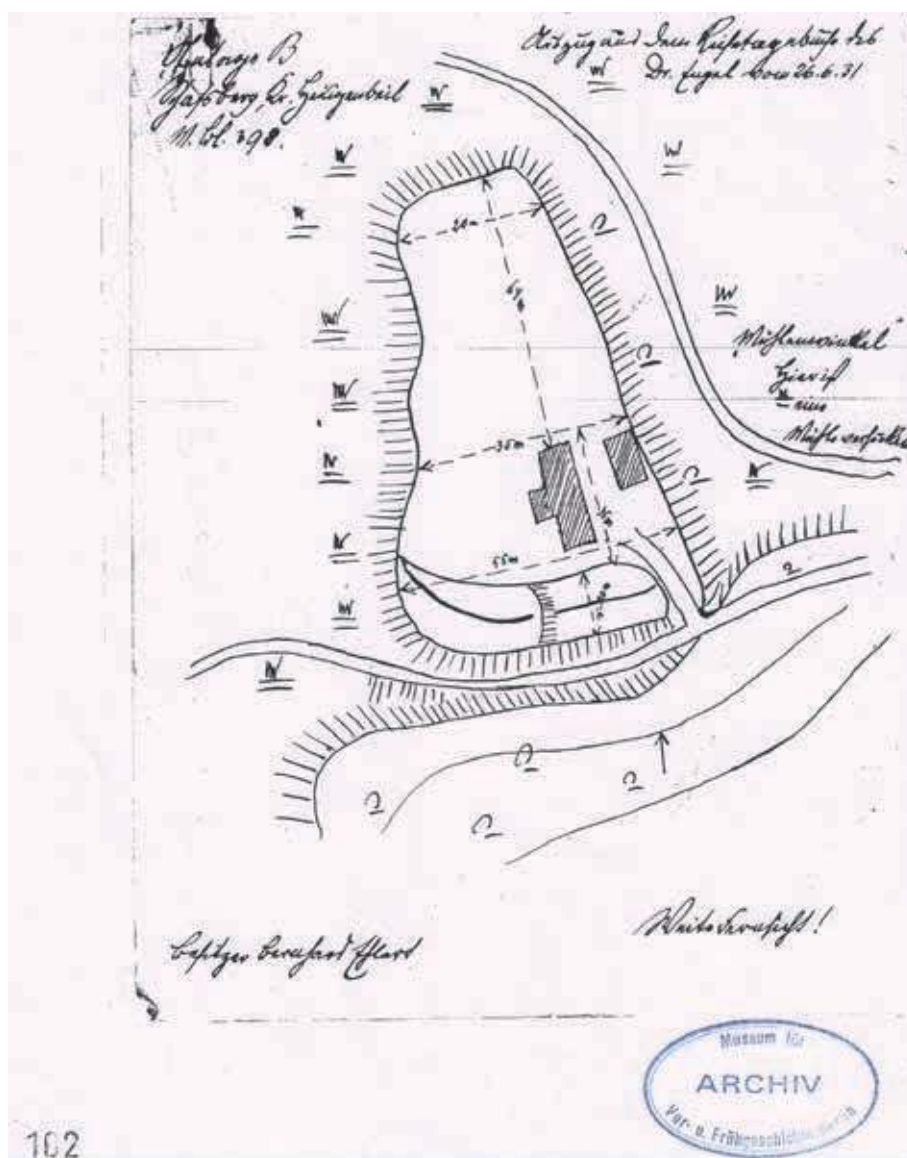


Ryc. 4. Plan grodziska Schloßberg (Hünenberg), rysował Carl Engel, 1931

Fig. 4. The plan of *Schloßberg* (Hünenberg) stronghold, drawn by Carl Engel, 1931

Ryc. 5. Plan grodziska
Schloßberg (Heidenschanze),
rysował Carl Engel, 1931

Fig. 5. The plan of *Schloßberg (Heidenschanze)* stron-
ghold, drawn by Carl Engel,
1931



na umocnieniu położonym we wschodniej części wsi nie pozostały już po wałach żadne ślady. Zbocza dookoła grodziska posiadały bardzo duży spad, wahający się od 12 do 20 m. Dzięki temu panowały tutaj doskonałe warunki obronne. Obiekt był całkowicie zalesiony. Do tego opisu został dołączony szkic umocnienia (ryc. 4). W drugiej notatce, pochodzącej z tego samego dnia, Engel napisał, że drugie grodzisko było poszukiwane, lecz w innym miejscu. Wał czołowy, oprócz miejsca gdzie jest przejazd, był ponoć jeszcze zachowany, ale wyraźny tylko od strony zachodniej. Od wschodu został znacznie splantowany. Na środku majdanu znajdowała się zagroda, na wale zaś ogród i świński wybieg. Zdaniem Engla już w czasach wojen szwedzkich okolica ludność szukała tutaj schronienia razem z dobytkiem. Również do tej notatki został załączony szkic planu założenia obronnego, z informacją, że jest to własność Bernharda Ehlerta (ryc. 5). Zaznaczono na nim po prawej stronie tzw. Młyński Kąt (*Mühlenswinkel*), gdzie według miejscowego podania w przeszło-

ści miał zapaść się młyn. Dzięki temu możemy wstępnie ustalić, w którym miejscu znajdował się średniowieczny młyn z 1366 r. W innym sprawozdaniu z dnia 19 września 1929 r., pochodzącym z dziennika podróży Hauptmanna v. Bülow, znajduje się informacja, że grodzisko położone w północno-zachodniej części Baranówki zwane jest *Schloßberg* i jest własnością Hoffmanna. Podobno mieszkańcy szukali tam złota. W materiałach archiwalnych są także informacje z zaleceniami odnośnie zabezpieczenia tego grodziska przed usuwaniem się wałów, a także zakazujące dalszej eksploatacji piasku²⁴.

Dokumenty źródłowe pochodzące ze średniowiecza oraz informacje nowożytne nie przybliżają nas do wyjaśnienia sprawy, czy rzeczywiście założenia obronne w Baranówce zostały wybudowane przez legendarnego Hogggo. Gdyby przyjąć, że treść zawarta w *Kronice Grunaua* jest wiarygodna, to twierdza Tolko miałaby zapew-

²⁴ SMPK MVF: PM-A 897/1, Schafsberg (Kr. Braunsberg).

ne powstać w drugiej połowie VI w. Dokumenty średnio-wieczne wskazują, że okolice Baranówki na przełomie XIII i XIV wieku należały do obszaru plemiennej Pogezanii²⁵. Potwierdzałyby to jedynie związek tej okolicy z Hockerlandią, później zwaną Pogezanią. Należy także zadać sobie pytanie, czy w VI w. to plemię już istniało. Raczej nie potwierdzają tego żadne ze znanych nam źródeł. Ziemia ta po raz pierwszy wymieniona została w połowie XIII wieku²⁶. Zastanawiające jest również to, skąd Grunau zaczerpnął nazwę Tolko. Według dosyć zgodnej opinii badaczy autor kroniki przekazywał w niej w większości informacje niewiarygodne²⁷. Grunau informował na wstępie, że opracowując *Preußische Chronik*, wykorzystał liczne źródła kronikarskie dokumentowane w języku łacińskim i niemieckim, które dotyczyły historii Prus. Wymienił także niektóre zabytki piśmiennictwa. Oprócz dobrze znanych źródeł kronikarskich Grunau wskazał także dokumenty nieznanne, uznane za zaginione lub nawet w ogóle nieistniejące. Dotyczy to kroniki biskupa Prus Chrystiana oraz Jarosława, proboszcza katedralnego z Płocka²⁸. Z drugiej strony, trzeba zwrócić uwagę, że głównie wiadomości o znaczeniu lokalnym w kronice Grunau mają dużą wartość. Należą do nich jego własne doświadczenia, relacje wydarzeń świadków i różnorodne notatki sporządzone w klasztorze dominikańskim²⁹. Trzeba zauważyć, że kronikarz pochodził z pobliskiego Tolkmicka, później żył w Elblągu, dlatego też okolice Baranówki powinny mu być znane. Informacje na ten temat mógł zaczerpnąć z miejscowych podań, chociażby na temat legendarnej Pogezany, córki Hoggo. Z drugiej strony należałoby rozpatrzyć

pochodzenie nazwy warowni Tolko. Niedaleko od Baranówki leży miasteczko Tolkmicko, gdzie w odległości 2 km na południe znajduje się duże wczesnośredniowieczne założenie obronne, zwane potocznie „Wałami Tolkmicka”. Jest to potężny system umocnień, czego dowodem jest grodzisko, które posiada aż cztery majdany. Występują tam również wały podłużne przecinające drogę – jako dodatkowe zapory kontrolujące szlak³⁰. Zapewne tam moglibyśmy upatrywać warowni o nazwie Tolko, jednak Grunau pochodził z Tolkmicka i nie odnotował takiej informacji. Nazwa *tolk* jest pochodzenia pruskiego i oznacza człowieka, który jest tłumaczem (wyjaśniaczem), z łacińskiego - interpretatorem³¹. Nie jest więc wykluczone, że miejsce to w przeszłości było zamieszkałe przez kogoś wybitnego tłumacza. Mogą to być pewne przesłanki ku temu, że właśnie tam była siedziba dzisiaj bliżej nie znanego przywódcy, który musiał się wykazać niezwykłymi zdolnościami, skoro skojarzono go z legendarnym protoplastą plemienia Pogezanów. Oczywiście, wszelkie rozważania na ten temat, również kwestia autentyczności Brutena, Widewuta czy też Hoggo i jego córek są hipotetyczne, lecz mimo to nie należy lekceważyć mitów, gdyż często dotyczą one prawdziwych faktów. Dziś istnienie legendarnych wodzów Prusów badacze odnoszą do sfery legend, w najlepszym przypadku nadając temu zjawisku cechy faktów symbolicznych, co z punktu widzenia antropologii kulturowej nie eliminuje ich z dyskursu naukowego. Nie jest wykluczone, że kompleksowe badania archeologiczne grodzisk w Baranówce być może przyniosłyby odpowiedź na nurtujące nas pytania.

²⁵ CDW 1: nr 153, według dokumentu z 1310 r. pobliskie Błudowo leżało na obszarze Pogezanii.

²⁶ CDW 1: 42; Dusburg 2007: nr 142; pierwsza wzmianka źródłowa o nadaniu ziemi na obszarze Pogezanii jest dosyć późna i pochodzi z 1261 r.

²⁷ Zonenberg 2009: 76-77.

²⁸ Grunau 1875: 55.

²⁹ Zonnenberg 2009: 81.

³⁰ Jagodziński 1997: 34-35.

³¹ W dokumentach średniowiecznych na Warmii często pojawia się w stosunku do tłumaczy pruskie określenie *tolk*, na przykład: *Wenzlaw tolk* (CDW 2: 301); *Tomas von Glawbnymen – vnsers tolke*, CDW 3: nr 50 i nr 55 z 1378, CDW 3: nr 233 *villa Kirstani Tolk* (1388), CDW 3: 400 *Nitzkon Tolk* (1404).

Wykaz cytowanej literatury:

Źródła archiwalne:

SMPK MVF. Staatliche Museen zu Berlin – Preußischer Kulturbesitz. Museum für Vor- und Frühgeschichte: PMA 897/1 (Schafsberg, Kr. Braunsberg).

SMPK MVF. Guise Zettel PM-IXh: 00178a i 00178b.

AZP. Archeologiczne Zdjęcie Polski, obszar: 12-54.

Źródła pisane:

CDW 1

1860. *Codex diplomaticus Warmiensis oder Regesten und Urkunden zur Geschichte Ermlands*, red. C.P. Woelky i J.M. Saage, t. 1. Mainz: Franz Kirchheim.

CDW 2

1864. *Codex diplomaticus Warmiensis oder Regesten und Urkunden zur Geschichte Ermlands*, red. C.P. Woelky i J.M. Saage, t. 2. Mainz: Franz Kirchheim.

CDW 3

1874. *Codex diplomaticus Warmiensis oder Regesten und Urkunden zur Geschichte Ermlands*, red. C.P. Woelky, t. 3. Leipzig: Eduard Peter.

David, L.

1812. *Preussische Chronik* red. E. Hennig, t. 1. Königsberg: Georg Karl Haberland.

Dusburg

2007. Petrus de Dusburgk, *Chronica terre Prussiae*. Kraków: Polska Akademia Umiejętności.

- Grunau, S.
1876. *Preussische Chronik*, red. M. Perlbach, t. 1. Leipzig: Humbolt.
Die Heilsberger Chronik
1889. Die Heilsberger Chronik, [w:] *Scriptores rerum Warmiensiūm*, red. C.P. Woelky, t. 2, 220-468. Braunsberg: Verl. von Huye's Buchhandlung.
Hennenberger, C.
1595. *Erclerung der preussischen grössern Landtaffel oder Mappen*. Königsberg: Osterberger.
- Źródła kartograficzne:
Hennenberger, C.
1576. *Prussiae, das ist des Landes zu Preussen, welches das herrichste Theil ist Sarmathiae Europae eigentliche und warhafftige Beschreibung*. Königsberg.
Meßtischblatt
1937. Meßtischblatt 1:25 000 Nr 1684: Braunsberg (West.)
Ortelius, A.
1574. *Prussiae description*, [w:] *Theatrum Orbis Terrarum*. Antwerpia: Christophorum Plantinum.
- Literatura:
Boetticher, A.
1894. *Die Bau- und Kunstdenkmäler der Provinz Ostpreußen IV. Das Ermland*. Königsberg: Bernhard Teichert.
Crome, H.
1940. Verzeichnis der Wehranlagen Ostpreußens. *Prussia* 34: 83-155.
Gerullis, G.
1922. *Die altpreussischen Ortsnamen*. Berlin: Walter de Gruyter.
Jagodziński, M.
1997. *Archeologiczne ślady osadnictwa między Wisłą a Pasłęką we wczesnym średniowieczu. Katalog stanowisk*. Warszawa: Instytut Archeologii i Etnologii PAN.
Szeliga, J.
1982. *Rozwój kartografii Wybrzeża Gdańskiego do roku 1772*. Wrocław: Polska Akademia Nauk.
Winckler, B.
1863. Die Vesten der Vorzeit im Ermland. *Zeitschrift für die Geschichte und Altertumskunde Ermlands* 2: 646-655.
Zonenberg, S.
2009. *Kronika Szymona Grunaua*. Bydgoszcz: Uniwersytet Kazimierza Wielkiego.

Robert Klimek

The strongholds at Baranówka, Frombork Community, in the light of myths, written sources and archival research

Summary

The village of Baranówka, previously known as *Schafsberg*, which in the German language meant "Sheep Mountain", is located 5 km south of Frombork. It is situated on the left bank of the Bauda River, which debouches into the Vistula Lagoon. At Baranówka, in the deep valley of the Bauda River, there are remains of two strongholds which have never been subject of thorough archeological research. One of them was known as *Schloßberg*, formerly *Hünenberg* or *Haberg*. It was built on a natural elevation in shape of an irregular rectangle stretching along the left bank of the Bauda River. From the side of the south valley a 1.5 m high defense wall remained together with a 9 m deep moat separating the stronghold's area from the rest of the plateau. The plateau is flat and measures 150 m x 70 m. The other stronghold is called *Schlossberg* or *Heidenschanze*. It is situated north-west of the village and measures 45 x 100 m. According to the preliminary findings quoted in archeological literature the sites were in use from 11th to 13th century.

According to Simon Grunau, a chronicler, the *Schafsberg* was the residence of Hoggo, one of the sons of the legendary Widewut, the progenitor of Prussians. According to Grunau's account, in the year 521 the brothers: Bruten and Widewut

came by the Baltic Sea from Cymbria to Prussia, where they conquered the local people. Hoggo, Widewut's tenth son, received from his father the land situated between the waters of the Wąska River, Pasłęka River and Drużno Lake. When Hoggo took over the land he built a fortress there and named it Tolko. Grunau mentioned that the place was called *Schafsberg*, and the land where it stood was known as *Hockerland*. Hoggo had three daughters: Mita, Cadina and Pogešana. The first of them got married and went to live in the fortress of *Schafsberg*. Cadina, who was also married, went to live in some fortress situated on a high hill. The place where the fortress was situated was later named Kadyny. The third daughter, Pogešana, went to live in an oak forest and became a fortune-teller. It is after her name that the Prussian land of Hockerland was named Pogešana.

In the Medieval sources Baranówka appears for the first time in 1298. However, a note of 1419 seems quite important, which mentions Andreas Scholim, a knight living in the castle at Baranówka.

Translated by Natalia Klimek

Wyniki archeologicznych prospekcji podwodnych w jeziorach Pojezierza Ławskiego w latach 2013-2014

Potrzeba kompleksowych archeologicznych prospekcji podwodnych w akwenach śródlądowych Niżu Europejskiego formułowana była wielokrotnie w polskiej literaturze¹. Liczne akweny Polski Północnej zostały rozpoznane archeologicznie w bardzo nierównomiernym stopniu². Do roku 2012 w badaniach archeologicznych praktycznie całkowicie pomijane były jeziora Pojezierza Ławskiego. Dopiero prace prowadzone we współpracy pomiędzy Instytutem Archeologii Uniwersytetu Kardynała Stefana Wyszyńskiego w Warszawie i Zakładem Archeologii Podwodnej Uniwersytetu Mikołaja Kopernika w Toruniu, realizowane w ramach kierowanego przez Z. Kobylińskiego projektu Narodowego Programu Rozwoju Humanistyki *Katalog grodzisk Warmii i Mazur*³, pozwoliły na lokalizację pierwszych stanowisk podwodnych w tym rejonie⁴. Prospekcje przeprowadzone w 2012 roku realizowane były na następujących akwenach: jezioro Jeziorak, jezioro Kocioł, jezioro Silm, jezioro Gulbińskie i jezioro Dauby⁵.

Kontynuacją wspomnianych prac były projekty *Nieustrukturalne kompleksowe rozpoznanie zasobów archeologicznych dna jezior i strefy brzegowej w wybranych akwenach Pojezierza Ławskiego w ramach podwodnego AZP* (kierownik P. Urbańczyk) oraz *Rozpoznanie zasobów archeologicznych jezior i strefy brzegowej Pojezierza Ławskiego* (kierownik A. Pydyn), realizowane w latach 2013 i 2014 i będące rezultatem współpracy pomiędzy Instytutem Archeologii Uniwersytetu Kardynała Stefana Wyszyńskiego w Warszawie, warszawskim oddziałem Stowarzyszenia Naukowego Archeologów Polskich i Zakładem Archeologii Podwodnej Uniwersytetu Mikołaja Kopernika w Toruniu. Projekty te były wspierane finansowo przez Narodowy Instytut Dziedzictwa. Realizowane w tym czasie prospekcje objęły wybrane rejony następujących akwenów: sezon 2013 – jezioro Jeziorak (gm. Ława, gm. Zalewo), jezioro Łabędź (gm. Ława), jezioro Trupel (gm. Kisielice), jezioro Łodygowo (gm. Kisielice), jezioro Młynek (gm. Zalewo), jezioro Bartążek (gm. Morąg), jezioro

Ruda Woda (gm. Miłomłyn), jezioro Ilińsk (gm. Miłomłyn), jezioro Klasztorne (gm. Gardeja)⁶; sezon 2014 – jezioro Ławskie (Długie) (gm. Ława), jezioro Drwęckie (gm. Ostróda), jeziora Grażymowskie (Grażymowskie i Mateczne) (gm. Prabuty), jezioro Gil Wielki (gm. Miłomłyn)⁷.

Jeziora Pojezierza Ławskiego, podobnie jak prawie wszystkie znajdujące się w rejonie Niżu Środkowoeuropejskiego, powstały w okresie recesji lądolodu stadiu górnego zlodowacenia Wisły. Utworzona w wyniku tego zlodowacenia wysoczyzna morenowa położona jest średnio na wysokości 110-120 m n.p.m. Elementem charakterystycznym jej krajobrazu są liczne jeziora o różnej wielkości⁸. Cechą charakterystyczną większości akwenów Pojezierza Ławskiego jest ich relatywnie niewielka głębokość, rzadko przekraczająca 10-12 metrów.

Większość akwenów Pojezierza Ławskiego to typowe zbiorniki eutroficzne o ograniczonej głębokości, dużej żyzności, ograniczonym natlenieniu i bogatym życiu biologicznym. Masowy rozwój glonów jest obok podłoża geologicznego jedną z głównych przyczyn ograniczonej przejrzystości w większości tych akwenów. Przejrzystość ta zmienia się w zależności od pory roku, ale rzadko przekracza 0,5-1 m bezpośrednio pod powierzchnią oraz 20-30 cm na głębokości około 1,5 m. Wyjątkiem od przedstawionej sytuacji jest jezioro Gil Wielki. Jest to akwen stosunkowo głęboki, który w najgłębszym miejscu ma 22 m. Dzięki temu poziom jego eutrofizacji jest mniejszy, niż w pozostałych akwenach, a przejrzystość wyraźnie lepsza.

Struktura osadów dennych w badanych akwenach jest bardzo różnorodna. W wielu zbiornikach w strefie brzegowej występuje zwarte gliniasto-iłowo-piaszczyste dno o dużej twardości (np. jezioro Mateczne, w rejonie wyspy). W wielu akwenach występują typowe produkty procesów eutroficznych, czyli lotne i miękkie osady jeziorne, o miąższości czasami przekraczającej 1 m (np. jezioro Ławskie). Duża miąższość osadów dennych jest poważnym ograniczeniem dla prospekcji archeologicznej i ogranicza skuteczność prowadzonych prac. Na jeziorze

¹ Bukowski 1978; Kola i Wilke 1985; Gackowski 1995.

² Pydyn 2010; Chudziak, Kazimierczak i Niegowski 2011.

³ Kobyliński 2013: 228.

⁴ Pydyn 2013; Poppek *et al.* 2013.

⁵ Pydyn 2013.

⁶ Urbańczyk i Pydyn (red.) 2013.

⁷ Pydyn (red.) 2014.

⁸ Kondracki 1977.

Gil Wielki w wielu miejscach dno pokryte było zbitą warstwą muszli jeziornych.

Brzegi większości akwenów porasta zwarta roślinność, głównie w postaci trzciny pospolitej, rzadziej oczeretów jeziornych oraz pałki wąsko- i szerokolistej. Duże obszary płytkich jezior o znacznych nawarstwieńcach eutroficznych pokrywają różne gatunki rdestnic oraz grążeli i grzybieni (lilii wodnych). Zwarta roślinność jeziorna w postaci trzciny, jak i rdestnic i grążeli ograniczała dostęp do niektórych części płytkich akwenów jeziornych (np. jezioro Mateczne)⁹.

Prospekcje podwodne na Pojezierzu Iławskim realizowane w latach 2013-2014 składały się z kilku etapów:

- I etap – po kwerendzie archiwalnej wytypowano obszary skanowania hydroakustycznego oraz wstępnych podwodnych prospekcji archeologicznych. Szczególną uwagę zwrócono na obszary w rejonach wysp, półwyspów, przewężeń, wypłyceń oraz inne rejony, które ze względu na swoje formę mogły być miejscem wzmożonej aktywności minionych społeczności.
- II etap – sprawdzono anomalie pojawiające się na obrazie uzyskanym z sonaru bocznego. Prace prowadzono zarówno bezpośrednio w czasie skanowania hydroakustycznego, jak i po jego zakończeniu.
- III etap – na podstawie informacji uzyskanych po zastosowaniu metod nieinwazyjnych (echosonda, sonar, georadar i profiler denny) oraz zebranych w czasie wcześniejszych prospekcji wytypowano obszary o dużym potencjale archeologicznym i poddano je ponownym prospekcjom.
- IV etap – w przypadku niektórych stanowisk, np. wypłyceń na jeziorze Gil Wielki i mosty na jeziorze Łodygowo przeprowadzono w okresie jesiennym dodatkowe prospekcje. Ze stanowiska na jeziorze Gil Wielki pobrano również rdzeń niezbędny do wykonania analiz przyrodniczych i środowiskowych¹⁰.

Przeprowadzone prospekcje podwodne zmierzały do dokumentacji zarówno zabytków ruchomych, jak i nieruchomych zalegających na powierzchni dna. Natomiast zebrany z powierzchni materiał archeologiczny, podobnie jak w badaniach lądowych AZP, służył określeniu przynależności chronologicznej i kulturowej badanego obiektu oraz wskazaniu jego zasięgu. Warto przy tym zaznaczyć, że część odnalezionych stanowisk podwodnych była wykorzystywana wielokrotnie w przeszłości i posiada złożoną chronologię. W sezonach badawczych 2013-2014 w wymienionych powyżej jeziorach zlokalizowano 30 punktów AZP¹¹. W poniższym opracowaniu przedstawione zostały wstępne wyniki badań z czterech najciekawszych stanowisk, z których trzy posiadają złożoną chronologię, potwierdzającą ich wielofazowe wykorzystywanie.

⁹ Pydyn (red.) 2014.

¹⁰ Pydyn (red.) 2014.

¹¹ Urbańczyk i Pydyn (red.) 2014; Pydyn (red.) 2015.

JEZIORO KLASZTORNE (GM. GARDEJA)

Zespół osadniczy położony w południowej części jeziora Klasztorne znany jest archeologom przynajmniej od lat pięćdziesiątych XX wieku¹². Zespół ten składa się z dużego półwyspu, na którym znajdują się pozostałości nowożytnego klasztoru oraz położonej w pobliżu wyspy, na której odnaleziono ślady osadnictwa średniowiecznego¹³. W 1997 roku w pobliżu omawianego zespołu osadniczego przeprowadzono pierwsze prospekcje podwodne¹⁴. W wyniku tych prac natrafiono na niewielką ilość materiału ceramicznego pochodzącego zarówno z epoki neolitu, jak i średniowiecza. Zlokalizowano również skupisko wbitych w dno pionowych elementów drewnianych o niewielkiej średnicy.

Ponowne prospekcje podwodne realizowane w 2013 roku pozwoliły na odnalezienie większej liczby drewnianych elementów wbitych w dno i na ustalenie ich dokładnej lokalizacji (ryc. 1-2). Ustalono, że większość z nich posiadała średnicę tylko kilku centymetrów, a usytuowane były nierównomiernie na znacznym obszarze zatoki. Pozyskany materiał archeologiczny był bardzo zróżnicowany chronologicznie. Jednym z najciekawszych zabytków była z rogowa siekiera T-kształtna pochodząca z przełomu V i IV tysiąclecia p.n.e. (ryc. 3). Daty radiowęglowe sugerują, że z prawdopodobieństwem 90,8% powstała ona pomiędzy latami 4064 i 3964 p.n.e. Siekiery tego typu prawdopodobnie mogły być przejawem wpływów tradycji naddunajskich, w tym zwłaszcza wstęgowych, na społeczności Niżu Polskiego¹⁵. Niemniej były one również powszechne w kręgu oddziaływania kultury Ertebølle¹⁶. Znaleźiska tego typu znamy między innymi ze stanowisk w Dudce, Szczepankach (gmina Wydminy) i Dąbkach (gmina Darłowo).

Pośród zabytków średniowiecznych i nowożytnych odnalezionych na dnie zatoki południowej jeziora Klasztorne należy wymienić obok ceramiki inne przedmioty (ryc. 4), w tym dobrze zachowany nóż z dekorowaną kościaną rękojeścią. Analogiczne przykłady zabytków znane są między innymi z średniowiecznego Wrocławia¹⁷. Innym dobrze zachowanym zabytkiem metalowym jest trójkąt na kłódka. Z funkcjonującym na półwyspie klasztorem powiązane mogą być znaleźiska kafli ceramicznych.

Różnorodność chronologiczna odnalezionych zabytków pozwala przypuszczać, że rejon zatoki był eksploatowany w różnych okresach. Biorąc pod uwagę średnicę elementów drewnianych, ich rozmieszczenie oraz głębokość akwenu wydaje się mało prawdopodobne aby znajdowała się tutaj przeprawa mostowa lub tzw. osiedle nawodne, jak było to interpretowane po pierwszych badaniach z lat

¹² Kofel, Popek i Pydyn 2014.

¹³ Bojarski 1997.

¹⁴ Niegowski 1997.

¹⁵ Bigos 2014.

¹⁶ Sznajdrowska 2012.

¹⁷ Jaworski 2012: 182-184.

Ryc. 1. Widok na zatokę jeziora Klasztorne, w której natrafiono na drewniane elementy konstrukcyjne i zabytki archeologiczne (fot. A. Pydyn)



Fig. 1. A view on a bay of the Lake Klasztorne. In this area wooden constructions and archaeological finds were discovered (photo by A. Pydyn)

Ryc. 2. Lokalizacja zabytków archeologicznych i elementów drewnianych odnalezionych w roku 2013 w południowej zatoce jeziora Klasztorne (oprac. P. Stencel)

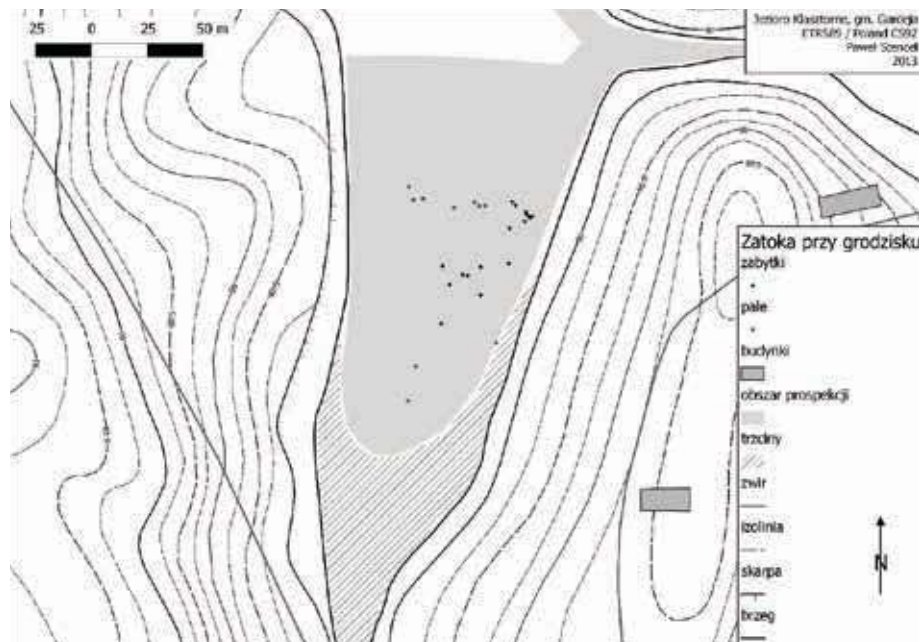
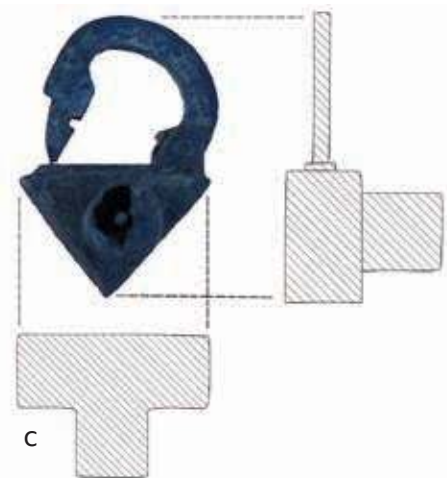
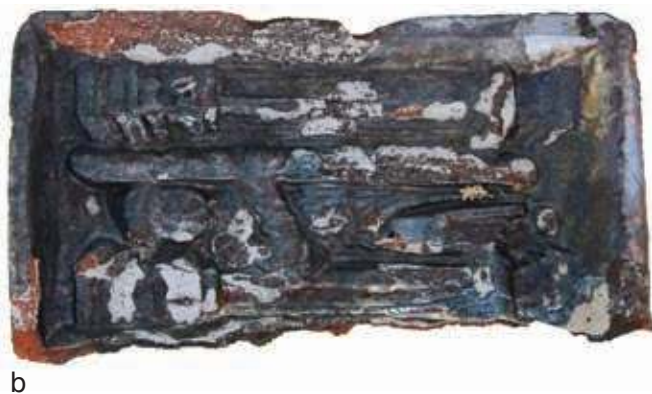
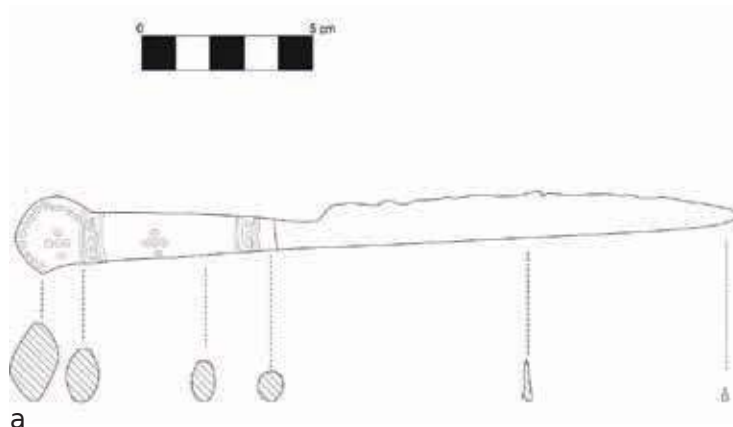


Fig. 2. Location of archaeological finds and wooden elements discovered in 2013, in southern bay of the Lake Klasztorne (elaborated by P. Stencel)

Ryc. 3. Neolityczna siekiera T-kształtna z jeziora Klasztorne (rys. B. Lachowicz).

Fig. 3. A Neolithic T-shape axe from the Lake Klasztorne (drawn by B. Lachowicz)





Ryc. 4. Przykłady zabytków średnio-wiecznych i nowożytnych z jeziora Klasztornego: a - nr inv. W-KL-Z-Z91; b - nr inv. W-KL-Z-Z5/1; c - nr inv. W-KL-Z-Z50/1 (oprac. D. Kofel).

Fig. 4. Examples of the Medieval and Post-Medieval finds from the Lake Klasztorne: a - inv. no. W-KL-Z-Z91; b - inv. no. W-KL-Z-Z5/1; c - inv. no. W-KL-Z-Z50/1 (elaborated by D. Kofel)

dziewięćdziesiątych XX wieku¹⁸. Natomiast uwzględniając prawdopodobne połączenie zatoki z sąsiednim zbiornikiem wodnym, należy przypuszczać, że odnalezione zabytki i elementy drewniane są pozostałością cyklicznej działalności rybackiej. Miejsce to musiało być na tyle sprzyjające pozyskiwaniu ryb, że odmienne społeczności eksploatowały je od neolitu po czasy nowożytne.

PRZESMYK POMIĘDZY JEZIORAKIEM A JEZIOREM PŁASKIE (GM. ZALEWO)

Obszarem wyjątkowo ciekawym pod względem archeologicznym, a zlokalizowanym w trakcie prospekcji podwodnych na jeziorze Jeziorak w roku 2013 jest rejon przesmyku na jezioro Płaskie¹⁹ (ryc. 5). W bezpośrednim sąsiedztwie połączenia tych dwóch akwenów nie są znane ważniejsze stanowiska lądowe, natomiast prowadził tędy szlak komunikacyjny pomiędzy Łławą i Zalewem, który funkcjonował jeszcze przed II wojną światową. Początki tego szlaku muszą sięgać wczesnego średniowiecza lub czasów jeszcze wcześniejszych. Pozostałościami po średniowiecznych szlakach okazały się relikty dwóch

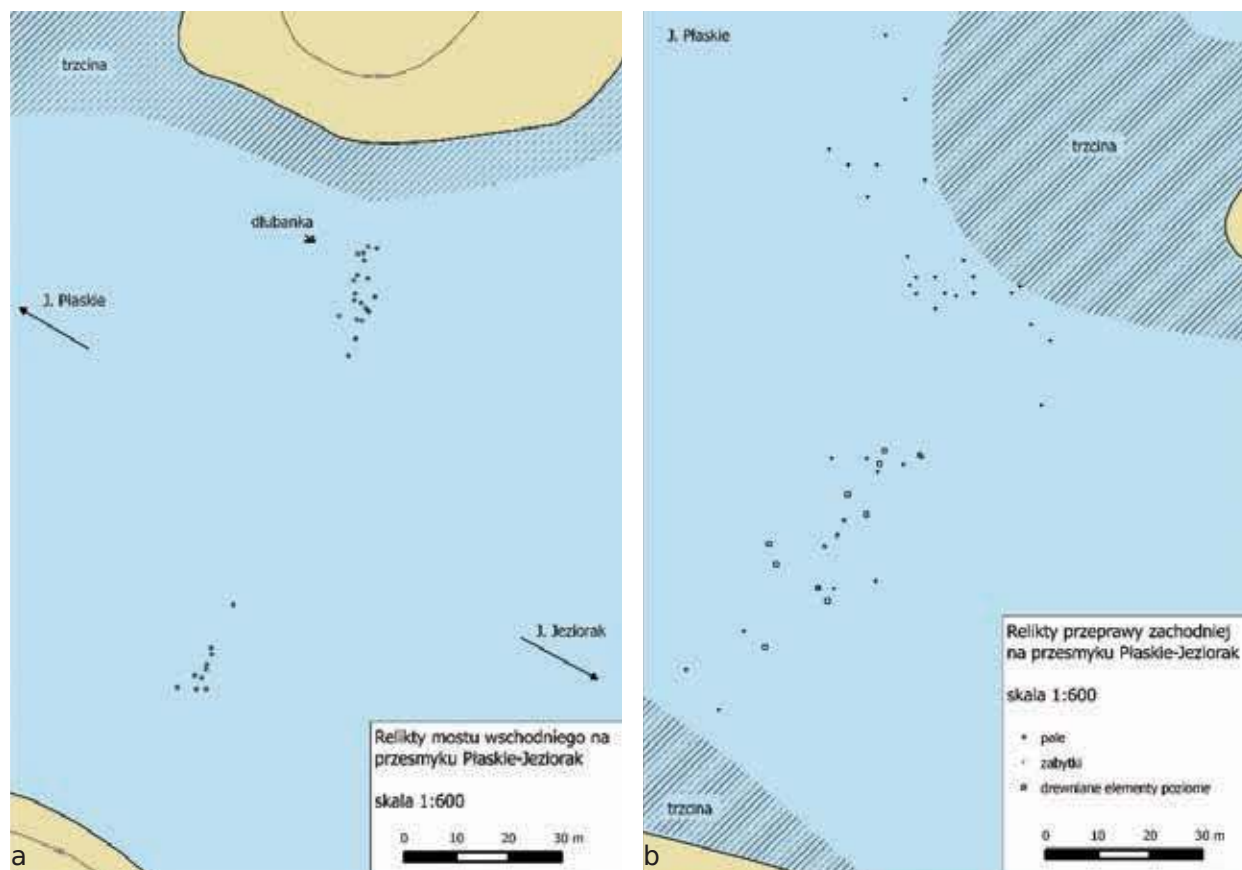
przepraw mostowych, biegnących równolegle do siebie, oddalonych o około 100 m (ryc. 6). Przebieg pierwszej przeprawy (tzw. wschodniej) praktycznie pokrywał się z trasą promu, jaki tu pływał w okresie międzywojennym. W rejonie mostu odnaleziono belki jarzmowe i inne elementy konstrukcyjne. Przeprawa miała około 150 m długości i 3-4 metry szerokości, składały się na nią dwa rzędy pali. Całość wykonana była z drewna dębowego. 12 m od osi przeprawy odnaleziono łódź jednopienną od długości 3,9 m i szerokości około 0,5 m (ryc. 7). Jednostka posiadała dwie grodzie oraz ślady naprawy burty w postaci niewielkiej deski przymocowanej do łodzi kołkami. Pod względem konstrukcyjnym jednostka nawiązuje do innych znanych wczesnośredniowiecznych łodzi jednopiennych²⁰.

Analizy dendrochronologiczne wykonane dla prób pobranych z tzw. mostu wschodniego sugerują, że przeprawa ta w swojej zasadniczej części została zbudowana z drewna ściętego w latach 1055-1057, a naprawiana była drewnem ściętym w latach 1061-1062. Datowanie łodzi jednopiennej okazało się bardziej złożone. Próby ustalenia dat dendrochronologicznych, jak i radiowęglowych dla tej jednostki nie powiodły się. Udało się natomiast ustalić szerokie datowanie dla naprawy tej ło-

¹⁸ Niegowski 1997.

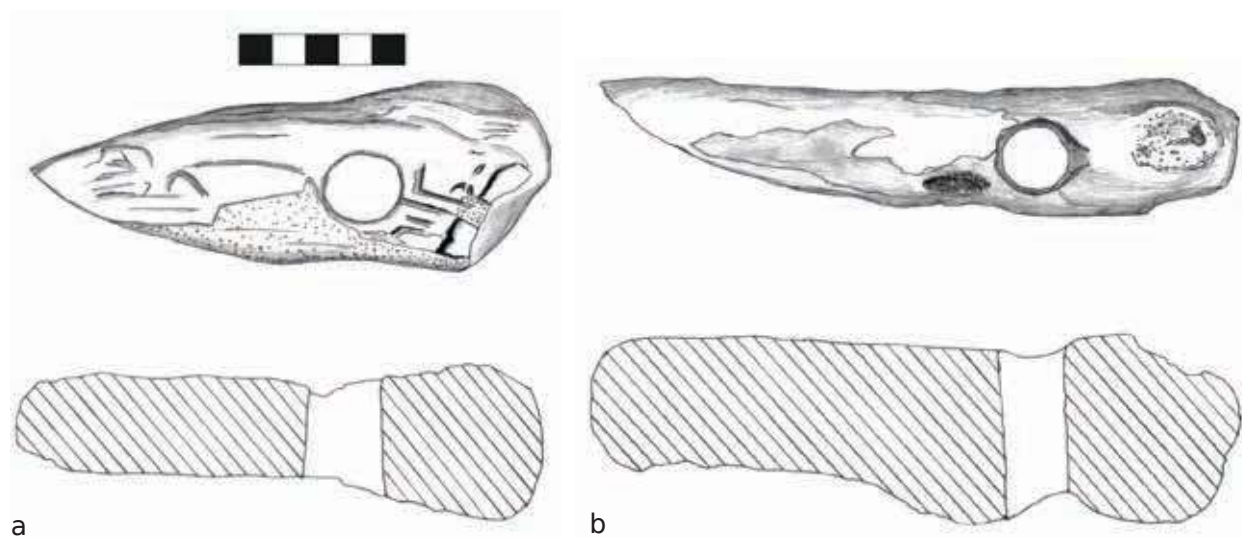
¹⁹ Urbańczyk i Pydyn (red.) 2013; Kofel, Popek i Pydyn 2014.

²⁰ Ossowski 1999.



Ryc. 8. Plan mostu wschodniego (a) i zachodniego (b) na połączeniu jezior Jeziorak i Płaskie. Na planie przedstawiono rozmieszczenie elementów konstrukcyjnych i zabytków (oprac. P. Stencel)

Fig. 8. A plan of the eastern (a) and the western (b) bridges located between the lakes Jeziorak and Płaskie. On the plan a distribution of wooden constructions elements and archaeological artefacts is presented (elaborated by P. Stencel)



Ryc. 9. Sikiery wykonane z poroża z epoki brązu odnalezione na południowy-zachód od półwyspu Bukowiec: a - nr inw. W-JE-PPC-Z1/1; b - nr inw. W-JE-PPC-Z5/1 (rys. B. Lachowicz).

Fig. 9. The Bronze Age antler axes discovered south-west of the Bukowiec Peninsula: a - inv. no. W-JE-PPC-Z1/1; b - inv. no. W-JE-PPC-Z5/1 (drawn by B. Lachowicz)

dzi. Kołki, którymi mocowano deskę naprawczą, zostały wykonane z drewna pochodzącego z prawdopodobieństwem 95,4% z okresu pomiędzy 772 a 967. Jednak najbardziej prawdopodobne wydaje się, że naprawy dokonano pod koniec VIII lub w IX wieku (ryc. 8).

Kolejna przeprawa została wzniesiona około 100 m na zachód od omawianej powyżej. Niestety pozyskane próby drewna zawierały zbyt małą liczbę słoje przyrostu rocznego, co uniemożliwiło wykonanie datowań dendrochronologicznych. Natomiast dwie próby radiowęglowe potwierdziły taki sam przedział czasowy. Z prawdopodobieństwem 95,5% most powstał w okresie pomiędzy rokiem 775 a 969. Jest więc wyraźnie młodszy od wschodniej przeprawy mostowej. Najciekawszymi zabytkami odnalezionymi w rejonie mostu zachodniego były średniowieczne zabytki żelazne w postaci siekiery oraz grotu włóczni.

Północny przyczółek mostu zachodniego znajdował się w rozległym obszarze występowania materiału pradziejowego. Odnaleziono tu fragmenty ceramiki z wczesnej epoki brązu oraz związane z kulturą kurhanów zachodniobałtyjskich z wczesnej epoki żelaza. Natrafiono również na dwie siekiery rogowe (ryc. 9), z których jedna została wydatowana radiowęglowo z prawdopodobieństwem 95,4% na okres pomiędzy 1421-1267 p.n.e. Rejon połączenia jeziora Jeziorak i jeziora Płaskie jest wyjątkowo interesujący archeologicznie. Szeroka strefa litoralna na południowy-zachód od półwyspu Bukowiec było miejscem aktywności lokalnej społeczności od epoki brązu po nowożytność.

JEZIORO ŁODYGOWO (GM. KISIELICE)

Jednym z najbardziej interesujących obiektów archeologicznych odnalezionych w trakcie prospekcji podwodnych w rejonie Warmii są przeprawy mostowe na wyspę Kurhany na jeziorze Łodygowo²¹. Sama wyspa Kurhany była przedmiotem zainteresowań już XIX-wiecznych badaczy pruskich. W 1882 roku S.S. Schultze przeprowadził wstępne badania, jednak dopiero prace realizowane w 1892 roku przez H. Conwenz przy znaczącym współudziale A. Rehberga miały charakter wykopaliskowy²². Do dalszego rozpoznania charakteru osadnictwa na wyspie Kurhany i sąsiedniej wyspie Dużej przyczyniły się badania J. Michalskiego z lat 1984 i 1985. Sugerował on, że na obydwóch wyspach można wyróżnić dwa horyzonty osadnicze. Pierwszy z nich pochodzi z wczesnej epoki żelaza i nawiązuje do kultury kurhanów zachodniobałtyjskich, a drugi to wyraźne ślady osadnictwa wczesnośredniowiecznego i średniowiecznego²³. Osady na obydwu wyspach miały charakter obronny. Najnowsze badania na wyspach jeziora Łodygowo realizował w latach 2013 i 2014 zespół Z. Kobylińskiego, w ramach projektu *Katalog grodzisk Warmii i Mazur*.

²¹ Urbańczyk i Pydyn (red.) 2013; Pydyn 2016.

²² Conwenz 1905.

²³ Michalski 1984, 1985.

W XIX wieku dokonano korekty poziomu wody w jeziorze Łodygowo. W wyniku tej korekty zauważono, że położona centralnie wyspa Kurhany musiała być w przeszłości połączona przeprawami mostowymi z przeciwległymi brzegami. Pierwszą dokumentację pozostałości tych konstrukcji wykonał w roku 1892 Alexander Rehberg. Cennym uzupełnieniem tej dokumentacji rysunkowej są zdjęcia wykonane w roku 1909 przez Rudolfa Hermanna (ryc. 10). Najpowszechniej dostępnym podsumowaniem tego wczesnego etapu dokumentacji przepraw mostowych w Łodygowie jest publikacja W. La Baume'a z 1938 roku. Autor przedstawia w niej nie tylko wyniki własnych badań, ale wykorzystuje również wcześniejszą dokumentację²⁴.

Do kolejnych prób inwentaryzacji przepraw mostowych w Łodygowie miało dojść w 1996 roku, niestety ich wyniki zostały opublikowane dopiero w 2013 roku²⁵. Kompleksowe prace dokumentacyjne na przeprawach mostowych w jeziorze Łodygowo przeprowadzono w roku 2013 w ramach projektu kierowanego przez P. Urbańczyka z Instytutu Archeologii UKSW. Realizowane wtedy prace podzielono na kilka etapów. Przeprowadzono trzy prospekcje, które można uznać za kolejne przejścia AZP. Prace te uzupełniono badaniami nieinwazyjnymi: skanowaniem sonarem bocznym i echosondom oraz georadarem i profilerem dennym. W wyniku prac zlokalizowano i dokładnie namierzono pozostałości dwóch mostów, ustalono ich przebieg i z wykorzystaniem urządzenia GPS RTK namierzono pojedyncze pale. Pozyskano również liczny materiał archeologiczny w postaci ceramiki i przedmiotów metalowych oraz liczne zwierzęce szczątki kostne²⁶.

Najstarsza dokumentacja mostu biegnącego od wyspy Kurhany w kierunku majątku Łodygowo (niem. *Klein Ludwigsdorf*) wskazuje, że pod koniec XIX wieku na jego konstrukcję składało się jeszcze około 500 pali pionowych lub ukośnych. W roku 2013 udało się zadokumentować już tylko 150 pali. Obecne badania potwierdziły, że omawiana konstrukcja miała ponad 250 m długości oraz około 3,8 m szerokości²⁷. Archiwalne informacje na temat przeprawy mostowej biegnącej z wyspy Kurhany dokładnie w kierunku wschodnim są jeszcze mniej precyzyjne. Miała ona mieć około 100 m długości i 10 m szerokości²⁸. Prospekcje podwodne z 2013 roku wykazały, że omawiana przeprawa była tylko nieznacznie krótsza od przedstawionej wcześniej i miała ponad 200 m długości, natomiast jej szerokość wynosiła pomiędzy 5 a 5,5 metra (ryc. 11).

Analizy dendrochronologiczne drewnianych elementów konstrukcyjnych obydwóch przepraw, przeprowadzone przez T. Ważnego, pozwoliły na dokładniejszą ich interpretację²⁹. W świetle uzyskanych wyników można stwierdzić, że most pierwszy, biegnący od wyspy Kur-

²⁴ La Baume 1938.

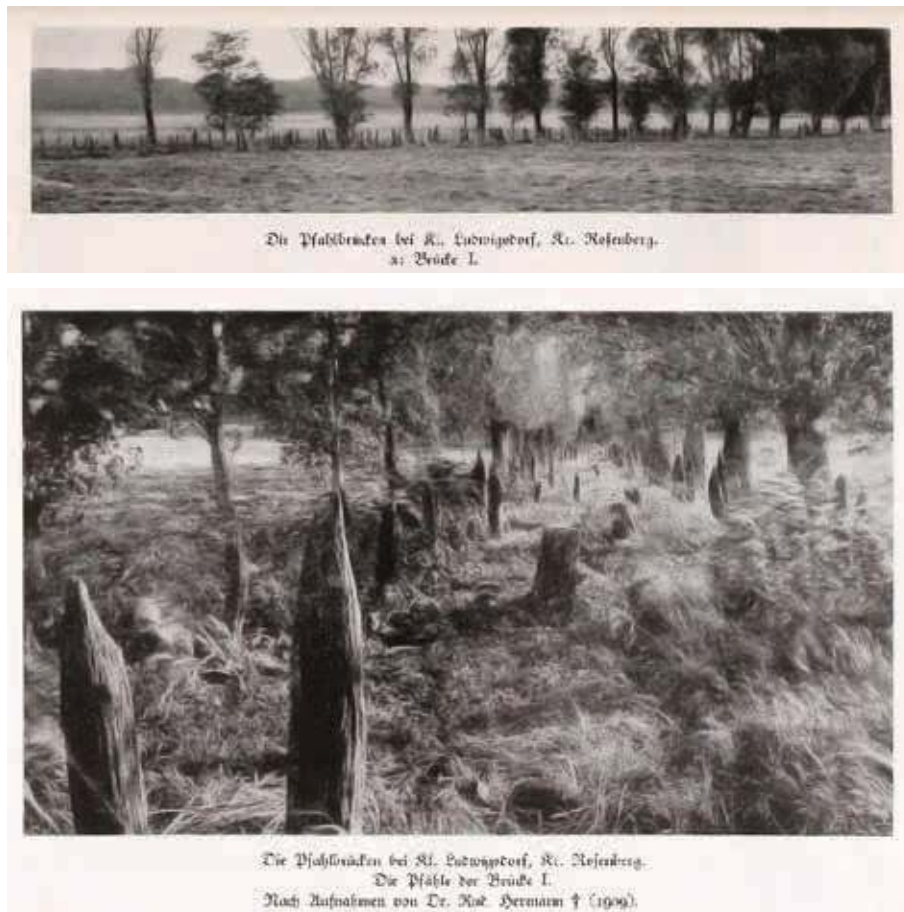
²⁵ Kazimierczak *et al.* 2013.

²⁶ Pydyn 2016.

²⁷ Pydyn 2016.

²⁸ La Baume 1938.

²⁹ Ważny 2013a, 2013b.



Ryc. 10. Archiwalne zdjęcia mostu biegnącego od wyspy Kurhany w kierunku majątku w Łodygowie, wykonane w 1909 przez R. Hermanna (La Baume 1938).

Fig. 10. Archival photos of the Medieval bridge that run between the Island Kurhany and the estate at Łodygowo (made in 1909 by R. Hermann, according to La Baume 1938)

hany w kierunku majątku Łodygowo, został zbudowany lub w znacznym stopniu przebudowany z drewna dębów ściętych zimą pomiędzy rokiem 1333-1334 rokiem. Niemniej, inne daty dendrochronologiczne wskazują, że konstrukcja przeprawy rozpoczęła się już w drugiej połowie XIII wieku. Z mostu biegnącego od wyspy Kurhany w kierunku wschodnim pobrano kilkanaście prób, niestety tylko cztery z nich nadawały się do datowania. Sugerują one, że most w znaczącej części powstał w XII wieku, a dokładnie pomiędzy rokiem 1137 a 1138³⁰. Kolejna próba potwierdza jednak, że przeprawa była w użyciu przynajmniej do połowy XIV wieku³¹.

Przeprawy wzniesiono prawdopodobnie przy zastosowaniu odmiennych technik. Mimo to, przynajmniej częściowo, opisywane obiekty funkcjonowały w tym samym czasie. Z wykonanej w 2013 roku dokładnej dokumentacji rysunkowej wynika, że obydwie przeprawy posiadały wspólny przyczółek, który był zlokalizowany w bezpośrednim sąsiedztwie jedynej bramy prowadzącej do założenia obronnego na wyspie Kurhany³². Przeprawa mostowa nr 2, prowadząca w kierunku wschodnim, była ściśle zintegrowana z rozwojem średniowiecznych systemów obronnych na wyspie. Natomiast most nr 1 był prawdopodobnie

niewiele młodszy i został dodany do wcześniejszych założeń architektoniczno-przestrzennych. Wspólny przyczółek dla dwóch mostów jest założeniem unikatowym, nie znanym z innych przepraw zachodniej Słowiańszczyzny i Prus.

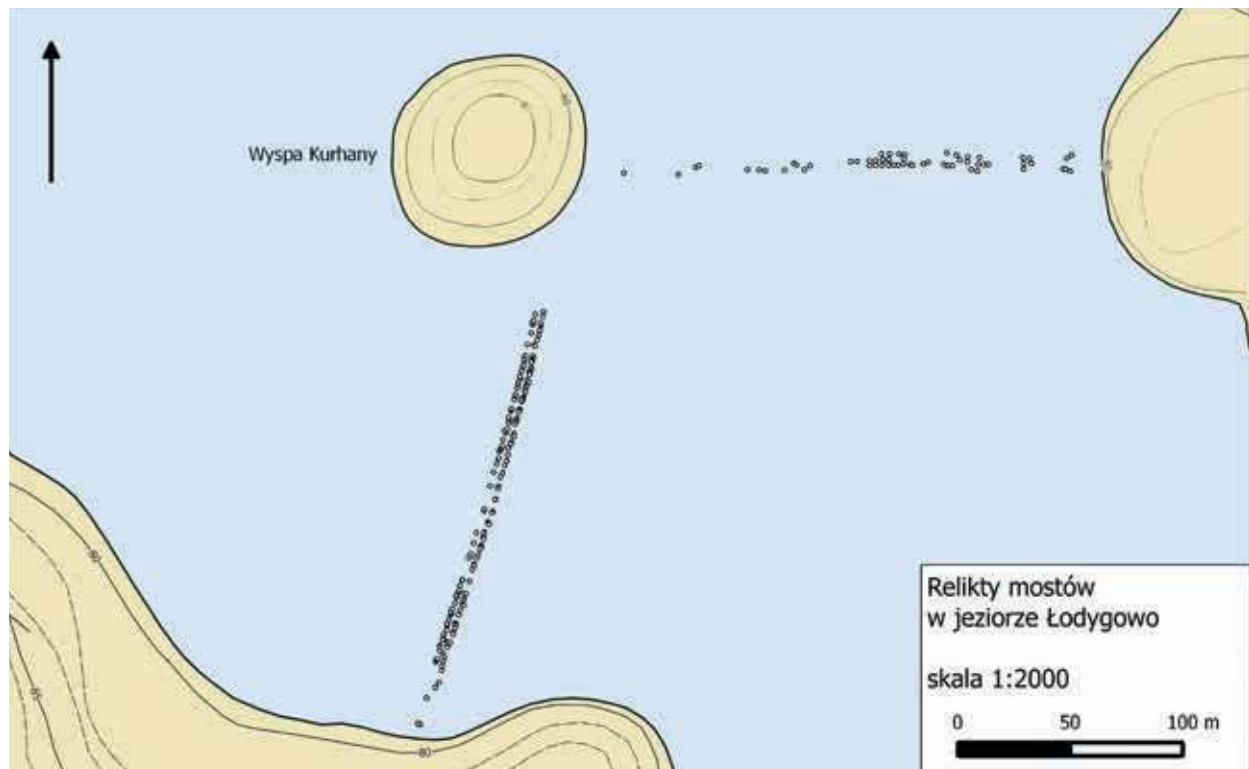
Przeprowadzone prospekcje podwodne pozwoliły na odnalezienie znacznej ilości materiału archeologicznego i archeozoologicznego w rejonie omawianego przyczółka mostowego. Analiza zwierzęcych szczątków kostnych (436 fragmenty) dostarczyła bardzo interesujących wyników³³. Biorąc pod uwagę chronologię stanowiska bardzo zaskakujący wydaje się wynoszący ponad 47% udział szczątków zwierząt dzikich w analizowanym materiale. Należały one do dziewięciu gatunków łownych: żubra, tura, jelenia, łosia, sarny, dzika, niedźwiedzia, bobra i innych zwierząt drapieżnych (prawdopodobnie wydry). Wśród szczątków zwierząt hodowlanych (prawie 53% całego analizowanego materiału) dominowały pozostałości bydła (ponad 53% szczątków zwierząt hodowlanych), ale występowały również pozostałości kostne świni, konia i małych przeżuwaczy. Znaczna część analizowanego materiału posiadała ślady zabiegów rzeźniczych. Podsumowując, należy zaznaczyć, że skala wykorzystania zwierząt dzikich, a zwłaszcza dużych przeżuwaczy, przez mieszkańców założenia obronnego na wyspie Kurhany jest niespo-

³⁰ Ważny 2013a.

³¹ Ważny 2013a.

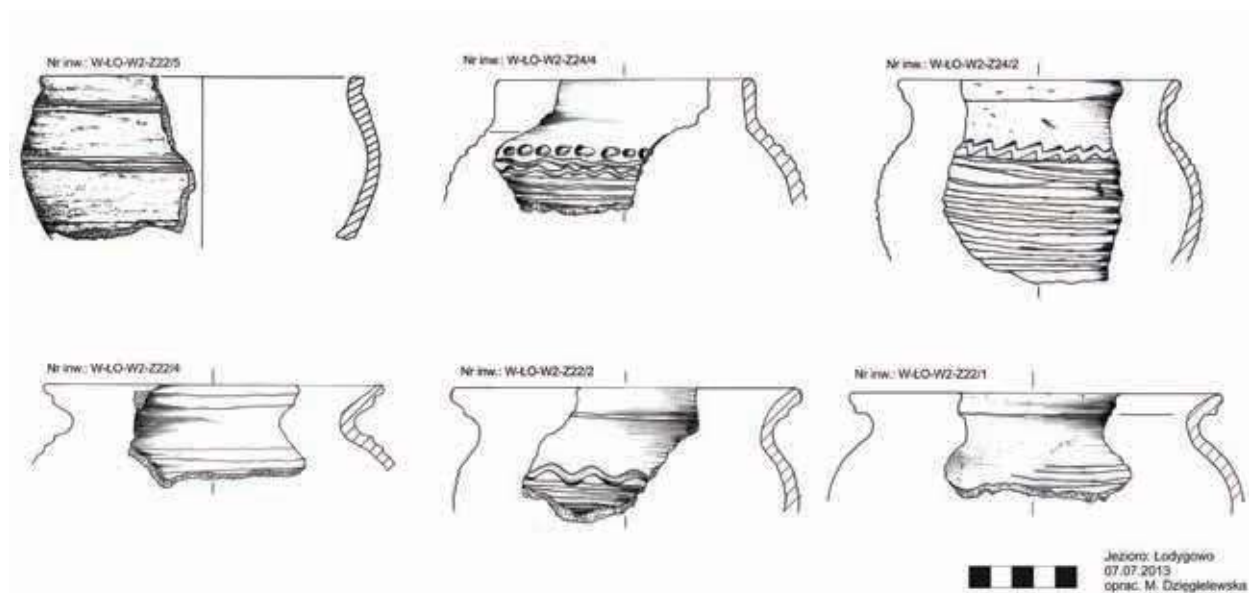
³² Pydyn 2016.

³³ Gręzak 2014.



Ryc. 11. Przebieg mostów łączących wyspę Kurhany z przeciwnymi brzegami jeziora Łodygowe, na podstawie prac wykonanych przez Zakład Archeologii Podwodnej, UMK w 2013 roku (rys. P. Stencel)

Fig. 11. Location of two bridges that connected the Island Kurhany with the lake shores. The plan is based on the work conducted in 2013 by the Department of Underwater Archaeology from UMK (drawn by P. Stencel)



Ryc. 12. Przykłady zabytków ceramicznych z rejonu przyczółku mostowego na wyspie Kurhany (rys. M. Siwczak i M. Dziegielewska).

Fig. 12. Examples of pottery discovered in the area of bridges near the Island Kurhany (drawn by M. Siwczak and M. Dziegielewska)

tykana na tle innych stanowisk z tego okresu, znanych z terenu ziem polskich³⁴.

Odnaleziony w trakcie prospekcji materiał archeologiczny reprezentuje głównie ceramika (ryc. 12) oraz liczne zabytki metalowe. Ich chronologia jest zbliżona do chronologii przepraw mostowych i obejmuje okres od początku XII wieku do połowy XIV wieku. Jest prawdopodobne, że część pozyskanego materiału ceramicznego mogła pochodzić nawet z XI wieku. Całość zbioru wymaga szczegółowej analizy, ale wydaje się, że reprezentuje on materiał bardziej charakterystyczny dla obszarów słowiańskich niż pruskich³⁵. Zabytki metalowe reprezentowane są przez różnorodną kategorię przedmiotów. Zaliczyć do nich można powszechnie spotykane na stanowiskach średniowiecznych gwoździe i okucia, ale również militaria w postaci grotów oraz wędzidła, ostrogi, podkowy, jak również części pasa – sprzączki, przewlecarki i sierpy³⁶.

Kompleks osadniczy w rejonie jeziora Łodygowo jest wyjątkowo interesujący. Założenie obronne na wyspie Kurhany wraz z omawianymi przeprawami mostowymi są unikatowe na terenie Słowiańszczyzny Zachodniej i obszarach pruskich. Stosunkowo nieduża wyspa, o średnicy mniejszej niż 80 m, była prawie przez cztery stulecia ważnym ośrodkiem władzy politycznej lub symboliczno-religijnej. Duże założenia konstrukcyjne, w postaci dwóch mostów o długości ponad 200 m, wymagały wysoce zorganizowanej władzy i to w okresie szybko rozwijającego się państwa zakonnego³⁷.

JEZIORO GIL WIELKI (GM. MIŁOMŁYN)

W sezonie badawczym 2014 w ramach prospekcji podwodnych udało się zlokalizować wyjątkowo interesujące stanowisko pradziejowe położone w północnej zatoce jeziora Gil Wielki³⁸. Już w latach 1980. w sąsiedztwie miejscowości Ostrów Wielki, w wodach omawianego akwenu, odnaleziono dwa harpuny rogowe pochodzące prawdopodobnie z epoki kamienia. W latach 1990., w miejscu odnalezienia tych zabytków, krótkich prospekcji podwodnych dokonał Zakład Archeologii Podwodnej Uniwersytetu Mikołaja Kopernika. Prace, którymi kierował dr Wojciech Szulta, nie dostarczyły jednak kolejnych zabytków.

Prospekcje podwodne realizowane w 2014 roku miały miejsce w różnych częściach akwenu, co miało wpływ na specyfikę realizowanych prac. W południowej części jeziora zachodnie brzegi opadały stosunkowo stromo, co powodowało zmniejszenie szerokości strefy przybrzeżnej. Natomiast wzdłuż prawie całego wschodniego brzegu (zarówno na południu, jak i północy akwenu) występowały liczne rozległe wyłyceńca, których dokładna prospekcja

wymaga ponownych badań. Właśnie w rejonie tych wyłyceń w latach 1980. natrafiono na dwa harpuny kościane.

W północno-wschodniej części omawianego jeziora natrafiono na zaskakująco rozległe wyłyceńca, znajdujące się w centralnej części dużej zatoki (ryc. 13-14). Złożoność ukształtowania dna w tym rejonie potwierdziły skanowania echosondą i sonarem. W trakcie prospekcji w rejonie wspomnianego wyłyceńca, jak i sąsiedniego półwyspu znajdującego się po wschodniej części zatoki, natrafiono na pradziejowy materiał ceramiczny (ryc. 15). Na północ od tego obszaru, w strefie brzegowej wyspy odnaleziono ciężarek rybacki z późnego średniowiecza lub nowożytności³⁹.

Analiza wyników skanowania echosondą i sonarem oraz studia nad materiałem archeologicznym pozyskanym w trakcie prospekcji, pozwoliły wytypować północną zatokę jeziora Gil Wielki do ponownych badań podwodnych. Drugi etap tych prospekcji objął całą strefę przybrzeżną omawianej zatoki oraz centralne wyłyceńca. Wyjątkowo interesujące okazało się wspomniane wyłyceńca, na którym odnaleziono między innymi ceramikę związaną z kulturą ceramiki sznurowej. W badanym rejonie wyznaczono pasy badawcze, których powierzchnia była przeszukiwana z centymetrową dokładnością. W rezultacie prac pozyskano liczny materiał archeologiczny, na który składały się głównie fragmenty naczyń ceramicznych i kości zwierzęce. W omawianym materiale bardzo znaczącą grupę stanowiły zabytki związane z późnym neolitem i wczesną epoką brązu. Występowała też ceramika, która może być łączona z kulturą kurhanów zachodniobałtyjskich⁴⁰.

Nieinwazyjny charakter prospekcji utrudniał pozyskanie dalszych informacji na temat odkrytego stanowiska. Niemniej skanowania hydroakustyczne i georadarem potwierdzają występowanie licznych anomalii w rejonie omawianego wyłyceńca (ryc. 16-17).

Dla pozyskanego w trakcie badań materiału próbowano wykonać datowania radiowęglowe. Niestety wszystkie wytypowane szczątki kostne posiadały zbyt małą ilość kolagenu, aby umożliwić tego typu datowanie. Otrzymano natomiast daty z osadów znajdujących się po wewnętrznej stronie naczyń ceramicznych. Uzyskana chronologia jest bardzo szeroka. Najstarsza data pochodzi z połowy czwartego tysiąclecia p.n.e., a najmłodsze z połowy drugiego tysiąclecia p.n.e. Analizy archeozoologiczne sugerują, że 60% zwierzęcych szczątków kostnych pochodzi od zwierząt dzikich, a 40% od udomowionych⁴¹. Wszystko to sugeruje, że mamy do czynienia z wielofazowym przybrzeżnym stanowiskiem pradziejowym, którego ważną fazę stanowi horyzont ceramiki sznurowej. Należy tutaj zaznaczyć, że osiedla ceramiki sznurowej są praktycznie nieznanne na terenie ziem polskich, stanowią one jednocześnie ważny horyzont alpejskich osiedli palafitowych.

³⁴ Gręzak 2013.

³⁵ Pydyn 2016.

³⁶ Maciejewski 2015.

³⁷ Pydyn 2016.

³⁸ Pydyn (red.) 2015.

³⁹ Pydyn (red.) 2015.

⁴⁰ Pydyn (red.) 2014.

⁴¹ Gręzak 2014.

Ryc. 13. Wyplycenie w północnej zatoce jeziora Gil Wielki, w rejonie którego znaleziono stanowisko archeologiczne (fot. A. Pydyn)

Fig. 13. A shallow area in the northern bay of the Lake Gil Wielki. The place where an archaeological site was discovered (photo by A. Pydyn)



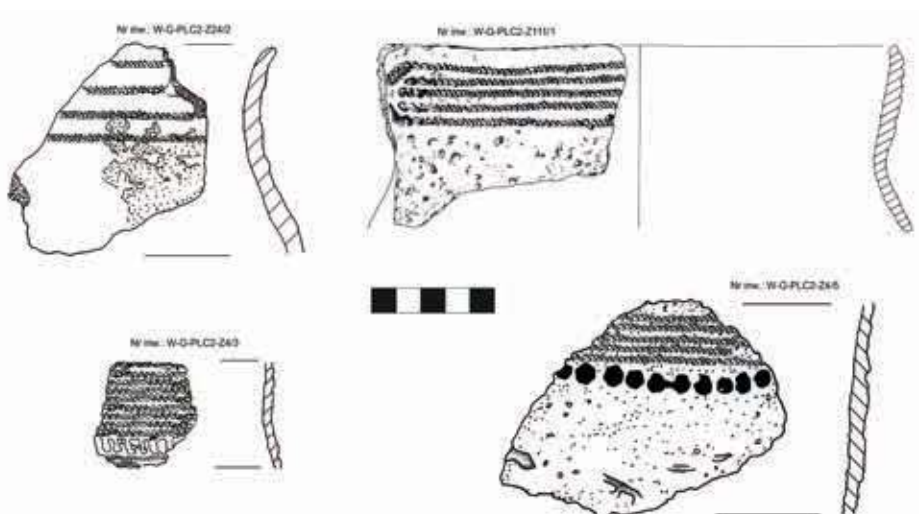
Ryc. 14. Dokładna batymetria centralnej części zatoki w północno-wschodniej części jeziora Gil Wielki (oprac. P. Stencel)

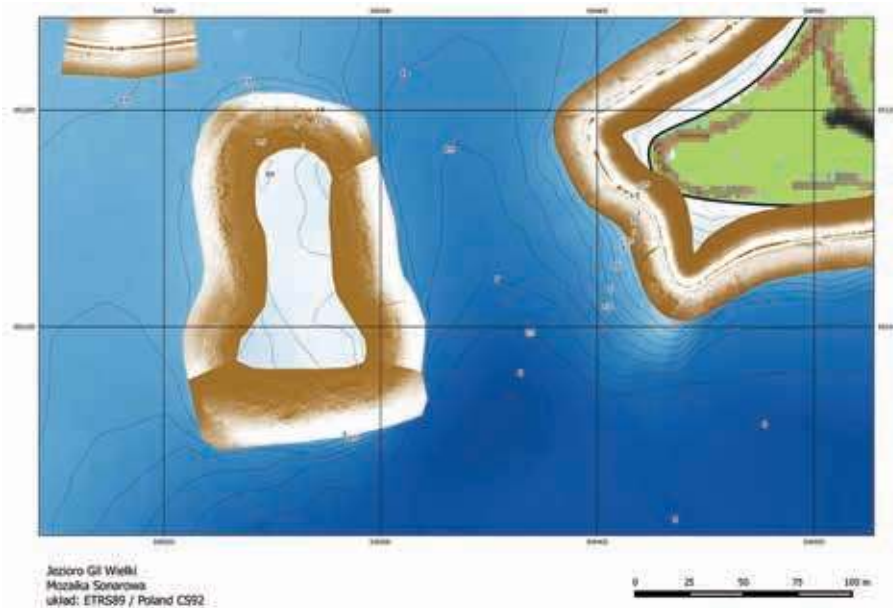
Fig. 14. A precise bathymetry of the central part of the north-eastern region of the Lake Gil Wielki (elaborated by P. Stencel)



Ryc. 15. Przykłady ceramiki pradziejowej z wyplycienia w zatoce północnej na jeziorze Gil Wielki (rys. B. Lechowicz i R. Mieszek)

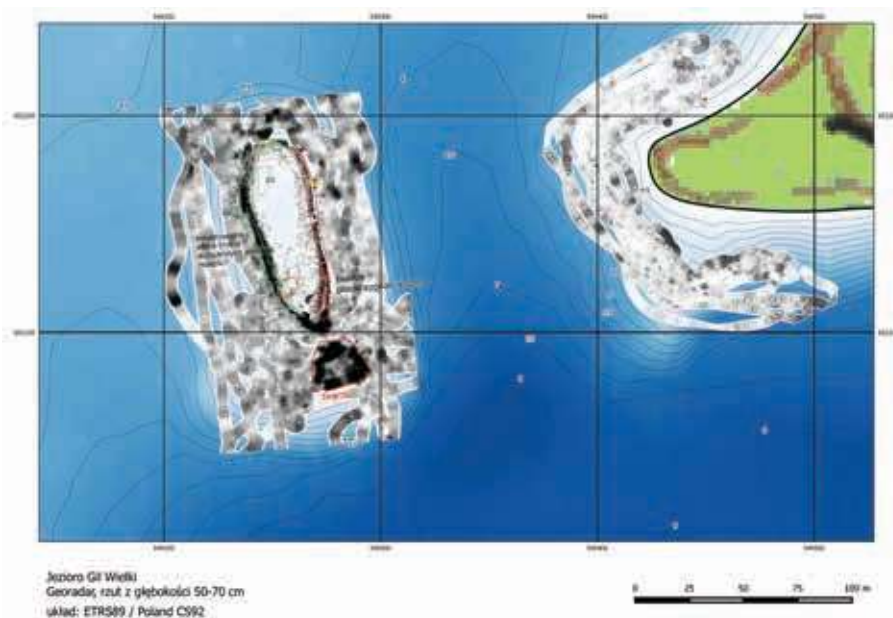
Fig. 16. Examples of the prehistoric pottery discovered in the northern bay of the Lake Gil Wielki (drawn by B. Lechowicz and R. Mieszek)





Ryc. 16. Mozaika sonarowa dla stanowisk archeologicznych w północnej zatoce jeziora Gil Wielki (oprac. P. Stencel)

Fig. 16. A sonar mosaic for the site in the northern bay of the Lake Gil Wielki (elaborated by P. Stencel)



Ryc. 17. Anomalie uzyskane w trakcie badań georadarowych w północnej zatoce jeziora Gil Wielki (oprac. P. Stencel)

Fig. 17. Georadar anomalies from the northern bay of the Lake Gil Wielki (elaborated by P. Stencel)

*

Prospekcje podwodne realizowane w sezonach 2013-2014 na Pojezierzu Ławskim pozwoliły na odnalezienie szeregu wcześniej nieznanymi stanowisk, co w połączeniu z wynikami prac realizowanych w roku 2012 ukazuje

potencjał badawczy akwenów znajdujących się w tym regionie. Należy jednocześnie zaznaczyć, że odnajdywane stanowiska pełniły odmienną funkcję i posiadają bardzo różnorodną chronologię. Potwierdza to potrzebę dalszych badań podwodnych w akwenach Pojezierza Ławskiego, jak i w innych regionach kraju.

Wykaz cytowanej literatury:

- Bigos, M.
2014. Północna granica zasięgu osadnictwa kultury późnej ceramiki wstęgowej. *Folia Praehistorica Posnaniensia* 19: 7-40.
- Bojarski, J.
1997. Wczesnośredniowieczny zespół osadniczy w Klasztorze, woj. Elbląskie, stanowiska 1 i 4 (badania w 1995 roku), [w:] W. Chudziak (red.), *Wczesnośredniowieczny szlak łódzki z Kujaw do Prus, 187-217*. Toruń: Wydawnictwo Uniwersytetu Mikołaja Kopernika.
- Bukowski, Z.
1978. Stan i perspektywy archeologicznych badań podwodnych w jeziorach i rzekach Polski. *Archeologia Polski* 23 (1): 49-62.
- Chudziak, W., R. Kazimierczak i J. Niegowski
2011. *Podwodne dziedzictwo archeologiczne Polski. Katalog stanowisk (badania 2006-2009)*. Toruń: Wydawnictwo Fundacji Amicus Universitatis Nicolai Copernici i Instytut Archeologii UMK.
- Conwentz, H.
1905. *Das Westpreussische Provinzial-Museum, 1880-1905. Nebst bildlichen Darstellungen aus Westpreussens Natur und vorgeschichtlicher Kunst*. Danzig: A.W. Kafemann.
- Gackowski, J.
1995. Propozycja wdrożenia „Karty ewidencji stanowiska archeologicznego zalegającego w wodzie (jezior, stawów, starorzeczy)”, [w:] A. Kola (red.), *Archeologia podwodna jezior Niziny Polskiej*, 5-16. Toruń: Wydawnictwo Uniwersytetu Mikołaja Kopernika.
- Gręzak, A.
2013. Wstępna analiza zwierzęcych szczątków kostnych ze średniowiecznej osady w Łodygowie, [w:] P. Urbańczyk i A. Pydyn (red.), *Niedestrukcyjne kompleksowe rozpoznanie zasobów archeologicznych dna jezior i strefy brzegowej w wybranych akwenach Pojezierza Iławskiego w ramach podwodnego AZP*. Sprawozdanie dla NID. Warszawa: UKSW.
2014. Wstępna analiza zwierzęcych szczątków kostnych ze stanowiska na jeziorze Gil Wielki, [w:] A. Pydyn (red.), *Rozpoznanie zasobów archeologicznych jezior i strefy brzegowej Pojezierza Iławskiego kontynuacja badań z 2013 r.* Sprawozdanie dla NID. Warszawa: SNAP.
- Jaworski, K.
2012. Obróbka surowca kościanego w średniowieczu i czasach nowożytnych w zachodniej części Ostrowa Tumskiego we Wrocławiu. Materiały z posesji przy ul. Katedralnej 4, [w:] A. Pankiewicz (red.), *Nowożytny cmentarz przy kościele św. Piotra i Pawła na Ostrowie Tumskim we Wrocławiu (1621-1670)*, 165-204. Wratislavia Aniqua 17. Wrocław: Instytutu Archeologii Uniwersytetu Wrocławskiego.
- Kazimierczak, R., W. Chudziak, B. Kowalewska i J. Niegowski
2013. *Sprawozdanie i opracowanie wyników z podwodnych badań archeologicznych o charakterze penetracyjnym w jeziorze Łodygowo (Staw Łodygowo), gm. Kisielice, pow. iławski, woj. warmińsko-mazurskie (Łodygowo stan. 1)*. Sprawozdanie dla Wojewódzkiego Konserwatora Zabytków. Toruń: UMK.
- Kobyliński, Z.
2013. Projekt Katalog grodzisk Warmii i Mazur. Część I: Pomezania, Pogezania i Warmia w ramach Narodowego programu Rozwoju Humanistyki: cele, założenia i pierwszy etap realizacji w 2012 roku, [w:] Z. Kobyliński (red.), *Grodziska Warmii i Mazur 1. Stan wiedzy i perspektywy badawcze*, 225-231. Archaeologica Hereditas 2. Warszawa – Zielona Góra: Instytut Archeologii UKSW i Fundacja Archeologiczna.
- Kofel, D., M. Popek i A. Pydyn
2014. Long term structures in archaeology : fishery activities in the Jeziorak and Klasztorne Lakes (Hawa Lake District, Northern Poland). *Skyllis* 14 (1): 10-15.
- Kola, A. i G. Wilke
1985. Uwagi na marginesie pracy Zbigniewa Bukowskiego „Stan i perspektywy archeologicznych badań podwodnych w jeziorach i rzekach Polski”. *Acta Universitatis Nicolai Copernici. Archeologia* 11: 85-86.
- Kondracki, J.
1977. *Regiony fizykogeograficzne Polski*. Warszawa: Wydawnictwo Uniwersytetu Warszawskiego.
- La Baume, W.
1938. Die Pfahlbrücken des Burgwalles bei Kl. Ludwigsdorf, Kr. Rosenberg (Westpr.). *Elbinger Jahrbuch* 15: 147-155.
- Maciejewski, J.
2015. *Funkcja i typologia przedmiotów metalowych ze stanowisk podwodnych na jeziorze Łodygowo*. Praca magisterska w Instytucie Archeologii UMK.
- Michalski, J.
1984. *Sprawozdanie z badań wykopaliskowych przeprowadzonych w 1984 r. na stan. 1 w Łodygowie, gm. Kisielice, woj. Elbląskie*, maszynopis w Wojewódzkim Urzędzie Konserwatora Zabytków w Olsztynie, Delegatura w Elblągu.
1985. *Sprawozdanie z badań wykopaliskowych przeprowadzonych w 1985 r. na stan. 2 w Łodygowie, gm. Kisielice, woj. Elbląskie*, maszynopis w Wojewódzkim Urzędzie Konserwatora Zabytków w Olsztynie, Delegatura w Elblągu.
- Niegowski, J.
1997. *Sprawozdanie z badań podwodnych prowadzonych w ramach programu Adalbertus*, [w:] W. Chudziak (red.), *Wczesnośredniowieczny szlak łódzki z Kujaw do Prus*, 245-263 Toruń: Wydawnictwo Uniwersytetu Mikołaja Kopernika.

- Ossowski, W.
1999. *Studia nad łodziami jednopiennymi z obszaru Polski*. Prace Centralnego Muzeum Morskiego w Gdańsku 11. Gdańsk: Marpress.
- Poppek, M., A. Pydyn, R. Solecki i P. Stencel
2013. Przeprawa mostowa na wyspę Wielka Żuława na jeziorze Jeziorak, [w:] Z. Kobyliński (red.), *Grodziska Warmii i Mazur 1. Stan wiedzy i perspektywy badawcze*, 373-380. Archaeologica Hereditas 2. Warszawa – Zielona Góra: Instytut Archeologii UKSW i Fundacja Archeologiczna.
- Pydyn, A.
2010. Archeologiczne penetracje podwodne strefy przybrzeżnej Jeziora Powidzkiego, [w:] A. Pydyn (red.), *Archeologia Jeziora Powidzkiego*, 15-40. Toruń: Wydawnictwo Naukowe UMK.
2013. Wyniki archeologicznych prospekcji podwodnych w wybranych jeziorach Pojezierza Iławskiego, [w:] Z. Kobyliński (red.), *Grodziska Warmii i Mazur 1. Stan wiedzy i perspektywy badawcze*, 361-372. Archaeologica Hereditas 2. Warszawa – Zielona Góra: Instytut Archeologii UKSW i Fundacja Archeologiczna.
2016. Średniowieczne przeprawy mostowe na wyspę Kurhany na jeziorze Łodygowo, [w:] M. Grupa i A. Pydyn (red.), *Księga pamiątkowa Prof. dr hab. Andrzeja Koli* (w druku)
- Pydyn, A. (red.)
2014. *Rozpoznanie zasobów archeologicznych jezior i strefy brzegowej Pojezierza Iławskiego kontynuacja badań z 2013 r.* Sprawozdanie dla NID. Warszawa: SNAP.
- Sznajdrowska, A.
2012. Recepcja wzorców rössenńskich na Niżu Polski. *Materiały i Sprawozdania Rzeszowskiego Ośrodka Archeologicznego* 33: 63-93.
- Urbańczyk, P. i A. Pydyn (red.)
2013. *Niedestrukcyjne kompleksowe rozpoznanie zasobów archeologicznych dna jezior i strefy brzegowej w wybranych akwenach Pojezierza Iławskiego w ramach podwodnego AZP*. Sprawozdanie dla NID. Warszawa: UKSW.
- Ważny, T.
2013a. Analiza dendrochronologiczna drewna z Łodygowo, wyspa Kurhany, most nr 1, [w:] P. Urbańczyk i A. Pydyn (red.), *Niedestrukcyjne kompleksowe rozpoznanie zasobów archeologicznych dna jezior i strefy brzegowej w wybranych akwenach Pojezierza Iławskiego w ramach podwodnego AZP*. Sprawozdanie dla NID. Warszawa: UKSW.
2013b. Analiza dendrochronologiczna drewna z Łodygowo (próbki z 2013), [w:] R. Kazimierczak, W. Chudziak, B. Kowalewska i J. Niegowski, *Sprawozdanie i opracowanie wyników z podwodnych badań archeologicznych o charakterze penetracyjnym w jeziorze Łodygowo (Staw Łodygowo), gm. Kisielice, pow. iławski, woj. warmińsko-mazurskie (Łodygowo stan. 1)*. Sprawozdanie dla Wojewódzkiego Konserwatora Zabytków. Toruń: UMK.

Andrzej Pydyn

Results of underwater archaeological surveys in lakes of the Iława Lake District in 2013-2014

Summary

In 2013-2014 a number of lakes in the Iława Lake District were archaeologically surveyed. Lakes in this region are usually shallow and have very limited visibility. Surveys carried by divers were preceded by archive studies, bathymetric (sonar) surveys, ground-penetrating radar and sub bottom profiler surveys. Majority of work concentrated in the littoral zone near peninsulas, islands and shallows. As a result of the work 30 new potential archaeological sites were discovered. Four out of them is discussed in this paper.

In the southern bay of the Lake Klasztorne T-shape axe from 5-4 millennium BC was found, together with a number of prehistoric, Medieval and post-Medieval artefacts and some wooden structures. The area of the bay was used in different chronological period to catch fish.

Another site with complex chronology was discovered between lakes Jeziorak and Płaskie. Antler exes and Prehistoric

pottery was found there, near the southern end of the Bukowiec Peninsula. Also there wooden remains of two Early Medieval bridges were discovered. Similar chronology has a well preserved dugout found near one of the bridge.

Another two Medieval bridges were located in the water of the Lake Łodygowo. This two bridges connected a stronghold on a small island with opposite shorelines. Near the island a large number of the Medieval artefacts were discovered.

In the northern part of the Lake Gil Wielki, in a large shallow remains of Prehistoric settlement of complex chronology were found. A very important phase of this settlement can be associated with population of the so-called Corded Ware Culture.

Translated by the author

Projekt Narodowego Programu Rozwoju Humanistyki *Katalog grodzisk Warmii i Mazur. Część I: Pomezania, Pogezania i Warmia: realizacja w latach 2012-2016*

INFORMACJE OGÓLNE O PROGRAMIE

Projekt zatytułowany *Katalog grodzisk Warmii i Mazur. Część I: Pomezania, Pogezania i Warmia* realizowany był w ramach Narodowego Programu Rozwoju Humanistyki w latach 2012-2016 przez Instytut Archeologii Uniwersytetu Kardynała Stefana Wyszyńskiego w Warszawie, przy współpracy ze strony Instytutu Archeologii i Etnologii PAN oraz udziale badaczy z różnych instytucji naukowych. Celem tego projektu było ustalenie liczby i stanu zachowania oraz chronologii i funkcji grodzisk prehistorycznych i wczesnohistorycznych w zachodniej części województwa warmińsko-mazurskiego, odpowiadającej historycznym krainom Pomezanii, Pogezanii i częściowo Warmii, po rzekę Pasłęgę na wschodzie. Podjęcie tego zadania wydawało się konieczne ze względu na to, że grodziska – a więc widoczne w krajobrazie pozostałości dawnych grodów – stanowią szczególną kategorię zabytków, o wysokiej wartości informacyjnej, a także o znacznym potencjale kulturowym, społecznym, estetycznym, a nawet – poprzez zdolność pobudzania zainteresowania turystycznego - ekonomicznym. Równocześnie, ze względu na techniczne trudności, jakie niosą zawsze ze sobą badania wykopaliskowe obwałowań ziemnych, większość tych obiektów na terenie województwa warmińsko-mazurskiego nie podlegała dotąd w ogóle badaniom archeologicznym, wskutek czego wiedza na ich temat była minimalna. Te braki wiedzy odnosiły się nawet do samej identyfikacji grodzisk. W źródłach archiwalnych, w literaturze naukowej i popularno-naukowej, jak również w opracowaniach kartograficznych dawnych i obecnych, funkcjonowały – i nadal funkcjonują - informacje na temat rzekomych grodzisk z obszaru będącego przedmiotem projektu, wymagające rzetelnej weryfikacji, a równocześnie – jak się okazało w trakcie realizacji projektu – wiele nieznanych dotąd grodzisk może kryć się nadal w lasach północno-wschodniej Polski.

Brak nawet tak podstawowej wiedzy, jaką jest identyfikacja zasobów dziedzictwa archeologicznego, skutkuje niemożliwością zarządzania tym zasobem, powodując jego degradację w wyniku działania czynników naturalnych i antropogenicznych.

Część I przedsięwzięcia przygotowania pełnego katalogu grodzisk pradziejowych i średniowiecznych z terenu ziem pruskich w granicach obecnego województwa warmińsko-mazurskiego objęła grodziska z zachodniej części tego województwa, a mianowicie z gmin Iława, Zalewo, Susz i Kisielice w powiecie iławskim oraz gmin Miłomłyn, Małdyty, Morąg, Miłakowo i Ostróda w powiecie ostródzkim.

Wynikiem realizacji projektu jest uzyskanie kompletnego zestawienia informacji na temat każdego ze zweryfikowanych grodzisk zachodniej części Warmii i Mazur. Pełny katalog tych obiektów historycznych o szczególnym znaczeniu zostanie opublikowany w dwóch formach: w postaci drukowanej publikacji książkowej¹, które ukaże się w roku 2017 oraz w formie internetowej, obejmującej obszerniejszą dokumentację cyfrową². Katalog będzie mógł być wykorzystywany zarówno w pracach badawczych z dziedziny historii i archeologii, jak też w działaniach planistycznych, związanych z kształtowaniem i ochroną krajobrazu historycznego, w działalności edukacyjnej i popularyzatorskiej.

Działania wykonane w pierwszym roku realizacji projektu (2012) zostały podsumowane we wcześniejszej publikacji³, w której również przedstawiono wstępne wyniki badań grodzisk w Kamionce, st. 9, gm. Iława⁴, Gulbiu, gm. Iława, na wyspie Bukowiec na jeziorze Jeziorak, w Urowie i Dubie, gm. Zalewo⁵, na wyspie Wielka Żuława i w Lasecznie Małym, gm. Iława oraz w Mozgowie, gm. Zalewo⁶, a także w Borecznie, gm. Zalewo, st. 4⁷. Przedstawiono także wyniki kwerendy archiwalnej dotyczącej grodzisk zachodniej części województwa warmińsko-mazurskiego⁸, wyniki badań geofizycznych grodzisk w Mozgowie, Urowie, na wyspie Bukowiec i w Borecznie oraz ich bezpośredniego otoczenia⁹ oraz wyniki prospekcji podwodnych w jeziorach, nad którymi znajdują się grodzi-

¹ Kobyliński (red.) 2017.

² Internet: <http://www.grodziska-warmia-mazury.pl/>.

³ Kobyliński 2013.

⁴ Kobyliński, Wach i Rutyna 2013.

⁵ Kobyliński *et al.* 2013.

⁶ Wysocki i Kłęczar 2013.

⁷ Żurek 2013.

⁸ Szczepański 2013; Lasek i Przytkowski 2013.

⁹ Herbich 2013, Misiewicz i Małkowski 2013.

ska badane w roku 2012¹⁰. Opublikowano także ogólne informacje na temat sytuacji geomorfologicznej grodzisk w rejonie jeziora Jeziorak¹¹ oraz wyniki laboratoryjnych badań wybranych fragmentów ceramiki zabytkowej pochodzącej z badań grodzisk w roku 2012: analiz petrograficznych¹² oraz analiz zawartości kwasów tłuszczowych¹³.

Niniejsze sprawozdanie podsumowuje wszystkie prace wykonane w ramach projektu w latach 2012-2016.

KWERENDY ARCHIWALNE

Badania terenowe poprzedzone zostały intensywnymi poszukiwaniami informacji archiwalnych, przeprowadzonymi w roku 2012 i 2013 w różnych instytucjach na terenie Polski i Niemiec. W wyniku tych poszukiwań, które objęły m.in. archiwa konserwatorskie Wojewódzkiego Urzędu Ochrony Zabytków i archiwum Muzeum Warmii i Mazur w Olsztynie, dokonano zestawienia wszystkich pewnych i domniemanych grodzisk z terenu województwa warmińsko-mazurskiego¹⁴. Ze względu na intensywną działalność archeologiczną na terenie dawnych Prus Wschodnich w okresie przed II wojną światową, szczególne znaczenie miała także kwerenda archiwalna przeprowadzona w Berlinie w archiwum dawnego Prussia Museum, dotycząca grodzisk z terenu powiatu iławskiego, ostródzkiego, lidzbarskiego i wschodniej części powiatu elbląskiego (wykonawcą był dr Seweryn Szczepański)¹⁵.

Przy typowaniu obiektów do weryfikacji terenowej wykorzystywano także wszelkie informacje z literatury przedmiotu oraz informacje ustne uzyskane od miejscowej ludności i od lokalnych miłośników historii z Susza, Zalewa czy Morąga.

Bardzo istotną rolę odegrała także analiza zobrazowań ALS, które w pierwszych latach realizacji projektu musiały być specjalnie zamawiane na potrzeby projektu (zadanie to wykonane zostało przez firmę MGGP-Aero), później zaś, dzięki udostępnieniu przez Główny Urząd Geodezji i Kartografii danych z programu ISOK (Informatyczny System Osłony Kraju przed nadzwyczajnymi zagrożeniami) mogły być wykorzystywane powszechnie i bezpłatnie.

PRACE TERENOWE

Prace poszukiwawcze

W latach 2012-2016 przeprowadzono w różnych porach roku wielokrotne poszukiwawcze i weryfikacyjne badania powierzchniowe na znanych z literatury, archiwalniów lub informacji ustnych, a także zidentyfikowanych w wyniku

analizy archiwalnych map i numerycznego modelu terenu utworzonego na podstawie danych pochodzących z lotniczego skanowania laserowego (ALS) domniemanych grodziskach na terenie gmin Iława, Zalewo, Susz, Kisielice, Miłomłyn, Morąg, Małdyty, Miłakowo i Ostróda, w większości przypadków eliminując te obiekty z listy grodzisk (wykonawcami badań byli prof. dr hab. Zbigniew Kobyliński, dr Jacek Wysocki, mgr Magdalena Rutyna, mgr Kamil Rabięga i mgr Bartłomiej Klęczar)¹⁶. W wyniku tych prac odkryto nieznane dotąd grodziska w Raciszewie, st. 9, gm. Miłakowo, dwa grodziska w Starym Folwarku, gm. Kisielice (st. 1 i st. 2), grodzisko w Karolewie, st. 1, gm. Susz, oraz grodziska w Tątlawkach, st. 2, gm. Morąg, Strużynie, st. 24, gm. Morąg i Zimnochach, st. 2, gm. Godkowo (pogranicze z terenem gminy Morąg)¹⁷.

Badania geologiczne

W latach 2012-2015 przeprowadzono badania geologiczne z wierceniami świdrem ręcznym i mechanicznym dla 77 domniemanych i pewnych grodzisk z terenu gmin Iława, Zalewo, Susz, Kisielice, Miłomłyn, Małdyty, Morąg, Miłakowo, Nowe Miasto Lubawskie, Ostróda, Łukta i Godkowo, wskazywanych w literaturze, w źródłach archiwalnych, informacjach ustnych mieszkańców oraz sugerowanych przez opracowania kartograficzne i dane ALS, a mianowicie dla następujących obiektów (tab. 1)

Wykonawcami badań geologicznych byli prof. dr hab. Jerzy Nitychoruk z Wydziału Geologii Uniwersytetu Warszawskiego, a później z Państwowej Szkoły Wyższej w Białej Podlaskiej oraz dr Fabian Welc z Instytutu Archeologii UKSW. W wyniku badań znaczna część domniemanych grodzisk, również tych, które funkcjonowały w literaturze naukowej i w ewidencji konserwatorskiej, okazała się być formami naturalnymi¹⁸. Równocześnie, badania geologiczne w przypadku potwierdzonych grodzisk pozwoliły ustalić ich geologię i geomorfologię¹⁹.

Badania geofizyczne

W roku 2012 zainicjowano badania grodzisk objętych projektem metodami geofizycznymi. Badania takie przeprowadzono na stanowiskach w Wieprzu, st. 1, Urowie, st. 1, Mozgowie, st. 1, Borecznie, st. 4, gm. Zalewo i Lasecznie Małym, st. 1, gm. Iława²⁰. Niestety, ze względu na to, że ogromna większość pewnych i domniemanych grodzisk z terenu objętego projektem pokryta jest gęstym lasem, zastosowanie metod geofizycznych okazało się w kolejnych latach możliwe w nielicznych tylko przypad-

¹⁰ Pydyn 2013; Popek *et al.* 2013.

¹¹ Nitychoruk, Welc i Wysocki 2011; Nitychoruk i Welc 2013.

¹² Bojanowski, Kobylińska i Kobyliński 2013.

¹³ Kałużna-Czaplińska, Kobylińska i Kobyliński 2013.

¹⁴ Klęczar i Rutyna 2013.

¹⁵ Por. Szczepański 2013.

¹⁶ Por. Kobyliński *et al.* 2016.

¹⁷ Kobyliński i Wysocki 2016.

¹⁸ Kobyliński *et al.* 2016.

¹⁹ Nitychoruk, Welc i Wysocki 2011; Nitychoruk i Welc 2013.

²⁰ Por. Herbich 2013; Misiewicz i Małkowski 2013.

Tabela 1. Zestawienie badań geologicznych przeprowadzonych w ramach realizacji programu w latach 2012-2016**Table 1.** List of geological investigations conducted within the framework of the project in the years 2012-2016

Lp.	Nazwa miejscowości i numer stanowiska	Gmina	Powiat	Nr AZP	Nr rejestru zabytków
1	Limża – park	Kisielice	Iławski	AZP 27-49, stanowisko nie-uwzględnione	
2	Łodygowo, st. 1	Kisielice	Iławski	Obszar AZP 27-49/1	C-057 (pod nazwą Łodygowo Małe)
3	Łodygowo, st. 2	Kisielice	Iławski	AZP 27-49/2 stanowisko 2	C-055 (pod nazwą Łodygowo Małe)
4	Łodygowo, st. 3	Kisielice	Iławski	AZP 27-49/6	
5	Stary Folwark, st. 1	Kisielice	Iławski	AZP 27-50/18	
6	Trupel, st. 1	Kisielice	Iławski	AZP 28-50/14	
7	Bałoszyce, st. 6	Susz	Iławski	AZP 26-50/11	
8	Bałoszyce Małe, st. 1	Susz	Iławski	AZP 26-50/9	
9	Bałoszyce Małe	Susz	Iławski	AZP 26-50, stanowisko nie-uwzględnione	
10	Januszewo – park dworski	Susz	Iławski	AZP 25-51, stanowisko nie-uwzględnione	
11	Kamieniec - kopiec	Susz	Iławski	AZP 24-51, stanowisko nie-uwzględnione	
12	Karolewo, st. 1	Susz	Iławski	AZP 25-50/8	
13	Susz, st. 1	Susz	Iławski	AZP 25-50/1	C-052
14	Gulb, st. 1	Iława	Iławski	AZP 28-51/9	C-048
15	Iława, st. 33 – wyspa Wielka Żuława	Iława	Iławski	AZP 27-52/15	C-134
16	Iława – „Królicza Góra” (<i>Kaninchenberg</i>)	Iława	Iławski	AZP 28-52, stanowisko nie-uwzględnione	
17	Iława – „Czarcie Jeziorko”	Iława	Iławski	AZP 28-52, stanowisko nie-uwzględnione	
18	Kamionka, st. 9	Iława	Iławski	AZP 27-52/66	C-049
19	Laseczno Małe, st. 1	Iława	Iławski	AZP 28-51/8	C-050
20	Radomno	Nowe Miasto Lubawskie	Iławski	AZP 29-52/26	C-088
21-22	Segnowy (dwie lokalizacje)	Iława	Iławski	AZP 27-51, stanowiska nie-uwzględnione	
23	Ząbrowo, st. 8 – „Kopiec Napoleoński”	Iława	Iławski	AZP 27-51/3	
24-25	Bądkki (dwie lokalizacje)	Zalewo	Iławski	AZP 22-53, stanowiska nie-uwzględnione	
26	Boreczno, st. 4	Zalewo	Iławski	AZP 24-54/30	C-212
27	Dobrzyki - <i>Burghügel</i>	Zalewo	Iławski	AZP 23-53, stanowisko nie-uwzględnione	
28	Dobrzyki - <i>Schiefe Berg</i>	Zalewo	Iławski	AZP 23-53, stanowisko nie-uwzględnione	
29	Duba, st. 1	Zalewo	Iławski	AZP 24-54/10	C-140
30	Janiki Małe, st. 1	Zalewo	Iławski	AZP 23-54/11	
31	Janiki Wielkie, st. 2	Zalewo	Iławski	AZP 23-54/2	C-042
32-33	Jerzwałd (2 lokalizacje)	Zalewo	Iławski	AZP 24-52, stanowisko nie-uwzględnione	
34	Mozgowo, st. 1	Zalewo	Iławski	AZP 24-54/11	C-139
35	Urowo, st. 1	Zalewo	Iławski	AZP 24-54/1	C-181
36	Wieprz, st. 1 – wyspa Bukowiec	Zalewo	Iławski	AZP 25-53/1	C-040
37	Wieprz, st. 20	Zalewo	Iławski	AZP 24-53/25	
38	Zalewo - <i>Bergschlößchen</i>	Zalewo	Iławski	AZP 22-53, stanowisko nie-uwzględnione	
39	Karnitki	Miłomłyn	ostródzki	AZP 24-54, stanowisko nie-uwzględnione	
40	Karnity, st. 1	Miłomłyn	ostródzki	AZP 24-54/4	
41	Ligi, st. 6	Miłomłyn	ostródzki	AZP 24-54/60	C-138
42	Liksajny, st. 2	Miłomłyn	ostródzki	AZP 23-55/16	

Tabela 1. C.d.

Table 1. Continued

Lp.	Nazwa miejscowości i numer stanowiska	Gmina	Powiat	Nr AZP	Nr rejestru zabytków
43	Majdany Małe, st. 1	Miłomłyn	ostródzki	AZP 24-55/57	
44	Miłomłyn, st. 2	Miłomłyn	ostródzki	AZP 24-55/60	C-175
45	Miłomłyn, st. 3 – „Zamek”	Miłomłyn	ostródzki	AZP 24-55/61	C-276
46	Kiełkuty, st. 2 - <i>Svantegora</i>	Małdyty	ostródzki	AZP 21-55/11	
47	Jezioro Bartężek – Wyspa Zamkowa	Morąg	ostródzki	AZP 23-55, stanowisko nie-uwzględnione	
48	Chojnik	Morąg	ostródzki	AZP 19-54/7 – mylnie oznaczone jako Tulno, st. 4, gm. Pastęk	
49	Kretowiny, st. 4	Morąg	ostródzki	AZP 21-57/8	
50	Kruszewnia, st. 11	Morąg	ostródzki	AZP 21-56/35	C-137
51	Plebania-Wólka, st. 1	Morąg	ostródzki	AZP 20-56, stanowisko nie-uwzględnione	
52	Słonecznik, st. 17 (majątek Bartężek)	Morąg	ostródzki	AZP 23-55/25	
53	Strużyna, st. 21	Morąg	ostródzki	AZP 19-56/54	C-198
54	Strużyna, st. 24	Morąg	ostródzki	AZP 19-56/55	
55	Tątlawki, st. 2	Morąg	ostródzki	AZP 22-57/21	
56	Wenecja, st. 1	Morąg	ostródzki	AZP 22-55/2	C-043
57	Wenecja, st. 2	Morąg	ostródzki	AZP 22-55/1	C-039
58	Złotna	Morąg	ostródzki	AZP 22-53, stanowisko nie-uwzględnione	
59	Pawełki, st. 5 (Rotajny)	Miłakowo	ostródzki	AZP 18-57/21	
60	Pityny, st. 2	Miłakowo	ostródzki	AZP 27-58/4	
61	Raciszewo, st. 9	Miłakowo	ostródzki	AZP 19-58/24	
62	Sportyny, st. 5 (Głodówko)	Miłakowo	ostródzki	AZP 18-57/10	
63	Bednarki, st. 1	Ostróda	ostródzki	AZP 28-56/8	
64	Durąg, st. 1	Ostróda	ostródzki	AZP 27-57/1	C-015
65	Grabin, st. 1	Ostróda	ostródzki	AZP 26-57/1	C-019
66	Lipowiec, st. 1	Ostróda	ostródzki	AZP 26-57/2	C-011
67	Lipowiec, st. 2 (Lichtajny)	Ostróda	ostródzki	AZP 26-57/3	C-087
68	Lipowo, st. 12	Ostróda	ostródzki	AZP 28-55/112	
69	Lipowo, st. 13	Ostróda	ostródzki	AZP 28-55/113	
70	Morliny, st. 1	Ostróda	ostródzki	AZP 26-56/11	C-017
71	Ornowo-Lesiak, st. 3	Ostróda	ostródzki	AZP 26-56/16	C-013
72-73	Samborowo (2 lokalizacje)	Ostróda	ostródzki	AZP 26-55, stanowiska nieuwzględnione	
74	Zajęczi, st. 1	Ostróda	ostródzki	AZP 29-55/1	C-203
75	Plichta, st. 1	Łukta	ostródzki	AZP 25-58/1	C-012 (pod nazwą Grazyły)
76	Podągi, st. 2	Godkowo	elbląski	AZP 18-57/22	C-179
77	Zimnochy, st. 2	Godkowo	elbląski	AZP 19-56/56	

kach. Przeprowadzono mianowicie w roku 2013 badania geofizyczne metodą magnetyczną i elektrooporową na obszarze grodziska i późniejszego zamczyska w Miłomłynie, st. 3, gm. Miłomłyn (wykonawcą był mgr Jan Szłaga z Krakowa), a w latach 2015 i 2016 badania metodą magnetyczną na terenie grodziska w Lipowcu, st. 2 (Lichtajny), gm. Ostróda i domniemanego grodziska w Ligach, st. 6, gm. Miłomłyn (wykonawcami badań byli mgr Tomasz Herbich z Instytutu Archeologii i Etnologii PAN w roku 2015 i dr Fabian Welc z Instytutu Archeologii UKSW w roku 2016)

Badania wykopaliskowe

W latach 2012-2016 przeprowadzono pod ogólnym kierownictwem prof. dr. hab. Zbigniewa Kobylińskiego prace wykopaliskowe o zróżnicowanym zakresie łącznie na 52 stanowiskach archeologicznych, będących pewnymi lub domniemanymi grodziskami²¹ (tab. 2).

²¹ Na temat badań przeprowadzonych w roku 2012 zob. Kobyliński 2013: 228.

Tabela 2. Wykaz badań wykopaliskowych przeprowadzonych w latach 2012-2016 w ramach realizacji projektu**Table 2.** List of excavations conducted withing the framework of the project in the years 2012-2016

Lp.	Nazwa miejscowości i numer stanowiska	Gmina	Powiat	Nr AZP	Nr rejestru zabytków	Rok badań	Kierujący badaniami	Rodzaj badań	Potwierdzenie istnienia grodziska
1	Łodygowo, st. 1	Kisielice	Łąrowski	AZP 27-49/1	C-057 (pod nazwą Łodygowo Małe)	2013	Dariusz Wach i mgr Bartłomiej Klęczar	Stacjonarne	TAK
2	Łodygowo, st. 2	Kisielice	Łąrowski	AZP 27-49/2	C-055 (pod nazwą Łodygowo Małe)	2014	Dariusz Wach	Stacjonarne	TAK
3	Łodygowo, st. 3	Kisielice	Łąrowski	AZP 27-49/6		2014	Dr Katarzyna Zeman-Wiśniewska	Stacjonarne	NIE
4	Stary Folwark, st. 1	Kisielice	Łąrowski	AZP 27-50/18		2014	Dariusz Wach	Stacjonarne	TAK
5	Stary Folwark, st. 2	Kisielice	Łąrowski	AZP 27-50/19		2016	Mgr Kamil Rabięga, mgr Magdalena Rutyna i dr Rafał Solecki	Stacjonarne	TAK
6	Trupel, st. 1	Kisielice	Łąrowski	AZP 28-50/14		2013	Dr Jacek Wysocki	Stacjonarne	TAK
7	Bałoszyce, st. 6	Susz	Łąrowski	AZP 26-50/11		2014	Dr Magdalena Żurek	Stacjonarne	NIE
8	Bałoszyce – Pałac	Susz	Łąrowski	AZP 26-50, stanowisko nieuwzględnione		2014	Dr Magdalena Żurek	Stacjonarne	TAK
9	Bałoszyce Małe, st. 1	Susz	Łąrowski	AZP 26-50/9		2012	Dariusz Wach	Sondaże	NIE
10	Karolewo, st. 1	Susz	Łąrowski	AZP 25-50/8		2013	Dariusz Wach i mgr Magdalena Rutyna	Stacjonarne	TAK
11	Susz, st. 1 ^a	Susz	Łąrowski	AZP 25-50/1	C-052	2013	Dr Rafał Solecki i mgr Bartłomiej Klęczar	Stacjonarne	TAK
12	Gulb, st. 1 ^b	Łąwa	Łąrowski	AZP 28-51/9	C-048	2012	Mgr Magdalena Rutyna	Stacjonarne	TAK
13	Łąwa, st. 33 – wyspa Wielka Żuława ^c	Łąwa	Łąrowski	AZP 27-52/15	C-134	2012	Dr Jacek Wysocki i mgr Bartłomiej Klęczar	Stacjonarne	TAK
14	Kamionka, st. 9 ^d	Łąwa	Łąrowski	AZP 27-52/66	C-049	2012	Dariusz Wach i mgr Magdalena Rutyna	Stacjonarne	TAK
15	Laseczno Małe, st. 1 ^e	Łąwa	Łąrowski	AZP 28-51/8	C-050	2012	Dr Jacek Wysocki i mgr Bartłomiej Klęczar	Stacjonarne	TAK
16	Siemiany, st. 30 – Wyspa Lipowa	Łąwa	Łąrowski	AZP 25-53/26		2013	Prof. dr hab. Zbigniew Kobyliński	Sondaże	NIE
17	Siemiany - zatoka Widług	Łąwa	Łąrowski	AZP 26-53, stanowisko nieuwzględnione		2012	Dariusz Wach	Sondaże	NIE

^a Solecki 2014; ^b Kobyliński *et al.* 2013; ^c Wysocki i Klęczar 2013; ^d Kobyliński, Wach i Rutyna 2013; ^e Wysocki i Klęczar 2013;

Tabela 2. C.d.

Table 2. Continued

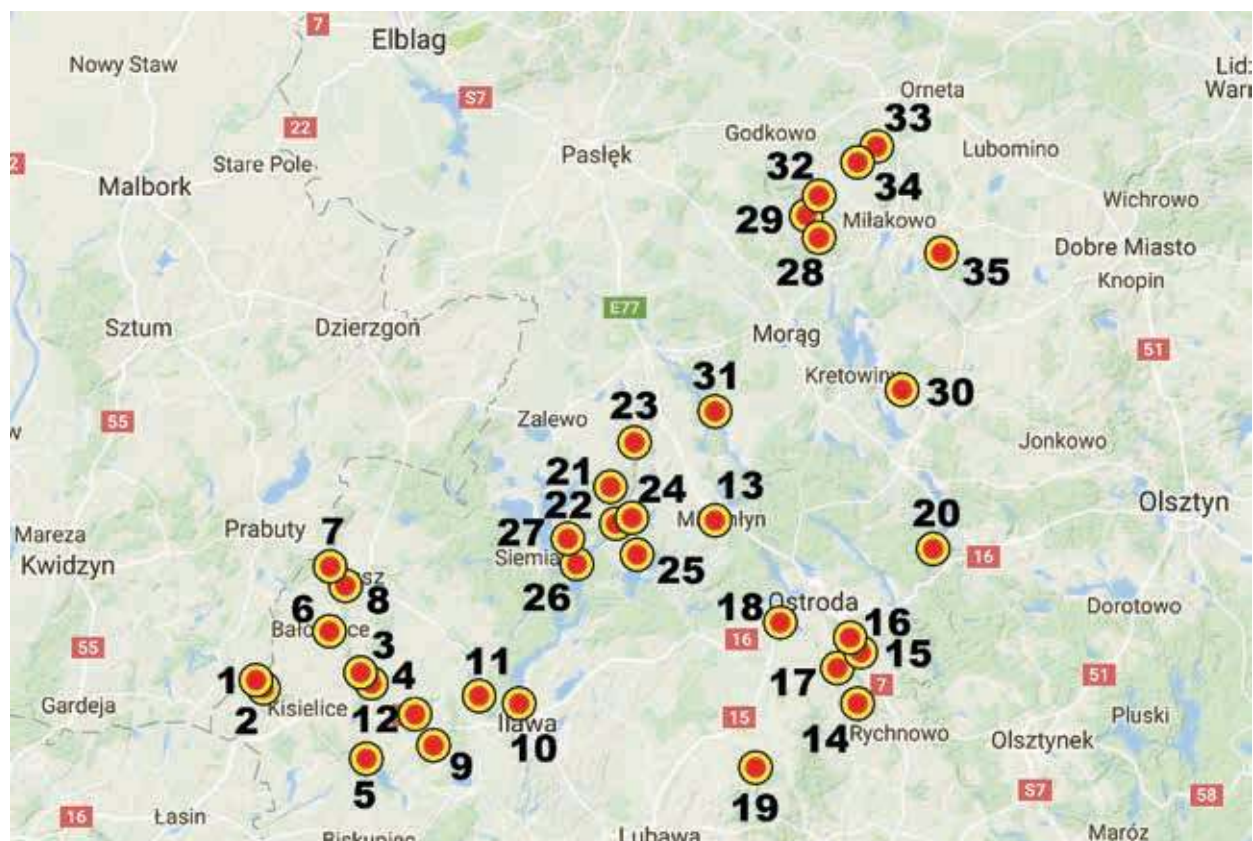
Lp.	Nazwa miejscowości i numer stanowiska	Gmina	Powiat	Nr AZP	Nr rejestru zabytków	Rok badań	Kierujący badaniami	Rodzaj badań	Potwierdzenie istnienia grodziska
18-19	Smolniki/Dziarnówko – dwie lokalizacje	Iława	Iławski	AZP 29-53, stanowiska nieuwzględnione		2012	Dr Jacek Wysocki i Dariusz Wach	Sondaże	NIE
20	Szymbark	Iława	Iławski	AZP 27-52/41		2012	Dariusz Wach	Sondaże	NIE
21-22	Windyki – dwie lokalizacje	Iława	Iławski	AZP 27-53/4		2012	Dariusz Wach	Sondaże	NIE
23	Boreczno, st. 4 ^f	Zalewo	iławski	AZP 24-54/30	C-212	2012	Dr Magdalena Żurek oraz prof. dr hab. Przemysław Urbańczyk i dr Michał Bieniada	Stacjonarne	TAK
24	Duba, st. 1 ^g	Zalewo	iławski	AZP 24-54/10	C-140	2012	Dr Jacek Wysocki i mgr Bartłomiej Klęczar	Stacjonarne	TAK
25	Janiki Wielkie, st. 2	Zalewo	iławski	AZP 23-54/2	C-042	2013 i 2016	Dariusz Wach i mgr Kamil Rabięga	Stacjonarne	TAK
26	Mozgowo, st. 1 ^h	Zalewo	iławski	AZP 24-54/11	C-139	2012	Dr Jacek Wysocki i mgr Bartłomiej Klęczar	Stacjonarne	TAK
27	Urowo, st. 1 ⁱ	Zalewo	iławski	AZP 24-54/1	C-181	2012	Dariusz Wach i mgr Magdalena Rutyna	Stacjonarne	TAK
28	Wieprz, st. 1 – wyspa Bukowiec ^j	Zalewo	iławski	AZP 25-53/1	C-040	2012	Dariusz Wach i mgr Magdalena Rutyna	Stacjonarne	TAK
29	Wieprz, st. 20	Zalewo	iławski	AZP 24-53/25		2013	Dr Jacek Wysocki, dr Rafał Solecki i mgr Bartłomiej Klęczar	Stacjonarne	TAK
30	Ligi, st. 6	Miłomłyn	ostródzki	AZP 24-54/60	C-138	2016	Mgr Kamil Rabięga	Stacjonarne	NIE
31	Miłomłyn, st. 2	Miłomłyn	ostródzki	AZP 24-55/60	C-175	2013	Dr Magdalena Żurek	Stacjonarne	NIE
32	Miłomłyn, st. 3 – „Zamek”	Miłomłyn	ostródzki	AZP 24-55/61	C-276	2013	Dr Magdalena Żurek	Stacjonarne	TAK
33	Dury, st. 2 – „Lisia Góra”	Morąg	ostródzki	AZP 21-56/58		2014	Dr Jacek Wysocki i mgr Jarosław Chrapek	Sondaże	NIE
34	Kretowiny, st. 4	Morąg	ostródzki	AZP 21-57/8		2014	Dr Jacek Wysocki i mgr Jarosław Chrapek	Sondaże	NIE
35	Kruszewnia, st. 11	Morąg	ostródzki	AZP 21-56/35	C-137	2014	Dr Jacek Wysocki i mgr Magdalena Rutyna	Sondaże	NIE

^f Żurek 2013; ^g Kobyliński *et al.* 2013; ^h Wysocki i Klęczar 2013; ⁱ Kobyliński *et al.* 2013; ^j Kobyliński *et al.* 2013.

Tabela 2. C.d.

Table 2. Continued

Lp.	Nazwa miejscowości i numer stanowiska	Gmina	Powiat	Nr AZP	Nr rejestru zabytków	Rok badań	Kierujący badaniami	Rodzaj badań	Potwierdzenie istnienia grodziska
36	Strużyna, st. 21	Morąg	ostródzki	AZP 19-56/54	C-198	2014	Mgr Magdalena Rutyna	Stacjonarne	TAK
37	Strużyna, st. 24	Morąg	ostródzki	AZP 19-56/55		2015	Dr Rafał Solecki	Stacjonarne	TAK
38	Tątlawki, st. 2	Morąg	ostródzki	AZP 22-57/21		2014	Dr Jacek Wysocki oraz dr Rafał Solecki, mgr Jarosław Chrapek i mgr Aleksandra Orłowska	Stacjonarne	TAK
39	Wenecja, st. 1	Morąg	ostródzki	AZP 22-55/2	C-043	2013	Mgr Magdalena Rutyna	Sondaże	NIE
40	Wenecja, st. 2	Morąg	ostródzki	AZP 22-55/1	C-039	2013	Dariusz Wach i mgr Magdalena Rutyna	Stacjonarne	TAK (kurhan z okresu wpływów rzymskich, zapewne wtórnie wykorzystany po wyrobawianiu do celów obronnych we wczesnym średniowieczu)
41	Pawelki, st. 5 (Rotajny)	Miłakowo	ostródzki	AZP 18-57/21		2014	Dr Rafał Solecki	Stacjonarne	TAK
42	Raciszewo, st. 9	Miłakowo	ostródzki	AZP 19-58/24		2014	Dr Joanna Wawrzениuk	Stacjonarne	TAK
43	Sportyny, st. 5 (Głodówko)	Miłakowo	ostródzki	AZP 18-57/10		2014	Dr Jacek Wysocki i mgr Jarosław Chrapek	Sondaże	NIE
44	Durąg, st. 1	Ostróda	Ostródzki	AZP 27-57/1	C-015	2015	Dr Jacek Wysocki i mgr Daniel Skoczylas	Stacjonarne	TAK
45	Grabin, st. 1	Ostróda	ostródzki	AZP 26-57/1	C-019	2015	Dr Rafał Solecki oraz prof. dr hab. Przemysław Urbańczyk i mgr Magdalena Rutyna	Stacjonarne	TAK
46	Lipowiec, st. 1	Ostróda	ostródzki	AZP 26-57/2	C-011	2015	Dr Joanna Wawrzениuk	Stacjonarne	TAK
47	Lipowiec, st. 2 (Lichtajny)	Ostróda	ostródzki	AZP 26-57/3	C-087	2015 i 2016	Dr Magdalena Żurek	Stacjonarne	TAK
48	Morliny, st. 1	Ostróda	ostródzki	AZP 26-56/11	C-017	2015	Mgr Magdalena Rutyna	Stacjonarne	TAK
49	Zajączki, st. 1	Ostróda	ostródzki	AZP 29-55/1	C-203	2015	Dariusz Wach	Stacjonarne	TAK
50	Plichta, st. 1	Łukta	ostródzki	AZP 24-58/1	C-012 (pod nazwą Grazy-my, st. 1, gm. Gietrzwałd)	2015	Dr Jacek Wysocki	Stacjonarne	TAK
51	Podągi, st. 2	Godkowo	elbląski	AZP 18-57/22	C-179	2014 i 2016	Dariusz Wach i mgr Kamil Rabięga	Stacjonarne	TAK
52	Zimnochy, st. 2	Godkowo	elbląski	AZP 19-56/56		2015	Mgr Kamil Rabięga	Stacjonarne	TAK



Ryc. 1. Grodziska potwierdzone i zbadane w czasie realizacji projektu Katalog grodzisk Warmii i Mazur. Część 1. Pomezania, Pogezania i Warmia w latach 2012-2016 (oprac. Z. Kobyliński)

Fig. 1. The verified and excavated strongholds in 2012-2016 under the project Catalogue of strongholds of Warmia and Masuria. Part 1. Pomesania, Pogezania and Warmia (elaborated by Z. Kobyliński).

1. Łodygowo, st. 1, gm. Kiszelice; 2. Łodygowo, st. 2, gm. Kiszelice; 3. Stary Folwark, st. 1, gm. Kiszelice; 4. Stary Folwark, st. 2, gm. Kiszelice; 5. Trupel, st. 1, gm. Kiszelice; 6. Bałozycze-Pałac, gm. Susz; 7. Karolewo, st. 1, gm. Susz; 8. Susz, st. 1, gm. Susz; 9. Gulb, st. 1, gm. Iława; 10. Iława, st. 33 (wyspa Wielka Żuława), gm. Iława; 11. Kamionka, st. 9, gm. Iława; 12. Laseczno Małe, st. 1, gm. Iława; 13. Miłomłyn, st. 3 - „Zamek”, gm. Miłomłyn; 14. Durąg, st. 1, gm. Ostróda; 15. Grabin, st. 1, gm. Ostróda; 16. Lipowiec, st. 1, gm. Ostróda; 17. Lipowiec, st. 2 (Lichtajny), gm. Ostróda; 18. Morliny, st. 1, gm. Ostróda; 19. Zajączki, st. 1, gm. Ostróda; 20. Plichta, st. 1, gm. Łukta; 21. Boreczno, st. 4, gm. Zalewo; 22. Duba, st. 1, gm. Zalewo; 23. Janiki Wielkie, st. 2, gm. Zalewo; 24. Mozgowo, st. 1, gm. Zalewo; 25. Urowo, st. 1, gm. Zalewo; 26. Wieprz, st. 1, gm. Zalewo; 27. Wieprz, st. 20, gm. Zalewo; 28. Strużyna, st. 21, gm. Morąg; 29. Strużyna, st. 24, gm. Morąg; 30. Tałławki, st. 2, gm. Morąg; 31. Wenecja, st. 2, gm. Morąg; 32. Zimnochach, st. 2, gm. Godkowo; 33. Pawełki, st. 5 (Rotajny), gm. Miłakowo; 34. Podągi, st. 2, gm. Godkowo; 35. Raciszewo, st. 9, gm. Miłakowo

W wyniku tych badań potwierdzono identyfikację 35 stanowisk jako grodzisk (tab. 3 i ryc. 1). Spośród nich osiem stanowi obiekty wcześniej niezidentyfikowane, odkryte w wyniku analizy obrazów ALS lub na podstawie poszukiwań terenowych. Są to mianowicie grodziska w Starym Folwarku, gm. Kiszelice, st. 1, Starym Folwarku, gm. Kiszelice, st. 2, Bałozycach, gm. Susz (Pałac), Karolewie, gm. Susz²², Strużynie, gm. Morąg, st. 24, Tałławkach,

gm. Morąg, st. 2²³, Zimnochach, st. 2, gm. Godkowo (pogranicze z gminą Morąg) i Raciszewie, gm. Miłakowo, st. 9. Wyeliminowano natomiast 17 obiektów z listy domniemanych grodzisk, a mianowicie stanowiska w Bałozycach, Bałozycach Małych, Łodygowie, st. 3, Szymbarku, Smolnikach, Windykach, w Zatoce Widług jeziora Jeziorak, w Siemianach na Wyspie Lipowej, w Miłomłynie, st. 2, Wenecji, st. 1, Durach, Ligach, Kruszewni, Kretowinach i Sportynach

²² Grodzisko to, poszukiwane bezskutecznie przez Mieczysława Haftkę, zostało zidentyfikowane w terenie w roku 2000 przez Jarosława Sobieraję, który jednak uznał je za znajdujące się w miejscowości Stańkowo, gm. Prabuty i nie zostało ono wprowadzone do wykazów AZP (Notatka z wyjazdu terenowego, Olsztyn 4 grudnia 2000 r., Muzeum Warmii i Mazur w Olsztynie). Ponowne odkrycie dokonane zostało przez J. Wysockiego w czasie zwiadu terenowego w roku 2013.

²³ Grodzisko to zostało zidentyfikowane w terenie już w 1911-1912 (?) roku, a następnie jego szkic sporządził Carl Engel, jednak w archiwach (Prussia-Archiv, Berlin sygn. PM-A 558/1) funkcjonowało pod nazwą Willnau (Wilnowo) i nie zostało wprowadzone do wykazów AZP. Ponowne odkrycie zostało dokonane przez Z. Kobylińskiego i J. Wysockiego w czasie analizy obrazów ALS w roku 2013.

Tabela 3. Chronologia grodzisk badanych wykopaliskowo w ramach projektu**Table 3.** Chronology of the strongholds excavated under the project

Lp.	Nazwa miejscowości i numer stanowiska	Gmina	Powiat	Reprezentowane fazy chronologiczne
1	Łodygowo, st. 1	Kisielice	łławski	- wczesna epoka żelaza - wczesne średniowiecze
2	Łodygowo, st. 2	Kisielice	łławski	- wczesna epoka żelaza - wczesne średniowiecze
3	Stary Folwark, st. 1	Kisielice	łławski	- wczesna epoka żelaza
4	Stary Folwark, st. 2	Kisielice	łławski	- wczesna epoka żelaza
5	Trupel, st. 1	Kisielice	łławski	- późne średniowiecze
6	Bałoszyce – Pałac	Susz	łławski	- późne średniowiecze - nowożytność
7	Karolewo, st. 1	Susz	łławski	- nowożytność?
8	Susz, st. 1	Susz	łławski	- wczesne średniowiecze - późne średniowiecze
9	Gulb, st. 1	łława	łławski	- wczesna epoka żelaza?
10	łława, st. 33 – wyspa Wielka Żuława	łława	łławski	- późne średniowiecze
11	Kamionka, st. 9	łława	łławski	- wczesna epoka żelaza - wczesne średniowiecze
12	Laseczno Małe, st. 1	łława	łławski	- późne średniowiecze
13	Miłomłyn, st. 3 – „Zamek”	Miłomłyn	ostródzki	- późne średniowiecze - nowożytność
14	Durąg, st. 1	Ostróda	Ostródzki	- późne średniowiecze
15	Grabin, st. 1	Ostróda	ostródzki	- wczesne średniowiecze - późne średniowiecze
16	Lipowiec, st. 1	Ostróda	ostródzki	- wczesna epoka żelaza - wczesne średniowiecze
17	Lipowiec, st. 2 (Lichtajny)	Ostróda	ostródzki	- wczesne średniowiecze - późne średniowiecze
18	Morliny, st. 1	Ostróda	ostródzki	- wczesne średniowiecze
19	Zajączki, st. 1	Ostróda	ostródzki	- wczesna epoka żelaza - wczesne średniowiecze
20	Plichta, st. 1	łłukta	ostródzki	- średniowiecze?
21	Boreczno, st. 4	Zalewo	łławski	- późne średniowiecze - nowożytność
22	Duba, st. 1	Zalewo	łławski	- wczesna epoka żelaza?
23	Janiki Wielkie, st. 2	Zalewo	łławski	- wczesna epoka żelaza - wczesne średniowiecze
24	Mozgowo, st. 1	Zalewo	łławski	- wczesna epoka żelaza - wczesne średniowiecze - późne średniowiecze
25	Urowo, st. 1	Zalewo	łławski	- wczesna epoka żelaza
26	Wieprz, st. 1 – wyspa Bukowiec	Zalewo	łławski	- neolit - wczesna epoka żelaza?
27	Wieprz, st. 20	Zalewo	łławski	- wczesna epoka żelaza
28	Strużyna, st. 21	Morąg	ostródzki	- wczesna epoka żelaza - wczesne średniowiecze
29	Strużyna, st. 24	Morąg	ostródzki	- wczesna epoka żelaza
30	Tątlawki, st. 2	Morąg	ostródzki	- wczesna epoka żelaza
31	Wenecja, st. 2	Morąg	ostródzki	- okres wpływów rzymskich - kurhan - wczesne średniowiecze?
32	Zimnochy, st. 2	Godkowo	elbląski	- wczesna epoka żelaza - późne średniowiecze
33	Pawelki, st. 5 (Rotajny)	Miłakowo	ostródzki	- wczesne średniowiecze - późne średniowiecze
34	Podągi, st. 2	Godkowo	elbląski	- wczesna epoka żelaza - wczesne średniowiecze
35	Raciszewo, st. 9	Miłakowo	ostródzki	- wczesna epoka żelaza - wczesne średniowiecze



Ryc. 2. Eksploracja depozytu potłuczonych naczyń glinianych z wczesnej epoki żelaza w czasie badań grodziska w Starym Folwarku, st. 1, gm. Kielice w roku 2014 (fot. D. Wach)

Fig. 2. Excavation of the deposit of broken pottery vessels from the Early Iron Age in the stronghold at Stary Folwark, site 1, community of Kielice, in 2014 (photo by D. Wach)



Ryc. 3. Przekop przez fosy i wały grodziska z wczesnej epoki żelaza w Wieprzu, st. 20, gm. Zalewo w roku 2013 (fot. Z. Kobyliński)

Fig. 3. Archaeological trench cutting the moats and ramparts of the Early Iron Age stronghold at Wieprz, site 20, community of Zalewo, in 2013 (photo by Z. Kobyliński)

Ryc. 4. Przekop przez fosy i wały grodziska z wczesnej epoki żelaza w Tątlawkach, st. 2, gm. Morąg w roku 2014 (fot. J. Wysocki)

Fig. 4. Archaeological trench cutting the moats and ramparts of the Early Iron Age stronghold at Tątlawki, site 2, community of Morąg, in 2014 (photo by J. Wysocki)



Ryc. 5. Eksploracja dna fosy grodziska w Strużynie, st. 21, gm. Morąg w roku 2014 (fot. M. Rutyna)

Fig. 5. Excavation of bottom of moat of the stronghold at Strużyna, site 21, community of Morąg, in 2014 (photo by M. Rutyna)





Ryc. 6. Przekop przez główny wał grodziska w Podągach, st. 2, gm. Godkowo w roku 2014 (fot. D. Wach)

Fig. 6. Archaeological trench cutting the main rampart of the stronghold at Podągi, site 2, community of Godkowo, in 2014 (photo by D. Wach)



Ryc. 7. Odślanianie wczesnośredniowiecznej prażnicy na terenie grodziska w Łodygowie, st. 2, gm. Kielice w roku 2014 (fot. D. Wach)

Fig. 7. Recovering of the Early Medieval clay trough in the island stronghold at Łodygowo, site 2, community of Kielice, in 2014 (photo by D. Wach)

(Głodówku)²⁴. Jedynym pewnym grodziskiem z terenu objętego projektem, w przypadku którego nie podjęto badań wykopaliskowych, jest grodzisko w Ornowie-Lesiaku, st. 3, gm. Ostróda²⁵, ze względu na to, że grodzisko to podlegało już wcześniej dwukrotnym badaniom wykopaliskowym: w latach 1965-1966 badania prowadził tam Romuald Odoj i Bogusława Wawrzykowska, a w latach 2011-2012 - Sławomir Wadył. Ponieważ opublikowano częściowo wyniki tych wykopalisk²⁶, uznano, że dalsze naruszanie wykopaliskowe autentycznej substancji zabytkowej jest w tym przypadku niewskazane ze względów konserwatorskich.

Szczegółowe opracowania wszystkich 35 badanych wykopaliskowo grodzisk znajdują się w publikacji *Katalog*

*grodzisk Warmii i Mazur. Część 1. Pomezania, Pogezania i Warmia*²⁷, wydanej pod redakcją Zbigniewa Kobylińskiego, jak również prezentowane są na portalu internetowym²⁸ (ryc. 2-8).

W związku z realizacją projektu powstały także opracowania naukowe wykraczające swoim zakresem poza terytorium objęte bezpośrednimi badaniami, np. zestawienie katalogowe późnośredniowiecznych gródków stożkowatych z terenu województwa warmińsko-mazurskiego²⁹.

Badania podwodne

Jednym z elementów programu badawczego były badania podwodne w jeziorach sąsiadujących z grodziskami.

²⁴ Kobyliński *et al.* 2016.

²⁵ Grodzisko to znane było w literaturze także jako znajdujące się w miejscowości Kajkowo.

²⁶ Mirkowska 2004; Wadył 2012, 2013: 114-123; Kurzyk i Wadył 2015.

²⁷ Kobyliński red. 2017.

²⁸ Internet: <http://www.grodziska-warmia-mazury.pl/>.

²⁹ Radkowski i Wysocki 2016.

Ryc. 8. Przekop przez umocnienia grodziska w Karolewie, st. 1, gm. Susz w roku 2013 (fot. Z. Kobyliński)

Fig. 8. Archaeological trench cutting the moat and rampart of the stronghold at Karolewo, site 1, community of Susz, in 2013 (photo by Z. Kobyliński)



Ryc. 9. Praca z dokumentacją w bazie ekspedycji wykopaliskowej w Suszu w roku 2013 (fot. D. Wach)

Fig. 9. Work with documentation at the excavation base at Susz in 2013 (photo by D. Wach)



Badania te zainicjowano w roku 2012 w jeziorach Gulbińskim, Silm, Kocioł, Dauby i Jeziorak (badania prowadził zespół pod kierunkiem dr hab. Andrzeja Pydyna z Uniwersytetu Mikołaja Kopernika w Toruniu)³⁰, kontynuowano w roku 2015 w jeziorach Morliny i Lichtajny, nad którymi znajdują się grodziska w gminie Ostróda (wykonawcami tych badań byli mgr Jarosław Chrapek i dr Rafał Solecki).

DOKUMENTACJA

W czasie każdego sezonu wykopaliskowego na bieżąco wykonywano dokumentację rysunkową planów i przekrojów stanowisk, przy zastosowaniu zarówno realistycznych barw, jak i kodów z Karty Kolorów Ziemi firmy Munsell (ryc. 9). Dokumentacja ta następnie podlegała digitalizacji.

W ramach realizacji projektu w latach 2012-2016 uzyskano plany sytuacyjno-wysokościowe oraz trójwymiarowe modele powierzchni dla 46 pewnych i domniemanych grodzisk (wykonawcami byli dr hab. Krzysztof Misiewicz i mgr Wiesław Małkowski z Uniwersytetu Warszawskiego, którzy wykorzystali metodę fotogrametryczną w przypadku grodzisk w Lasecznie Małym, st. 1, gm. Ława oraz w Borecznie, st. 4, gm. Zalewo, oraz mgr Jacek Błaszczuk z Uniwersytetu Łódzkiego, który wykorzystał w pozostałych przypadkach klasyczną metodę geodezyjną z zastosowaniem tachimetru laserowego, co okazało się metodą optymalną w przypadku grodzisk pokrytych lasem³¹:

- Bałoszyce, st. 6, gm. Susz
- Boreczno, st. 4, gm. Zalewo
- Chojnik, gm. Morąg (Tulno, st. 4, gm. Pasłęk)
- Duba, st. 1, gm. Zalewo
- Durąg, st. 1, gm. Ostróda
- Grabin, st. 1, gm. Ostróda
- Gulb, st. 1, gm. Ława
- Gutowo, st. 1, gm. Lubawa
- Ława, st. 33 – wyspa Wielka Żuława, gm. Ława
- Janiki Małe, st. 1, gm. Zalewo
- Janiki Wielkie, st. 2, gm. Zalewo
- Kamieniec – kopiec, gm. Susz
- Kamionka, st. 9, gm. Ława
- Karolewo, st. 1, gm. Susz
- Laseczno Małe, st. 1, gm. Ława
- Lipowiec, st. 1 i st. 2 (Lichtajny), gm. Ostróda
- Łążyn, gm. Lubawa (Świniarc, st. 1, gm. Grodziczno)
- Łodygowo, st. 1, st. 2 i st. 3, gm. Kisielice,
- Majdany Małe, st. 1, gm. Miłomłyn
- Miłomłyn, st. 1 i st. 2, gm. Miłomłyn
- Morliny, st. 1, gm. Ostróda,
- Mozgowo, st. 1, gm. Zalewo
- Ornowo-Lesiak, st. 3, gm. Ostróda
- Pawelki, st. 5, gm. Miłakowo (Rotajny)
- Plichta, st. 1, gm. Łukta

- Podągi, st. 6, gm. Godkowo
- Raciszewo, st. 9, gm. Miłakowo
- Samplawa, st. 1, gm. Lubawa
- Sportyny, st. 5, gm. Miłakowo (Głodówko)
- Stary Folwark, st. 1 i 2, gm. Kisielice
- Strużyna, st. 21 i 24, gm. Morąg
- Susz, st. 1, gm. Susz
- Tątlawki, st. 2, gm. Morąg
- Trupel, st. 1, gm. Kisielice
- Urowo, st. 1, gm. Zalewo
- Wenecja, st. 2, gm. Morąg
- Wieprz, st. 1 i 20, gm. Zalewo
- Zajęczki, st. 1, gm. Ostróda
- Zimnochy, st. 2, gm. Godkowo

DATOWANIA

Ze względu na słabo dotąd rozpoznaną chronologię pradziejów i średniowiecza ziem pruskich, szczególne znaczenie miało uzyskanie datowań absolutnych badanych wykopaliskowo grodzisk. W latach 2013-2016 uzyskano 11 datowań termoluminescencyjnych (tab. 4) ceramiki i polepy pozyskanej w czasie badań grodzisk (wykonawcą był Zakład Zastosowań Radioizotopów Politechniki Śląskiej) oraz 19 datowań radiowęglowych (wykonawcą było Poznańskie Laboratorium Radiowęglowe) substancji organicznej (tab. 5).

ANALIZY SPECJALISTYCZNE

W ramach realizacji projektu wykonano ekspertyzę kości ludzkich z grodzisk w Kamionce, st. 9, gm. Ława (wykonawczynią była dr Elżbieta Jaskulska z Uniwersytetu Warszawskiego)³² oraz w Mozgowie, st. 1, gm. Zalewo (wykonawcą był dr Maurycy Stanaszek z Państwowego Muzeum Archeologicznego).

W latach 2013-2016 wykonano analizy kości zwierzęcych z grodzisk w Ławie, st. 33 - wyspa Wielka Żuława, w Suszu, st. 1, gm. Susz, w Truplu, st. 1, gm. Kisielice, w Mozgowie, st. 1, gm. Zalewo, w Łodygowie, st. 1, gm. Kisielice i Wieprzu, st. 20, gm. Zalewo (wykonawcą była dr hab. Joanna Małecka-Piątkowska z Uniwersytetu Warszawskiego) oraz z grodzisk w Kamionce, st. 9, gm. Ława³³, Łodygowie, st. 2, gm. Kisielice, w Pawelkach, st. 5 (Rotajnach), gm. Miłakowo, Strużynie, st. 21, gm. Morąg oraz w Grabinie, st. 1, Durągu, st. 1, Zajęczkach, st. 1 i Morlinach, st. 1, gm. Ostróda (wykonawcą była dr Anna Gręzak z Uniwersytetu Warszawskiego).

W latach 2013-2016 wykonano analizy makroszczątków botanicznych z badanych wykopaliskowo grodzisk w Kamionce, st. 9, gm. Ława i Miłomłynie, st. 3, gm. Miłomłyn (wykonawcą była dr Katarzyna Pińska z firmy Cerealia) oraz z grodzisk w Grabinie, st. 1, gm. Ostróda, Janikach

³⁰ Por. Pydyn 2013.

³¹ Na temat prac przeprowadzonych w roku 2012 zob. Kobyliński 2013: 228; Misiewicz i Małkowski 2013.

³² Jaskulska 2013.

³³ Gręzak 2013.

Tabela 4. Wyniki datowań termoluminescencyjnych ceramiki i polepy z grodzisk

Table 4. Results of the thermoluminescent dating of pottery and daub from strongholds

Grodzisko	Gmina	Numer datowania	Wynik datowania	Przedział prawdopodobieństwa
Strużyna, st. 24	Morań	GdTL-2579	2,53(24)ka	820-340 r. pne
Stary Folwark, st. 1	Kisielice	GdTL-2583	2,35(21)ka	610-190 r. pne
Strużyna, st. 21	Morań	GdTL-2578	2,12(14)ka	310-30 r. pne
Tątlawki, st. 2	Morań	GdTL-2582	2,11(14)ka	300-20 r. pne
Wieprz, st. 20	Zalewo	GdTL-2584	1,96(13)ka	140 r. pne – 120 r. ne
Raciszewo, st. 9	Miłakowo	GdTL-2580	1,94(14)ka	130 r. pne – 150 r. ne
Podągi, st. 2	Godkowo	GdTL-2585	1,343(91)ka	516-698 r. ne
Lipowiec, st. 1	Ostróda	GdTL-2587	1,085(74)ka	791-939 r. ne
Łodygowo, st. 2	Kisielice	GdTL-2588	0,858(65)ka	1027-1157 r. ne
Pawełki, st. 5 (Rotajny)	Miłakowo	GdTL-2581	0,804(55)ka	1091-1201 r. ne
Zimnochy, st. 2	Godkowo	GdTL-2586	0,733(37)ka	1180-1254 r. ne

Tabela 5. Wyniki datowań radiowęglowych węgla drzewnych z grodzisk

Table 5. Results of the radiocarbon datings

Grodzisko	Gmina	Numer datowania	Wynik datowania	Daty kalibrowane (z prawdopodobieństwem 95,4%)
Wczesna epoka żelaza				
Tątlawki, st. 2	Morań	Poz-72718	2265 ± 30 BP	399 BC (44,4%) 350 BC 306 BC (51,0%) 209 BC
Stary Folwark, st. 1	Kisielice	Poz-83041	2245 ± 30 BP	393 BC (27,9%) 346 BC 321 BC (67,5%) 206 BC
Stary Folwark, st. 2	Kisielice	Poz-85678	2240 ± 30 BP	390 BC (25,0%) 345 BC 323 BC (70,4%) 205 BC
Wieprz, st. 20	Zalewo	Poz-58358	2215 ± 30 BP	378 BC (95,4%) 202 BC
Stary Folwark, st. 1	Kisielice	Poz-66991	2235 ± 30 BP	388 BC (22,7%) 342 BC 326 BC (72,7%) 204 BC
Zajęczki, st. 1	Ostróda	Poz-76333	2245 ± 30 BP	393 BC (27,9%) 346 BC 321 BC (67,5%) 206 BC
Wczesne średniowiecze				
Lipowiec, st. 1	Ostróda	Poz-77494	1270 ± 30 BP	663 AD (92,3%) 778 AD 792 AD (1,3%) 804 AD 819 AD (0,2%) 821 AD 842 AD (1,6%) 859 AD
Zajęczki, st. 1	Ostróda	Poz-76888	1265 ± 30 BP	666 AD (89,1%) 779 AD 791 AD (1,9%) 805 AD 812 AD (1,5%) 826 AD 840 AD (2,8%) 863 AD
Janiki Wielkie, st. 2	Zalewo	Poz-58357	1245 ± 25 BP	682 AD (95,4%) 870 AD
Lipowiec, st. 2 (Lichtajny)	Ostróda	Poz-76368	1235 ± 30 BP	686 AD (95,4%) 880 AD
Łodygowo, st. 1	Kisielice	Poz-66941	1180 ± 30 BP	730 AD (0,7%) 736 AD 769 AD (87,5%) 901 AD 921 AD (7,2%) 951 AD
Strużyna, st. 21	Morań	Poz-66942	1125 ± 30 BP	777 AD (2,4%) 791 AD 807 AD (1,2%) 819 AD 825 AD (2,1%) 842 AD 862 AD (89,7%) 991 AD
Kamionka, st. 9	Ława	Poz-66943	1125 ± 30 BP	777 AD (2,4%) 791 AD 807 AD (1,2%) 819 AD 825 AD (2,1%) 842 AD 862 AD (89,7%) 991 AD
Janiki Wielkie, st. 2	Zalewo	Poz-85335	1090 ± 30 BP	892 AD (95,4%) 1014 AD
Nowożytność i czasy współczesne (próbki pobrane z niezidentyfikowanych wkopów nowożytnych lub próbki zanieczyszczone podczas pobierania?)				
Wieprz, st. 1	Zalewo	Poz-58359	140 ± 25 BP	1669 AD (15,9%) 1710 AD 1717 AD (26,7%) 1780 AD 1797 AD (36,7%) 1891 AD 1909 AD (16,1%) 1944 AD

Tabela 5. C.d.

Table 5. Continued

Grodzisko	Gmina	Numer datowania	Wynik datowania	Daty kalibrowane (z prawdopodobieństwem 95,4%)
Pawełki, st. 5 (Rotajny)	Miłakowo	Poz-72717	350 ± 30 BP	1458 AD (41,3%) 1531 AD
		Poz-73136 (datowanie dwukrotne)	315 ± 30 BP	1539 AD (54,1%) 1635 AD 1484 AD (95,4%) 1648 AD
Stary Folwark, st. 1	Kisielice	Poz-74304	350 ± 30 BP	1458 AD (41,3%) 1531 AD
		Poz-75227 (datowanie dwukrotne)	405 ± 30 BP	1539 AD (54,1%) 1635 AD 1433 AD (79,1%) 1522 AD 1575 AD (16,3%) 1624 AD
Strużyna, st. 24	Morąg	Poz-76331	510 ± 30 BP	1328 AD (4,5%) 1341 AD 1396 AD (90,9%) 1445 AD
Morliny, st. 1	Ostróda	Poz-77495	135 ± 30 BP	1671 AD (40,8%) 1779 AD 1798 AD (39,6%) 1892 AD 1907 AD (15,0%) 1943 AD

Wielkich, st. 2, gm. Zalewo, Kamionce, st. 9, gm. Iława, Lipowcu (Lichtajnach), st. 2, gm. Ostróda, Morlinach, st. 1, gm. Ostróda, Pawełkach (Rotajnach), st. 5, gm. Miłakowo, Podągach, st. 2, gm. Godkowo, Raciszewie, st. 9, gm. Miłakowo, Starym Folwarku, st. 1, gm. Kisielice, Strużynie, st. 21 i Strużynie, st. 24, gm. Morąg, Tątlawkach, st. 2, gm. Morąg, Zajączkach, st. 1, gm. Ostróda i Zimnochach, st. 2, gm. Godkowo (wykonawcami badań były dr Magdalena Moskal-del Hoyo z Instytutu Botaniki PAN oraz dr hab. Maria Lityńska-Zajęc z Instytutu Archeologii i Etnologii PAN)³⁴

Wykonano także oznaczenie gatunków drzew na podstawie próbek węgla drzewnych z grodzisk w Kamionce, st. 9, gm. Iława, Strużynie, st. 21, gm. Morąg, Zimnochach, st. 2, gm. Godkowo, Suszu, st. 1, gm. Susz, Janikach Wielkich, st. 2, gm. Zalewo, Lipowcu, st. 2 (Lichtajnach) i Zajączkach, st. 1, gm. Ostróda (wykonawcą był dr Tomasz Stępnik z Poznania)³⁵.

W latach 2012-2016 wykonano analizy mineralogiczne i petrograficzne 92 próbek ceramiki z grodzisk badanych wykopaliskowo w ramach realizacji projektu. 35 próbek pochodziło z wczesnej epoki żelaza z grodzisk w Janikach Wielkich, st. 2, gm. Zalewo, Kamionce, st. 9, gm. Iława, Lipowcu, st. 1, gm. Ostróda, Łodygowie, st. 2, gm. Kisielice, Raciszewie, st. 9, gm. Miłakowo, Starym Folwarku, st. 1, gm. Kisielice, Strużynie, st. 21 i st. 24, gm. Morąg, Tątlawkach, st. 2, gm. Morąg, Wieprzu, st. 20, gm. Zalewo i Zajączkach, st. 1, gm. Ostróda. Jedna próbka, ze stanowiska w Wenecji, st. 2, gm. Morąg, reprezentowała kulturę wielbarską z okresu wpływów rzymskich. 35 próbek pochodziło z wczesnego średniowiecza, ze stanowisk w Durągu, st. 1, gm. Ostróda, Janikach Wielkich, st. 2, gm. Zalewo, Kamionce, st. 9, gm. Iława, Łodygowie, st. 1 i st. 2, gm. Kisielice, Morlinach, st. 1, gm. Ostróda, Suszu, st. 1, gm. Susz i Zajączkach, st. 1, gm. Ostróda. 21 próbek pochodziło z okresu późnego średniowiecza ze stanowisk w Borecznie, st. 4, gm. Zalewo, Durągu, st. 1, gm. Ostróda, Grabinie,

st. 1, gm. Ostróda, Łodygowie, st. 1, gm. Kisielice, Miłomłynie, st. 3, gm. Miłomłyn, Mozgowie, st. 1, gm. Zalewo i Truplu, st. 1, gm. Kisielice (wykonawcą badań był zespół kierowany przez dr. hab. Macieja Bojanowskiego z Państwowego Instytutu Geologicznego w Warszawie). Analizy wykonywano na płytkach cienkich przy użyciu mikroskopu polaryzacyjnego; wykonano analizy dyfrakcji rentgenowskiej oraz badania w skaningowym mikroskopie elektronowych połączone z analizami chemicznymi w mikroobszarze wybranych składników próbek ceramiki w celu dokonania pełnej charakterystyki petrograficznej (skład mineralny, cechy teksturalne, skład chemiczny wybranych składników) oraz określenia temperatury wypału³⁶.

W latach 2012-2016 dokonano także oznaczenia ilościowego kwasów tłuszczowych w 72 fragmentach naczyń ceramicznych pochodzących z 16 grodzisk badanych wykopaliskowo w ramach programu, a mianowicie z następujących stanowisk archeologicznych: w gminie Kisielice - Łodygowo, st. 1 i 2, Stary Folwark, st. 1, oraz Trupel, st. 1; w gminie Susz - Susz, st. 1; w gminie Iława - Kamionka, st. 9; w gminie Ostróda - Zajączki, st. 1, Durąg, st. 1, Morliny, st. 1, Grabin, st. 1 oraz Lipowiec, st. 1: w gminie Zalewo - Wieprz, st. 20, Boreczno, st. 4 oraz Mozgowo, st. 1; w gminie Morąg - Tątlawki, st. 2, Strużyna, st. 21 i 24; w gminie Miłakowo - Raciszewo, st. 9. Rozpiętość chronologiczna próbek obejmowała 35 fragmentów ceramiki z wczesnej epoki żelaza, 25 próbek datowanych na średniowiecze przedkrzyżackie oraz 12 próbek ceramiki późnośredniowiecznej (wykonawcą badań był zespół kierowany przez dr. hab. inż. Joannę Kałużną-Czaplińską z Politechniki Łódzkiej)³⁷.

³⁶ Bojanowski, Kobylińska i Kobyliński 2013; Bojanowski *et al.* 2016.

³⁷ Kałużna-Czaplińska, Kobylińska i Kobyliński 2013; Rosiak *et al.* 2014; Kałużna-Czaplińska *et al.* 2016; wstępne wyniki tych badań zaprezentowano także w referacie: J. Kałużna-Czaplińska, U. Kobylińska i Z. Kobyliński, *Analysis of fatty acids in pottery vessels as indicators of Prehistoric and Medieval diet in the Pomesania region*, przedstawionym w czasie międzynarodowej konferencji *Pottery and Glass in Ancient and Medieval European Culture* (Wrocław, 17-19 września 2014 r.); na temat metodyki badań zob. Kałużna-Czaplińska *et al.* 2016.

³⁴ Lityńska-Zajęc i Moskal-del Hoyo 2016.

³⁵ Stępnik 2016.

KONSERWACJA ZNALEZISK

W latach 2012-2016 wykonano konserwację wszystkich znalezionych podczas badań grodzisk zabytków metalowych (wykonawcami był zespół pracowników laboratorium Instytutu Archeologii i Etnologii PAN, zespół dr hab. Małgorzaty Grupy z Instytutu Archeologii Uniwersytetu Mikołaja Kopernika w Toruniu oraz zespół pracowników laboratorium Państwowego Muzeum Archeologicznego w Warszawie). Wykonano także rekonstrukcję prążnicy wczesnośredniowiecznej znalezionej podczas badań grodziska w Łodygowie, st. 2, gm. Kieselice (rekonstrukcję wykonała mgr Paulina Potocka).

ROZPOWSZECHNIANIE REZULTATÓW PROJEKTU I POPULARYZACJA

W celu upowszechnienia rezultatów realizacji programu utworzono i aktualizowano systematycznie geoportal prezentujący wyniki badań grodzisk³⁸.

Zorganizowano publiczne prelekcje popularno-naukowe w Suszu, Hławie, Miłomłynie i Olsztynie, prezentujące wyniki badań realizowanych w ramach projektu.

Zorganizowano dwie ogólnopolskie konferencje naukowe:

Grodziska Warmii i Mazur: stan wiedzy i perspektywy badawcze - Warszawa, 30 listopada 2012 r., Uniwersytet Kardynała Stefana Wyszyńskiego. Referaty wygłoszone podczas tej konferencji zostały opublikowane w rozszerzonej wersji w publikacji *Grodziska Warmii i Mazur 1. Stan wiedzy i perspektywy badawcze* pod redakcją prof. dr. hab. Zbigniewa Kobylińskiego³⁹.

Badania archeologiczne dawnej Pomezanii w latach 2012-2013 – Zalewo, 17-18 marca 2014 r., Urząd Miasta i Gminy Zalewo. Otwarcia konferencji dokonali Marek Żyliński – Burmistrz Miasta i Gminy Zalewo oraz Piotr Żuchowski - Generalny Konserwator Zabytków – Wice-minister Kultury i Dziedzictwa Narodowego. W czasie konferencji wygłoszono następujące referaty⁴⁰:

- Jakub Wrzosek (NID) – *Działania Narodowego Instytutu Dziedzictwa na rzecz ochrony zabytków archeologicznych*
- Justyna Nowacka (WUOZ) - *Aktualne problemy konserwatorstwa archeologicznego w woj. warmińsko-mazurskim*
- Jacek Wysocki i Katarzyna Zdeb (UKSW) – *Zasoby archeologiczne gminy Zalewo i możliwości ich wykorzystania turystycznego*
- Zbigniew Kobyliński (UKSW) – *Projekt badawczy NPRH „Katalog grodzisk Warmii i Mazur”*
- Jacek Wysocki (UKSW) – *Projekty badawcze MKiDN: „Niedestrukcyjne, kompleksowe rozpoznanie zasobów archeologicznych dorzecza rzeki Wel na Garbie Lubawskim” i „Kompleksowe niedestrukcyjne roz-*

poznanie archeologiczne wschodniego pogranicza dawnej Pomezanii”

- Przemysław Urbańczyk (UKSW) – *Projekt badawczy MKiDN „Niedestrukcyjne kompleksowe rozpoznanie zasobów archeologicznych dna jezior i strefy brzegowej w wybranych akwenach Pojezierza Hławskiego w ramach podwodnego AZP”*
- Dariusz Wach (IAE PAN) – *Wyniki prospekcji aerofotograficznej na terenie dawnej Pomezanii*
- Tomasz Herbich (IAE PAN) – *Wyniki prospekcji geofizycznej na stanowiskach archeologicznych z terenu dawnej Pomezanii*
- Jacek Wysocki (UKSW) – *Kurhany Pojezierza Hławskiego w świetle wyników skanowania laserowego powierzchni ziemi (LiDAR) i ich weryfikacji terenowej*
- Łukasz Kobyliński (IPI PAN) – *System geoinformacyjny o zasobach archeologicznych dawnej Pomezanii*
- Andrzej Pydyn (UMK) – *Wyniki prospekcji podwodnych w jeziorach dawnej Pomezanii*
- Krzysztof Misiewicz i Wiesław Małkowski (UW) – *Zastosowanie nowych technologii dokumentacji fotogrametrycznej w badaniach archeologicznych na przykładzie stanowiska w Borecznie, gm. Zalewo*
- Jakub Maciejewski, Andrzej Pydyn i Paweł Stencel (UMK) – *Zastosowanie nowych technologii w prospekcji podwodnej akwenów śródlądowych na przykładzie badań na Pojezierzu Hławskim*
- Seweryn Szczepański (UWM) - *Grodziska z obszaru byłych powiatów Heilsberg, Mohrungen, Osterode i Pr. Holland w świetle pozostałości zbiorów archiwalnych dawnego Prussia-Museum*
- Jerzy Nitychoruk (PSW w Białej Podlaskiej) i Fabian Welc (UKSW) – *Wyniki badań geologicznych grodzisk dawnej Pomezanii*
- Jacek Wysocki (UKSW) – *Wyniki badań grodziska z wczesnej epoki żelaza w Wieprzu, st. 20, gm. Zalewo*
- Zbigniew Kobyliński (UKSW), Dariusz Wach (IAE PAN) i Magdalena Rutyna (UKSW) – *Kurhan czy gródek stożkowaty? Wyniki badań domniemanego grodziska w Wenecji, st. 2, gm. Morąg*
- Zbigniew Kobyliński (UKSW), Dariusz Wach (IAE PAN) i Magdalena Rutyna (UKSW) – *Wyniki badań grodziska w Janikach Wielkich, gm. Zalewo*
- Sławomir Wadył - *Wyniki badań grodziska w Rejsytach, gm. Rychliki*
- Zbigniew Kobyliński (UKSW), Dariusz Wach (IAE PAN) i Karolina Czyżniak (UKSW) – *Wyniki badań grodziska na wyspie w Łodygowie, gm. Kieselice, st. 2*
- Anna Gręzak (UW) – *Wyniki analizy kości zwierzęcych z grodziska w Łodygowie, st. 2, gm. Kieselice*
- Dominika Kofel, Mateusz Popek, Andrzej Pydyn i Wiktor Trojanowski (UMK) – *Struktury długiego trwania na przykładzie wybranych stanowisk archeologicznych z Pojezierza Hławskiego*
- Sławomir Wadył – *Chronologia grodziska w Węgrach, gm. Sztum, woj. pomorskie*

³⁸ Internet: <http://www.grodziska-warmia-mazury.pl/>.

³⁹ Kobyliński red. 2013.

⁴⁰ Na temat tej konferencji zob. Szczepański 2014.

- Jacek Wysocki (UKSW) – *Wyniki badań domniemanego grodziska w Truplu, gm. Kisielice*
 - Rafał Solecki (IAE PAN) – *Wyniki wykopalisk grodziska w Suszu*
 - Magdalena Żurek (UKSW) – *Wyniki badań relikwów zamku średniowiecznego w Miłomłynie*
 - Magdalena Rutyna (UKSW) i Dariusz Wach (IAE PAN) – *Wyniki badań obwarowań ziemnych w Karolewie, gm. Susz*
 - Joanna Kałużna-Czaplińska (PŁ) – *Wyniki badań zawartości kwasów tłuszczowych w ceramice zabytkowej z grodzisk dawnej Pomezanii*
 - Maciej Bojanowski (UW) – *Wyniki analizy mineralogicznej ceramiki zabytkowej z grodzisk dawnej Pomezanii*
 - Katarzyna Pińska (UG) – *Wyniki analizy paleobotanicznej próbek nawarstwień z grodzisk dawnej Pomezanii*
- Ponadto wstępne wyniki realizacji projektu relacjonowano m.in. w czasie następujących konferencji:
- *Jedność w różnorodności*. Warszawa 21-22 listopada 2013 r. IAE PAN – referat: Z. Kobyliński, *Wspólne projekty badawcze Instytutu Archeologii i Etnologii PAN i Uniwersytetu Kardynała Stefana Wyszyńskiego w latach 2000-2013*
 - *Pottery and Glass in Ancient and Medieval European Culture* (Wrocław, 17-19 września 2014 r.) – referat: J. Kałużna-Czaplińska, U. Kobylińska i Z. Kobyliński, *Analysis of fatty acids in pottery vessels as indicators of Prehistoric and Medieval diet in the Pomesania region*.

Informacje na temat badań prowadzonych w ramach projektu zamieszczała też regularnie prasa lokalna województwa warmińsko-mazurskiego, jak również ogólnopolska⁴¹; informacje na temat badań ukazywały się też na portalach internetowych, takich jak *Nauka w Polsce*, czy *Archeowieści*.

PODSUMOWANIE

Projekt *Katalog grodzisk Warmii i Mazur. Część I: Pomezania, Pogezania i Warmia* objął rozpoznanie grodzisk prehistorycznych i średniowiecznych na terenie dziewięciu gmin województwa warmińsko-mazurskiego, o łącznej powierzchni 2330,6 km kw. Wyeliminowano z listy domniemanych grodzisk ponad 40 obiektów, natomiast zidentyfikowano i zbadano wykopaliskowo 35 grodzisk, pozyskując ważne źródła archeologiczne i paleobiologiczne. Uzyskano podstawy do datowania osadnictwa grodowego w zachodniej części ziem pruskich, udowadniając, że większość grodów na tym terenie wzniesiona została już we wczesnej epoce żelaza.

Realizacja projektu wykazała, że zainicjowane w latach 2012-2016 multidyscyplinarne przedsięwzięcie powinno być kontynuowane i objąć swym zasięgiem całe terytorium województwa warmińsko-mazurskiego.

⁴¹ M.in. Krzemińska 2014.

Wykaz cytowanej literatury:

- Bojanowski, M.J., U. Czarniecka, A. Gąsiński, P. Jokubauskas, U. Kobylińska, Z. Kobyliński i Ł. Kruszewski
2016. Petrografia ceramiki pradziejowej i średniowiecznej z grodzisk zachodniej części ziem pruskich [w niniejszym tomie].
- Bojanowski, M., U. Kobylińska i Z. Kobyliński
2013. Wyniki badań petrograficznych ceramiki z grodzisk w Kamionce, Mozgowie i Borecznie w powiecie iławskim, [w:] Z. Kobyliński (red.), 423-456.
- Gręzak, A.
2013. Materiał osteologiczny z grodziska w Kamionce, st. 9 z badań w 2012 roku, [w:] Z. Kobyliński (red.), 297-300.
- Herbich, T.
2013. Wyniki badań metodą magnetyczną wybranych stanowisk archeologicznych w rejonie Iławy w 2012 roku, [w:] Z. Kobyliński (red.), 351-359.
- Jaskulska, E.
2013. Kości ludzkie z grodziska w Kamionce, st. 9 z badań w 2012 roku, [w:] Z. Kobyliński (red.), 301-303.
- Kałużna-Czaplińska, J., P. Gątarek, A. Rosiak, U. Kobylińska i Z. Kobyliński
2016. Zawartość kwasów tłuszczowych w ceramice pochodzącej z pradziejowych i średniowiecznych grodzisk z zachodniej części ziem pruskich [w niniejszym tomie]
- Kałużna-Czaplińska, J., U. Kobylińska i Z. Kobyliński
2013. Zawartość kwasów tłuszczowych w ceramice z grodzisk w Kamionce, Mozgowie i Borecznie w powiecie iławskim, [w:] Z. Kobyliński (red.), 457-466.
- Kałużna-Czaplińska, J., A. Rosiak, M. Kwapińska i W. Kwapiński
2016. Different analytical procedures for the study of organic residues in archaeological ceramic samples with the use of gas chromatography-mass spectrometry. *Critical Reviews in Analytical Chemistry* 46 (1): 67-81.
- Kobyliński, Z.
2013. Projekt Katalog grodzisk Warmii i Mazur. Część I: Pomezania, Pogezania i Warmia w ramach Narodowego Programu Rozwoju Humanistyki: cele, założenia i pierwszy etap realizacji w 2012 roku, [w:] Z. Kobyliński (red.), 225-231.
- Kobyliński, Z. (red.)
2013. *Grodziska Warmii i Mazur 1. Stan badań i perspektywy badawcze*. Archaeologica Hereditas 2. Warszawa – Zielona Góra: Instytut Archeologii UKSW i Fundacja Archeologiczna.
2017. *Katalog grodzisk Warmii i Mazur. Część I. Pomezania, Pogezania i Warmia*. Warszawa (w druku).

- Kobyliński, Z., J. Nitychoruk, K. Rabięga, M. Rutyna, D. Wach, F. Welc, J. Wysocki, K. Zeman-Wiśniewska i M. Żurek
2016. Falsyfikacja domniemanych grodzisk w powiecie iławskim i ostródzkim [w niniejszym tomie].
- Kobyliński, Z., D. Wach i M. Rutyna
2013. Grodzisko z wczesnej epoki żelaza i wczesnego średniowiecza w Kamionce, st. 9, gm. Iława: wstępne wyniki badań z 2012 roku, [w:] Z. Kobyliński (red.), 281-297.
- Kobyliński, Z., D. Wach, M. Rutyna, J. Wysocki i B. Klęczar
2013. Grodziska z czasów plemiennych (?) w Gulbiu, na wyspie Bukowiec na jeziorze Jeziorak, w Urowie i Dubie w powiecie iławskim: wstępne wyniki badań z 2012 roku, [w:] Z. Kobyliński (red.), 305-325.
- Kobyliński, Z. i J. Wysocki
2017. Rola lotniczego skanowania laserowego w odkrywaniu starożytnych i wczesnohistorycznych grodzisk na terenach leśnych: przykład historycznych krain Pomezanii i Pogezanii, [w:] M. Gojda i Z. Kobyliński (red.), *Lotnicze skanowanie laserowe terenu w archeologii*. Archeologia Hereditas 8, w druku.
- Krzemińska, A.
2014. Skanowanie grodzisk. *Polityka* 21: 62-64.
- Kurzyk, K. i S. Wadył
2015. Obiekt obrzędowy kultury amfor kulistych z Ornowa-Lesiaka, stan. 3, gm. Ostróda, [w:] S. Wadył, M. Karczewski i M. Hoffmann (red.), *Materiały do archeologii Warmii i Mazur*, t. 1, 85-93. Warszawa - Białystok: Instytut Archeologii Uniwersytetu Warszawskiego i Instytut Historii i Nauk Politycznych Uniwersytetu w Białymstoku.
- Lasek, P. i J. Przykowski
2013. Najstarszy widok Iławy i zamku na Wielkiej Żuławie z 1620 roku w zbiorach Instytutu Sztuki PAN, [w:] Z. Kobyliński (red.), 381-383.
- Lityńska-Zajęc, M. i M. Moskal-del Hoyo
2016. Wyniki badań archeobotanicznych grodzisk z terenu województwa warmińsko-mazurskiego [w niniejszym tomie].
- Mirkowska, I.
2004. Ceramika wczesnośredniowieczna z grodziska w Kajkowie (przysiółek Lesiak), d. pow. Ostróda, woj. warmińsko-mazurskie, [w:] M. Karczewska i M. Karczewski (red.), *Ceramika zachodniobałtyjska. Nowe źródła i interpretacje*, 281-291. Białystok: Instytut Historii Uniwersytetu w Białymstoku.
- Misiewicz, K. i W. Małkowski
2013. Badania nieinwazyjne na stanowisku 4 w Borecznie, woj. warmińsko-mazurskie w 2012 roku, [w:] Z. Kobyliński (red.), 413-421.
- Nitychoruk, J. i F. Welc
2013. Sytuacja geomorfologiczno-geologiczna wybranych grodzisk w okolicach jeziora Jeziorak, [w:] Z. Kobyliński (red.), 253-280.
- Nitychoruk, J., F. Welc i J. Wysocki
2011. Medieval adaptation of Pleistocene kames in the Lake Jeziorak area (Warmia and Masuria region, north-eastern Poland). *Archaeologia Polona* 49 (2013): 237-252.
- Popek, M., A. Pydyn, R. Solecki i P. Stencel
2013. Przeprowadzenie mostowa na wyspę Wielka Żuława na jeziorze Jeziorak, [w:] Z. Kobyliński (red.), 373-380.
- Pydyn, A.
2013. Wyniki archeologicznych prospekcji podwodnych w wybranych jeziorach Pojezierza Iławskiego, [w:] Z. Kobyliński (red.), 361-372.
- Radkowski, J. i J. Wysocki
2016. Wstęp do problematyki gródków stożkowatych z terenu średniowiecznego państwa zakonu krzyżackiego, znajdujących się na obszarze województwa warmińsko-mazurskiego [w niniejszym tomie]
- Rosiak, A., M. Wadlewska, J. Kałużna-Czaplińska, U. Kobylińska i Z. Kobyliński
2014. Badanie pozostałości organicznych w ceramice archeologicznej pochodzącej z grodzisk Wieprz i Łodygowo, [w:] *Analiza chemiczna w ochronie zabytków. XIII Konferencja 5-6 grudnia 2013, Warszawa, 51*.
- Solecki, R.
2014. Wstępne wyniki badań archeologicznych grodziska w Suszu w 2013 roku. *Skarbiec Suski* 10: 3-8.
- Stępnik, T.
2016. Analiza dendrologiczna prób drewna i węgla drzewnych z grodzisk zachodniej części woj. warmińsko-mazurskiego [w niniejszym tomie]
- Szczyński, S.
2013. „Wykopalka” w archiwach – archeologia archiwalna na przykładzie wybranych stanowisk Pojezierza Iławskiego, [w:] Z. Kobyliński (red.), 233-252.
2014. Sprawozdanie z konferencji „Badania archeologiczne dawnej Pomezanii w latach 2012-2013”. *Pruthenia* 9: 221-225.
- Wadył, S.
2012. Grodzisko w Ornowie-Lesiaku w świetle wyników ostatnich badań archeologicznych. *Pruthenia* 7: 117-135.
2013. Badania weryfikacyjno-sondazowe grodzisk wczesnośredniowiecznych w dorzeczu górnej Drwęcy (Domkowo, Lipowiec, Ornowo-Lesiak, Morliny), [w:] Z. Kobyliński (red.), *Grodziska Warmii i Mazur 1. Stan wiedzy i perspektywy badawcze*, 109-124. *Archaeologica Hereditas* 2. Warszawa – Zielona Góra: Instytut Archeologii UKSW i Fundacja Archeologiczna.
- Wysocki, J. i B. Klęczar
2013. Grodziska typu stożkowatego na wyspie Wielka Żuława w Iławie, w Lasecznie Małym i Mozgowie w powiecie iławskim: wstępne wyniki badań z 2012 roku, [w:] Z. Kobyliński (red.), 327-349.
- Żurek, M.
2013. Boreczno, stanowisko 4 (AZP 24-54), gm. Zalewo, woj. warmińsko-mazurskie. Analiza stratygraficzna, [w:] Z. Kobyliński (red.), 385-411.

The project *Catalogue of strongholds of Warmia and Masuria. Part 1. Pomesania, Pogesania and Warmia: realisation in 2012-2016*

Summary

The project *Catalogue of strongholds of Warmia and Masuria. Part 1. Pomesania, Pogesania and Warmia* was carried out under the guidance of prof. Zbigniew Kobylński by the Institute of Archaeology of the Cardinal Stefan Wyszyński University in Warsaw with funds obtained from the National Programme for the Development of Humanities in 2012-2016. The aim of the project was to investigate the enclosed settlements located in the western part of the Warmian-Masurian Province in communities of Kisielice, Susz, Hława, Ostróda, Miłomłyn, Zalewo, Morąg, Miłakowo and Małdyty. Sites located on the border of this designated area were also taken into account (in communities of Godkowo and Łukta). During the project a research of archival sources and publications was conducted, as well as multiple field search for strongholds. 77 sites were chosen for verification by drilling and geological surveys (table 1), resulting in selection of 52 sites for testing by means of excavation

(table 2). As a result of these studies, it was found that only 35 of these sites were really strongholds from various chronological phases (fig. 1, table 3). Interestingly, 8 strongholds have been discovered for the first time in the course of the project, largely thanks to the analysis of ALS imagery. The excavated strongholds represent essentially three chronological phases: the Early Iron Age, the Early Middle Ages and the Late Middle Ages (table 3). Radiocarbon (table 4) and thermoluminescent (table 5) dating were obtained for selected strongholds. Full research results on these settlements are included in the publication *Catalogue of strongholds of Warmia and Masuria. Part 1. Pomesania, Pogesania and Warmia* (Kobylński ed. 2017) and on the website <http://www.grodziska-warmia-mazury.pl/>.

Translated by the author

Petrografia ceramiki pradziejowej i średniowiecznej z grodzisk zachodniej części ziem pruskich

MATERIAŁ I METODY BADAŃ

Celem badań było poznanie receptur garncarskich stosowanych przez wytwórców naczyń ceramicznych znalezionych podczas archeologicznych badań wykopaliskowych na terenie grodzisk zachodniej części województwa warmińsko-mazurskiego, prowadzonych w latach 2012-2015 w ramach projektu *Katalog grodzisk Warmii i Mazur. Część 1. Pomezania, Pogezania i Warmia*, realizowanego w ramach Narodowego Programu Rozwoju Humanistyki pod kierunkiem Zbigniewa Kobylińskiego. Pytania badawcze dotyczyły ewentualnego podobieństwa lub zróżnicowania receptur garncarskich w czasie: od wczesnej epoki żelaza po rozwinięte średniowiecze, oraz w przestrzeni – ponieważ analizowany materiał zabytkowy pochodził ze stanowisk odległych od siebie o kilkadziesiąt kilometrów (ryc. 1).

Badania przeprowadzono na 92 próbkach ceramiki. 35 próbek pochodzi z wczesnej epoki żelaza ze stanowisk Janiki Wielkie, st. 2, gm. Zalewo, Kamionka, st. 9, gm. Hława, Lipowiec, st. 1, gm. Ostróda, Łodygowo, st. 2, gm. Kisielice, Raciszewo, st. 9, gm. Miłakowo, Stary Folwark, st. 1, gm. Kisielice, Strużyna, st. 21 i st. 24, gm. Morąg, Tątlawki, st. 2, gm. Morąg, Wieprz, st. 20, gm. Zalewo i Zajączki, st. 1, gm. Ostróda (tab. 1, ryc. 2). Jedna próbka, ze stanowiska Wenecja, st. 2, gm. Morąg, reprezentuje kulturę wielbarską z okresu wpływów rzymskich (tab. 2, ryc. 3). 35 próbek pochodzi z wczesnego średniowiecza, ze stanowisk Durąg, st. 1, gm. Ostróda, Janiki Wielkie, st. 2, gm. Zalewo, Kamionka, st. 9, gm. Hława, Łodygowo, st. 1 i st. 2, gm. Kisielice, Morliny, st. 1, gm. Ostróda, Susz, st. 1, gm. Susz i Zajączki, st. 1, gm. Ostróda (tab. 3, ryc. 4). 21 próbek pochodzi z późnego średniowiecza ze stanowisk Boreczno, st. 4, gm. Zalewo, Durąg, st. 1, gm. Ostróda, Grabin, st. 1, gm. Ostróda, Łodygowo, st. 1, gm. Kisielice, Miłomłyn, st. 3, gm. Miłomłyn, Mozgowo, st. 1, gm. Zalewo i Trupel, st. 1, gm. Kisielice (tab. 4, ryc. 5).

Próbki zostały wyselekcjonowane do badań w taki sposób, aby odzwierciedlały zróżnicowanie geograficzne w ramach badanego regionu oraz zróżnicowanie formalne (garnki, misy z wczesnej epoki żelaza, dzbany późnośredniowieczne, itp.) i technologiczne (sposób traktowania powierzchni – chropowacenie, wygładzanie i wyświecanie, itp.) naczyń występujących w poszczegól-

nych okresach. Wstępne wyniki badań były już sygnalizowane we wcześniejszej publikacji¹.

Z wszystkich próbek wykonano preparaty do badań mikroskopowych w postaci nienakrytych, polerowanych płytek cienkich wyciętych prostopadle do powierzchni naczynia. Obserwacje mikroskopowe przeprowadzono w świetle przechodzącym równoległym i spolaryzowanym dla każdego preparatu pod mikroskopem polaryzacyjnym NIKON Eclipse LV100POL sprzężonym z kamerą pozwalającą na rejestrację cyfrową obrazów. Skany całych preparatów (Załącznik) wykonano przy użyciu zmechanizowanego stolika mikroskopowego. Obserwacje teksturalne prowadzone były osobno dla szkieletu ziarnowego, czyli frakcji piaskowej i żwirowej (o średnicy zastępczej powyżej 0,063 mm), a osobno dla matriks, czyli frakcji mułowej i iłowej (o średnicy zastępczej poniżej 0,063 mm). Skład mineralny, wraz z orientacyjną zawartością głównych grup mineralnych, określony został wyłącznie dla szkieletu ziarnowego z uwagi na zbyt małe rozmiary cząstek matriks. Frakcje ziarnowe wyróżniono w oparciu o standardowe przedziały wielkości ziaren², wysortowanie materiału ziarnistego w oparciu o diagramy porównawcze Longiaru³, a obtoczenie ziaren na podstawie wzorca Powersa⁴. Badania mikroskopowe stanowiły podstawę do określenia właściwości technologicznych ceramiki. Dla każdej próbki określone zostały następujące parametry:

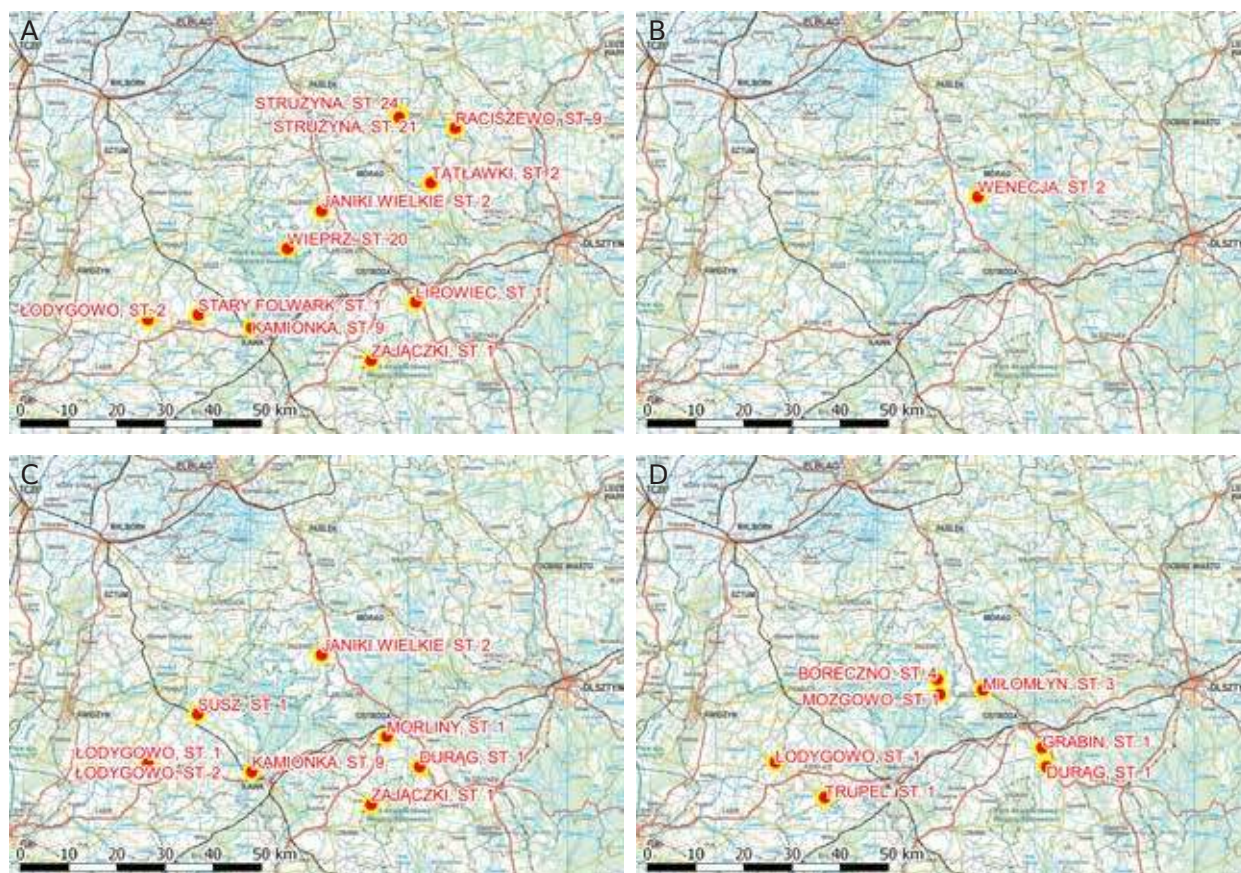
- stopień wypału określony na podstawie cech optycznych matriks oraz ewentualnej obecności węglanów, które ulegają dysocjacji w temperaturze powyżej 600°C,
- charakter granicy pomiędzy strefą brzezną zabarwioną a wewnętrzną niezabarwioną,
- obecność szamotu,
- obecność i rodzaj topników,
- obecność ceglasto-czerwonych ziaren związanych zapewne z barwieniem ceramiki,

¹ Bojanowski, Kobylińska i Kobyliński 2013.

² Udden 1914; Wentworth 1922.

³ Longiaru 1987.

⁴ Powers 1953.

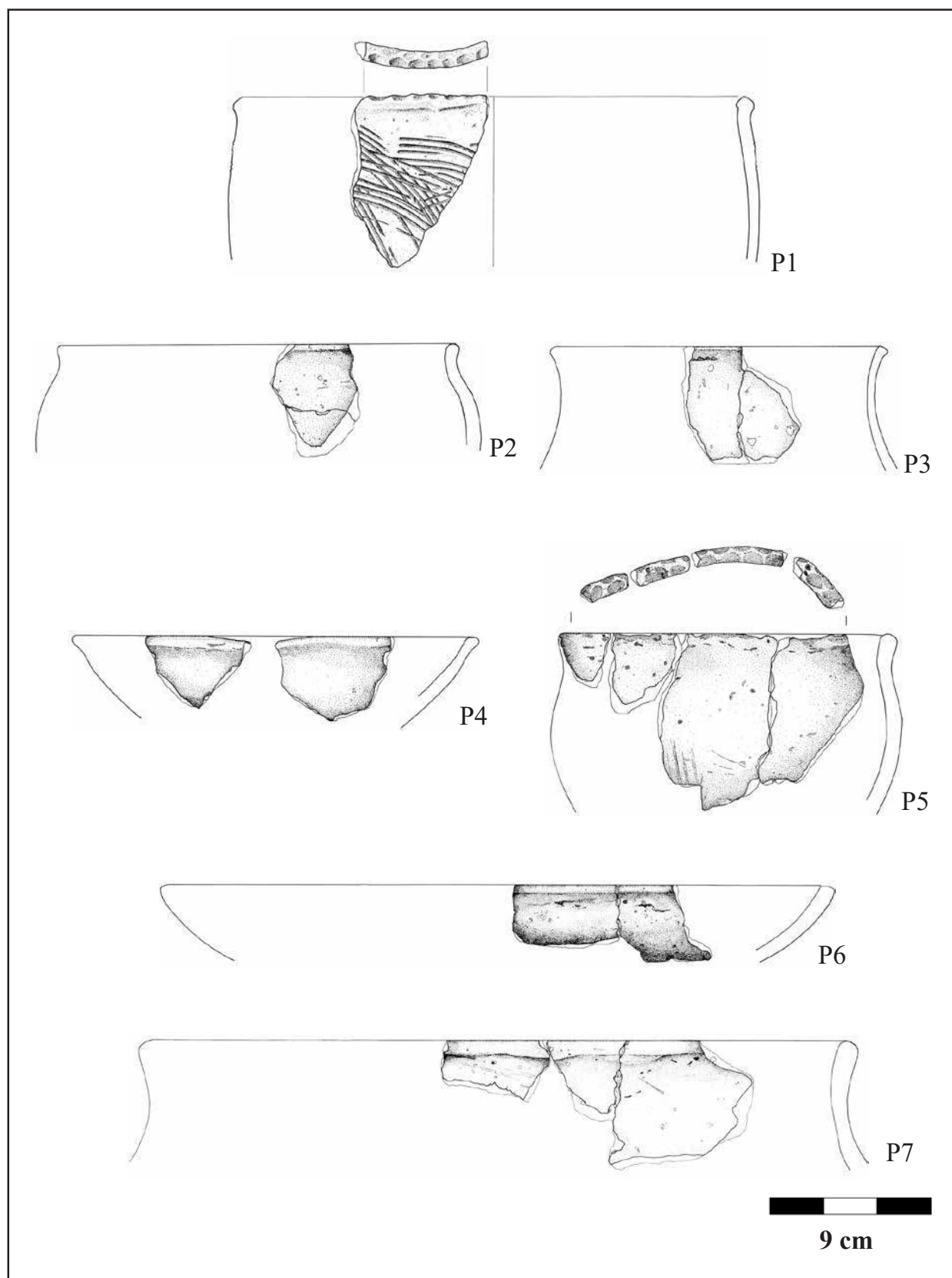


Ryc. 1. Rozmieszczenie grodzisk, z których analizowane były próbki ceramiki zabytkowej: A – z wczesnej epoki żelaza; B – z okresu wpływów rzymskich; C – z okresu wczesnego średniowiecza; D – z okresu późnego średniowiecza (oprac. R. Solecki)

Fig. 1. Location of stogholms from which samples of pottery were analysed: A – from the Early Iron Age; B – from the Period of Roman Influences; C – from the Early Middle Ages; D – from the Late Middle Ages (elaborated by R. Solecki)

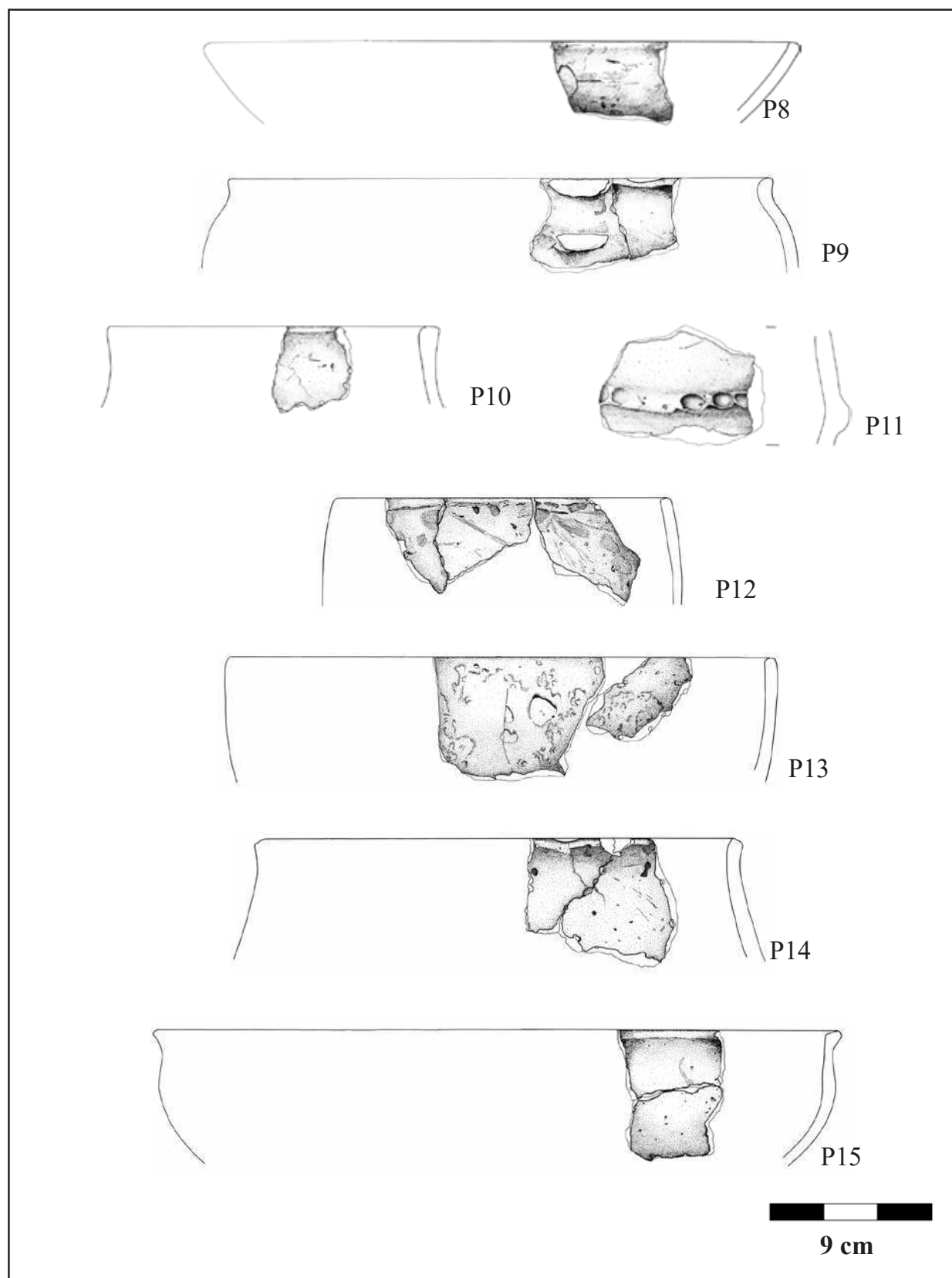
- rozdział frakcji, polegający na luce w wielkości ziaren pomiędzy najgrubszymi a drobniejszymi, co może wskazywać na dodanie piasku lub żwiru w celu schudzenia masy ceramicznej i/lub obniżenia temperatury wypału,
- przewaga skaleni nad kwarcem w najgrubszej frakcji, co w przypadku istnienia wyraźnego rozdziału frakcji może wskazywać na dodanie koncentratu skalenio-owego jako topnika,
- obecność tłucznia, czyli piasku lub żwiru o wyraźnie bardziej kanciastych zarysach niż frakcji drobniejszych pochodzącego z rozłukiwania gładów narzutowych,
- obecność dobrze obtoczonego i dobrze wysortowanego piasku fluwialnego jako surowca schudzającego,
- rodzaj kopaliny użytej jako surowiec bazowy do sporządzenia masy ceramicznej,
- obecność innych charakterystycznych składników, np. fragmentów rud darniowych czy cech, np. brzeg naczyń powstały poprzez oblepienie zabarwioną masą ceramiczną i powtórny wypał.

72 reprezentatywne próbki zostały sproszkowane w moździerzu agatowym (około 1 g materiału) i poddane analizie dyfrakcji rentgenowskiej przy użyciu jednego z dwóch dyfraktometrów o promieniowaniu rentgenowskim monochromatycznym lampą kobaltową: PanAnalytical X’pert PRO oraz Bruker axs D8 ADVANCE z superszyb-kiem pozycyjnie czułym detektorem liniowym VANTEC-1. W ten sposób zostały zidentyfikowane główne składniki krystaliczne i oszacowana ich zawartość. W przypadku trudności w identyfikacji niektórych składników pod mikroskopem polaryzacyjnym, wykonano dodatkowo badania w mikroobszarze dla 24 próbek. Badania przeprowadzono na płytkach cienkich napylonych węglem przy użyciu jednego z dwóch aparatów: mikrosondy elektronowej CAMECA SX Five-FE oraz skaningowego mikroskopu elektronowego z emisją polową Zeiss Sigma VP. Oba instrumenty umożliwiały obrazowanie w elektronach wstecznie rozproszonych. Analizy chemiczne w mikroobszarze wykonywane punktowo w poszczególnych ziarnach lub w określonych obszarach za pomocą detektorów EDS (oba instrumenty) lub WDS (tylko mikrosonda elektronowa).



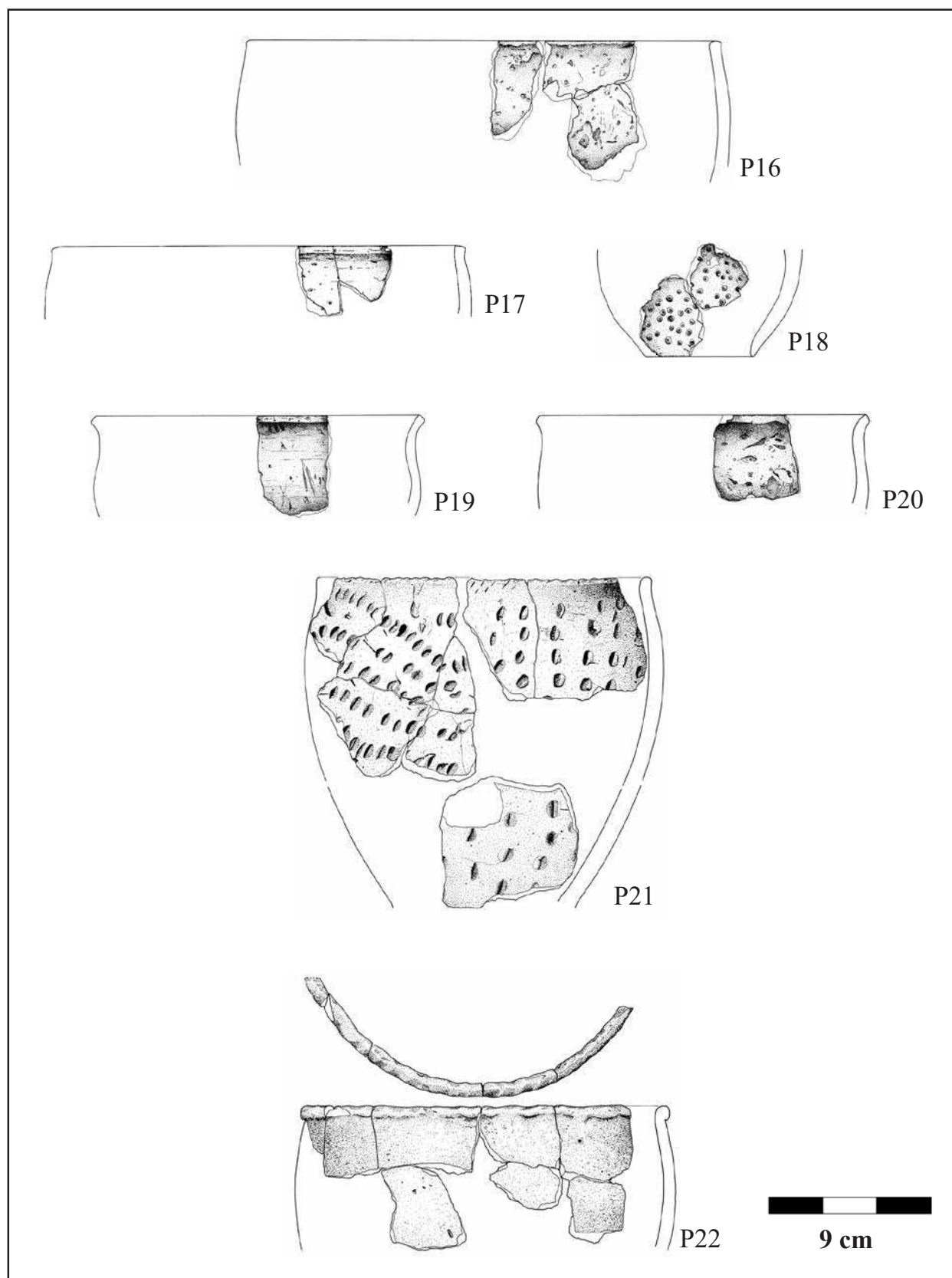
Ryc. 2a. Naczynia ceramiczne z wczesnej epoki żelaza, z których próbki analizowane były w czasie badań przedstawianych w niniejszym artykule (rys. A. Chojnacka-Banaszkiewicz i D. Wach)

Fig. 2a. Ceramic vessels from the Early Iron Age, from which the samples were analysed in the paper (drawn by A. Chojnacka-Banaszkiewicz and D. Wach)



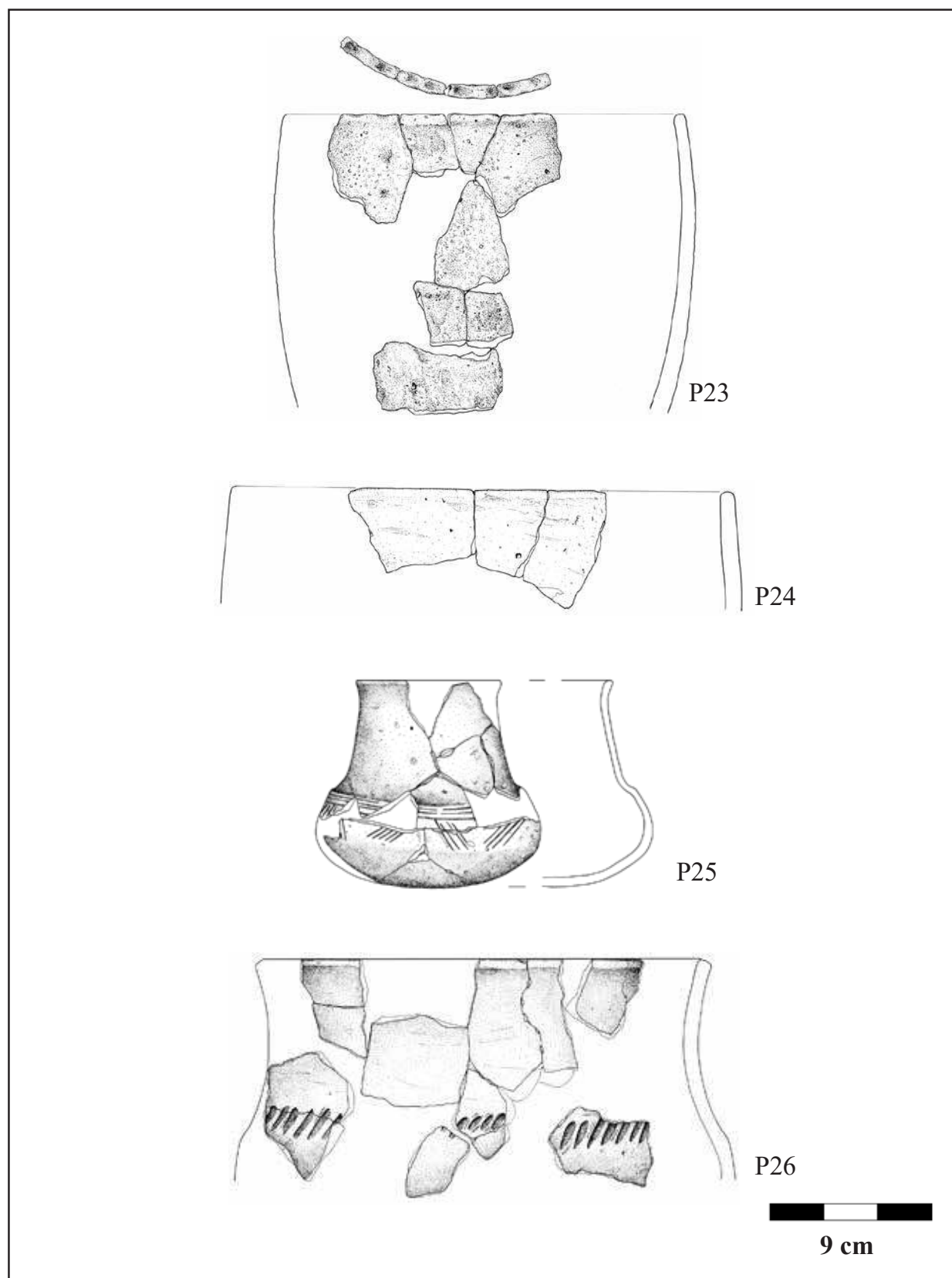
Ryc. 2b. Naczynia ceramiczne z wczesnej epoki żelaza, z których próbki analizowane były w czasie badań przedstawianych w niniejszym artykule (rys. A. Chojnacka-Banaszkiewicz)

Fig. 2b. Ceramic vessels from the Early Iron Age, from which the samples were analysed in the paper (drawn by A. Chojnacka-Banaszkiewicz)



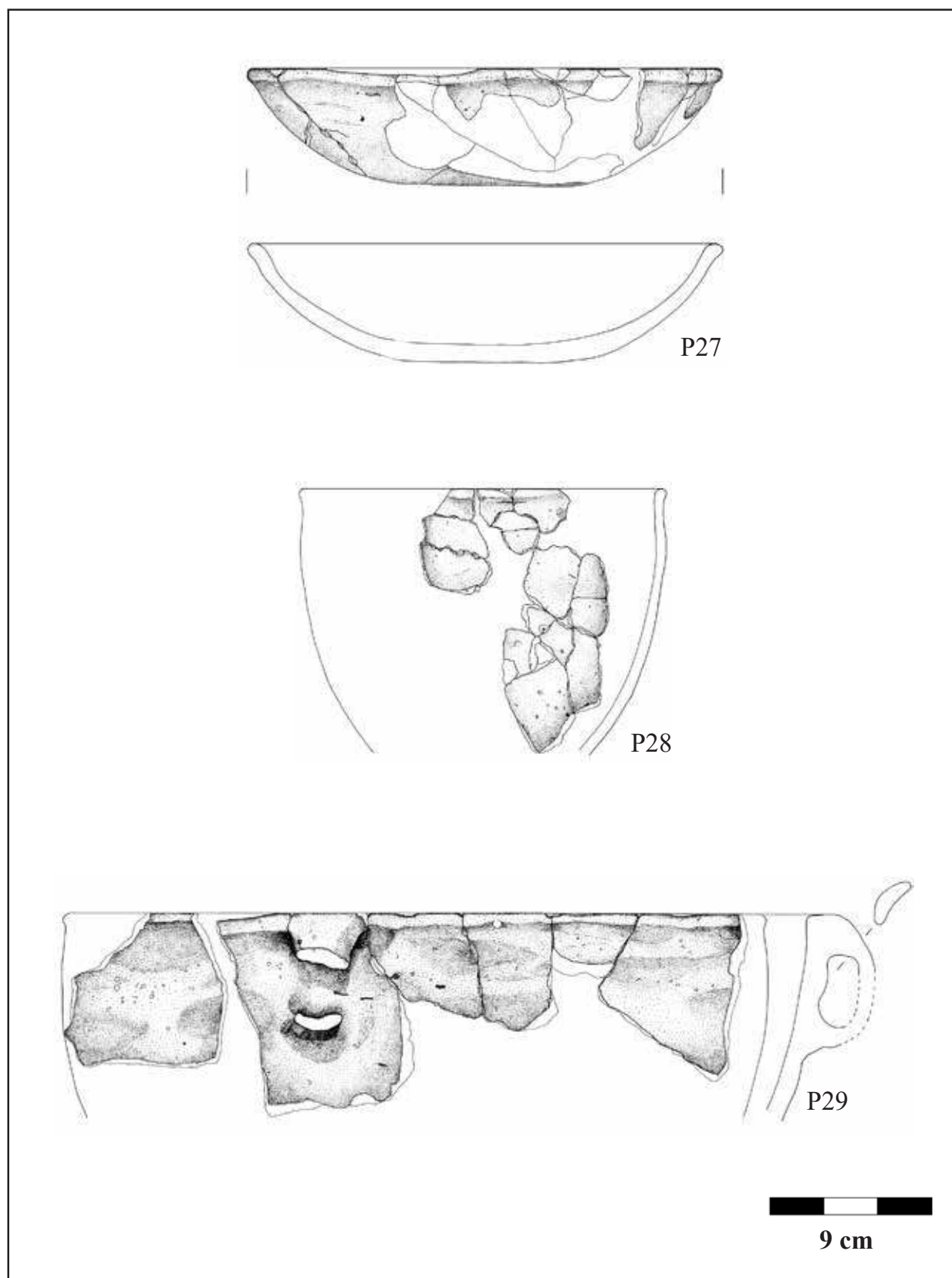
Ryc. 2c. Naczynia ceramiczne z wczesnej epoki żelaza, z których próbki analizowane były w czasie badań przedstawianych w niniejszym artykule (rys. A. Chojnacka-Banaszkiewicz i D. Wach)

Fig. 2c. Ceramic vessels from the Early Iron Age, from which the samples were analysed in the paper (drawn by A. Chojnacka-Banaszkiewicz and D. Wach)



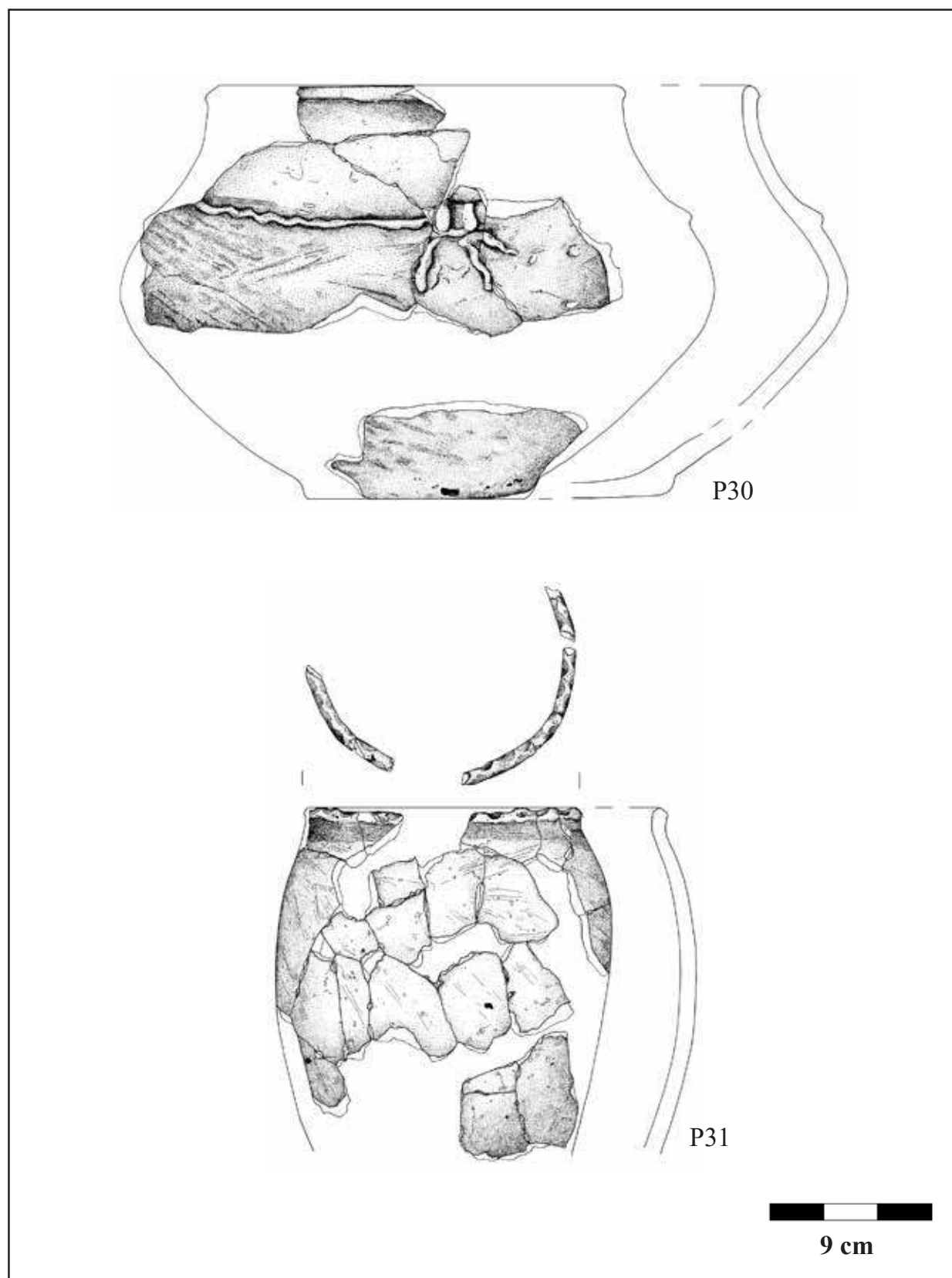
Ryc. 2d. Naczynia ceramiczne z wczesnej epoki żelaza, z których próbki analizowane były w czasie badań przedstawianych w niniejszym artykule (rys. A. Chojnacka-Banaszkiewicz)

Fig. 2d. Ceramic vessels from the Early Iron Age, from which the samples were analysed in the paper (drawn by A. Chojnacka-Banaszkiewicz)



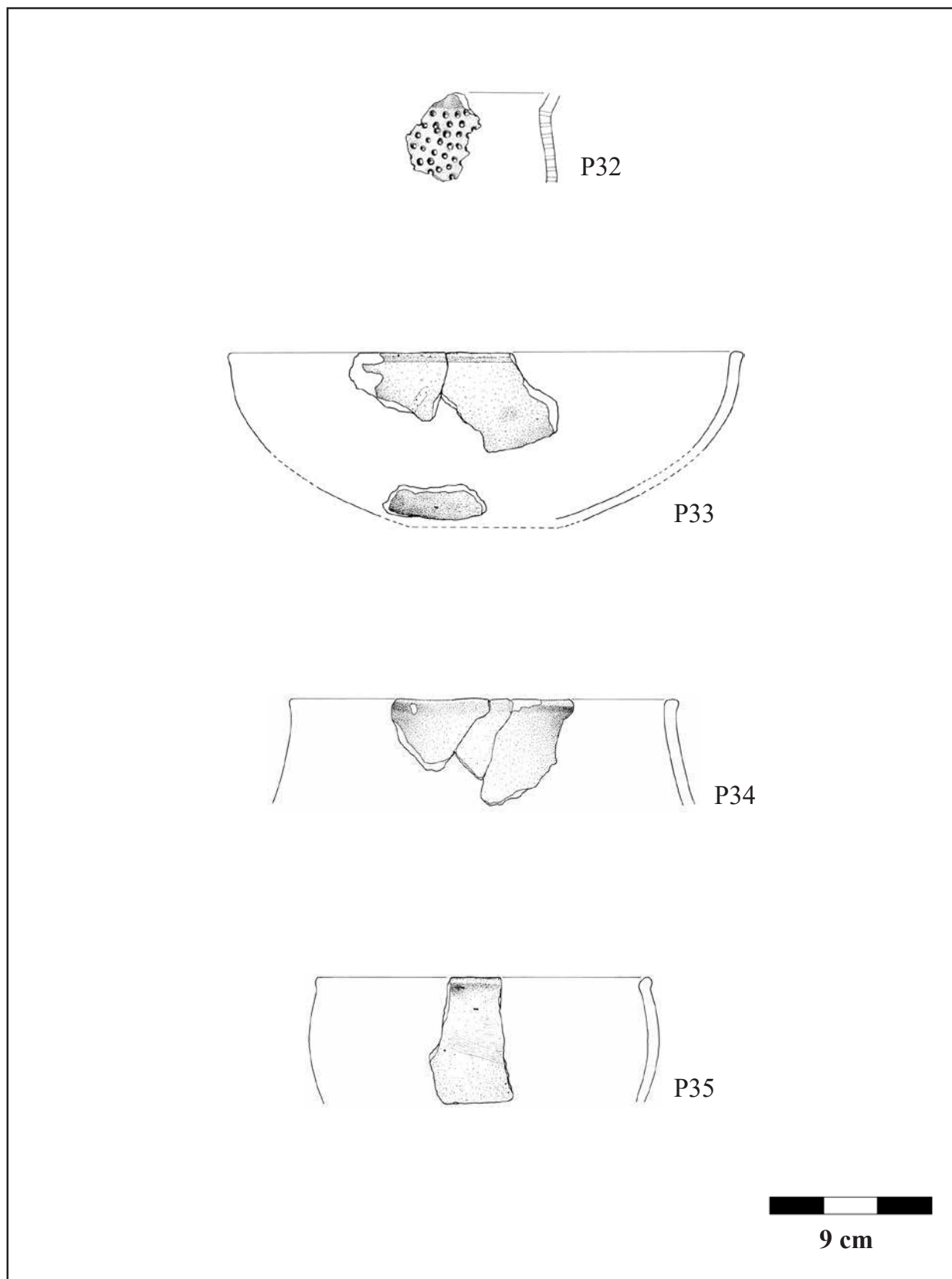
Ryc. 2e. Naczynia ceramiczne z wczesnej epoki żelaza, z których próbki analizowane były w czasie badań przedstawianych w niniejszym artykule (rys. A. Chojnacka-Banaszkiewicz)

Fig. 2e. Ceramic vessels from the Early Iron Age, from which the samples were analysed in the paper (drawn by A. Chojnacka-Banaszkiewicz)



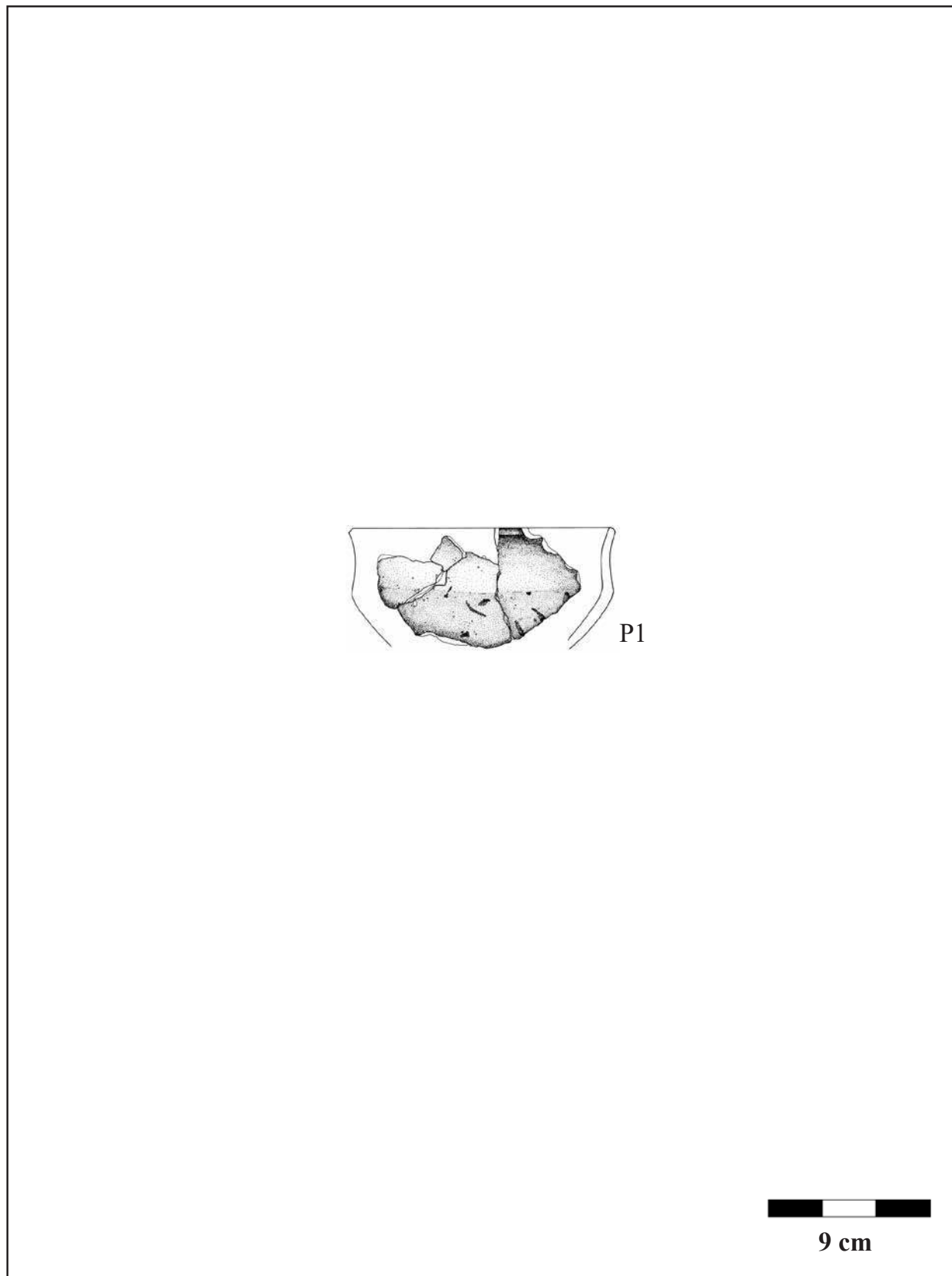
Ryc. 2f. Naczynia ceramiczne z wczesnej epoki żelaza, z których próbki analizowane były w czasie badań przedstawianych w niniejszym artykule (rys. A. Chojnacka-Banaszkiewicz)

Fig. 2f. Ceramic vessels from the Early Iron Age, from which the samples were analysed in the paper (drawn by A. Chojnacka-Banaszkiewicz)



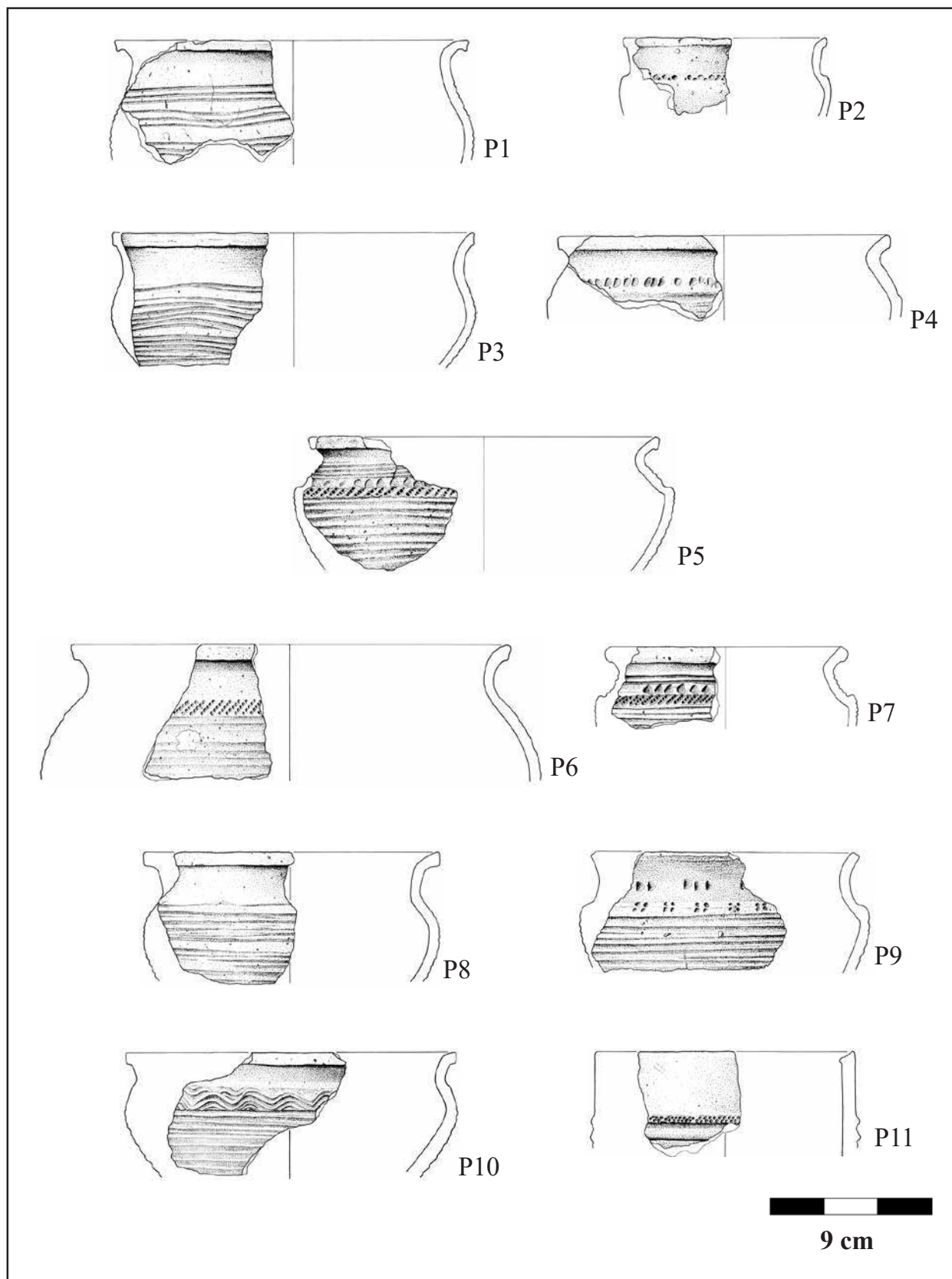
Ryc. 2g. Naczynia ceramiczne z wczesnej epoki żelaza, z których próbki analizowane były w czasie badań przedstawianych w niniejszym artykule (rys. A. Chojnacka-Banaszkiewicz i D. Wach)

Fig. 2g. Ceramic vessels from the Early Iron Age, from which the samples were analysed in the paper (drawn by A. Chojnacka-Banaszkiewicz and D. Wach)



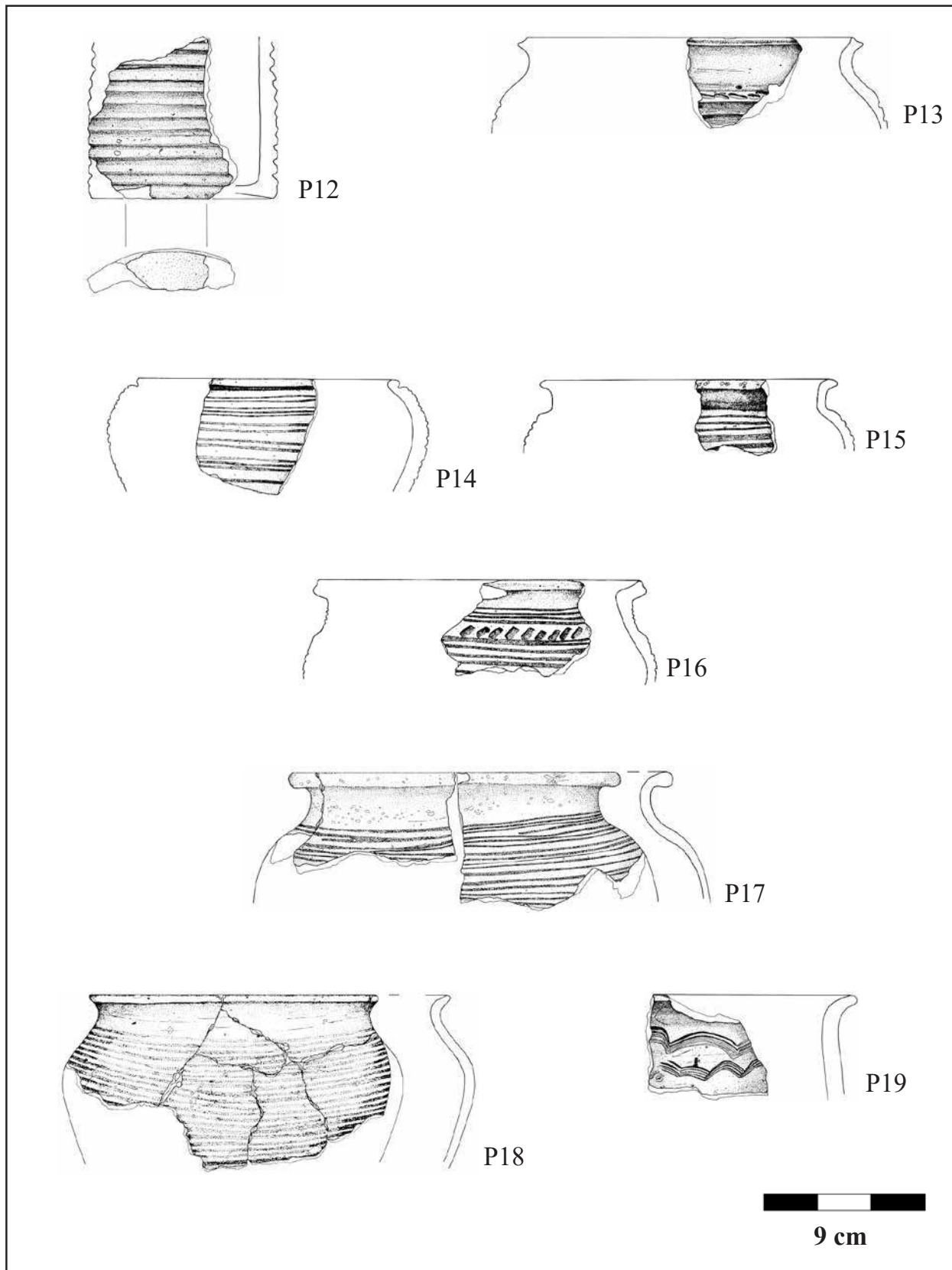
Ryc. 3. Naczynie ceramiczne z okresu wpływów rzymskich, z którego próbka była analizowana w czasie badań przedstawianych w niniejszym artykule (rys. A. Chojnacka-Banaszkiewicz)

Fig. 3. Ceramic vessel from the Period of Roman Influences, from which the sample was analysed in the paper (drawn by A. Chojnacka-Banaszkiewicz)



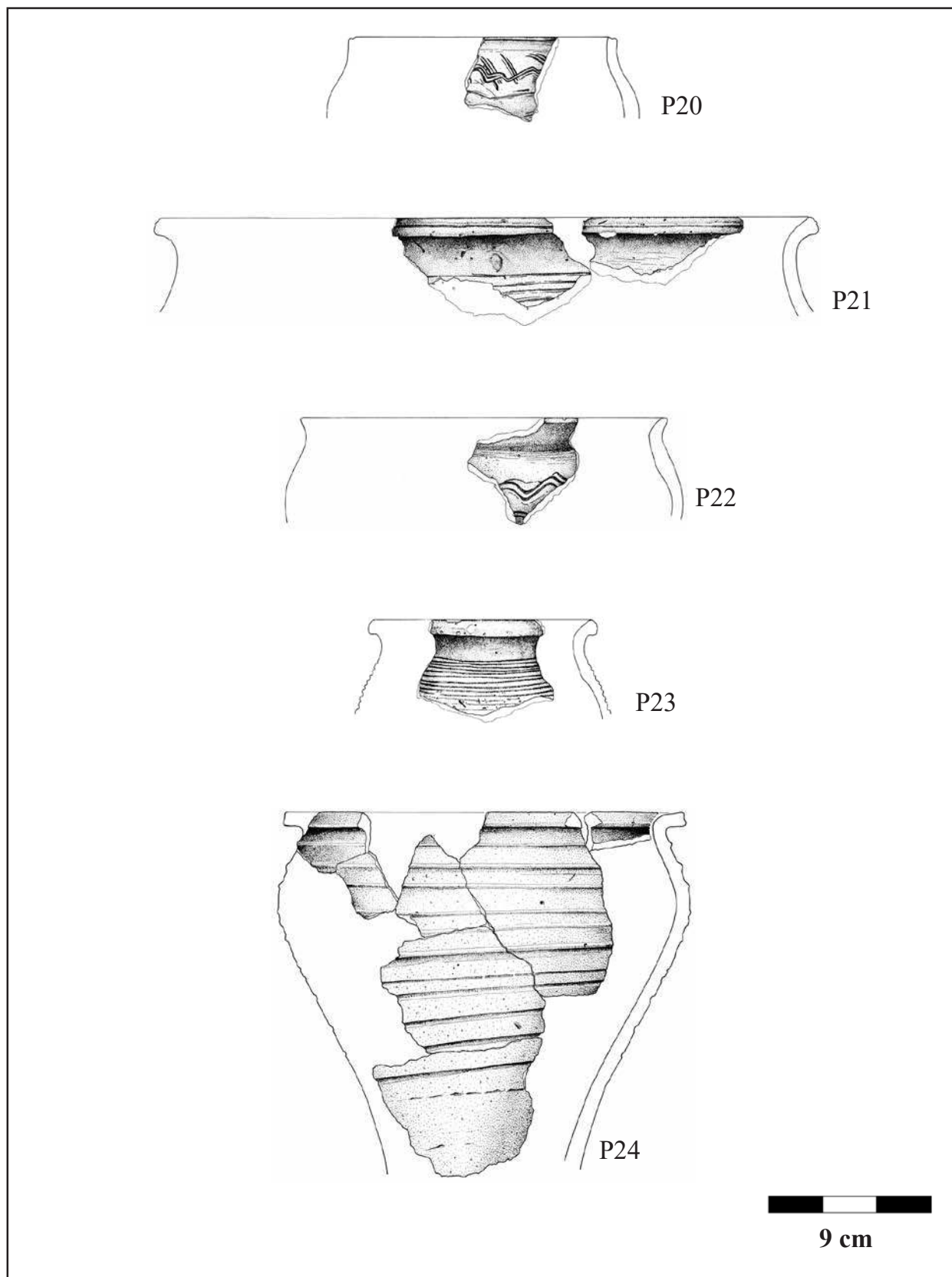
Ryc. 4a. Naczynia ceramiczne z okresu wczesnego średniowiecza do poł. XIII w., z których próbki analizowane były w czasie badań przedstawianych w niniejszym artykule (rys. D. Wach)

Fig. 4a. Ceramic vessels from the Early Middle Ages, from which the samples were analysed in the paper (drawn by D. Wach)



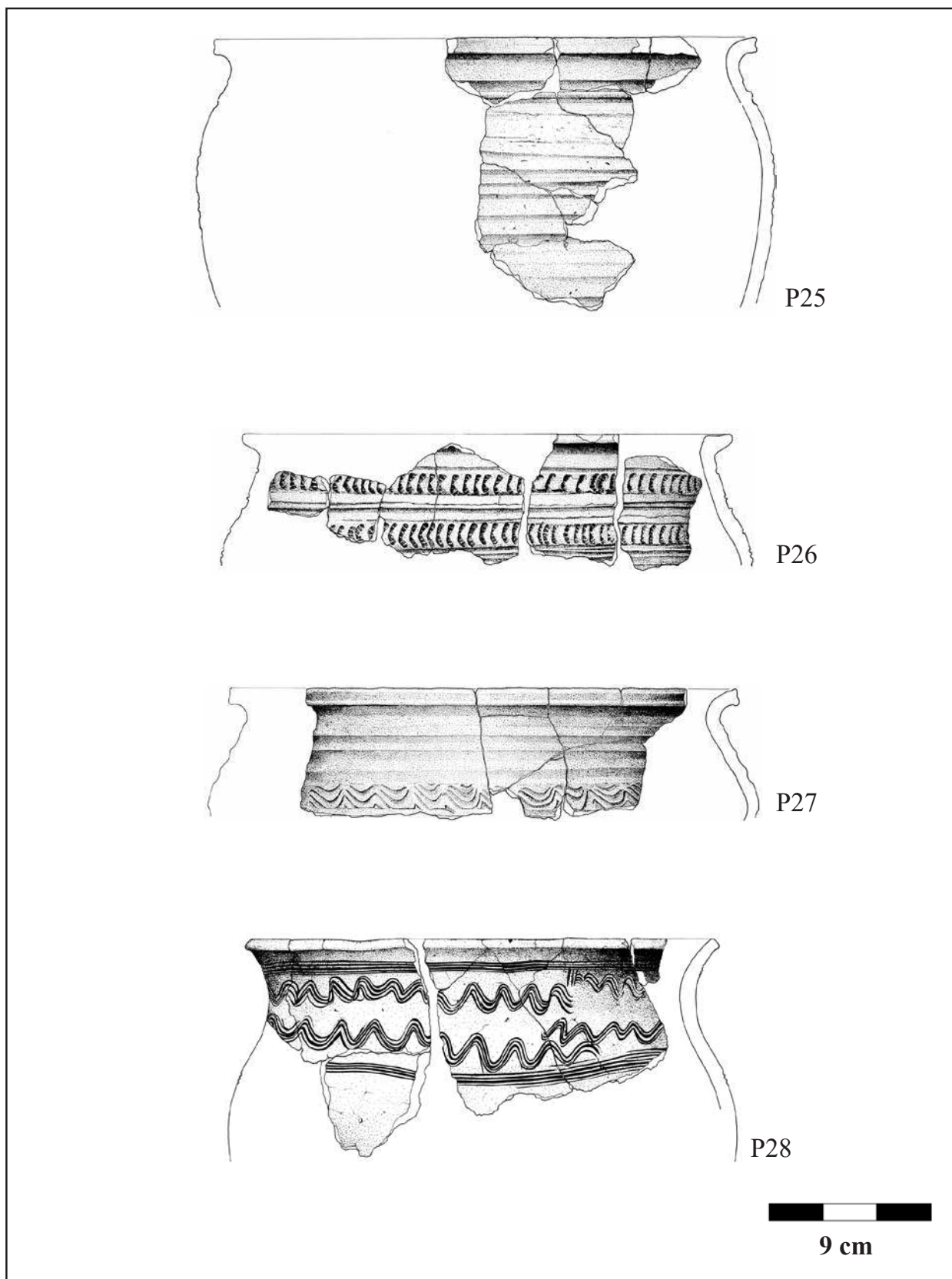
Ryc. 4b. Naczynia ceramiczne z okresu wczesnego średniowiecza do poł. XIII w., z których próbki analizowane były w czasie badań przedstawianych w niniejszym artykule (rys. A. Chojnacka-Banaszkiewicz i D. Wach)

Fig. 4b. Ceramic vessels from the Early Middle Ages, from which the samples were analysed in the paper (drawn by A. Chojnacka-Banaszkiewicz and D. Wach)



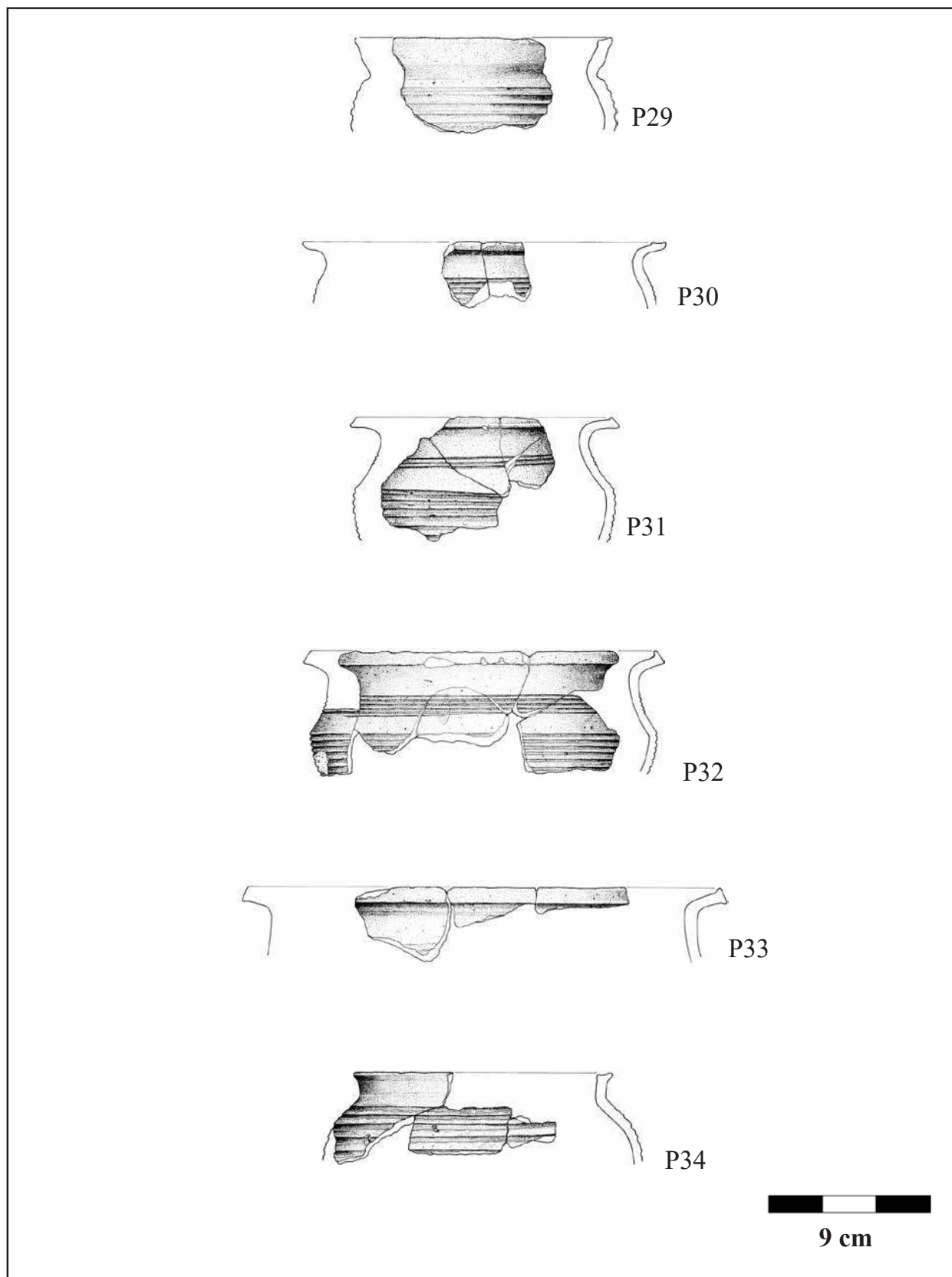
Ryc. 4c. Naczynia ceramiczne z okresu wczesnego średniowiecza do poł. XIII w., z których próbki analizowane były w czasie badań przedstawianych w niniejszym artykule (rys. D. Wach)

Fig. 4c. Ceramic vessels from the Early Middle Ages, from which the samples were analysed in the paper (drawn by D. Wach)



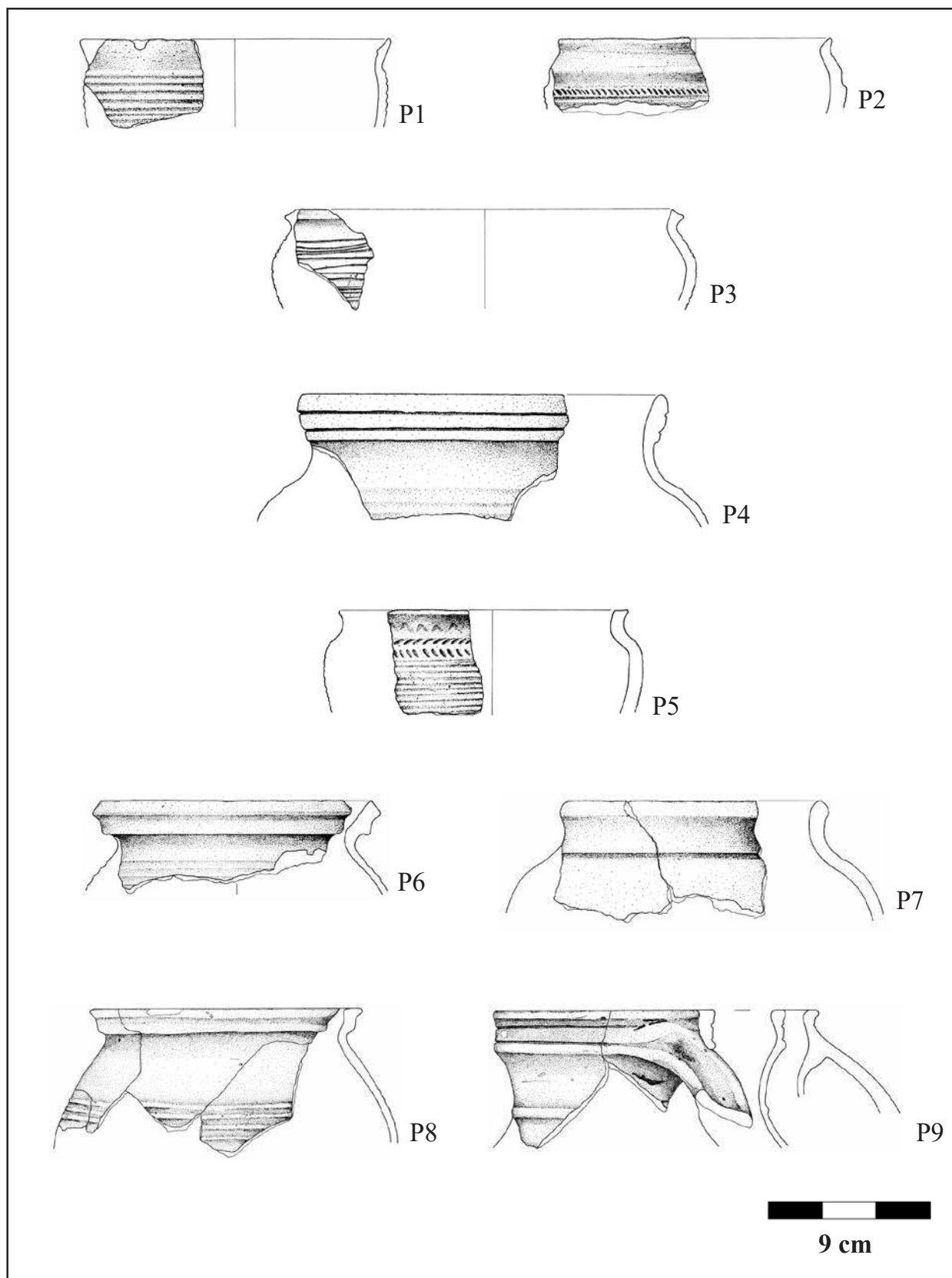
Ryc. 4d. Naczynia ceramiczne z okresu wczesnego średniowiecza do poł. XIII w., z których próbki analizowane były w czasie badań przedstawianych w niniejszym artykule (rys. D. Wach)

Fig. 4d. Ceramic vessels from the Early Middle Ages, from which the samples were analysed in the paper (drawn by D. Wach)



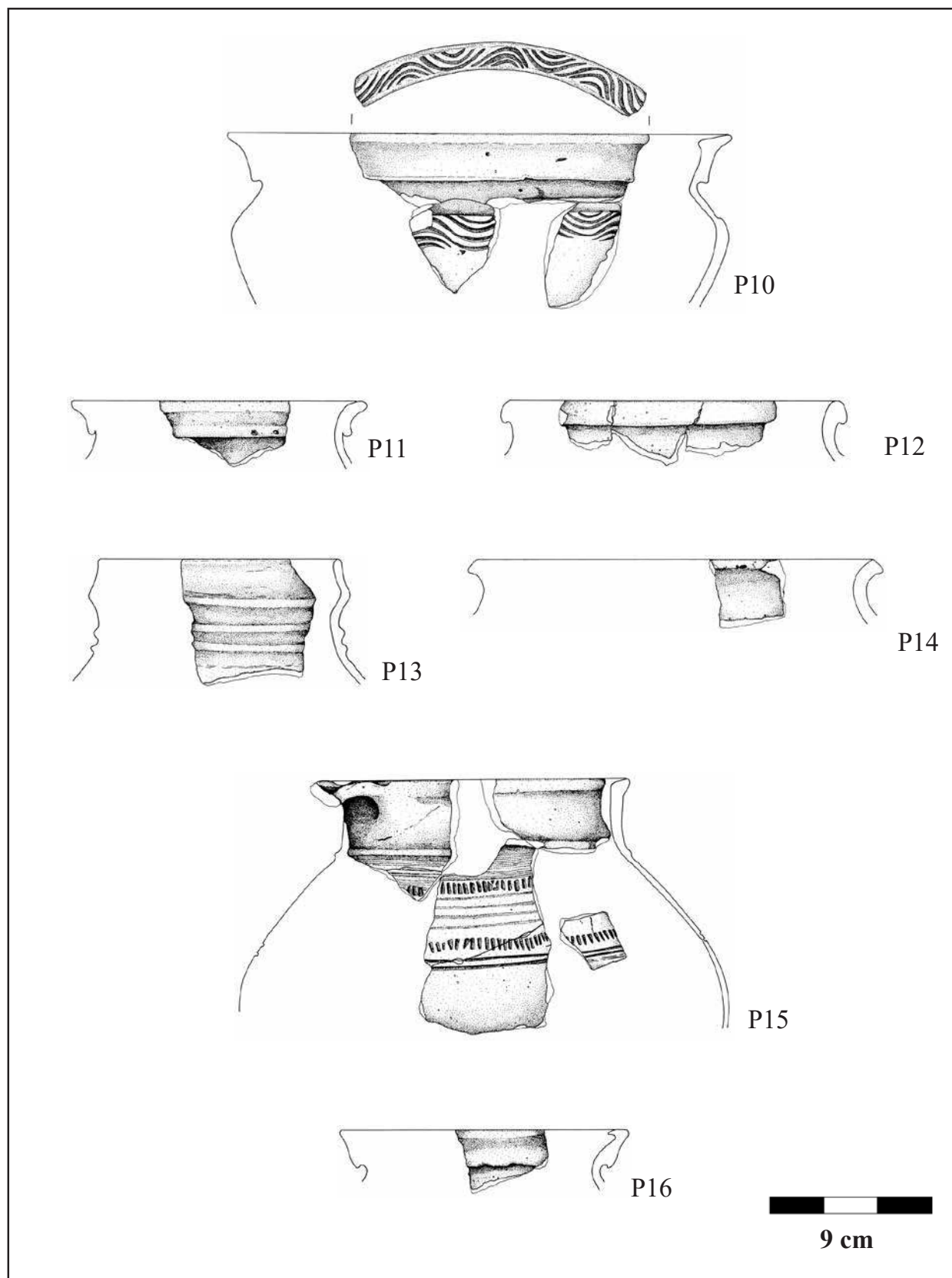
Ryc. 4e. Naczynia ceramiczne z okresu wczesnego średniowiecza do poł. XIII w., z których próbki analizowane były w czasie badań przedstawianych w niniejszym artykule (rys. D. Wach)

Fig. 4e. Ceramic vessels from the Early Middle Ages, from which the samples were analysed in the paper (drawn by D. Wach)



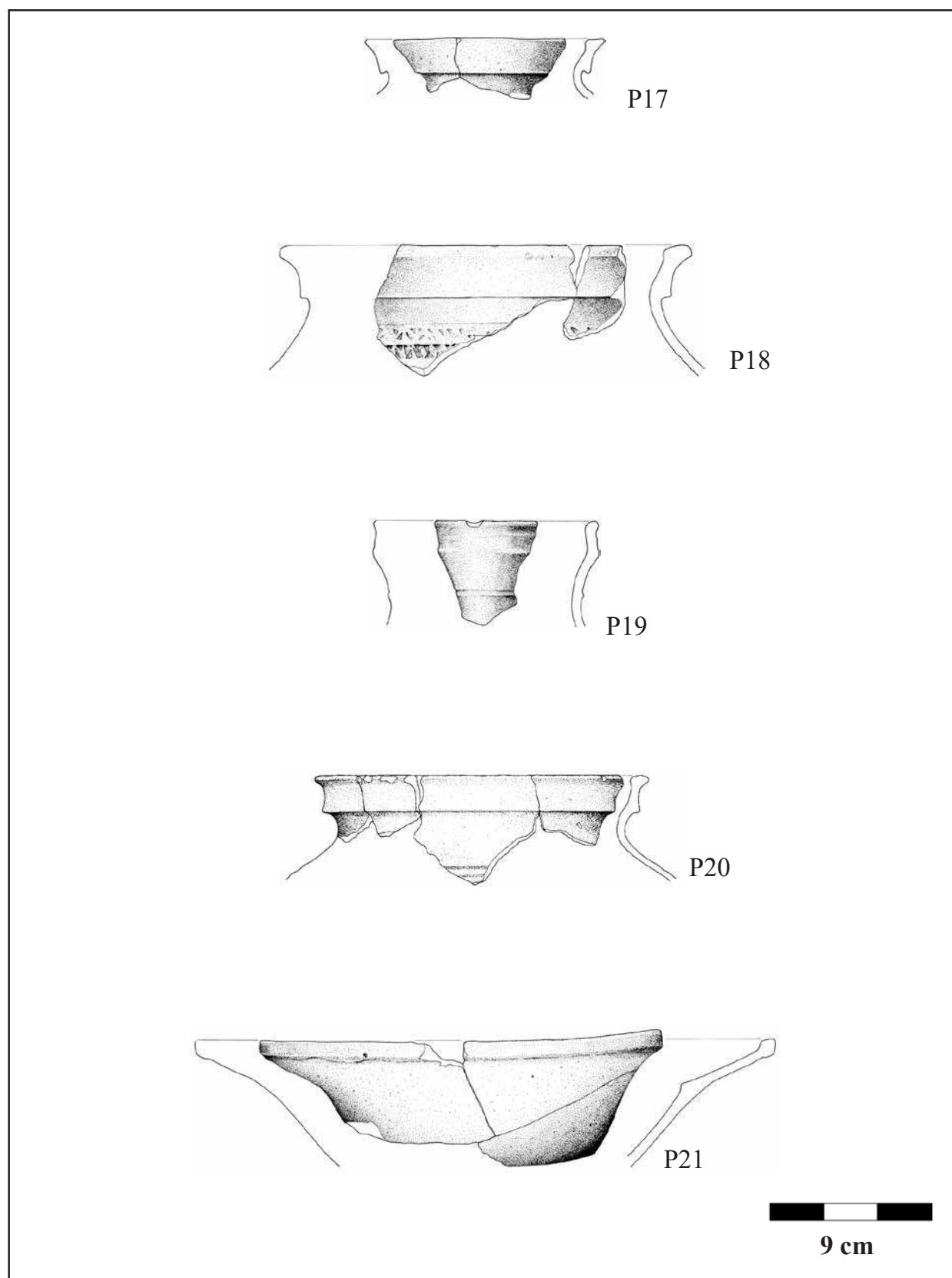
Ryc. 5a. Naczynia ceramiczne z okresu późnego średniowiecza, z których próbki analizowane były w czasie badań przedstawianych w niniejszym artykule (rys. A. Chojnacka-Banaszkiewicz i D. Wach)

Fig. 5a. Ceramic vessels from the Late Middle Ages, from which the samples were analysed in the paper (drawn by A. Chojnacka-Banaszkiewicz and D. Wach)



Ryc. 5b. Naczynia ceramiczne z okresu późnego średniowiecza, z których próbki analizowane były w czasie badań przedstawianych w niniejszym artykule (rys. D. Wach)

Fig. 5b. Ceramic vessels from the Late Middle Ages, from which the samples were analysed in the paper (drawn by D. Wach)



Ryc. 5c. Naczynia ceramiczne z okresu późnego średniowiecza, z których próbki analizowane były w czasie badań przedstawianych w niniejszym artykule (rys. D. Wach)

Fig. 5c. Ceramic vessels from the Late Middle Ages, from which the samples were analysed in the paper (drawn by D. Wach)

Tabela 1. Opis próbek ceramiki z wczesnej epoki żelaza i wyniki ich analizy petrograficznej (oprac. M.J. Bojanowski i U. Kobylińska)
Table 1. Description of pottery samples from the Early Iron Age and results of their petrographic analysis: raw material, temper and flux, and the degree of firing (elaborated by M.J. Bojanowski and U. Kobylińska)

Nazwa próbki	Stanowisko	Gmina	Powiat	Forma naczynia	Rodzaj powierzchni	Surowiec bazowy	Schudzenie	Topniki	Stopień wypału
WEŻ-P1	Kamionka, st. 9	Iława	iławski	duże workowate naczynie zasobowe	gładka	ii/mufek	tluczeń, szamot	skalenie	bardzo niski
WEŻ-P2	Janiki Wielkie, st. 2	Zalewo	iławski	duży garnek baniasty	wypolerowana	ii/mufek	tluczeń, szamot	skalenie	bardzo niski
WEŻ-P3	Wieprz, st. 20	Zalewo	iławski	duże naczynie wazowate z długą szyjką	gładka	głina lodowcowa	szamot	brak	bardzo niski
WEŻ-P4	Wieprz, st. 20	Zalewo	iławski	duża rozłożysta misa	wypolerowana	głina lodowcowa	szamot	skalenie?	bardzo niski
WEŻ-P5	Wieprz, st. 20	Zalewo	iławski	średniej wielkości garnek baniasty	zagiadana, matowa	ii/mufek	tluczeń	skalenie	bardzo wysoki
WEŻ-P6	Strużyna, st. 21	Morąg	ostródzki	duża rozłożysta misa	gładka	ii/mufek lub gлина lodowcowa	tluczeń?, szamot	skalenie	bardzo niski
WEŻ-P7	Strużyna, st. 21	Morąg	ostródzki	duży garnek esowaty	gładka	ii/mufek lub gлина lodowcowa	tluczeń	skalenie	wysoki
WEŻ-P8	Strużyna, st. 21	Morąg	ostródzki	duża rozłożysta misa	gładka	ii/mufek	tluczeń, szamot	skalenie	niski
WEŻ-P9	Strużyna, st. 21	Morąg	ostródzki	duży czepak z uchem	gładka	głina lodowcowa	szamot	brak	bardzo niski
WEŻ-P10	Strużyna, st. 21	Morąg	ostródzki	garnek z pogrubionym brzegiem	gładka	ii/mufek lub gлина lodowcowa	tluczeń	skalenie?	wysoki
WEŻ-P11	Strużyna, st. 21	Morąg	ostródzki	duży garnek z listwą plastyczną	gładka	ii/mufek lub gлина lodowcowa	tluczeń?, szamot	skalenie	wysoki
WEŻ-P12	Tątlawki, st. 2	Morąg	ostródzki	średniej wielkości garnek workowaty	nierówna	ii/mufek	tluczeń, szamot	skalenie	bardzo niski
WEŻ-P13	Raciszewo, st. 9	Miłakowo	ostródzki	duży garnek workowaty	gładka od wewnątrz, nierówna od zewnątrz	ii/mufek	tluczeń, szamot	skalenie	bardzo niski
WEŻ-P14	Raciszewo, st. 9	Miłakowo	ostródzki	duże naczynie wazowate z długą szyjką	gładka	ii/mufek	tluczeń, szamot	skalenie	bardzo niski
WEŻ-P15	Tątlawki, st. 2	Morąg	ostródzki	duża misa głęboka	wyświecona obustronnie	głina lodowcowa	brak	brak	niski
WEŻ-P16	Tątlawki, st. 2	Morąg	ostródzki	duży garnek jajowaty	chropowacona	ii/mufek	tluczeń, szamot	brak	niski
WEŻ-P17	Tątlawki, st. 2	Morąg	ostródzki	duży garnek	gładka	ii/mufek	tluczeń, szamot	brak	niski
WEŻ-P18	Tątlawki, st. 2	Morąg	ostródzki	naczynie sitowate	gładka	ii/mufek	tluczeń?, szamot	brak	niski
WEŻ-P19	Łodygowo, st. 2	Kisielce	iławski	średniej wielkości garnek o profilu esowatym	gładka	ii/mufek	tluczeń, szamot	skalenie	niski
WEŻ-P20	Łodygowo, st. 2	Kisielce	iławski	średniej wielkości garnek o profilu esowatym	chropowacona	ii/mufek	tluczeń, szamot	skalenie	bardzo niski
WEŻ-P21	Zajączki, st. 1	Ostróda	ostródzki	średniej wielkości garnek lekko baniasty	wypolerowana od wewnątrz, gładka zewnątrz	ii/mufek	tluczeń, szamot	skalenie	bardzo niski

Tabela 1. C.d.
Table 1. Continued

Nazwa próbki	Stanowisko	Gmina	Powiat	Forma naczynia	Rodzaj powierzchni	Surowiec bazowy	Schudzenie	Topniki	Stopień wypatu
WEŻ-P22	Zajączki, st. 1	Ostróda	ostródzki	duży garnek baniasty	wypolerowana od wewnątrz, chropowata zewnątrz	i/mutek	tluczeń, szamot	skalenie	niski
WEŻ-P23	Zajączki, st. 1	Ostróda	ostródzki	duży garnek jajowaty	chropowata	i/mutek	tluczeń, szamot	skalenie	niski
WEŻ-P24	Zajączki, st. 1	Ostróda	ostródzki	duże workowate naczynie zasobowe	gładka	i/mutek	tluczeń, szamot	skalenie	bardzo niski
WEŻ-P25	Stary Folwark, st. 1	Kisielice	ilawski	kubek o baniastym brzuścu	wyświecona	glina lodowcowa	szamot	brak	bardzo niski
WEŻ-P26	Stary Folwark, st. 1	Kisielice	ilawski	duże naczynie wazowate	gładka	glina lodowcowa	tluczeń, szamot	brak	bardzo niski
WEŻ-P27	Stary Folwark, st. 1	Kisielice	ilawski	duża misa	wyświecona	i/mutek	tluczeń, szamot	skalenie	wysoki
WEŻ-P28	Stary Folwark, st. 1	Kisielice	ilawski	średniej wielkości garnek lekko baniasty	gładka	i/mutek	tluczeń, szamot	skala maficzna	wysoki
WEŻ-P29	Stary Folwark, st. 1	Kisielice	ilawski	duży garnek z uchem	gładka	i/mutek	tluczeń, szamot	skalenie, fosforany	niski
WEŻ-P30	Stary Folwark, st. 1	Kisielice	ilawski	duży garnek baniasty	gładka	i/mutek	tluczeń, szamot ?	skalenie	niski
WEŻ-P31	Stary Folwark, st. 1	Kisielice	ilawski	średniej wielkości garnek jajowaty	gładka	glina lodowcowa	tluczeń, szamot	brak	bardzo niski
WEŻ-P32	Strużyna, st. 24	Morąg	ostródzki	naczynie sitowate	nierówna wewnątrz, gładka zewnątrz	i/mutek	tluczeń, szamot	skalenie	niski
WEŻ-P33	Strużyna, st. 24	Morąg	ostródzki	duża misa	wyświecona	i/mutek	tluczeń, szamot	skalenie	bardzo niski
WEŻ-P34	Strużyna, st. 24	Morąg	ostródzki	duże naczynie wazowate	wyświecona	i/mutek	tluczeń	skalenie	niski
WEŻ-P35	Lipowiec, st. 1	Ostróda	ostródzki	średniej wielkości głęboka misa	wyświecona	glina lodowcowa	brak	brak	wysoki

Tabela 2. Opis próbek ceramiki z okresu wpływów rzymskich i wyniki jej analizy petrograficznej (oprac. M.J. Bojanowski i U. Kobylińska)

Table 2. Description of pottery sample from the Period of Roman Influences and results of its petrographic analysis: raw material, temper and flux, and the degree of firing (elaborated by M.J. Bojanowski and U. Kobylińska)

Nazwa próbki	Stanowisko	Gmina	Powiat	Forma naczynia	Rodzaj powierzchni	Surowiec bazowy	Schudzenie	Topniki	Stopień wypatu
OWR-P1	Wenecja, st. 2	Morąg	ostródzki	głęboka miseczka o ostrym załamie brzuśca	wygładzana obustronnie	i/mutek lub glina lodowcowa	tluczeń, szamot	skalenie ?	niski

Tabela 3. Opis próbek ceramiki z okresu wczesnego średniowiecza i wyniki ich analizy petrograficznej (oprac. M.J. Bojanowski i U. Kobylińska)

Table 3. Description of pottery samples from the Early Middle Ages and results of their petrographic analysis: raw material, temper and flux, and the degree of firing (elaborated by M.J. Bojanowski and U. Kobylińska)

Nazwa próbki	Stanowisko	Gmina	Powiat	Forma naczynia	Rodzaj powierzchni	Surowiec bazowy	Schudzenie	Topniki	Stopień wypału
WSR-P1	Kamionka, st. 9	Iława	iławski	średniej wielkości garnek o profilu esowatym z baniastym brzuścem	zagładzana w górnej części, niżej szorstka	ii/mutek	tluczeń	skalenie	średni
WSR-P2	Kamionka, st. 9	Iława	iławski	mały garnuszek z wydzieloną szyjką	gładka	ii/mutek	tluczeń, szamot	skalenie	wysoki
WSR-P3	Kamionka, st. 9	Iława	iławski	średniej wielkości płytkie naczynie wazowate	gładka	ii/mutek	tluczeń	brak	średni
WSR-P4	Kamionka, st. 9	Iława	iławski	duży garnek o ostrych załamach	zagładzana pod wylewem	głina lodowcowa	szamot	brak	wysoki
WSR-P5	Kamionka, st. 9	Iława	iławski	średniej wielkości garnek o ostrych załamach	zagładzana pod wylewem	ii/mutek	tluczeń, szamot ?	skalenie	wysoki
WSR-P6	Kamionka, st. 9	Iława	iławski	duży garnek baniasty	szorstka	głina lodowcowa	szamot	brak	niski
WSR-P7	Kamionka, st. 9	Iława	iławski	mały garnek o ostrych załamach	szorstka	ii/mutek lub gлина	tluczeń ?	brak	niski
WSR-P8	Kamionka, st. 9	Iława	iławski	mały garnek z wydzieloną szyjką	szorstka, zagładzana pod wylewem	ii/mutek	tluczeń	brak	średni
WSR-P9	Kamionka, st. 9	Iława	iławski	mały garnek z ostrym załamem brzuśca	zagładzana	ii/mutek	tluczeń, szamot	skalenie	wysoki
WSR-P10	Kamionka, st. 9	Iława	iławski	naczynie wazowate	zagładzana	głina lodowcowa	szamot	brak	wysoki
WSR-P11	Kamionka, st. 9	Iława	iławski	naczynie z cylindryczną szyjką	lekko szorstka z wygładzoną górną częścią	głina lodowcowa	brak	brak	bardzo niski
WSR-P12	Kamionka, st. 9	Iława	iławski	naczynie cylindryczne	zagładzana	głina lodowcowa	szamot	brak	wysoki
WSR-P13	Janiki Wielkie, st. 2	Zalewo	iławski	duży garnek baniasty	zagładzana	głina lodowcowa	szamot	brak	bardzo niski
WSR-P14	Łodygowo, st. 1	Kisielice	iławski	mały garnek baniasty	zagładzana	ii/mutek lub gлина lodowcowa	szamot, tluczeń ?	skalenie ?	niski
WSR-P15	Łodygowo, st. 1	Kisielice	iławski	mały garnek z wydzieloną szyjką, silnie baniasty	szorstka	ii/mutek	tluczeń, szamot	skalenie, amfibole ?	niski
WSR-P16	Łodygowo, st. 1	Kisielice	iławski	średniej wielkości garnek z wydzieloną szyjką, baniasty	zagładzana	głina lodowcowa	szamot	brak	niski
WSR-P17	Łodygowo, st. 1	Kisielice	iławski	średniej wielkości garnek baniasty	zagładzana	ii/mutek	tluczeń, szamot	skalenie	niski
WSR-P18	Susz, st. 1	Susz	iławski	średniej wielkości garnek baniasty	szorstka	ii/mutek	tluczeń, szamot ?	skalenie	średni

Tabela 3. C.d.
Table 3. Continued

Nazwa próbki	Stanowisko	Gmina	Powiat	Forma naczynia	Rodzaj powierzchni	Surowiec bazowy	Schudzenie	Topniki	Stopień wypatu
WSR-P19	Łodygowo, st. 2	Kisielice	iławski	duży garnek	zagięta pod wylewem, niżej szorstka	il/mutek lub glina lodowcowa	tluczeń ?, szamot	brak	bardzo niski
WSR-P20	Łodygowo, st. 2	Kisielice	iławski	mały garnuszek ba- niasty z prostą szyjką	zagięta	il/mutek lub glina lodowcowa	tluczeń ?, szamot	skalenie	bardzo niski
WSR-P21	Łodygowo, st. 2	Kisielice	iławski	duży garnek esowaty	szorstka	il/mutek lub glina lodowcowa	tluczeń, szamot	skalenie	niski
WSR-P22	Łodygowo, st. 2	Kisielice	iławski	średniej wielkości garnek	szorstka, zagięta pod wylewem	il/mutek lub glina lodowcowa	tluczeń, szamot	skalenie	bardzo niski
WSR-P23	Łodygowo, st. 2	Kisielice	iławski	mały garnuszek	szorstka, zagięta pod wylewem	il/mutek lub glina lodowcowa	tluczeń ?, szamot	skalenie	wysoki
WSR-P24	Zajączki, st. 1	Ostróda	ostródzki	duży garnek esowaty	szorstka	il/mutek	tluczeń, szamot ?	skalenie	średni
WSR-P25	Zajączki, st. 1	Ostróda	ostródzki	duży garnek esowaty	szorstka	il/mutek	tluczeń, szamot	skalenie	wysoki
WSR-P26	Zajączki, st. 1	Ostróda	ostródzki	duży garnek baniasty	szorstka	glina lodowcowa	szamot ?	brak	wysoki
WSR-P27	Zajączki, st. 1	Ostróda	ostródzki	duży garnek baniasty	szorstki	il/mutek	tluczeń, szamot	skalenie	wysoki
WSR-P28	Zajączki, st. 1	Ostróda	ostródzki	duży garnek esowaty	szorstki	il/mutek	tluczeń, szamot	skalenie	średni
WSR-P29	Zajączki, st. 1	Ostróda	ostródzki	garnuszek baniasty	szorstki	glina lodowcowa	brak	brak	niski
WSR-P30	Morliny, st. 1	Ostróda	ostródzki	duże naczynie szero- kootworowe	zagięta	glina lodowcowa	szamot	brak	bardzo niski
WSR-P31	Morliny, st. 1	Ostróda	ostródzki	średniej wielkości garnek baniasty	zagięta	il/mutek	tluczeń, szamot ?	skalenie	wysoki
WSR-P32	Morliny, st. 1	Ostróda	ostródzki	średniej wielkości naczynie szeroko- otworowe	gładka	glina lodowcowa	tluczeń ?, szamot	skalenie ?	bardzo niski
WSR-P33	Morliny, st. 1	Ostróda	ostródzki	duży garnek	szorstka	il/mutek	tluczeń, szamot	skalenie	bardzo niski
WSR-P34	Durąg, st. 1	Ostróda	ostródzki	garnuszek baniasty z cylindryczną szyjką	zagięta	glina lodowcowa	brak	brak	bardzo niski
WSR-P35	Łodygowo, st. 2	Kisielice	iławski	prążnica		il/mutek	szamot	brak	bardzo niski

Tabela 4. Opis próbek ceramiki z okresu późnego średniowiecza i wyniki ich analizy petrograficznej (oprac. M.J. Bojanowski i U. Kobylińska)
Table 4. Description of pottery samples from the Late Middle Ages and results of their petrographic analysis: raw material, temper and flux, and the degree of firing (elaborated by M.J. Bojanowski and U. Kobylińska)

Nazwa próbki	Stanowisko	Gmina	Powiat	Forma naczynia	Rodzaj powierzchni	Surowiec bazowy	Schudzenie	Topniki	Stopień wypatu
PSR-P1	Mozgowo, st. 1	Zalewo	ilawski	średniej wielkości garnek o rozchylonym wylewie	zagładzana	glina lodowcowa	szamot	brak	wysoki
PSR-P2	Mozgowo, st. 1	Zalewo	ilawski	średniej wielkości garnek baniasty	zagładzana	glina lodowcowa	szamot ?	brak	wysoki
PSR-P3	Mozgowo, st. 1	Zalewo	ilawski	duży garnek baniasty	zagładzana	glina lodowcowa	szamot	brak	bardzo wysoki
PSR-P4	Boreczno, st. 4	Zalewo	ilawski	duży dzban baniasty	gładka	il/mutek	piasek fluwialny, szamot	brak	niski
PSR-P5	Mozgowo, st. 1	Zalewo	ilawski	średniej wielkości garnek baniasty	szorstka	il/mutek lub glina	piasek fluwialny ?	brak	bardzo wysoki
PSR-P6	Boreczno, st. 4	Zalewo	ilawski	duży dzban	gładka	il/mutek	piasek fluwialny, szamot	brak	Niski
PSR-P7	Boreczno, st. 4	Zalewo	ilawski	duży garnek	gładka	il/mutek	piasek fluwialny	brak	wysoki
PSR-P8	Łodygowo, st. 1	Kisielice	ilawski	średniej wielkości garnek baniasty	szorstka	il/mutek	piasek fluwialny, szamot	brak	niski
PSR-P9	Trupel, st. 1	Kisielice	ilawski	duży dzban	gładka	il/mutek	piasek fluwialny, szamot	brak	wysoki
PSR-P10	Trupel, st. 1	Kisielice	ilawski	szerokotworowa waza z ozdobnym wylewem	gładka	il/mutek	piasek fluwialny, szamot	brak	niski
PSR-P11	Miłomłyn, st. 3	Miłomłyn	ostródzki	duży dzban	gładka	il/mutek	piasek fluwialny, szamot	brak	średni
PSR-P12	Miłomłyn, st. 3	Miłomłyn	ostródzki	średniej wielkości garnek baniasty	gładka	il/mutek	piasek fluwialny, szamot ?	brak	niski
PSR-P13	Miłomłyn, st. 3	Miłomłyn	ostródzki	duży dzban	wyswiecona	il/mutek	piasek fluwialny	kości	bardzo wysoki
PSR-P14	Miłomłyn, st. 3	Miłomłyn	ostródzki	duży garnek	gładka	il/mutek lub glina lodowcowa	piasek fluwialny ?, szamot	brak	niski
PSR-P15	Miłomłyn, st. 3	Miłomłyn	ostródzki	duży dzban z uchem	gładka	il/mutek	piasek fluwialny, szamot	brak	niski
PSR-P16	Miłomłyn, st. 3	Miłomłyn	ostródzki	duży dzban	gładki	il/mutek	piasek fluwialny, szamot	brak	wysoki
PSR-P17	Grabin, st. 1	Ostróda	ostródzki	średniej wielkości dzban	siwa, matowa	il/mutek	piasek fluwialny, szamot	brak	bardzo wysoki
PSR-P18	Grabin, st. 1	Ostróda	ostródzki	duży dzban	siwa, matowa	il/mutek	piasek fluwialny, szamot	brak	wysoki
PSR-P19	Grabin, st. 1	Ostróda	ostródzki	dzbanek	siwa, matowa	il/mutek	piasek fluwialny	brak	bardzo wysoki
PSR-P20	Durąg, st. 1	Ostróda	ostródzki	duży dzban	siwa, matowa	il/mutek	piasek fluwialny, szamot	brak	bardzo wysoki
PSR-P21	Durąg, st. 1	Ostróda	ostródzki	duży talerz	siwa, wyswiecona	il/mutek	brak	biotyt	wysoki

Tabela 5. Właściwości technologiczne ceramiki w zestawieniu chronologicznym (liczby oznaczają liczbę próbek spełniających dane kryterium z podanym udziałem procentowym dla danego okresu). Stopnie wypału wyróżnione zostały na podstawie cech optycznych matriks oraz obecności węglianów: „b niski” - całość matriks anizotropowa, możliwa obecność węglianów (mogą być częściowo rozłożone); „niski” - większość matriks anizotropowa, możliwa obecność węglianów (mogą być częściowo rozłożone); „średni” - zrównoważone proporcje pomiędzy izotropowym a anizotropowym matriks; „wysoki” - większość matriks izotropowa; „b. wysoki” - całość matriks izotropowa (oprac. M.J. Bojanowski)

Table 5. Summary of technological properties of pottery samples in various chronological periods (elaborated by M.J. Bojanowski)

Chronologia	Stopień wypału	Szamot	Topniki skaleniowe	Ceglaste ziarna	Rozdział frakcji	Skalenie > kwarc	Tłuczeń	Piasek	Surowiec bazowy	Inne składniki lub cechy
wczesna epoka żelaza 35 próbek	b. niski – 16 (46%) niski – 12 (34%) średni – 0 wysoki – 6 (17%) b. wysoki – 1 (3%)	28-29 (80-83%)	22-24 (63-69%)	32 (91%)	20-25 (57-71%)	21-23 (60-66%)	25-28 (71-80%)	0	ił/mutek 23-27 (66-77%), głina 8-12 (23-34%)	drewno 3, dolepiany brzeg 1, rudy darniowe 3, wivianit 1
kultura wielbarska 1 próbka	niski	+	?	-	+	-	+	-	ił/mutek	
wczesne średnio-wieczne 35 próbek	b. niski – 10 (29%) niski – 8 (23%) średni – 6 (17%) wysoki – 11 (31%) b. wysoki – 0	23-29 (66-83%)	17-20 (39-57%)	27-28 (77-80%)	13-21 (37-60%)	12-15 (34-43%)	17-23 (39-66%)	0	ił/mutek 16-18 (46-51%), głina 17-19 (49-54%)	drewno 1, kości 2, dolepiany brzeg 1-2, rudy darniowe 2, wivianit 1
późne średniowiecze 21 próbek	b. niski – 0 niski – 7 (33%) średni – 1 (5%) wysoki – 6 (29%) b. wysoki – 7 (33%)	14-16 (67-76%)	0	12-14 (57-67%)	1 (5%)	0	0	15-17 (71-81%)	ił/mutek 16-18 (76-86%), głina 3-5 (14-24%)	biotyt jako topnik 1, wivianit 1, kości 1-2, drewno 0-2

WYNIKI BADAŃ I ICH DYSKUSJA

Właściwości szkieletu ziarnowego

Najczęściej występującymi litoklastami są okruchy skał plutonicznych: granitoidów (zasobne w kwarc z dodatkiem skaleni, plagioklazów, łuszczyków; ryc. 6A-B), syenitoidów (zasobne w skalenie alkaliczne z dodatkiem plagioklazów i kwarcu; ryc. 6C-D) oraz skał metamorficznych zasobnych w kwarc (kwarcytów i gnejsów). Rzadziej występują okruchy skał wulkanicznych zasobnych w krzemionkę (ryolitów) oraz skał magmowych ubogich w krzemionkę: gabroidów (ryc. 6E-F), perydotytów (ryc. 6G-H), bazaltów lub diabazów. Podobnie rzadko występują klasty skał metamorficznych: amfibolitów (zasobne w amfibole z dodatkiem kwarcu, skaleni alkalicznych i biotyту), łupków łuszczykowych (zasobne w łuszczyki i kwarc) oraz marmurów (zasobne w węglany). Najrzadziej spotykane są litoklasty skał osadowych: piaskowców kwarcytowych, skał krzemionkowych, wapieni, pyłowców i ilowców. Pojawiają się charakterystyczne dla granitoidów i syenitoidów tekstury granofirowe - zorientowane przerosty kwarcu i skaleni potasowego (ryc. 6C-D). Rzadziej występują litoklasty z robaczkowatymi przerostami kwarcu i skaleni (myrmekity). Ziarna monomineralne reprezentowane są głównie przez kwarc i skalenie (część jest alkaliczne niż plagioklasy). Skalenie alkaliczne są często zsercytyzowane, a plagioklasy zmienione w wyniku saussurytyzacji. W szkielecie ziarnowym wielu próbek zawartość skaleni przeważa (czasem znacząco) nad zawartością kwarcu. Minerale maficzne reprezentowane są głównie przez biotyt i amfibole. Zaledwie w kilku próbkach zawartość tych minerałów przekracza 5%.

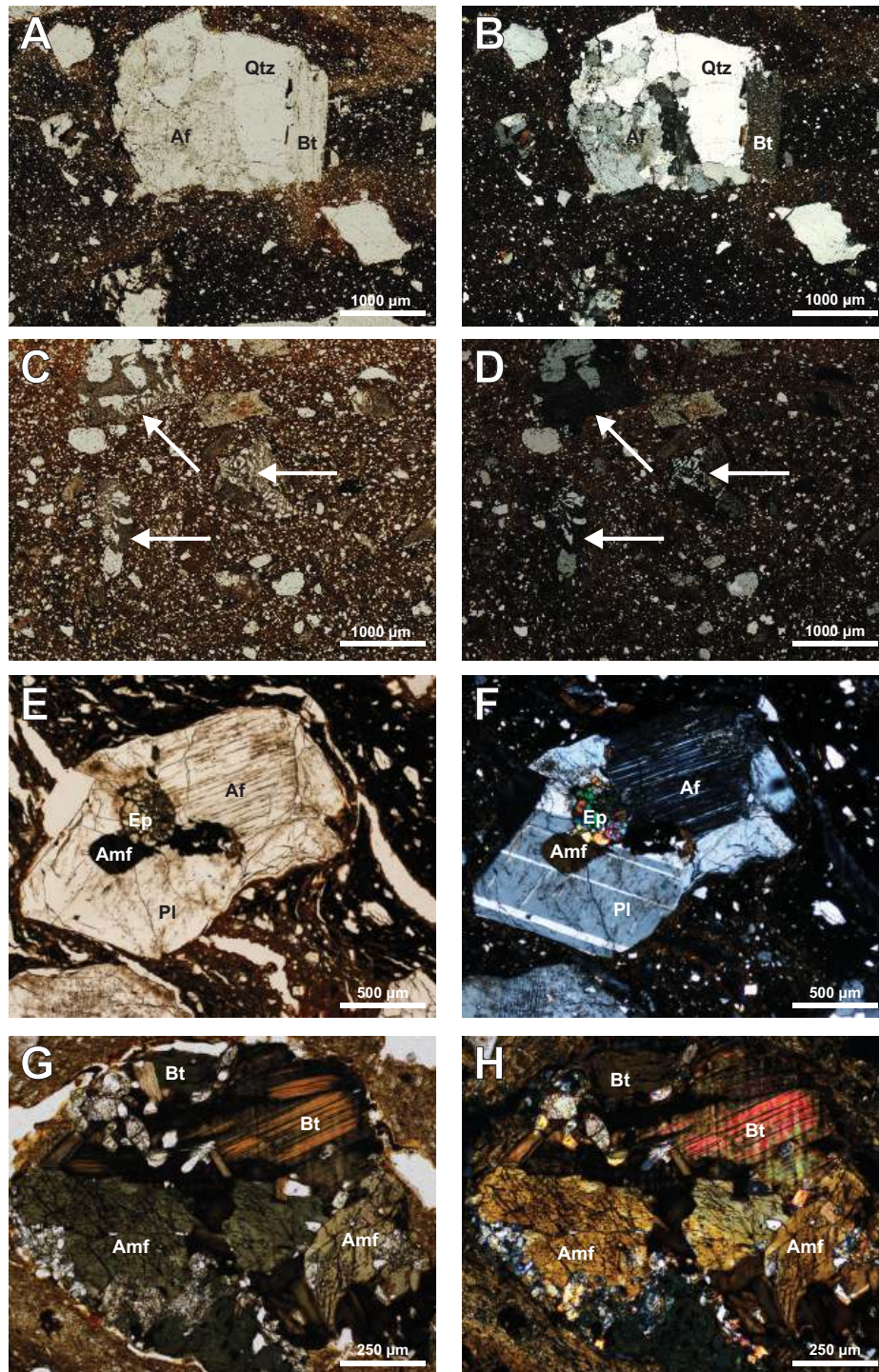
Na szczególną uwagę zasługują dość często występujące ziarna wcześniej wypalanej gliny (szamotu), które dodawane były do masy ceramicznej jako składnik schudzający (ryc. 7A-B). W pojedynczych próbkach występują także izotropowe okruchy kryptokrystalicznych fosforanów (kollofanu). Są one zabarwione na żółto lub brązowo, zapewne przez zaadsorbowane utlenione tlenki lub wodorotlenki żelaza. Niektóre z nich są fragmentami elementów szkieletowych kręgowców, np. ryb (ryc. 7C-D). Inne zawierają również materiał detrytyczny i charakteryzują się wyższą zawartością Fe, więc mogą być okruchami rud darniowych (ryc. 7E-F). Zidentyfikowano również fragmenty zwęglonego drewna, wokół których często występuje otoczka o czarnej barwie będąca wynikiem wytworzenia się warunków niedoboru tlenu wokół spalanych szczątków organicznych (ryc. 7G-H).

Charakterystyka surowców wykorzystanych do wyrobu ceramiki

Pod względem surowców wykorzystanych do wyrobu badanej ceramiki, próbki należy podzielić na trzy grupy. Zazwyczaj wysortowanie materiału w ceramice jest

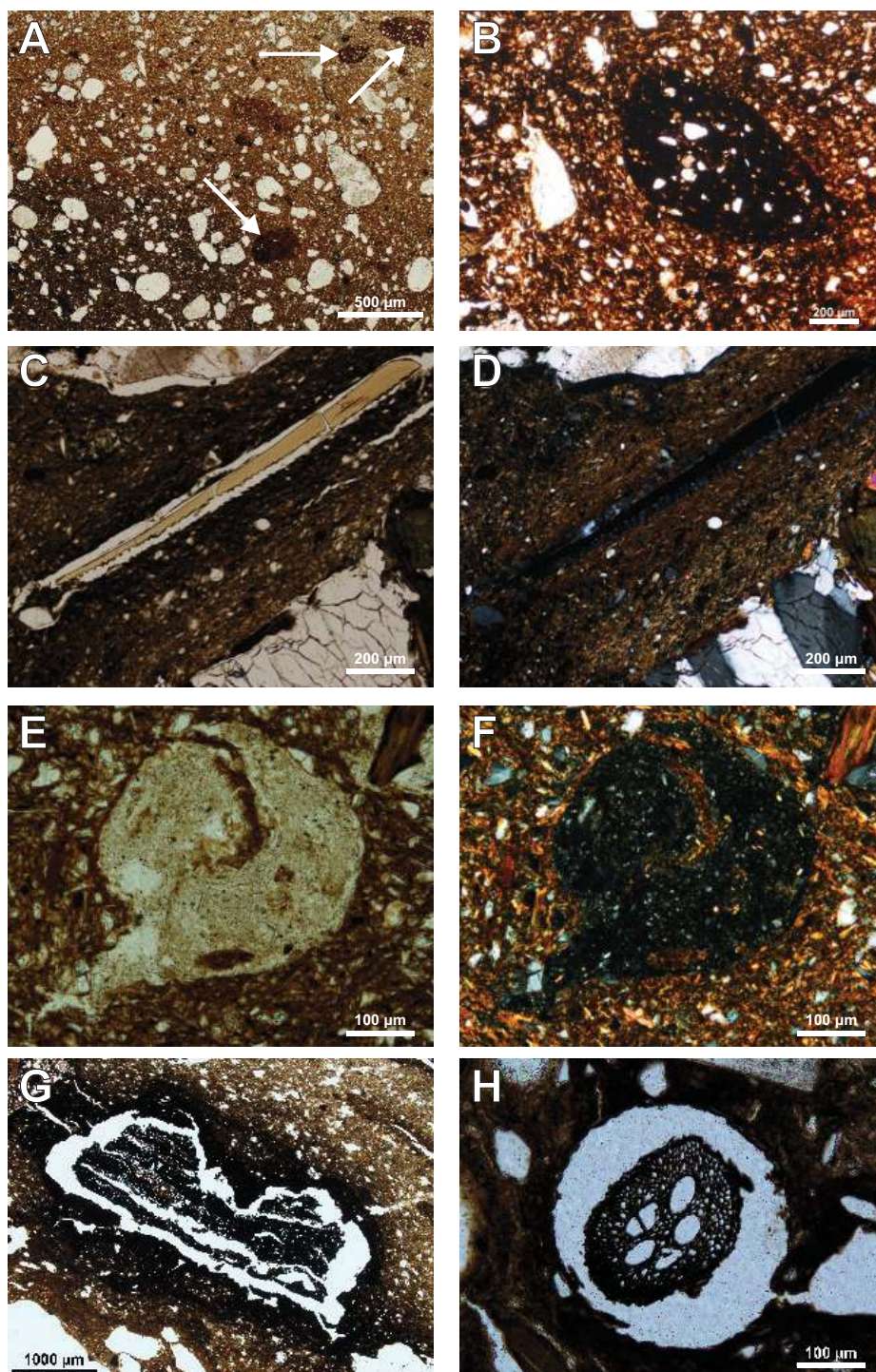
słabe, jak to ma miejsce w glinach lodowcowych. Gliny charakteryzują się jednak ciągłością w wielkości ziaren od najdrobniejszych do najgrubszych. W badanym materiale najliczniejszą grupę stanowią próbki ceramiki o wyraźnym rozdziale frakcji, co jest wynikiem sporządzania masy ceramicznej nie z gliny lodowcowej, a z osadów ilastych lub ilasto-mułkowych zmodyfikowanych poprzez dodanie materiału gruboziarnistego jako schudzenia i/lub topnika. Dodawany do masy ceramicznej materiał gruboziarnisty był różnorodny. W największej ilości próbek z tej grupy wśród najgrubszej frakcji dominują skalenie, a nie kwarc. Taka sytuacja wydaje się mało prawdopodobna w osadach polodowcowych, a przynajmniej rzadka. Powodem tego jest fakt, że kwarc jest najpospolitszym minerałem w lokalnych osadach polodowcowych oraz to, że ma znacząco wyższą odporność mechaniczną i chemiczną niż skalenie. Dlatego, do schudzenia próbek o wyraźnym rozdziale frakcji i przewadze skaleni nad kwarcem w najgrubszej frakcji najprawdopodobniej użyto materiału o podkoncentrowanej zawartości skaleni. Szczególnie wyraźne jest to w próbkach zawierających okruchy syenitoidów z charakterystyczną teksturą przerostów granofirowych skaleni i kwarcu, które nie występują w drobniejszym materiale tych próbek (ryc. 6C-D). Co więcej, często grube ziarna skaleni i litoklastów zasobnych w skalenie są wyraźnie bardziej ostrokrawędziste niż ziarna w drobniejszej frakcji. Skalenie uzyskiwane były w takich przypadkach najprawdopodobniej poprzez rozłukiwanie głazów narzutowych zasobnych w te minerały. Taka obróbka powodowała pękanie kryształów wzdłuż łupliwości i brak jakiegokolwiek zaokrąglenia ich naroży. W próbce WEŻ-P29 z Kamionki, st. 9 obserwować można wszystkie typowe cechy wskazujące na schudzenie tłucznem skaleniowym: rozdział frakcji, przewagę skaleni nad kwarcem i brak obtoczenia skaleni (ryc. 8). Dodatek alkaliów do masy ceramicznej powoduje obniżenie temperatury wypału. Poza schudzaniem, koncentrat skaleniowy mógł być dodawany także w takim właśnie celu. Podobny cel mogło mieć dodawanie amfiboli, biotyту czy fosforanów, które także są źródłem alkaliów. Potencjalnych próbek tego typu jest jednak niewiele i jest to mniej pewne niż w przypadku skaleni.

Druga grupa próbek charakteryzuje się dominacją kwarcu, obecnością grubych frakcji (żwirowej lub przynajmniej piasku bardzo grubego), zróżnicowanym stopniem obtoczenia oraz ciągłością w uziarnieniu szkieletu ziarnowego. Te cechy pozwalają sądzić, że glina lodowcowa stanowiła surowiec bazowy do produkcji ceramiki. Modelem przedstawicielem tej grupy jest próbka WSR-P26 z Zajęczków, st. 1 (ryc. 9). Większość próbek z tej grupy wytwarzana była z gliny bez istotnych modyfikacji (poza dodawaniem szamotu lub barwnika). Nieliczne próbki mają jednak cechy pośrednie pomiędzy dwiema omówionymi grupami, gdyż zawierają duże okruchy we frakcji piaskowej i żwirowej zasobne w skalenie o cechach tłuczni, ale wykazują ciągłość uziarnienia i mają wysoką zawartość frakcji aleurytowej i drobnego piasku. Taka



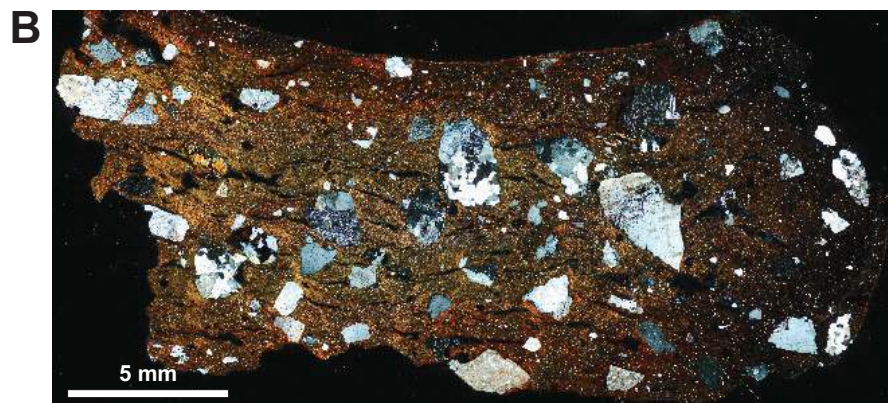
Ryc. 6. Mikrofotografie głównych typów litoklastów: granitoidy (A-B; próbka WSR-P3 - Kamionka, st. 9), syenitoidy z przerostami granofirowymi (oznaczone strzałkami; C-D; próbka WEŻ-P1 - Kamionka, st. 9), gabroidy (E-F; próbka WSR-P25 - Zajączki, st. 1), perydotyty (G-H; próbka WEŻ-P29 - Stary Folwark, st. 1). Użyte symbole: Qtz - kwarcz, Af - skaleń alkaliczny, Pl - plagioklaz, Amf - amfibol, Bt - biotyt, Ep - epidot. A, C, E i G - jeden nikol, B, D, F i H - nikole skrzyżowane (fot. M.J. Bojanowski)

Fig. 6. Microphotographs of the main lithoclast types: granitoids (A-B; sample WSR-P3 - Kamionka, site 9), syenitoids with gabbroic texture (arrows; C-D; sample WEŻ-P1 - Kamionka, site 9), gabbroids (E-F; sample WSR-P25 - Zajączki, site 1), peridotites (G-H; sample WEŻ-P29 - Stary Folwark, site 1). Symbols used: Qtz - quartz, Af - alkali feldspar, Pl - plagioclase, Amf - amphibole, Bt - biotite, Ep - epidote. A, C, E and G - plane polarised, B, D, F and H - cross polarised light (photo by M.J. Bojanowski)



Ryc. 7. Mikrofotografie składników dodawanych do masy ceramicznej: ziarna szamotu (oznaczone strzałkami; A i B; próbki PSR-P4 - Boreczno, st. 4 i WSR-P2 - Kamionka, st. 9, odpowiednio), element szkieletowy kręgowca (prawdopodobnie ryby) zbudowany z fosforanu wapnia (C-D; próbka WEŻ-P29 - Stary Folwark, st. 1), okruch rudy darniowej (E-F; próbka WSR-P32 - Morliny, st. 1), zwęglone drewno (G i H; próbki WEŻ-P16 - Tałtawki, st. 2 i WEŻ-P9 - Strużyna, st. 21, odpowiednio). A, B, C, E, G i H - jeden nikol, D i F - nikole skrzyżowane (fot. M.J. Bojanowski)

Fig. 7. Microphotographs of temper added to the clay body: grog (arrows; A and B; samples PSR-P4 - Boreczno, site 4, and WSR-P2 - Kamionka, site 9, respectively), skeletal remain of a vertebrate (probably fish) composed of calcium phosphate (C-D; sample WEŻ-P29 - Stary Folwark, site 1), bog iron ore fragment (E-F; sample WSR-P32 - Morliny, site 1), carbonised wood (G and H; samples WEŻ-P16 - Tałtawki, site 2, and WEŻ-P9 - Strużyna, site 21, respectively). A, B, C, E, G and H - plane polarised, D and F - cross polarised light (photo by M.J. Bojanowski)



Ryc. 8. Mikrofotografie całej próbki ceramiki (A - jeden nikol, B - nikole skrzyżowane; próbka WEŻ-P29 - Stary Folwark, st. 1) wytworzonej z iłu lub mułku z dodatkiem tłucznia skaleniowego (fot. M.J. Bojanowski)

Fig. 8. Microphotographs of an entire thin section of a sample (A - plane polarised, B - cross polarised light; sample WEŻ-P29 - Stary Folwark, site 1) produced from clay or silt with an addition of feldspar-rich breakstone (photo by M.J. Bojanowski)

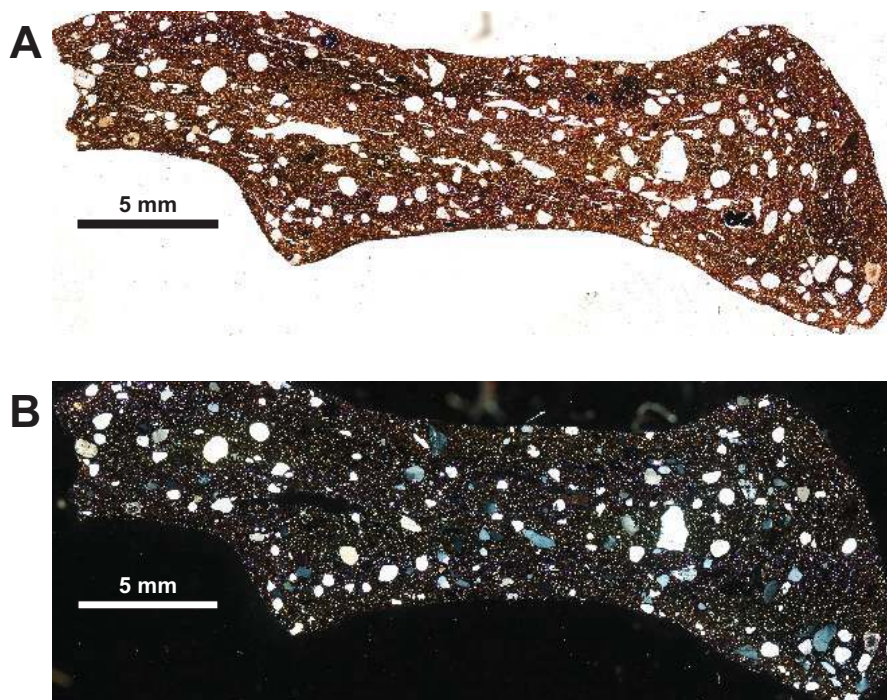


Ryc. 9. Mikrofotografie całej próbki ceramiki (A - jeden nikol, B - nikole skrzyżowane; próbka WSR-P26 - Zajęczki, st. 1) wytworzonej z gliny lodowcowej bez modyfikacji (fot. M. Surowski)

Fig. 9. Microphotographs of an entire thin section of a sample (A - plane polarised, B - cross polarised light; sample WSR-P26 - Zajęczki, site 1) produced from till without modifications (photo by M. Surowski)

Ryc. 10. Mikrofotografie całej próbki ceramiki (A - jeden nikel, B - nikole skrzyżowane; próbka PSR-P20 - Durąg, st. 1) wytworzonej z iltu lub mułku z dodatkiem piasku fluwialnego (fot. M. Surowski)

Fig. 10. Microphotographs of an entire thin section of a sample (A - plane polarised, B - cross polarised light; sample PSR-P20 - Durąg, site 1) produced from clay or silt with an addition of fluvial sand (photo by M. Surowski)



charakterystyka sugeruje, że surowcem bazowym była wprawdzie glina, ale zmodyfikowana przez dodanie tłucznia skaleniowego. Sporządzanie masy ceramicznej z iltów lub mułków schudzonych koncentratem skaleniowym oraz z glin lodowcowych charakterystyczne jest dla próbek starożytnych i z wczesnego średniowiecza (tab. 5). W stosunku do ceramiki starożytnej, próbki wczesnośredniowieczne charakteryzujących się jednak niższą częstością występowania rozdziału frakcji, topników skaleniowych, tłucznia i przewagi skaleni nad kwarcem.

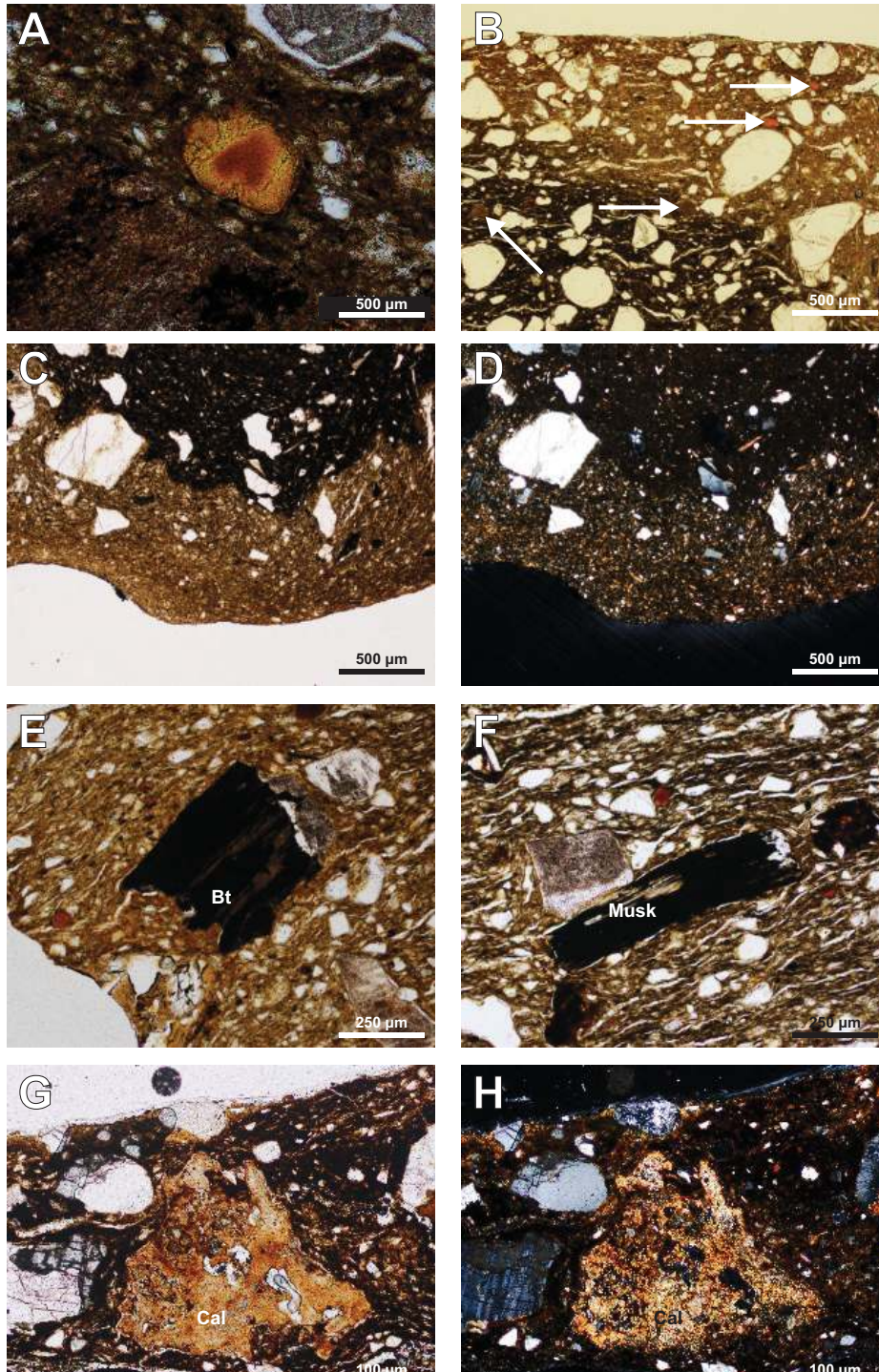
Trzecia grupa próbek pochodzi wyłącznie ze stanowisk późnego średniowiecza i ma zdecydowanie inne właściwości niż opisane powyżej, gdyż charakteryzuje się nieobecnością grubych frakcji (żwirowej i piasku bardzo grubego), wyjątkowo dobrym obtoczeniem i wysortowaniem szkieletu ziarnowego, jak np. w próbce PSR-P20 z Durąga, st. 1 (ryc. 10). Ponadto, materiał ten składa się głównie z kwarcu z niewielkim dodatkiem skaleni we frakcji nie przekraczającej 1 mm. Tak dobre obtoczenie i wysortowanie ziaren piasku w glinie lodowcowej jest niezwykle rzadkie. Bardziej prawdopodobne jest, że surowcem dla tych wyrobów ceramicznych była skała ilasta lub mułkowa schudzona piaskiem kwarcowym pochodzenia fluwialnego. Piaski tego typu charakteryzują się bardzo dobrym obtoczeniem i selekcją materiału ziarnowego.

Właściwości matriks

Matriks stanowi zazwyczaj większość objętości próbek. Najczęściej, przynajmniej w brzegowej strefie, matriks jest zabarwiony na brunatno lub pomarańczowo. W strefach zabarwionych często spotyka się bardzo drobne ce-

glasto-czerwone ziarna (ryc. 11A). Obecność tych ziaren może więc mieć związek z zabarwieniem czerepu. Ziarna te są mieszaniną mineralną minerałów ilastych, krzemionki i tlenków żelaza. Często, choć nie zawsze, zawierają także fosforany. Możliwe jest, że rozdrobniona ruda darniowa była dodawana do masy ceramicznej, aby ją zabarwić. Czerwona barwa matriks może wynikać z obecności rozproszonych bardzo drobnych, niedostrzegalnych mikroskopowo ziaren rudy darniowej, a rozpoznawalne pod mikroskopem polaryzacyjnym drobne ceglasto-czerwone ziarna stanowią zapewne wtórne wytrącenia tlenków/wodorotlenków żelaza.

Z uwagi na bardzo drobnoziarnistą budowę, analizy chemiczne matriks zostały wykonane za pomocą analiz w mikroobszarze, co dało ich uśredniony skład. Matriks składa się przede wszystkim z krzemionki oraz glinokrzmianów K, Mg i Fe (minerałów ilastych i tyszczyków) z dodatkiem tlenków i wodorotlenków Fe. Minerale ilaste są z natury anizotropowe optycznie. Podczas wypału w temperaturze pomiędzy 500 a 1000°C struktura minerałów ilastych ulega stopniowo zniszczeniu, a produkty ich przemian są najczęściej izotropowe optycznie. W badanych próbkach cechy optyczne matriks są różne i zależą głównie od stopnia wypału. Matriks większości próbek ma anizotropowy charakter, co wskazuje na niezniszczoną strukturę minerałów ilastych i stosunkowo niski stopień wypału. Potwierdzają to także analizy dyfrakcji rentgenowskiej (patrz poniżej). Niektóre próbki mają matriks niejednolite, częściowo izotropowe i anizotropowe, a tylko nieliczne są w większości lub całkowicie izotropowe. Granice pomiędzy strefą zabarwioną a niezabarwioną oraz pomiędzy strefą izotropową a anizotropową są zazwyczaj stopniowe i mogą wynikać ze znacznego gradien-



Ryc. 11. Mikrofotografie cech technologicznych istotnych dla określenia sposobu barwienia i temperatury wypału ceramiki. A i B - ceglasto-czerwone ziarna prawdopodobnie związane z dodatkiem rud darniowych jako barwnika (próbki WEŻ-P6 - Strużyna, st. 21, i WEŻ-P31 - Stary Folwark, st. 1, odpowiednio); w B widoczna jest zmiana barwy ziaren (oznaczone strzałkami) z czerwonej w brzeżnej (u góry) na oliwkową w centralnej partii (u dołu), co jest związane z niedoborem tlenu podczas wypału w środku czerepu i redukcji żelaza do Fe^{2+} . C-D - dolepiąca brzeżna partia naczyń (u dołu) charakteryzująca się niższym stopniem wypału o anizotropowym matryks w stosunku do centralnej części czerepu (u góry) o izotropowym matryks (próbka WSR-P27 - Zajączki, st. 1). E i F - częściowo zniszczona struktura łyśczyków (próbka WEŻ-P27 - Stary Folwark, st. 1); G-H - częściowo rozłożony kalcyt w ziarnie węglanowym (próbka WSR-P15 - Łodygowo, st. 1). Użyte symbole: Bt - biotyt, Musk - muskowitz, Cal - kalcyt. A, B, C, E, F i G - jeden nikol, D i H - nikole skrzyżowane (fot. M.J. Bojanowski)

tu temperatury i/lub warunków redoks w obrębie naczynia w czasie wypału. Ta druga ewentualność powoduje efekt typu *black core*, który polega na redukcji związków żelaza do Fe^{2+} jedynie w wewnętrznej części czerepu w wyniku krótkotrwałego wypalania w warunkach niedoboru tlenu. Przykładem tego efektu jest zabarwienie ziaren żelazistych, które zmienia się od czerwonych odcieni (od obecności Fe^{3+}) w zewnętrznej jaśniejszej partii do oliwkowych odcieni (od obecności Fe^{2+}) w wewnętrznej ciemnej części niektórych próbek (ryc. 11B). Niemniej jednak w kilku próbkach granica ta jest ostra i rozdziela wewnętrzną niezabarwioną od zewnętrznej zabarwionej części. Taka tekstura sugeruje, że najpierw naczynie zostało wypalone bez dodatku barwnika, a następnie oblepione masą ceramiczną z dodatkiem barwnika i ponownie wypalone. Jeśli powtórny wypał odbywał się w niższej temperaturze niż podczas pierwszego wypału, matriks w wewnętrznej części naczynia może charakteryzować się wyższym stopniem wypału (może być całkowicie izotropowe) w stosunku do matriks w dolepionej zewnętrznej partii, gdzie może być anizotropowe (ryc. 11C-D). Analiza chemiczna w mikroobszarze matriks z wewnętrznej części i z dolepionej brzeżnej partii wykazała, że materiał z obu części różni się jedynie nieznacznie. Dolepiona część charakteryzuje się wyższą zawartością Fe, Ca i fosforanów, co potwierdza, że dolepiona część naczynia została zabarwiona poprzez dodanie do masy ceramicznej rudy darniowej, która w dużej mierze składa się z tlenków/wodorotlenków Fe i fosforanu Ca.

Wskaźniki temperatury wypału

Badania dyfrakcji rentgenowskiej posłużyły do oznaczenia głównych faz mineralnych ceramiki. Stwierdzono obecność następujących minerałów: kwarc, skalenie alkaliczne (ortoklaz, mikroklin, anortoklaz), plagioklasy (głównie albit), minerały ilaste (illit i smektyty - montmorillonit lub beidellit), łyszczyki (biotyt i muskowitz), amfibole (hornblenda i antofyllit), tlenki żelaza (hematyt i magnetyt), epidoty, chloryty (klinochlor), oliwiny (fajalit), piryty, węglany (kalcyt i dolomit). Kwarc, skalenie alkaliczne, plagioklasy i minerały ilaste występują we wszystkich próbkach i w największych ilościach. Łyszczyki i amfibole występują w większości próbek i w niewielkich ilościach. Pozostałe

minerały występują sporadycznie i zazwyczaj stanowią śladowe ilości. Koincydencja pików illitu, muskowitzu i biotyty uniemożliwiła w większości próbek określenie który z tych minerałów został zarejestrowany. Najprawdopodobniej wszystkie trzy współwystępują w większości próbek, co potwierdzają wyniki badań mikroskopowych.

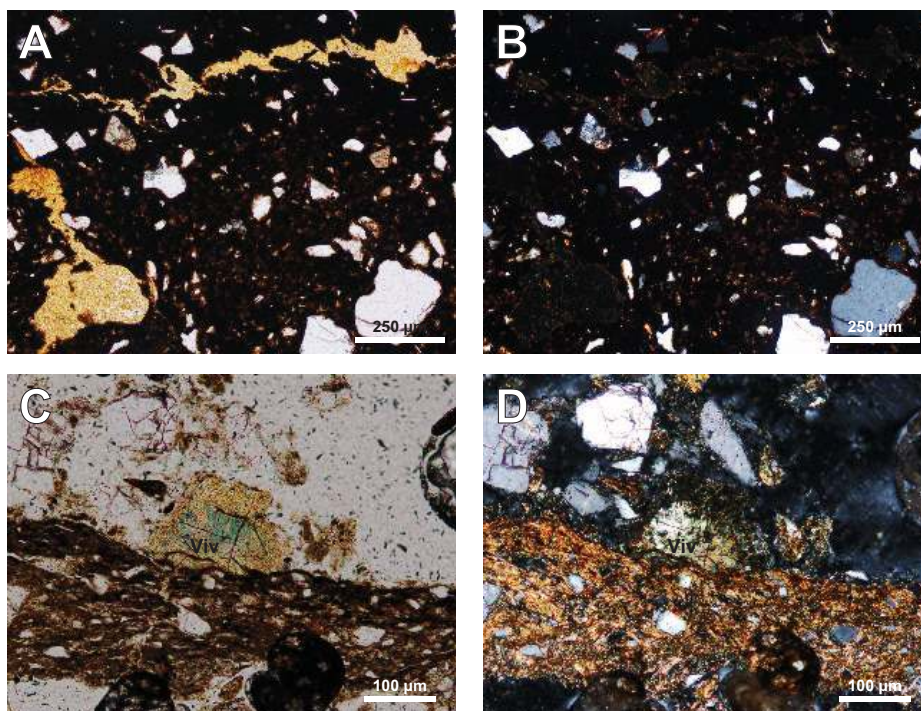
Obecność i charakter różnych minerałów jest także wskaźnikiem temperatury wypału. Z racji braku ewidentnych a typowych dla procesu obróbki termicznej (tj. pirometamorfizmu) minerałów wskaźnikowych (np. mullit, sillimanit) lub trudności z ich potwierdzeniem (np. kwarc- β – koincydencja refleksów) dokładna ocena temperatury wypału jest niemożliwa. Badane próbki ceramiki zawierają najwyżej częściowo zniszczone minerały ilaste (z grupy illitu i smektytów, np. montmorillonit czy beidellit) i łyszczyki (biotyt i muskowitz). Zachowanie struktury tych minerałów jest świadectwem, że temperatura wypału nie przekraczała wartości rzędu $1000^{\circ}C$, gdyż wówczas doszło by do całkowitego zniszczenia struktury minerałów ilastych i łyszczyków oraz syntezy mullitu czy sillimanitu. Ponadto, mikroklin uległby przemianom w sanidyn. Destrukcyjna strukturalna illitu i montmorillonitu rozpoczyna się w temperaturze $800^{\circ}C$ ⁵, co wskazuje, że próbki o wysokiej zawartości izotropowego matriks i niskiej zawartości minerałów ilastych zostały wypalone w temperaturze najwyżej nieznacznie przekraczającej tę wartość. W kilku próbkach biotyt jest mocno zmieniony poprzez zastąpienie jego pierwotnej anizotropowej struktury substancją nieprzeźroczystą. Najczęściej tylko część danego ziarna biotyty jest w ten sposób zmieniona, a część pozostała pierwotna (ryc. 11E). Porównanie składu chemicznego niezmiennych i przeobrażonych partii poszczególnych ziaren (za pomocą analiz chemicznych w mikroobszarze) pozwoliło stwierdzić, że przemiana polegała na zubożeniu biotyty w krzemionkę, K, Na, Ti i wydzieleniu żelaza i tytanu w postaci tlenków. Najprawdopodobniej, przyczyną tych przemian była częściowa dehydroksylacja biotyty w wyniku oddziaływania wysokiej temperatury przekraczającej $800^{\circ}C$ ⁶. Podobnie został w niektórych próbkach zmieniony muskowitz (ryc. 11F), co wskazuje na temperaturę wypału przynajmniej $750^{\circ}C$ ⁷.

⁵ Querol *et al.* 1994; Nel 2009.

⁶ Hoggs i Meads 1975.

⁷ Mackenzie *et al.* 1987.

Fig. 11. Microphotographs of features used for interpretation of the colouring techniques and firing temperature. A and B – red grains probably associated with the addition of bog iron ore for colouring of the pottery (samples WEŻ-P6 - Strużyna, site 21, and WEŻ-P31 - Stary Folwark, site 1, respectively); a change of colour of the grains (arrows) from red in the margin (upper part) to green in the central part of the sample, which is caused by oxygen-deficient conditions and iron reduction to Fe^{2+} in the inner part of the pottery during firing, is observed in B. C-D – attached outer part of a vessel (down) with an anisotropic matrix and lower degree of firing than in the central part of the sample (upper) with an isotropic matrix (sample WSR-P27 - Zajęczi, site 1). E and F – partly destroyed structure of mica grains (sample WEŻ-P27 - Stary Folwark, site 1); G-H – partly dissociated calcite in a carbonate grain (sample WSR-P15 - Łodygowo, site 1). Symbols used: Bt - biotite, Musk - muscovite, Cal - calcite. A, B, C, E, F and G - plane polarised, D and H - cross polarised light (photo by M.J. Bojanowski)



Ryc. 12. Mikrofotografie składników wtórnych obecnych w przestrzeni porowej ceramiki. A-B - izotropowe optycznie tlenki/wodorotlenki Fe o pomarańczowym zabarwieniu wypełniające szczeliny (próbka WSR-P18 – Susz, st. 1); C-D - wiwianit (Viv) o żółto-niebieskim pleochroizmie w obrębie szczeliny (próbka WEŻ-P4 – Wieprz, st. 20). A i C - jeden nikol, B i D - nikole skrzyżowane (fot. M.J. Bojanowski)

Fig. 12. Microphotographs of secondary phases occurring in the pores. A-B - isotropic iron oxides or hydroxides with an orange colour filling cracks (sample WSR-P18 - Susz, site 1); C-D - viwanite (Viv) with a yellow-blue pleochroism within a crack (sample WEŻ-P4 Wieprz, site 20). A and C - plane polarised, B and D - cross polarised light (photo by M.J. Bojanowski)

Brak tego typu przemian łuszczyków w innych próbkach sugeruje temperatury niższe niż 750-800°C. Obecność chlorytów także zawęża górną temperaturę wypału kilku próbek, gdyż Nel⁸ wskazuje na temperaturę około 700°C jako górną granicę stabilności tej fazy.

Minimalna temperatura wypału jest trudna do oszacowania dla badanych próbek. W badaniach mikroskopowych popartych badaniami składu chemicznego w mikroobszarze potwierdzono obecność węglanów, które czasem są częściowo rozłożone (ryc. 11G-H). Temperatura 600°C to najniższa podawana temperatura rozkładu kalcytu⁹. Częściowe rozłożenie węglanów wskazuje, że została ona nieznacznie przekroczona, ale nie powyżej 750-800°C. Nieobecność węglanów w próbkach nie jest wskaźnikowa, gdyż minerały te mogły nie występować w surowcach i sporządzonej masie ceramicznej. Zaledwie śladowe ilości węglanów stwierdzone za pomocą dyfrakcji rentgenowskiej także nie mogą świadczyć o temperaturze wypalania, gdyż te fazy mogą być składnikiem wtórnym, który wytrącił się w obrębie przestrzeni poro-

wej ceramiki w okresie spoczywania w osadach. Rozstrzygająca jest w takich przypadkach forma występowania węglanów określana na podstawie badań mikroskopowych. W niektórych próbkach węglany występują jedynie w postaci wtórnych wypełnień przestrzeni porowych i wówczas nie są brane pod uwagę do określenia stopnia wypału. Innym wskaźnikiem minimalnej temperatury wypału może być kaolinit. Minerál ten nie został stwierdzony ani za pomocą dyfrakcji rentgenowskiej, ani podczas badań mikroskopowych czy w mikroobszarze. Jego nieobecność może sugerować, że temperatury wypału przekraczały 500-550°C.

Biorąc pod uwagę wszystkie powyższe wskaźniki temperatury wypału oraz stopnie wypału wyróżnione na podstawie badań mikroskopowych matriks można wysunąć następujące wnioski. Próbkki o całkowicie anizotropowym matriks (bardzo niski stopień wypału) i z niezmiennymi ziarnami węglanów wypalane były w temperaturze 500-600°C. Tak niski stopień wypału tłumaczy trudności w przygotowaniu płytek cienkich z tych próbek. W trakcie ich szlifowania przy użyciu zawiesin wodnych materiał był bardzo miękki i ulegał częściowemu upłynieniu zapewne w wyniku absorpcji wody przez minerały

⁸ Nel 2009.

⁹ Joesten 1976.

ilaste o nie do końca zniszczonej strukturze warstwowej. Próbki o niewielkiej zawartości izotropowego matriks (niski stopień wypału) zawierające częściowo zniszczone węglany lub niezmienione łuszczyki mogły być wypalane w temperaturze 600-800°C. Próbki o wysokiej zawartości izotropowego matriks (wysoki i bardzo wysoki stopień wypału) pozbawione ziaren węglanowych i chlorytów lub zawierające częściowo zmienione łuszczyki mogły być wypalane w temperaturze 800-1000°C.

Wśród zbadanych próbek zaznacza się wyraźna tendencja ku coraz wyższej temperaturze wypału w coraz młodszym materiale (tab. 5). Wysoki i bardzo wysoki stopień wypału (temperatura wypału raczej powyżej 800°C) został osiągnięty w 62% próbek pochodzących z późnego średniowiecza, podczas gdy w zaledwie 20% i 31% próbek pochodzących z wczesnej epoki żelaza i wczesnego średniowiecza, odpowiednio. Analogicznie, bardzo niski i niski stopień wypału (temperatura wypału raczej poniżej 800°C) został osiągnięty w zaledwie 33% próbek pochodzących z późnego średniowiecza, podczas gdy w 80% i 52% próbek pochodzących z wczesnej epoki żelaza i wczesnego średniowiecza, odpowiednio.

W przestrzeni porowej niektórych próbek występują wytrącenia następujących minerałów wtórnych: nieprzeźroczyste mieszaniny tlenków/wodorotlenków Fe i Mn, glinki, krzemionki, fosforanów i materii organicznej (ryc. 12A-B), wiwanit (uwodnione fosforany żelaza; ryc. 12C-D) lub kalcyt (węglan wapnia). Umieszczenie tych faz sugeruje, że wykrystalizowały one najprawdopodobniej w czasie diagenety w wyniku krążenia wód gruntowych. Źródłem jonów fosforanowych mogły być okruchy rud darniowych lub kości, a węglany mogły pochodzić z rozkładu ziaren węglanowych. W czasie diagenety fosforany i węglany uruchamiane były z czerepu lub z otaczających osadów przez wody gruntowe, a następnie wytrącały się jako minerały wtórne w otwartej przestrzeni porowej. Substancja żelazista jest tym bardziej powszechna w osadach czwartorzędowych i stosunkowo łatwo ulega rozpuszczaniu i wytrącaniu w procesach diagenetycznych i glebotwórczych.

PODSUMOWANIE

Stwierdzona technologia wytwarzania naczyń ceramicznych została powiązana z chronologią analizowanych próbek (tab. 1-5 i Załącznik). Z analizy tych danych wynika zróżnicowanie w stopniu wypału, stosowaniu technik schudzania i topników. Schudzanie szamotem i barwienie stosowane były we wszystkich stanowiskach i okresach. Dodatek koncentratu skaleniowego jako surowca schudzającego i topnika stwierdzony został wyłącznie w starożytnych i wczesnośredniowiecznych wyrobach ceramicznych. Surowcem bazowym były iły lub mułki oraz gliny lodowcowe. W przypadku iłów lub mułków zawsze dodawany był koncentrat skaleniowy, a w przypadku glin

nie we wszystkich przypadkach. Wiele próbek powstało poprzez wypalenie glin bez modyfikacji. Temperatura wypału naczyń z tego okresu rzadko przekraczała 800°C. Wydaje się, że we wczesnym średniowieczu częściej sporządzano masę ceramiczną z wykorzystaniem glin jako surowca bazowego, a rzadziej dodawano koncentrat skaleniowy.

Niezwykle istotna zmiana w technologii wyrobu ceramiki nastąpiła z nastaniem późnego średniowiecza. Całkowicie zaprzestano wówczas stosowania koncentratu skaleniowego, a wprowadzono schudzanie iłów lub mułków za pomocą piasku fluwialnego zawierającego głównie kwarc lub szamot. Tym samym zaprzestano dodawania topników skaleniowych do masy ceramicznej. Zaniechano również używania glin lodowcowych jako surowca bazowego. Taką drastyczną zmianę w doborze surowców można wiązać z wyraźnie wyższym stopniem wypału wyrobów późnośredniowiecznych. Najwyraźniej, uzyskiwane w późnośredniowiecznych piecach temperatury wypału były wyższe (większość badanych próbek wypalana była w temperaturze powyżej 800°C), więc nie było już potrzeby obniżania temperatury wypału poprzez dodawanie topników.

Uzyskane w naszych badaniach wyniki potwierdzają obserwacje i wnioski historyczne dokonane w innych częściach Polski, np. na Śląsku. W ślad za ustaleniami Henryka Stoksika możemy wyróżnić trzy modele wytwórczości garncarskiej: przydomowy, wczesnorzemieślniczy i rzemieślniczy. Model wytwórczości przydomowej, charakterystyczny dla ceramiki pradziejowej z wczesnymi fazami wczesnego średniowiecza włącznie, w świetle naszych badań może być także sugerowany dla naczyń z wczesnej epoki żelaza pochodzących z grodzisk zachodniej części województwa warmińsko-mazurskiego. Jak pisze Stoksik¹⁰, warsztat przydomowy „nastawiony był na rozwiązywanie problemów adaptacyjnych, wynikających z mało stabilnych struktur osadniczych. Wyróżnia go niski nakład pracy, prostota technologii lepienia ręcznego, odpowiedni dobór surowców, a niekiedy stosowanie polepszaczy masy garncarskiej”. Podobny charakter wytwórczości garncarskiej może być sugerowany dla innych regionów Polski we wczesnej epoce żelaza, dla których dysponujemy analizami petrograficznymi fragmentów ceramiki¹¹.

Drugi model garncarstwa – „wczesnorzemieślniczy” – na Śląsku zidentyfikowany został dla okresu VIII/IX-pocz. XIII w. Stanowi on kontynuację modelu przydomowego, jednak ze zmianami wynikającymi z korzystania z koła garncarskiego, skutkującego nowymi technikami formowania ścianek naczyń (obtaczanie, początkowo jedynie górnej części naczyń) i zdobienia regularnym ornamentem dookólnym. Rezultatem stosowania koła garncarskiego była konieczność zmiany receptur przygotowy-

¹⁰ Stoksik 2007: 379-380.

¹¹ Np. Conde, Agua i Garcia-Heras 2014; Garcia-Heras, Agua-Martinez i Villegas 2014.

wania masy garncarskiej, wyrażająca się zmniejszeniem wielkości ziaren domieszki. Wytwórczość garncarska staje się działalnością wyspecjalizowaną, następuje też umasowanie produkcji. Ten etap rozwoju garncarstwa na terenie Polski prezentują np. analizy petrograficzne ceramiki z terenu Śląska i Ziemi Lubuskiej¹².

Trzeci wreszcie model garncarstwa, bardzo czytelny w analizowanym przez nas materiale zabytkowym, to wysoce wyspecjalizowane garncarstwo rzemieślnicze, na terenie ziem pruskich pojawiające się wraz z kolonizacją krzyżacką i nie związane genetycznie z poprzednimi

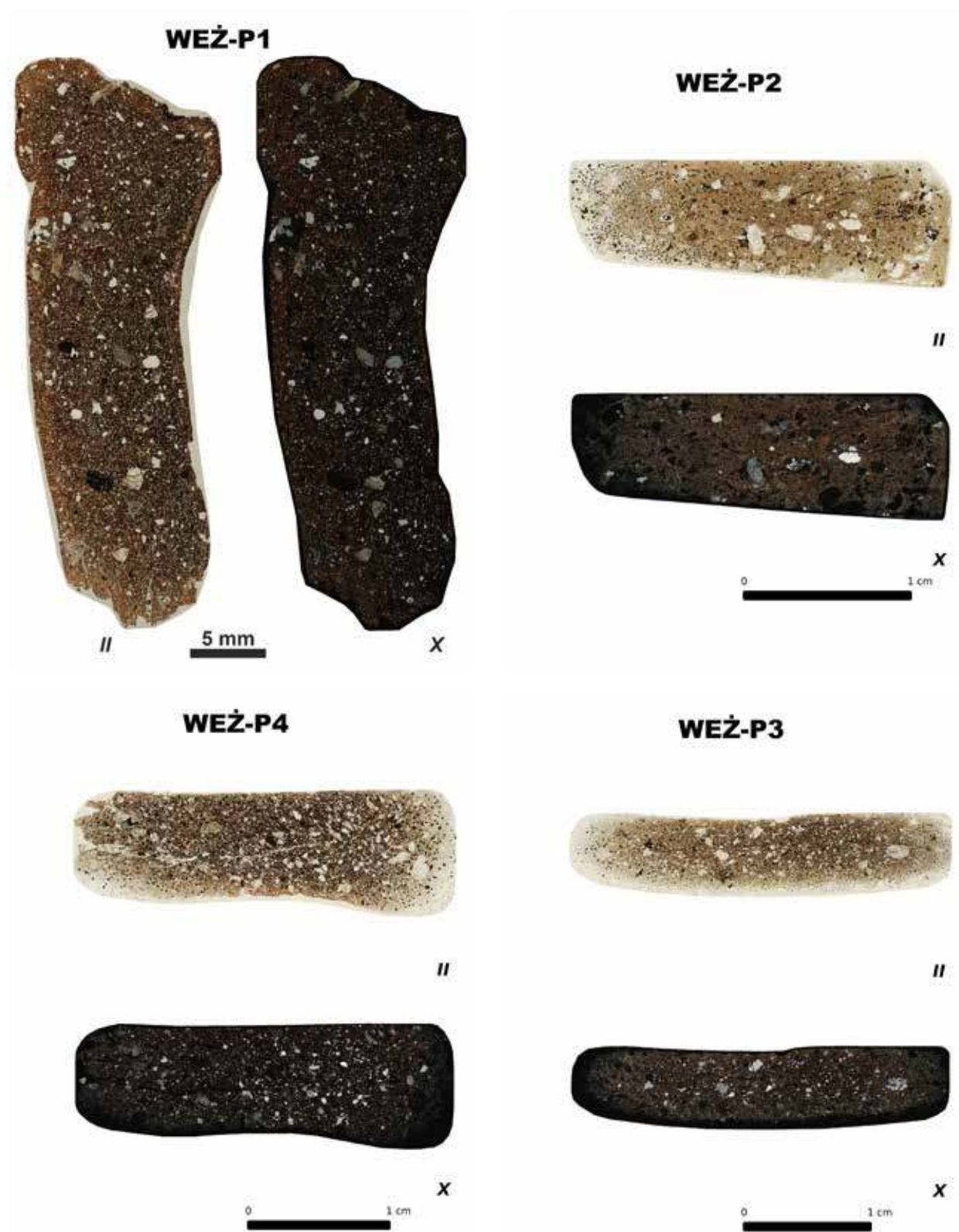
modelami warsztatu garncarskiego. Ten etap charakteryzuje się pojawieniem się nowych, nieznanymi wcześniej form naczyń, intensywnym wykorzystywaniem koła garncarskiego do formowania naczyń, wyższą temperaturą wypału, świadczącą o wykorzystywaniu innych niż poprzednio form pieców garncarskich, a powodującą powstawanie naczyń o odmiennej barwie powierzchni (tzw. naczynia stalowoszare). Pojawienie się tego warsztatu musiało wiązać się z przybyciem na te tereny rzemieślników obcego pochodzenia, podobnie jak to miało miejsce najpewniej na Śląsku¹³.

¹² Stoksik 2007: zwł. 64-254; Gunia 2012; Agua-Martinez *et al.* 2014; Bojanowski *et al.* 2014.

¹³ Por. Stoksik 2007, zwł. s. 255-274.

Załącznik. Fotografie mikroskopowe wszystkich zbadanych płytek cienkich ceramiki. Dla każdej próbki prezentowane są dwa skany uzyskane w świetle przechodzącym równoległym (oznaczone symbolem „//”) i spolaryzowanym (oznaczone symbolem „X”) (fot. M.J. Bojanowski)

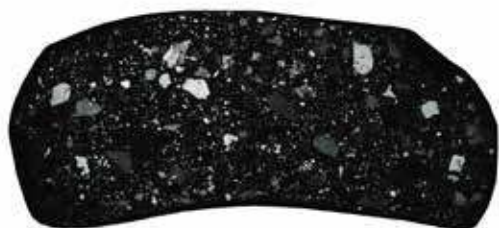
Appendix. Microscopic photographs of thin sections prepared from all pottery samples examined. Two scans, one in plane polarised (marked by “//”) and one in cross polarised light (marked by “X”), are presented for each sample (photo by M.J. Bojanowski)



WEŻ-P5



//



X

0 1 cm

WEŻ-P6



//

5 mm



X

WEŻ-P7



X

5 mm



//

WEŻ-P8



//

5 mm



X

WEŻ-P9



WEŻ-P10



WEŻ-P11



WEŻ-P12



WEŻ-P13



WEŻ-P14



WEŻ-P15



WEŻ-P16



WEŻ-P17



WEŻ-P18



WEŻ-P19



WEŻ-P20



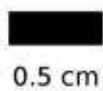
WEŻ-P21



II



X



0.5 cm

WEŻ-P22



II



X



0.5 cm

WEŻ-P23



II



X



0.5 cm

WEŻ-P24



II



X



0.5 cm

WEŻ-P25



II



X



0.5 cm

WEŻ-P26



II



X



0.5 cm

WEŻ-P27



II



X



0.5 cm

WEŻ-P28



II



X



0.5 cm

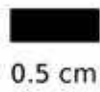
WEŻ-P29



II



X



WEŻ-P30



II



X



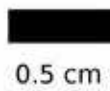
WEŻ-P31



II



X



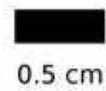
WEŻ-P32



II



X



WEŻ-P33



II



X



0.5 cm

WEŻ-P34



II



X



0.5 cm

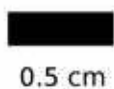
WEŻ-P35



II



X



0.5 cm

OWR-P1



II



X



WSR-P1



WSR-P2



WSR-P3



WSR-P4





WSR-P9



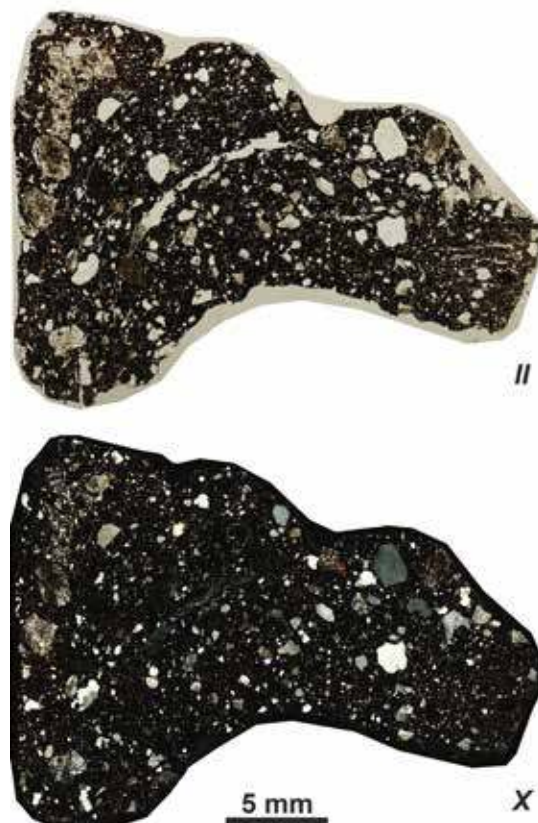
WSR-P10



WSR-P11



WSR-P12



WSR-P13



II



X



WSR-P14



II



X



WSR-P16

WSR-P15



X



II



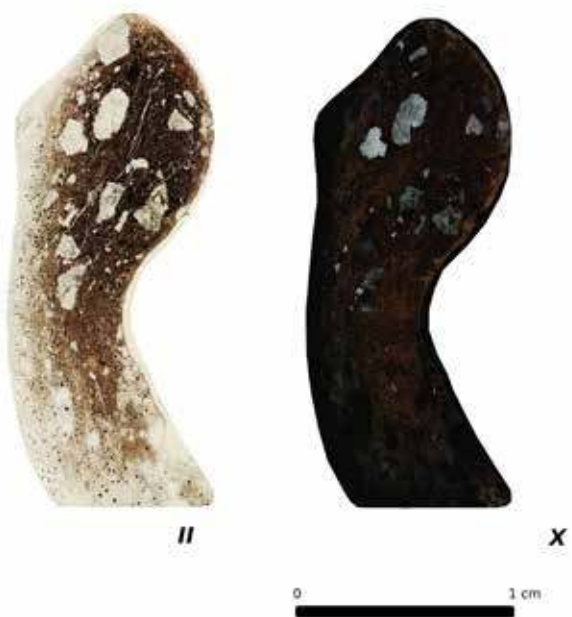
II



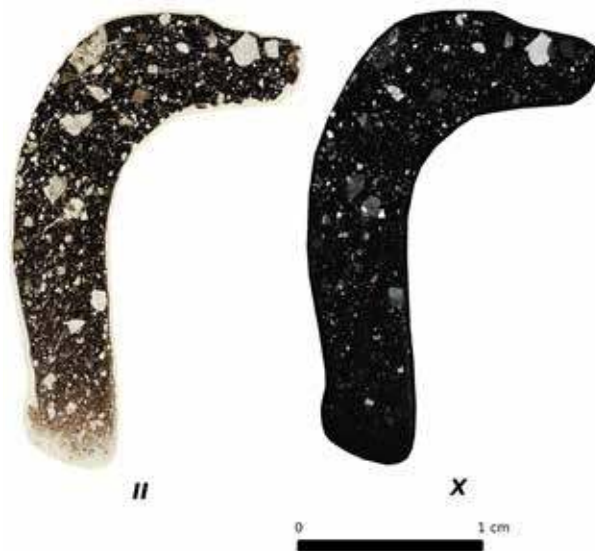
X



WSR-P17



WSR-P18

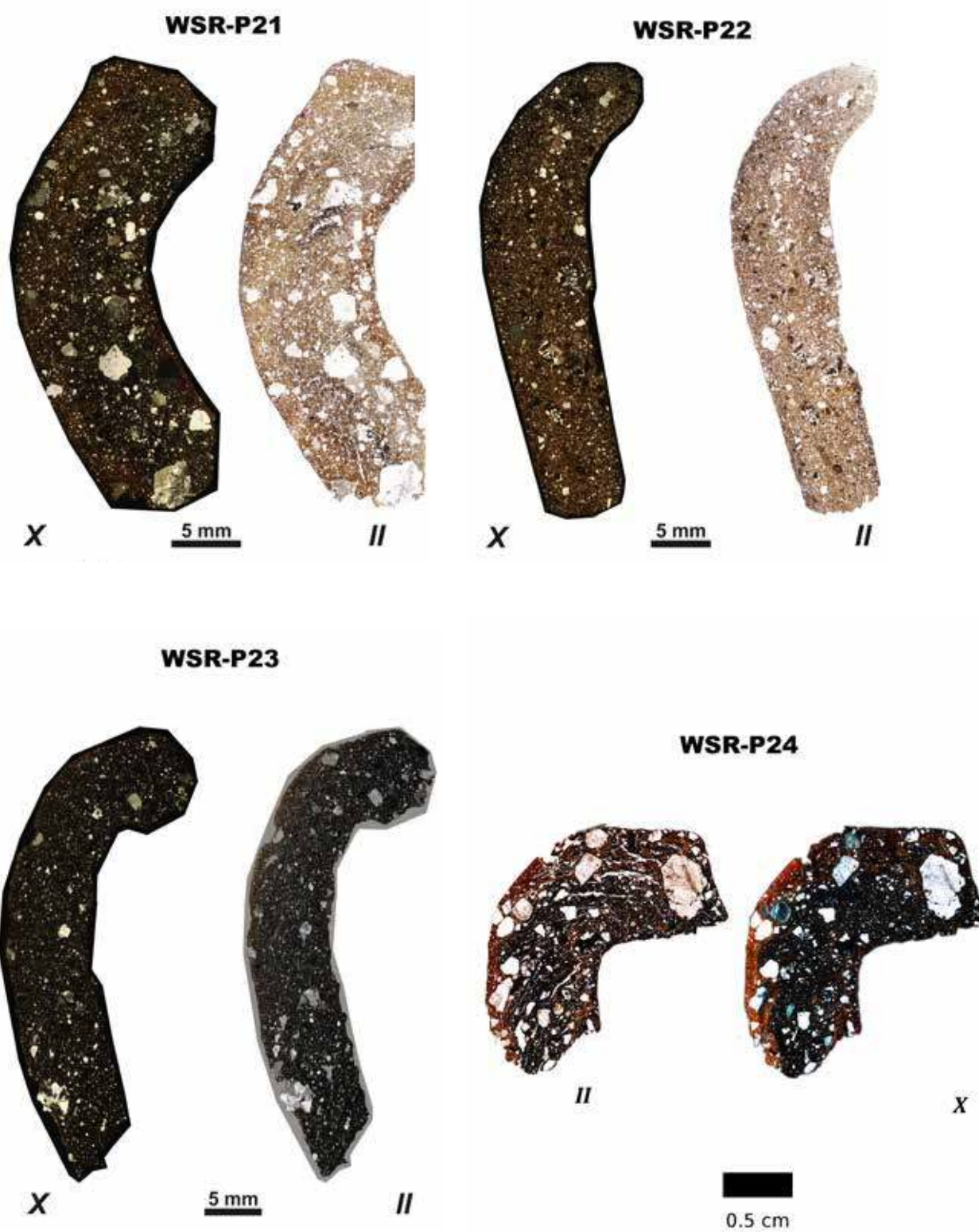


WSR-P19



WSR-P20





WSR-P25



II



X



0.5 cm

WSR-P26



II



X



0.5 cm

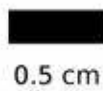
WSR-P27



II



X



0.5 cm

WSR-P28



II



X



0.5 cm

WSR-P29



II



X



0.5 cm

WSR-P30



II



X



0.5 cm

WSR-P31



II



X



0.5 cm

WSR-P32



X



II



0.5 cm

WSR-P33



II



X



0.5 cm

WSR-P34



II



X



0.5 cm

WSR-P35



II



X



0.5 cm

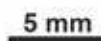
PSR-P1



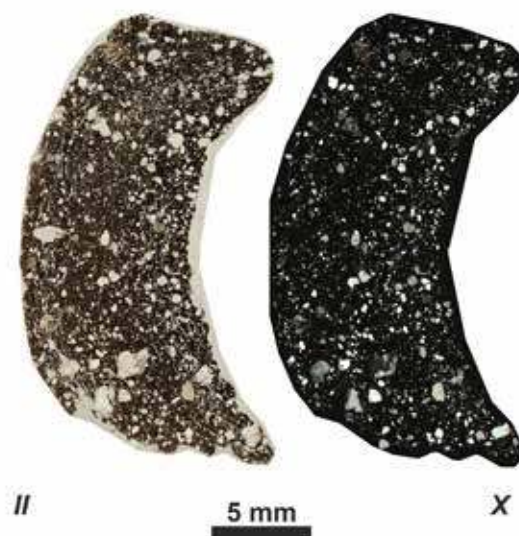
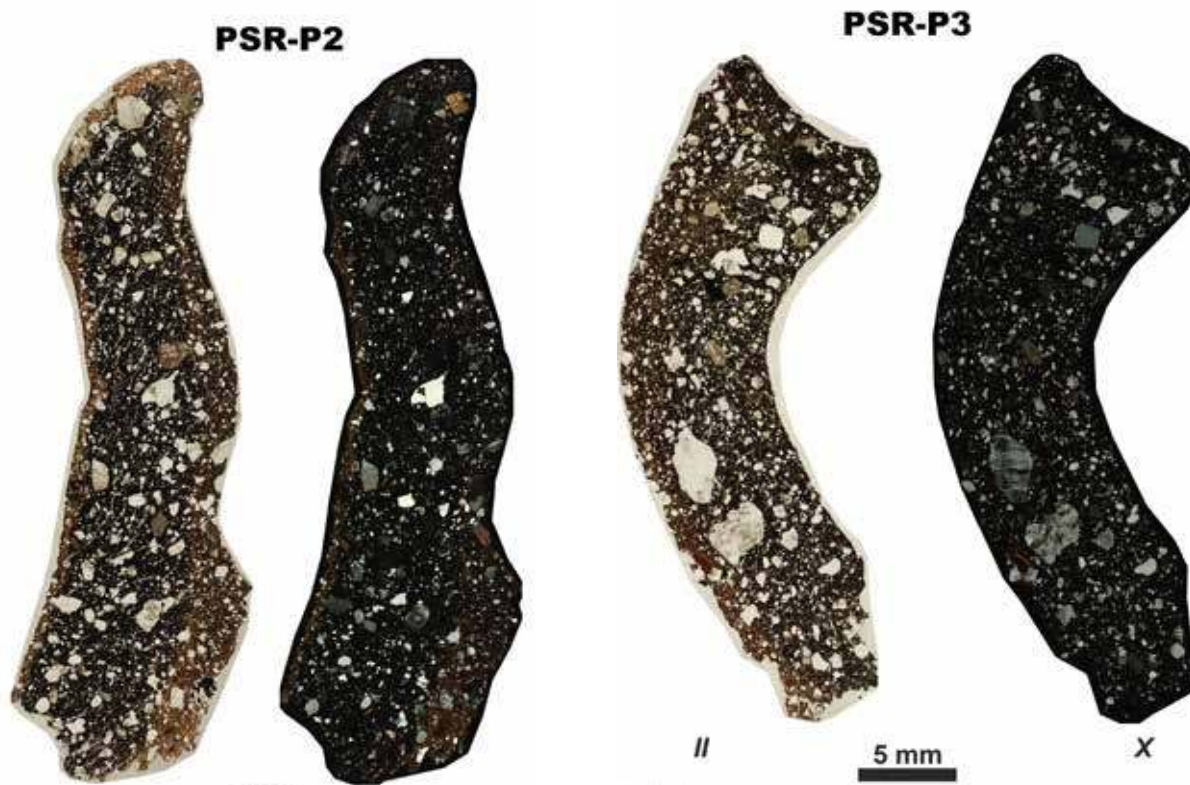
II



X



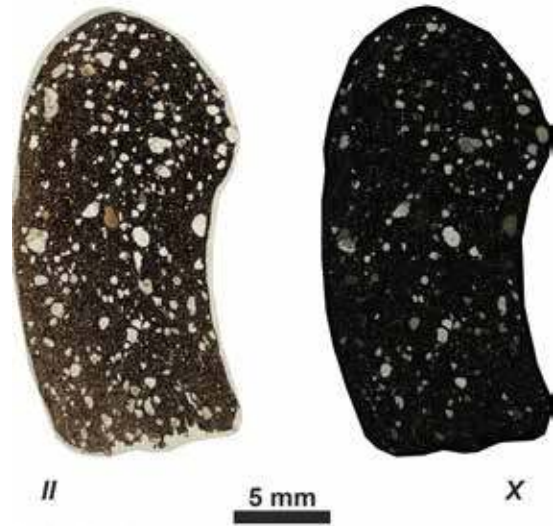
5 mm



PSR-P6



PSR-P7



PSR-P8



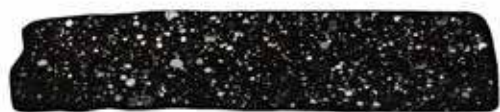
PSR-P9



PSR-P10



II



X

0 1 cm

PSR-P11



II



X

0 1 cm

PSR-P12



II



X

0 1 cm

PSR-P13



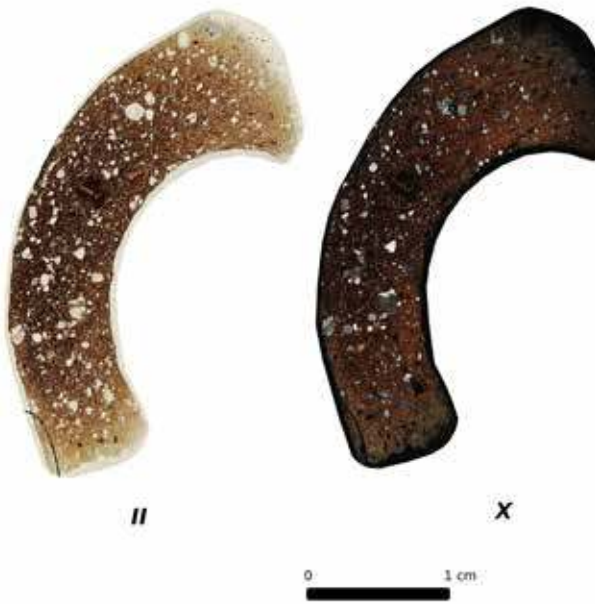
II



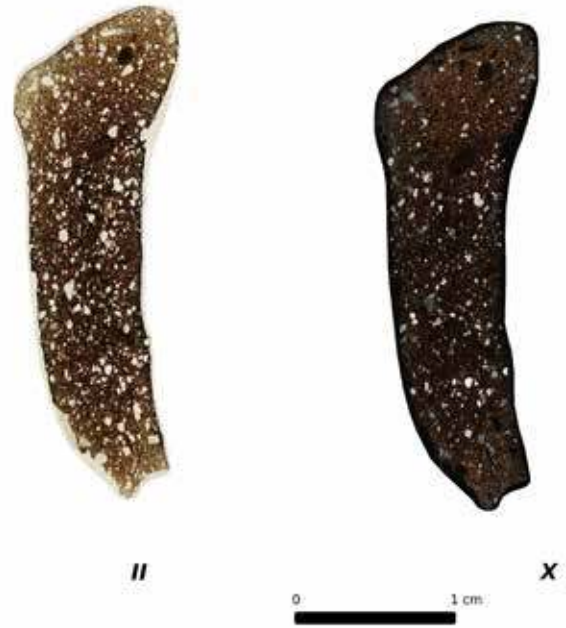
X

0 1 cm

PSR-P14



PSR-P15



PSR-P16



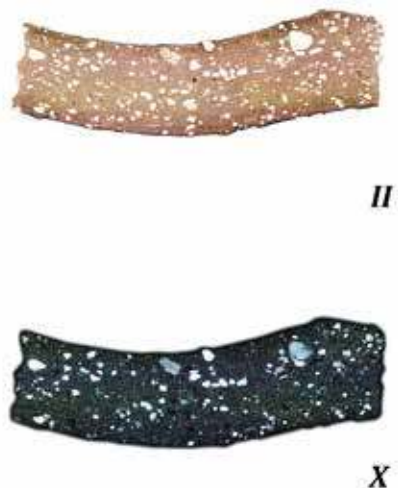
PSR-P17



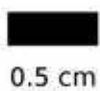
PSR-P18



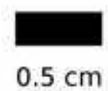
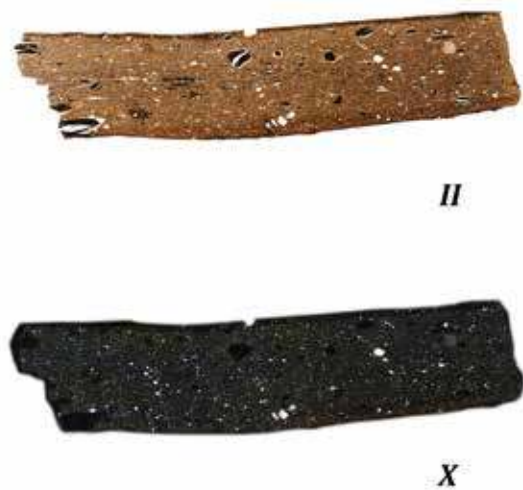
PSR-P19



PSR-P20



PSR-P21



Wykaz cytowanej literatury:

- Agua-Martínez, F., J.F. Conde, M.A. Villegas i M. García-Heras
2014. Archaeometric analysis of Early Medieval sherds of Tornow type pottery from Starosiedle, site 3 / Analiza archeometryczna fragmentów wczesnośredniowiecznej ceramiki typu Tornow ze Starosiedla, st. 3, [w:] Z. Kobyliński (red.), *Starosiedle in the Lubusz Land: Prehistoric and Early Medieval settlement / Starosiedle w Ziemi Lubuskiej: osadnictwo starożytne i wczesnośredniowieczne*, 591-595. Warszawa: Fundacja Res Publica Multiethnica, Instytut Archeologii i Etnologii PAN i Instytut Archeologii UKSW.
- Bojanowski, M.J., B. Bagiński, A. Gąsiński i P. Jokubauskas
2014. Petrographic analysis of the Menkendorf-Szczecin type pottery from Starosiedle, site 3 / Analiza petrograficzna ceramiki typu Menkendorf-Szczecin ze Starosiedla, st. 3, [w:] Z. Kobyliński (red.), *Starosiedle in the Lubusz Land: Prehistoric and Early Medieval settlement / Starosiedle w Ziemi Lubuskiej: osadnictwo starożytne i wczesnośredniowieczne*, 569-589. Warszawa: Fundacja Res Publica Multiethnica, Instytut Archeologii i Etnologii PAN i Instytut Archeologii UKSW.
- Bojanowski, M., U. Kobylińska i Z. Kobyliński
2013. Wyniki badań petrograficznych ceramiki z grodzisk w Kamionce, Mozgowie i Borecznie w powiecie iławskim, [w:] Z. Kobyliński (red.), *Grodziska Warmii i Mazur. 1. Stan wiedzy i perspektywy badawcze*, 423-456. Archaeologica Hereditas 2. Warszawa – Zielona Góra: Instytut Archeologii UKSW i Fundacja Archeologiczna.
- Conde, J.-F., F. Agua i M. García-Heras
2014. Archaeometric study of pottery / Badania archeometryczne ceramiki, [w:] Z. Kobyliński (red.), *Contextualisation of the hoard from Vetttersfelde / Witaszkowo: archaeological excavation at Kozów, site 2 in the Lubusz Land / Kontekstualizacja skarbu z Vetttersfelde / Witaszkowo: badania archeologiczne na st. 2 w Kozowie w Ziemi Lubuskiej*, 361-381. Zielona Góra: Fundacja Archeologiczna, Instytut Archeologii UKSW i Instytut Archeologii i Etnologii PAN.
- García-Heras, M., F. Agua-Martínez i M.A. Villegas
2014. Archaeometric study of Bronze Age and Early Iron Age pottery vessels from site 3 at Starosiedle / Badania archeometryczne ceramiki ze stanowiska 3 w Starosiedlu, pochodzącej z epoki brązu i wczesnej epoki żelaza, [w:] Z. Kobyliński (red.), *Starosiedle in the Lubusz Land: Prehistoric and Early Medieval settlement / Starosiedle w Ziemi Lubuskiej: osadnictwo starożytne i wczesnośredniowieczne*, 471-486. Warszawa: Fundacja Res Publica Multiethnica, Instytut Archeologii i Etnologii PAN i Instytut Archeologii UKSW.
- Gunia, P.
2012. Wyniki badań petrograficznych zabytków ceramicznych z wczesnośredniowiecznego grodziska w Nowińcu, stan. 2, gm. Lubsko, woj. lubuskie, [w:] B. Gruszka (red.), *Nowiniec, stan. 2. Wczesnośredniowieczny gród na pograniczu śląsko-łużyckim w świetle badań interdyscyplinarnych*, 235-339. Zielona Góra: Wydawnictwo Fundacji Archeologicznej.
- Hoggs, C.S. i R.E. Meads
1975. A Mössbauer study of thermal decomposition of biotites. *Mineralogical Magazine* 40: 79–88.
- Joesten, R.
1976. High-temperature contact metamorphism of carbonate rocks in a shallow crustal environment, Christmas Mountain, Big Bend region, Texas. *American Mineralogist* 61: 776–781.
- Longiaru, S.
1987. Visual comparators for estimating the degree of sorting from plane and thin section. *Journal of Sedimentary Petrology* 57: 791–794.
- Mackenzie, K.J.D., W.M. Brown, C.M. Cardile i R.H. Meinhold
1987. The thermal reactions of muscovite studied by high-resolution solid-state ²⁹Si and ²⁷Al NMR. *Journal of Materials Science* 22: 2645–2654.
- Nel, M.V.
2009. *The influence of coal-associated trace elements on sintering and agglomeration of a model coal mineral mixture*. Ph. D. thesis, North-West University, Potchefstroom Campus.
- Powers, M.C.
1953. A new roundness scale for sedimentary particles. *Journal of Sedimentary Petrology* 23: 117–119.
- Querol, X., R. Juan, A. Lopez-Soler, J.L. Fernandez-Turiel i C.R. Ruiz
1994. Mobility of trace elements from coal and combustion wastes. *Fuel* 75: 821–838.
- Stoksik, H.
2007. *Technologia warsztatu ceramicznego średniowiecznego Śląska w świetle badań specjalistycznych i eksperymentalnych*. Wrocław: Akademia Sztuk Pięknych we Wrocławiu.
- Udden, J.A.
1914. Mechanical composition of clastic sediment. *Geological Society of America Bulletin* 25: 655–744.
- Wentworth, C.K.
1922. A scale of grade and class terms for clastic sediments. *Journal of Geology* 30: 377-392.

Maciej J. Bojanowski, Urszula Czarniecka, Arkadiusz Gąsiński, Petras Jokubauskas, Urszula Kobylińska, Zbigniew Kobyliński i Łukasz Kruszewski

Petrographic investigation of the Prehistoric and Medieval pottery from strongholds in the western part of the Prussian territories

Summary

Petrographic examinations were conducted on ninety two samples of ceramic pottery from archaeological excavations in the western part of the Warmian-Masurian Province. The samples were collected from strongholds and are dated from the Early Iron Age to the Late Medieval Period (Tables 1-4). The aim of this work was to recognise the variability in pottery techniques used across the time and the region under investigation. Thin section was prepared for each pottery sample. They were analysed under a polarising microscope in a transmitted light (plane and cross polarised). Detailed observations at higher magnifications and *in-situ* chemical microanalyses were performed for representative twenty four thin sections using a scanning electron microscope or electron microprobe. Additionally, seventy two samples were pulverised and X-ray diffraction analysis was performed on the powders in order to characterise the mineralogical composition. Comparison of the manufacturing technology used for the production of the pottery samples from different periods (Table 5) revealed very clear differences, particularly in the use of the temper and fluxes. The raw material was clay-silt or till, grog was a common

temper, whilst bog iron ore was used for coloring during all the periods. However, the addition of feldspar-rich breakstone with angular shapes was only discovered in the oldest pottery from the Early Iron Age and Early Medieval Period. Such feldspar concentrate might have also served as an effective flux enabling firing in a lower temperature. In contrast, fluvial, fine-grained and well-rounded, quartz-rich sand was added to the youngest samples from the Late Medieval Period. The mineralogical and textural indices of firing degree are also statistically different for the two periods, as the Late Medieval pottery was fired at higher temperatures than the samples from the earlier periods. The temperatures generally varied between 500 and 1000°C, but values higher than 800°C were significantly more frequently attained for pottery from the Late Medieval Period. Thus, the drastic change in the selection of materials during the transition from the Early to the Late Medieval Period was apparently associated with the increase of firing temperature at that period.

Translated by Maciej J. Bojanowski

Zawartość kwasów tłuszczowych w ceramice pochodzącej z pradziejowych i średniowiecznych grodzisk z zachodniej części ziem pruskich

WPROWADZENIE

Identyfikacja pozostałości organicznych zachowanych w ściankach naczyń ceramicznych może dostarczyć wielu ważnych informacji na temat wykorzystania i przeznaczenia ceramiki, a także poszerzyć wiedzę na temat diety ludności zamieszkującej dany obszar. Związkami, na których skupiona jest uwaga zarówno chemików, jak i archeologów w kontekście pozostałości organicznych zawartych w ceramice są kwasy tłuszczowe. Związki te można wyizolować z naczyń ceramicznych i oznaczyć ilościowo. Niewątpliwą zaletą kwasów tłuszczowych jest ich względna trwałość i stabilność oraz fakt znacznej odporności na rozkład, pomimo upływu czasu.

Wypalona glina absorbuje substancje, z którymi miała kontakt podczas użytkowania naczynia (głównie w procesie podgrzewania naczyń). Kwasy tłuszczowe uwięzione w glinie są w niewielkim stopniu poddawane działaniom bakterii czy oddziaływaniom fizykochemicznym. Fakt ten wynika z odpowiednio małej wielkości porów znajdujących się w ściankach glinianych naczyń. Badania wykonane przez Eerkensa¹ i Malainey² pokazały, że takie same stosunki kwasów tłuszczowych pozostają względnie stabilne pomimo ogólnej ich degradacji. Analiza otrzymanych wyników zwróciła uwagę badaczy na występujące podobieństwo w składzie kwasów tłuszczowych w produktach różnego pochodzenia (roślinnego czy zwierzęcego).

Celem przedstawionych w niniejszym rozdziale badań, przeprowadzonych w latach 2012-2016, było oznaczenie ilościowe kwasów tłuszczowych w 72 fragmentach naczyń ceramicznych pochodzących z 16 grodzisk z zachodniej części województwa warmińsko-mazurskiego, z terenu powiatu iławskiego i ostródzkiego, badanych wykopaliskowo w ramach programu *Katalog grodzisk Warmii i Mazur. Część 1: Pomezania, Pogezania i Warmia*, realizowanego w ramach Narodowego Programu Rozwoju Humanistyki, a mianowicie z następujących stanowisk archeologicznych: w gminie Kisielice - Łodygowo, st. 1 i 2, Stary Folwark, st. 1, oraz Trupel, st. 1; w gminie Susz - Susz, st. 1; w gminie Iława - Kamionka, st.

9; w gminie Ostróda - Zajączki, st. 1, Durąg, st. 1, Morliny, st. 1, Grabin, st. 1 oraz Lipowiec, st. 1; w gminie Zalewo - Wieprz, st. 20, Boreczno, st. 4 oraz Mozgowo, st. 1; w gminie Morąg - Tątlawki, st. 2, Strużyna, st. 21 i 24; w gminie Miłakowo - Raciszewo, st. 9 (ryc. 1). Rozpiętość chronologiczna próbek obejmuje 35 fragmentów ceramiki z wczesnej epoki żelaza (IV-II w. p.n.e. – ryc. 2, tab. 1), 25 próbek datowanych na średniowiecze przedkrzyżackie (X-XII w. – ryc. 3, tab. 2) oraz 12 próbek ceramiki późno-średniowiecznej (XIII-XIV w. – ryc. 4, tab. 3). Celem badań było uzyskanie informacji na temat rodzaju pokarmów przygotowywanych i przechowywanych w naczyniach glinianych, a co za tym idzie z jednej strony o funkcji poszczególnych form naczyń, z drugiej zaś – o zwyczajach żywieniowych w poszczególnych okresach chronologicznych. Przyjęcie takiego celu badań spowodowało dokonanie wyboru próbek do analizy w taki sposób, aby z jednej strony ich rozmieszczenie geograficzne w miarę możliwości pokrywały cały region badany w ramach projektu, z drugiej zaś, aby uwzględnić wszystkie typowe formy naczyń, jakie wystąpiły na stanowiskach z poszczególnych okresów. I tak, próbki z wczesnej epoki żelaza reprezentują zarówno duże naczynia zasobowe, garnki różnych rozmiarów, misy i miseczki, jak i naczynia sitowate. Probki z okresu wczesnego średniowiecza objęły różnej wielkości garnki oraz prażnicę. Wreszcie próbki z czasów krzyżackich objęły garnki, misy, dzbany i talerze.

Pierwsze wyniki badań próbek z 2012 r. zostały już zasygnalizowane we wcześniejszej publikacji.³

METODYKA BADAŃ

Przygotowanie próbek archeologicznych do analiz obejmowało dwa etapy:

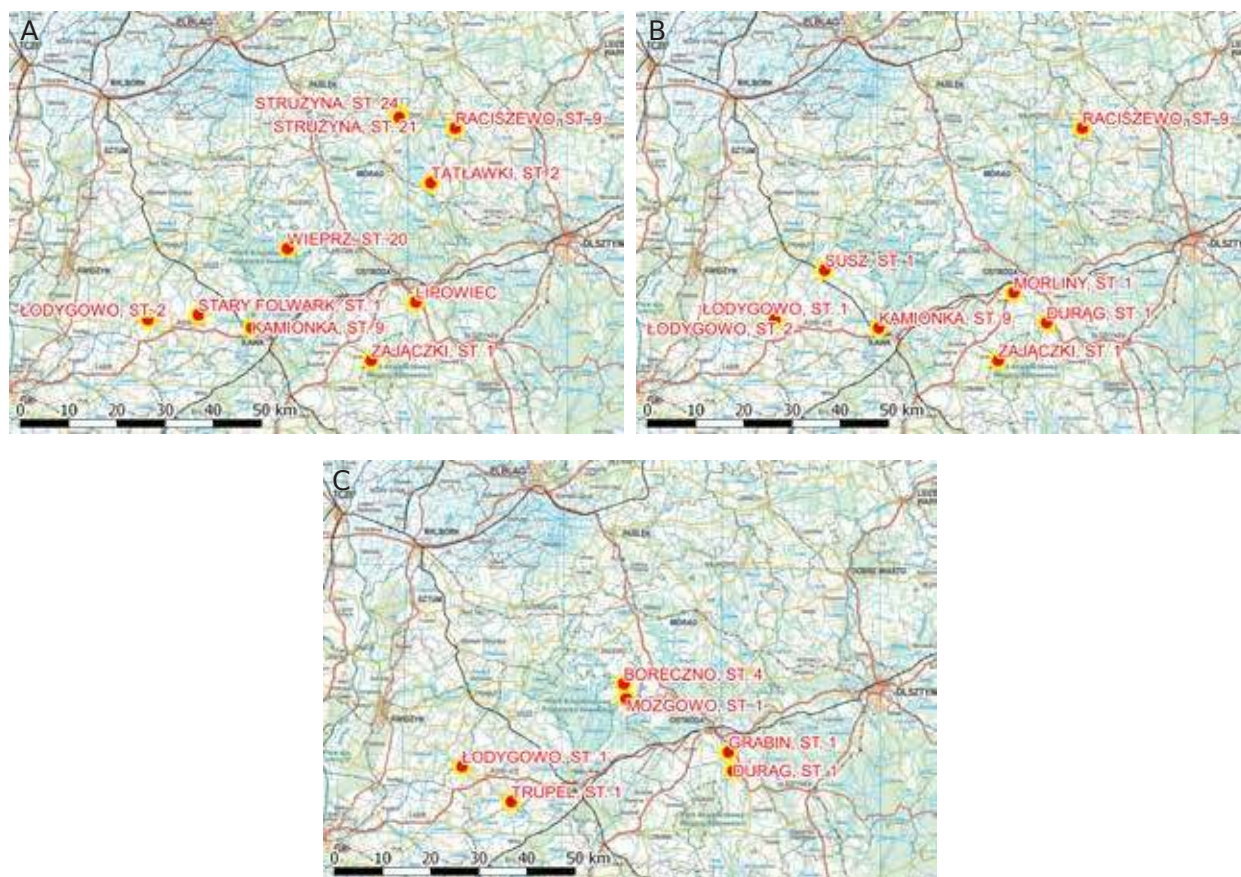
- ekstrakcja ciała stałe-ciecz w aparacie Soxhleta,
- derywatywacja.

Probki naczyń ceramicznych (o wadze 5 gramów) wstępnie rozdrabniano, a następnie ucierano w moździerzu. Materiał przenoszono następnie do gilzy ekstrakcyjnej i poddawano ekstrakcji w aparacie Soxhleta. Roztwo-

¹ Eerkens 2005.

² Malainey 1997.

³ Kałużna-Czaplińska, Kobylińska i Kobyliński 2013.



Ryc. 1. Rozmieszczenie grodzisk, z których próbki ceramiki były analizowane w czasie badań przedstawianych w niniejszym artykule (oprac. R. Solecki). A – grodziska z wczesnej epoki żelaza; B – grodziska z wczesnego średniowiecza do połowy XIII w.; C – grodziska z okresu późnego średniowiecza XIII-XIV w.

Fig. 1. Geographical distribution of strongholds, from which pottery samples were analysed during the study presented in the paper (elaborated by R. Solecki). A – strongholds from the Early Iron Age; B – strongholds from the Early Middle Ages till the middle of the 13th century AD; C – strongholds from the Late Middle Ages 13-14th cents AD

rem ekstrahującym była mieszanina rozpuszczalników: chlorek metylenu/metanol (200 mL, 2:1 v/v). Standard wewnętrzny (tetrakozan). Czas ekstrakcji wynosił 4 godziny. Do derywatywacji użyto 100 µL mieszaniny N,O-bis-trimetylosililotrifluoroacetamidu i trimetylochlorosilanu (100:1 v/v).

Do oznaczenia kwasów tłuszczowych w próbkach naczyń archeologicznych zastosowano chromatograf gazowy sprzężony ze spektrometrem mas (5973 Network Mass Selective Detector). Parametry pracy obu przyrządów przedstawiono poniżej:

Chromatograf gazowy

- Typ kolumny – HP-5MS: długość 30 m, średnica 0,25 mm, grubość filmu 0,25 µm
- Gaz nośny – hel, 0,9 mL/min.
- Objętość dozowania – 1 µL
- Kolumnę w chromatografii gazowym ogrzano w zakresie temperatur: 60°C do 300°C
- Zastosowana szybkość grzania (tempo narostu): 12°C/min.

Spektrometr mas

- Typ jonizacji – jonizacja strumieniem elektronów (EI)

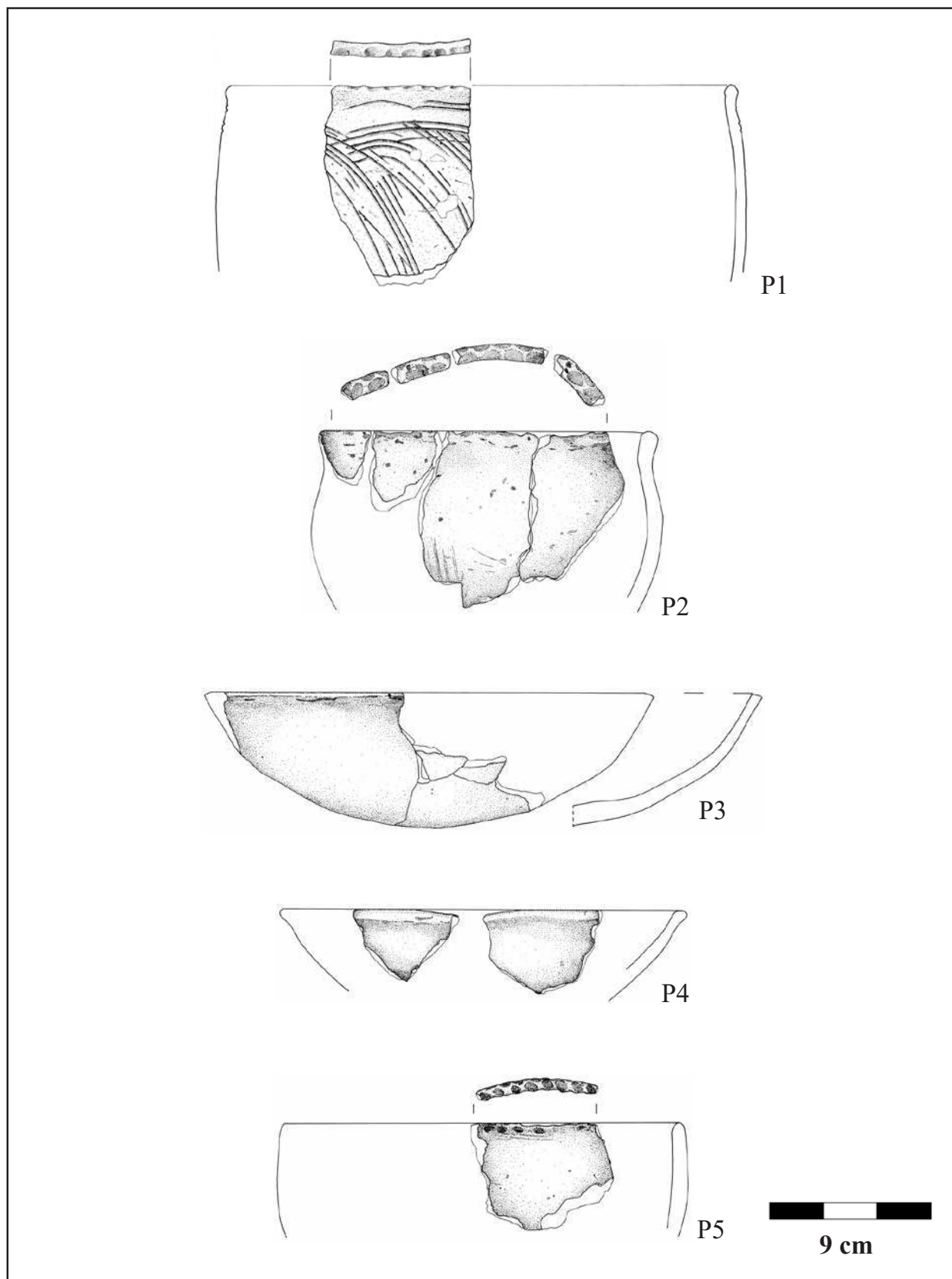
- Typ analizatora – analizator kwadropolowy
- Temperatura detektora – 150°C
- Temperatura jonizatora – 230°C

WYNIKI BADAŃ

Analiza chromatograficzna pozostałości organicznych dostarczyła informacji o zawartościach kwasów tłuszczowych w poszczególnych próbkach (tab. 4-6). Zawartości kwasów tłuszczowych nie są bezpośrednio wykorzystywane do wnioskowania o źródle pozostałości, gdyż obecność pojedynczych kwasów nie jest charakterystyczna dla danego typu pożywienia⁴. Podczas interpretacji otrzymanych wyników należy posługiwać się wyliczonymi stosunkami wybranych kwasów. Wielu badaczy zaproponowało własne opracowania i zasady interpretacji otrzymanych wyników.

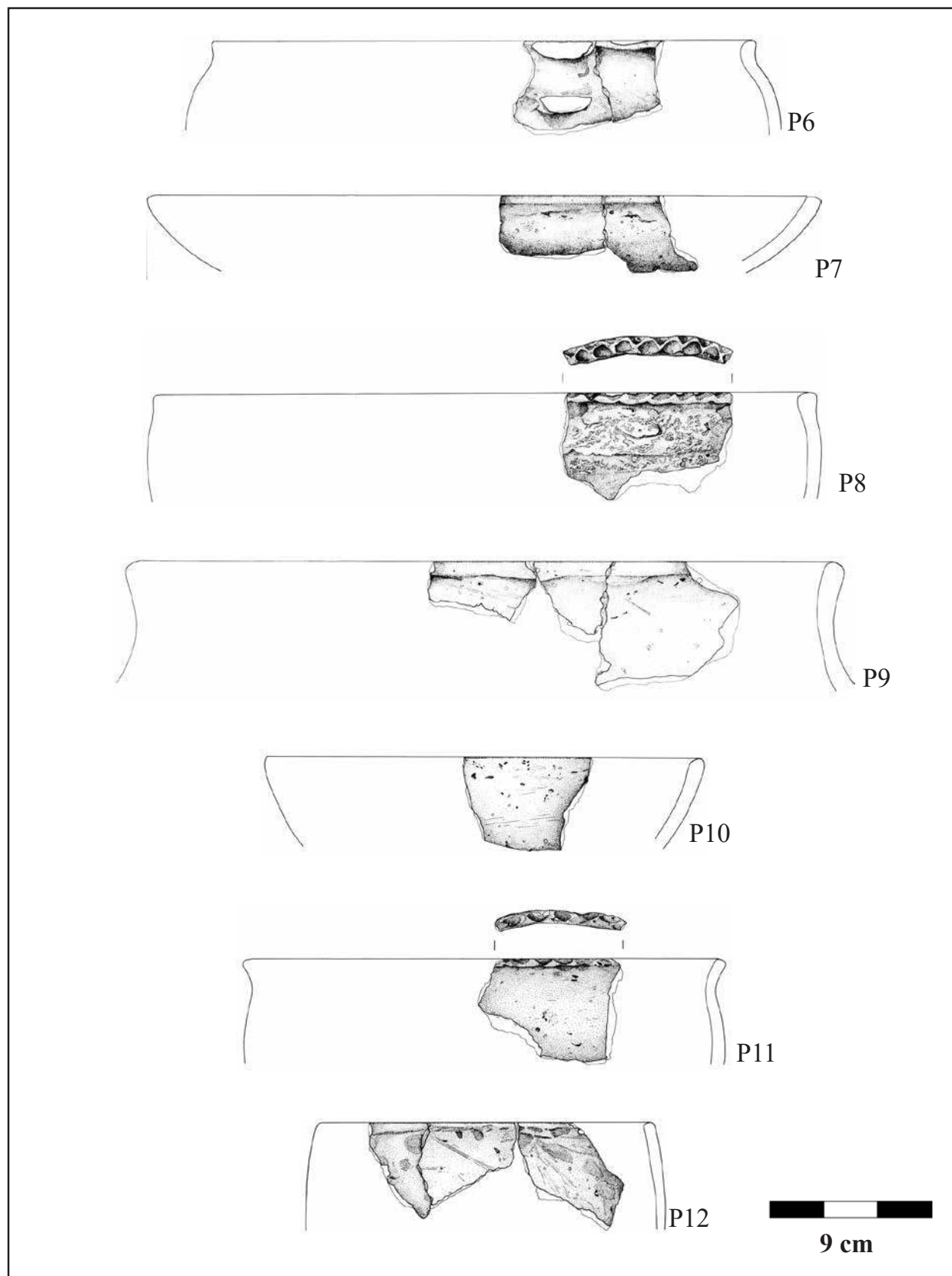
Liczni naukowcy zwracają uwagę na stosunek kwasu palmitynowego (C16:0) do stearynowego (C18:0). Kim-

⁴ Sikorski 2007.



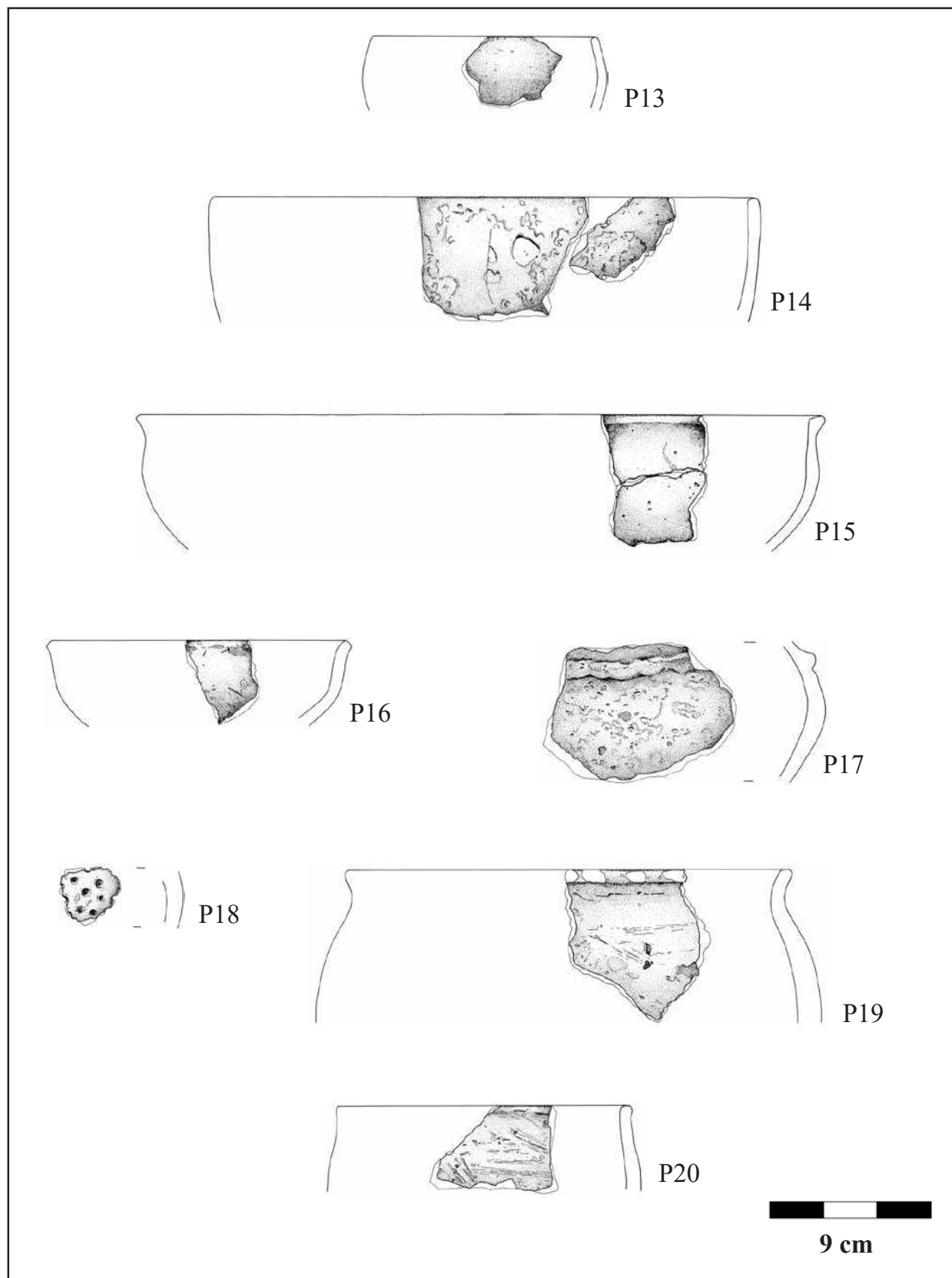
Ryc. 2a. Naczynia ceramiczne z wczesnej epoki żelaza, z których próbki analizowane były w czasie badań przedstawianych w niniejszym artykule (rys. A. Chojnacka-Banaszkiewicz i D. Wach)

Fig. 2a. Ceramic vessels from the Early Iron Age, from which the samples were analysed in the paper (drawn by A. Chojnacka-Banaszkiewicz and D. Wach)



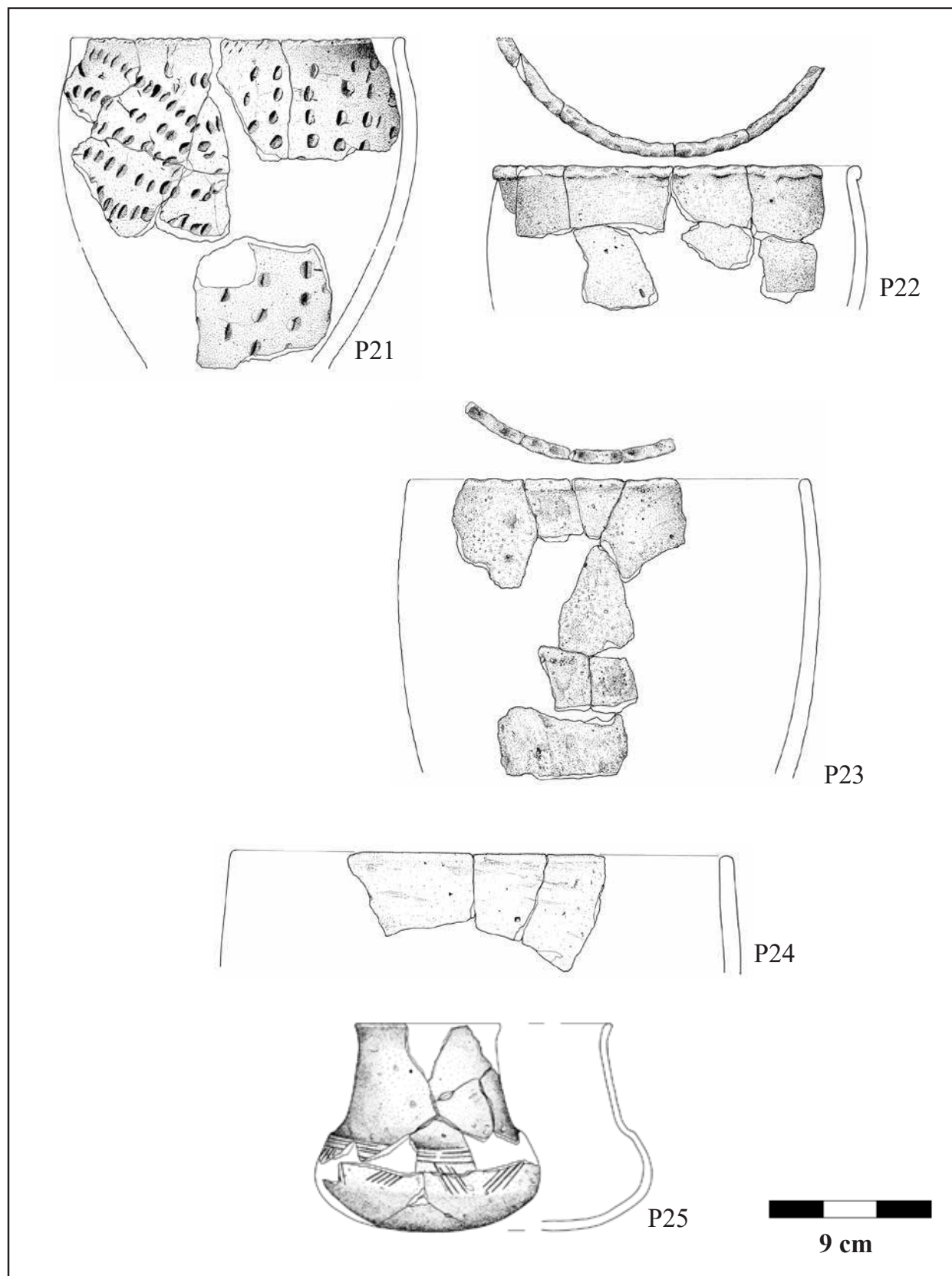
Ryc. 2b. Naczynia ceramiczne z wczesnej epoki żelaza, z których próbki analizowane były w czasie badań przedstawianych w niniejszym artykule (rys. A. Chojnacka-Banaszkiewicz)

Fig. 2b. Ceramic vessels from the Early Iron Age, from which the samples were analysed in the paper (drawn by A. Chojnacka-Banaszkiewicz)



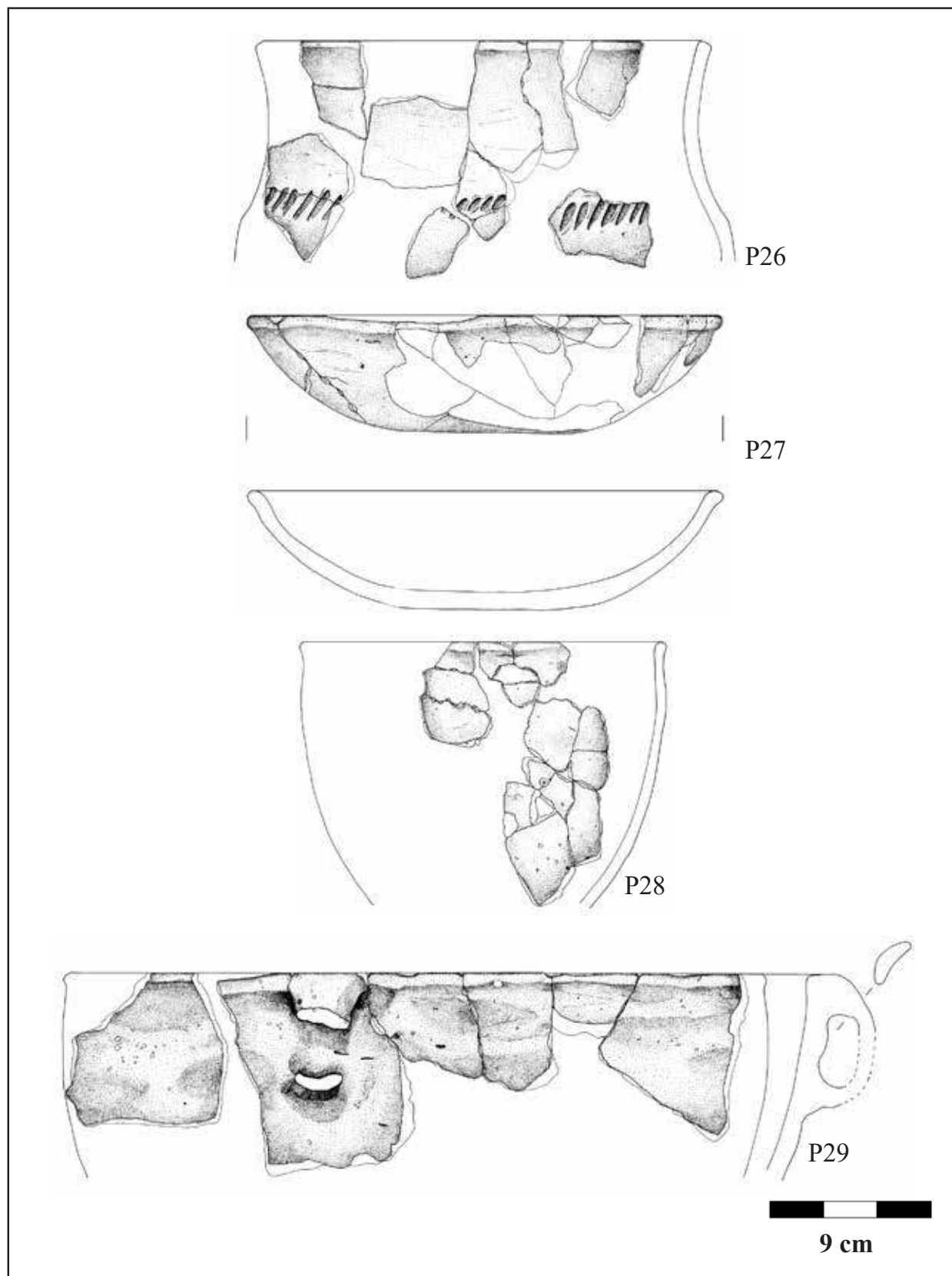
Ryc. 2c. Naczynia ceramiczne z wczesnej epoki żelaza, z których próbki analizowane były w czasie badań przedstawianych w niniejszym artykule (rys. A. Chojnacka-Banaszkiewicz)

Fig. 2c. Ceramic vessels from the Early Iron Age, from which the samples were analysed in the paper (drawn by A. Chojnacka-Banaszkiewicz)



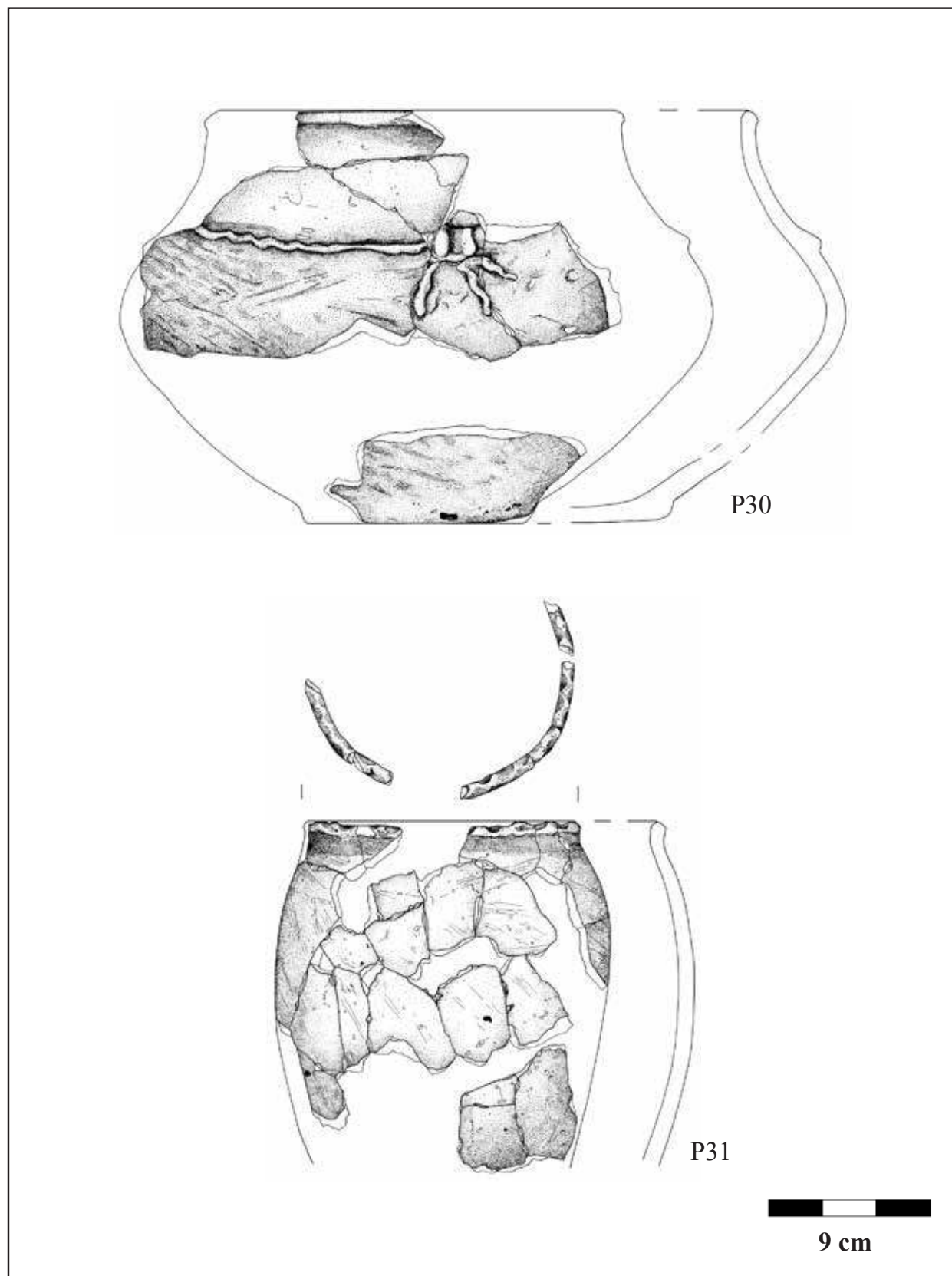
Ryc. 2d. Naczynia ceramiczne z wczesnej epoki żelaza, z których próbki analizowane były w czasie badań przedstawianych w niniejszym artykule (rys. A. Chojnacka-Banaszkiewicz i D. Wach)

Fig. 2d. Ceramic vessels from the Early Iron Age, from which the samples were analysed in the paper (drawn by A. Chojnacka-Banaszkiewicz and D. Wach)



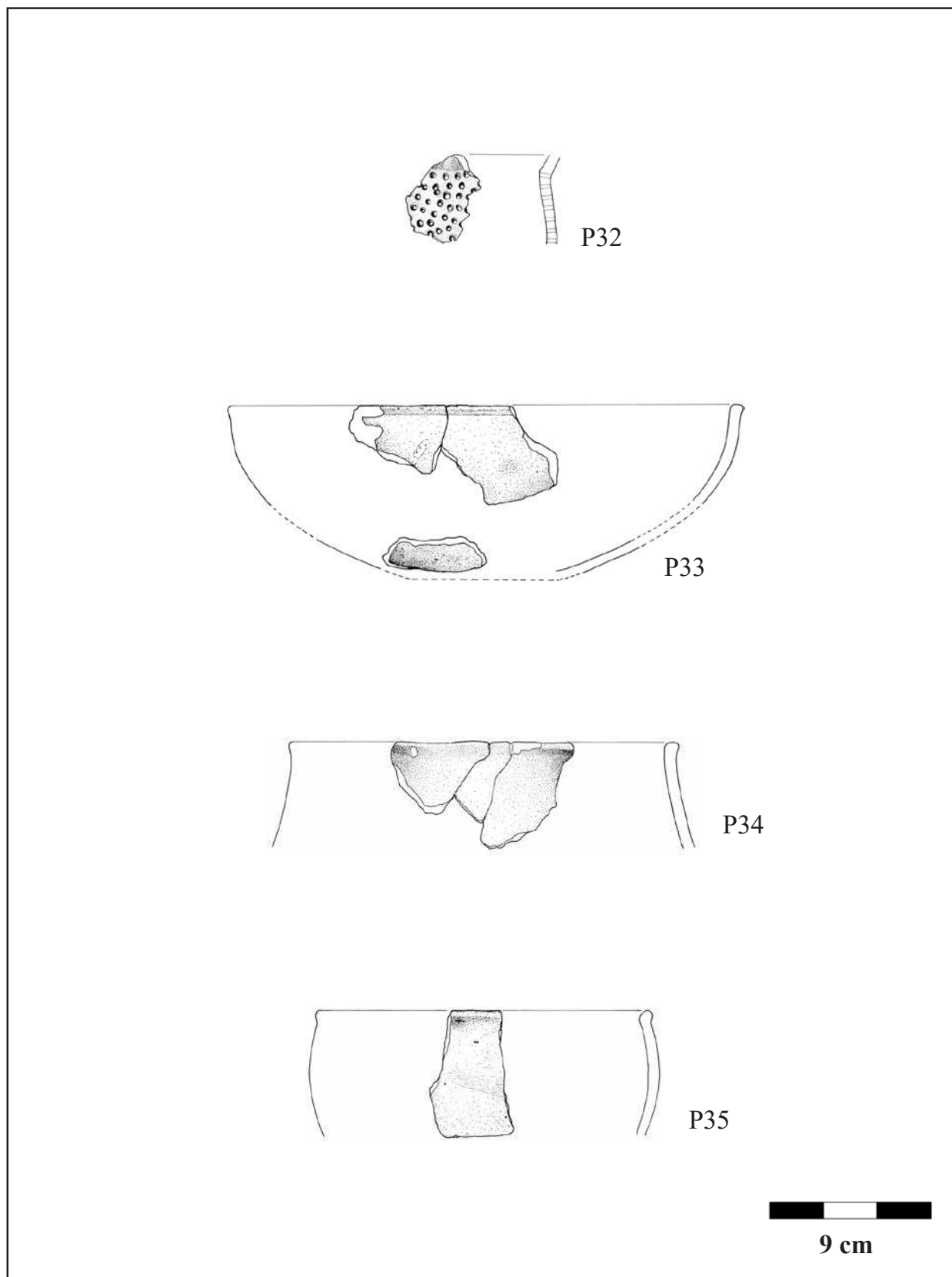
Ryc. 2e. Naczynia ceramiczne z wczesnej epoki żelaza, z których próbki analizowane były w czasie badań przedstawianych w niniejszym artykule (rys. A. Chojnacka-Banaszkiewicz)

Fig. 2e. Ceramic vessels from the Early Iron Age, from which the samples were analysed in the paper (drawn by A. Chojnacka-Banaszkiewicz)



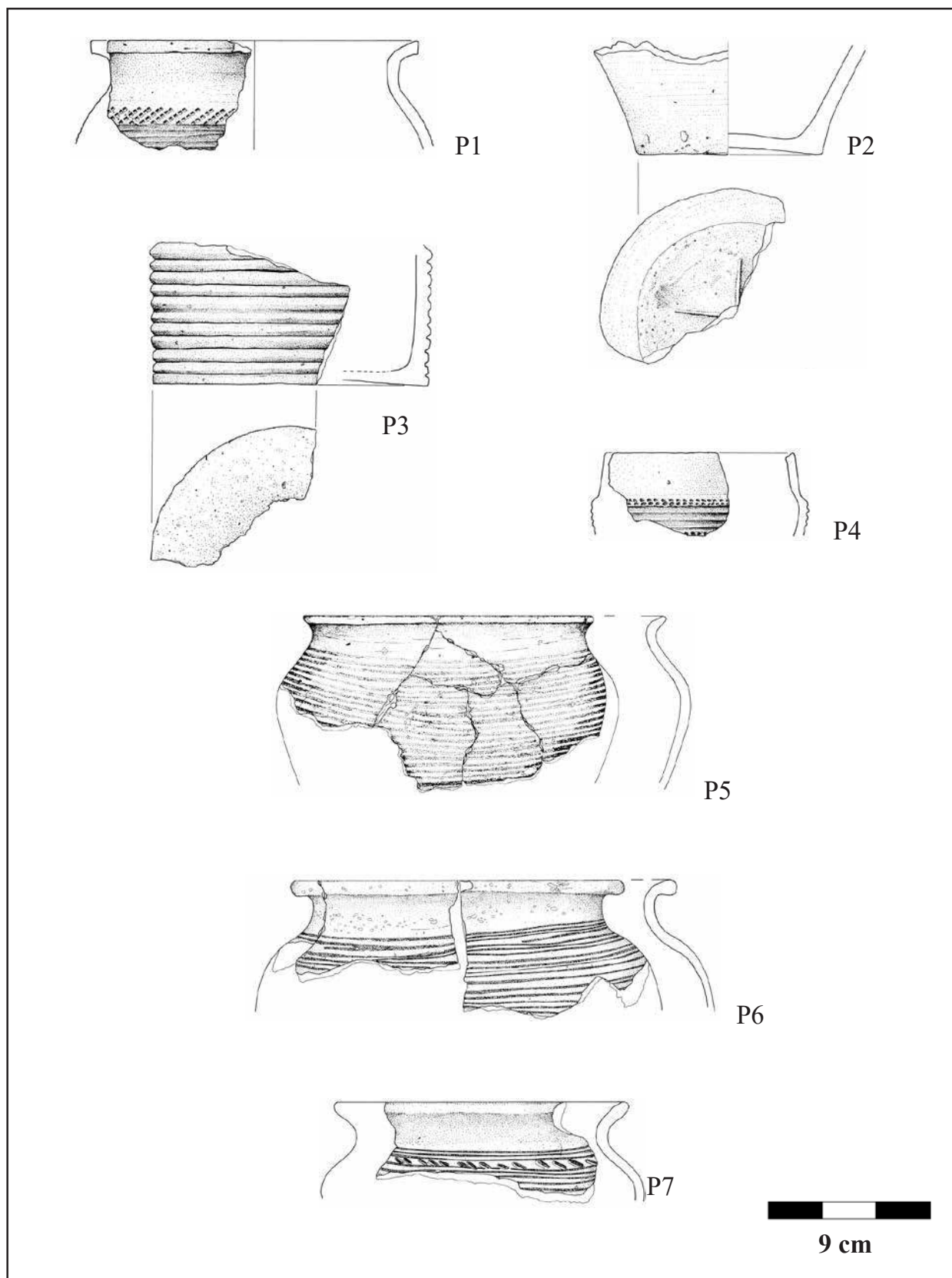
Ryc. 2f. Naczynia ceramiczne z wczesnej epoki żelaza, z których próbki analizowane były w czasie badań przedstawianych w niniejszym artykule (rys. A. Chojnacka-Banaszkiewicz)

Fig. 2f. Ceramic vessels from the Early Iron Age, from which the samples were analysed in the paper (drawn by A. Chojnacka-Banaszkiewicz)



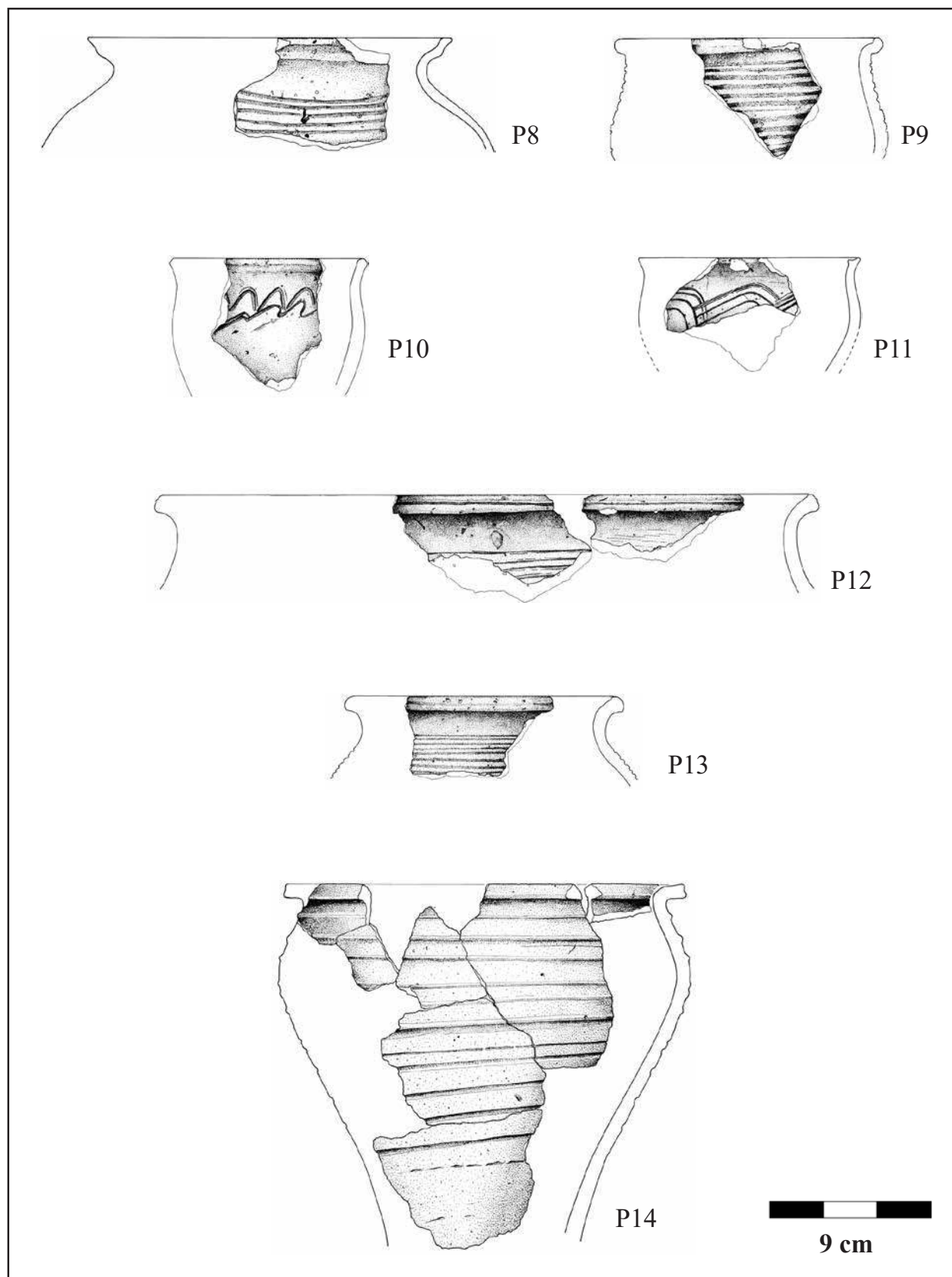
Ryc. 2g. Naczynia ceramiczne z wczesnej epoki żelaza, z których próbki analizowane były w czasie badań przedstawianych w niniejszym artykule (rys. A. Chojnacka-Banaszkiewicz)

Fig. 2g. Ceramic vessels from the Early Iron Age, from which the samples were analysed in the paper (drawn by A. Chojnacka-Banaszkiewicz)



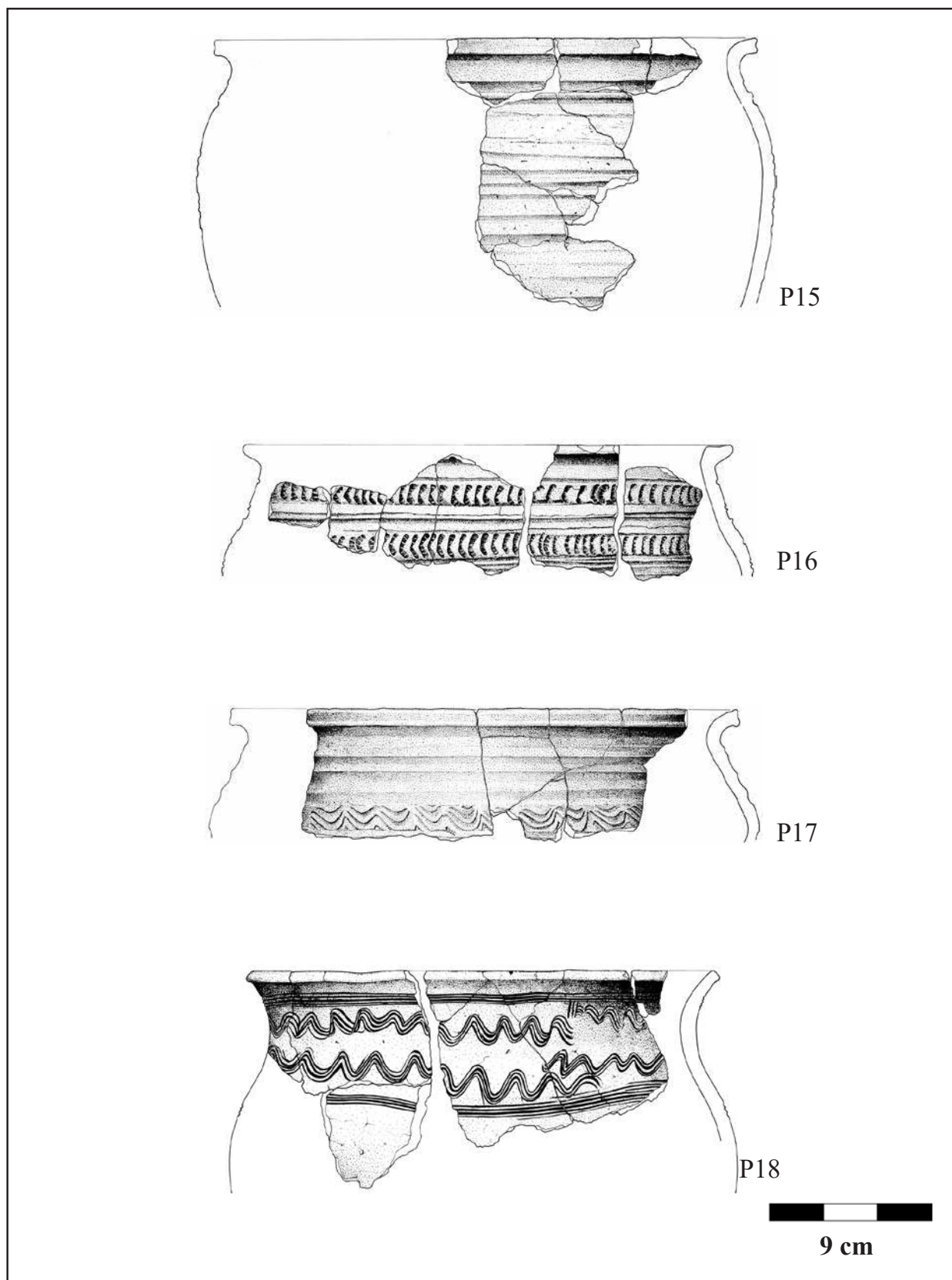
Ryc. 3a. Naczynia ceramiczne z okresu wczesnego średniowiecza do poł. XIII w., z których próbki analizowane były w czasie badań przedstawianych w niniejszym artykule (rys. A. Kucharska-Wach i D. Wach)

Fig. 3a. Ceramic vessels from the Early Middle Ages, from which the samples were analysed in the paper (drawn by A. Kucharska-Wach and D. Wach)



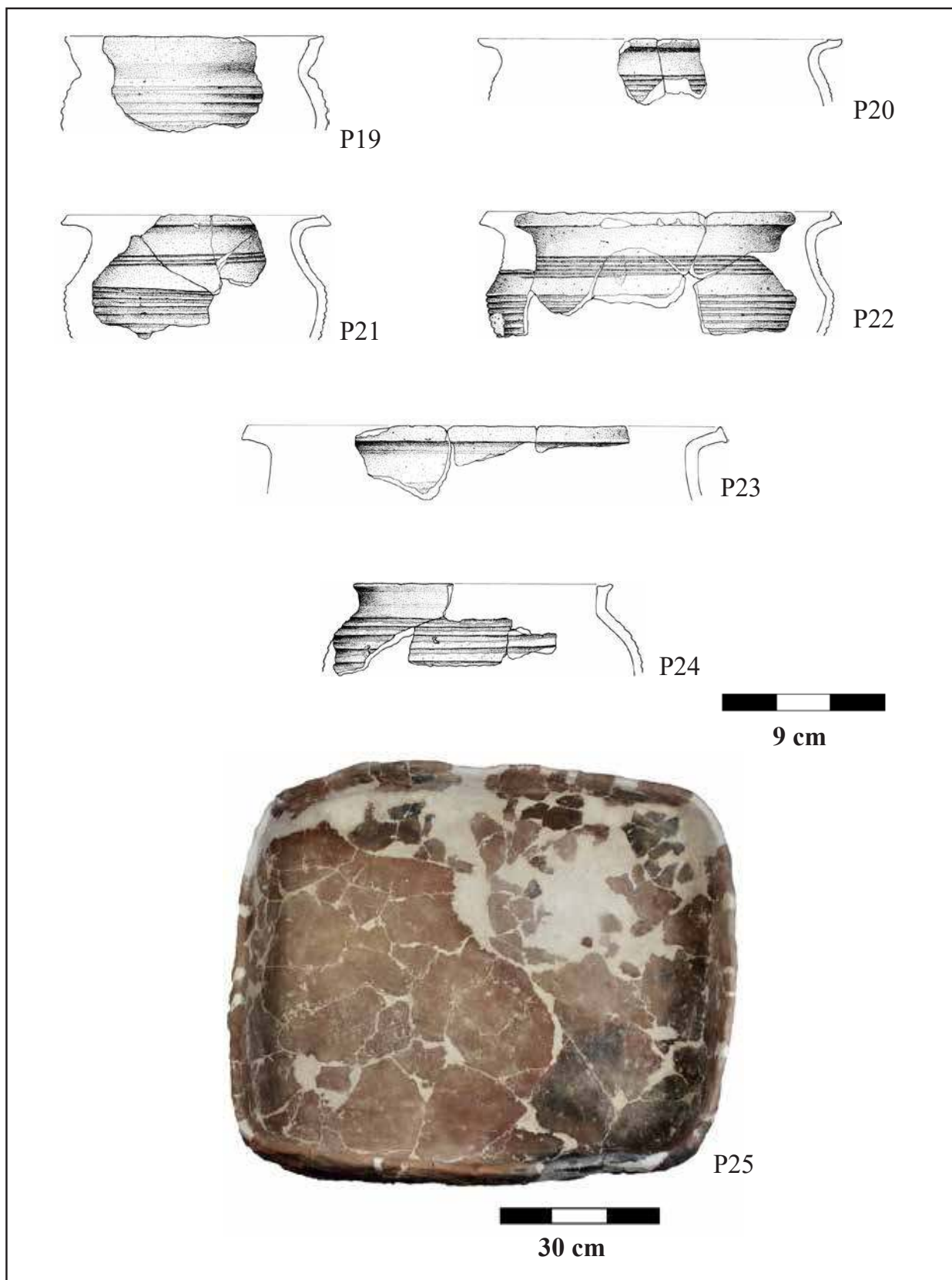
Ryc. 3b. Naczynia ceramiczne z okresu wczesnego średniowiecza do poł. XIII w., z których próbki analizowane były w czasie badań przedstawianych w niniejszym artykule (rys. A. Chojnacka-Banaszkiewicz i D. Wach)

Fig. 3b. Ceramic vessels from the Early Middle Ages, from which the samples were analysed in the paper (drawn by A. Chojnacka-Banaszkiewicz and D. Wach)



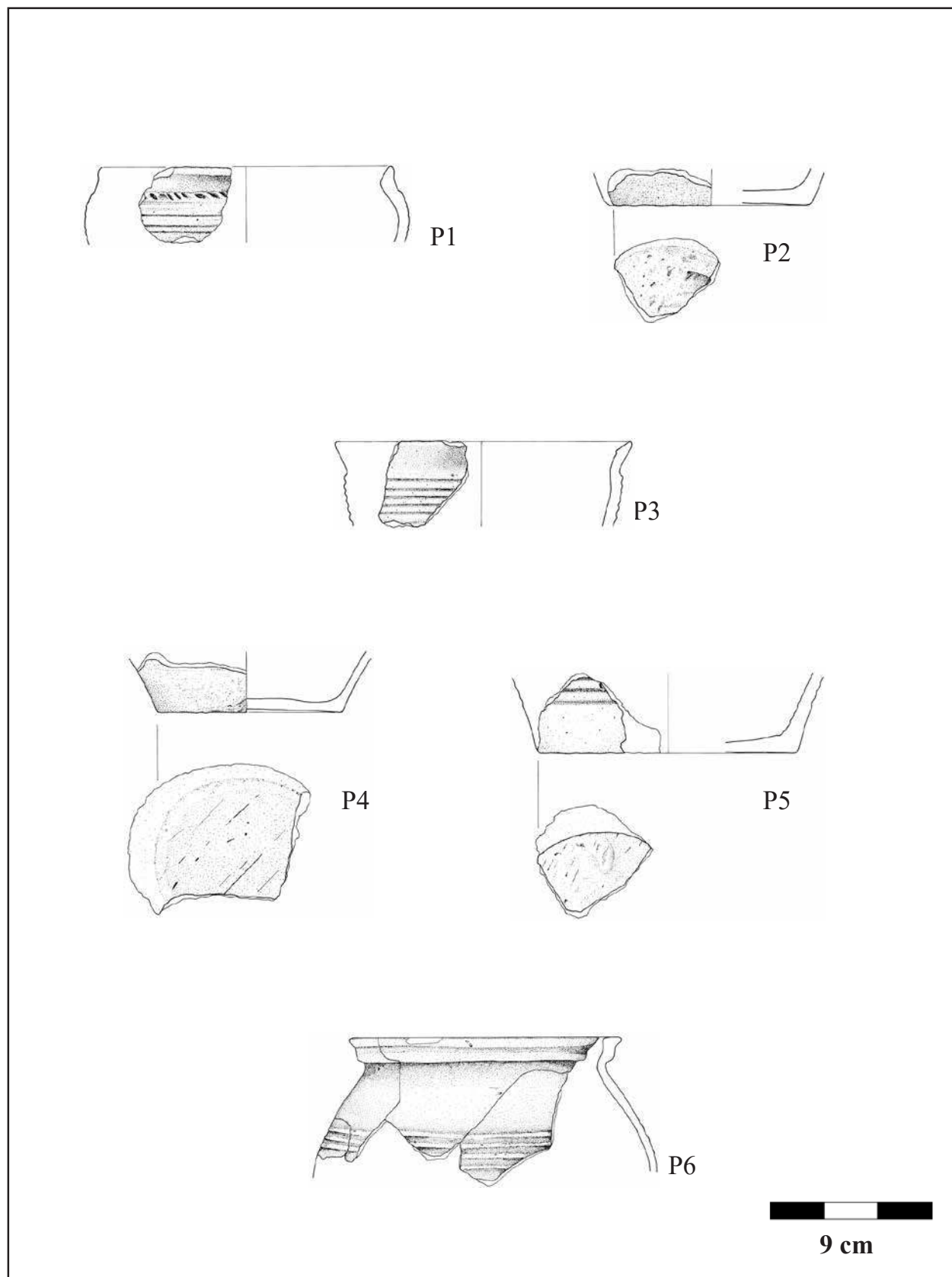
Ryc. 3c. Naczynia ceramiczne z okresu wczesnego średniowiecza do poł. XIII w., z których próbki analizowane były w czasie badań przedstawianych w niniejszym artykule (rys. D. Wach)

Fig. 3c. Ceramic vessels from the Early Middle Ages, from which the samples were analysed in the paper (drawn by D. Wach)



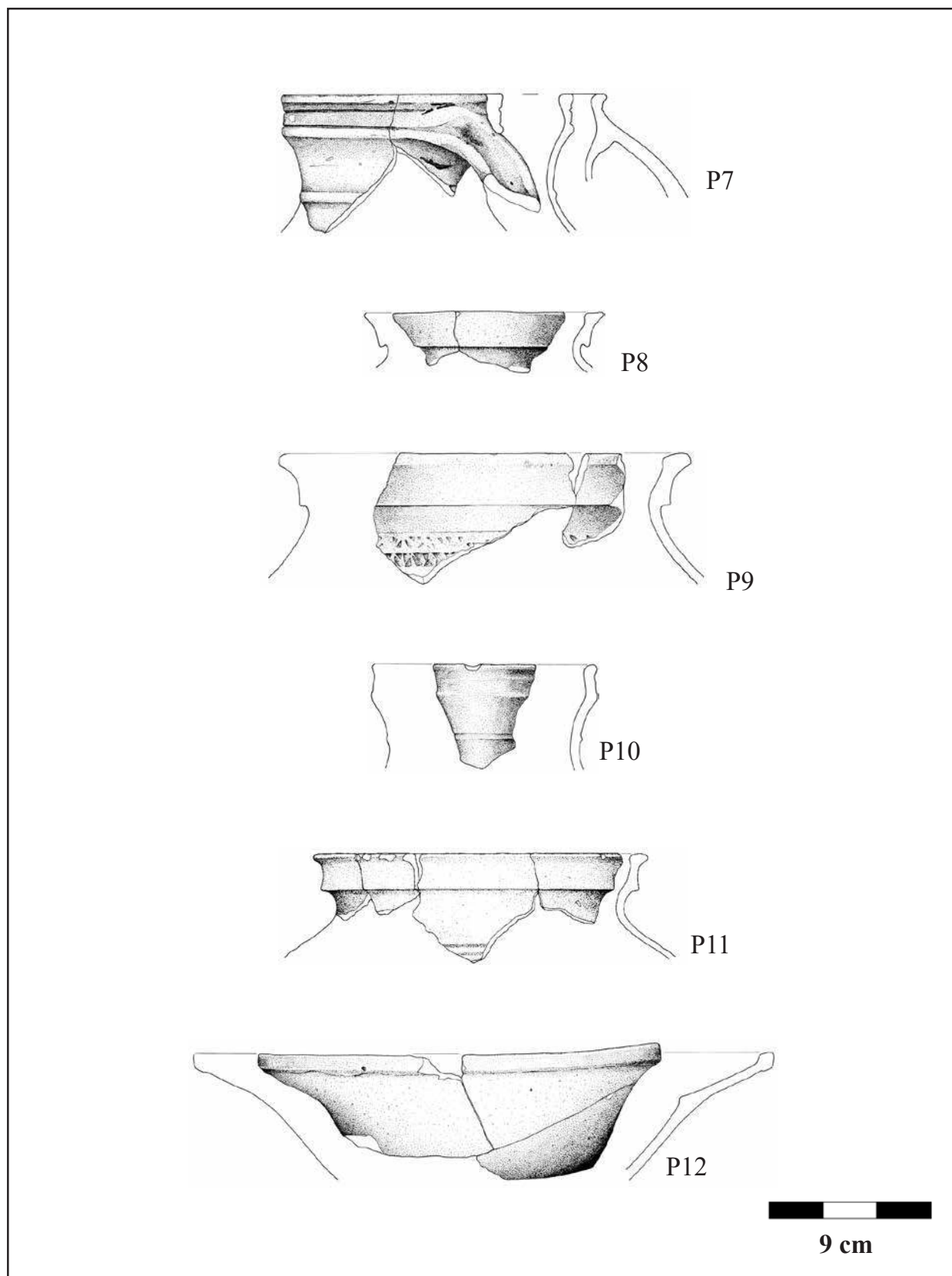
Ryc. 3d. Naczynia ceramiczne z okresu wczesnego średniowiecza do poł. XIII w., z których próbki analizowane były w czasie badań przedstawianych w niniejszym artykule (rys. D. Wach; fot. P. Potocka)

Fig. 3d. Ceramic vessels from the Early Middle Ages, from which the samples were analysed in the paper (drawn by D. Wach; photo by P. Potocka)



Ryc. 4a. Naczynia ceramiczne z okresu późnego średniowiecza, z których próbki analizowane były w czasie badań przedstawianych w niniejszym artykule (rys. A. Chojnacka-Banaszkiewicz i D. Wach)

Fig. 4a. Ceramic vessels from the Late Middle Ages, from which the samples were analysed in the paper (drawn by A. Chojnacka-Banaszkiewicz and D. Wach)



Ryc. 4b. Naczynia ceramiczne z okresu późnego średniowiecza, z których próbki analizowane były w czasie badań przedstawianych w niniejszym artykule (rys. D. Wach)

Fig. 4b. Ceramic vessels from the Late Middle Ages, from which the samples were analysed in the paper (drawn by D. Wach)

Tabela 1. Wykaz próbek ceramiki z wczesnej epoki żelaza analizowanych w czasie badań przedstawianych w niniejszym artykule (oprac. U. Kobylińska)**Table 1.** List of samples of pottery from the Early Iron Age, analysed in the paper (elaborated by U. Kobylińska)

Nr próbki	Stanowisko	Gmina	Powiat	Forma naczynia	Rodzaj powierzchni	Ślady okopcenia i/lub spalenizny
P1	Kamionka, st. 9	Iława	iławski	duże workowate naczynie zasobowe	gładka	plamy okopcenia
P2	Wieprz, st. 20	Zalewo	iławski	średniej wielkości garnek baniasty	zagładzana, matowa	plamy okopcenia
P3	Wieprz, st. 20	Zalewo	iławski	duża rozłożysta misa	wyświecona	
P4	Wieprz, st. 20	Zalewo	iławski	duża rozłożysta misa	wypolerowana	
P5	Wieprz, st. 20	Zalewo	iławski	duży garnek workowaty	gładka	
P6	Strużyna, st. 21	Morąg	ostródzki	duży czepak z uchem	gładka	
P7	Strużyna, st. 21	Morąg	ostródzki	duża rozłożysta misa	gładka	
P8	Strużyna, st. 21	Morąg	ostródzki	duży garnek workowaty	mocno chropowata	plamy okopcenia
P9	Strużyna, st. 21	Morąg	ostródzki	duży garnek esowaty	gładka	plamy okopcenia
P10	Strużyna, st. 21	Morąg	ostródzki	duża misa	zagładzana	
P11	Raciszewo, st. 9	Miłakowo	ostródzki	duży garnek esowaty	gładka	plamy spalenizny
P12	Tątlawki, st. 2	Morąg	ostródzki	średniej wielkości garnek workowaty	nierówna	
P13	Raciszewo, st. 9	Miłakowo	ostródzki	mała miseczka	wypolerowana	
P14	Raciszewo, st. 9	Miłakowo	ostródzki	duży garnek workowaty	gładka od wewnątrz, nierówna od zewnątrz	
P15	Tątlawki, st. 2	Morąg	ostródzki	duża misa głęboka	wyświecona obustronnie	
P16	Tątlawki, st. 2	Morąg	ostródzki	mała misa głęboka	gładka	
P17	Tątlawki, st. 2	Morąg	ostródzki	duży garnek baniasty	gładka od wewnątrz, chropowata zewnątrz	
P18	Tątlawki, st. 2	Morąg	ostródzki	naczynie sitowate	nierówna od wewnątrz, gładka zewnątrz	
P19	Łodygowo, st. 2	Kielice	iławski	duży garnek baniasty	gruzłowata	
P20	Łodygowo, st. 2	Kielice	iławski	średniej wielkości garnek lekko baniasty	wypolerowana od wewnątrz, chropowata zewnątrz	plamy okopcenia
P21	Zajączki, st. 1	Ostróda	ostródzki	średniej wielkości garnek lekko baniasty	wypolerowana od wewnątrz, gładka zewnątrz	plamy okopcenia
P22	Zajączki, st. 1	Ostróda	ostródzki	duży garnek baniasty	wypolerowana od wewnątrz, chropowata zewnątrz	plamy okopcenia
P23	Zajączki, st. 1	Ostróda	ostródzki	duży garnek jajowaty	chropowata	
P24	Zajączki, st. 1	Ostróda	ostródzki	duże workowate naczynie zasobowe	gładka	
P25	Stary Folwark, st. 1	Kielice	iławski	kubek o baniastym brzuścu	wyświecona	
P26	Stary Folwark, st. 1	Kielice	iławski	duże naczynie wazowate	gładka	
P27	Stary Folwark, st. 1	Kielice	iławski	duża misa	wyświecona	
P28	Stary Folwark, st. 1	Kielice	iławski	średniej wielkości garnek lekko baniasty	gładka	plamy okopcenia
P29	Stary Folwark, st. 1	Kielice	iławski	duży garnek z uchem	gładka	
P30	Stary Folwark, st. 1	Kielice	iławski	duży garnek baniasty	gładka	
P31	Stary Folwark, st. 1	Kielice	iławski	średniej wielkości garnek jajowaty	gładka	
P32	Strużyna, st. 24	Morąg	ostródzki	naczynie sitowate	nierówna wewnątrz, gładka zewnątrz	plamy okopcenia
P33	Strużyna, st. 24	Morąg	ostródzki	duża misa	wyświecona	
P34	Strużyna, st. 24	Morąg	ostródzki	duże naczynie wazowate	wyświecona	
P35	Lipowiec, st. 1	Ostróda	ostródzki	średniej wielkości głęboka misa	wyświecona	

Zawartość kwasów tłuszczowych w ceramice z grodzisk z zachodniej części ziem pruskich

Tabela 2. Wykaz próbek ceramiki z okresu wczesnego średniowiecza do poł. XIII w. analizowanych w czasie badań przedstawianych w niniejszym artykule (oprac. U. Kobylińska)

Table 2. List of samples of pottery from the Early Middle Ages, analysed in the paper (elaborated by U. Kobylińska)

Nr próbki	Stanowisko	Gmina	Powiat	Forma naczynia	Rodzaj powierzchni	Ślady okopcenia i/lub spalenizny
P1	Kamionka, st. 9	Iława	iławski	średniej wielkości garnek baniasty	szorstka	ślady okopcenia
P2	Kamionka, st. 9	Iława	iławski	duży garnek	szorstka	ślady okopcenia i spalenizny
P3	Kamionka, st. 9	Iława	iławski	średniej wielkości naczynie cylindryczne	zagładzana	ślady okopcenia
P4	Kamionka, st. 9	Iława	iławski	garnuszek z cylindryczną szyjką	zagładzana	ślady spalenizny
P5	Susz, st. 1	Susz	iławski	średniej wielkości garnek baniasty	szorstka	ślady okopcenia i spalenizny
P6	Łodygowo, st. 1	Kielice	iławski	średniej wielkości garnek baniasty	zagładzana	ślady spalenizny
P7	Łodygowo, st. 1	Kielice	iławski	mały garnek baniasty	szorstka	
P8	Łodygowo, st. 1	Kielice	iławski	duży garnek baniasty	gładka	ślady spalenizny
P9	Raciszewo, st. 9	Miłakowo	ostródzki	mały garnek baniasty	szorstka	
P10	Łodygowo, st. 2	Kielice	iławski	garnuszek esowaty	szorstka	
P11	Łodygowo, st. 2	Kielice	iławski	garnuszek baniasty	szorstka	
P12	Łodygowo, st. 2	Kielice	iławski	duży garnek esowaty	szorstka	
P13	Łodygowo, st. 2	Kielice	iławski	średniej wielkości garnek baniasty	szorstka	
P14	Zajączki, st. 1	Ostróda	ostródzki	duży garnek esowaty	szorstka	plamy okopcenia
P15	Zajączki, st. 1	Ostróda	ostródzki	duży garnek esowaty	szorstka	plamy okopcenia
P16	Zajączki, st. 1	Ostróda	ostródzki	duży garnek baniasty	szorstka	plamy okopcenia
P17	Zajączki, st. 1	Ostróda	ostródzki	duży garnek baniasty	szorstki	plamy okopcenia
P18	Zajączki, st. 1	Ostróda	ostródzki	duży garnek esowaty	szorstki	
P19	Zajączki, st. 1	Ostróda	ostródzki	garnuszek baniasty	szorstki	
P20	Morliny, st. 1	Ostróda	ostródzki	duże naczynie szerokootworowe	zagładzana	
P21	Morliny, st. 1	Ostróda	ostródzki	średniej wielkości garnek baniasty	zagładzana	ślady okopcenia i spalenizny
P22	Morliny, st. 1	Ostróda	ostródzki	średniej wielkości naczynie szerokootworowe	gładka	
P23	Morliny, st. 1	Ostróda	ostródzki	duży garnek	szorstka	
P24	Durąg, st. 1	Ostróda	ostródzki	garnuszek baniasty z cylindryczną szyjką	zagładzana	
P25	Łodygowo, st. 2	Kielice	iławski	prażnica		

Tabela 3. Wykaz próbek ceramiki z okresu późnego średniowiecza analizowanych w czasie badań przedstawianych w niniejszym artykule (oprac. U. Kobylińska)

Table 3. List of samples of pottery from the Late Middle Ages, analysed in the paper (elaborated by U. Kobylińska)

Nr próbki	Stanowisko	Gmina	Powiat	Forma naczynia	Rodzaj powierzchni	Ślady okopcenia i/lub spalenizny
P1	Mozgowo, st. 1	Zalewo	iławski	średniej wielkości naczynie baniaste	gładka	nieliczne plamy okopcenia
P2	Mozgowo, st. 1	Zalewo	iławski	średniej wielkości garnek	szorstka	
P3	Mozgowo, st. 1	Zalewo	iławski	mała misa	zagładzana	ślady okopcenia
P4	Boreczno, st. 4	Zalewo	iławski	duży garnek	gładka	
P5	Boreczno, st. 4	Zalewo	iławski	duży garnek	zagładzana	ślady spalenizny
P6	Łodygowo, st. 1	Kielice	iławski	średniej wielkości garnek baniasty	szorstka	
P7	Trupel, st. 1	Kielice	iławski	duży dzban	gładka	
P8	Grabin, st. 1	Ostróda	ostródzki	średniej wielkości dzban	siwa, matowa	
P9	Grabin, st. 1	Ostróda	ostródzki	duży dzban	siwa, matowa	
P10	Grabin, st. 1	Ostróda	ostródzki	dzbanek	siwa, matowa	
P11	Durąg, st. 1	Ostróda	ostródzki	duży dzban	siwa, matowa	
P12	Durąg, st. 1	Ostróda	ostródzki	duży talerz	siwa, wyświecona	

pe, Jacobs i Waelkens⁵ ustalili, że stosunek tych kwasów wynoszący około 1 ($1 \pm 0,1$) jest charakterystyczny dla naczyń, w których pożywienie gotowano (poddawano obróbce termicznej). Jednakże wnioski te oparte są jedynie na dwóch próbkach. Z kolei Gregg i Slater⁶ powołując się na badania wcześniejsze⁷ wartość tego stosunku wynoszącą między 1 a 2 uznają za wskaźnik rozłożonych pozostałości tłuszczu zwierzęcych, natomiast wartość powyżej 3 - rozłożonych tłuszczu roślinnych. Bazując na tym opracowaniu można wykazać jedynie główne źródło pozostałości: roślinne bądź zwierzęce.

Stosując wyżej opisane kryteria do analizowanych próbek okazuje się, że proporcja kwasów C16:0 do C18:0 wskazująca na rozłożone tłuszcze zwierzęce występuje w przypadku 13 próbek z epoki wczesnego żelaza, 11 próbek z okresu wczesnego średniowiecza oraz 7 próbek z późnego średniowiecza. Uzyskane dane nie pozwalają na określenie zależności rodzaju pożywienia od miejsca odnalezienia naczynia czy też jego rodzaju.

Z kolei proporcja odwrotna, C18:0 do C16:0, wg badań skandynawskich⁸ pozwala na odróżnienie rozłożonych pozostałości mięsa ssaków od pozostałości mięsa ryb. Wartość graniczną określili oni na 0,48. Jeśli wyliczona proporcja jest poniżej tej wartości, to istnieje duże prawdopodobieństwo, że badane pozostałości pochodzą od mięsa ryb. Przy tym, aby wyniki były wiarygodne, w badanych pozostałościach powinny występować, oprócz kwasów C16:0 i C18:0, także kwas C20:0 oraz cholesterol.

Łatwo zauważyć, że wartość proporcji kwasu C18:0 do C16:0 poniżej 0,48 oznacza jednocześnie wysoką wartość proporcji C16:0 do C18:0 – znacznie powyżej 2, co z kolei jest niezgodne z wcześniej opisanymi kryteriami przyjmowanymi dla rozłożonych tłuszczów zwierzęcych (zakres od 1 do 2). Gdyby sugerować się jedynie tymi opracowaniami, to w przypadku analizowanych próbek można zauważyć, że kryteria dla pozostałości mięsa ryb spełnia 10 próbek z wczesnej epoki żelaza, 3 próbki z wczesnego średniowiecza i również 3 próbki z późnego średniowiecza. Także tutaj nie można określić zależności rodzaju prawdopodobnego pożywienia od miejsca znalezienia naczynia czy też jego formy.

Inne badania pokazują, że pozostałości mięsa ryb morskich (oraz słodkowodnych) charakteryzuje większa ilość kwasu C16:0 niż C18:0⁹, przy czym w pozostałościach obecne być powinny również kwasy długołańcuchowe (powyżej 18 atomów węgla w cząsteczce) oraz co znaczące – kwasy trójnienasycone (zawierające trzy wiązania podwójne, np. kwas linolenowy (C18:3)), które bardzo rzadko występują w próbkach archeologicznych.

W większości analizowanych próbek naczyń kwas C16:0 dominował nad kwasem C18:0, w niemal wszyst-

kich oznaczono kwasy długołańcuchowe od C18 do C22, jednak nie oznaczono w nich żadnych kwasów trójnienasyconych. W 10 próbkach z epoki żelaza oraz 8 z wczesnego średniowiecza oznaczono więcej kwasu C18:0, natomiast we wszystkich próbkach z późnego średniowiecza dominował kwas C16:0. Dlatego też opisane kryterium nie sprawdza się w interpretacji uzyskanych wyników.

Ponadto analizy wyników w oparciu o proporcje tylko tych dwóch kwasów (C16:0 i C18:0) budzą wątpliwości tym bardziej, że są to kwasy wszechobecne, występujące zarówno w produktach roślinnych, jak i zwierzęcych¹⁰. Co więcej część autorów sugeruje, że znaczne ilości tych kwasów mogą być spowodowane procesami przekształcenia kwasów nienasyconych do nasyconych, np. degradacją C18:1 do C18:0.

Wiele uwagi poświęca się w literaturze odróżnieniu pozostałości tłuszczu przeżuwaczy od tłuszczu zwierząt monogastrycznych oraz produktów mlecznych na podstawie zawartości kwasów tłuszczowych. Istotne w tym względzie okazuje się występowanie w pozostałościach kwasów C15:0 i C17:0 o rozgałęzionych łańcuchach. Regert¹¹ pokazuje, że pozostałości tłuszczu zapasowych przeżuwaczy (oraz produktów mlecznych) powinny zawierać znacznie większą ilość kwasu C18:0 niż C16:0 oraz niewielki udział kwasów C15:0 i C17:0 (o prostych i rozgałęzionych łańcuchach), a także mieszaninę izomerów kwasu C18:1 (z wiązaniem podwójnym przy 9, 11, 13, 14, 15 i 16 węglu). Z kolei pozostałości mięsa zwierząt monogastrycznych (np. wieprzowiny) zawierają więcej kwasu C16:0 niż C18:0, nie powinny zawierać kwasów tłuszczowych o nieparzystej liczbie atomów węgla w łańcuchu oraz mogą zawierać tylko jeden rodzaj kwasu nienasyconego C18:1 – kwas oleinowy (cis-9-oktadekenowy).

Kolejni badacze, Dudd, Evershed i Gibson¹² oraz Hjulström¹³ na podstawie stosunku kwasu C17:0 o rozgałęzionym łańcuchu do kwasu C18:0 wnioskuje o rodzaju pozostałości tłuszczów zwierzęcych. Według nich niższe wartości tego stosunku (wg Dudda, Eversheda i Gibsona – do około 0,015; wg Hjulströma – do około 0,0077) są charakterystyczne dla pozostałości tłuszczu zwierząt monogastrycznych. Wartości znacznie wyższe (wg Dudda, Eversheda i Gibsona – od około 0,015; wg Hjulströma – od około 0,020) wskazują prawdopodobnie na pozostałości tłuszczu przeżuwaczy i mleka oraz produktów mlecznych.

Ze względu na brak w analizowanych próbkach kwasów o rozgałęzionych łańcuchach niemożliwe jest określenie czy w pozostałościach występują rozłożone tłuszcze przeżuwaczy. Ponadto w próbkach oznaczono znaczne ilości kwasów C15:0 i C17:0, występują kwasy o nieparzystej liczbie atomów węgla w łańcuchu (np. C9:0, C11:0, C13:0) oraz oznaczono tylko jeden izomer kwasu C18:1 (kwas oleinowy), co uniemożliwia jedno-

⁵ Kimpe, Jacobs i Waelkens 2002.

⁶ Gregg i Slater 2010.

⁷ Copley, Clark i Evershed 2005.

⁸ Isaksson 2000; Olsson i Isaksson 2008.

⁹ Regert 2011; Budja 2014.

¹⁰ Sikorski 2007.

¹¹ Regert 2011.

¹² Dudd, Evershed i Gibson 1999.

¹³ Hjulström 2008.

znaczące określenie rodzaju analizowanych pozostałości w oparciu o przytoczone kryteria, ale może również wskazywać na mieszane pochodzenie badanych pozostałości.

Biorąc pod uwagę możliwości interpretacji wyników analiz pozostałości organicznych zachowanych w nieszkliwionych naczyń ceramicznych w niniejszych badaniach do interpretacji uzyskanych wyników wykorzystano opracowanie Eerkensa¹⁴. Tabela Eerkensa (tab. 7) została opracowana nie tylko na podstawie wyników analiz naczyń pochodzących z wykopalisk archeologicznych, ale także w oparciu o wcześniejsze badania etnograficzne dotyczące pokarmów spożywanych w rejonie, z którego pochodziły próbki, doświadczenia z przygotowaniem pożywienia w naczyń testowych oraz w oparciu o analizy samych pokarmów. Aktualnie jest to najbardziej wiarygodne opracowanie proporcji kwasów tłuszczowych, z tym, że przy interpretacji danych należy mieć na uwadze, że dotyczy ono pożywienia ludności zamieszkującej obszary Ameryki Północnej.

Dodatkowo obliczony został stosunek kwasów zaproponowany przez Malainey: $(C15:0+C17:0)/(C12:0+C14:0+C16:0+C18:0)$ ¹⁵. Wartość tego stosunku większa od 0,04 jest charakterystyczna dla zwierząt przeżuwających.

Obliczone stosunki kwasów tłuszczowych przedstawione zostały w tabeli 8. Porównując otrzymane stosunki kwasowe ze stosunkami zaproponowanymi przez Eerkensa i Malainey można określić prawdopodobne źródło pochodzenia pożywienia przygotowywanego i/lub przechowywanego w badanych próbkach naczyń ceramicznych.

OMÓWIENIE WYNIKÓW BADAŃ

W diecie społeczności zamieszkującej zachodnią część ziem pruskich we wczesnej epoce żelaza (IV-II w. p.n.e.) w świetle analizy fragmentów ceramiki z tego okresu (tab. 4 i 8) dominowały pokarmy pochodzenia roślinnego, głównie nasiona i orzechy, na które wskazują wartości obliczonych stosunków kwasów tłuszczowych. Zaobserwowano w badanych próbkach takie kwasy, jak kwas behenowy (C22:0), czy jednonienasycone kwasy tłuszczowe: margarooleinowy (C17:1) i oleinowy (C18:1). W mniejszej liczbie badanych próbek obliczone stosunki kwasowe sugerowały możliwość kontaktu z naczyniem pokarmów mieszanych: zwierzęcych (mięso lub mleko ssaków) oraz roślinnych (nasiona i orzechy). Na pokarmy pochodzenia zwierzęcego może wskazywać obecność znacznych ilości kwasu palmitynowego (C16:0) oraz stearynowego (C18:0) w badanych próbkach. W części próbek zidentyfikowane zostały mieszane pokarmy roślinnego pochodzenia: nasiona i orzechy oraz rośliny korzeniowe lub nasiona i orzechy oraz warzywa.

Analizując wszystkie otrzymane wyniki dla średnio-wiecznych próbek naczyń wczesnośredniowiecznych z czasów przedkrzyżackich (X-XII w. – tab. 5 i 8) zaobserwować można przewagę pokarmów roślinnych, głównie nasion i orzechów oraz roślin korzeniowych. Za pokarmami pochodzenia roślinnego przemawia obecność w badanych próbkach takich kwasów, jak: margarooleinowy (C17:1), oleinowy (C18:1) oraz linolowy (C18:2). Obliczone stosunki kwasów tłuszczowych wskazują także, że w naczyń ceramicznych mogły znajdować się produkty mieszane, zarówno pochodzenia roślinnego, jak i zwierzęcego (mięso lub mleko ssaków).

W przypadku próbek ceramiki z czasów późnego średniowiecza (XIII-XIV w. – tab. 6 i 8) prawdopodobnymi pokarmami przechowywanymi i/lub przygotowywanymi w badanych fragmentach naczyń ceramicznych są pokarmy pochodzenia roślinnego: nasiona i orzechy oraz rośliny korzeniowe, z niewielkim udziałem pokarmów pochodzenia zwierzęcego (mięso lub mleko ssaków). Na te produkty wskazuje większość z obliczonych stosunków kwasów tłuszczowych. Znaczne ilości zidentyfikowanych kwasów palmitynowego (C16:0) oraz stearynowego (C18:0) potwierdzają obecność tłuszczu zwierzęcego w badanych naczyń, natomiast na obecność pokarmów roślinnych wskazuje obecność kwasów nienasyconych.

Na podstawie przeprowadzonych badań nie można zaobserwować radykalnej zmiany diety w analizowanych ramach czasowych. Fakt ten może wynikać ze zbyt małej liczby przebadanych próbek, jak również z możliwości niezmienności stosowanej diety.

Za pomocą pakietu PAST¹⁶, na podstawie danych przedstawiających stosunki kwasów tłuszczowych w próbkach (tab. 8, ryc. 5) została przeprowadzona analiza skupień metodą Warda. W przypadku 35 próbek ceramiki pochodzącej z wczesnej epoki żelaza (IV-II w. p.n.e.) obserwuje się, że próbki wykazują podobieństwo i łączą się w skupienia, np.: duże podobieństwo wykazują próbki P15 (P11/2014 - Tątlawki) i P17 (P13/2014 - Tątlawki), P10 (P5/2014 - Strużyna, st. 21) i P12 (P7/2014 - Raciszewo) wykazujące również podobieństwo do próbki P7 (P2/2014 - Strużyna, st. 21); P30 (P16/2016 - Stary Folwark) i P31 (P17/2016 - Stary Folwark) są bardzo podobne do P29 (P15/2016 - Stary Folwark).

Interesujące jest, że bardzo do siebie zbliżone pod względem analizowanych wskaźników są próbki P2, P3, P4 i P5, tworzące skupienie na diagramie, a także tworzące inne skupienie próbki P29, P30 i P31. Pierwsza z tych grup pochodzi ze stanowiska w Wieprzu, st. 20, druga zaś ze stanowiska w Starym Folwarku, st. 1. Oba te grodziska najprawdopodobniej pełniły funkcje ceremonialne i kultowe, a nie osadnicze, o czym świadczy ich mała wielkość, a także odkryte w czasie wykopalisk obszary depozycji potłuczonych i przepalonych naczyń glinianych, zapewne użytych podczas uroczystości obrzędowych. Podobieństwo wyników analiz tych próbek do siebie może

¹⁴ Eerkens 2005.

¹⁵ Malainey 1997.

¹⁶ Hammer, Harper i Ryan 2001.

Tabela 4. Wyniki analiz zawartości kwasów tłuszczowych w próbkach ceramiki z wczesnej epoki żelaza (oprac. J. Kałużna-Czaplińska)
Table 4. Results of the fatty acids contents in the pottery samples from the Early Iron Age (elaborated by J. Kałużna-Czaplińska)

Lp.	Nazwa systematyczna	Nazwa zwyczajowa	Skrót	Prawdopodobne pochodzenie kwasu	P1 (P5/2012)	P2 (P1/2013)	P3 (P2/2013)	P4 (P3/2013)	P5 (P4/2013)	P6 (P1/2014)	P7 (P2/2014)	P8 (P3/2014)	P9 (P4/2014)
1	Kwas pentanowy	Kwas walerianowy	C5:0	korzenie niektórych roślin, np. arcydzięgla	-	-	-	-	-	-	-	-	-
2	Kwas heksanowy	Kwas kapronowy	C6:0	tłuszcze mleczne przeżuwaczy	-	-	0,14	0,06	-	0,01	-	0,09	0,04
3	Kwas heptanowy	Kwas enantowy	C7:0	zjeżdżone oleje roślinne	-	-	-	-	-	-	-	-	-
4	Kwas oktanowy	Kwas kaprylowy	C8:0	tłuszcze mleczne	-	0,09	0,09	0,08	0,08	0,06	0,08	0,13	0,08
5	Kwas nonanowy	Kwas pelargonowy	C9:0	olejek eteryczny otrzymany z pelargonii	0,21	0,2	0,16	0,15	0,16	0,13	0,15	0,24	0,17
6	Kwas dekanowy	Kwas kaprynowy	C10:0	tłuszcze mleczne, tłuszcze zwierzęce	-	0,12	0,09	0,1	0,22	0,14	0,13	0,17	0,11
7	Kwas undekanowy	-	C11:0	tłuszcze roślinne	-	-	-	-	-	-	-	0,06	0,05
8	Kwas dodekanowy	Kwas laurynowy	C12:0	olej laurowy	0,78	2,14	2,05	1,36	1,4	0,31	0,42	0,44	0,33
9	Kwas tridekanowy	-	C13:0	produkty mleczne	-	-	-	-	-	0,13	-	0,19	-
10	Kwas tetradekanowy	Kwas mirystynowy	C14:0	produkty mleczne, tłuszcze roślin oleistych	2,5	1,83	2,09	1,4	2,59	2,71	2,6	2,2	1,74
11	Kwas pentadekanowy	-	C15:0	tłuszcze mleczne	1,76	1,03	0,66	0,78	0,76	1,26	1,04	1,23	0,86
12	Kwas heksadekanowy	Kwas oleopalmitynowy	C16:1	tłuszcze zwierzęce, tłuszcze rybne	2,62	-	-	-	-	1,44	1,91	1,82	1,45
13	Kwas heksadekanowy	Kwas palmitynowy	C16:0	wszechobecny, tłuszcze zwierzęce, tłuszcze mleczne	7,63	8,48	11,76	8,12	13,02	16,04	7,63	7,12	7,08
14	Kwas heptadekanowy	Kwas margaryoleinowy	C17:1	oleje roślinne	0,62	-	-	-	-	-	-	-	-
15	Kwas heptadekanowy	Kwas margarynowy	C17:0	tłuszcze mleczne	0,5	0,92	1,24	0,85	1,3	1,94	0,78	0,7	0,64
16	Kwas cis-9,cis-12oktadecadenowy	Kwas linolowy	C18:2	oleje roślinne	0,3	-	0,1	-	1,19	-	-	-	5,18
17	Kwas cis-9-oktadecenowy	Kwas oleinowy	C18:1	wszechobecny, tłuszcze mleczne	5,16	-	-	-	-	0,97	1,92	-	2
18	Kwas oktadekanowy	Kwas stearynowy	C18:0	wszechobecny, tłuszcze zwierzęce (tj. wołowy), tłuszcze mleczne	3,44	6,15	14,26	7,53	16,88	23,28	7,84	2,7	2,46
19	Kwas nonadekanowy	-	C19:0	tłuszcze i oleje roślinne	-	-	-	-	0,29	0,6	0,44	3,02	-
20	Kwas eikozanowy	Kwas arachidowy	C20:0	tłuszcze rybne	0,41	0,82	1,44	1,06	1,36	1,75	0,72	0,43	0,41
21	Kwas heneikozanowy	-	C21:0	tłuszcze zwierzęce	-	0,19	0,18	0,19	0,46	0,4	-	-	-
22	Kwas dokozaanowy	Kwas behenowy	C22:0	nasiona roślin oleistych, woski	0,56	1,29	1,3	1,16	1,03	0,82	0,67	0,53	0,37

Tabela 4. C.d.
Table 4. Continued

Lp.	Nazwa systematyczna	Nazwa zwyczajowa	Skrót	Prawdopodobne pochodzenie kwasu	P10 (P5/2014)	P11 (P6/2014)	P12 (P7/2014)	P13 (P8/2014)	P14 (P9/2014)	P15 (P11/2014)	P16 (P12/2014)	P17 (P13/2014)	P18 (P14/2014)
1	Kwas pentanowy	Kwas walerianowy	C5:0	korzenie niektórych roślin, np. arcydzięgla	-	-	-	-	-	-	-	-	-
2	Kwas heksanowy	Kwas kapronowy	C6:0	tłuszcze mleczne przeżuwaczy	0,06	-	0,03	-	0,07	0,1	-	0,06	0,03
3	Kwas heptanowy	Kwas enantowy	C7:0	zjełztałe oleje roślinne	-	-	-	-	-	-	-	-	-
4	Kwas oktanowy	Kwas kaprylowy	C8:0	tłuszcze mleczne	0,09	0,11	0,13	0,23	0,17	0,16	0,06	0,08	0,12
5	Kwas nonanowy	Kwas pelargonowy	C9:0	olejek eteryczny otrzymywany z pelargonii	0,27	-	0,27	0,34	-	0,39	0,31	0,11	0,21
6	Kwas dekanowy	Kwas kaprynowy	C10:0	tłuszcze mleczne, tłuszcze zwierzęce	0,1	0,11	0,27	0,41	0,19	0,18	0,14	0,09	0,15
7	Kwas undekanowy	-	C11:0	tłuszcze roślinne	-	0,38	-	-	-	-	-	-	-
8	Kwas dodekanowy	Kwas laurynowy	C12:0	olej laurowy	0,31	-	0,54	0,81	0,58	0,48	0,62	0,25	0,44
9	Kwas tridekanowy	-	C13:0	produkty mleczne	-	-	-	-	0,15	-	-	-	0,15
10	Kwas tetradekanowy	Kwas mirystynowy	C14:0	produkty mleczne, tłuszcze roślin oleistych	1,12	1,24	1,87	3,11	1,81	1,79	2,11	0,89	1,91
11	Kwas pentadekanowy	-	C15:0	tłuszcze mleczne	0,55	0,65	1,16	1,03	0,95	1,02	1,1	0,55	0,42
12	Kwas heksadekanowy	Kwas oleopalmitynowy	C16:1	tłuszcze zwierzęce, tłuszcze rybne	0,85	1,11	1,85	1,66	1,68	2,06	2,14	1,22	0,91
13	Kwas heksadekanowy	Kwas palmitynowy	C16:0	wszechobecnny, tłuszcze zwierzęce, tłuszcze mleczne	4,7	4,02	7,61	8,49	6,34	5,53	6,49	3,46	7,42
14	Kwas heptadekanowy	Kwas margaryoleinowy	C17:1	oleje roślinne	-	-	-	-	-	-	-	-	-
15	Kwas heptadekanowy	Kwas margarynowy	C17:0	tłuszcze mleczne	0,64	0,68	1,2	0,79	0,72	0,76	0,64	0,43	0,31
16	Kwas cis-9-cis-12-oktadecadienowy	Kwas linolowy	C18:2	oleje roślinne	-	-	-	-	-	-	-	-	-
17	Kwas cis-9-oktadecenowy	Kwas oleinowy	C18:1	wszechobecnny, tłuszcze mleczne	0,79	1,04	1,7	2,47	2,45	2,4	2,18	1,56	2,13
18	Kwas oktadekanowy	Kwas stearynowy	C18:0	wszechobecnny, tłuszcze zwierzęce (hoj wołowy), tłuszcze mleczne	4,5	2,3	8,4	5,76	3,05	2,31	2,6	1,46	4,24
19	Kwas nonadekanowy	-	C19:0	tłuszcze i oleje roślinne	-	-	0,4	-	-	-	-	-	-
20	Kwas eikozanowy	Kwas arachidowy	C20:0	tłuszcze rybne	0,48	-	0,62	0,58	-	-	0,27	0,28	0,61
21	Kwas heneikozanowy	-	C21:0	tłuszcze zwierzęce	-	-	0,25	-	-	-	-	-	0,19
22	Kwas dokozaanowy	Kwas behenowy	C22:0	nasiona roślin oleistych, woski	0,37	-	0,53	0,62	0,52	0,39	0,21	0,29	0,46

Tabela 4. C.d.
Table 4. Continued

Lp.	Nazwa systematyczna	Nazwa zwozyczna	Skrót	Prawdopodobne pochodzenie kwasu	P19 (P19/2014)	P20 (P20/2014)	P21 (P1/2016)	P22 (P2/2016)	P23 (P3/2016)	P24 (P4/2016)	P25 (P11/2016)	P26 (P12/2016)	P27 (P13/2016)
1	Kwas pentanowy	Kwas walerianowy	C5:0	korzenie niektórych roślin, np. arcydzięgiew	0,04	-	-	0,01	-	0,03	-	0,08	-
2	Kwas heksanowy	Kwas kapronowy	C6:0	tłuszcze mleczne przeżuwaczy	0,15	-	0,07	5,36	0,02	0,12	0,1	0,39	0,51
3	Kwas heptanowy	Kwas enantowy	C7:0	zjełzane oleje roślinne	0,26	-	-	-	-	-	-	-	-
4	Kwas oktanowy	Kwas kaprylowy	C8:0	tłuszcze mleczne	0,56	0,11	0,09	0,07	0,07	0,09	0,15	0,23	0,4
5	Kwas nonanowy	Kwas pelargonowy	C9:0	olejek eteryczny otrzymywany z pelargonii	0,71	0,23	0,17	0,09	0,15	0,12	0,26	0,34	0,53
6	Kwas dekanowy	Kwas kaprynowy	C10:0	tłuszcze mleczne, tłuszcze zwierzęce	0,59	0,12	0,08	0,08	0,1	0,07	0,15	0,18	0,31
7	Kwas undekanowy	-	C11:0	tłuszcze roślinne	0,63	0,07	-	-	-	-	-	-	-
8	Kwas dodekanowy	Kwas laurynowy	C12:0	olej laurowy	0,71	0,3	-	-	0,42	0,34	-	0,34	0,5
9	Kwas tridekanowy	-	C13:0	produkty mleczne	0,93	0,1	-	-	-	-	-	-	-
10	Kwas tetradekanowy	Kwas mirystynowy	C14:0	produkty mleczne, tłuszcze roślin oleistych	1,21	0,85	0,93	2,06	1,16	1,95	0,95	1,76	1,15
11	Kwas pentadekanowy	-	C15:0	tłuszcze mleczne	1,63	0,52	0,41	0,82	0,64	0,8	0,57	0,64	0,65
12	Kwas heksadekanowy	Kwas oleopalmitynowy	C16:1	tłuszcze zwierzęce, tłuszcze rybne	-	1,13	-	-	0,79	1,47	0,44	-	0,8
13	Kwas heksadekanowy	Kwas palmitynowy	C16:0	wszechobecny, tłuszcze zwierzęce, tłuszcze mleczne	3,63	3,75	2,24	7,31	3,71	3,83	6,52	3,71	2,96
14	Kwas heptadekanowy	Kwas margaryoleinowy	C17:1	oleje roślinne	-	-	-	-	-	0,87	-	-	-
15	Kwas heptadekanowy	Kwas margarynowy	C17:0	tłuszcze mleczne	2,57	0,54	-	1,11	-	-	0,46	1,11	-
16	Kwas cis-9,cis-12-oktadecadenowy	Kwas linoowy	C18:2	oleje roślinne	0,87	-	-	-	-	-	-	-	-
17	Kwas cis-9-oktadecenowy	Kwas oleinowy	C18:1	wszechobecny, tłuszcze mleczne	2,84	1,7	0,79	0,9	1,84	2,22	-	0,47	1,31
18	Kwas oktadekanowy	Kwas stearynowy	C18:0	wszechobecny, tłuszcze zwierzęce (tj. wołowy), tłuszcze mleczne	4,46	3,08	0,93	9,48	2,14	2,14	4,88	2,04	1,23
19	Kwas nonadekanowy	-	C19:0	tłuszcze i oleje roślinne	2,98	-	-	0,52	-	-	-	-	-
20	Kwas eikozanowy	Kwas arachidowy	C20:0	tłuszcze rybne	4,5	0,42	-	0,67	0,71	0,57	0,3	0,28	-
21	Kwas heneikozanowy	-	C21:0	tłuszcze zwierzęce	3,88	0,16	-	0,27	-	0,3	-	-	-
22	Kwas dokozaanowy	Kwas behenowy	C22:0	nasiona roślin oleistych, woski	4,56	0,28	-	0,38	0,62	0,51	-	0,23	0,16

Tabela 4. C.d.
Table 4. Continued

Lp.	Nazwa systematyczna	Nazwa zwyczajowa	Skróót	Prawdopodobne pochodzenie kwasu	P28 (P14/2016)	P29 (P15/2016)	P30 (P16/2016)	P31 (P17/2016)	P32 (P25/2016)	P33 (P26/2016)	P34 (P27/2016)	P35 (P31/2016)
1	Kwas pentanowy	Kwas walerianowy	C5:0	korzenie niektórych roślin, np. arcydzięgla	0,02	-	-	0,02	0,02	0,03	0,05	-
2	Kwas heksanowy	Kwas kapronowy	C6:0	tłuszcze mleczne przeżuwaczy	0,18	0,04	0,05	0,16	0,14	0,12	0,13	0,01
3	Kwas heptanowy	Kwas enantowy	C7:0	zjełczale oleje roślinne	-	-	-	-	0,08	-	-	-
4	Kwas oktanowy	Kwas kaprylowy	C8:0	tłuszcze mleczne	0,33	0,15	0,12	0,15	0,2	0,12	0,07	0,01
5	Kwas nonanowy	Kwas pelargonowy	C9:0	olejek eteryczny otrzymywany z pelargonii	0,52	0,33	0,25	0,2	0,32	0,18	0,11	0,2
6	Kwas dekanowy	Kwas kaprynowy	C10:0	tłuszcze mleczne, tłuszcze zwierzęce	0,26	0,2	0,12	0,12	0,11	0,08	0,07	0,14
7	Kwas undekanowy	-	C11:0	tłuszcze roślinne	0,09	0,09	-	-	-	-	-	0,06
8	Kwas dodekanowy	Kwas laurynowy	C12:0	olej laurowy	0,47	0,46	0,41	0,29	0,49	0,23	0,19	0,48
9	Kwas tridekanowy	-	C13:0	produkty mleczne	-	0,14	-	-	-	-	-	-
10	Kwas tetradekanowy	Kwas mirystynowy	C14:0	produkty mleczne, tłuszcze roślin oleistych	2,19	-	-	-	1,12	1,37	1,53	2,41
11	Kwas pentadekanowy	-	C15:0	tłuszcze mleczne	0,6	0,54	0,46	0,4	0,41	0,74	0,43	0,7
12	Kwas heksadekanowy	Kwas oleopalmitynowy	C16:1	tłuszcze zwierzęce, tłuszcze rybne	1,57	1,07	0,78	0,83	-	0,87	0,87	1,13
13	Kwas heksadekanowy	Kwas palmitynowy	C16:0	wszechobecnny, tłuszcze zwierzęce, tłuszcze mleczne	4,42	4,86	4,1	2,76	8,52	14,45	7,74	5,22
14	Kwas heptadekanowy	Kwas margaryoleinowy	C17:1	oleje roślinne	-	-	-	-	-	-	-	-
15	Kwas heptadekanowy	Kwas margarynowy	C17:0	tłuszcze mleczne	0,49	-	-	-	0,48	2,48	1,28	0,56
16	Kwas cis-9,cis-12-oktadecadienowy	Kwas linolowy	C18:2	oleje roślinne	-	-	-	-	-	-	-	-
17	Kwas cis-9-oktadecenowy	Kwas oleinowy	C18:1	wszechobecnny, tłuszcze mleczne	1,25	2	1,75	1,39	0,81	1,27	1,32	1,89
18	Kwas oktadekanowy	Kwas stearynowy	C18:0	wszechobecnny, tłuszcze zwierzęce (tłoj wołowy), tłuszcze mleczne	2,73	2,16	2	1,38	8,98	18,31	15,3	2,7
19	Kwas nonadekanowy	-	C19:0	tłuszcze i oleje roślinne	-	-	-	-	-	0,65	0,39	-
20	Kwas eikozanowy	Kwas arachidowy	C20:0	tłuszcze rybne	0,43	0,53	0,47	0,36	-	1,07	0,52	0,55
21	Kwas heneikozanowy	-	C21:0	tłuszcze zwierzęce	-	0,24	-	-	-	-	0,13	0,23
22	Kwas dokozaanowy	Kwas behenowy	C22:0	nasiona roślin oleistych, woski	0,34	0,51	0,45	0,29	-	0,53	0,23	0,71

Tabela 5. Wyniki analiz zawartości kwasów tłuszczowych w próbkach ceramiki z okresu wczesnego średniowiecza (oprac. J. Kałużna-Czaplińska)
Table 5. Results of the fatty acids contents in the pottery samples from the Early Middle Ages (elaborated by J. Kałużna-Czaplińska)

Lp.	Nazwa systematyczna	Nazwa zwojowa	Skrót	Prawdopodobne pochodzenie kwasu	P1 (P1/2012)	P2 (P2/2012)	P3 (P3/2012)	P4 (P4/2012)	P5 (P5/2013)	P6 (P6/2013)	P7 (P7/2013)	P8 (P8/2013)	P9 (P9/2014)
1	Kwas pentanowy	Kwas walerianowy	C5:0	korzenie niektórych roślin, np. arcydzięgla	-	-	-	-	-	-	-	-	0,04
2	Kwas heksanowy	Kwas kaproowy	C6:0	tłuszcze mleczne przeżuwaczy	0,19	-	0,22	-	-	-	-	-	0,08
3	Kwas heptanowy	Kwas enantowy	C7:0	zjeżdżałe oleje roślinne	-	-	-	-	-	-	-	0,05	-
4	Kwas oktanowy	Kwas kaprylowy	C8:0	tłuszcze mleczne	-	-	0,14	-	0,08	0,12	0,11	0,10	0,07
5	Kwas nonanowy	Kwas pelargonowy	C9:0	olejek eteryczny otrzymywany z pelargonii	-	-	-	0,19	0,14	0,22	0,13	0,19	-
6	Kwas dekanowy	Kwas kaprynowy	C10:0	tłuszcze mleczne, tłuszcze zwierzęce	-	-	-	-	0,14	0,15	0,09	0,20	0,05
7	Kwas undekanowy	-	C11:0	tłuszcze roślinne	-	-	-	-	0,09	0,09	-	0,23	-
8	Kwas dodekanowy	Kwas laurynowy	C12:0	olej laurowy	1,79	2,33	2,43	0,76	2,13	1,93	1,28	2,01	0,16
9	Kwas tridekanowy	-	C13:0	produkty mleczne	-	-	-	-	0,20	-	-	0,53	0,10
10	Kwas tetradekanowy	Kwas mirystynowy	C14:0	produkty mleczne, tłuszcze roślin oleistych	1,86	1,82	2,48	1,67	2,95	2,47	1,82	3,31	1,56
11	Kwas pentadekanowy	-	C15:0	tłuszcze mleczne	0,92	0,67	1,31	0,90	1,18	1,00	1,07	1,87	1,11
12	Kwas heksadekanowy	Kwas oleopalmitynowy	C16:1	tłuszcze zwierzęce, tłuszcze rybne	1,58	1,49	1,97	1,33	-	-	-	-	0,61
13	Kwas heksadekanowy	Kwas palmitynowy	C16:0	wszechobecnny, tłuszcze zwierzęce, tłuszcze mleczne	8,78	6,14	6,15	5,75	13,63	12,31	9,82	16,71	8,62
14	Kwas heptadekanowy	Kwas margaroleinowy	C17:1	oleje roślinne	0,61	0,45	0,61	-	-	-	-	-	-
15	Kwas heptadekanowy	Kwas margarynowy	C17:0	tłuszcze mleczne	0,80	0,53	0,70	0,98	1,72	0,61	1,70	1,00	3,43
16	Kwas cis-9,cis-12-oktadekanowy	Kwas linolowy	C18:2	oleje roślinne	-	-	-	0,25	0,82	0,82	-	-	-
17	Kwas cis-9-oktadekanowy	Kwas oleinowy	C18:1	wszechobecnny, tłuszcze mleczne	8,07	9,15	4,49	3,56	-	-	-	-	3,51
18	Kwas oktadekanowy	Kwas stearynowy	C18:0	wszechobecnny, tłuszcze zwierzęce (łój wołowy), tłuszcze mleczne	6,92	3,19	2,88	4,02	14,31	12,41	10,61	14,17	18,84
19	Kwas nonadekanowy	-	C19:0	tłuszcze i oleje roślinne	-	-	-	-	0,35	0,30	0,34	0,46	0,66
20	Kwas eikozanowy	Kwas arachidowy	C20:0	tłuszcze rybne	0,40	0,31	0,43	0,35	1,18	1,00	0,86	1,18	0,91
21	Kwas heneikozanowy	-	C21:0	tłuszcze zwierzęce	-	-	-	-	-	0,25	0,18	-	0,14
22	Kwas dokozanowy	Kwas behenowy	C22:0	nasiona roślin oleistych, woski	0,39	0,56	1,11	0,41	0,76	0,95	0,79	0,77	0,27

Tabela 5. C.d.
Table 5. Continued

Lp.	Nazwa systematyczna	Nazwa zwyczajowa	Skróót	Prawdopodobne pochodzenie kwasu	P10 (P15/2014)	P11 (P16/2014)	P12 (P17/2014)	P13 (P18/2014)	P14 (P5/2016)	P15 (P6/2016)	P16 (P7/2016)	P17 (P8/2016)
1	Kwas pentanowy	Kwas walerianowy	C5:0	korzenie niektórych roślin, np. arcydzięgla	-	0,01	0,05	-	0,02	-	-	0,03
2	Kwas heksanowy	Kwas kaproowy	C6:0	tłuszcze mleczne przeżuwaczy	0,03	0,04	0,19	0,02	0,11	-	0,01	0,12
3	Kwas heptanowy	Kwas enantowy	C7:0	zjeżdżałe oleje roślinne	-	-	-	-	-	-	-	-
4	Kwas oktanowy	Kwas kaprylowy	C8:0	tłuszcze mleczne	0,10	0,06	0,13	0,08	0,13	0,08	0,04	0,09
5	Kwas nonanowy	Kwas pelargonowy	C9:0	olejek eteryczny otrzymywany z pelargonii	0,20	0,10	0,21	0,11	0,24	0,14	0,11	0,15
6	Kwas dekanowy	Kwas kaprynowy	C10:0	tłuszcze mleczne, tłuszcze zwierzęce	0,13	0,07	0,11	0,11	0,11	0,08	0,06	0,08
7	Kwas undekanowy	-	C11:0	tłuszcze roślinne	-	0,07	0,09	-	0,08	-	0,04	-
8	Kwas dodekanowy	Kwas laurynowy	C12:0	olej laurowy	0,51	0,20	0,27	0,31	0,44	0,47	0,34	0,30
9	Kwas tridekanowy	-	C13:0	produkty mleczne	-	0,09	-	-	0,16	-	0,10	-
10	Kwas tetradekanowy	Kwas mirystynowy	C14:0	produkty mleczne, tłuszcze roślin oleistych	1,41	2,30	1,03	1,17	1,57	1,80	2,07	2,03
11	Kwas pentadekanowy	-	C15:0	tłuszcze mleczne	0,63	1,08	0,57	0,63	0,97	0,43	0,56	0,57
12	Kwas heksadekanowy	Kwas oleopalmitynowy	C16:1	tłuszcze zwierzęce, tłuszcze rybne	1,63	0,51	0,87	1,71	2,32	0,90	1,06	0,90
13	Kwas heksadekanowy	Kwas palmitynowy	C16:0	wszechobecny, tłuszcze zwierzęce, tłuszcze mleczne	6,23	9,11	5,33	4,84	5,63	2,36	3,51	6,42
14	Kwas heptadekanowy	Kwas margaryoleinowy	C17:1	oleje roślinne	-	-	-	-	0,85	-	-	-
15	Kwas heptadekanowy	Kwas margarynowy	C17:0	tłuszcze mleczne	0,55	2,96	0,82	-	0,89	-	0,47	0,64
16	Kwas cis-9,cis-12oktadekadienowy	Kwas linolowy	C18:2	oleje roślinne	-	-	-	-	-	-	-	-
17	Kwas cis-9-oktadekenowy	Kwas oleinowy	C18:1	wszechobecny, tłuszcze mleczne	2,51	4,04	1,78	2,70	2,23	1,34	1,67	1,55
18	Kwas oktadekanowy	Kwas stearynowy	C18:0	wszechobecny, tłuszcze zwierzęce (tj. wołowy), tłuszcze mleczne	3,31	12,96	6,34	2,68	2,61	1,17	1,63	5,31
19	Kwas nonadekanowy	-	C19:0	tłuszcze i oleje roślinne	-	1,22	1,10	-	-	-	-	-
20	Kwas eikozanowy	Kwas arachidowy	C20:0	tłuszcze rybne	0,49	2,02	2,57	-	0,61	-	0,50	0,51
21	Kwas heneikozanowy	-	C21:0	tłuszcze zwierzęce	0,14	0,86	2,85	-	-	-	-	-
22	Kwas dokozanowy	Kwas behenowy	C22:0	nasiona roślin oleistych, woski	0,43	1,68	6,39	-	0,50	0,26	0,45	0,58

Tabela 5. C.d.
Table 5. Continued

Lp.	Nazwa systematyczna	Nazwa zwyczajowa	Skrót	Prawdopodobne pochodzenie kwasu	P18 (P9/2016)	P19 (10/2016)	P20 (P18/2016)	P21 (P19/2016)	P22 (P20/2016)	P23 (P21/2016)	P24 (P28/2016)	P25 (P32/2016)
1	Kwas pentanowy	Kwas walerianowy	C5:0	korzenie niektórych roślin, np. arcydzięgielu	0,01	-	-	-	0,02	0,03	0,01	-
2	Kwas heksanowy	Kwas kaproonowy	C6:0	tłuszcze mleczne przeżuwaczy	0,12	0,02	0,04	0,12	0,14	0,08	0,07	0,04
3	Kwas heptanowy	Kwas enantowy	C7:0	zjełtzałe oleje roślinne	-	0,01	-	0,09	0,13	-	0,07	-
4	Kwas oktanowy	Kwas kaprylowy	C8:0	tłuszcze mleczne	0,11	0,07	0,08	0,23	0,20	0,09	0,09	0,09
5	Kwas nonanowy	Kwas pelargonowy	C9:0	olejek eteryczny otrzymywany z pelargonii	0,18	0,14	0,18	0,42	0,35	0,22	0,15	0,19
6	Kwas dekanowy	Kwas kaprynowy	C10:0	tłuszcze mleczne, tłuszcze zwierzęce	0,07	0,18	0,10	0,19	0,13	0,06	0,09	0,10
7	Kwas undekanoowy	-	C11:0	tłuszcze roślinne	-	0,05	-	-	0,09	-	0,07	-
8	Kwas dodekanowy	Kwas laurynowy	C12:0	olej laurowy	0,25	0,50	0,33	0,55	0,41	0,16	0,27	0,44
9	Kwas tridekanowy	-	C13:0	produkty mleczne	0,06	0,14	-	0,15	0,19	-	0,12	0,11
10	Kwas tetradekanowy	Kwas mirystynowy	C14:0	produkty mleczne, tłuszcze roślin oleistych	1,15	2,86	-	1,36	2,54	0,47	2,00	2,19
11	Kwas pentadekanowy	-	C15:0	tłuszcze mleczne	0,33	1,07	0,51	0,73	0,92	0,39	0,59	0,83
12	Kwas heksadekanowy	Kwas oleopalmitynowy	C16:1	tłuszcze zwierzęce, tłuszcze rybne	0,69	1,26	-	0,73	1,94	0,34	0,93	2,48
13	Kwas heksadekanowy	Kwas palmitynowy	C16:0	wszechobecny, tłuszcze zwierzęce, tłuszcze mleczne	2,76	13,09	4,42	8,07	12,80	2,34	11,02	5,01
14	Kwas heptadekenowy	Kwas margaroleinowy	C17:1	oleje roślinne	-	-	-	-	-	-	-	-
15	Kwas heptadekenowy	Kwas margarynowy	C17:0	tłuszcze mleczne	-	1,38	-	0,76	1,09	0,93	1,06	0,67
16	Kwas cis-9,cis-12oktadekadienowy	Kwas linolowy	C18:2	oleje roślinne	-	-	-	-	-	-	-	-
17	Kwas cis-9-oktadekenowy	Kwas oleinowy	C18:1	wszechobecny, tłuszcze mleczne	1,20	1,94	2,06	1,54	1,66	1,31	1,55	1,95
18	Kwas oktadekanowy	Kwas stearynowy	C18:0	wszechobecny, tłuszcze zwierzęce (fój wołowy), tłuszcze mleczne	1,36	15,06	2,98	7,45	11,63	1,67	11,08	2,22
19	Kwas nonadekanowy	-	C19:0	tłuszcze i oleje roślinne	-	0,10	-	-	-	0,97	0,34	-
20	Kwas eikozanowy	Kwas arachidowy	C20:0	tłuszcze rybne	0,38	1,17	0,43	-	0,62	4,09	0,73	0,68
21	Kwas heneikozanowy	-	C21:0	tłuszcze zwierzęce	-	0,31	-	-	-	3,51	0,14	-
22	Kwas dokozanowy	Kwas behenowy	C22:0	nasiona roślin oleistych, woski	0,32	0,71	0,41	-	-	8,12	0,35	0,75

Tabela 6. Wyniki analiz zawartości kwasów tłuszczowych w próbkach ceramiki z okresu późnego średniowiecza (oprac. J. Katużna-Czaplińska)
Table 6. Results of the fatty acids contents in the pottery samples from the Late Middle Ages (elaborated by J. Katużna-Czaplińska)

Lp.	Nazwa systematyczna	Nazwa zwozuczajowa	Skrót	Prawdopodobne pochodzenie kwasu	P1 (P6/2012)	P2 (P7/2012)	P3 (P8/2012)	P4 (P9/2012)	P5 (P10/2012)	P6 (P8/2013)	P7 (P10/2013)	P8 (P22/2016)
1	Kwas pentanowy	Kwas walerianowy	C5:0	korzenie niektórych roślin, np. arcydzięgielu	-	-	-	-	-	-	-	-
2	Kwas heksanowy	Kwas kapronowy	C6:0	tłuszcze mleczne przeżuwaczy	-	-	-	-	-	0,08	-	0,09
3	Kwas heptanowy	Kwas enantowy	C7:0	zjełzale oleje roślinne	-	-	-	-	-	-	-	0,14
4	Kwas oktanowy	Kwas kaprylowy	C8:0	tłuszcze mleczne	0,20	-	-	-	0,39	0,13	0,11	0,22
5	Kwas nonanowy	Kwas pelargonowy	C9:0	olejek eteryczny otrzymywany z pelargonii	-	-	-	0,36	0,51	0,18	0,11	0,41
6	Kwas dekanowy	Kwas kaprynowy	C10:0	tłuszcze mleczne, tłuszcze zwierzęce	-	-	-	-	-	0,10	0,08	0,20
7	Kwas undekanowy	-	C11:0	tłuszcze roślinne	-	-	-	-	-	-	-	0,09
8	Kwas dodekanowy	Kwas laurynowy	C12:0	olej laurowy	1,21	0,83	0,42	1,50	0,54	1,91	2,28	0,67
9	Kwas tridekanowy	-	C13:0	produkty mleczne	-	-	-	-	-	-	-	0,11
10	Kwas tetradekanowy	Kwas mirystynowy	C14:0	produkty mleczne, tłuszcze roślin oleistych	2,34	1,93	1,40	4,19	2,05	1,92	1,64	3,42
11	Kwas pentadekanowy	-	C15:0	tłuszcze mleczne	1,73	1,36	0,82	2,37	1,14	0,74	0,82	0,59
12	Kwas heksadekanowy	Kwas oleopalmitynowy	C16:1	tłuszcze zwierzęce, tłuszcze rybne	2,65	1,93	1,45	4,49	2,40	-	-	1,44
13	Kwas heksadekanowy	Kwas palmitynowy	C16:0	wszechoobecny, tłuszcze zwierzęce, tłuszcze mleczne	6,55	5,57	3,99	11,85	7,45	10,56	9,70	6,73
14	Kwas heptadekanowy	Kwas margaroolenowy	C17:1	oleje roślinne	0,61	0,50	0,37	1,13	0,56	-	-	-
15	Kwas heptadekanowy	Kwas margarynowy	C17:0	tłuszcze mleczne	0,48	0,91	0,34	0,88	0,65	0,97	1,04	0,54
16	Kwas cis-9,cis-12-oktadekadienowy	Kwas linolowy	C18:2	oleje roślinne	0,23	0,21	0,18	0,53	0,24	-	0,10	-
17	Kwas cis-9-oktadekenowy	Kwas oleinowy	C18:1	wszechoobecny, tłuszcze mleczne	5,62	3,79	2,62	4,06	4,52	-	-	1,93
18	Kwas oktadekanowy	Kwas stearynowy	C18:0	wszechoobecny, tłuszcze zwierzęce (łój wołowy), tłuszcze mleczne	3,13	2,78	1,50	4,16	4,29	6,69	8,51	4,42
19	Kwas nonadekanowy	-	C19:0	tłuszcze i oleje roślinne	-	-	-	-	-	-	-	-
20	Kwas eikozanowy	Kwas arachidowy	C20:0	tłuszcze rybne	0,44	0,38	0,63	0,67	0,31	0,70	0,85	0,61
21	Kwas heneikozanowy	-	C21:0	tłuszcze zwierzęce	-	-	-	-	-	0,30	-	-
22	Kwas dokozaanowy	Kwas behenowy	C22:0	nasiona roślin oleistych, woski	0,42	0,34	0,31	0,58	0,22	1,07	0,93	0,37

Tabela 6. C.d.
Table 6. Continued

Lp.	Nazwa systematyczna	Nazwa zwoyczajowa	Skróć	Prawdopodobne pochodzenie kwasu	P9 (P23/2016)	P10 (P24/2016)	P11 (P29/2016)	P12 (P30/2016)
1	Kwas pentanowy	Kwas walerianowy	C5:0	korzenie niektórych roślin, np. arcydzię-gielu	-	-	0,01	-
2	Kwas heksanowy	Kwas kapronowy	C6:0	tłuszcze mleczne przeżuwaczy	0,07	0,28	0,10	0,28
3	Kwas heptanowy	Kwas enantowy	C7:0	zjeżdżałe oleje roślinne	-	0,18	-	-
4	Kwas oktanowy	Kwas kaprylowy	C8:0	tłuszcze mleczne	0,16	-	0,17	0,12
5	Kwas nonanowy	Kwas pelargonowy	C9:0	olejek eteryczny otrzymywany z pe-largonii	0,27	0,32	0,32	0,19
6	Kwas dekanowy	Kwas kaprynowy	C10:0	tłuszcze mleczne, tłuszcze zwierzęce	0,16	0,12	0,16	0,08
7	Kwas undekanowy	-	C11:0	tłuszcze roślinne	-	0,06	-	-
8	Kwas dodekanowy	Kwas laurynowy	C12:0	olej laurowy	0,38	0,47	0,48	0,28
9	Kwas tridekanowy	-	C13:0	produkty mleczne	-	0,08	0,16	-
10	Kwas tetradekanowy	Kwas mirystynowy	C14:0	produkty mleczne, tłuszcze roślin oleistych	1,94	2,97	2,41	1,65
11	Kwas pentadekanowy	-	C15:0	tłuszcze mleczne	0,62	0,43	0,94	0,62
12	Kwas heksadekanowy	Kwas oleopalmito- nowy	C16:1	tłuszcze zwierzęce, tłuszcze rybne	2,29	1,52	1,90	1,78
13	Kwas heksadekanowy	Kwas palmitynowy	C16:0	wszechobecnny, tłuszcze zwierzęce, tłuszcze mleczne	5,80	5,16	6,58	5,49
14	Kwas heptadekanowy	Kwas margaroolo- inowy	C17:1	oleje roślinne	-	-	-	-
15	Kwas heptadekanowy	Kwas margarynowy	C17:0	tłuszcze mleczne	-	0,45	0,74	-
16	Kwas cis-9,cis-12okta- dekadienowy	Kwas linolowy	C18:2	oleje roślinne	-	-	-	-
17	Kwas cis-9-oktadeke- nowy	Kwas oleinowy	C18:1	wszechobecnny, tłuszcze mleczne	1,54	-	2,12	1,34
18	Kwas oktadekanowy	Kwas stearynowy	C18:0	wszechobecnny, tłuszcze zwierzęce (fój wołowy), tłuszcze mleczne	3,42	4,13	5,26	2,54
19	Kwas nonadekanowy	-	C19:0	tłuszcze i oleje roślinne	-	-	-	-
20	Kwas eikozanowy	Kwas arachidowy	C20:0	tłuszcze rybne	-	0,52	0,79	-
21	Kwas heneikozanowy	-	C21:0	tłuszcze zwierzęce	-	-	-	-
22	Kwas dokozanowy	Kwas behenowy	C22:0	nasiona roślin oleistych, woski	-	0,35	0,75	0,50

Tabela 7. Stosunki kwasów tłuszczowych wykorzystywane do rozróżnienia rodzajów pożywienia (wg J.W. Eerkena)**Table 7.** Ratios of fatty acids used in identification of types of food (according to J.W. Eerkena)

Stosunek	Stan	Ssaki	Ryby	Rośliny korzeniowe	Warzywa	Nasiona i orzechy	Jagody
(C15:0+C17:0)/C18:0	świeże rozłożone	<0,2 <0,2	0,2-0,5 0,2-0,5	>0,2 >0,2	0,1-1,0 0,1-1,0	<0,6 <0,6	<0,2 <0,2
C16:1/C18:1	świeże rozłożone	0,02-0,2 0,08-0,8	0,2-0,5 0,8-2,0	0,05-0,7 0,2-2,8	>0,7 >2,8	<0,3 <1,2	<0,08 <0,32
C16:0/C18:0	świeże rozłożone	<3,5 <7	4-6 8-12	3-12 6-24	5-12 10-24	0-9 0-18	2-6 4-12
C12:0/C14:0	świeże rozłożone	<0,15 <0,15	<0,15 <0,15	>0,15 >0,15	>0,05 >0,05	>0,15 >0,15	>0,15 >0,15

świadczą o specyficznym rodzaju napoju czy pokarmu konsumowanego podczas tych domniemyanych uczt.

Analiza czynnikowa metodą głównych składowych przeprowadzona dla tych samych danych wykazuje różnice między próbkami pochodzącymi z różnych miejscowości. Na ryc. 6 widoczne jest uporządkowanie próbek w trzy grupy, np.: ugrupowanie przy osi składowej 1 tworzą próbki ceramiki odnalezione w miejscowościach położonych w swoim sąsiedztwie: Łodygowo i Stary Folwark. Próbka, która widocznie odbiega od pozostałych to próbka P6 (P1/2014 – Strużyna, st. 21). W nieznacznym stopniu także próbki podobne do siebie: P28 (P14/2016 - Stary Folwark) i P11 (P6/2014 – Strużyna, st. 21) oraz P33 (P26/2016 – Strużyna, st. 24) i P34 (P27/2016 – Strużyna, st. 24) różnią się od pozostałych.

Także dla 25 próbek z wczesnego średniowiecza przedkrzyżackiego (X-XII w.), na podstawie danych przedstawiających stosunki kwasów tłuszczowych została przeprowadzona analiza skupień metodą Warda (tab. 8, ryc. 7). Zaobserwować można, że próbki łączą się w mniejsze lub większe skupienia, wykazując tym samym podobieństwo m.in. próbki P5 (P5/2013 - Susz) i próbki P7 (P7/2013 - Łodygowo, st. 1), które podobne są do próbki P6 (P6/2013 - Łodygowo, st. 1).

Analiza czynnikowa metodą głównych składowych przeprowadzona dla tych samych danych (ryc. 8) uwiadcza, że próbki P2 (P2/2012 - Kamionka), P3 (P3/2012 - Kamionka) i P22 (P20/2016 - Morliny) znacznie odbiegają wartościami stosunków kwasowych od pozostałych próbek. W przypadku próbek przedkrzyżackich również można zaobserwować różnice pomiędzy próbkami pochodzącymi z różnych miejscowości. Na wykresie obserwuje się, iż próbki tworzą trzy grupy, np.: jedną z grup tworzą próbki: P1 (P1/2012 - Kamionka), P5 (P5/2013 - Susz), P6 (P6/2013 – Łodygowo, st. 1), P7 (P7/2013 - Łodygowo, st. 1) oraz P8 (P9/2013 - Łodygowo, st. 1). Wymienione próbki ceramiki archeologicznej zostały odnalezione w miejscowościach położonych blisko siebie.

Również dla 12 próbek najmłodszych, pochodzących z późnego średniowiecza (XIII-XIV w.), na podstawie obliczonych stosunków kwasów tłuszczowych została przeprowadzona analiza skupień metodą Warda (tab. 8, ryc. 9). W tym przypadku analiza skupień metodą Warda wykazuje duże podobieństwo m.in. próbek P1

(P6/2012 - Mozgowo) i P2 (P7/2012 - Mozgowo), P8 (P22/2016 - Grabin) i P11 (P29/2016 - Durąg) oraz P9 (P23/2016 - Grabin) i P12 (P30/2016 - Durąg). Próbka P10 (P24/2016 - Grabin) wraz z podobnymi do niej próbkami P6 (P8/2013 - Łodygowo, st. 1) i P7 (P10/2013 - Trupel) wykazują wyraźną odmienność od pozostałych próbek.

Na wykresie otrzymanym po przeprowadzeniu analizy czynnikowej metodą głównych składowych dla tych samych danych (ryc. 10), obserwuje się, tak samo jak w przypadku diagramu wyników analizy skupień, że próbki nie tworzą większych grup. Największe podobieństwo wykazują próbki P1 (P6/2012 - Mozgowo) i P2 (P7/2012 - Mozgowo). Naczynia, z których pochodzą te próbki, zostały odkryte na tym samym stanowisku.

Rozpatrując rodzaj pokarmu, określony na podstawie obliczonych stosunków kwasów tłuszczowych (tab. 8) nie można zaobserwować zróżnicowania spożywanych pokarmów pod względem geograficznym w tym samym okresie czasu. W przypadku próbek pochodzących ze stanowisk z wczesnej epoki żelaza pokarmem dominującym są nasiona i orzechy, pokarm ten pojawił się w pięciu z dziewięciu analizowanych stanowisk. Pokarmy pochodzenia mieszanego: nasiona i orzechy oraz mięso lub mleko ssaków wystąpiły w próbkach z dwóch stanowisk. Dla próbek pochodzących ze stanowisk z wczesnego średniowiecza także przeważają pokarmy roślinne: nasiona i orzechy, poświadczane dla trzech z siedmiu stanowisk. Pokarmy pochodzenia zwierzęcego ujawniły się w próbkach z trzech stanowisk. Analizując próbki pochodzące ze stanowisk z późnego średniowiecza stwierdzono, że głównym pokarmem okazały się nasiona i orzechy, które wystąpiły w próbkach z pięciu z sześciu rozpatrywanych stanowisk. Rośliny korzeniowe pojawiły się w próbkach z jednego stanowiska.

W przypadku większej serii próbek pochodzących z jednego stanowiska z tego samego okresu można rozważyć występowanie zróżnicowania pokarmów. Do rozważań wzięto pod uwagę stanowiska, z których pochodziło pięć lub więcej próbek naczyń ceramicznych. Z powodu niewielkiej liczby próbek pochodzących z jednego stanowiska analizie poddano tylko cztery stanowiska: dwa stanowiska z wczesnej epoki żelaza: Strużyna, st. 21 i Stary Folwark, st. 1 oraz dwa stanowiska z wczesnego średniowiecza: Łodygowo, st. 2 oraz Zajązki, st. 1.

Tabela 8. Zestawienie wyników obliczonych stosunków kwasów tłuszczowych dla badanych próbek (oprac. J. Kałużna-Czaplińska)
Table 8. Ratios of fatty acids calculated for the analysed samples of pottery (elaborated by J. Kałużna-Czaplińska)

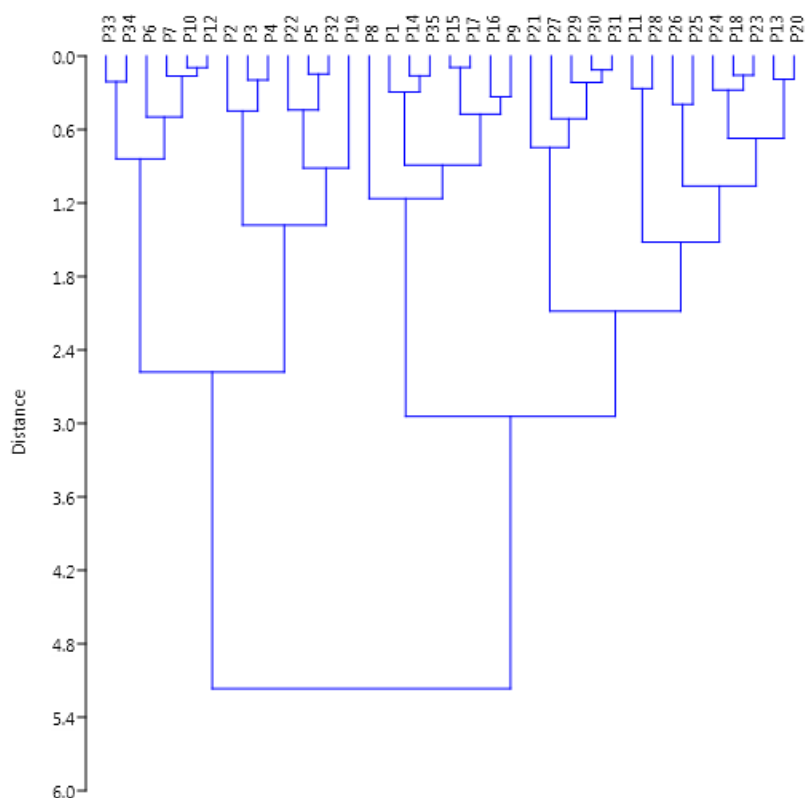
Epoka	Stanowisko	Nazwa próbki	Numer próbki	Stosunek kwasów tłuszczowych				
				C12:0/ C14:0	C16:0/ C18:0	C16:1/C18:1	(C15:0+C17:0)/ C18:0	(C15:0+C17:0)/ C12:0+C14:0+C16:0+C18:0
Wczesna epoka żelaza (IV-II w. p.n.e.)	Kamionka, st. 9	P1	P5/2012	0,31	2,22	0,51	0,66	0,16
	Wieprz, st. 20	P2	P1/2013	1,17	1,38	-	0,32	0,10
		P3	P2/2013	0,98	0,82	-	0,13	0,06
		P4	P3/2013	0,97	1,08	-	0,22	0,09
		P5	P4/2013	0,54	0,77	-	0,12	0,06
	Strużyna, st. 21	P6	P1/2014	0,11	0,69	1,48	0,14	0,08
		P7	P2/2014	0,16	0,97	0,99	0,23	0,10
		P8	P3/2014	0,20	2,64	-	0,71	0,15
		P9	P4/2014	0,19	2,88	0,73	0,61	0,13
		P10	P5/2014	0,28	1,04	1,08	0,26	0,11
	Raciszewo, st. 9	P11	P6/2014	-	1,75	1,07	0,58	-
		P12	P7/2014	0,29	0,91	1,09	0,28	0,13
		P13	P8/2014	0,26	1,47	0,67	0,32	0,10
		P14	P9/2014	0,32	2,08	0,69	0,55	0,14
	Tątlawki, st. 2	P15	P11/2014	0,27	2,39	0,86	0,77	0,18
		P16	P12/2014	0,29	2,50	0,98	0,67	0,15
		P17	P13/2014	0,28	2,37	0,78	0,67	0,16
		P18	P14/2014	0,23	1,75	0,43	0,17	0,05
	Łodygowo, st. 2	P19	P19/2014	0,59	0,81	-	0,94	0,42
		P20	P20/2014	0,35	1,22	0,66	0,34	0,13
	Zajęczi, st. 1	P21	P1/2016	-	2,41	-	-	-
		P22	P2/2016	-	0,77	-	0,20	-
		P23	P3/2016	0,36	1,73	0,43	-	-
		P24	P4/2016	0,17	1,79	0,66	-	-
	Stary Folwark, st. 1	P25	P11/2016	-	1,34	-	0,21	-
		P26	P12/2016	0,19	1,82	-	-	-
		P27	P13/2016	0,43	2,41	0,61	-	-
		P28	P14/2016	0,21	1,62	1,26	0,40	0,11
		P29	P15/2016	-	2,25	0,54	-	-
		P30	P16/2016	-	2,05	0,45	-	-
		P31	P17/2016	-	2,00	0,60	-	-
	Strużyna, st. 24	P32	P25/2016	0,44	0,95	-	0,10	0,05
		P33	P26/2016	0,17	0,79	0,69	0,18	0,09
		P34	P27/2016	0,12	0,51	0,66	0,11	0,07
	Lipowiec, st. 1	P35	P31/2016	0,20	1,93	0,60	0,47	0,12

Zawartość kwasów tłuszczowych w ceramice z grodzisk z zachodniej części ziem pruskich

Tabela 8. C.d.

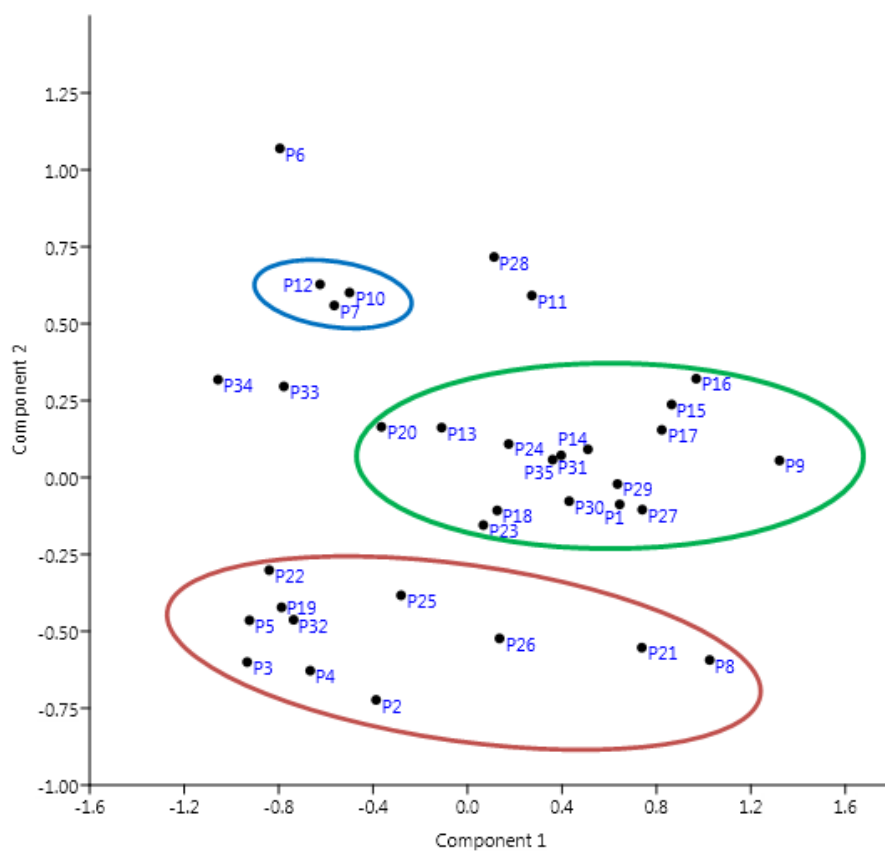
Table 8. Continued

Epoka	Stanowisko	Nazwa próbki	Numer próbki	Stosunek kwasów tłuszczowych				
				C12:0/ C14:0	C16:0/ C18:0	C16:1/C18:1	(C15:0+C17:0)/ C18:0	(C15:0+C17:0)/ C12:0+C14:0+C16:0+C18:0
Wczesne średniowiecze przedkrzyżackie (X-XII w.)	Kamionka, st. 9	P1	P1/2012	0,96	1,27	0,20	0,25	0,09
		P2	P2/2012	1,28	1,92	0,16	0,38	0,09
		P3	P3/2012	0,98	2,14	0,44	0,70	0,14
		P4	P4/2012	0,46	1,43	0,37	0,47	0,15
	Susz, st. 1	P5	P5/2013	0,72	0,95	-	0,20	0,09
	Łodygowo, st. 1	P6	P6/2013	0,78	0,99	-	0,13	0,06
		P7	P7/2013	0,70	0,93	-	0,26	0,12
		P8	P9/2013	0,61	1,18	-	0,20	0,08
	Raciszewo, st. 9	P9	P10/2014	0,10	0,46	0,17	0,24	0,16
	Łodygowo, st. 2	P10	P15/2014	0,36	1,88	0,65	0,36	0,10
		P11	P16/2014	0,09	0,70	0,13	0,31	0,16
		P12	P17/2014	0,26	0,84	0,49	0,22	0,11
		P13	P18/2014	0,26	1,81	0,63	-	-
	Zajęczi, st. 1	P14	P5/2016	0,28	2,16	1,04	0,71	0,18
		P15	P6/2016	0,26	2,02	0,67	-	-
		P16	P7/2016	0,16	2,15	0,63	0,63	0,14
		P17	P8/2016	0,15	1,21	0,58	0,23	0,09
		P18	P9/2016	0,22	2,03	0,58	-	-
		P19	P10/2016	0,17	0,87	0,65	0,16	0,08
	Morliny, st. 1	P20	P18/2016	-	1,48	-	-	-
		P21	P19/2016	0,40	1,08	0,47	0,20	0,09
		P22	P20/2016	0,16	1,10	1,17	0,17	0,07
		P23	P21/2016	0,34	1,40	0,26	0,79	0,28
	Durąg, st. 1	P24	P28/2016	0,14	0,99	0,60	0,15	0,07
	Łodygowo, st. 2	P25	P32/2016	0,20	2,26	1,27	0,68	0,15
Późne średniowiecze (XIII-XIV w.)	Mozgowo, st. 1	P1	P6/2012	0,52	2,09	0,47	0,71	0,17
		P2	P7/2012	0,43	2,00	0,51	0,82	0,20
		P3	P8/2012	0,30	2,66	0,55	0,77	0,16
	Boreczno, st. 4	P4	P9/2012	0,36	2,85	1,11	0,78	0,15
		P5	P10/2012	0,26	1,74	0,53	0,42	0,12
	Łodygowo, st. 1	P6	P8/2013	0,99	1,58	-	0,26	0,08
	Trupel, st. 1	P7	P10/2013	1,39	1,14	-	0,22	0,08
	Grabin, st. 1	P8	P22/2016	0,20	1,52	0,75	0,26	0,07
		P9	P23/2016	0,20	1,70	1,49	-	-
		P10	P24/2016	0,16	1,25	-	0,21	0,07
	Durąg, st. 1	P11	P29/2016	0,20	1,25	0,90	0,32	0,11
		P12	P30/2016	0,17	2,16	1,33	-	-



Ryc. 5. Wyniki analizy skupień próbek ceramiki z wczesnej epoki żelaza pod względem stosunków między zawartością kwasów tłuszczowych (por. tab. 8) metodą Warda (oprac. J. Kałużna-Czaplińska)

Fig. 5. Results of the cluster analysis of samples of pottery from the Early Iron Age by means of the Ward method in respect to ratios of fatty acids contents (elaborated by J. Kałużna-Czaplińska)

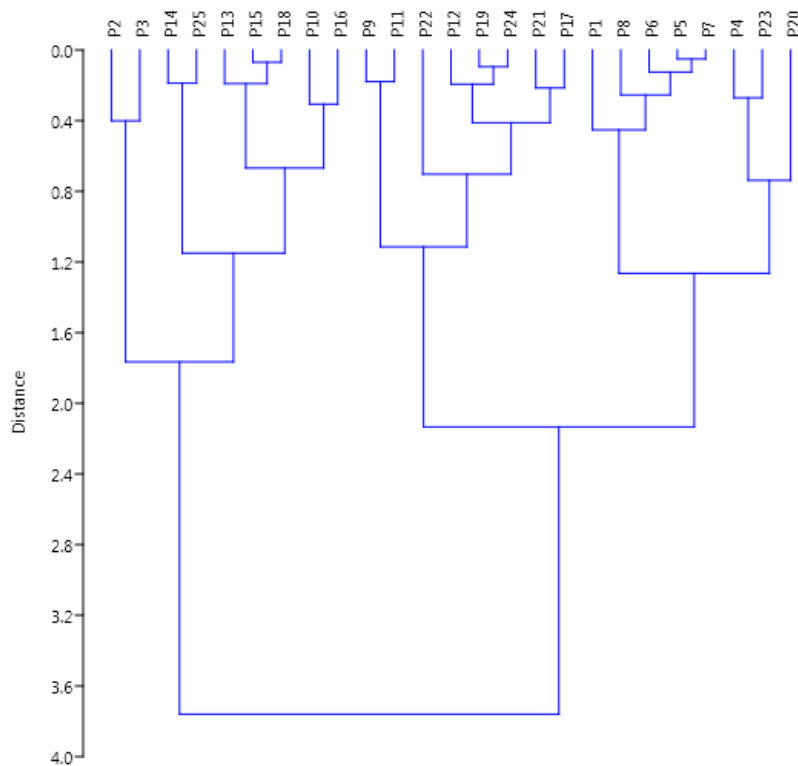


Ryc. 6. Wyniki analizy czynnikowej głównych składów próbek ceramiki z wczesnej epoki żelaza pod względem stosunków między zawartością kwasów tłuszczowych (por. tab. 8) (oprac. J. Kałużna-Czaplińska)

Fig. 6. Results of the PCA factor analysis of samples of pottery from the Early Iron Age in respect to ratios of fatty acids contents (elaborated by J. Kałużna-Czaplińska)

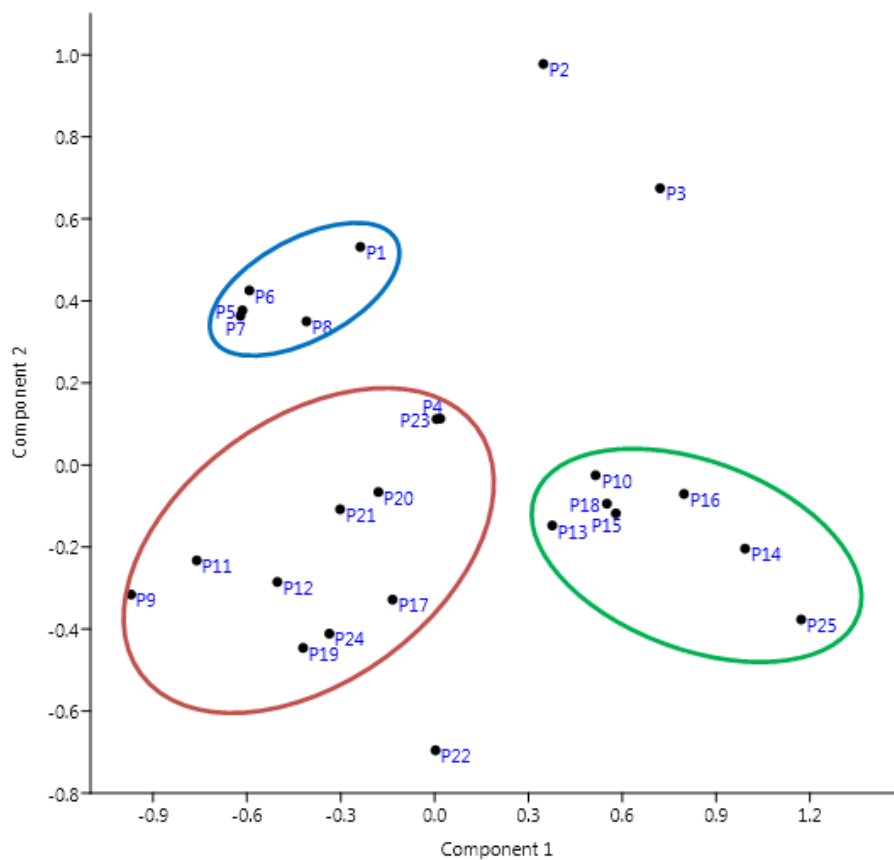
Ryc. 7. Wyniki analizy skupień próbek ceramiki z wczesnego średniowiecza przedkrzyżackiego pod względem stosunków między zawartością kwasów tłuszczowych (por. tab. 8) metodą Warda (oprac. J. Kałużna-Czaplińska)

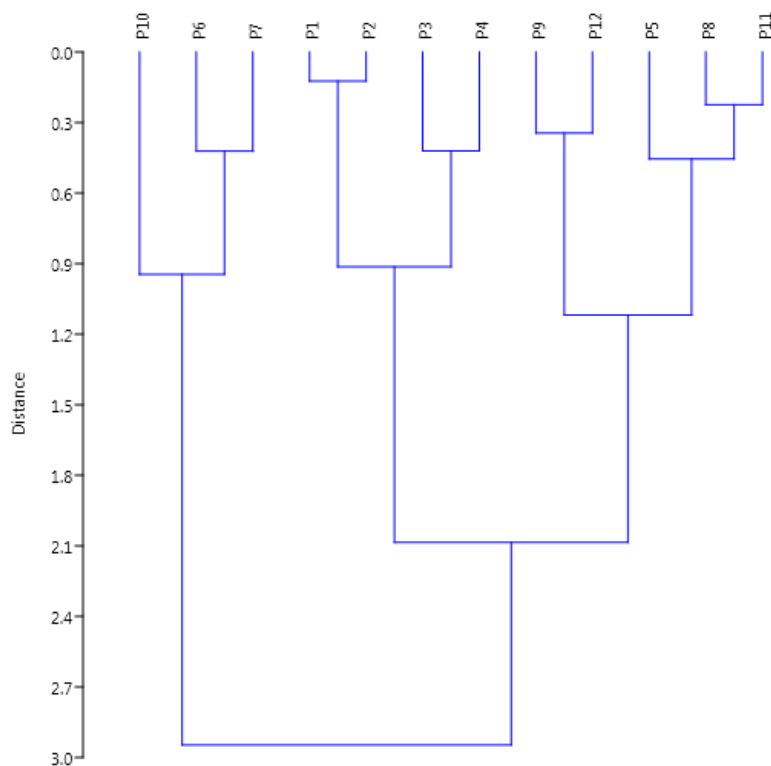
Fig. 7. Results of the cluster analysis of samples of pottery from the Early Middle Ages by means of the Ward method in respect to ratios of fatty acids contents (elaborated by J. Kałużna-Czaplińska)



Ryc. 8. Wyniki analizy czynnikowej głównych składowych próbek ceramiki z wczesnego średniowiecza przedkrzyżackiego pod względem stosunków między zawartością kwasów tłuszczowych (por. tab. 8) (oprac. J. Kałużna-Czaplińska)

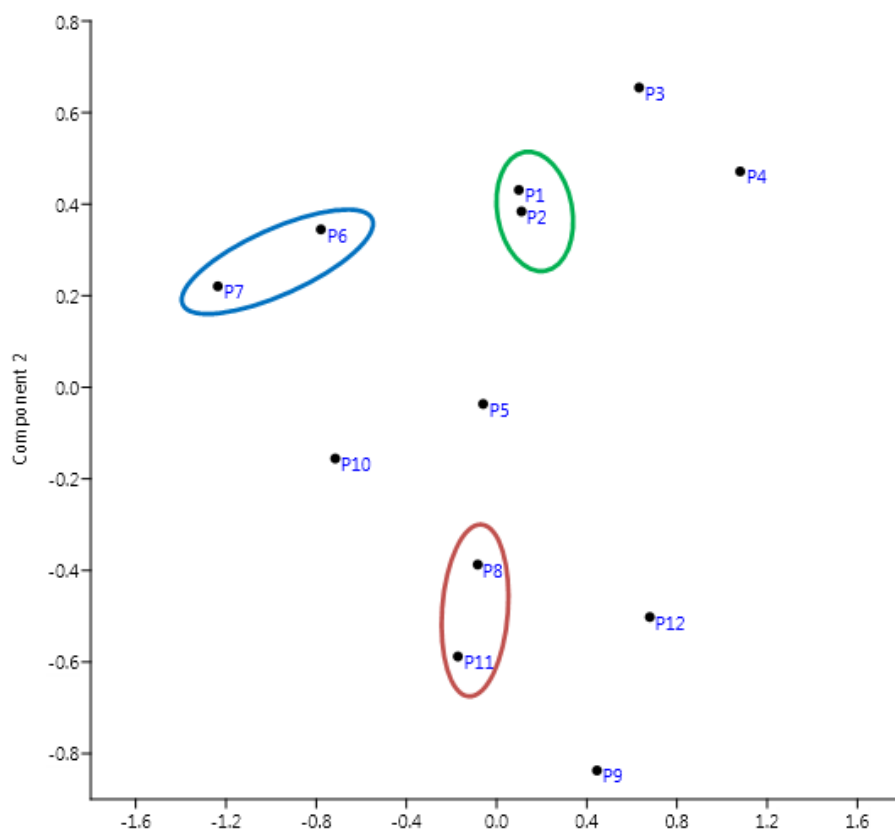
Fig. 8. Results of the PCA factor analysis of samples of pottery from the Early Middle Ages in respect to ratios of fatty acids contents (elaborated by J. Kałużna-Czaplińska)





Ryc. 9. Wyniki analizy skupień próbek ceramiki z późnego średniowiecza pod względem stosunków między zawartością kwasów tłuszczowych (por. tab. 8) metodą Warda (oprac. J. Kałużna-Czaplińska)

Fig. 9. Results of the cluster analysis of samples of pottery from the Late Middle Ages by means of the Ward method in respect to ratios of fatty acids contents (elaborated by J. Kałużna-Czaplińska)



Ryc. 10. Wyniki analizy czynnikowej głównych składowych próbek ceramiki z późnego średniowiecza pod względem stosunków między zawartością kwasów tłuszczowych (por. tab. 8) (oprac. J. Kałużna-Czaplińska)

Fig. 10. Results of the PCA factor analysis of samples of pottery from the Late Middle Ages in respect to ratios of fatty acids contents (elaborated by J. Kałużna-Czaplińska)

W przypadku pięciu próbek pochodzących ze st. 21 z wczesnej epoki żelaza w Strużynie pokarmami pojawiającymi się najczęściej są nasiona i orzechy, a także pokarmy roślinne mieszane: nasiona i orzechy, warzywa oraz rośliny korzeniowe. Dla jednej próbki z tego stanowiska typowym pokarmem było mięso lub mleko ssaków. Analizując siedem próbek ze st. 1 w Starym Folwarku, także z wczesnej epoki żelaza, dostrzec można przewagę pokarmów roślinnych (nasiona i orzechy), które wystąpiły w trzech badanych próbkach pochodzących z tego stanowiska. Pokarmy mieszane: nasiona i orzechy oraz mięso lub mleko ssaków wystąpiło w przypadku czterech próbek.

Przechodząc do analizy próbek z wczesnego średniowiecza, głównym pokarmem pojawiającym się w przypadku trzech spośród pięciu próbek, pochodzących ze st. 2 w Łodygowie są nasiona i orzechy. Pozostałe dwie próbki ceramiki miały kontakt z mięsem (lub mlekiem) ssaków oraz roślinami korzeniowymi. Spośród sześciu próbek pozyskanych w czasie badań grodziska w Zajączkach, st. 1, w czterech próbkach zidentyfikowanym pokarmem był pokarm zwierzęcy (mięso lub mleko ssaków), natomiast w przypadku pozostałych próbek określonym pokarmem był pokarm mieszany: nasiona i orzechy oraz mięso lub mleko ssaków.

WNIOSKI

Zaskakującym wnioskiem z przeprowadzonych badań jest odmienność uzyskanych wyników dla próbek naczyń, które uznawane są za jednolite funkcjonalnie. Podczas gdy można łatwo zgodzić się, że naczynia garnkowate mogły być we wszystkich okresach historycznych uniwersalne i mogły być wykorzystywane do przetwarzania i przechowywania pokarmów zarówno pochodzenia roślinnego, jak i zwierzęcego, to takie założenie jest trudne do przyjęcia dla pewnych specyficznych form naczyń, dla których badania nasze powinny potwierdzić raczej ich wysoką specjalizację. Ten brak specjalizacji jest szczególnie zaskakujący w przypadku naczyń sitowatych z wczesnej epoki żelaza (P18 i P32), dla których uzyskano odmienne wyniki (ryc. 5 i ryc. 6). W literaturze archeologicznej przyjmuje się najczęściej, że sita gliniane służyły przede wszystkim do wytwarzania sera z mleka¹⁷. Taki wniosek byłby możliwy dla wyników uzyskanych dla jednej z próbek (P32), jednak druga z nich wykazała oprócz tłuszczu zwierzęcego także ślady kontaktu z pokarmem roślinnym - nasionami i orzechami (P18).

Podobnie nieoczekiwane są rezultaty uzyskane dla mis z wczesnej epoki żelaza (P3, P4, P7, P10, P15, P16, P27, P33) i dzbanów z okresu późnego średniowiecza (P7, P8 i P10), które to kategorie naczyń także zdawałyby się być

wyspecjalizowane, natomiast poszczególne próbki naczyń tych form wykazały znaczne zróżnicowanie zawartości kwasów tłuszczowych.

Szukając odpowiedzi na pytanie o tę zasygnalizowaną wyżej odmienność uzyskanych przez nas rezultatów od oczekiwań wynikających z formalnej analizy naczyń można zaproponować dwa kierunki rozumowania. Po pierwsze, można przyjąć, że nasze dotychczasowe rozumienie sposobów użytkowania naczyń glinianych w gospodarstwie domowym w pradziejach i średniowieczu było wadliwe, i że w rzeczywistości wszystkie formy naczyń były uniwersalne i użytkowane do różnych celów w zależności od potrzeb. Po drugie jednak, można przyjąć, że wykorzystane w niniejszym opracowaniu wskaźniki ilościowe, opracowane dla terenu Ameryki Północnej, nie są odpowiednie dla terenu Europy Środkowej i ich zastosowanie powoduje błędy interpretacyjne.

Kolejnym zaskakującym rezultatem naszych badań jest brak jednoznacznej identyfikacji pozostałości pokarmów z ryb, mimo, że wszystkie stanowiska archeologiczne, z których pochodziły próbki, położone są w pobliżu zbiorników i cieków wodnych w ryby obfitujących, oraz pomimo tego, że w czasie badań wykopaliskowych znajdowane były na tych stanowiskach szczątki ryb (np. w Łodygowie, na st. 1), czyli możemy mieć pewność, że ryby były spożywane. Możliwa interpretacja tego zjawiska byłaby taka, że nie gotowano ryb w naczyniach glinianych, a jedynie je pieczono, wędzono lub suszono.

Ważnych informacji dostarczyło badanie zawartości kwasów tłuszczowych w prażnicy wczesnośredniowiecznej (P25). Te przeważnie duże, a często bardzo duże formy, zwane też naczyniami wannowatymi, wanienkami, nieckami czy rynienkami, znane dość powszechnie ze stanowisk osadniczych z okresu wczesnego średniowiecza z szerokiego obszaru Słowiańszczyzny głównie w okresie od VII do X wieku, a sporadycznie aż po wiek XII. Opublikowanie przez Kazimierza Moszyńskiego wyników obserwacji etnograficznych z terenów bałkańskich¹⁸ sprawiło, że powszechnie przyjęto pogląd o używaniu dużych wannowatych form naczyń ceramicznych w gospodarstwie do suszenia i prażenia zboża, a nawet do pieczenia chleba¹⁹. Uzyskane wyniki naszych badań dla prażnicy z Łodygowa, st. 2 wskazują na wykorzystanie jej przy przygotowywaniu pokarmów roślinnych, co potwierdza przyjmowaną dotąd najczęściej funkcję tego rodzaju wytworów glinianych.

Warto na koniec zastanowić się, jakiego rodzaju potrawy mogły pozostawić po sobie pozostałości zidentyfikowane w toku przeprowadzonych przez nas badań. Pokarmy pochodzenia zwierzęcego, to zapewne w pewnej części mleko bydła hodowlanego, chociaż wielkość stad bydła nie mogła raczej być na obszarach pruskich duża ze względu na znaczny stopień zalesienia aż do czasów pełnej kolonizacji tych terenów przez zakon krzyżacki. Pokarmy mięsne sporządzane w naczyniach glinianych to

¹⁷ Mogielnicka-Urban i Urban 2013; Kobylińska 2014: 261-265, tam dalsza literatura. Związek naczyń sitowatych z epoki neolitu z wytwarzaniem sera wykazany został także ostatnio na podstawie analiz zawartości kwasów tłuszczowych – Salque *et al.* 2013.

¹⁸ Moszyński 1929: 252 n., 1967: 265 n.

¹⁹ Kobylińska 2014b: 614-616; tam dalsza literatura.

zatem zapewne w dużej mierze wywary z mięsa zwierząt dzikich i (w mniejszym stopniu) hodowlanych. Do takiego wywaru dodawano zapewne także składniki roślinne, np. kasze z ziaren zbóż, rozdrobnione warzywa, grzyby i rozmaite zioła. Być może z tego właśnie powodu wyniki naszych analiz wskazują niejednokrotnie na pokarmy mieszanego charakteru.

Natomiast jeśli chodzi o pokarmy roślinne, zidentyfikowane w naszych badaniach jako nasiona i orzechy, to może tu chodzić o orzechy leszczyny, poświadczone wieloma odkryciami archeologicznymi w ośrodkach wczesnośredniowiecznych Słowiańszczyzny oraz nasiona np. rdestu

i komosy, zawierające składniki tłuszczowe. Zidentyfikowane korzenie roślin mogły należeć np. do rzepy, pasternaka, marchwi, selera, buraka czy pietruszki, które to rośliny są poświadczane wykopaliskowo dla czasów wczesnego średniowiecza z terenu dzisiejszej Polski. Ponadto w czasie wykopalisk na różnych stanowiskach wczesnośredniowiecznych na terenie Polski znaleziono ślady takich roślin strączkowych, jak soczewica, bób, bobik, groch, a także kapusty i cebuli²⁰. Te warzywa mogły być zbierane jako dziko rosnące lub uprawiane w ogródkach i spożywane w postaci gotowanej.

²⁰ Lis i Lis 2009; tam dalsza literatura.

Wykaz cytowanej literatury:

- Budja, M.
2014. Neolithic pottery and the biomolecular archaeology of lipids. *Documenta Praehistorica* 41: 195-224.
- Copley, M.S., K. Clark i R.P. Evershed
2005. Organic-residue analysis of pottery vessels and clay balls, [w:] I. Hodder (red.), *Changing materialities at Çatalhoyuk: reports from the 1995–99 seasons*, 169-174. Cambridge: McDonald Institute for Archaeological Research.
- Dudd, S.N., R.P. Evershed i A.M. Gibson
1999. Evidence for varying patterns of exploitation of animal products in different prehistoric pottery traditions based on lipids preserved in surface and absorbed residues. *Journal of Archaeological Science* 26: 1473-1482.
- Eerkens, J.W.
2005. GC-MS analysis and fatty acid ratios of archaeological potsherds from the Western Great Basin of North America. *Archaeometry* 47: 83-102.
- Gregg, M.W. i G.F. Slater
2010. A new method for extraction, isolation and transesterification of free fatty acids from archaeological pottery. *Archaeometry* 52: 833-854.
- Hammer, Ø., D.A.T. Harper i P.D. Ryan
2001. PAST: paleontological statistics software package for education and data analysis. *Palaeontologia Electronica* 4(1). Internet: http://palaeo-electronica.org/2001_1/past/issue1_01.htm.
- Hjulström, B., S. Isaksson i C. Karlsson
2008. Prominent migration period building: Lipid and elemental analyses from an excavation at Alby, Botkyrka Södermanland, Sweden. *Acta Archaeologica* 79: 62-78.
- Isaksson, S.
2000. *Food and rank in Early Medieval time*. Stockholm. Theses and Papers in Scientific Archaeology 3.
- Kałużna-Czaplińska, J., U. Kobylińska i Z. Kobyliński
2013. Zawartość kwasów tłuszczowych w ceramice z grodzisk w Kamionce, Mozgowie i Borecznie w powiecie iławskim, [w:] Z. Kobyliński (red.), *Grodziska Warmii i Mazur 1. Stan wiedzy i perspektywy badawcze*, 457-466. *Archaeologica Hereditas* 2. Warszawa – Zielona Góra: Instytut Archeologii UKSW i Fundacja Archeologiczna.
- Kimpe, K., P.A. Jacobs i M. Waelkens
2002. Mass spectrometric methods prove the use of beeswax and ruminant fat in late Roman cooking pots. *Journal of Chromatography A* 968: 151-160.
- Kobylińska, U.
2014a. Pottery vessels / Ceramika naczyńowa, [w:] Z. Kobyliński (red.), *Contextualisation of the hoard from Vetersfelde / Witaszkowo: archaeological excavation at Kozów, site 2 in the Lubusz Land / Kontekstualizacja skarbu z Vetersfelde / Witaszkowa: badania archeologiczne na st. 2 w Kozowie w Ziemi Lubuskiej*, 225-360. Zielona Góra: Fundacja Archeologiczna, Instytut Archeologii UKSW i Instytut Archeologii i Etnologii PAN.
- 2014b. Small finds from site 3 at Starosiedle / Zabytki wydzielone ze stanowiska 3 w Starosiedlu, [w:] Z. Kobyliński (red.), *Starosiedle in the Lubusz Land: Prehistoric and Early Medieval settlement / Starosiedle w Ziemi Lubuskiej: osadnictwo starożytne i wczesnośredniowieczne*, 605-635. Warszawa: Fundacja Res Publica Multietnica, Instytut Archeologii i Etnologii PAN i Instytut Archeologii UKSW.
- Lis, H. i P. Lis
2009. *Kuchnia Słowian. O żywności, potrawach i nie tylko...* Kraków: Libron.
- Malainey, M.E.
1997. *The reconstruction and testing of subsistence and settlement strategies for the Plains, Park-land, and*

- Southern Boreal Forest*. Niepublikowana rozprawa doktorska. Department of Anthropology, University of Manitoba.
- Mogielnicka-Urban, M. i J. Urban
2013. "Naczynia sitowate" w kulturze łużyckiej – jednorodność nazewnictwa a zróżnicowanie formy, [w:] J. Kolenda, A. Mierziński, S. Moździoch i L. Żygadło (red.), *Z badań nad kulturą społeczeństw pradziejowych i wczesno-średniowiecznych. Księga jubileuszowa dedykowana Profesorowi Bogusławowi Gedidze, w osiemdziesiątą rocznicę urodzin przez przyjaciół, kolegów i uczniów*, 501-525. Wrocław: Instytut Archeologii i Etnologii PAN.
- Moszyński, K.
1929. *Kultura ludowa Słowian. T. 1. Kultura materialna*. Kraków: Polska Akademia Umiejętności.
1967. *Kultura ludowa Słowian. T. 1. Kultura materialna*. Warszawa: Książka i Wiedza.
- Olsson, M. i S. Isaksson
2008. Molecular and isotopic traces of cooking and consumption of fish at an Early Medieval manor site in eastern middle Sweden. *Journal of Archaeological Science* 35: 773-780.
- Regert, M.
2011. Analytical strategies for discriminating archaeological fatty substances from animal origin. *Mass Spectrometry Reviews* 30: 177-220.
- Salque, M., P.I. Bogucki, J. Pyzel, I. Sobkowiak-Tabaka, R. Grygiel, M. Szmyt i R.P. Evershed
2013. Earliest evidence for cheese making in the sixth millennium BC in northern Europe. *Nature* 493: 522-525.
- Sikorski, Z.E.
2007. *Chemia żywności. T. 2. Sacharydy, lipidy i białka*. Warszawa: WNT.

Joanna Kałużna-Czaplińska, Paulina Gątarek, Angelina Rosiak, Urszula Kobylińska and Zbigniew Kobyliński

Fatty acids contents in pottery vessels from the Prehistoric and Medieval strongholds in the western part of the Prussian territory

Summary

Chemical analysis of organic residues preserved in archaeological ceramic vessels is an essential part of research aimed to understand the purposes of these vessels. Conclusions and observations from the analyses also allow extending the knowledge about the diet of the population inhabiting the area in the past.

The aim of this study was to determine the quantity of fatty acids in organic remains preserved in 72 fragments of unglazed pottery. Vessels came from the strongholds in the western part of the Warmian-Masurian Province in the north-eastern Poland, dated to the Early Iron Age, the pre-Teutonic Middle Ages and the Late Middle Ages. The research procedure involved the fragmentation of pieces of vessels and solvent extraction of the lipid fraction, which was analysed by gas chromatography combined with mass spectrometry after proper preparation. Based

on the determination of fatty acids, ratios of selected fatty acids were calculated. Scientific description proposed by American scientists and the statistical analysis were used for the interpretation of the results.

Plant foods were mostly prepared in the examined vessels, which may suggest that they were the basis for the diet of the communities which used them. The detailed analysis of the data did not however allowed the conclusion that a particular type of vessels was used for the preparation and storage of specific types of foods. Based on the obtained results, the diversity of food from the same period of the given archaeological site was noticed.

Translated by Joanna Kałużna-Czaplińska

Wyniki badań archeobotanicznych grodzisk z zachodniej części województwa warmińsko-mazurskiego

Wydobywane ze stanowisk archeologicznych makroskopowe szczątki dostarczają podstawowych informacji o gospodarowaniu i użytkowaniu roślin przez minione społeczeństwo ludzkie. W szczególnych sytuacjach pozwalają także na rekonstrukcję flory i roślinności znajdującej się w otoczeniu dawnych siedzib ludzkich. Celem przeprowadzonej analizy była identyfikacja taksonomiczna zachowanych szczątków i wstępna interpretacja uzyskanych wyników dotycząca pewnych elementów gospodarki ludności zamieszkującej badane osady.

METODY BADAŃ

Badaniami botanicznymi objęto materiały roślinne pochodzące z 14 grodzisk badanych wykopaliskowo w ramach realizacji projektu Narodowego Programu Rozwoju Humanistyki *Katalog grodzisk Warmii i Mazur. Część 1. Pomezania, Pogezania i Warmia*, kierowanego przez prof. dr. hab. Zbigniewa Kobylińskiego w latach 2012-2016 (tab. 1). Grodziska te pochodziły z wczesnej epoki żelaza (IV-II w. p.n.e. - okres lateński) oraz z czasów wczesnego (X-XII w.) i późnego średniowiecza (XIII-XIV w.). Omawiany typ źródeł został pozyskany z następujących grodzisk (w kolejności alfabetycznej: w Grabinie, st. 1, gm. Ostróda, Janikach Wielkich, st. 2, gm. Zalewo, Kamionce, st. 9, gm. Hława, Lipowcu (Lichtajnach), st. 2, gm. Ostróda, Morlinach, st. 1, gm. Ostróda, Pawełkach (Rotajnach), st. 5, gm. Miłakowo, Podągach, st. 2, gm. Godkowo, Raciszewie, st. 9, gm. Miłakowo, Starym Folwarku, st. 1, gm. Kisielice, Strużynie, st. 21 i Strużynie, st. 24, gm. Morąg, Tątlawkach, st. 2, gm. Morąg, Zajączkach, st. 1, gm. Ostróda i Zimnochach, st. 2, gm. Godkowo (tab. 1-5). Łącznie oznaczono około 19 000 zwęglonych szczątków roślin uprawnych i dzikich.

Do laboratorium archeobotanicznego dostarczonych zostało 205 prób ziemi (tab. 1), pobranych przez archeologów¹ w trakcie eksploracji obiektów lub warstw kulturowych. Po zważeniu (masa pojedynczych prób wahała

się od ok. 1 do 3,5 kg) i zalaniu wodą, były one szlamowane na sitach o średnicy oczek 1 i 0,5 mm. Uzyskane dwie frakcje materiału były przebierane i segregowane. Wydobywano z nich wszystkie szczątki roślinne, a także ułamki polepy, ceramiki i fragmenty kości zwierzęcych. Przy segregacji materiału używano lupy binokularnej i stosowano powiększenia od 5 do 10 razy.

Makroskopowe szczątki roślinne, takie jak owoce i nasiona, plewy i plewki, oznaczano na podstawie cech budowy morfologicznej. Każdorazowo konfrontowano je ze specjalistycznymi kluczami i atlasami do oznaczania². Badane okazy porównywano z kolekcjami owoców i nasion, znajdującymi się w Pracowni Archeologicznej Instytutu Archeologii i Etnologii PAN w Igołomi oraz w Zielniku i Zakładzie Paleobotaniki Instytutu Botaniki im. W. Szafera PAN w Krakowie. Przy oznaczaniu korzystano z lupy binokularnej Nikon, stosując powiększenia od 10 do 40 razy.

Znalezione części wegetatywne roślin, w tym przede wszystkim fragmenty drewna, oznaczano w oparciu o budowę anatomiczną tych organów³. Węgłe drzewne przygotowano do obserwacji mikroskopowej wykonując preparaty w trzech przekrojach anatomicznych charakterystycznych dla materiału botanicznego: poprzecznym (ryc. 1:a,d), podłużnym promieniowym (ryc. 1:b,e) i podłużnym stycznym (ryc. 1:c,f). W celu spostrzeżenia wszystkich szczegółów anatomicznych charakterystycznych dla odpowiednich gatunków zaleca się badanie fragmentów większych niż 4 mm³, niemniej jednak okazy mniejsze są zazwyczaj również oznaczalne⁴. Węgłe drzewne oznaczono przy użyciu mikroskopu metalograficznego Zeiss AXIO Lab. A1 stosując powiększenia od 100 do 500 razy oraz porównano z atlasami anatomicznymi⁵ i okazami z kolekcji porównawczej znajdującej się w Zakładzie Paleobotaniki Instytutu Botaniki im. W. Szafera Polskiej Akademii Nauk.

¹ Autorki dziękują prof. dr. hab. Zbigniewowi Kobylińskiemu oraz mgr. Kamilowi Rabiedze, mgr. Magdalenie Rutynie, dr. Rafałowi Soleckiemu, dr. Joannie Wawrzeńniuk, dr. Jackowi Wysockiemu, dr. Magda-

lenie Żurek i Dariuszowi Wachowi za informacje dotyczące kontekstu pobrania analizowanych w artykule próbek.

² M. in. Kulpa 1974; Cappers, Bekker i Jans 2006; Cappers, Neef i Bekker 2009; Neef, Cappers i Bekker 2011.

³ M. in. Esau 1973; Schweingruber 1982, 1990; Hejnowicz 2002.

⁴ Chabal *et al.* 1999.

⁵ Schweingruber 1982, 1990.

Tabela 1. Spis stanowisk archeologicznych i liczba prób ziemi przeznaczonych do badań botanicznych

Table 1. The list of strongholds and the number of analysed archaeobotanical samples

stanowisko	liczba prób	
	przebadanych	bez materiału roślinnego
Grabin, st. 1, gm. Ostróda	6	2
Janiki Wielkie, st. 2, gm. Zalewo	10	1
Kamionka, st. 9, gm. Łława	33	2
Lipowiec, st. 2 (Lichtajny), gm. Ostróda	3	0
Morliny, st. 1, gm. Ostróda	10	5
Pawełki (Rotajny), st. 5, gm. Miłakowo	3	1
Podągi, st. 2, gm. Godkowo	11	2
Raciszewo, st. 9, gm. Miłakowo	22	5
Stary Folwark, st. 1, gm. Kisielice	9	4
Strużyna, st. 21, gm. Morąg	25	5
Strużyna, st. 24, gm. Morąg	23	11
Tątlawki, st. 2, gm. Morąg	14	4
Zajączki, st. 1, gm. Ostróda	34	9
Zimnochy, st. 2, gm. Godkowo	20	0

Wielkość fragmentów węgla drzewnych, stan zachowania oraz ich charakterystyka anatomiczna ma wpływ na wyniki analizy i dany fragment może zostać oznaczony do poziomu gatunku, rodzaju, rodziny lub ogólnie może być zaliczony do grupy drzew i krzewów liściastych lub szpilkowych⁶. Ze względu na brak wyraźnych cech diagnostycznych spalone pozostałości drewna drzew i krzewów występujących na terenie Europy Środkowej oznaczane są do poziomu rodzaju, natomiast nazwy poszczególnych gatunków przypisane są wtedy, kiedy dany rodzaj reprezentowany jest we florze przez jeden gatunek rodzimy⁷.

Zazwyczaj identyfikowany jest każdy fragment węgla drzewnych znalezionych w próbie, niezależnie od jego wielkości, choć w przypadku prób o dużej liczbie szczątków zastosowano wykresy taksonomiczne, które obrazują zależności pomiędzy liczbą taksonów, a liczbą oznaczanych fragmentów węgla drzewnych⁸. Najliczniejsze taksony spotykane są z reguły jako pierwsze, natomiast te rzadziej występujące pojawiają się zarówno na początku analizy albo też, co jest najczęściej spotykane, po oznaczeniu większej liczby fragmentów. Analizy antrakologiczne z najliczniejszych prób z grodzisk w Kamionce, st. 9, Starym Folwarku, st. 1 i Strużynie, st. 21 wykazały, że wszystkie taksony pojawiły się w przedziale między 30 a 40 analizowanymi fragmentami, co wskazuje, że należy oznaczyć minimum 50 fragmentów węgla drzewnych z każdej próby.

Prawie wszystkie zachowane okazy zostały policzone (tab. 2-5). W przypadku masowego występowania szczątków konkretnego taksonu podano tylko szacunkową liczbę okazów lub też przedstawiono ich objętość. Ta ostat-

nia uwaga dotyczy szczególnie materiałów zachowanych na stanowisku w Zajączkach, st. 1.

Nazwy oznaczonych roślin przyjęto zgodnie z obowiązującą nomenklaturą botaniczną⁹.

OGÓLNA CHARAKTERYSTYKA MATERIAŁU ROŚLINNEGO

Wydobyty materiał roślinny, na który składały się owoce, nasiona, ziarniaki oraz części oplewienia zbóż i traw dzikich, drewna, szpilki oraz sklerocja grzyba czarniaka właściwego *Cenococcum geophilinum*, był w większości spalony. Pojedyncze okazy zachowały się najczęściej z dobrym stanem (ryc. 2), choć np. na powierzchni części ziarniaków zbóż widać ślady mechanicznych uszkodzeń oraz deformacje kształtu będące efektem kontaktu z ogniem (obkurczenie lub napęcznienie zmieniające zarys i proporcje owocu). Uszkodzone były również diaspory roślin dzikich. Niektóre ziarniaki były bardzo mocno zniekształcone, widocznie „perforowane”¹⁰. Inne cechowały się „wylaną” zawartością¹¹. Konsekwencją takiego stanu zachowania był brak możliwości szczegółowego oznaczenia okazów i opisano je tylko jako należące do zbóż *Cerealia* indet. Część ziarniaków prosa zwyczajnego *Panicum miliaceum* zachowała się w plewkach¹², a niekiedy natrafiano na zlepioną „kulkę” ziarniaków wspomnianego gatunku¹³. W badanych próbach obecnych było wiele okazów, których nie oznaczono. Były to najczęściej pozbawione testy lub bardzo drobne fragmenty propaguli roślin dzikich.

⁶ Schweingruber 1982; Chabal *et al.* 1999; Asouti i Austin 2005; Lityńska-Zajac i Wasylukowa 2005.

⁷ Lityńska-Zajac i Wasylukowa 2005.

⁸ Chabal 1988, 1997; Badal 1992; Ntinou 2002; Carrión 2005.

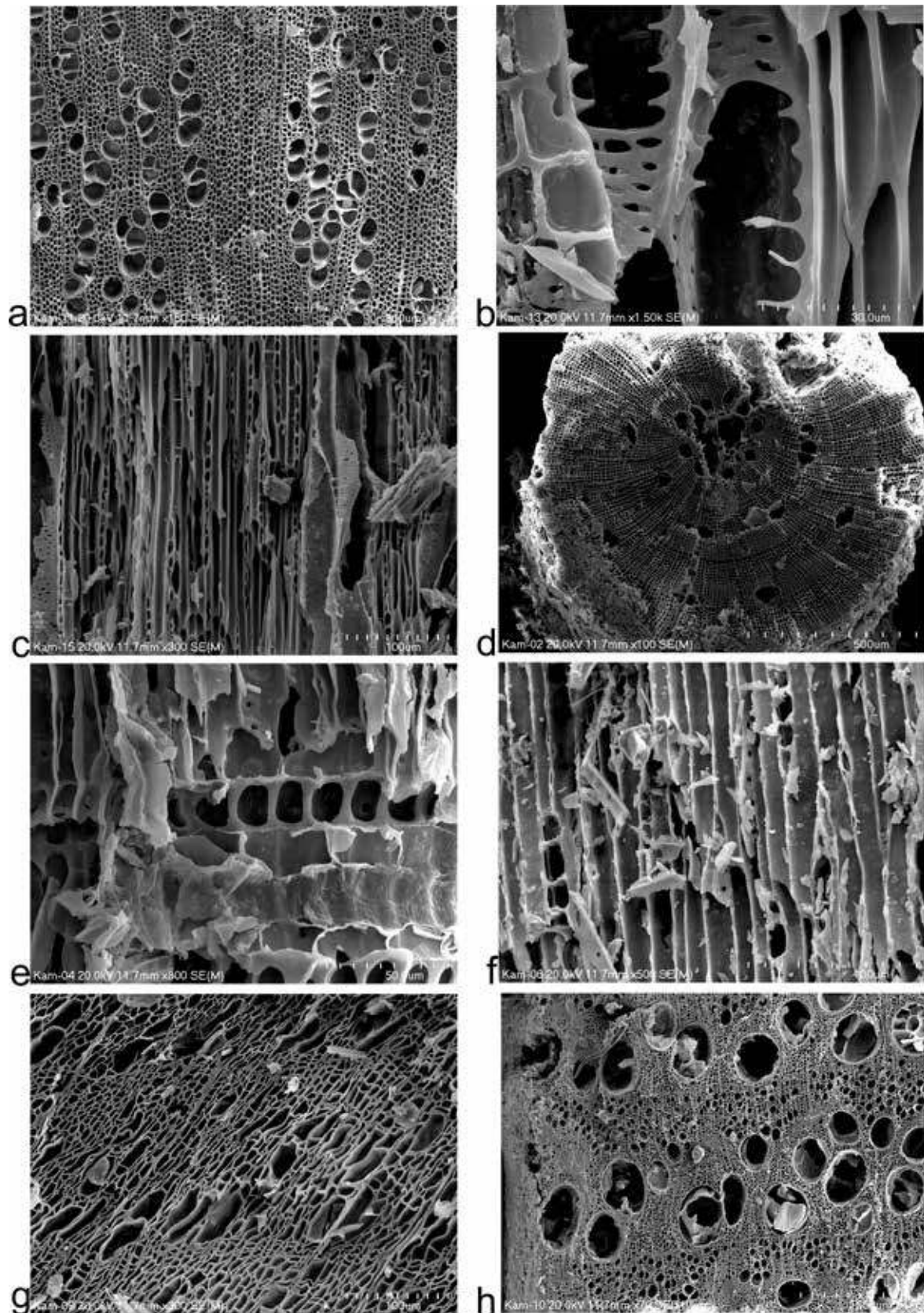
⁹ Mirek *et al.* 2002.

¹⁰ Np. próba 6 z obiektu 44(45) z grodziska w Tątlawkach, st. 2.

¹¹ Np. próba 17 z Kamionki, st. 9.

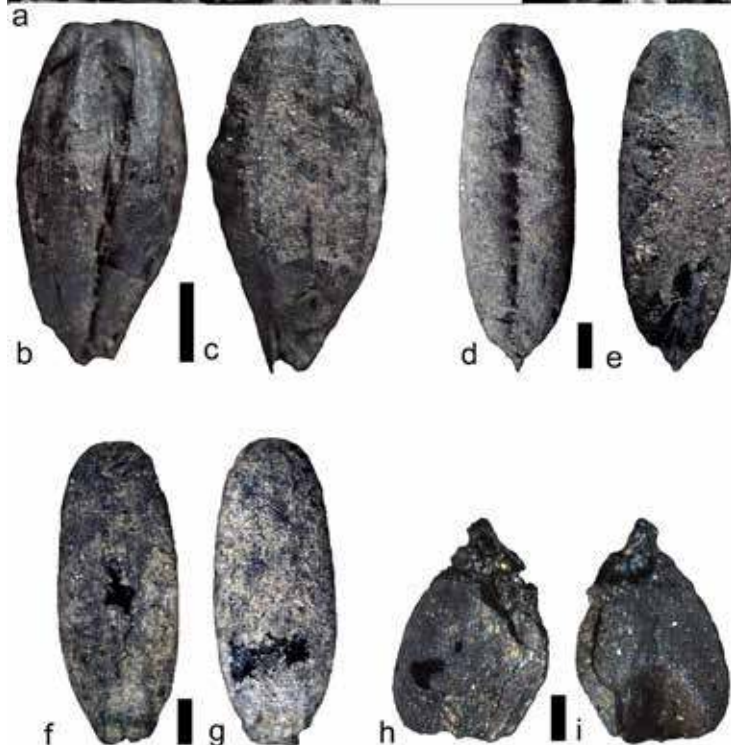
¹² Próba 17 z Kamionki, st. 9.

¹³ W próbie 24 z Kamionki, st. 9.



Ryc. 1. Węgle drzewne z grodziska w Kamionce, st. 9 (fot. M. Moskal-del Hoyo); a-c - *Corylus avellana*; d-f - *Pinus sylvestris*; g - *Tilia* sp.; h - *Quercus* sp.

Fig. 1. Wood charcoal remains from Kamionka, site 9 (photos by M. Moskal-del Hoyo); a-c - *Corylus avellana*; d-f - *Pinus sylvestris*; g - *Tilia* sp.; h - *Quercus* sp.



Ryc. 2. Makroskopowe szczątki roślinne (fot. A. Walanus, oprac. M. Moskal-del Hoyo); a - Zajęczki, st. 1. Próba zawierająca szczątki zbóż, w tym *Triticum aestivum*; b - Zajęczki, st. 1. Próba 18: ziarniak *Hordeum vulgare* - strona brzuszna; c - Zajęczki, st. 1. Próba 18: ziarniak *Hordeum vulgare* - strona grzbietowa; d - Kamionka, st. 9. Próba 15: ziarniak *Secale cereale* - strona brzuszna; e - Kamionka, st. 9. Próba 15: ziarniak *Secale cereale* - strona grzbietowa; f - Kamionka, st. 9. Próba 13: ziarniak *Bromus secalinus* - strona brzuszna; g - Kamionka, st. 9. Próba 13: ziarniak *Bromus secalinus* - strona grzbietowa; h-i - Kamionka, st. 9. Próba 23: ziarniak *Panicum miliaceum*

Fig. 2. Macroscopic plant remains (photo by A. Walanus, digitalised by M. Moskal-del Hoyo); a - Zajęczki, site 1. Archaeobotanical sample with cereal remains, mainly *Triticum aestivum*; b - Zajęczki, site 1. Sample 18: caryopsis of *Hordeum vulgare* - ventral view; c - Zajęczki, site 1. Sample 18: caryopsis of *Hordeum vulgare* - dorsal view; d - Kamionka, site 9. Sample 15: caryopsis of *Secale cereale* - ventral view; e - Kamionka, site 9. Sample 15: caryopsis of *Secale cereale* - dorsal view; f - Kamionka, site 9. Sample 13: caryopsis of *Bromus secalinus* - ventral view; g - Kamionka, site 9. Sample 13: caryopsis of *Bromus secalinus* - dorsal view; h-i - Kamionka, site 9. Sample 23: caryopsis of *Panicum miliaceum*

W wielu próbach obecne były diaspory niespalone, np. pestki maliny lub jeżyny *Rubus* sp., nasiona bzu dzikiego czarnego *Sambucus nigra* i pokrzywy zwyczajnej *Urtica dioica* oraz owocki brzozy *Betula* sp., w tym brodawkowatej (*B. pendula*) (tab. 5). Określenie ich związku z kontekstem archeologicznym wymaga szczegółowego przeanalizowania dokumentacji terenowej, gdyż szczątki niespalone zachowują się tylko w specyficznych warunkach konserwacji panujących w złożu¹⁴. Mogą być one natomiast zanieczyszczeniem młodszym lub wręcz dzisiejszym i dlatego nie będą brane pod uwagę przy interpretacji materiału.

Wśród węgla drzewnych znalezionych na stanowiskach archeologicznych w wypełniskach obiektów oraz w warstwach kulturowych znaleziono 20 taksonów. Fragmenty gorzej zachowane sklasyfikowano do drzew liściastych lub szpilkowych, natomiast okazy pozbawione wyróżniających się elementów anatomicznych znalazły się w grupie fragmentów nieoznaczalnych. Do tej ostatniej należały również ułamki kory i łyka.

Węgle drzewne znalezione na wszystkich stanowiskach charakteryzują się dobrym stanem zachowania, choć wiele

fragmentów miało silnie spieczoną strukturę anatomiczną. Nie można jednoznacznie stwierdzić, co powoduje występowanie tego typu szklistej struktury. Przypuszczalnie jest ona wynikiem działania wysokiej temperatury lub spalenia wilgotnego drewna¹⁵. Dużo fragmentów wykazywało obecność lub ślady działalności mikroorganizmów (ryc. 1:g) oraz insektów z grupy drewnojadów, co świadczy o wykorzystywaniu zbutwiałego drewna, np. w postaci zbierania chrustu¹⁶.

Przesycenie szczątkami indywidualnych prób było mocno zróżnicowane. W części z nich notowano tylko pojedyncze okazy¹⁷, natomiast w niektórych natrafiono na liczne pozostałości ziarniaków zbóż oraz owoców i nasion roślin zielnych dzikich¹⁸. Pojedyncze próby nie zawierały żadnych pozostałości roślinnych¹⁹.

¹⁴ Lityńska-Zajac i Wasylkowa 2005.

¹⁵ Théry-Parisot 2001; Lityńska-Zajac i Wasylkowa 2005.

¹⁶ Théry-Parisot 2001; Moskal-del Hoyo, Wachowiak i Blanchette 2010.

¹⁷ Np. jednostka stratygraficzna 10 z grodziska w Zimnochach, st. 1.

¹⁸ Np. próba 67 z Kamionki, st. 9.

¹⁹ Próba 26 z Kamionki, st. 9 odbiegała składem taksonomicznym od pozostałych, ponieważ zawierała niezbyt liczne ziarniaki zbóż, natomiast wystąpiły w niej obficie szpilki drzew iglastych i fragmenty łodyg traw.

Tabela 2. Lista roślin oznaczonych na podstawie szczątków spalonych ze stanowisk archeologicznych z wczesnej epoki żelaza
Table 2. The list of identified charred plant remains from archaeological contexts of the strongholds dated to the Early Iron Age

nazwa taksonu	chronologia		wczesna epoka żelaza									
	stanowisko		Kamionka, st. 9	Podagi, st. 2	Raciszewo, st. 9	Stary Folwark, st. 1	Strużyna, st. 21	Strużyna, st. 24	Tąttawki, st. 2	Zajączki, st. 1	Zimnochy, st. 2	
	stan zachowania	typ szczątków										
<i>Hordeum vulgare</i>	s	z	14			2			1	1689		
<i>Panicum miliaceum</i>	s	z	211	1	4	11		1		2		
<i>Secale cereale</i>	s	z		1						5		
<i>Triticum aestivum</i>	s	z	13		26					800		
<i>Triticum dicoccon</i>	s	p	2									
<i>Triticum dicoccon</i>	s	wkł	13									
<i>Triticum dicoccon</i>	s	z	12							5		
<i>Triticum monococcum</i>	s	z								5		
<i>Triticum spelta</i>	s	p	3							33		
<i>Triticum spelta</i>	s	wkł	5							15		
<i>Triticum spelta</i>	s	z	4							216		
<i>Cerealia</i> indet.	s	sł										
<i>Cerealia</i> indet.	s	z	446	10	204	15			62, 14 cm	517, 33,5 cm	1	
<i>Cerealia</i> indet.	s	za	1									
<i>Bromus hordeaceus</i>	s	z	1									
<i>Chenopodium album</i>	s	n	2		19	1			1	2		
<i>Echinochloa crus-galli</i>	s	z								1		
<i>Fallopia convolvulus</i>	s	o	3							1		
<i>Galium spurium</i>	s	o				1						
<i>Plantago lanceolata</i>	s	n			1							
<i>Polygonum aviculare</i>	s	o			1							
<i>Polygonum lapathifolium</i>	s	o			3							
<i>Polygonum mite</i>	s	o	2		1					15		
<i>Polygonum persicaria</i>	s	o	2			2		1				
<i>Rumex crispus</i>	s	o			2							
<i>Setaria pumila</i>	s	z								1		
<i>Setaria viridis</i> vel <i>S. verticillata</i>	s	z	3									
<i>Veronica chamaedrys</i>	s	n						1				

Tabela 2. C.d.
Table 2. Continued

nazwa taksonu	chronologia		wczesna epoka żelaza																			
	stanowisko		Kamionka, st. 9	Podagi, st. 2	Radiszewo, st. 9	Stary Folwark, st. 1	Strużyna, st. 21	Strużyna, st. 24	Tątlawki, st. 2	Zajaczi, st. 1	Zimnochy, st. 2											
	stan zachowania	typ szczątków																				
<i>Brassica</i> sp.	s	n	1																			
<i>Bromus</i> sp.	s	z	1																			1
<i>Polygonum</i> sp.	s	o	1			1																1
<i>Rumex</i> sp.	s	o			2																	
<i>Stellaria</i> sp.	s	n	1																			
<i>Vicia</i> sp.	s	n	1																			
<i>Viola</i> sp.	s	o			2																	
Caryophyllaceae indet.	s	n			1																	
Fabaceae indet.	s	n																				1
Poaceae indet.	s	fo																				1
Poaceae indet.	s	z			1																	1
<i>Carpinus betulus</i>	s	d	4	10	9	3	5	95	13	6	26											
<i>Carpinus betulus</i>	s	o	4		1		1	6		1												1
<i>Corylus avellana</i>	s	d		27	40			38	6	6												6
<i>Corylus avellana</i>	s	o	1																			
<i>Fagus sylvatica</i>	s	d																				
<i>Fraxinus excelsior</i>	s	d		4	4	2	1	2	6	2												
<i>Pinus sylvestris</i>	s	d	52	1	1																	24
<i>Acer</i> sp.	s	d			2	1	3	4	10	2												
<i>Alnus</i> sp.	s	d			11	1	1	1	1	1												1
<i>Betula</i> sp.	s	d	16	16	7	1		9	19	29	5											
<i>Populus</i> sp.	s	d																				
<i>Populus</i> sp. vel <i>Salix</i> sp.	s	d	2	13	10		4	21	28	11	2											
<i>Quercus</i> sp.	s	d	36	122	57	118	24	78	111	95	26											
<i>Rubus</i> sp.	s	n			1																	
<i>Salix</i> sp.	s	d	1	3	1																	2
<i>Tilia</i> sp.	s	d	21		12	10		10	1	1	1											
<i>Tilia</i> sp.	s	ty			2	1																3
<i>Tilia</i> sp.	s	o						1														

Tabela 2. C.d.
Table 2. Continued

nazwa taksonu	chronologia		wczesna epoka żelaza									
	stanowisko		Kamionka, st. 9	Podągi, st. 2	Radiszewo, st. 9	Stary Folwark, st. 1	Strużyna, st. 21	Strużyna, st. 24	Tąttawki, st. 2	Zajączki, st. 1	Zimnochy, st. 2	
	stan zachowania	typ szczątku										
<i>Ulmus</i> sp.	s	d			2			1				
Betulaceae	s	d			1		2		1			
Maloideae indet.	s	d			11		1		3			
liściaste	s	d	7	8	14	2	1	12	8	6		
nieoznaczony	s	?	187		183	7		4	66	30	1	
nieoznaczony	s	d	3		11	1	2	4	16	8	1	
nieoznaczony	s	ko							2		1	
nieoznaczony	s	fo						1				
nieoznaczony	s	?		1								
nieoznaczony	s	ty	5			1						
suma			1081	217	648	180	43	293	442, 14 cm	3536	65	
<i>Cenococcum geophilinum</i>	s	sc	578	107	308	273	139	148	196	120	76	

Objaśnienia: typ szczątku: z – ziarniak, p – plewa, wkl – widełki kłoska, za – zarodek, sl – źdźbła i liście traw, o – owoc, n – nasiono, kl – kłosek, fo – łodyga, d – drewno, sp – szpilka, ko – kora, ty – tyko, fo – łodyga, sc – sklerocja, ? – nieokreślony.

Tabela 3. Lista roślin oznaczonych na podstawie szczątków spalonych ze stanowisk archeologicznych z wczesnego średniowiecza
Table 3. The list of identified charred plant remains from archaeological contexts of the strongholds dated to the Early Middle Ages

nazwa taksonu	chronologia		wczesne średniowiecze									
	stanowisko		Kamionka, st. 9	Grabiny, st. 1	Janiki Wielkie, st. 2	Morliny, st. 1	Pawelki, st. 5	Podągi, st. 2	Raciszewo, st. 9	Strużyna, st. 21	Zajączki, st. 1	
	stan zachowania	typ szczątków										
<i>Hordeum vulgare</i>	s	z	30								148	
<i>Panicum miliaceum</i>	s	z	1192				3				1	
<i>Secale cereale</i>	s	z	26				1		1		41	
<i>Triticum aestivum</i>	s	z	408								213	
<i>Triticum dicoccon</i>	s	p									1	
<i>Triticum dicoccon</i>	s	wkl	1								2	
<i>Triticum dicoccon</i>	s	z	1								8	
<i>Triticum dicoccon</i> vel <i>T. spelta</i>	s	p									2	
<i>Triticum spelta</i>	s	p	1								4	
<i>Triticum spelta</i>	s	wkl									3	
<i>Triticum spelta</i>	s	z	1								64	
<i>Cerealia</i> indet.	s	sl	37									
<i>Cerealia</i> indet.	s	z	4159				5		2	12	4345, 37 cm	
<i>Cerealia</i> indet.	s	za	1						26			
<i>Cerealia</i> indet. vel Poaceae indet.	s	sl	1						1			
<i>Cerealia</i> indet. vel Poaceae indet.	s	z	100									
<i>Camelina sativa</i>	s	o	1									
<i>Linum usitatissimum</i>	s	n	32									
<i>Pisum sativum</i>	s	n	1									
<i>Vicia faba</i> var. <i>minor</i>	s	n	1									
<i>Agrostemma githago</i>	s	n	10									
<i>Bromus hordeaceus</i>	s	z	1									
<i>Bromus secalinus</i>	s	z	14									
<i>Chelidonium majus</i>	s	n									1	
<i>Chenopodium album</i>	s	n	41						28	1		

Tabela 3. C.d.
Table 3. Continued

nazwa taksonu	chronologia		wczesne średniowiecze									
	stanowisko		Kamionka, st. 9	Grabiny, st. 1	Janiki Wielkie, st. 2	Morliny, st. 1	Pawelki, st. 5	Podagi, st. 2	Raciszewo, st. 9	Strużyna, st. 21	Zajązki, st. 1	
	stan zachowania	typ szczątków										
<i>Echinochloa crus-galli</i>	s	z	5								1	
<i>Fallopia convolvulus</i>	s	o	9					1			1	
<i>Galeopsis tetrahit</i>	s	o	1									
<i>Galium aparine</i>	s	o	2									
<i>Galium spurium</i>	s	o	13									
<i>Lapsana communis</i>	s	o	2									
<i>Melandrium album</i>	s	n	3								1	
<i>Plantago lanceolata</i>	s	n	3									
<i>Poa annua</i>	s	z	1									
<i>Polycnemum arvense</i>	s	n	1									
<i>Polygonum mite</i>	s	o	29									
<i>Polygonum minus</i>	s	o	10									
<i>Polygonum minus</i> vel <i>P. mite</i>	s	o	1									
<i>Polygonum persicaria</i>	s	o	3								1	
<i>Prunella vulgaris</i>	s	o	1									
<i>Rumex acetosa</i>	s	o									1	
<i>Rumex acetosella</i>	s	o	3									
<i>Rumex crispus</i>	s	o	3									
<i>Sambucus nigra</i>	s	n	1									
<i>Saponaria officinalis</i>	s	n	3									
<i>Setaria pumila</i>	s	z	16									
<i>Setaria viridis</i> vel <i>S. verticillata</i>	s	kl	2									
<i>Setaria viridis</i> vel <i>S. verticillata</i>	s	z	12						1			
<i>Spergula arvensis</i>	s	n	3									
<i>Stellaria graminea</i>	s	n	1									

Tabela 3. C.d.
Table 3. Continued

nazwa taksonu	chronologia		wczesne średniowiecze									
	stanowisko		Kamionka, st. 9	Grabiny, st. 1	Janiki Wielkie, st. 2	Morliny, st. 1	Pawelki, st. 5	Podągi, st. 2	Raciszewo, st. 9	Strużyna, st. 21	Zajączki, st. 1	
	stan zachowania	typ szczątku										
<i>Urtica dioica</i>	s	o	2									
<i>Atriplex</i> sp.	s	n	1									
<i>Brassica</i> sp.	s	n	1									
<i>Bromus</i> sp.	s	z	12									
<i>Chenopodium</i> sp.	s	n	1						1			
<i>Galium</i> sp.	s	o	1									
<i>Polygonum</i> sp.	s	o	37									
<i>Trifolium</i> sp.	s	n								1		
<i>Vicia</i> sp.	s	n	3									
Brassicaceae indet.	s	n	1									
Caryophyllaceae indet.	s	n	6									
Chenopodiaceae indet.	s	n	1									
Fabaceae indet.	s	n	1								1	
Poaceae indet.	s	fo	40									
Poaceae indet.	s	p	1									
Poaceae indet.	s	z	5									
<i>Carpinus betulus</i>	s	d	103	6	20	36	2	16	5	2	8	
<i>Carpinus betulus</i>	s	o	64				5				2	
<i>Corylus avellana</i>	s	d	17			2		1	18			
<i>Fagus sylvatica</i>	s	d		1	283					7		
<i>Fraxinus excelsior</i>	s	d	46		6				5		3	
<i>Pinus sylvestris</i>	s	d	315			18		7			2	
<i>Pinus sylvestris</i>	s	sp	2									
<i>Rubus idaeus</i>	s	n									1	
<i>Vaccinium vitis-idaea</i>	s	d							1			

Tabela 3. C.d.
Table 3. Continued

nazwa taksonu	chronologia		wczesne średniowiecze									
	stanowisko		Kamionka, st. 9	Grabiny, st. 1	Janiki Wielkie, st. 2	Morliny, st. 1	Pawelki, st. 5	Podągi, st. 2	Raciszewo, st. 9	Strużyna, st. 21	Zajązki, st. 1	
	stan zachowania	typ szczątku										
<i>Acer</i> sp.	s	d	7		9		4	2	2	24		
<i>Alnus</i> sp.	s	d	4				5	8		4		
<i>Betula</i> sp.	s	d	64		8	2	17	21	1	81		
<i>Betula</i> sp.	s	ko								1		
<i>Malus</i> sp.	s	n	5									
<i>Populus</i> sp.	s	d					1	1	2			
<i>Populus</i> sp. vel <i>Salix</i> sp.	s	d	6		6	3	21	5	1	2		
<i>Prunus</i> sp.	s	d								1		
<i>Quercus</i> sp.	s	d	205	3	57	57	142	32	348	252		
<i>Salix</i> sp.	s	d			4							
<i>Sambucus</i> sp.	s	d			2		1					
<i>Tilia</i> sp.	s	d	18			9	15	1		9		
<i>Tilia</i> sp.	s	ly								8		
<i>Ulmus</i> sp.	s	d	1									
Betulaceae	s	d	2	1		3		1				
Coniferae indet.	s	d	5									
Coniferae indet.	s	sp	20									
Maloideae indet.	s	d				11		1				
liściaste	s	d	29	1	14	6	6	7	2	8		
nieoznaczony	s	?	1001				6			102		
nieoznaczony	s	d	14			3		3	5	3		
nieoznaczony	s	ko	39					4	25	7		
nieoznaczony	s	fo	14									
suma			8281	12	409	150	243	172	410	1012		
<i>Cenococcum geophilinum</i>	s	sc	2210	100		269	19		180	407		

Tabela 4. Lista roślin oznaczonych na podstawie szczątków spalonych ze stanowisk archeologicznych z późnego średniowiecza
Table 4. The list of identified charred plant remains from archaeological contexts of the strongholds dated to the Late Middle Ages

nazwa taksonu	chronologia		późne średniowiecze				
	stanowisko		Grabiny, st. 1	Lipowiec, st. 2 (Lichtajny)	Morliny, st. 1	Strużyna, st. 21	Zimnochy, st. 2
	stan zachowania	typ szczątków					
<i>Chenopodium album</i>	s	n			11		
<i>Rumex obtusifolius</i>	s	o					1
<i>Viola</i> sp.	s	o					3
<i>Carpinus betulus</i>	s	d	20	24	7	1	6
<i>Carpinus betulus</i>	s	o					6
<i>Corylus avellana</i>	s	d			4		
<i>Fagus sylvatica</i>	s	d	7	4		2	
<i>Fraxinus excelsior</i>	s	d		22			1
<i>Pinus sylvestris</i>	s	d	2				
<i>Tilia cordata</i>	s	o					1
<i>Acer</i> sp.	s	d		14		1	
<i>Alnus</i> sp.	s	d	1				
<i>Betula</i> sp.	s	d			1	1	1
<i>Populus</i> sp. vel <i>Salix</i> sp.	s	d			1		3
<i>Quercus</i> sp.	s	d	18	56	2	92	166
<i>Salix</i> sp.	s	d					1
<i>Sambucus</i> sp.	s	n				1	
<i>Tilia</i> sp.	s	d	5	15			2
<i>Tilia</i> sp.		ły		2			
Betulaceae	s	d			1		
liściaste	s	d	1	2	1		8
nieoznaczony	s	?		1			1
nieoznaczony	s	d			1	80	4
nieoznaczony	s	ko		2		41, 900 cm	1
suma			54	142	29	178, 900 cm	205
<i>Cenococcum geophilinum</i>	s	sc	212	4	50	41	231

ANALIZA OWOCÓW I NASION

Celem analiz jakościowych i ilościowych owoców i nasion jest przede wszystkim poznanie składu taksonomicznego pozostałości roślin uprawnych. W przypadku masowego występowania ich szczątków można podjąć próby odtworzenia struktury dawnych upraw. Resztki roślin zielnych spontanicznie pojawiających się w okolicach dawnych osad dostarczają informacji o lokalnej florze i roślinności rozwijającej się w strefie gospodarczej aktywności człowieka. W specyficznych sytuacjach znajdowane są także resztki diaspory drzew i krzewów, z których część miała zapewne znaczenie gospodarcze. Informacji takich, o intencjonalnym zbieraniu roślin, mogą dostarczać również masowo występujące diaspory roślin zielnych dzikich lub też szczątki gatunków, o których ze źródeł etnograficznych wiemy, że były użytkowa-

ne. Bez wątplenia możemy przyjąć, że zbieranie roślin, które mogły być spożywane, towarzyszyło i towarzyszy człowiekowi do dzisiaj²⁰. Rośliny pochodzące ze zbieractwa służyły również do innych celów gospodarczych²¹. Były one lekarstwami, miały znaczenie magiczne, czy też służyły do wyrobu sprzętów codziennie użytkowanych w gospodarstwach domowych, jak i do wznoszenia konstrukcji drewnianych, a także na opał.

Wstępne wyniki analiz archeobotanicznych, wskazują, że najwięcej makroskopowych szczątków roślinnych, w postaci owoców i nasion, zachowało się na stanowisku 9 w Kamionce, co korelowało się z liczbą przebadanych prób z tego stanowiska, jak też ich stosunkowo wysokim przesyleniem szczątkami roślinnymi.

²⁰ Łuczaj 2011.

²¹ Lityńska-Zajac 2008.

Tabela 5. Lista roślin oznaczonych na stanowiskach archeologicznych z wczesnej epoki żelaza, wczesnego i późnego średniowiecza z Mazur na podstawie niespalonych szczątków roślinnych stanowiących prawdopodobnie zanieczyszczenie dzisiejsze

Table 5. The list of identified uncharred plant remains which probably represent modern contamination of archaeobotanical samples

chronologia	typ szczątku	wczesna epoka żelaza								wczesne średniowiecze					późne średniowiecze								
		Kamionka, st. 9	Podągi, st. 2	Raciszewo, st. 9	Stary Folwark, st. 1	Strużyna, st. 21	Strużyna, st. 24	Tątlawki, st. 2	Zajązki, st. 1	Zimnochy, st. 2	Kamionka, st. 9	Grabin, st. 1	Morliny, st. 1	Podągi, st. 2	Raciszewo, st. 9	Strużyna, st. 21	Zajązki, st. 1	Grabin, st. 1	Morliny, st. 1	Strużyna, st. 21	Zajązki, st. 1	Zimnochy, st. 2	
<i>Ajuga reptans</i>	o											31											
<i>Chelidonium majus</i>	n								9							10					10		
<i>Chenopodium alnum</i>	n								1			1	2				1						
<i>Galium spurium</i>	o																1						
<i>Knautia arvensis</i>	o									1													
<i>Polygonum mite</i>	o									1													
<i>Rumex crispus</i>	o											2											
<i>Rumex obtusifolius</i>	o											3											
<i>Sambucus nigra</i>	n																43						
<i>Urtica dioica</i>	o				1	1				3		1											
<i>Urtica urens</i>	o									1													
<i>Veronica arvensis</i>	n									2	4												
<i>Veronica chamaedrys</i>	n													1									
<i>Vicia cracca</i>	n									1													
<i>Viola arvensis</i>	o										3												
<i>Chenopodium</i> sp.	n														1						1		
<i>Medicago</i> sp.	n																					1	
<i>Papaver</i> sp.	n															1					1		
<i>Stachys</i> sp.	o									1													
<i>Trifolium</i> sp.	n				1							1								7		1	
<i>Viola</i> sp.	o																					1	
Apiaceae indet.	o											1											
Cyperaceae indet.	o			1																			
Fabaceae indet.	n								1														
<i>Betula pendula</i>	łu		1		2					2			1								8		
<i>Betula pendula</i>	o				6	1		1		8					1					1	1		
<i>Carpinus betulus</i>	o						1	1		2		5			3					1	3	2	
<i>Rubus idaeus</i>	n			11	5					6			26										
<i>Sambucus nigra</i>	n			3	2					2			21	1									
<i>Tilia cordata</i>	o													1	1						1		
<i>Alnus</i> sp.	o									1													
<i>Betula</i> sp.	łu												2										
<i>Betula</i> sp.	o				2																2		
<i>Rubus</i> sp.	n		2					2	1	11	3	2											
<i>Tilia</i> sp.	o											1											
nieoznaczony	o		2	2		1	1					5		3									
nieoznaczony	?				1																		
<i>Cenococcum geophilinum</i>	sc												50										

Na podstawie szczątków zalegających na wymienionych stanowiskach oznaczono siedem gatunków zbóż. Oznaczone ziarniaki i części oplewienia reprezentowały przede wszystkim pozostałości jęczmienia zwyczajnego *Hordeum vulgare* (ryc. 2:b-c), prosa zwyczajnego *Panicum miliaceum* (ryc. 2:h-i) i pszenicy zwyczajnej *Triticum aestivum* (ryc. 2:a). Natrafiono również na mniej liczne ślady żyta zwyczajnego *Secale cereale* (ryc. 2:d-e) oraz pszenic oplewionych płaskurki *Triticum dicoccon*, orkiszu *T. spelta* i samopszy *T. monococcum*. Niestety spory był udział okazów nieoznaczonych. Zboża zachowały się w nawarstwieniach z wczesnej epoki żelaza i wczesnego średniowiecza. Materiały z okresu późnego średniowiecza nie przyniosły śladów tej kategorii źródeł.

Z innych roślin uprawnych odnotowano owoc lnicznika siewnego *Camelina sativa* oraz nieliczne nasiona lnu zwyczajnego *Linum usitatissimum*, grochu zwyczajnego *Pisum sativum* i bobiku *Vicia faba* var. *minor*. Diaspory wymienionych roślin zachowały się w obiektach wczesno-średniowiecznych na stanowisku 9 w Kamionce. Natrafiono także na pojedyncze nasiona roślin motylkowych (*Fabaceae*), z których część oznaczono do poziomu rodzaju, jako wykę *Vicia* sp.

Z roślin zielnych dzikich oznaczono 46 taksonów roślinnych, w tym 35 do poziomu gatunku i 11 rodzaju. Owoki, względnie nasiona, roślin dziko rosnących były najczęściej reprezentowane tylko przez jeden lub kilka okazów. Nieco liczniejsze były nasiona komosy białej *Chenopodium album*, rdestu łagodnego *Polygonum mite* i dąbrówki rozłogowej *Ajuga reptans*.

Konsekwencją obecności ziarna zbożowego są pozostałości owoców i nasion kilku gatunków chwastów polnych, takich jak kąkol polny *Agrostemma githago*, stokłosa żytnia *Bromus secalinus* (ryc. 2:f-g), włósnica sina lub okólkowa *Setaria viridis* vel *S. verticillata*, rdestówka powojowata *Fallopia convolvulus*, różne gatunki rdestu *Polygonum* sp., przytulia fałszywa *Galium spurium* i sperek polny *Spergula arvensis*. Inny ze znalezionych gatunków, np. komosa biała *Chenopodium album*, mogła rosnąć na polach uprawnych lub siedliskach ruderalnych. Obecność propaguli chwastów polnych w próbach zbożowych może świadczyć o stosunkowo słabym oczyszczeniu ziarna zbożowego²². Z punktu widzenia przydatności gospodarczej, można przypuszczać, że część z tych roślin nie była usuwana z plonu lub zbierana w celach użytkowych. Niektóre z nich mogły być gromadzone w sposób łatwy, ze względu na wysoką produkcję nasion²³ i w konsekwencji mogły dostarczać obfitych zbiorów.

Śladem obecności łąk i pastwisk, w badanym materiale, może być pozostałość diaspor stokłosa miękkiej *Bromus hordeaceus* i szczawiu polnego *Rumex acetosella*. Łoczyga pospolita *Lapsana communis* rośnie zwykle w prześwietlonych lasach, na zrębach i w zaroślach²⁴.

W opisywanych źródłach wystąpiły diaspory drzew i krzewów dostarczających jadalnych owoców: leszczyzny zwyczajnej *Corylus avellana*, maliny właściwej *Rubus idaeus*, bzu czarnego *Sambucus nigra* oraz jabłoni *Malus* sp. Niestety, jedno z nasion jabłoni zalegało w warstwie pierwotnego humusu. Bardzo interesujące jest wystąpienie sporej liczby owoców graba zwyczajnego *Carpinus betulus*, którego szczątki zachowały się też w formie węgli drzewnych. Charakter tego znaleziska jest jak dotychczas trudny do określenia.

ANALIZA WĘGLI DRZEWNYCH

Węgłe drzewne zachowane na stanowiskach archeologicznych dostarczają cennych danych historycznych, gdyż informują o różnorodnych sposobach wykorzystywania drewna. Jeśli są znalezione w postaci pozostałości drewna konstrukcyjnego najczęściej charakteryzują się niewielką różnorodnością taksonomiczną wynikającą z selekcji (wyboru dokonanego przez człowieka) poszczególnych gatunków. Z drugiej strony, węgle drzewne mogą również być źródłem do badań nad rekonstrukcją dawnych zbiorowisk leśnych, przy założeniu, że są one wynikiem użytkowania drewna opałowego, którego pozostałości są liczne i są rezultatem dłuższego w czasie odkładania się jego resztek. W tym przypadku węgiel drzewny stanowi specyficzną próbę lokalnej roślinności leśnej, gdyż jako materiał zbierany niemal codziennie na opał użytkowano drewno dostępne, łatwe do zbierania i transportowania na teren osady. Dlatego też lista taksonów uzyskana z analiz węgla drzewnego zalegającego w warstwach archeologicznych lub obiektach o charakterze śmietniskowym zwykle wyróżnia się stosunkowo dużym bogactwem gatunkowym i przypadkowością zestawu taksonomicznego²⁵.

Na wszystkich analizowanych stanowiskach archeologicznych udokumentowano 20 taksonów, w tym 16 określonych jako minimalna liczba taksonów. Oznaczono sześć taksonów do poziomu gatunku (grab zwyczajny *Carpinus betulus*, leszczyna pospolita *Corylus avellana*, buk zwyczajny *Fagus sylvatica*, jesion wyniosły *Fraxinus excelsior*, sosna zwyczajna *Pinus sylvestris* i borówka brusznica *Vaccinium vitis-idaea*) oraz 10 do poziomu rodzaju (klon *Acer*, olsza *Alnus*, brzoza *Betula*, dąb *Quercus*, topola *Populus*, śliwa *Prunus*, wierzba *Salix*, bez czarny *Sambucus*, lipa *Tilia* i wiąz *Ulmus*). Oznaczono też taksony do poziomu podrodziny (*Maloideae*) i rodziny (*Betulaceae*), natomiast pozostałe zaliczono ogólnie do drzew liściastych lub szpilkowych. Ze względu na gorszy stan zachowania oraz duże podobieństwo budowy anatomicznej drewna, wyróżniono także takson *Salix* sp. lub *Populus* sp. Pozostałości dębu *Quercus* sp. wyróżniają się pod względem częstości występowania taksonów w próbach na wszyst-

²² Lityńska-Zajac 2005.

²³ Behre 2008.

²⁴ W. Matuszkiewicz 2001.

²⁵ Chabal 1988, 1997; Ntinou 2002; Asouti i Austin 2005; Carrión 2005; Lityńska-Zajac i Wasylkowa 2005; Moskal-del Hoyo 2013.

kich stanowiskach. Na stanowisku 9 w Kamionce liczne były także fragmenty drewna sosny zwyczajnej. Szczątki pozostałych gatunków względnie rodzajów drzew były zarówno mniej liczne, jak i rzadziej pojawiały się w próbach z poszczególnych stanowisk.

W licznych próbach zaobserwowano fragmenty pochodzące z pni oraz gałęzi. Udokumentowano także użytkowanie drobnych gałęzi, których średnica wynosiła między 1,8 a 4,6 mm (ryc. 1:d). Stosunkowo często napotkano na fragmenty węgli drzewnych wskazujących na użytkowanie drewna spróchniałego (ryc. 1:g), często zainfekowanego grzybami, których działalność można zaobserwować w postaci zniszczonych ścian komórkowych lub występowania fragmentów strzępek grzybni.

W dużej liczbie prób znaleziono pozostałości kory, które najliczniej wystąpiły na terenie grodziska w Strużynie, st. 21²⁶. Udokumentowano także łyko lipy *Tilia* sp. na terenie grodziska w Starym Folwarku, st. 1²⁷ oraz w Lipowcu, st. 2 (Lichtajnach)²⁸.

OMÓWIENIE WYNIKÓW

Odtworzenie całokształtu gospodarowania roślinami w przeszłości jest bardzo trudne. Niemniej jednak zgromadzone dane archeobotaniczne dla omawianych stanowisk pozwalają sformułować kilka istotnych uwag. Podstawą jest porównanie procentowego udziału szczątków zbóż konkretnych gatunków w omawianych tu przedziałach chronologicznych (ryc. 3-4). Do sumy szczątków jednego gatunku włączono wszystkie okazy niezależnie od ich rodzaju (ziarniaki, jak i fragmenty oplewienia). W świetle tych analiz można stwierdzić, że podstawą gospodarki rolnej była uprawa zbóż. Jęczmień, proso i pszenica zwyczajna należą do ważnych zbóż początków epoki żelaza (ryc. 3), a dwa ostatnie wymienione gatunki miały istotne znaczenie w uprawach w okresie wczesnego średniowiecza (ryc. 4). Sytuacja ta odpowiada wynikom uzyskanym z innych stanowisk archeologicznych²⁹. Były one ówczesnie często wysiewane. W pojedynczych próbach odnotowano resztki oplewienia (tzw. widełki kłosowe oraz plewy) i ziarniaki pszenic: orkisz, samopszy i płaskurki. Pszenice te odgrywały istotną rolę w zasiewach w początkach epoki żelaza, ale w okresie wczesnego średniowiecza ich udział w strukturze zasiewów był raczej marginalny. Prawdopodobnie odnawiały się samorzutnie w łąkach zbożowych, występując w charakterze chwastów³⁰. Znaczna część ziarniaków, ze względu na stan zachowania, pozostała opisana tylko jako należąca do grupy *Cerealia* indet.

Ziarno zbóż, przede wszystkim pszenic, przeważnie rozcierane było na mąkę lub obtłukiwane na kasze. Jest ono dobrze przyswajalnym pokarmem ponieważ zawiera sporo węglowodanów, głównie w postaci skrobi oraz znacznie mniejsze ilości białka i tłuszczu³¹. Jęczmień mógł być przeznaczony w sporej części na paszę³². Proso, spożywane głównie jako kasza jaglana, mogło być wykorzystywane również jako karma dla drobiu³³. Bez wątpliwości użytkowano również słomę, która mogła służyć jako pasza, opał lub być wykorzystywana jako warstwa izolacyjna do krycia dachów, stert i kopców³⁴.

Próba określenia znaczenia gospodarczego innych roślin uprawnych jest zdecydowanie trudniejsza, ze względu na ich słabą reprezentatywność w analizowanym materiale subfosylnym. Groch zwyczajny mógł być uprawiany na nasiona, paszę zieloną lub siano. Nasiona jego zawierają od 25 do 50% białka roślinnego i ponadto 50% węglowodanów i jako roślina alimentacyjna stanowią podstawowy pokarm człowieka, spożywany na surowo lub po ugotowaniu. Na paszę treściwą dla inwentarza przeznaczane są nasiona, siano, grochowiny, jak i kiszonki³⁵. Mogą być również rozcierane na mąkę i dodawane do wypieku chleba³⁶. Len zwyczajny mógł być wykorzystywany jako roślina olejo- i włóknodajna. Nasiona lnicznika również dostarczają oleju jadalnego oraz stosowanego w lecznictwie. Wykorzystywano go także do oświetlania i innych celów technicznych. Bobik uprawiany był na nasiona i na nawóz zielony. Podobnie jak i inne gatunki roślin motylkowych nasiona bobiku w swoim składzie zawierają białka, tłuszcze, skrobie, błonnik i sole mineralne. Obecnie nasiona bobiku służą jako pasza treściwa dla wszystkich zwierząt gospodarskich, natomiast w pradziejach i być może w okresie średniowiecza były ważnym pożywieniem ludzi³⁷.

Uzupełnieniem diety codziennej, opartej o płody rolne, były rośliny zbierane ze stanu dzikiego. Owoce jabłoni były zapewne spożywane bezpośrednio po zebraniu, mogły być również suszone i przechowywane. Jabłka zawierają garbniki, pektyny, kwas cytrynowy i w medycynie ludowej stosowane były jako środek przeciwbiegunkowy. Zbierano też zapewne owoce maliny i bzu czarnego stanowiące dobre źródło pokarmu i mające zastosowanie lecznicze. Zbiory te nie nadawały się do długotrwałego przechowywania bez obróbki termicznej. Wśród gatunków roślin dzikich, o wysokich walorach użytkowych, bardziej odporne i nadające się do gromadzenia i przechowywania były owoce leszczyny.

Biorąc pod uwagę skład taksonomiczny prób antrakologicznych można założyć ich miejscowe pochodzenie, co może być podstawą próby odtworzenia lokalnych drze-

²⁶ W próbach pochodzących z kontekstu stratygraficznego 101.

²⁷ W jednostce stratygraficznej 67.

²⁸ W jednostce stratygraficznej 73.

²⁹ Np. Strzelczyk 2003; Lityńska-Zajęc i Wasylkowa 2005; Lityńska-Zajęc *et al.* 2010.

³⁰ Lityńska-Zajęc i Wasylkowa 2005.

³¹ Domańska *et al.* 1982: 255.

³² Domańska *et al.* 1982.

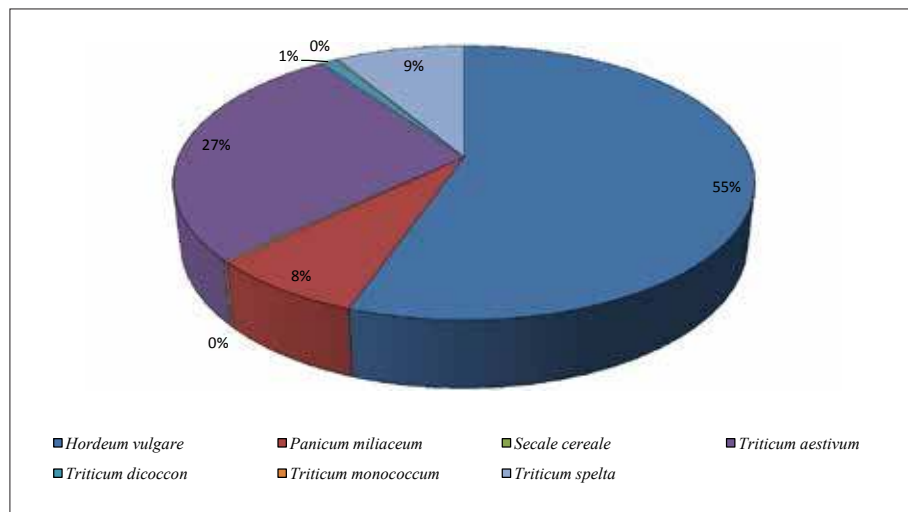
³³ Strzelczyk 2003; Lityńska-Zajęc i Wasylkowa 2005: 106.

³⁴ van der Veen 1999.

³⁵ Dzieżyc 1967: 108; Podbielkowski 1985.

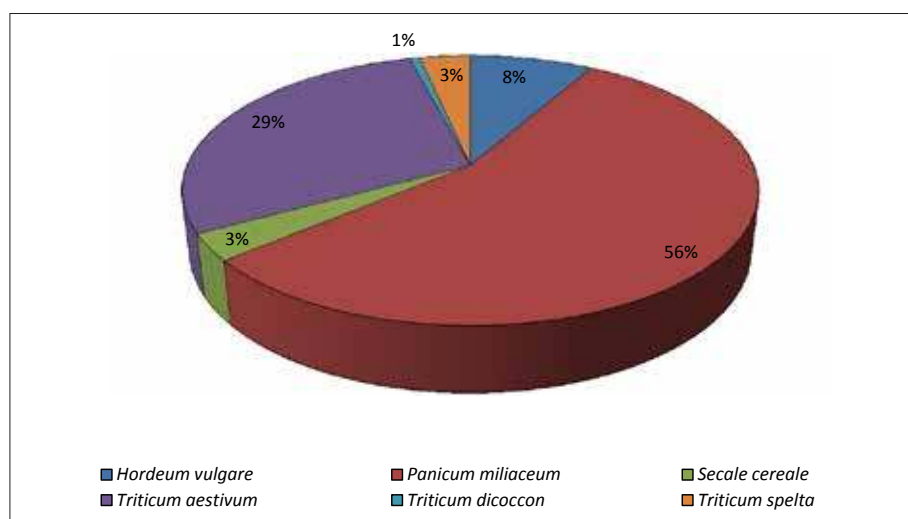
³⁶ Körber-Grohne 1988.

³⁷ Lityńska-Zajęc i Wasylkowa 2005, tam dalsza literatura.



Ryc. 3. Procentowy udział szczątków zbóż w nawarstwie niach z wczesnej epoki żelaza (oprac. M. Lityńska-Zajac)

Fig. 3. Relative frequencies of cereals found in the archaeological contexts of strongholds dated to the Early Iron Age (elaborated by M. Lityńska-Zajac)



Ryc. 4. Procentowy udział szczątków zbóż w nawarstwie niach z wczesnego średniowiecza (oprac. M. Lityńska-Zajac)

Fig. 4. Relative frequencies of cereals found in the archaeological contexts of strongholds dated to the Early Middle Ages (elaborated by M. Lityńska-Zajac)

wostanów, oczywiście jedynie w przypadku materiałów antrakologicznych wywodzących się z drewna opałowego. Trzeba jednak pamiętać, że charakterystyka zbiorowisk leśnych oparta na podstawie samych szczątków drzew z reguły jest ograniczona oznaczeniem wielu taksonów do poziomu rodzaju. Poza tym, nie można założyć, że resztki zebranego drewna pochodzą w rzeczywistości z jednego zbiorowiska leśnego, nawet jeśli zostały znalezione w jednej próbie³⁸.

Analogicznie, jak w przypadku zbóż, porównano udział procentowy konkretnych gatunków względnie rodzajów drzew. Do sumy konkretnego gatunku włączono zarówno pozostałości drewna, kory jak i łyka. Na wykresach uwzględniono tylko te taksony, których liczba szczątków była wyższa niż 10 okazów (ryc. 5-6). W przypadku materiałów z późnego średniowiecza, ze względu na niewielką liczbę pozostałości drzew i krzewów, odnotować jedynie można dominację szczątków dębu, obok graba i pozostałych nielicznych taksonów (tab. 5). W analizowanych materiałach zdecydowanie dominuje dąb we wszystkich

okresach chronologicznych, który mógł być pozostałością zarówno drewna opałowego, jak i drewna konstrukcyjnego. W niektórych próbach znaleziono jedynie jego szczątki³⁹, niemniej jednak w większości prób zaobserwowano znaczną różnorodność taksonomiczną. Świadczyć to może o pochodzeniu węgla drzewnych z resztek po drewnie opałowym. Tego typu interpretacja może być też podparta występowaniem fragmentów zbutwiałego drewna oraz wykorzystywaniem drobnych gałęzi. Ponadto, widoczne są różnice w składzie taksonomicznym pomiędzy poszczególnymi stanowiskami, co może ściśle łączyć się z lokalnym charakterem zbiorowisk leśnych wynikającym z odmiennych warunków siedliskowych.

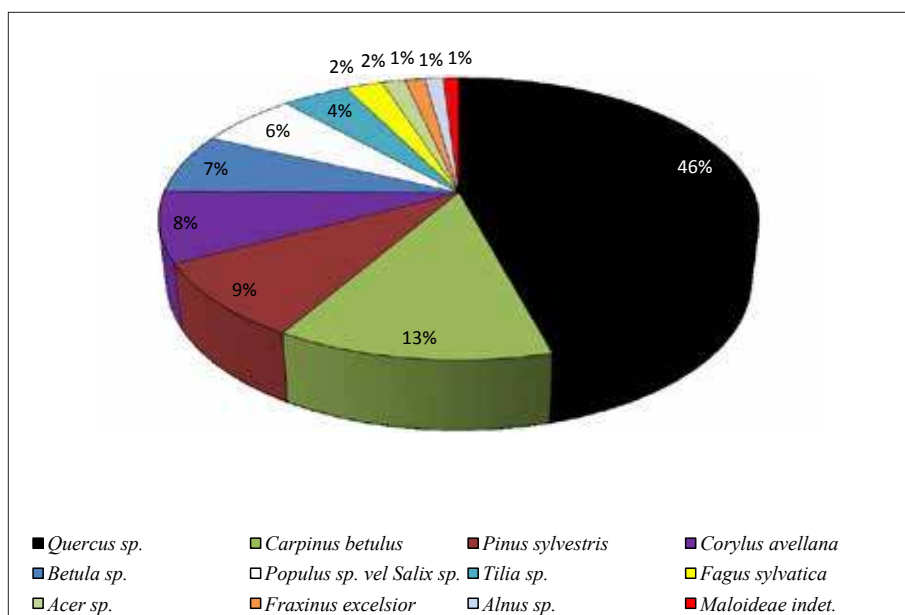
Duży udział dębu oraz potwierdzenie obecności graba, zwłaszcza w tych samych próbach, może wskazywać na występowanie zbiorowisk leśnych w typie dzisiejszych grądów. Klony, lipy i leszczyna mogły być również składnikami tego typu lasów liściastych. Grąd subatlantyki (*Stellario-Carpinetum*), zarówno w serii ubogiej, jak

³⁸ Lityńska-Zajac i Wasylukowa 2005.

³⁹ Np. nr jednostki stratygraficznej 65 i 79 z grodziska w Starym Folwarku, st. 1.

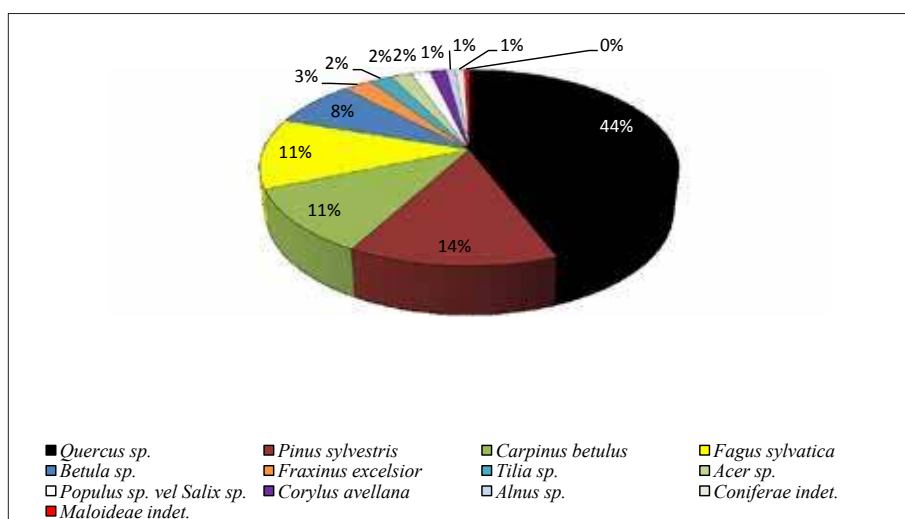
Ryc. 5. Procentowy udział szczątków drzew w nawarstwieniach wczesnej epoki żelaza (oprac. M. Lityńska-Zajac)

Fig. 5. Relative frequencies of woody taxa found in the archaeological contexts of strongholds dated to the Early Iron Age (elaborated by M. Lityńska-Zajac)



Ryc. 6. Procentowy udział szczątków drzew w nawarstwieniach wczesnego średniowiecza (oprac. M. Lityńska-Zajac)

Fig. 6. Relative frequencies of woody taxa found in the archaeological contexts of strongholds dated to the Early Middle Ages (elaborated by M. Lityńska-Zajac)



i żyznej, powinien być najczęściej występującym zbiorowiskiem leśnym w okolicy omawianych stanowisk archeologicznych według mapy potencjalnej roślinności naturalnej⁴⁰. Należy on do grupy lasów dębowo-grabowych, z grabem, dębem szypułkowym (*Quercus robur*) i stałym udziałem buka oraz z leszczyną w podszyści⁴¹. Ponadto, sosna i brzoza mogły rosnąć w tego typu zbiorowiskach leśnych. Jako drzewa światłoządne i mało wymagające pod względem siedliskowym mogą także wskazywać na występowanie bardziej widnych lasów lub nawet terenów częściowo odlesionych. Duży udział sosny może być też związany z występowaniem borów sosnowych. Płaty kontynentalnych borów w typach mieszanego boru sosnowo-dębowego (*Pino-Quercetum*) i boru sosnowego (*Peucedano-Pinetum*) wyróżnione są na mapie potencjal-

nej roślinności naturalnej⁴², przede wszystkim w okolicy grodzisk w Zajęczkach i Kamionce. Na tych stanowiskach sosna, obok dębu, graba i brzozy, stanowi ważny składnik spektrów antrakologicznych.

Znaczny udział olszy, jesionu, wierzby i topoli może natomiast sugerować pozyskiwanie drewna z siedlisk, na których rozwijać się mogły lasy łęgowe, występujące w pobliżu rzek, strumieni i rozlewisk⁴³, często występujących w najbliższej okolicy stanowisk archeologicznych.

W okresie wczesnego średniowiecza wzrasta udział buka, który mógł być składnikiem zarówno grądów, jak i buczyn. W okolicy wielu grodzisk (np. Kamionka, st. 9, Zajęczki, st. 1, Strużyna, st. 21, Tątlawki, st. 2 i Zimnochy, st. 2) uwarunkowania siedliskowe wskazują, że na niewielkich płatach mogła rozwinąć się żyzna i uboga buczy-

⁴⁰ J.M. Matuszkiewicz 2008.

⁴¹ W. Matuszkiewicz 2001: 391-392; J.M. Matuszkiewicz 2005: 189-192.

⁴² J.M. Matuszkiewicz 2008.

⁴³ Medwecka-Kornaś *et al.* 1972; J.M. Matuszkiewicz 2005; W. Matuszkiewicz 2001.

na niżowa (*Melico-Fagetum* i *Luzulo pilosae-Fagetum*)⁴⁴ o drzewostanach prawie wyłącznie bukowych, z niewielką domieszką dębu bezszypułkowego (*Quercus petraea*), grabu i jaworu (*Acer pseudoplatanus*)⁴⁵. Niemniej jednak należy zaznaczyć, że większy udział buka w tym okresie może wynikać z nadmiernej reprezentacji tego drzewa na stanowisku 2 w Janikach Wielkich, którego liczne szczątki zalegały w warstwach wiązanych ze zniszczoną bramą. Tym samym nie jest wykluczone, że pozostałości buka mogły stanowić resztki drewna konstrukcyjnego. Buk pojawia się sporadycznie na obu stanowiskach (st. 21 i 24) w Strużynie we wczesnej epoce żelaza. Węgle drzewne buka wystąpiły również w Tątlawkach. Najczęściej na szczątki buka natrafiono w warstwach późnośredniowiecznych z Grabina, st. 1, gdzie zostały znalezione we wszystkich trzech analizowanych próbach. Niewątpliwie odnotowanie szczątków buka na stanowiskach archeologicznych przyczynia się do poznania historii tego gatunku na omawianych terenach, które stanowią jednocześnie granicę ekologiczną występowania tego drzewa w Europie⁴⁶. W profilu palinologicznym w Worytach *Fagus* zaznacza się już w okresie łączonym z kulturą łużycką, natomiast jego udział wzrasta w okresie średniowiecza⁴⁷.

Na omawianych stanowiskach natrafiono na bardzo liczne sklerocja czarniaka pospolitego *Cenococcum geophilum*. Jest to grzyb mikoryzowy występujący na wielu gatunkach drzew leśnych⁴⁸. Stosunkowo często był notowany na stanowiskach archeologicznych, wielokrotnie

łącznie ze szczątkami drzew, co może wskazywać, że do obiektów dostaje się wraz z przyniesionym drewnem. Według innej opinii pojawia się on na drewnianych umocnieniach jam i jego obecność może pośrednio świadczyć o stosowaniu tych umocnień⁴⁹.

WNIOSKI KOŃCOWE

Analiza materiałów roślinnych z kilkunastu stanowisk archeologicznych na Mazurach potwierdziła, że podstawą gospodarowania była uprawa roli. Ludność zamieszkująca osady wysiewała głównie zboża. We wczesnej epoce żelaza były to przede wszystkim jęczmień zwyczajny, proso zwyczajne i pszenica zwyczajna. W okresie wczesnego średniowiecza uprawa rolna koncentrowała się na wysiewaniu prosa i pszenicy zwyczajnej. Udział innych roślin uprawnych, których owoce i nasiona zachowały w nawarstwieniach wczesnośredniowiecznych, przede wszystkim na stanowisku 9 w Kamionce, był raczej niewielki. Liczba zachowanych okazów wskazuje, że znaczącą rolę mógł odgrywać len zwyczajny.

Zbierane i użytkowane były zapewne owoce leśne, jabłoni, leszczyny, maliny i bzu czarnego. Część z tych zbiorów nadawała się do długotrwałego przechowywania.

Użytkowano różne rodzaje drewna, gromadzonego głównie jako materiał opałowy. W tych celach wykorzystywano przede wszystkim dębinę. We wczesnej epoce żelaza i w późnym średniowieczu znaczący był udział grabu, natomiast we wczesnym średniowieczu sosny zwyczajnej i buka.

⁴⁴ J.M. Matuszkiewicz 2008.

⁴⁵ J.M. Matuszkiewicz 2005: 198-199.

⁴⁶ Latałowa *et al.* 2004.

⁴⁷ Pawlikowski *et al.* 1982.

⁴⁸ Wojewoda 1998: 293-294.

⁴⁹ Wierzbiński 1999: 226.

Wykaz cytowanej literatury:

- Asouti, E. i P. Austin
2005. Reconstructing woodland vegetation and its exploitation by past societies, based on the analysis and interpretation of archaeological wood charcoal macro-remains. *Environmental Archaeology* 10: 1-18.
- Badal García, E.,
1992. L'antracologie préhistorique: à propos de certains problèmes méthodologiques. *Bulletin de la Société Botanique de France. Actualités Botaniques* 139 (2/3/4), 167-189.
- Behre, K.-E.
2008. Collected seeds and fruits from herbs as prehistoric food. *Vegetation History and Archaeobotany* 17: 65-73.
- Cappers, R.T.J., R.M. Bekker i J.E.A. Jans
2006. *Digital seed atlas of the Netherlands*. Barkhuis: Groningen Archaeological Studies.
- Cappers, R.T.J., R. Neef i R.M. Bekker
2009. *Digital atlas of economic plants*. Barkhuis: Groningen Archaeological Studies.
- Carrión, Y.
2005. *La vegetación mediterránea y atlántica de la Península Ibérica. Nuevas secuencias atracológicas*, S.I.P. Serie de Trabajos Varios 104. Valencia: Diputación Provincial de Valencia.
- Chabal, L.
1988. Pourquoi et comment prélever les charbons de bois pour la période antieue: les méthodes utiles sur sites de Lattes (Hérault). *Lattara* 1: 187-222.
1997. *Forêts et sociétés en Languedoc (Néolithique final, Antiquité tardive). L'antracologie, méthode et paléocologie*. Documents d'Archéologie Française, 63, Ed. de la Maison des Sciences de l'Homme, Paris.
- Chabal, L., L. Fabre, J.-F. Terral i I. Théry-Parisot
1999. L'Antracologie. [w:] A. Ferdière, Ch. Bourquin-Mignot, J.-E. Brochier, L. Chabal, S. Crozat, L. Fabre, J.-F. Terral, I. Théry-Parisot (red.), *La botanique*, 43-104. Paris: Ed. Errance.
- Domańska, H., H. Droese, A. Gawrońska-Kulesza, S. Kowalski, S. Roszak, L. Śmierchalski i S. Trzecki
1982. *Ogólna uprawa roli i roślin*. Warszawa: PWN.
- Dzieżyk, J.
1967. *Podstawy rolnictwa*. Warszawa: Państwowe Wydawnictwa Rolnicze i Leśne.
- Esau, K.
1973. *Anatomia roślin*. Warszawa: Państwowe Wydawnictwa Rolnicze i Leśne.
- Hejnowicz, Z.
2002. *Anatomia i histogeneza roślin naczyniowych. Organy wegetatywne*. Warszawa: PWN.
- Körber-Grohne, U.
1988. *Nutzpflanzen in Deutschland. Kulturgeschichte und Biologie*. Konrad Theiss Verlag.
- Kulpa, W.
1974. *Nasionoznawstwo chwastów*. Warszawa: Państwowe Wydawnictwa Rolnicze i Leśne.
- Latałowa, M., M. Ralska-Jasiewiczowa, G. Miotk-Szpiganowicz, J. Zachowicz i D. Nalepka
2004. *Fagus sylvatica* L. – beech, [w:] M. Ralska-Jasiewiczowa, M. Latałowa, K. Wasylkowa, K. Tobolski, E. Madejska, H.E. Wright Jr. i C. Turner (red.), *Late Glacial and Holocene history of vegetation in Poland based on isopollen maps*, 95-104. Kraków: W. Szafer Institute of Botany Polish Academy of Sciences.
- Lityńska-Zajęc, M.
2005. *Chwasty w uprawach roślinnych w pradziejach i wczesnym średniowieczu*. Kraków: Instytut Archeologii i Etnologii PAN.
2008. Usable wild plants in the archaeological record from Poland: selected examples, [w:] Z. Sulgostowska i J. Tomaszewski (red.), *Man – Millenia – Environment. Studies in honour of Romuald Schild*, 107-112. Warsaw: Institute of Archaeology and Ethnology Polish Academy of Sciences.
- Lityńska-Zajęc, M., D. Makowicz-Poliszot, A. Tyniec, B. Szmoniewski i M. Wołoszyn
2010. Stradów - wczesnośredniowieczny zespół osadniczy, [w:] A. Buko (red.), *Materiały archeobotaniczne i archeozoologiczne z badań na stanowisku 1 w latach 1956-1963*, t. 2. Kraków: Instytut Archeologii i Etnologii Polskiej Akademii Nauk, Kraków.
- Lityńska-Zajęc, M. i K. Wasylkowa
2005. *Przewodnik do badań archeobotanicznych*. Poznań: Sorus.
- Łuczaj, Ł.
2011. Dziko rosnące rośliny jadalne użytkowane w Polsce od połowy XIX w. do czasów współczesnych. *Etnobiologia Polska* 1: 57-125.
- Matuszkiewicz, J. M.
2005. *Zespoły leśne Polski*. Warszawa: Wydawnictwo Naukowe PWN.
2008. *Potencjalna roślinność naturalna Polski*. Warszawa: IGiPZ PAN.
- Matuszkiewicz, W.
2001. *Przewodnik do oznaczania zbiorowisk roślinnych Polski*. Warszawa: Wydawnictwo Naukowe PWN.
- Medwecka-Kornaś, A., J. Kornaś, B. Pawłowski i K. Zarzycki
1972. Przegląd ważniejszych zespołów roślinnych Polski, [w:] W. Szafer i K. Zarzycki (red.), *Szata roślinna Polski* 1, 279-382. Warszawa: Państwowe Wydawnictwo Naukowe.
- Mirek, Z., H. Piękoś-Mirek, A. Zajęc i M. Zajęc
2002. Flowering plants and pteridophytes of Poland. A checklist, [w:] *Biodiversity of Poland* 1. Kraków: W. Szafer Institute of Botany, Polish Academy of Sciences.

- Moskal-del Hoyo, M.
2013. Mid-Holocene forests from Eastern Hungary: new anthracological data. *Review of Palaeobotany and Palynology* 193: 70–81.
- Moskal-del Hoyo, M., M. Wachowiak i R.A. Blanchette
2010. Preservation of fungi in charcoal. *Journal of Archaeological Science* 37 (9): 2106-2116.
- Neef, R., R.T.J. Cappers i R.M. Bekker
2011. *Digital atlas of economic plants in archaeology*. Barkhuis: Groningen Archaeological Studies.
- Ntinou, M.
2002. *La paleovegetación en el Norte de Grecia desde el Tardiglacial hasta el Atlántico. Formaciones vegetales, recursos y usos*. BAR International Series, 1083. Archaeopress: Oxford.
- Pawlikowski, M., M. Ralska-Jasiewiczowa, W. Schönborn, E. Stupnicka i K. Szeroczyńska
1982. Woryty near Gietrzwałd, Olsztyn Lakedistrict, NE Poland—vegetational history and lake development during the last 12 000 years. *Acta Palaeobotanica* 22: 85-116.
- Podbielkowski, Z.
1985. *Słownik roślin użytkowych*. Warszawa: Państwowe Wydawnictwa Rolnicze i Leśne.
- Schweingruber, F.H.
1982. *Mikroskopische Holzanatomie*. Teufen: F. Flück-Wirth, Internationale Buchhandlung für Botanik und Naturwissenschaften.
1990. *Anatomie europäischer Hölzer. Ein Atlas zur Bestimmung europäischer Baum-, Strauch, und Zwergstrauchhölzer*. Bern-Stuttgart: Verlag Paul Haupt.
- Strzelczyk, J.
2003. Proso zwyczajne (*Panicum miliaceum* L.) we wczesnym średniowieczu Wielkopolski. *Prace Zakładu Biogeografii i Paleoekologii UAM w Poznaniu* 2: 1-36.
- Théry-Parisot, I.
2001. *Économie du combustible au Paléolithique. Anthracologie, Expérimentation, Taphonomie*. Dossier de Documentation Archéologique 20. Paris: CNRS.
- van der Veen, M.
1999. The economic value of chaff and straw in arid and temperate zones. *Vegetation History and Archaeobotany* 8: 211-224.
- Wierzbicki, J.
1999. *Łupawski mikroregion osadniczy ludności pucharów lej-kowatych*. Wydawnictwo Naukowe UAM Poznań.
- Wojewoda, W.
1998. Czarniak, [w:] Z. Otałęga (red.), *Encyklopedia biologiczna*, t. 2, 293-294. Kraków: Opres.

Maria Lityńska-Zajac and Magdalena Moskal-del Hoyo

Results of archaeobotanical study of strongholds from the Warmian-Masurian Province in the north-eastern Poland

Summary

Macroscopic plant remains found at archaeological sites provide important information for understanding the use of plant resources by people in the past. They also document the history of local flora and vegetation as well as characterizing the environmental conditions near the sites. This paper focuses on plant assemblages coming from 14 archaeological sites from Masuria dated to the Early Iron Age (4th-2nd cents BC), the Early Middle Ages (10th-12th cents AD) and the Late Middle Ages (13th-14th cents AD). In total, we identified about 19.000 charred remains of cultivated and wild plants. The preliminary data suggest that during the Early Iron Age and the Middle Ages farming cereals played important role for subsistence. In the Early Iron Age barley predominated, following by mil-

let and wheat, while in the Early Middle Ages cultivation was based on sowing of millet and bread wheat. The share of other crops, including remains of fruits and seeds preserved in archaeological layers, was rather small. It is likely that common flax also played a significant role in all chronological periods. Wild plant food was also collected, such as apple, hazelnut, raspberry and elderberry. Remains of fuel-wood included 20 taxa of trees and shrubs, suggesting that wood was gathered from various forest communities, including mainly oak-hornbeam forest and mixed oak-pine forest as well as from riparian woodland.

Translated by Magdalena Moskal-del Hoyo

Analiza dendrologiczna prób drewna i węgla drzewnych z grodzisk zachodniej części województwa warmińsko-mazurskiego

Próbki drewna i węgla drzewnych do badań dendrologicznych pochodziły z grodzisk badanych w ramach realizacji projektu Narodowego Programu Rozwoju Humanistyki *Katalog grodzisk Warmii i Mazur. Część 1: Pomezania, Pogezania i Warmia*, kierowanego przez prof. dr. hab. Zbigniewa Kobylińskiego w latach 2012-2016¹. W sumie przebadano 85 próbek z 13 stanowisk (tab. 6). Pod względem chronologicznym ten zespół podzielić można na trzy fazy: wczesną epokę żelaza, okres wczesnego średniowiecza i okres późnego średniowiecza².

Analizowany materiał możemy podzielić na trzy kategorie:

- elementy wałów drewniano-ziemnych grodzisk;
- relikty budynków mieszkalnych;
- inne konstrukcje.

ELEMENTY WAŁÓW DREWNIANO-ZIEMNYCH GRODZISK

Próbki drewna i węgla drzewnych pobrano z wałów grodzisk wczesnośredniowiecznych w Kamionce, st. 9, gm. Iława, Janikach Wielkich, st. 2, gm. Zalewo i Zajączkach, st. 1, gm. Ostróda oraz grodzisk późnośredniowiecznych w Zimnochach, st. 2, gm. Godkowo i Suszu, st. 1, gm. Susz.

W obrębie badanych drewniano-ziemnych wałów grodów wyróżniono dwa podstawowe elementy konstrukcyjne, z których pobrano próbki:

- wały drewniano-ziemne;
- zwieńczenia wału/palisady.

¹ Por. Kobyliński 2013, 2016.

² Za informacje dotyczące kontekstu stratygraficznego i datowania próbek dziękuję prof. dr. hab. Zbigniewowi Kobylińskiemu oraz dr. Rafałowi Soleckiemu, dr. Jackowi Wysockiemu, dr. Katarzynie Zeman-Wiśniewskiej, dr. Magdalenie Żurek, mgr. Kamilowi Rabiedze, mgr. Magdalenie Rutynie z Instytutu Archeologii UKSW oraz Dariuszowi Wachowi z Instytutu Archeologii i Etnologii PAN.

Wały drewniano-ziemne

Konstrukcje drewniane, które można próbować interpretować jako relikty wałów, zarejestrowano w Zajączkach, st. 1³ i Kamionce, st. 9 z okresu wczesnego średniowiecza oraz w Suszu, st. 1 i Zimnochach, st. 2 z okresu późnego średniowiecza. Próbki do analizy dendrologicznej pobrano zarówno z przepalonych, jak i nielicznych niezwęglonych elementów konstrukcyjnych. Z obserwacji średnicy przyrostów rocznych obserwowanych na przekroju poprzecznym węgla drzewnych wynika, że w zasadzie wszystkie próbki pobrano z dużych elementów konstrukcyjnych wykonanych z pnia lub konarów. W żadnej z badanych próbek węgla drzewnych nie zarejestrowano obecności drewna gałęziowego.

W sumie oznaczono pod względem użytego surowca kilkadziesiąt belek. W przypadku próbek węgla drzewnych pobranych z pogorzelska wału trudno jednoznacznie określić z ilu elementów/belek one pochodzą, dlatego też warto wyniki analizować łącznie. Na czterech stanowiskach w wałach grodzisk odnotowano wyłącznie drewno dębowe, a tylko w jednym (w Kamionce, st. 9) pojawiła się domieszka sosny i grabu (tab. 1). Wyniki uzyskane z terenu Warmii i Mazur doskonale wpisują się w dotychczasowe badania nad specyfiką doboru surowca przy wznoszeniu dobrze rozpoznanych wałów grodzisk wczesnośredniowiecznych z innych rejonów Polski, zwłaszcza z Wielkopolski.

Dobłą analogię dla analizowanych materiałów mogą stanowić wyniki badań wałów podgrodzia kruszwickiego. Wykazały one, że podstawowym surowcem do wznoszenia wałów było drewno dębowe - 80% oznaczeń. Inne gatunki stanowiły domieszkę; i tak: sosna - 8,5%, jesion - 7,7%, wiąz - 0,6%, grab - 0,6%, olsza - 0,6%, topola - 0,6%, topola osika - 0,6%, świerk - 0,6%. Prześledzono także poziomy zalegania konstrukcji wykonanych z poszczególnych ga-

³ Próbkę z grodziska w Zajączkach, st. 1 pobrano ze spalonych konstrukcji wału (próbki 18, 19) i bramy (24, 45, 50) oraz drewnianej nawierzchni chodnika grodziska ułożonego w korytarzu bramnym grodziska (63).

Tabela 1. Elementy konstrukcyjne wałów grodzisk**Table 1.** Elements of construction of ramparts of the strongholds

Wały drewniano-ziemne	Rodzaje drewna		
	sosna <i>Pinus sp.</i>	dąb <i>Quercus sp.</i>	grab <i>Carpinus sp.</i>
Wczesne średniowiecze			
Kamionka, st. 9 - pogorzelsko wału			
Nr inw. P/2012/3 - węgle drzewne z pnia	-	17 fragm.	-
Nr inw. P/2012/4 - węgle drzewne z pnia	3 fragm.	32 fragm.	-
Nr inw. P/2012/5 - węgle drzewne z pnia	-	33 fragm.	-
Nr inw. P/2012/6 - węgle drzewne z pnia	-	9 fragm.	-
Nr inw. P/2012/35 - węgle drzewne z pnia	5 fragm.	-	-
Nr inw. P/2012/37 - węgle drzewne z pnia	-	3 fragm.	21 fragm.
Zajączki, st. 1 - pogorzelsko wału i bramy			
Nr inw. 18 - węgle drzewne z pnia - wał	-	10 fragm.	-
Nr inw. 19 - węgle drzewne z pnia - wał	-	12 fragm.	-
Nr inw. 24 - węgle drzewne z pnia - brama	-	4 fragm.	-
Nr inw. 45 - węgle drzewne z pnia - brama	-	12 fragm.	-
Nr inw. 50 - węgle drzewne z pnia - brama	-	35 fragm.	-
Nr inw. 63 - węgle drzewne z pnia - chodnik	-	14 fragm.	-
Późne średniowiecze			
Susz, st. 1 - element konstrukcyjny wału			
Nr inw. P/2013/27 drewno z pnia	-	1 próba	-
Zimnochy, st. 2 - pogorzelsko wału			
Nr inw. 14 - węgle drzewne z pnia	-	7 fragm.	-
Nr inw. 32 - węgle drzewne z pnia	-	3 fragm.	-
Nr inw. 48 - węgle drzewne z pnia	-	8 fragm.	-
Nr inw. 51 - węgle drzewne z pnia	-	4 fragm.	-

tunków drewna w obrębie wału. Okazało się, iż w dębowym szkielecie konstrukcyjnym zaobserwowano elementy wykonane z drewna grabowego, olchowego, wiązowego, świerkowego i topolowego, występujące w pewnym tylko pasie poziomów konstrukcyjnych. Elementy sosnowe zaobserwowano w warstwach zalegających nad podwalinami wału, a jesionowe w partiach środkowych. Domieszki te nie wystąpiły w górnej części wału. Niewielkie domieszki innych rodzajów drewna być może związane były z naprawami wału lub też drewna o gorszej wartości używano pomocniczo w mniej newralgicznych częściach wałów. Mogło to być spowodowane kurczącą się dostępnością lepszego drewna, a w przypadku napraw również ich doraźnością⁴.

O skali domieszek informują także wyniki analiz dendrologicznych z grodu poznańskiego. W trakcie badań wału na Ostrowie Tumskim w Poznaniu przy ul. ks. Ignacego Posadzego 5 próby pobrano ze wszystkich elementów konstrukcyjnych, tj. rusztów i stosów, belek z konstrukcji skrzyń oraz pali stabilizujących konstrukcję, tzw. pilotów. Oznaczono w sumie 1388 próbek dębowych i 1 jesionową pochodzących z elementów konstrukcyjnych oraz jedną gałąź brzożową i 5 olchowych, które najprawdopodobniej dostały się tam przypadkowo⁵. W innym miejscu tego grodu, w ogrodzie arcybiskupim w Poznaniu odsłonięto relikty wału podgrodzia wzniesionego w technikach rusztowej (dolne partie) i przekładkowej (górne partie), który wykonano, jak zaznaczono, z po-

śledniejszych gatunków nieokorowanego drewna, takich jak sosna, olcha i brzoza⁶. Natomiast w trakcie badań prowadzonych w południowej części ogrodu arcybiskupiego zaobserwowano, że odsłonięty tam wał wykonano z drewna dębowego i brzożowego, a rzadziej sosnowego⁷. Zwraca tutaj uwagę stosunkowo częsta domieszka innych poza dębiną rodzajów drewna.

Podobne wyniki uzyskano na innych stanowiskach wielkopolskich. W Daleszynie, gm. Gostyń obok dominującego dębu odnotowano również sosnę⁸. W Bonikowie, gm. Kościan dominowało drewno dębowe, ale odnotowano także domieszkę innych rodzajów; w wale starszym była to brzoza, jesion i buk, a w młodszym: sosna, olsza i brzoza⁹. W Siemowie, gm. Gostyń zaobserwowano prócz elementów dębowych i sosnowych także gałązki brzożowe zapewne związane z elementami fundamentowymi (faszyny)¹⁰. W Ujściu wyróżniono tylko dębinę¹¹, natomiast w Sławiu, gm. Śmigiel także jesion, sosnę, olchę a nawet jodłę¹². W Brzostowie, gm. Śmigiel prócz dominującego dębu wyróżniono także sosnę i olchę¹³.

⁶ Nowak 1974: 77.

⁷ Perzyńska 1974: 148.

⁸ Hilczerówna 1960:19-67, 1967: 48.

⁹ Hołowińska 1956: 52; Hilczerówna 1967: 47, tab. I, ponadto pełne wyniki analiz dendrologicznych z Bonikowa udostępniła mi Pani prof. Zofia Kurnatowska.

¹⁰ Wyniki analiz dendrologicznych z Siemowa życzliwie udostępniła mi Pani prof. Zofia Kurnatowska.

¹¹ Leciejewicz 1961: 80-82.

¹² Makowiecki *et al.* 2016: 58.

¹³ Brzostowicz 2002: 197-198; Stępnik 1995.

⁴ Dzieduszycki 1976: 37, tab. 2.

⁵ Stępnik 2013: 273-274, przyp. 2-16.

Tabela 2. Trwałość drewna w latach (według Milewskiego 1965)

Table 2. Durability of wood in years (according to Milewski 1965)

Rodzaj drewna	Trwałość drewna w warunkach niezmiennie wilgotnych	Trwałość drewna na wolnym powietrzu
sosna	500	80
świerk	70	50
jodła	60	45
modrzew	600	90
dąb	700*	120
wiąz	1000	100
jesion	10	20
buk	10	10
klon	10	10
brzoza	10	5
olcha	800	5
topola osika	10	3
wierzba	20	5

* Wydaje się, zarówno na podstawie znalezisk tzw. czarnych dębów na stanowiskach archeologicznych, jak i w naturalnych warunkach zasypanych starorzeczy, że trwałość tego drewna jest mocno niedoszacowana i w sprzyjających warunkach zalegania drewno dębowe bez większej utraty swoich właściwości wytrzyma nawet kilka tysięcy lat (Kokociński i Surmiński 1995: 39).

W Międzyrzeczu występował głównie dąb, ale odnotowano także sosnę¹⁴, natomiast w Gnieźnie¹⁵ i Ostrowie Lednickim¹⁶ wyróżniono tylko drewno dębowe. Niewielkie domieszki innych niż dąb rodzajów drewna zarejestrowano także Śremie¹⁷, Poniecu¹⁸ i Jankowie, gm. Pobiedziska¹⁹

Tak jednoznaczny wybór dębiny nie był przypadkowy i wynikał z właściwości tego drewna. Wydaje się, że dla budowniczych grodów najistotniejszym czynnikiem była trwałość, czyli odporność na niszczące działanie czynników naturalnych powodujących rozkład drewna (por. tab. 2)²⁰. Nie mniej istotna była jego twardość i odporność na działanie czynników mechanicznych. Ponadto brak żywicy w drewnie dębowym, tak charakterystycznej dla większości gatunków iglastych, zwiększała do pewnego stopnia jego odporność na ogień, co jak wskazują relikty pogorzeliści było jedną ze skuteczniejszych metod zdobywania grodów. Dąb jako drzewo powszechnie występujące w lasach mieszanych strefy umiarkowanej, a przy tym niezwykle trwałe, zarówno w środowisku o stałej, jak i zmiennej wilgotności, doskonale spełniał oczekiwania budowniczych grodów. O drewnie dębowym tak pisano w poradnikach dla zarządców lasów: „dąb jako matery-

ał do budowli podwodnych lub na trwalsze statki, jest drewnem jednym z najlepszych”²¹.

Zwieńczenia wału/palisady

Z dwóch grodzisk: grodziska z okresu wczesnego średniowiecza w Janikach Wielkich, st. 2 i grodziska z czasów późnego średniowiecza w Suszu, st. 1 pobrano próbki z elementów uzupełniających, takich jak zwieńczenia wałów czy palisady na szczycie wału. Na stanowisku w Janikach Wielkich na koronie wału zarejestrowano spaloną brzozową belkę oraz liczne węgle bukowe pochodzące ze spalonej konstrukcji. Natomiast na stanowisku w Suszu odsłonięto pal palisady wzniesionej na szczycie wału grodu krzyżackiego w jego pierwszej fazie użytkowej, który wykonano z sosny. Trwałość brzozy i buku w warunkach zmiennych, narażonych na wilgoć i przesuszanie jest wyjątkowo niska i zapewne już po kilku latach elementy te wymagały wymiany. Trwałość sosny jest znacznie wyższa, jednakże obecność w jej drewnie żywicy powoduje, że jest ona znacznie bardziej narażona na spalanie niż inne rodzaje drewna (por. tab. 2). W przypadku obu stanowisk zwraca uwagę brak drewna dębowego, tak charakterystycznego dla budowli obronnych. Wydaje się, że elementy konstrukcyjne zwieńczenia wałów, jako że były najbardziej narażone na zniszczenie, zarówno w wyniku działalności człowieka, jak i warunków atmosferycznych, najczęściej podlegały naprawie. Z drugiej strony elementy te najłatwiej też było wymienić. Najprawdopodobniej takie doraźne naprawy wykonywano w przypadku pojawienia się zagrożenia, stąd też w mniejszym stopniu przejmowano się trwałością czy wytrzymałością poszczególnych rodzajów drewna i wykorzystywano surowiec najłatwiej dostępny w danej chwili.

¹⁴ Kurnatowski i Nalepa 1961: 98-99.

¹⁵ Żurowski 1957: 194; Mikołajczyk 1972: 58, 105.

¹⁶ Jedną próbę węgla drzewnych, pobraną z wału grodziska, zawierającą 92 ułamki dębowe otrzymałem od mgr Jacka Wrzesińskiego.

¹⁷ Prócz dominującego dębu autorzy wymieniają również brzozę (Dzieduszycki i Fogel 1979: 42-43).

¹⁸ Prócz dominującego dębu autorka wymienia także sosnę, olchę, brzozę i wiąz (Zamelska 1995: 69).

¹⁹ Prócz dominującego dębu autor wymienia także sosnę, olchę, brzozę, jesion i buk (Mamzer 1973: 143-174).

²⁰ Na pierwszy plan wysuwają się tutaj czynniki atmosferyczne, tj. opady, zmiany temperatury i wilgotności powietrza. Są one przyczyną powstawania takich negatywnych zjawisk, jak kurczenie i pęcznienie drewna. Ich następstwem są pęknięcia umożliwiające wnikanie powietrza, wody, zarodników grzybów, owadów i bakterii, co przyspiesza procesy rozkładu i naturalnego starzenia się drewna (Krzysik 1978: 290).

²¹ Berdau 1890: 151; podobnie Nowicki 1913: 149.

Tabela 3. Elementy uzupełniające w obrębie wałów grodzisk**Table 3.** Additional elements in ramparts of the strongholds

Zwieńczenia wału/palisady	Rodzaje drewna		
	sosna <i>Pinus sp.</i>	buk <i>Fagus sp.</i>	brzoza <i>Betula sp.</i>
Wczesne średniowiecze			
Janiki Wielkie, st. 2, konstrukcje na szczycie wału Nr inw. P/2013/1 - węgle drzewne Nr inw. P/2013/2 - węgle drzewne	- -	- 37 fragm.	3 fragm. -
Późne średniowiecze			
Susz, st. 1, pal z palisady Nr inw. P/2013/29 – drewno	1 próba	-	-

RELIKTY BUDYNKÓW MIESZKALNYCH

Elementy fundamentowe budynków mieszkalnych

Na stanowisku osadniczym w m. Łodygowo, st. 3, gm. Kisielice²² pobrano próbkę z relikwów spalonej ściany, najprawdopodobniej z belki podwalinowej, tzw. przyciesi wczesnośredniowiecznego budynku. Element ten był dębowy, a w próbce oznaczono 5 fragmentów węgla drzewnych.

Także na terenie grodziska w Strużynie, st. 21, gm. Morąg pobrano próbkę spalonej belki, będącej prawdopodobnie pozostałością dolnej partii ściany wczesnośredniowiecznego budynku.

W trakcie badań archeologicznych zabudowy mieszkalnej najczęściej odkrywano konstrukcje spągowe budynków, zazwyczaj elementy fundamentowe oraz ewentualnie dolne partie ścian. Elementy fundamentowe, tj. podwaliny miały za zadanie przejmowanie ciężaru ścian i przekazywanie go na grunt. Domy budowane bez podwalin na piaszczystych lub podmokłych, grząskich gruntach miały tendencję do osiadania i zapadały się nieraz głęboko w przeciągu krótkiego czasu²³. Stąd też powszechne było podkładanie pniaków, bali lub kamieni pod naroża, tj. węgły domów lub wzdłuż ścian budowli. Czasami odnotowano obecność podkładów wyrównujących teren, bądź zabezpieczających naroża przed szybkim gniciem²⁴. Na bardziej stabilnym gruncie podwalinę stanowiła pierwsza dolna belka ściany, zwana inaczej przyciesią. Najczęściej była ona szersza od samej ściany i nie przewiązana z nią²⁵. Element ten pełnił bardzo ważną

rolę w budynku, a dobór odpowiedniego surowca miał szczególne znaczenie. Przy braku bardziej rozbudowanego fundamentowania, belka ta bezpośrednio stykała się z podłożem, narażona więc była na bardzo niekorzystne i zmienne warunki. Oddziaływały na nią zarówno wilgoć pochodząca z podłoża, czy deszczów, jak i wiatry oraz słońce powodujące szybkie wysychanie. W efekcie pojawiało się regularnie pęcznienie, jak i kurczenie się drewna. Zmiany objętości drewna powodowały spękania powierzchni umożliwiające wnikanie powietrza, wody, zarodników grzybów, owadów i bakterii, co przyspieszało procesy rozkładu i naturalnego starzenia się drewna²⁶. Dodatkowo procesy destrukcyjne stymulowało zamarzanie zimą wody zawartej w drewnie. Dobór odpowiedniego drewna na podwaliny miało więc kluczowe znaczenie dla trwałości i stabilności całego budynku. Konstrukcje te są bardzo ważnym elementem, gdyż przejmują i rozpraszają ciężar całego budynku na podłoże, a także zapobiegają osiadaniu i pękaniu ścian. Materiały do budowy fundamentów muszą mieć więc dużą wytrzymałość na ścislenie i powinny być odporne na wilgoć i zmienne warunki atmosferyczne²⁷. Z tych też powodów ten element konstrukcyjny najczęściej wyrabiano z drewna dębowego, które charakteryzuje się największą trwałością w warunkach zmiennych. Rzadziej natomiast stosowano iglaste drewno żywiczne, np. sosnę. Obecność żywicy bowiem zwiększała trwałość drewna, które mimo to jednak pod tym względem ustępowało dębinie. Inne rodzaje drewna cechujące się niższą trwałością w zasadzie nie były stosowane, a ich ewentualna obecność może wiele powiedzieć na temat jakości całego budynku i kondycji społecznej właścicieli.

Źródła etnograficzne podają, że podwaliny robiono z kłoców i pali dębowych²⁸. Prócz dębin źródła te sporadycznie wspominają o wykorzystywaniu w tym celu drewna modrzewiowego, sosnowego i wiązowego²⁹.

²² Stanowisko to – domniemane grodzisko na cyplu nad jeziorem Łodygowo – po badaniach wykopaliskowych okazało się stanowiskiem osadniczym (Kobyliński *et al.* 2016), być może związanym z przeprawą mostową na wyspę na jeziorze, na której znajdowało się grodzisko, oznaczone jako Łodygowo, st. 1 (Pydyn 2016).

²³ Domy wybudowane na miękkim gruncie bez podwalin mogły zapadnąć się po okna w ciągu już około 50 lat (Stelmachowska 1960: 20).

²⁴ Barnycz-Gupieniec 1974: 19

²⁵ Barnycz-Gupieniec 1974: 23

²⁶ Krzysik 1978: 290

²⁷ Konrad, Racięcki i Skórski 1955: 144.

²⁸ Pietkiewicz 1928: 161.

²⁹ Mieczyski 1861: 494, 495, 719.

Tabela 4. Konstrukcje fundamentowe budynków z grodzisk badanych w ramach projektu

Tabela 4. Foundation constructions of buildings of the strongholds studied under the project

Konstrukcje fundamentowe budynków	Rodzaje drewna		
	sosna <i>Pinus sp.</i>	dąb <i>Quercus sp.</i>	grab <i>Carpinus sp.</i>
Wczesne średniowiecze			
Strużyna, st. 21 – relikw budynku	-	1 fragm.	-
Nr inw. 11 – drewno z pnia	-	2 fragm.	-
Nr inw. 15 – węgle drzewne z pnia	-	12 fragm.	-
Nr inw. 18 – węgle drzewne z pnia	-	-	-

Tabela 5. Drewniane elementy budynków wzniesionych w technice szkieletowej

Table 5. Wooden elements of the timber-framed buildings

Budynki szkieletowe	Rodzaje drewna		
	Sosna <i>Pinus sp.</i>	dąb <i>Quercus sp.</i>	olcha lub grab
Późne średniowiecze			
Durąg, st. 1, budynek mieszkalny	-	60 fragm.	-
Nr inw. 31 - węgle drzewne z pnia - piwniczka	-	24 fragm.	-
Nr inw. 32 - węgle drzewne z pnia - piwniczka	-	-	-
Nr inw. 38 - węgle drzewne, grube gałęzie -ściana	12 fragm.	-	-
Nr inw. 41 - węgle drzewne z pnia - piwniczka	-	42 fragm.	-
Nr inw. 44 - węgle drzewne z pnia – piwniczka	-	17 fragm.	-
Trupel, st. 4 - zwalona ściana budynku	4 fragm. z pnia	-	3 fragm.
Nr inw. P/2013/5 - węgle drzewne	2 fragm.	-	-
Nr inw. P/2013/16 - węgle drzewne z pnia	16 fragm.	-	-
Nr inw. P/2013/17 - węgle grube gałęzie	-	-	-
Nr inw. P/2013/19 - węgle drzewne z pnia	-	3 fragm.	-
Nr inw. P/2013/20 - węgle drzewne z pnia	-	9 fragm.	-
Nr inw. P/2013/23 - węgle drzewne z pnia	2	-	-

Budynki wznoszone w technice szkieletowej

Na terenie grodziska w Truplu, st. 1, gm. Kiselice odsłonięto relikty zawalanej ściany budynku późnośredniowiecznego wykonanego w konstrukcji szachulcowej z dużą ilością polepy. Spalony budynek mieszkalny wzniesiony w tej konstrukcji odkryto również na terenie grodziska w Durągu, st. 1, gm. Ostróda, przy czym w tym przypadku próbki pobrano z pogorzelskiego piwniczki³⁰.

Przy wznoszeniu odkrytych budynków wykorzystywano jedynie drewno dębowe i sosnowe³¹. Zrobiono z nich zarówno większe elementy konstrukcyjne, jak i wykonane z gałęzi wypełnienie przestrzeni międzysłupowych.

Ściany wzniesione w technice szkieletowej przypominały nieregularną kratę z poziomych, ukośnych, a nawet krzywych ciesi (tzw. rygli), umocowanych za pomocą czopów i gniazd, między pionowymi słupami. Konstrukcje tego typu składały się z następujących elementów: podwalin, słupów, rygli, zastrzałów i oczepu. Podwalinę,

która stanowiła dolne ograniczenie ściany, podobnie jak i w innych typach budowli, wykonywano zwykle z drewna twardego i wytrzymałego, najczęściej z dębiny. Zazwyczaj spoczywała ona całą swoją długością na fundamencie, na który przenosiła ciężar ściany. Na podwalinie mocowano następnie słupy, a ich rozstaw uzależniony był od wymiarów okiennych i drzwiowych. Słupom towarzyszyły zazwyczaj zastrzały, czyli elementy ukośne, które zapewniały budynkowi stateczność. Umieszczano je z reguły w skrajnych polach szkieletu. Do poziomego odgraniczenia otworów okiennych i drzwiowych oraz pól bezotworowych służyły rygle. Ostatnim elementem był oczep, ograniczający ścianę od góry i służący dla oparcia belek stropowych lub następnej kondygnacji budynku³². Wolne przestrzenie między ryglami wypełniano słomą zmieszaną z gliną, deseczkami, plecionką obrzucaną gliną, w późniejszych czasach także cegłą. W tym ostatnim wypadku ścianę taką nazywano murem pruskim.

Najstarsze domy w Gdańsku wzniesione w tej technice pojawiły się w połowie XIII wieku, wraz z osadnikami z Lubeki³³. Nieco młodsze budowle odsłonięto w Elblągu³⁴,

³⁰ Informacje uzyskane od dr. Jacka Wysockiego.

³¹ Odnotowano jedynie niewielką domieszkę w postaci 3 fragmentów węgla oznaczonych jako olcha/grab. Oba rodzaje drewna posiadają pozornie szerokie promienie drzewne, co niekiedy sprawia problem z ich rozróżnieniem, szczególnie w przypadku małych ułamków węgla drzewnych pochodzących z drewna gałęziowego.

³² Pogorzelski i Urban 1952: 182-192.

³³ Barnycz-Gupieniec 1974: 123, 1993: 181-182; Zbierski 1975: 64-65, 1978: 108-109.

³⁴ Nawroscy 1986: 611-612, 622.

Fromborku³⁵ i w Płocku³⁶. Podobne konstrukcje odkryte na Śląsku we Wrocławiu, Opolu, Legnicy i in. pochodzą z drugiej połowy XIII i ewentualnie XIV w.³⁷ Przyjąć jednak możemy, że technika ta stała się powszechna, w pierwszej kolejności w miastach, dopiero w XIV-XV w.³⁸ W domach o konstrukcji szkieletowej obróbka drewna była skomplikowana i wymagała dużych umiejętności ciesielskich. W systemie tym można było stosować materiał znacznie krótszy, w szczególności na rygle i zastrzały. Zazwyczaj wszystkie elementy miały jednakową grubość oraz całkowite wykończenie. Wznoszenie domu w konstrukcji szkieletowej wymagało uprzedniego określenia wymiarów oraz precyzyjnego wykończenia miejsc połączeń ciesielskich, tj. pazów i wpustów.

Materiał do wznoszenia domów o konstrukcji szkieletowej charakteryzował się wysoką jakością; w skład jego wchodziła dębina lub sosna, na ogół bezsękata. Elementy konstrukcyjne poddawano starannej obróbce ciesielskiej, w stopniu nie spotykanym wcześniej w budownictwie tradycyjnym. Cechy te korzystnie wyróżniają spośród innych budynki ramowo-słupowe, tym bardziej, że na górnej ramie można było wygodnie wznosić następne piętro domu, co szczególnie istotne znaczenie miało w budownictwie miejskim³⁹. Kolejną zaletą było znacznie mniejsze zużycie drewna, niezbędnego do wzniesienia budynku, jego wyższa trwałość oraz większe bezpieczeństwo pod względem pożarowym.

Pewną analogię może stanowić znany z Poznania z ulicy Żydowskiej dom wzniesiony w technice szkieletowej, wydatowano go na drugą poł. XIV w. Budynek ten został spalony, udało się uchwycić jedynie jego dolne partie i częściowo zidentyfikować poszczególne elementy. Słupy pionowe wykonano z sosny (3 próby), a także z dębu (2 próby); belki podwalinowe były dębowe (2 próby). W przypadku rygli, które uległy spaleniom uzyskano informacje bardziej ogólne. Przebadano węgle drzewne, które jak się wydaje mogły być pozostałościami konstrukcji drewnianych ścian, czyli właśnie rygli, słupów i zastrzałów. Wyniki przedstawiają się następująco: sosna - 20 fragmentów, dąb - 33 i wiąz 2 fragmenty⁴⁰. Także w Kruszwicy w warstwach datowanych na początek XVI wieku odsonięto pozostałości domu wzniesionego w tej technice. Zachowane fragmenty słupów ścian wykonane zostały z drewna dębowego⁴¹. Te stosunkowo nieliczne przykłady korespondują z wynikami otrzymanymi na stanowiskach w Truplu i Durągu.

Pomimo, że danych archeologicznych mówiących o rodzaju użytego surowca jest stosunkowo niewiele, istnieje jeszcze jedna przesłanka, w oparciu o którą można się spodziewać w tego typu konstrukcjach dobrego jakości-

wo budulca. Otóż rozpowszechnienie się budownictwa szkieletowego wiązać można z osadnictwem niemieckim na naszych ziemiach, a w Niemczech charakter zabudowy, jakość i rodzaj użytego drewna ściśle regulowały prawa miejskie. Miało to na celu ujednoczenie zabudowy miejskiej, a także podniesienie jej jakości i trwałości⁴². Najprawdopodobniej tradycje te, razem z konstrukcją, zostały przeniesione na polski grunt wraz z przybywającymi osadnikami niemieckimi.

Źródła dziewiętnastowieczne w sposób następujący charakteryzują surowiec budowlany, wykorzystywany w konstrukcjach szkieletowych. „podwaliny najlepsze dębowe, modrzewiowe, sosnowe lub wiązowe, muszą być proste [...]. Słupy i rygle bywają w ścianach dębowe, wiązowe i iglaste; nie są zbyt długie mogą być przeto wyrobione z drzewa mniej prostego i gałęzistego [...]. Na murłaty albo płatwy, na których krokwy wspierają się, i na podwaliny słupów stolcowych, na których spoczywa wiązanie dachu używa się drewno dębowe lub iglaste proste [...]. W budynku o konstrukcji szkieletowej belki służące za podstawę dla ścian, zwane podwalinami, kładą się w położenie poziome, a na nich wspierają się dopiero belki pionowe. Podwaliny robią się z drzewa sosnowego lub liściastego [...]. Środkowe belki, są to belki służące za podstawę pierwszego i drugiego piętra; dają dębowe lub sosnowe; grubość ich stosuje się do grubości ścian. Do podstaw krokwicznych stojących belki podporne obciosują czworobocznie. Przystosabiają je zwykle z gatunków iglastych”⁴³.

Budownictwo ziemne

Na st. 2 w Lipowcu (Lichtajnach), gm. Ostróda zarejestrowano relikty budownictwa ziemnego. Zgodnie z interpretacją realizatorów badań wykopaliskowych, odkryto tam zniszczone przez nowożytnie niwelacje terenu blisko siebie ustawione chaty. Prawdopodobnie ich zewnętrzne ściany tworzyły jednocześnie linię obronną grodu z wczesnej fazy kolonizacji krzyżackiej. Wyróżniono trzy chaty półziemiankowe o ścianach wykonanych według badaczki w konstrukcji palisadowej⁴⁴, uszczelnianej dodatkowo gliną. W tego typu obiektach o zagłębionej powierzchni użytkowej konstrukcje dachu osadzano na elementach nośnych, które zarazem licowały wewnętrzne ściany ziemne półziemianki. Zazwyczaj wnętrze tego typu budowli szaluje się poziomymi belkami/dranicami lub plecionką, które dodatkowo wzmacnia się słupami. Stopień wykańczania wewnętrznych ścian półziemianek w dużym stopniu zależał od warunków glebowych. Konstrukcje szalujące bardziej rozbudowane były na terenach piaszczystych, a na terenach gliniastych już w znacznie mniejszym stopniu⁴⁵.

³⁵ Ziemińska-Odojowa i Kruppé 1972: 244.

³⁶ Gąssowski 1986: 172.

³⁷ Kaźmierczyk 1969: 195.

³⁸ Barnycz-Gupieniec 1993: 182.

³⁹ Kaźmierczyk 1969: 196.

⁴⁰ Stępnik 1999: 113.

⁴¹ Cofta 1955: 94-95; Dzieduszycki 1976: 42.

⁴² Willerding 1996: 24; Sander-Berke 1996: 189-203.

⁴³ Mieczyski 1861: 494-495, 719-720.

⁴⁴ Informacja uzyskana od dr Magdaleny Żurek.

⁴⁵ Kaźmierczyk 1969: 170.

W trakcie badań archeologicznych w Lichtajnach pobrano 34 próbki do analiz dendrologicznych. Pochodziły one wyłącznie z dużych elementów konstrukcyjnych – belek. Wyróżniono kilka obiektów archeologicznych: chata 1 (ob. 14 i ob. 30), chata 2 (ob. 15 i ob. 39), chata 3 (ob. 103) oraz obiekty o nieokreślonej funkcji (3, 47, jednostka stratygraficzna 20 i 34). W analizowanym materiale zwraca uwagę całkowity brak elementów konstrukcyjnych wykonanych z drewna iglastego. Zidentyfikowano wyłącznie elementy z drewna liściastego, o zróżnicowanych właściwościach fizycznych i mechanicznych. Odnotowano zarówno gatunki o dużej trwałości w środowisku o zmiennej wilgotności, takie jak dąb i wiąz, ale również o niskiej, takie jak jesion, klon, brzoza czy olcha. W przeważającej większości próbki pobrano z pionowych elementów konstrukcyjnych. Tylko jedną próbę nr 33 z chaty 1 interpretuje się jako poziomy element konstrukcyjny (dąb), jedną - nr 29 łączy się z konstrukcją dachu (brzoza), a jedną nr 67 z elementem wyposażenia chaty (lipa). W przypadku chaty 1: 4 elementy pionowe wykonano z dębu, 4 z jesionu, 3 z brzozy i 1 z wiązu. Półziemianka ta cechuje się zróżnicowanym doбором surowcowym. W przypadku chaty 2 wyróżniono 3 taksony: dąb - 5 próbek, jesion - 6 próbek, klon - 1 próbka. Zwraca tutaj jednak uwagę, że jesion odnotowano jedynie w ob. 39, natomiast dąb występował wyłącznie w chacie nr 1 (ob. 14 i 30) i nr 2 (ob. 15 i 39). W chacie 3 zarejestrowano jedynie dwie spalone belki dębowe.

Drewno najlepiej zachowuje się w środowisku o stałej podwyższonej wilgotności. Budownictwo ziemne natomiast, co jest w pełni zrozumiałe, unikało właśnie takich terenów. Głównie z tej przyczyny posiadamy niewiele informacji o składzie gatunkowym surowca wykorzystwanego w budownictwie ziemiankowym i półziemiankowym. W naszej strefie klimatycznej drewno na terenach suchych ulega stosunkowo szybkiemu rozkładowi, dlatego też stanowisko w Lichtajnach wydaje się pod tym względem wyjątkowe. Także zastosowana technika szalowania ścian półziemianek nie należy do typowych. Budynki wznoszone w konstrukcji palisadowej należą do mało popularnych. Ich budowa była stosunkowo skomplikowana, a nie wносиła dodatkowych wygód w porównaniu z bardziej popularnymi konstrukcjami plecionkowo-słupowymi. Ściany w budynkach palisadowych składały się zazwyczaj z grubych słupów, rzadziej ich połowizn, rozmieszczonych w odstępach 1-2 m, a przestrzenie międzysłupowe wypełniano pionowo ustawionymi, zachodzącymi na siebie dranicami (elementy przypominające deski). Szerokość dranic mogła dochodzić do 40 cm, a średnica słupów do 35 cm. Przyjmuje się, że długość słupów mieściła się w przedziale 3,5–5 m. Wbijano je na głębokość 1,5 m w ziemię, co miało za zadanie ustabilizowanie całej konstrukcji.

Uważa się, że technikę palisadową zapożyczono ze Skandynawii i następnie rozprzestrzeniła się ona *via* Pomorze na resztę kraju na drodze kontaktów handlo-

wych ze Skandynawią, z zakonem krzyżackim oraz jeńcami z tych terenów⁴⁶. Ten typ konstrukcji można uznać za marginalny ale ze względu na jego pochodzenie niezwykle interesujący. Połączenie zaś techniki palisadowej z budownictwem ziemnym wydaje się tym bardziej wyjątkowe.

Specyfika doboru surowca przy tego typu konstrukcjach jest słabo rozpoznana. Budynek wzniesiony w technice palisadowej, tyle że naziemny, datowany na XI w. odkryto na podgrodziu w Kruszwicy, jego ściany zbudowano z pionowych, sosnowych dranic⁴⁷. Natomiast we Wrocławiu elementy konstrukcyjne wykonywano z gatunków liściastych: dębu i brzozy, a wystąpiły one w poziomach datowanych na XI i XIII w.⁴⁸

Pod względem użytego surowca, konstrukcje z Lichtajn zbliżone są do materiałów śląskich. W obu przypadkach zastosowano wyłącznie drewno liściaste. Niepokój może budzić jednakże stan zachowania odkrytych konstrukcji, które były w znacznym stopniu zniszczone przez nowożytnie niwelacje. Autorka badań w zestawieniu drewnianych elementów konstrukcyjnych identyfikuje belki pionowe oraz belki poziome, nie wymienia natomiast tak charakterystycznego i podstawowego elementu konstrukcyjnego ścian wzniesionych w technice palisadowej, jakim powinny być dranice. Wydaje się więc, że do funkcji odkrytych obiektów i konstrukcji oraz zastosowanej techniki należy podchodzić z pewną ostrożnością.

RELIKTY INNYCH KONSTRUKCJI

Konstrukcja skrzyniowa umacniająca brzeg

W Borecznie, st. 4, gm. Zalewo w trakcie badania rezydencji rycerskiej, w jednym z sondaży zlokalizowanym w sąsiedztwie niewielkiego cieku wodnego i terenów podmokłych odkryto konstrukcje drewniane przypominające skrzynie. Wstępne ustalenia oparte na analizie ceramiki pozwalają datować znalezisko na XV w.⁴⁹. Pobrano dwie próby. Pierwsza zawierała 3 fragmenty drewna dębowego z pnia, a druga zawierała 13 fragmentów dębowych pochodzących również dużych elementów. Odkryta w sondażu konstrukcja przypomina skrzynie ław grodów. Funkcją ław było dodatkowe wzmocnienie od strony zewnętrznej wału drewniano-ziemnego. Wydaje się, że w przypadku Boreczna, zadaniem odsłoniętej konstrukcji skrzyniowej mogło być umocnienie brzegu. Konstrukcje skrzyniowe cechują się nieskomplikowaną budową, a także podobnym rodzajem użytego drewna i przypominają właśnie ławy grodów. Typowa ława zbudowana była zazwyczaj z łańcucha izbic drewnianych wypełnionych ka-

⁴⁶ Koźmierczyk 1969: 194-195.

⁴⁷ Dzeduszycki 1976: 42.

⁴⁸ Kaźmierczyk 1969: 194.

⁴⁹ Informacje uzyskane od dr Magdaleny Żurek.

Tabela 6. Drewniane konstrukcje umocnień brzegowych
Table 6. Wooden revetments of the shorelines

Elementy fundamentowe	Rodzaje drewna		
	sosna <i>Pinus sp.</i>	dąb <i>Quercus sp.</i>	olcha <i>Alnus sp.</i>
Boreczno, st. 1 - elementy konstrukcyjne skrzyń umacniających brzeg Nr inw. 19 - drewno z pnia Nr inw. 22 - drewno z pnia	- -	3 próbki 13 próbek	- -

mieniami, ale również ziemią, piaskiem, gałęziami drzew rosnących w pobliżu, a także roślinnością wodną, korą, zrzywkami i wiórami czyli w zasadzie wszystkim tym, co było w zasięgu ręki. Całość często posadowiona była na pleciance, faszynie bądź ruszcie, które zapobiegały zapadaniu konstrukcji przy mniej stabilnym gruncie. Zazwyczaj izbica posiadała kształt zbliżony do prostokąta o zróżnicowanych, ale zbliżonych do siebie wymiarach, np. 2,0 x 2,5 m. W przypadku Boreczna, ze względu na niewielki zakres sondażu nie udało się poznać wymiarów konstrukcji.

PODSUMOWANIE

Celem niniejszego opracowania było rozpoznanie specyfiki doboru surowca drzewnego przy wznoszeniu różnego rodzaju budowli średniowiecznych z terenu województwa warmińsko-mazurskiego. Analizowane próby pochodziły z trzech kategorii budowli: elementów wałów drewniano-ziemnych grodzisk, reliktywów budynków mieszkalnych oraz umocnień brzegowych. Odmienne typy konstrukcji, różna funkcja oraz do pewnego stopnia także warunki zalegania pozwalały na rozpoznanie wiedzy ówczesnych budowniczych z zakresu właściwości fizycznych drewna i umiejętności ich optymalnego wykorzystywania. Pewnym mankamentem jest stosunkowo mała liczba prób ograniczająca możliwości interpretacyjne. Także brak bliskich analogii utrudnia analizę. Województwo warmińsko-mazurskie należy do stosunkowo słabo rozpoznanych pod tym względem, dlatego też prezentowane wyniki wydają się o tyle cenne, że rozpoczynają dyskusję na temat wiedzy o drewnie, specyfice wyboru poszczególnych rodzajów w zależności od typu konstrukcji, jej funkcji czy chronologii. Porównanie z wynikami podobnych analiz stwarza możliwość wychwycenia stałych prawidłowości oraz ewentualnych regionalizmów.

Ze względu na stosunkowo małą liczbę prób przedstawiane wyniki należy traktować jako sugestie, będące dopiero wstępem do szerszych badań. Jednakże już na tym etapie badań rysują się pewne prawidłowości. W przypadku wałów drewniano-ziemnych grodzisk zwracają uwagę następujące zbieżności, jak się wydaje charakterystyczne dla tego typu konstrukcji, bez względu na lokalizację oraz chronologię. W oparciu o dotychczasowe badania można stwierdzić, że charakterystyczną cechą składu surowca użytego w budownictwie grodzowym za-

równo rejonu Warmii i Mazur, jak i innych rejonów Polski było wykorzystywanie przy wznoszeniu wałów grodów prawie wyłącznie drewna dębowego. Tak jednoznaczny wybór dębiny nie był przypadkowy i wynikał z właściwości tego drewna. Wydaje się, że dla budowniczych grodów najistotniejszym czynnikiem była jego nieprzeciętnie wysoka trwałość, zarówno w stałych, jak i zmiennych warunkach wilgotności. Nie mniej istotna była jego twardość i odporność na działanie czynników mechanicznych. W naszej strefie klimatycznej brak jest porównywalnego rodzaju drewna, mającego równie wysokie właściwości fizyczne i mechaniczne, a równocześnie będącego na tyle popularnym w lasach aby dostarczyć tysięcy metrów sześciennych drewna niezbędnego do wzniesienia wałów grodzisk. Drewno dębowe, szczególnie w przypadku budowy fortyfikacji nie miało konkurencji. Jak wskazują wyniki dotychczasowych badań, przy wyborze nie kierowano się ani wybraną techniką, ani też chronologią stanowiska, a sporadycznie pojawiające się inne rodzaje drewna stanowiły z reguły jedynie niewielką domieszkę.

Na tym tle kontrastują wyniki analiz dendrologicznych elementów uzupełniających wały grodzisk, takich jak zwieńczenia czy palisady na szczycie wału. W przypadku analizowanego materiału zwraca uwagę brak drewna dębowego, tak charakterystycznego dla konstrukcji obronnych i wykorzystywanie drewna o znacznie niższych właściwościach fizycznych. Wydaje się, że elementy konstrukcyjne zwieńczenia wałów, jako że były najbardziej narażone na zniszczenie, zarówno w wyniku działalności człowieka, jak i warunków atmosferycznych, najczęściej podlegały naprawie czy wymianie. Wykorzystywanie gorszego surowca, tak kontrastującego z samymi wałami, wskazywać może na pewną doraźność napraw, powodowaną być może zagrożeniem, lub wręcz przeciwnie obniżeniem rangi grodu.

Na elementy fundamentowe budynków mieszkalnych tj. podwaliny, najczęściej wybierano dębinę. Odpowiedni i świadomy dobór surowca na ten element konstrukcyjny miał kluczowe znaczenie dla trwałości i stabilności całego budynku. Podwaliny przejmują i rozpraszają ciężar całego budynku na podłoże, a także zapobiegają osiadaniu i pękaniu ścian. Materiały do budowy fundamentów muszą mieć więc dużą wytrzymałość na ściskanie i powinny być odporne na wilgoć i zmienne warunki atmosferyczne, a najlepiej te trudne warunki spełnia właśnie zarejestrowana w analizowanym materiale dębina.

Kolejna grupa próbek pochodziła z relikwów zabudowy szkieletowej, tzw. budynków szachulcowych. Przy ich wznoszeniu wykorzystywano jedynie drewno dębowe i sosnowe. Zrobiono z nich zarówno większe elementy konstrukcyjne, jak i wykonane z gałęzi wypełnienie przestrzeni międzysłupowych. Wyniki te wpisują się w dotychczasowe ustalenia z innych rejonów Polski, gdzie najczęściej wykorzystywano właśnie wysokiej jakości, w pełni obrobiony surowiec dębowy i sosnowy.

Próby do analizy dendrologicznej pobrano także z relikwów innych budowli, m.in. umocnień brzegowych podmokłej doliny strumienia. Odkryta konstrukcja przypomina skrzynie ław grodów i to ze względu na formę, jak i zastosowany surowiec. Próby na badanych stanowiskach pobrano także z elementów o nieustalonej jednoznacznie funkcji przez co możliwości interpretacyjne były mocno ograniczone.

Tabela 7. Wyniki analiz dendrologicznych próbek węgla drzewnych i drewna z grodzisk badanych w ramach projektu *Katalog grodzisk Warmii i Mazur. Część 1: Pomezania, Pogezania i Warmia*

Table 7. Results of the dendrological analyses of charcoal and wood samples from the strongholds excavated under the project *Catalogue of strongholds of warmia and Masuria. Part 1: Pomesania, Pogesania and Warmia*

Boreczno, st. 4, gm. Zalewo, pow. iławski

Lp.	Nr inw.	Lokalizacja	Wyniki	uwagi
1	19	Wykop J 01, jedn. strat. 1	3 próby drewna, dąb <i>Quercus</i> sp. z pnia	Rezydencja rycerska. Skrzynia umacniająca brzeg. Datowanie: XV w.
2	22	Wykop J 01, jedn. strat. 1	13 prób drewna dąb <i>Quercus</i> sp. z pnia	

Durąg, st. 1, gm. Ostróda, pow. ostródzki

Lp.	Nr inw.	Lokalizacja	Wyniki	Uwagi
1	31	Wykop 2, jedn. strat. 27	60 fragm. dąb <i>Quercus</i> sp. – z pnia	Spalone drewno; zawalone elementy spalanej konstrukcji piwniczki. Datowanie: XIV/XV w.
2	32	Wykop 2, jedn. strat. 27	24 fragm. dąb <i>Quercus</i> sp. – z pnia	
3	38	Wykop 2, jedn. strat. 35	12 fragm. sosna <i>Pinus</i> sp. – gruba gałąź	Fragmenty dwóch drewnianych belek w otoczeniu przyzm kamieni 21 i 36; fragment zniszczonej, drewnianej konstrukcji.
4	41	Wykop 2, jedn. strat. 24	42 fragm. dąb <i>Quercus</i> sp. – z pnia	Ziemia z kawałkami zwęglonego drewna i polepy; miąższość do 45 cm; jeden z zasypów piwnicy z wkopu 68. Datowanie: XIV/XV w.
5	44	Wykop 2, jedn. strat. 42=27	17 fragm. dąb <i>Quercus</i> sp. – z pnia	Spalone drewno; zawalone elementy spalanej konstrukcji piwniczki. Datowanie: XIV/XV w.

Grabín, st. 1, gm. Ostróda, pow. ostródzki

Lp.	Nr inw.	lokalizacja	Wyniki	Uwagi
1	14	Wykop 1, jedn. strat. 20	3 fragm. węgla drzewnych, sosna <i>Pinus</i> sp.	Próbki pochodzą z warstwy niwelacyjnej związanej z tworzeniem majdanu grodu krzyżackiego. Zapewne była wynikiem zniszczenia starszych konstrukcji pruskich lub wypalania drzew porastających cypel, na którym planowana była budowa grodu. Datowanie: XIII w.
2	23	Wykop 3, jedn. strat. 32	1 fragm. dąb <i>Quercus</i> sp. 1 fragm. jesion <i>Fraxinus</i> sp. 1 fragm. brzoza <i>Betula</i> sp. 1 fragm. liściaste rozpięzchło-naczyniowe	Próbki pochodzą z pogorzeliska zsypanego do zawalonej piwnicy. Pogorzelisko powstało w wyniku zniszczenia grodu krzyżackiego. Datowanie: XIV/XV w.
3	24	Wykop 3, jedn. strat. 38	5 fragm. olcha <i>Alnus</i> sp.	

Janiki Wielkie, st. 2, gm. Zalewo, pow. iławski

Lp.	Nr inw.	lokalizacja	Wyniki	Uwagi
1	P/2013/1	Wykop 1, jedn. strat. 22	3 fragm. węgla drzewnych, brzoza <i>Betula</i> sp. z pnia	Grodzisko dwufazowe: z wczesnej epoki żelaza i wczesnego średniowiecza. Fragment spalonej belki (na szczycie wału)
2	P/2013/2	Wykop 1, jedn. strat. 42	37 fragm. węgla drzewnych, buk <i>Fagus</i> sp. z pnia	Bierwiona ewentualnego ramienia konstrukcji (spalonej). Na szczycie wału.

Kamionka, st. 9, gm. Iława, pow. iławski

Lp.	Nr inw.	lokalizacja	Wyniki	Uwagi
1	P/2012/1	Wykop 1, jedn. strat. 18	3 fragm. węgla drzewnych, sosna <i>Pinus</i> sp. Duże elem i gałęzie 27 fragm. węgla drzewnych olsza <i>Alnus</i> sp. – konary i gałęzie 9 fragm. węgla drzewnych liściaste rozpięzchło-naczyniowe – konary i gałęzie	Grodzisko dwufazowe: z wczesnej epoki żelaza i wczesnego średniowiecza. Skupisko węgla. Częściowo rozpoznane bierwiona liściaste mierzyły około 6 cm grubości i około 14 cm długości.
2	P/2012/2	Wykop 3, jedn. strat. 27	1 fragm. zwęglonej kory liściastej	W fosie.
3	P/2012/3	Wykop 1, jedn. strat. 42	17 fragm. węgla drzewnych dąb <i>Quercus</i> sp. – z pnia	Prawdopodobnie drewniana rampa, z jednej strony oparta o skłon wału, z drugiej wsparta na palach na krawędzi pierwszego poziomu komunikacyjnego – klepiska. Elementy konstrukcji wału.
4	P/2012/4	Wykop 1, jedn. strat. 35	32 fragm. węgla drzewnych dąb <i>Quercus</i> sp. – z pnia 3 fragm. węgla drzewnych sosna <i>Pinus</i> sp. – z pnia	L-kształtne bierwiona wewnątrz wału; w odległości 2/3 wału patrząc od wewnątrz grodziska. Elementy konstrukcji wału.
5	P/2012/5	Wykop 1, jedn. strat. 42	33 fragm. węgla drzewnych dąb <i>Quercus</i> sp. – z pnia	Prawdopodobnie drewniana rampa, z jednej strony oparta o skłon wału, z drugiej wsparta na palach na krawędzi pierwszego poziomu komunikacyjnego – klepiska. Elementy konstrukcji wału.
6	P/2012/6	Wykop 1, jedn. strat. 42	9 fragm. węgla drzewnych dąb <i>Quercus</i> sp. – z pnia	
7	P/2012/20	Wykop 1, jedn. strat. 100	8 fragm. węgla drzewnych sosna <i>Pinus</i> sp. – z pnia	Wypełnisko obiektu 104, przy ścianie N wykopu. W zagłębieniu przywałowym.
8	P/2012/21	Wykop 2, jedn. strat. 47	1 fragm. węgla drzewnych sosna <i>Pinus</i> sp. – z pnia	Warstwa węgla drzewnych w narożniku wykopu. Na majdanie grodziska.
9	P/2012/22	Wykop 2, jedn. strat. 47	14 fragm. węgla drzewnych sosna <i>Pinus</i> sp. – gałęzie 1 fragm. węgla drzewnych brzoza <i>Betula</i> sp. – gałęzie 3 fragm. węgla drzewnych liściaste rozpięzchło-naczyniowe – gałęzie	
10	P/2012/23	Wykop 2, jedn. strat. 47	12 fragm. węgla drzewnych sosna <i>Pinus</i> sp. – z pnia	
11	P/2012/25	Wykop 2, jedn. strat. 47	2 fragm. węgla drzewnych sosna <i>Pinus</i> sp. – z pnia	Poziom użytkowy, w zagłębieniu przywałowym.
12	P/2012/35	Wykop 1, jedn. strat. 121	5 fragm. węgla drzewnych sosna <i>Pinus</i> sp. – z pnia	
13	P/2012/37	Wykop 1, jedn. strat. 128	6 fragm. węgla drzewnych sosna <i>Pinus</i> sp. – z pnia 3 fragm. węgla drzewnych dąb <i>Quercus</i> sp. – z pnia	Spalona deska? w profilu N ściany wykopu. W N części zagłębienia przywałowego.
14	P/2012/40	wyk.1, jedn. strat. 134	7 fragm. węgla drzewnych sosna <i>Pinus</i> sp. – z pnia	Piaszczysta, jednorodna warstwa ze spalenizną. Nasyp wału z wczesnej epoki żelaza.
15	P/2012/50	Wykop 1, jedn. strat. 42	12 fragm. węgla drzewnych dąb <i>Quercus</i> sp. – z pnia	Prawdopodobnie drewniana rampa, z jednej strony oparta o skłon wału, z drugiej wsparta na palach na krawędzi pierwszego poziomu komunikacyjnego – klepiska. Elementy konstrukcji wału.
16	P/2012/51	Wykop 1, jedn. strat. 42	12 fragm. węgla drzewnych dąb <i>Quercus</i> sp. – z pnia	
17	P/2012/52	Wykop 1, jedn. strat. 42	24 fragm. węgla drzewnych dąb <i>Quercus</i> sp. – z pnia	

Analiza drewna i węgli drzewnych z grodzisk zachodniej części ziem pruskich

Lp.	Nr inw.	lokalizacja	Wyniki	Uwagi
18	P/2012/53	Wykop 1, jedn. strat. 42	10 fragm. węgla drzewnych sosna <i>Pinus</i> sp. – z pnia 10 fragm. węgla drzewnych jesion <i>Fraxinus</i> sp. – z pnia i gałęzie	Prawdopodobnie drewniana rampa, z jednej strony oparta o skłon wału, z drugiej wsparta na palach na krawędzi pierwszego poziomu komunikacyjnego – klepiska. Elementy konstrukcji wału.
19	P/2012/54	Wykop 1, jedn. strat. 42	11 fragm. węgla drzewnych dąb <i>Quercus</i> sp. – z pnia	
20	P/2012/55	Wykop 1, jedn. strat. 42	8 fragm. nadpalonego drewna sosna <i>Pinus</i> sp. – z pnia	
21	P/2012/70	Wykop 1, jedn. strat. 153	2 fragm. węgla drzewnych sosna <i>Pinus</i> sp. – grube gałęzie ok. \varnothing 10 cm	Słup (obiekt 329) podtrzymujący drewnianą rampę.
22	P/2012/71	Wykop 1, jedn. strat. 153	18 fragm. węgla drzewnych sosna <i>Pinus</i> sp. – grube gałęzie ok. \varnothing 10-12 cm 4 fragm. węgla drzewnych jesion <i>Fraxinus</i> sp. – grube gałęzie ok. \varnothing 8-10 cm	

Lipowiec, st. 2 (Lichtajny), gm. Ostróda, pow. ostródzki

Lp.	Nr inw.	Lokalizacja	Wyniki	Uwagi
1	18	ob. 014, wykop B, belka pionowa 10	jesion <i>Fraxinus</i> sp.	Chata nr 1, półziemianka, owalny wkop, ściany o konstrukcji palisadowej, wyprawione gliną, belki pionowe? Chronologia: XIII w.
2	20	ob. 014, wykop B, belka pionowa 26	dąb <i>Quercus</i> sp.	
3	22	ob. 030, wykop B, belka pionowa 3	wiąz <i>Ulmus</i> sp.	
4	27	ob. 014, wykop B, belka pionowa nr 20	jesion <i>Fraxinus</i> sp.	
5	38	ob. 014, wykop B, belka pionowa nr 88	brzoza <i>Betula</i> sp.	
6	39	ob. 014, wykop B, belka pionowa nr 89	dąb <i>Quercus</i> sp.	
7	40	ob. 015, wykop B, belka pionowa nr 87	dąb <i>Quercus</i> sp.	
8	41	ob. 014, wykop B, belka pozioma nr 33	dąb <i>Quercus</i> sp.	
9	43	ob. 014, wykop B, belka nr 29 fragment konstrukcji dachu?	brzoza <i>Betula</i> sp.	
10	45	ob. 014, wykop B, belka pionowa nr 52	jesion <i>Fraxinus</i> sp.	
11	50	ob. 014, wykop B, belka nr 67 fragment wyposażenia?	lipa <i>Tilia</i> sp.	
12	52	ob. 014, wykop B, belka pionowa nr 90	brzoza <i>Betula</i> sp.	
13	56	ob. 014, wykop B, belka pionowa nr 116	dąb <i>Quercus</i> sp.	
14	62	ob. 014, wykop B, belka pionowa nr 134	brzoza <i>Betula</i> sp.	
15	71	ob. 014, wykop B, belka nr 41	jesion <i>Fraxinus</i> sp.	
16	23	ob. 030, wykop B, belka pionowa 4	dąb <i>Quercus</i> sp.	Chata nr 2, półziemianka, owalny wkop, ściany o konstrukcji palisadowej, wyprawione gliną, belki pionowe? Chronologia: XIII w.
16	31	ob. 015, wykop B, belka pionowa nr 11	dąb <i>Quercus</i> sp.	
18	34	jedn. strat. 039, wykop C, belka pionowa nr 1	dąb <i>Quercus</i> sp.	
19	37	ob. 015, wykop B, belka pionowa nr 1	dąb <i>Quercus</i> sp.	
20	42	ob. 015, wykop B, belka pionowa nr 1	dąb <i>Quercus</i> sp.	
21	65	ob. 039, wykop C, belka pionowa nr 29	jesion <i>Fraxinus</i> sp.	
22	68	ob. 039, wykop C, belka pionowa nr 30	jesion <i>Fraxinus</i> sp.	
23	69	ob. 039, wykop C, belka pionowa nr 20	jesion <i>Fraxinus</i> sp.	
24	72	ob. 039, wykop C, belka pionowa nr 31	jesion <i>Fraxinus</i> sp.	
25	73	ob. 039, wykop C, belka pionowa nr 31	jesion <i>Fraxinus</i> sp.	
26	74	ob. 039, wykop C, belka pionowa nr 23	klon <i>Acer</i> sp.	
27	75	ob. 039, wykop C, belka pionowa nr 30	jesion <i>Fraxinus</i> sp.	
28	104	Wykop D, warstwa W.106 (fragment spalonej belki)	dąb <i>Quercus</i> sp.	Chata nr 3, półziemianka, owalny wkop. Chronologia: XIII w.
29	106	Wykop D, warstwa W.106 (fragment spalonej belki)	dąb <i>Quercus</i> sp.	

Lp.	Nr inw.	Lokalizacja	Wyniki	Uwagi
30	53	ob. 3, jedn. strat. 13, wykop 1, fragm. spalonej belki bez numeru	dąb <i>Quercus</i> sp. (15 ułamków węgla)	Fragment niezidentyfikowany
31	82	jedn. strat. 20, wykop 1, fragm. spalonej belki bez numeru	dąb <i>Quercus</i> sp. (4 ułamki węgla)	
32	26	Ob. 47 wykop A, belka	olcha <i>Alnus</i> sp.	Fragment niezidentyfikowanej konstrukcji obok chaty nr 1
33	29	jedn. strat. 034, wykop A, belka nr 1	jesion <i>Fraxinus</i> sp.	
34	60	ob. 047, wykop A, belka nr 3	brzoza <i>Betula</i> sp.	

Łodygowo, st. 3, gm. Kisielice, pow. iławski

Lp.	Nr inw.	lokalizacja	Wyniki	Uwagi
1	21	Wykop 2, jedn. strat. 72	5 fragm. węgla drzewnych, dąb <i>Quercus</i> sp. z pnia	Prawdopodobnie relikty zniszczonej ściany lub belki podwalinowej budynku. Datowanie: średniowiecze

Strużyna, st. 21, gm. Morąg, pow. ostródzki

Lp.	Nr inw.	lokalizacja	Wyniki	Uwagi
1	11	Wykop 1, jedn. strat. 16	1 próba drewna, dąb <i>Quercus</i> sp.	Grodzisko dwufazowe: z wczesnej epoki żelaza i wczesnego średniowiecza. Fragment belki. Prawdopodobnie pozostałość zniszczonej ściany budynku.
2	15	Wykop 1, jedn. strat. 45	2 fragm. węgla drzewnych, dąb <i>Quercus</i> sp.	
3	18	Wykop 1, jedn. strat. 54	12 fragm. węgla drzewnych, dąb <i>Quercus</i> sp.	

Susz, st. 1, gm. Susz, pow. iławski

Lp.	Nr inw.	lokalizacja	Wyniki	Uwagi
1	P/2013/27	Wykop 4, jedn. strat. 49	1 próba drewna, dąb <i>Quercus</i> sp. z pnia	Relikt szalunku lub poziomy element konstrukcyjny wału grodu krzyżackiego z jego drugiej fazy użytkowej. Element ten ułożony był równoległe do linii kamiennego muru, tuż przy krawędzi wkopu budowlanego, pod tenże kamienny mur. Datowanie: XIV w.
2	P/2013/29	Wykop 4, obiekt 72, jedn. strat. 73	1 próba drewna sosna <i>Pinus</i> sp. z pnia	Relikt pionowo wkopanego pała średnicy około 42 cm i zachowanej długości około 70 cm. Pał jest pozostałością zapewne palisady wzniesionej szczytce wału grodu krzyżackiego, w jego pierwszej fazie użytkowej. Datowanie: XIII w.

Trupel, st. 1, gm. Kisielice, pow. iławski

Lp.	Nr inw.	lokalizacja	Wyniki	Uwagi
1	P/2013/5	Wykop 1, jedn. strat. 4	4 fragm. węgla drzewnych, sosna <i>Pinus</i> sp. z pnia 3 fragm. olcha/grab	Relikty zawałonej ściany wykonanej zapewne w konstrukcji szachulcowej (drewno oblepione dużą ilością polepy). Datowanie: średniowiecze.
2	P/2013/16	Wykop 2, jedn. strat. 20	2 fragm. węgla drzewnych, sosna <i>Pinus</i> sp. z pnia	
3	P/2013/17	Wykop 1, jedn. strat. 22	16 fragm. węgla drzewnych, sosna <i>Pinus</i> sp. grube gałęzie	
4	P/2013/19	Wykop 1, jedn. strat. 36	3 fragm. węgla drzewnych, dąb <i>Quercus</i> sp. z pnia	
5	P/2013/20	Wykop 1, jedn. strat. 22	9 fragm. węgla drzewnych, dąb <i>Quercus</i> sp. z pnia	Relikty zawałonej ściany wykonanej zapewne w konstrukcji szachulcowej (drewno oblepione dużą ilością polepy). Datowanie: średniowiecze.

Analiza drewna i węgla drzewnych z grodzisk zachodniej części ziem pruskich

Lp.	Nr inw.	lokalizacja	Wyniki	Uwagi
6	P/2013/23	Wykop 1, jedn. strat. 29	2 fragm. węgla drzewnych, sosna <i>Pinus</i> sp. z pnia	Relikty zawalanej ściany wykonanej zapewne w konstrukcji szachulcowej (drewno oblepione dużą ilością polepy).

Wieprz, st. 20, gm. Zalewo, pow. iławski

Lp.	Nr inw.	lokalizacja	Wyniki	Uwagi
1	P/2013/3	Wykop 1, jedn. strat. 14	12 fragm. węgla drzewnych, sosna <i>Pinus</i> sp. z pnia	Grodzisko z wczesnej epoki żelaza. Próbki pochodzą z wypełnika wąskiego, płytkiego rowu, równoległego do linii fos, położonego za ostatnią fosą licząc od majdanu. W obiekcie tym natrafiono na dużą ilość spalenizny i liczne fragmenty ceramiki.
2	P/2013/5	Wykop 1, jedn. strat. 5	5 fragm. węgla drzewnych, sosna <i>Pinus</i> sp. z pnia	Grodzisko z wczesnej epoki żelaza. Próbki pochodzą z otoczenia pierwszej fosy licząc od majdanu grodziska. Znajdowały się luźno w obrębie sedymentu, na styku z warstwą 54.

Zajęczi, st. 1, gm. Ostróda, pow. ostródzki

Lp.	Nr inw.	lokalizacja	Wyniki	Uwagi
1	18	Wykop 1, jedn. strat. 30./2	10 fragm. dąb <i>Quercus</i> sp. – z pnia	Elementy konstrukcyjne wału grodziska.
2	19	Wykop 1, jedn. strat. 30./3	12 fragm. dąb <i>Quercus</i> sp. – z pnia	
3	24	Wykop 1, jedn. strat. 30./8	4 fragm. dąb <i>Quercus</i> sp. – z pnia	
4	45	Wykop 1, jedn. strat. 86/1	12 fragm. dąb <i>Quercus</i> sp. – z pnia	
5	50	Wykop 1, jedn. strat. 79	35 fragm. dąb <i>Quercus</i> sp. – z pnia	
6	63	Wykop 1, jedn. strat. 124	14 fragm. dąb <i>Quercus</i> sp. – z pnia	Elementy konstrukcyjne chodnika w bramie grodziska.

Zimnochy, st. 2, gm. Godkowo, pow. elbląski

Lp.	Nr inw.	lokalizacja	Wyniki	Uwagi
1	14	Wykop 1, jedn. strat. 9	7 fragm. węgla drzewnych, dąb <i>Quercus</i> sp. – z pnia lub konaru	Próbki pochodzą z warstwy związanej z funkcjonowaniem majdanu grodu. Pogorzelsko powstało w wyniku zniszczenia grodu krzyżackiego. Datowanie: XIII/XIV w.
2	32	jedn. strat. 19	3 fragm. węgla drzewnych, dąb <i>Quercus</i> sp. – z pnia lub konaru	Próbki pochodzą z północnego stoku wału grodziska. Pogorzelsko powstało w wyniku zniszczenia grodu krzyżackiego i zawalenia konstrukcji drewnianych, które spłynęły w kierunku fosy. Datowanie: XIII/XIV w.
3	48	jedn. strat. 25	8 fragm. węgla drzewnych, dąb <i>Quercus</i> sp. – z pnia	Próbki pochodzą z pogorzelska po zniszczonej konstrukcji drewnianej związanej z funkcjonowaniem wapiennika we wczesnym okresie krzyżackim. Pogorzelsko znajdowało się na poziomie wkopu pod wapiennik, w jego najbliższym otoczeniu, na północnym stoku wału grodziska. Datowanie: XIII w.
4	51	jedn. strat. 25	4 fragm. dąb <i>Quercus</i> sp. – z pnia	

Wykaz cytowanej literatury:

- Barnycz-Gupieniec, R.
1974. *Drewniane budownictwo mieszkalne w Gdańsku w X-XIII wieku*. Gdańsk: Ossolineum.
1993. Stan badań nad późnośredniowiecznym i nowożytnym drewnianym budownictwem mieszkalnym. *Prace i Materiały Muzeum Archeologicznego i Etnograficznego w Łodzi, Seria Archeologiczna* 36: 179-184.
- Berdau, F.
1890. *Botanika leśna podług kursu wykładowego w Instytucie Rolniczo-Leśnym w Nowej-Aleksandryi (Puławach), Prof. Feliksa Berdau, spisana i wydana staraniem b. uczniów, z licznymi drzeworytami*. Warszawa: Gebethner i Wolff.
- Brzostowicz, M.
2002. *Bruszczewski zespół osadniczy we wczesnym średniowieczu*. Poznań: Wydawnictwo Poznańskiego Towarzystwa Przyjaciół Nauk.
- Cofta, A.
1955. Sprawozdanie z prac wykopaliskowych w Kruszwicy w latach 1953 i 1954. *Sprawozdania Archeologiczne* 1: 94-95.
- Dzieduszycki, W.
1976. Wykorzystanie surowca drzewnego we wczesnośredniowiecznej Kruszwicy. *Kwartalnik Historii Kultury Materialnej* 24 (1): 35-54.
- Dzieduszycki, W. i J. Fogel
1979. Gród wczesnośredniowieczny w Śremie. *Slavia Antiqua* 26: 33-91.
- Gąssowski, J.
1986. Płock. *Informator Archeologiczny 1985*: 171-173.
- Hilczérówna, Z.
1960. *Wczesnośredniowieczne grodzisko w Daleszynie (st. 2) w pow. kościańskim*. Poznań: PWN.
1967. *Dorzecze górnej i środkowej Obry od VI do początków XI wieku*. Wrocław: Ossolineum.
- Hołowińska, Z.
1956. *Wczesnośredniowieczne grodzisko w Bonikowie w powiecie kościańskim*. Poznań: PWN.
- Kaźmierczyk, J.
1969. Budownictwo mieszkalne z drewna w VI-XIII wieku na obszarze Śląska. *Archeologia Polski* 14 (2): 167-214.
- Kobyliński, Z.
2013. Projekt Katalog grodzisk Warmii i Mazur. Część I: Pomezania, Pogezania i Warmia w ramach Narodowego Programu Rozwoju Humanistyki: cele, założenia i pierwszy etap realizacji w 2012 roku, [w:] Z. Kobyliński (red.), *Grodziska Warmii i Mazur 1. Stan badań i perspektywy badawcze*, 225-231. Archaeologica Hereditas 2. Warszawa – Zielona Góra: Instytut Archeologii UKSW i Fundacja Archeologiczna.
2016. Projekt Narodowego Programu Rozwoju Humanistyki *Katalog grodzisk Warmii i Mazur. Część I: Pomezania, Pogezania i Warmia*: realizacja w latach 2012-2016, [w:] Z. Kobyliński (red.), *Grodziska Warmii i Mazur. 2. Nowe badania i interpretacje* [w niniejszym tomie].
- Kobyliński, Z., J. Nitychoruk, K. Rabięga, M. Rutyna, D. Wach, F. Welc, J. Wysocki, K. Zeman-Wiśniewska i M. Żurek
2016. Falsyfikacja domniemyanych grodzisk w powiecie iławskim i ostródzkim, [w:] Z. Kobyliński (red.), *Grodziska Warmii i Mazur. 2. Nowe badania i interpretacje* [w niniejszym tomie].
- Kokociński, W. i J. Surmiński
1995. Drewno czarnego dębu. Jego właściwości i możliwości wykorzystania, [w:] *Quercus sp.: biologia, gospodarka, kultura*, 38-40. Gołuchów: Ośrodek Kultury Leśnej.
- Konrad, Z., Z. Racięcki i A. Skórski
1955. *Poradnik budownictwa wiejskiego*. Warszawa: Państwowe Wydawnictwo Rolnicze i Leśne.
- Krzysik, F.
1978. *Nauka o drewnie*. Warszawa: PWN.
- Kurnatowski, S. i J. Nalepa
1961. *Z przeszłości Międzyzrzecza*. Poznań: Wydawnictwo Poznańskie.
- Leciejewicz, L.
1961. *Ujście we wczesnym średniowieczu*. Wrocław: Ossolineum.
- Mamzer, H.
1973. Materiały wczesnośredniowieczne z Jankowa (stanowisko 1), pow. inowrocławski. *Slavia Antiqua* 20: 143-174.
- Mieczyski, A.
1861. *Zasady leśnictwa dla obywateli ziemskich lasy posiadających skreślone przez Adama Mieczyskiego byłego podleśnego w lasach Rządowych Królestwa Polskiego*. Warszawa: Drukarnia Alexandra Ginsa.
- Mikołajczyk, G.
1972. *Początki Gniezna. Studia nad źródłami archeologicznymi*. Poznań: PWN.
- Milewski, A.
1965. *Materiały i wyroby z drewna*. Warszawa: PWN.
- Nawrolscy, G. i T.
1986. Badania Starego Miasta w Elblągu w latach 1983-1984. *Kwartalnik Historii Kultury Materialnej* 34: 609-648.
- Nowak, A.
1974. Badania wykopaliskowe w ogrodzie arcybiskupim na Ostrowie Tumskim w Poznaniu w latach 1960-1961, [w:] W. Hensel i J. Żak (red.), *Poznań we wczesnym średniowieczu* 4, 75-144. Wrocław: Zakład Narodowy im. Ossolińskich.
- Nowicki, A.
1913. *Użytkowanie lasów (technologia leśna). Podręcznik dla właścicieli lasów i leśników, podług najlepszych źródeł i praktyki własne*. Kraków: Gebethner i Spółka.
- Perzyńska, M.
1974. Badania wykopaliskowe w południowo-wschodniej partii ogrodu Arcybiskupiego na Ostrowie Tumskim w Poznaniu w 1961 r., [w:] W. Hensel i J. Żak (red.), *Poznań*

- we wczesnym średniowieczu 4: 145-159. Wrocław: Zakład Narodowy im. Ossolińskich.
- Pietkiewicz, C.
1928. *Polesie Rzeczyckie, cz.1: Kultura materialna*. Kraków: Polska Akademia Umiejętności.
- Pogorzelski, J. i L. Urban
1952. *Ustroje budowlane. Część II: konstrukcje drewniane*. Warszawa: Państwowe Wydawnictwa Szkolnictwa Zawodowego.
- Pydyn, A.
2016. Wyniki archeologicznych prospekcji podwodnych w jeziorach Pojezierza Iławskiego w latach 2013 -2014, [w:] Z. Kobyliński (red.), *Grodziska Warmii i Mazur. 2. Nowe badania i interpretacje*, niniejszy tom.
- Sander-Berke, A.
1996. Spätmittelalterliche Holznutzung für den Baustoffbedarf. [w:] A. Jockenhövel (red.) *Bergbau, Verhüttung und Waldnutzung im Mittelalter*, 189-203. Stuttgart: Franz Steiner Verlag.
- Stelmachowska, B.
1960. *Budownictwo Słowińców*. Poznań: Wydawnictwo Poznańskie.
- Stępnik, T.
1995. *Lista oznaczeń węgla drzewnych ze stan. 12 i 13 w Bruszczewie, woj. leszczyńskie*. Poznań, maszynopis w dokumentacji Muzeum Archeologicznego w Poznaniu.
1999. *Las w kulturze średniowiecznej Wielkopolski*. Poznań IP UAM, maszynopis rozprawy doktorskiej.
2013. Wał wczesnośredniowiecznego grodu na Ostrowie Tumskim w Poznaniu przy ul. Ks. Ignacego Posadzego 5 w świetle analizy surowcowej, [w:] H. Kóčka-Krenz (red.), *Poznań we wczesnym średniowieczu* 8, 269-283. Poznań : Wydawnictwo Nauka i Innowacje.
2016. Elementy gospodarki, wykorzystywanie drewna, [w:] M. Brzostowicz (red.), *Grodzisko wczesnośredniowieczne w Sptawiu, woj. wielkopolskie. Wyniki badań archeologicznych*, 49-63. Poznań: Muzeum Archeologiczne. Bibliotheca Fontes Archaeologici Posnanienses 17.
- Willering, U.
1996. Zur Waldnutzung vom Neolithikum bis in die Neuzeit. *Alt-Thüringen* 30: 13-53.
- Zamelska, K.
1995. *Grodzisko w Poniecu (stanowisko 1, woj. leszczyńskie)*. Poznań: PTPN.
- Zbierski, A.
1975. Początki Głównego (Prawego) Miasta Gdańska. *Kwartalnik Historii Kultury Materialnej* 23: 55-66.
1978. *Rozwój przestrzenny Gdańska w IX-XIII w.*, [w:] E. Cieślak (red.), *Historia Gdańska* 1: 71-125. Gdańsk: Wydawnictwo Morskie.
- Ziemlińska-Odojowa, W. i J. Kruppé
1972. Frombork. *Informator Archeologiczny* 1971: 243-244.
- Żurowski, K.
1957. Konstrukcje obronne wczesnośredniowiecznego Gniezna. *Archeologia Polski* 1: 181-213.

Tomasz Stępnik

Dendrological analysis of samples of wood and charcoal from the strongholds in the western part of the Warmian-Masurian Province

Summary

The aim of this study was to identify the specific nature of the selection of wood raw material in the construction of Prehistoric and Medieval strongholds in the western part of the Warmian-Masurian Province in the north-eastern Poland, which were excavated under the National Programme for Development of Humanities project Catalogue of strongholds of Warmia and Masuria. Part 1: Pomesania, Pogesania and Warmia, directed by Professor Zbigniew Kobyliński in 2012-2016. The analysed samples of charcoal and wood came from 13 archaeological sites: the Early Iron Age stronghold at Wieprz, site 20, community of Zalewo; the Early Medieval strongholds at Janiki Wielkie, site 2, community of Zalewo, Kamionka, site 9, community of Iława, Strużyna, site 21, community of Morąg and Zajączki, site 1, community of Ostróda, and Late Medieval strongholds at Boreczno, site 4, community of Zalewo, Durąg, site 1, community of Ostróda, Grabin, site 1, community of Ostróda, Lipowiec, site 2 (Lichtajny), community of Ostróda, Susz, site 1, community of Susz, Trupel, site 1, community of Kisielice and Zimnoch, site 2, community of Godkowo. In addition a sample from

settlement Early Medieval site at Łodygowo, site 3, community of Kisielice, was also analysed. The samples were obtained from three categories of structures: the elements of ramparts of wooden and earthen strongholds, relics of residential buildings and revetments. Different types of structures, diverse functions and to some extent the conditions of deposition made it possible to recognise the knowledge that the builders of these fortifications had about the physical properties of wood and their skills in the optimal use of wood. One drawback is the relatively small number of samples, which limits the possibilities of interpretation. The lack of close analogies also makes the analysis difficult. Warmia and Masuria are relatively poorly researched in this respect. Therefore, the presented results seem to be so much more valuable as they initiate a discussion on the knowledge of the wood and on the specifics of the choice of particular types depending on the type of structure, its function and chronology. Comparison with results of similar studies makes it possible to determine underlying regularities and any regionalisms.

Due to the relatively small number of samples analysed, the presented results should be considered as suggestions, that are only preludes to broader research. However, already at this stage of the study some regularities can be concluded. In case of the wooden and earth rampart constructions, regardless of location and chronology, some convergences can be noticed. Based on previous studies it can be stated that the characteristic feature of the composition of the material used in the construction of ramparts of strongholds both in the region of Warmia and Masuria, as well as in other regions of Poland, was the almost exclusively use of oak. This clear choice of the oak was not accidental but reflected the properties of this specific kind of wood. It seems that for the builders of the strongholds, the most important factor was the unusually high durability of oak, both in stable as well as in variable conditions of humidity. No less important was the hardness of this wood and its resistance to mechanical deformations. In our climate zone, there is no comparable type of wood, having such high physical and mechanical properties, and at the same time being so popular in the forests to provide thousands of cubic meters of timber needed to erect ramparts of the enclosed settlements. As the results of previous studies show, other types of wood were usually only as a small admixture.

Against this background, the results of the dendrological analyses of additional elements of the ramparts, such as finials and palisades at the top of the ramparts stand in contrast, because of the general lack of the oak and the use of wood with significantly worse physical properties. It seems that these elements, as they were the most vulnerable to destruction, both

as a result of human activity, and weather conditions, were continually subject to repair or replacement. The use of inferior raw material may indicate hasty repairs, caused perhaps by a threat, or by a reduction in the importance of the stronghold.

In case of the residential buildings in the strongholds, their foundations were most often built also of oak. Adequate and conscious choice of raw material for this construction element was crucial for the stability and durability of the building. The foundations acquire and distribute the weight of the building to the ground and prevents settling and cracking of walls. Materials for the construction of the foundations must therefore have a high compressive strength and should be resistant to moisture and to changing weather conditions, and oak is the optimal wood to use in these difficult conditions,

Another group of samples came from the relics of the so-called half-timbered buildings. Only the wood of oak and pine was used in their construction. Both the main structural elements, as well as the fill of the space between the posts were made of these sorts of wood. These results fit in with observations done in other regions of Poland, where the most frequently used was high quality, fully processed wood of oak and pine.

Samples for dendrological analysis were obtained also from the relics of other structures, including revetments of marshy stream valley. The discovered features also pertain to the boxes of the strongholds' ramparts, both in respect to their forms and to the material used.

Translated by Zbigniew Kobyliński

Falsyfikacja domniemanych pradziejowych i średniowiecznych grodzisk w powiecie ławskim i ostródzkim

W momencie podejmowania prac nad tworzeniem katalogu grodzisk Warmii i Mazur zdawano sobie sprawę z faktu, że informacje o grodziskach na tym terenie będą miały zróżnicowaną wartość i wiarygodność. Postanowiono jednak dokonać sprawdzenia i weryfikacji wszystkich obiektów, określonych kiedykolwiek jako grodziska w literaturze archeologicznej, jak również sprawdzenia wszystkich miejsc, których formy terenowe lub toponimy (zwłaszcza występujące w niemieckich materiałach kartograficznych) mogły sugerować obecność grodzisk. Grodziska, których charakter zdawał się być oczywisty, czy to z powodu szczególnej formy terenowej, czy też wyników wcześniejszych badań, w większości zostały przez służbę konserwatorską na przestrzeni ostatnich kilkudziesięciu lat wpisane do rejestru zabytków woj. warmińsko-mazurskiego. Pozostała jednak duża grupa obiektów znanych z niemieckich zapisów archiwalnych, ze wzmianek w literaturze, a także z toponimów, które nie zostały sprawdzone w sposób dostateczny (lub nawet żaden), nie miały dokładnej lokalizacji lub były kwalifikowane jako grodziska na podstawie niejasnych przesłanek. Wreszcie, część obiektów, które były znane z wymienionych wcześniej źródeł, mogła zostać przekształcona lub zniszczona, przeważnie na skutek ignorancji i braku świadomości. Podjęto zatem trud sprawdzenia wszystkich informacji o obiektach kwalifikowanych jako grodziska, nawet najbardziej wątpliwych i pochodzących niekiedy nawet od osób mających bardzo mgliste pojęcie o źródłach archeologicznych. W wyniku tych prac nie tylko zostały znalezione i przebadane nieznane wcześniej grodziska, a część znanych wcześniej została zweryfikowana i rozpoznana w sposób pozwalający służbom konserwatorskim na podejmowanie ochronnych działań administracyjnych, ale także w przypadku znacznej części obiektów zdołano rozwiązać wątpliwości co do ich charakteru i zdyskwalifikować je jednoznacznie jako nie będące zabytkami archeologicznymi, co także wyjaśnia sytuację i ułatwia pracę służbom konserwatorskim, ale także wspomaga potencjalne działania naukowe, pozwalając oprzeć prace badawcze na pewnych i sprawdzonych źródłach, dzięki czemu opracowania naukowe stają się bardziej wiarygodne i bliższe prawidłowej rekonstrukcji procesów historycznych i zjawisk społecznych z nimi związanych. Realizacja projektu wykazała, że wiele spośród funkcjonu-

jących dotąd w literaturze i archiwach konserwatorskich¹ obiektów w rzeczywistości nie jest (przynajmniej obecnie) grodziskami, co może świadczyć o niedoskonałości warsztatu naukowego archeologów, zarówno dawniejszych jak i współczesnych, ale także może być świadectwem postępującego procesu niszczenia dziedzictwa archeologicznego na skutek przyczyn naturalnych wynikających z upływu czasu, jak i z braku świadomości społeczeństwa i niedoskonałości metod ochrony konserwatorskiej.

Niniejszy artykuł zawiera informacje na temat wszystkich obiektów badanych w ramach realizacji projektu NPRH *Katalog grodzisk Warmii i Mazur. Część I: Pomezania, Pogezania i Warmia* w latach 2012-2016, które okazały się nie być grodziskami². W większości przypadków weryfikacja obejmowała przede wszystkim wiercenia geologiczne i szczegółowe, niekiedy kilkukrotne, badania powierzchniowe. W przypadkach, gdy ten pierwszy etap prac nie dawał jasności, co do istnienia grodziska, prowadzono badania wykopaliskowe o charakterze sondazowym lub otwierano wykopy archeologiczne o większej powierzchni.

POWIAT ŁAWSKI Gmina Kieselice

1. Limża, gm. Kieselice – park; nie uwzględniono w AZP (obszar AZP 27-49)

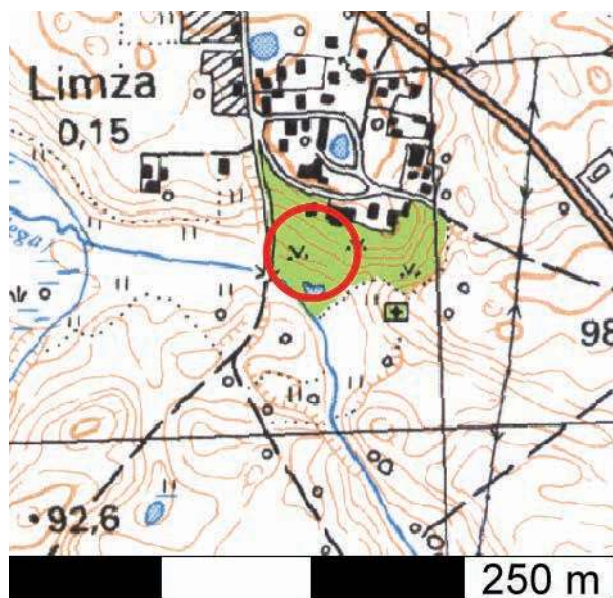
Położenie stanowiska: Park podworski, na południe od pałacu.

Przyczyna podjęcia badań: Stanowisko wymienione zostało w literaturze przedwojennej³, a następnie wizytowane przez M. Haftkę w roku 1968, jednakże nie uwzględnio-

¹ Wykorzystano zarówno archiwa Wojewódzkiego Urzędu Ochrony Zabytków w Olsztynie i Elblągu oraz Muzeum Warmii i Mazur (kwerendę przeprowadzili dr Mirosław Marcinkowski, dr Jacek Wysocki, mgr Bartłomiej Klęczar i mgr Magdalena Rutyna), jak i znajdujące się w Berlinie archiwa dawnego Prussia Museum z Królewca (kwerendę w Museum für Vor- und Frühgeschichte w Berlinie przeprowadził dr Seweryn Szczepański).

² Mapy położenia miejsc poddanych weryfikacji opracował dr Rafał Solecki.

³ Łęga 1930: 558.



ne o wymiarach: południe-północ 70 m, wschód-zachód 60 m (0,42 ha), posiada majdan lekko wklęsły. Wały grodziska zupełnie rozorane – prawie nie istnieją. Od strony północnej, południowej i wschodniej łagodne zbocza, od strony zachodniej brak pogłębienia” (ryc. 1).

Badania geologiczne: Badany fragment wysoczyzny polodowcowej (97,5 m n.p.m.) ograniczony jest od południowego wschodu głębokim rozcięciem erozyjnym, a od południowego zachodu doliną rzeki Gardęga lub Gardeja (84,4 m n.p.m.). Badany obszar jest fragmentem wysoczyzny rozciętej od południa przez głęboki wąwóz z odwodnieniem. Wysoczyznę budują piasek gliniasty barwy rdzawej z niewielkimi głazikami i niżej leżąca glina zwłotowa, piaszczysto-ilasta, brązowa z dużą ilością korzeni z licznymi wytrąceniami węgla wapnia. Przypowierzchniową warstwę do 0,20 m tworzy gleba piaszczysta z dużą ilością organiki, strukturami korzeniowymi, drobnymi fragmentami cegieł. Liczne fragmenty cegieł odnotowano również na powierzchni gruntu, zwłaszcza w pobliżu za-



Ryc. 1. Limża, gm. Kieselice – domniemane grodzisko (Archiwum WUOZ w Olsztynie)

Fig. 1. Limża, community of Kieselice – the alleged stronghold (Archive of the Provincial Office for Protection of Historical Monuments in Olsztyn)

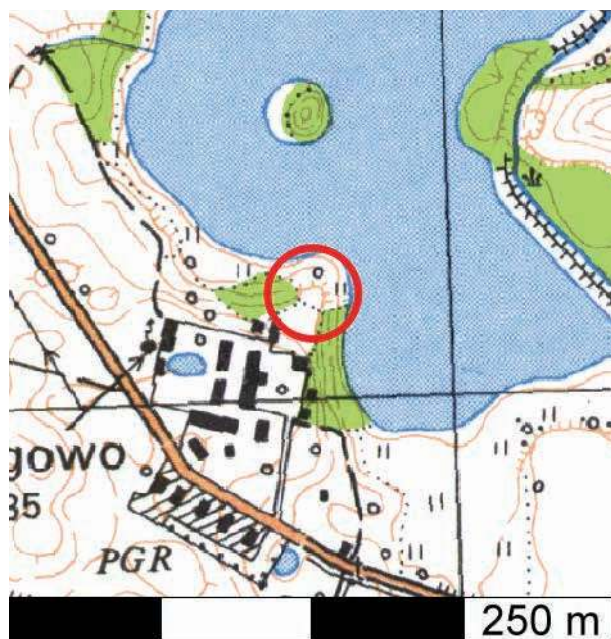
no go w wynikach badań AZP przeprowadzonych w 1983 r. Według informacji podanych przez M. Haftkę: „Domniemane grodzisko wczesnośredniowieczne, wyżynne, położone jest w parku majątku, około 250 m na południe od pałacu, na pagórku tuż po wschodniej stronie drogi prowadzącej na pola uprawne wsi Limży. Od północy i wschodu w odległości 30-50 m grodzisko otacza rów odwadniający. Grodzisko zlokalizowane jest na niewielkim pagórku, owal-

budowań. Źródłem cegieł są pobliskie budynki, które po części są zrujnowane, po części uszkodzone. Nie stwierdzono dowodów obecności starszych osadów przemieszczonych przez człowieka.

Badania archeologiczne: Badania weryfikacyjne przeprowadzone w ramach realizacji projektu polegały na szczegółowej penetracji powierzchniowej całego terenu dawnego założenia dworsko-folwarcznego w celu zlokaliz-

zowania ewentualnych śladów grodziska. Spenetrowano teren wokół dworu (w ruinie), teren dawnego folwarku (w dużej części w ruinie) oraz teren parku. Park zajmuje cypel wysoczyzny schodzący od terenu dworu i folwarku w kierunku południowym do doliny rzeki. W części wschodniej przecina go dość głęboki jar, którym prawdopodobnie niegdyś spływały wody z naturalnego źródła. Na wschód od jaru między nim a granicą obszaru parkowego znajduje się resztką bardzo zdewastowanego cmentarza rodowego. Szczegółowa penetracja całego terenu parku, w tym w szczególności obszaru wskazanego przez M. Haftkę, nie ujawniła żadnych śladów istnienia w tym miejscu grodziska. Brak tu zarówno form terenowych mogących być pozostałościami fortyfikacji (wały, fosy) jak również brak na powierzchni jakiegokolwiek materiału kulturowego, poza współczesnym gruzem i śmieciami. Spenetrowano również wzgórze znajdujące się po południowej stronie doliny rzeczki naprzeciw parku. Tam również nie odkryto żadnego materiału kulturowego, mimo iż wzgórek był w trakcie orki, a z badań AZP wynikało, że 30 lat temu odkryto na jego powierzchni jakieś materiały zabytkowe. Na pagórku również nie zaobserwowano śladów dawnych ewentualnych umocnień.

2. Łodygowo, gm. Kisielice, st. 3; AZP 27-49/6



Położenie stanowiska: Teren dawnego założenia dworsko-parkowo-folwarcznego. Obszar znajdujący się między budynkiem dawnego dworu, a brzegiem dawnego jeziora, ukształtowany w formie cypla wysoczyzny.

Przyczyna podjęcia badań: Forma terenowa cypla wysoczyzny wchodzącego w dolinę jeziora, sugerująca obronny charakter stanowiska, występowanie na powierzchni średniowiecznego ruchomego materiału kulturowego, a także lokalizacja w pobliżu nowożytnego dworu (co mogło świadczyć o istnieniu kontynuacji miejsca siedziby rycerskiej).

Badania geologiczne: Badane miejsce stanowi fragment wysoczyzny wychodzącej w obręb stawów rybnych. Poziom wody w stawie osiąga 79,8 m n.p.m., natomiast wysokości bezwzględna powierzchni półwyspu to około 90 m n.p.m. Półwysep od stawu oddziela krawędź o wysokości 5,5 m. Badany obiekt leży na niewielkim półwyspie oddzielonym stromymi krawędziami od stawów hodowlanych. Powierzchnia terenu wznosi się około 10,0 m od lustra wody w stawie. Na głębokości od około 0,90 m występuje tu glina zwałowa piaszczysta, barwy brązowej z licznymi wytrąceniami węgla wapnia, która stanowi calec. Powyżej, na glinie leżą piasek i namuł piaszczysty z dużą ilością substancji organicznych, fragmentów cegieł, bądź polepy z pojedynczymi węglami drzewnymi, które stanowią warstwę kulturową. Osady występujące do około 1,0 m głębokości, z fragmentami cegieł, polepy i pojedynczymi węglami drzewnymi, stanowią warstwę użytkowaną przez człowieka.

Badania archeologiczne: Na terenie domniemanego grodziska założone zostały w ramach realizacji projektu dwa wykopy (wykop I przy pałacu, wykop II na cyplu nad jeziorem). W wykopie I znaleziono jedynie materiał nowożytny oraz elementy architektoniczne usunięte z fasady pałacu w latach powojennych.

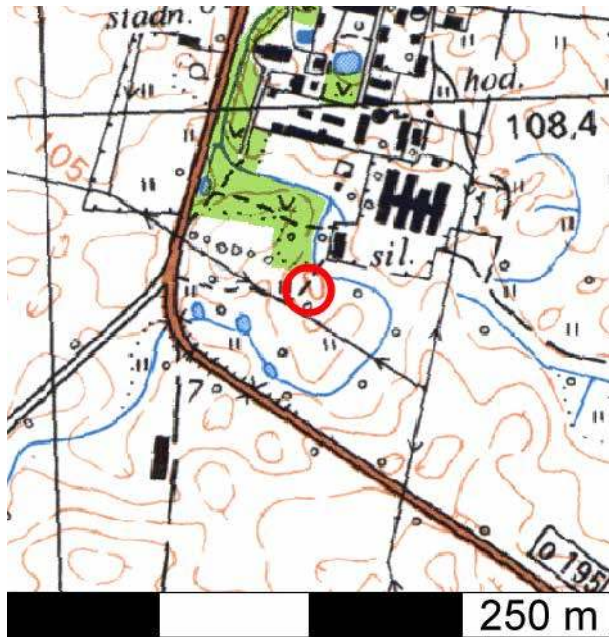
W wykopie II pod warstwą niwelacyjną (do 50 cm miąższości) odkryto dwa obiekty z kośćmi zwierzęcymi i znaleziskami ceramicznymi i metalowymi z okresu wczesnośredniowiecznego. Najważniejszym odkryciem była wczesnośredniowieczna półziemianka, która uległa spaleni. Zachowały się jej elementy, takie jak kamienny narożnik, spalona ściana w konstrukcji szachulcowej, z widocznym układem drewnianych belek oraz częściowo zachowane przepalone belki drewniane. Poziom użytkowy tego domostwa zawierał popiół, polepę i nieliczne fragmenty ceramiki (w tym fragment prażnicy). Poniżej znajdowała się warstwa piasku z węglami oraz fragmentami polepy, pod którą wystąpił calec w postaci szarozielonkawej gliny. Na stanowisku znaleziono także kilka fragmentów ceramiki z wczesnej epoki żelaza.

Chociaż potwierdzono obecność osadnictwa z późnej fazy okresu wczesnośredniowiecznego, nie stwierdzono żadnych pozostałości, które pozwoliłyby na identyfikację tego stanowiska jako grodziska. Cypel był miejscem o tradycjach osadniczych co najmniej od wczesnej epoki żelaza, ale nie było tu obiektu osadniczego o charakterze obronnym, ani w starożytności, ani w średniowieczu.

Gmina Susz

3. Bałszyce, st. 6; AZP 26-50/11

Położenie stanowiska: Stanowisko znajduje się na południe od parku dworskiego należącego do zespołu rezydencjonalnego w Bałszykach. Stanowi ono cypel wysoczyzny wchodzący w dolinę dawnego cieku wodnego, obecnie wypełnioną niewielkimi zbiornikami wodnymi.



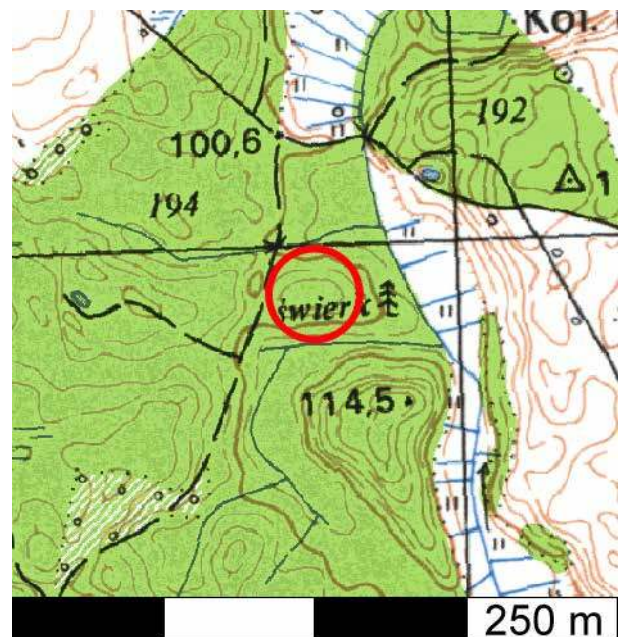
Przyczyna podjęcia badań: W trakcie badań powierzchniowych AZP, stanowisko zostało wskazane jako teren prawdopodobnego grodziska.

Badania geologiczne: Badane miejsce stanowi niewielki pagórek, którego kulminacja osiąga 107,5 m n.p.m. W części szczytowej pagórka widoczny jest wyraźny, prostokątny zarys formy wznoszącej się na kilkadziesiąt cm ponad poziom terenu, o kształcie sugerującym udział człowieka w jego powstaniu. W ramach realizacji projektu wykonano łącznie siedem wierceń geologicznych, które posłużyły do konstrukcji przekroju geologicznego o przebiegu N-S. Wiercenie wykonane na skraju pagórka, bliżej pałacu, dobrze dokumentuje występującą do 0,6 m głębokości warstwę rozbiórkową, na którą składa się piasek z humusem z fragmentami cegieł, zaprawy i węglami drzewnymi. Od 0,6 do 1,2 m głębokości występuje piasek drobnoziarnisty szary, ze smugami ciemnoszarymi oraz węglami drzewnymi - warstwa kulturowa (prawdopodobnie XVIII - XIX w.). Poniżej, od 1,2 do 1,5 m głębokości, piasek brązowo-szary, miejscami z warstwami orsztynu, jest również przemieszczony. Dopiero występujący na głębokości 1,5-1,9 m piasek brązowy gliniasty i zalegająca głębiej glina zwałowa brązowa, są calcem. Kolejne wiercenie, wykonane na szczycie pagórka, potwierdza taki układ warstw. Do głębokości 0,55-0,60 m występuje tu piasek z humusem i dużymi fragmentami cegieł - warstwa rozbiórkowa (prawdopodobnie z XIX lub XX w.). Na głębokości od 0,6 do 0,75 m stwierdzono piasek drobnoziarnisty, nieco ilasty, również z fragmentami cegieł i węgla drzewnych, co pokazuje, że jest to warstwa rozbiórkowa, która ma swoją kontynuację na głębokości od 0,75 do 1,4 m w postaci piasku nieco gliniastego, z drobnymi fragmentami cegieł, węgla drzewnych, miejscami z wtrąceniami osadów bardziej organicznych. Występujący niżej (głęb. 1,40-2,15 m) piasek

średnioziarnisty lekko gliniasty brązowy i na głębokości 2,15-3,0 m glina piaszczysta brązowa miejscami brązowo-szara z przewarstwieniami piasków gliniastych szarych stanowi całość.

Badania archeologiczne: W ramach realizacji projektu teren pagórka przecięto trzema wykopami. Wykop A (2 x 20 m), zorientowany po linii N-S, objął cały północny stok. W jego południowej części odsłonięto kamienny fundament budynku z cegły, z ceglаныmi i drewnianymi podłogami, z fragmentem pieca kaflowego. Analiza drobnych znalezisk i relikwów architektury świadczy, że jest to dom ogrodnika z XIX w., zaznaczony w planach majątku. Ślady spalenizny wskazują, że mógł zostać zniszczony podczas II Wojny Światowej. Odwerty wykonane pod podłogą i wokół domu wyraźnie wskazują, że nie ma tu śladów zabudowy z okresów wcześniejszych. Wykop B (2 x 5 m) założono na wschodnim stoku pagórka, blisko szczytu. Odsłonięto tu fragment kamiennego fundamentu wyżej opisanego domu i liczne spalone książki. Wykop C (2 x 10 m), zorientowany po linii E-W, założono na zachodnim stoku pagórka, w połowie jego długości. W wykopie znaleziono jedynie pojedyncze fragmenty ceramiki nowożytniej. Na stanowisku nie znaleziono śladów osadnictwa z okresu przed końcem XIX w. Tym samym należy uznać grodzisko za nieistniejące.

4. Bałoszyce Małe, st. 1; AZP 26-50/9



Położenie stanowiska: Stanowisko znajduje się ok. 1 km na południowy wschód od dawnego folwarku Bałoszyce Małe, w lesie, na zachód od rynnowego obniżenia polodowcowego, wypełnionego do chwili obecnej wodą (mokradła) i na wschód od leśnej drogi biegnącej od folwarku do zespołu rezydencjonalnego w Bałoszycach. Stanowisko zalesiony cypel wysoczyzny, ograniczony od wschodu i południa zabagnionymi dolinami.

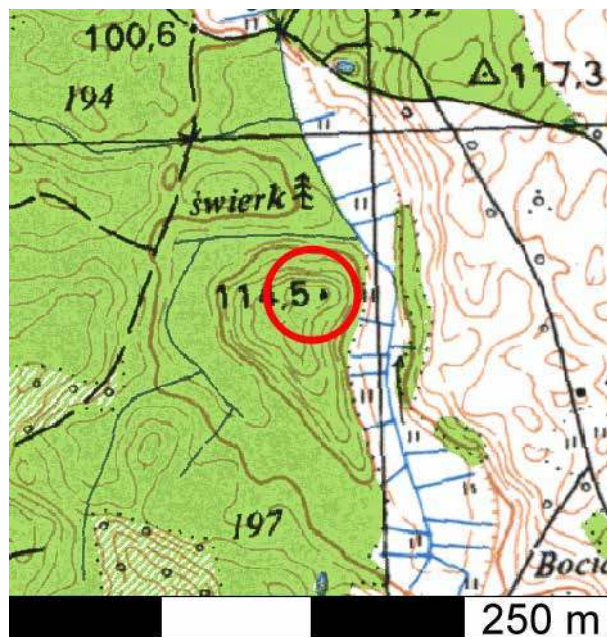
Przyczyna podjęcia badań: Według W. Łęgi, 1 km na południowy wschód od miejscowości Bałoszyce znajdować się miało grodzisko wczesnośredniowieczne (?) zwane *Kleiner Schlossberg*⁴. W trakcie badań powierzchniowych AZP przeprowadzonych w 1989 r. przez M.F. Jagodzińskiego, stanowisko w Bałoszycach Małych zostało wskazane jako miejsce położenia tego grodziska, błędnie lokalizowanego w starszej literaturze. Wskazał on na istnienie fosy i mocno zniwelowanego wału zaporowego, odcinającego cypel od wysoczyzny⁵. W trakcie badań powierzchniowych przeprowadzonych w ramach realizacji projektu nie zaobserwowano w lesie żadnych pozostałości fortyfikacji, co spowodowało konieczność wykonania sondażowych badań weryfikacyjnych.

Badania geologiczne: Badany obszar stanowi obniżenie będące fragmentem rynny subglacjalnej, w nieznaną przeszłość wypełnionej wodą. W obrębie obniżenia znajdują się dwa wzniesienia, z których jedno stanowiło kiedyś wyspę, a drugie półwysp. Oba pagórki zostały zbadane pod względem przekształceń dokonanych przez człowieka. Dno obniżenia leży na wysokości 97,0 m n.p.m., a północny pagórek wznosi się na 106,3 m n.p.m., natomiast południowy na 114,5 m n.p.m. Oba pagórki mają owalny kształt, przy czym pagórek północny jest bardziej zbliżony do koła z osią dłuższą W-E, oba pagórki są dobrze izolowane od wysoczyzny, pagórek północny ma połączenie z wysoczyzną od strony zachodniej. Na zobrażowaniach ALS dobrze rozpoznawalny jest zarys obiektu przypominającego wał na pagórku północnym, który w trakcie badań terenowych był również widoczny. Jednak nie ma on historycznego charakteru i jest prawdopodobnie współczesny. Na pagórku północnym wykonano sześć wierceń oraz przekrój geologiczny o przebiegu W-E. Na podstawie wierceń można stwierdzić, że przy powierzchni warstwą osadów jest piasek pylasty lub zagliniony występujący do głębokości 0,8 m. Pod piaskiem występuje glina zwałowa zlodowacenia Wisły. Nie stwierdzono nawarstwień antropogenicznych.

Badania archeologiczne: Na pagórku północnym wyznaczono oś badawczą po linii W-E i wzdłuż niej założono 12 wykopów, każdy o wymiarach 1 x 1 m. We wszystkich wykopach sondażowych zarejestrowano jedynie prosty układ warstw, obejmujący humus i calec, przy czym calec miejscami stanowił drobny piasek z frakcją pylastą, a miejscami glina. Badania sondażowe w miejscu domniemanego wału również nie wykazały istnienia nawarstwień antropogenicznych. W trakcie penetracji powierzchniowych, ani badań sondażowych nie odkryto żadnego ruchomego materiału kulturowego.

5. Bałoszyce Małe; nie uwzględnione w AZP (obszar AZP 26-50)

Położenie stanowiska: Pagórek znajdujący się na południe od wyżej opisanego st. 1 w Bałoszycach Małych,



położony na zachód od rynnowego obniżenia polodowcowego wypełnionego do chwili obecnej wodą (mokradła) i na wschód od leśnej drogi biegnącej od folwarku do zespołu rezydencjonalnego w Bałoszycach. Stanowi wybitne wyniesienie o ekspozycji okrężnej, zalesione i ograniczone od wschodu, północy i zachodu zabagnionymi dolinami.

Przyczyna podjęcia badań: Stanowisko nie zostało uwzględnione w trakcie badań AZP przeprowadzonych w latach 90. XX wieku, jednak na mapie niemieckiej miejsce to jest oznaczone jako *Gr. Schlossberg*⁶. Jest to wyniesienie o wybitnie obronnych naturalnych walorach terenowych.

Badania geologiczne: Na pagórku wykonano pięć wierceń oraz przekrój geologiczny o przebiegu NW-SE. Na podstawie wierceń można stwierdzić, że przy powierzchni formy pagórka występuje warstwa piasków zglinionych do głębokości 0,4 m, pod którą zanotowano kompleks gliny zwałowej ilastej zlodowacenia Wisły. W wierceniu, które wykonano na równinie u podnóża pagórka występują: mułki ilaste niebieskie, zastoiskowe, do głębokości 0,40 m, a niżej do głębokości 1,0 m - żwir niebiesko-szary. Mułki reprezentuje okresy spokojnej sedimentacji zastoiskowej, natomiast żwir jest efektem przepływów o większej energii, które miały miejsce podczas wytapania lodolodu Wisły. Nie stwierdzono obecności nawarstwień antropogenicznych.

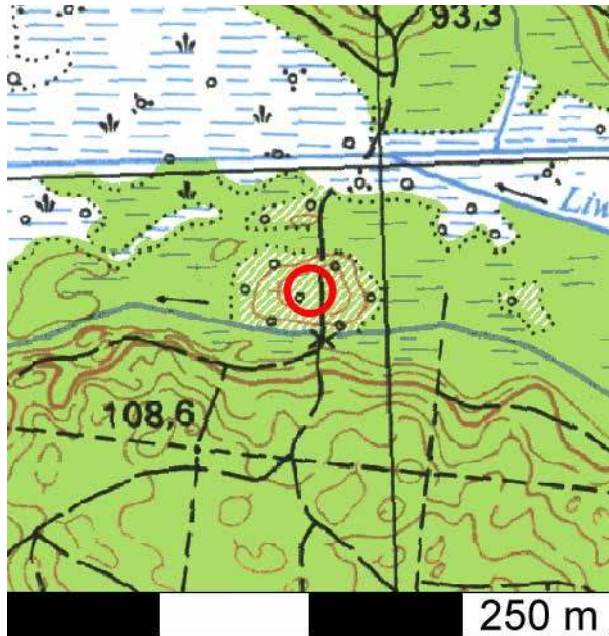
6. Fabianki (Gostyczyn), st. 3; AZP 24-51/31

Położenie stanowiska: Grodzisko miałoby się znajdować w rejonie osady Gostyczyn, na dnie doliny cieku łączącego Jeziorak z jez. Gaudy, przy południowej krawędzi zbocza doliny rzeki Liwa.

⁴ Łęga 1930: 558; Crome 1937: 123.

⁵ Jagodziński 1997: 219-220.

⁶ Messtischblatt 2381 Freystadt, wyd. 1928.



Przyczyna podjęcia badań: Niejasne informacje archiwalne o istnieniu w tym rejonie grodziska, połączone z informacją weryfikacyjną z 1968 roku, przy jednoczesnym braku informacji o tym grodzisku w dokumentacji arkusza AZP po badaniach w latach 80. i 90. XX wieku. Według W. Łęgi, który lokalizował obiekt w miejscowości Kamieniec (*Finkenstein*), miało to być „grodzisko wyżynne przy Borowym Młynie (*Heidemühle*), 2 km na północny zachód od tegoż. Jest to według mapy długi wał o kształcie półowalu na pagórku nad wyschłym jeziorem, sprawiający wrażenie szanca pełnośredniowiecznego”⁷. Z kolei M. Haftka podał, że: „w lesie należącym do leśnictwa Fabianki w odległości około 2500 m na północny zachód od Borowego Młyna (*Heidemühle*) na terenie bagnistym dawnego, wyschniętego jeziora Gaudy położony jest pagórek w kształcie półowalu. Grodzisko położone jest pomiędzy dwoma kanałami. Grodzisko, chyba półwyspowe, robi wrażenie szanca średniowiecznego, wznosi się około 6 m nad poziom okolicznych bagien”⁸.

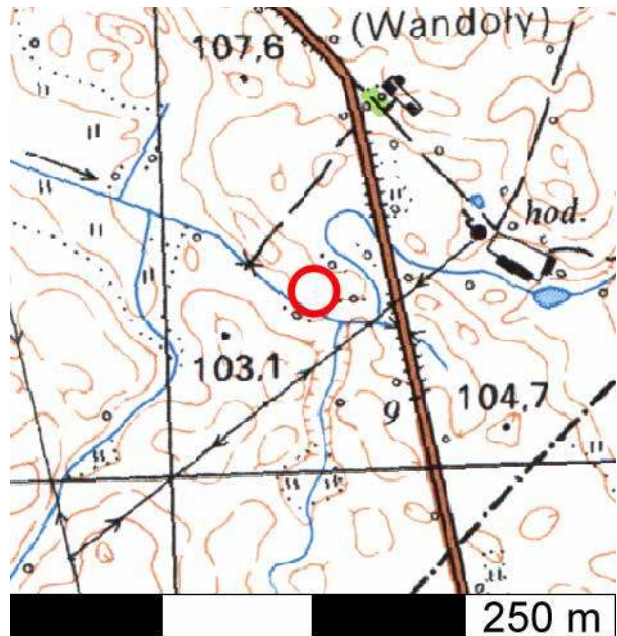
Badania archeologiczne: W trakcie badań poszukiwawczych w ramach realizacji projektu spenetrowano szczegółowo południową krawędź doliny, od ujścia Liwy do zabagnionej doliny obok Gostyczyna, do wlotu tej doliny do basenu jeziora Gaudy. Znajduje się tam kilka wyniesień pierwotnie oddzielonych od południowego stoku doliny mokradłami, przez które współcześnie przebiega skanalizowane koryto Liwy. Wszystkie wyniesienia, podobnie jak zbocze doliny, porośnięte są lasem mieszanym o różnym wieku. Dokładna penetracja wszystkich wyniesień nie doprowadziła do ujawnienia śladów konstrukcji ziemnych o charakterze obronnym (wałów czy fos). Na żadnym z wyniesień nie ujawniono także żadnego rucho-

⁷ Łęga 1930: 558; Jagodziński 1997: 205-206 (pod nazwą miejscową Kamieniec).

⁸ wizytowane przez M. Haftkę w 1968 roku, AZP 25-51, nr stan. w miejscowości 1.

me go materiału kulturowego, mimo panujących bardzo dobrych warunków obserwacji. W związku z tym z dużą pewnością można stwierdzić, że sugerowane w źródłach archiwalnych grodzisko nie istnieje.

7. Frydrychowo (Wądoły), st. 1; AZP 26-50/10



Położenie stanowiska: Na polu, na zachód od drogi Susz – Kisielice, na wysokości osady Frydrychowo, ok. 1 km na południowy wschód od parku dworskiego w Bałoszycach.

Przyczyna podjęcia badań: Grodzisko znane z badań AZP, położone w dolinie utworzonej przez dwa niewielkie cieki wodne spływające z wysoczyzny i tworzące strukturę o charakterze cypla otoczonego obniżeniem cieków wodnych, łączącego się od północnego zachodu z wysoczyzną. Od tej strony widoczne były niegdyś pozostałości o charakterze fosy i wału zaporowego.

Badania archeologiczne: W trakcie badań weryfikacyjnych w ramach realizacji projektu okazało się, że opis terenu zawarty w karcie AZP jest całkowicie nieaktualny. Powierzchnia terenu w tym miejscu została zupełnie zmieniona. Właściciel terenu, który zakupił duży areal gruntów ornych po zlikwidowanym PGR, przystosował go do produkcji rolnej wielkoobszarowej, całkowicie niwelując teren. W wyniku tych prac zniknęła dolina cieków, jak również zniknęły z powierzchni same cieki, a teren dawnej doliny został wyrównany. Obszar domniemanego grodziska został zniwelowany, a dolinki cieków wodnych zasypane. W ten sposób grodzisko, jeżeli istniało, przestało istnieć. Penetracje powierzchniowe nie ujawniły na powierzchni żadnego ruchomego materiału zabytkowego. Miejsce to wyróżnia się brakiem humusu i gliniastym (jaśniejszym) podglebiem na powierzchni. Zespół badawczy nie uzyskał od właściciela terenu pozwolenia na wykonanie badań geologicznych, które mogłyby zweryfikować istnienie jakichś pozostałości grodziska.

8. Januszewo, st. 7 – park dworski; AZP 25-51/7



Położenie stanowiska: W parku podworskim znajdującym się bezpośrednio na zachód od zespołu zabudowy folwarcznej i pałacu w Januszewie lub w miejscu lokalizacji pałacu.

Przyczyna podjęcia badań: Informacje o grodzisku wczesnośredniowiecznym (?) z badań powierzchniowych prowadzonych w roku 1994 w ramach AZP przez M.F. Jagodzińskiego: „w parku przypałacowym zachowały się fragmentarycznie umocnienia przypuszczalnego grodziska, w postaci fosy i częściowo zniwelowanego wału”.⁹

Badania geologiczne: Wiercenia wykonano w odległości ok. 5 metrów od schodów prowadzących do wejścia we wschodniej fasadzie pałacu. Tylko 0,60 m miąższości powierzchniowych osadów zawiera ślady antropogeniczne, tworząc warstwę nasypową barwy brązowo-szarej z fragmentami nowożytnych cegieł, żużla, węgla drzewnych i innych substancji organicznych. Poniżej tej warstwy występują piaski średnioziarniste, warstwowane, przewarstwione mułkiem, i piaski drobnoziarniste z przewarstwieniami mułku, warstwowane horyzontalnie - prawdopodobnie efekt akumulacji limnoglacialnej. Przypowierzchniowa warstwa pochodzi z okresu budowy i funkcjonowania pałacu. Nie stwierdzono starszych osadów antropogenicznych.

Badania archeologiczne: W ramach realizacji projektu przeprowadzono szczegółową penetrację terenową obszaru parku oraz bezpośredniego otoczenia zrujnowanego pałacu w Januszewie. Na terenie parku nie odkryto żadnych śladów mogących świadczyć o istnieniu tu założenia obronnego. Należy wykluczyć istnienie grodziska.

⁹ Jagodziński 1997: 216.

9. Kamieniec – kopiec; nie uwzględniono w AZP (obszar AZP 24-51)



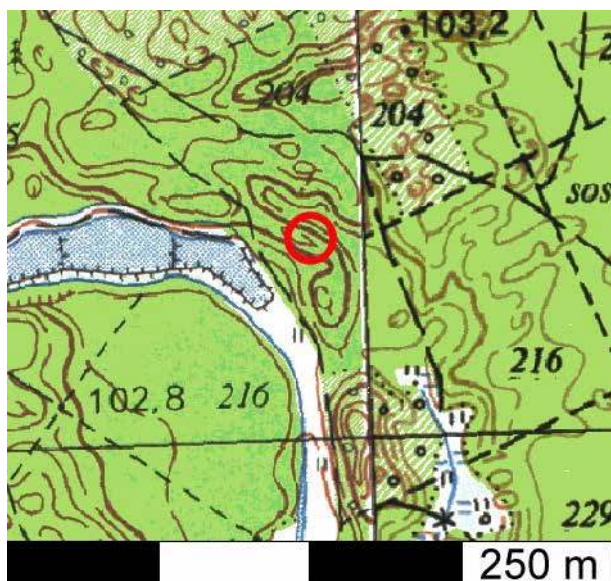
Położenie stanowiska: Na wschodnim krańcu założenia parkowego na wschód od ruin pałacu, między nim a brzegiem jez. Gaudy.

Przyczyna podjęcia badań: Przy wschodniej granicy obszaru parkowego, na jego osi głównej, znajduje się kopiec o wysokości 3 m, otoczony wodą. Lokalizacja obiektu sugerowała, iż może być on pozostałością najwcześniejszej lokalizacji siedziby rycerskiej w postaci gródka stożkowatego. Na powierzchni kopca odkryto liczne fragmenty cegieł i polepy.

Badania geologiczne: Jest to pagórek ziemny z systemem tarasów ulokowanych od strony pałacu, z płaskim owalnym wierzchołkiem obsadzonym starodrzewem. W efekcie badań geologicznych wykonano 10 wierceń wzdłuż linii przekroju o orientacji W-E, obejmującej otoczenie obiektu oraz przecinającej sam obiekt i charakterystyczne tarasy położone w zachodniej części formy. Pierwsze wiercenie zlokalizowano na wschód od obiektu, na terenie podmokłym, będącym prawdopodobnie zarośniętym fragmentem tarasu nawiązującym do jeziora Gaudy. W profilu wiercenia tylko przypowierzchniowa warstwa osadów do głębokości 0,5 m zawiera fragmenty pokruszonych cegieł. Kolejne profile wiertnicze są wzbogacone we fragmenty cegieł, zaprawy, węgla drzewnych. W zasadzie całe profile osadów są mieszaniną piasku z cegłami pochodzącymi z rozbiórki, na co wskazuje zaprawa. Badany obiekt wykonany jest w całości z materiału rozbiórkowego lub odpadów powstałych podczas budowy pałacu i prawdopodobnie nie jest starszy od drzew, które go porastają. Obiekt ten nie jest z pewnością pozostałością grodziska, lecz stanowi fragment kompozycji krajobrazowej założenia parkowego.

Gmina Iława

10. Dziarny; nie uwzględniono w AZP (obszar 28-53)



Położenie stanowiska: Na lewym brzegu Iławki w lesie na krawędzi wysoczyzny; niewielki cypel wysoczyzny górujący nad doliną rzeki.

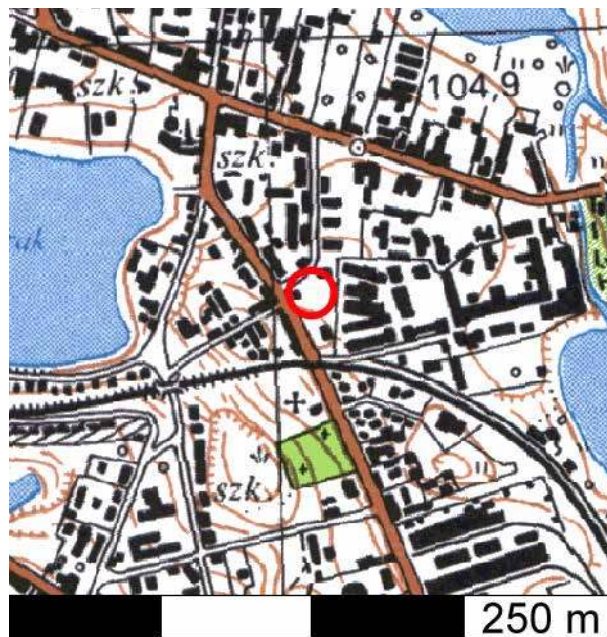
Przyczyna podjęcia badań: Abraham Lissauer podaje, że Hugo Conwentz przebadał grodzisko wczesnośredniowieczne w okolicy wsi Dziarnówko (*Klein Sehren*). Informację tę podaje także Władysław Łęga, określając je jako „grodzisko niewiadomego typu”.¹⁰

Badania archeologiczne: W wyniku penetracji powierzchniowej terenu leśnego w ramach realizacji projektu odkryto miejsce wskazujące na istnienie pozostałości osadniczych. W wyniku wykonanego sondażu odkryto pozostałości obiektu murowanego na fundamencie z luźno ułożonych kamieni oraz cegieł wykonanych maszynowo. Pozostałości spalonych belek drewnianych i płyty przepalanej gliny mogą sugerować konstrukcję szkieletową obiektu krytego dachówką ceramiczną. Nieliczne fragmenty ceramiki naczyniowej pochodziły z czasów nowożytnych. Odkryty obiekt jest pozostałością budowli nowożytnej. Z pewnością nie są to pozostałości grodziska (por. też nr 17).

11. Iława – „Królicza Góra” (*Kaninchenberg*); nie uwzględniono w AZP (obszar 28-52)

Położenie stanowiska: Domniemane grodzisko miało być znajdować się w centrum miasta Iławy, między ulicami Jana II Sobieskiego i Królowej Jadwigi oraz torami kolejowymi, biegnącymi tu w wykopie.

Przyczyna podjęcia badań: Sugestie na temat istnienia fortyfikacji średniowiecznych oparte na legendach i charakterze formy terenowej¹¹



Badania geologiczne: Badany obszar składa się z trzech płaskich powierzchni tarasowych, oddzielonych krawędziami. Najniższy taras związany jest z ulicą Jana III Sobieskiego i leży na wysokości około 105 m n.p.m., pozostałe wznoszą się aż do wysokości około 110 m n.p.m. Wiercenia przeprowadzone na każdym z tarasów wykazały ingerencję ludzką do głębokości maksymalnie 1,60 m. Osady przemieszczone to: piasek z detrytusem organicznym, węglami drzewnymi i korzeniami; piasek nasypowy – niwelacyjny z ciemnymi warstewkami; nasyp piaszczysty z fragmentami zaprawy, gładzikami do 5 cm średnicy, z zaburzeniami antropogenicznymi; widoczne są m. in. ostre granice warstw (działalność człowieka). Poniżej osadów antropogenicznych występuje piasek średnioziarnisty barwy brązowej, ze żwirem i pojedynczymi gładzikami do 5 cm średnicy, co sugeruje genezę akumulacji morenowej lub glacialfluwialnej. Osady antropogeniczne na badanym obszarze pochodzą z okresu ostatnich lat, kiedy intensywnie niwelowano i przebudowywano ten teren dla potrzeb budownictwa wielorodzinnego.

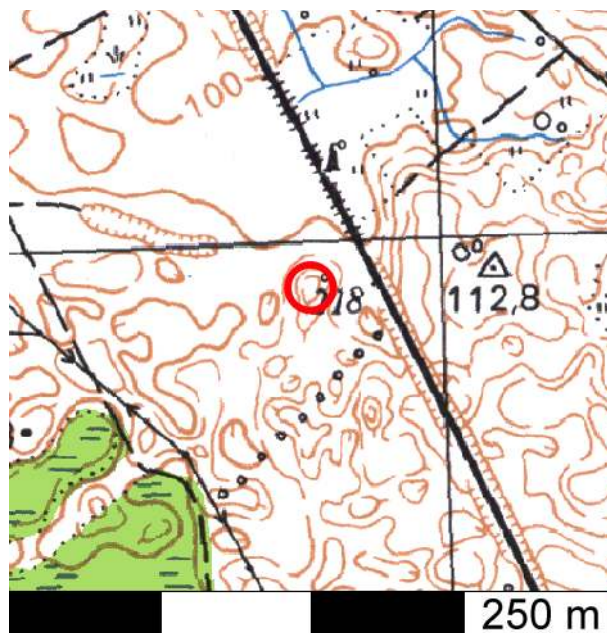
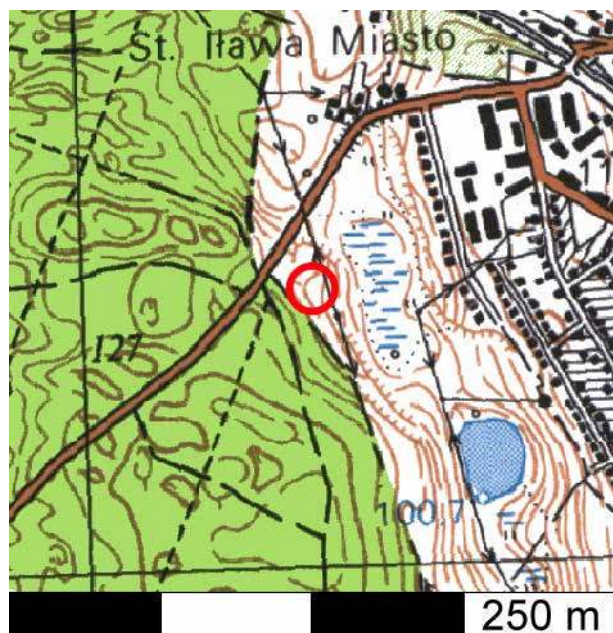
Badania archeologiczne: Powierzchniowa penetracja terenu w ramach realizacji projektu nie przyniosła żadnych rezultatów, wobec wysokiego stopnia zurbanizowania i przekształcenia terenu. Brak na powierzchni materiału zabytkowego, jak również brak śladów pozostałości fortyfikacji ziemnych.

12. Iława – „Czarcie Jeziorko”; nie uwzględniono w AZP (obszar 28-52)

Położenie stanowiska: Domniemane grodzisko miało być położone na zachodnich obrzeżach miasta Iława w pobliżu ogródków działkowych i Czarciego Jeziorka (*Teufessee*).

¹⁰ Lissauer 1887: 185; Łęga 1930: 368; Szczepański 2013: 240.

¹¹ Morgenroth 1924: 42-43; Szczepański 2007: 41; *Mini przewodnik po Iławie* – Internet: <http://docplayer.pl/748885-Historia-historia-ilawa.html>.



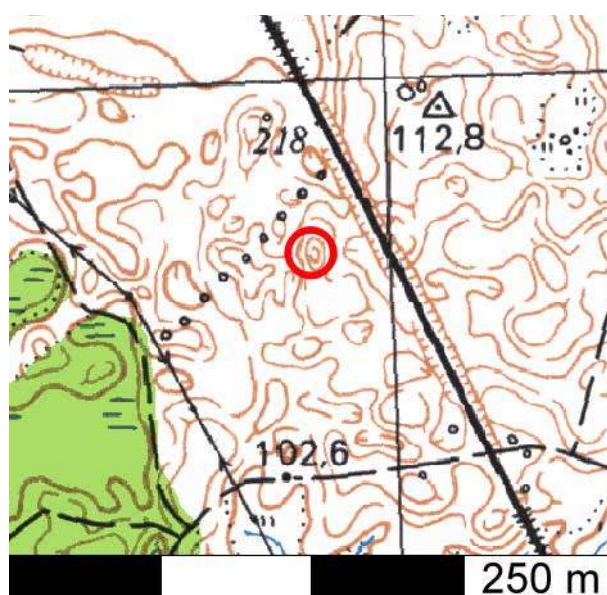
Przyczyna podjęcia badań: Sugestie na temat istnienia fortyfikacji średniowiecznych oparte na legendach i charakterze formy terenowej¹².

Badania geologiczne: Kilkometrowej wysokości pagórek jest częścią większej formy, która ma kontynuację na zachód, a przecięta jest drogą Iława - Karaś. Szczyt pagórka jest rozcięty licznymi wkopami, pochodzącymi prawdopodobnie z nielegalnego pozyskiwania piasku. Pagórek buduje głównie piasek średnioziarnisty ze żwirem, barwy brązowej. Liczne dołki w obrębie pagórka są efektem działań współczesnych poszukiwaczy żwirów i prawdopodobnie działań z czasów II Wojny. Badany fragment pagórka jest sztucznie oddzielony przekopem drogowym od jego większej części i prawdopodobnie genetycznie można go zaliczyć do moren pochodzących z okresu zlodowacenia Wisły. Szczyt formy, położony na zachód od badanego obiektu, osiąga 129,5 m n.p.m. Jego podstawa znajduje się na wysokości około 110 m n.p.m. Poza współczesnymi odpadkami nie stwierdzono żadnych śladów wcześniejszych działań ludzkich.

Badania archeologiczne: Penetracja archeologiczna w ramach realizacji projektu nie przyniosła żadnych efektów w postaci ruchomego materiału zabytkowego. Z pewnością miejsce to nie jest grodziskiem.

13-14. Segnowy (dwie lokalizacje); AZP obszar 27-51/ 23 i 24

Położenie stanowiska: Dwa „kopce” znajdują się ok. 1 km na wschód od folwarku Segnowy, około 75 m na zachód od linii kolejowej Iława – Susz. Między „kopcami” biegnie droga polna z rowem, obsadzona drzewami (dawniej prawdopodobnie aleja z wielkoprzestrzennego



założenia krajobrazowego Szymbarka) od lasu w kierunku północno-wschodnim.

Przyczyna podjęcia badań: Zdaniem Wiesława Skrobota dwa „kopce, odległe od siebie o ok. 150 m, wysokości *ca* 20 m i średnicy 30-40 m”, „są to najprawdopodobniej kopce graniczne, związane z podziałem Pomezanii po traktacie dzierzgońskim (7 lutego 1249 r.) i mogą pochodzić z lat 1294-1305. Za taką funkcją obiektów przemawia rów przebiegający między kopcami” (ryc. 2-3).¹³

Badania geologiczne: Miejscem badań przeprowadzonych w ramach realizacji projektu były dwa pagórki: północny o wysokości bezwzględnej 110,9 m n.p.m. i południowy o wysokości ok. 115 m n.p.m. Morfologia i budowa geologiczna oraz układ form obu pagórków po-

¹² Morgenroth 1924: 25-26; Szczepański 2007: 35; *Mini przewodnik po Iławie* – Internet: <http://docplayer.pl/748885-Historia-historia-ilawa.html>.

¹³ Skrobot 2009: 645-647.



Ryc. 2. Segnowy, gm. Iława - domniemany „kopiec strażniczy” północny (wg W. Skrobot 2009)

Fig. 2. Segnowy, community of Iława - the alleged northern sentry mound (according to W. Skrobot 2009)



Ryc. 3. Segnowy, gm. Iława - domniemany „kopiec strażniczy” południowy (wg W. Skrobot 2009)

Fig. 3. Segnowy, community of Iława - the alleged southern sentry mound (according to W. Skrobot 2009)

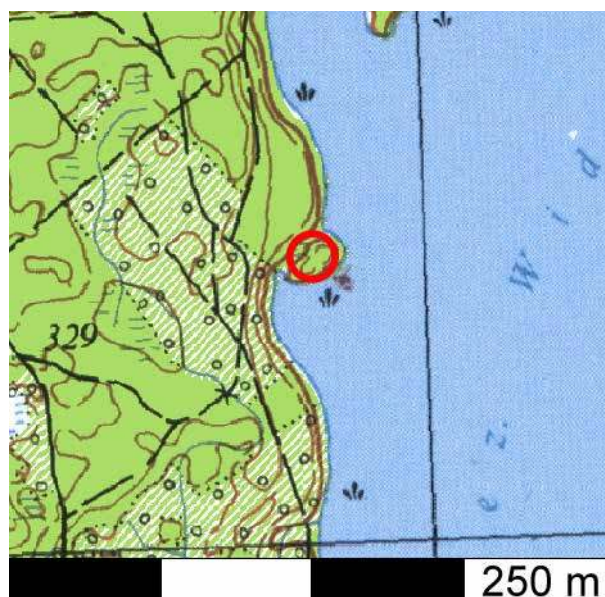
kazują, że są to drumliny, formy które powstały w wyniku procesów pod lądolodem. W wierceniach nie stwierdzono artefaktów. Oba badane pagórki są pochodzenia naturalnego. Obecność głazów narzutowych o średnicy do 1,5 m nie jest efektem działań intencjonalnych. Te formy naturalne nie są zatem historycznymi kopcami.

15. Łanioch, Zatoka Widłąg; nie uwzględniono w AZP (obszar 26-53)

Położenie stanowiska: Cypel w zatoce jeziora Jeziorak o nazwie Widłąg, przy jej północno-zachodnim brzegu.

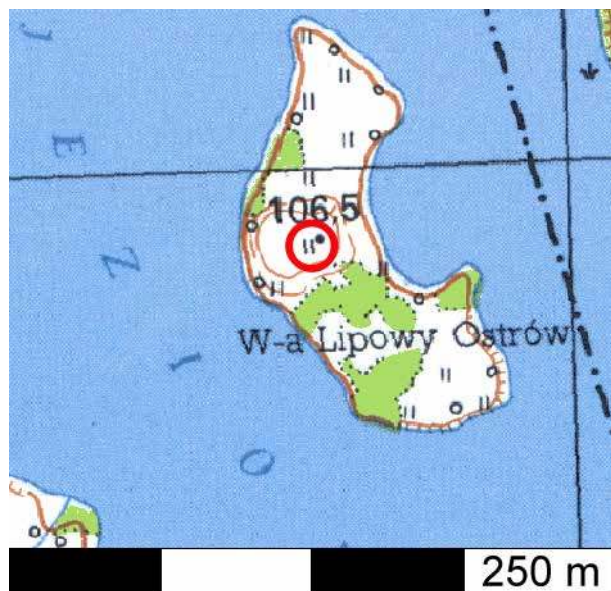
Przyczyna podjęcia badań: Ukształtowanie formy terenowej, sprawiającej wrażenie antropogenicznej o celowo nadanej funkcji obronnej (wyseпка połączona groblą z lądem).

Badania archeologiczne: Badany w ramach realizacji projektu obszar znajduje się na wyraźnie podwyższonym w stosunku do otoczenia, podłużnie owalnym pagórku o wymiarach w przybliżeniu 30 x 70 m. Od strony lądu



ogranicza go bagienne obniżenie, przez co wspomniane pagórki z łądem łączy jedynie wąski (o szerokości około 1 m) pas łądu, który mógłby być pozostałością ewentualnej grobli biegnącej do domniemanego grodziska. Część południowo-zachodnia cypla jest najwyższa w stosunku do powierzchni jeziora i stopniowo obniża się w stronę północno-wschodnią, gdzie przechodzi we wspomnianą „groblę”. Cały obszar badanego terenu pokryty jest lasem iglastym. W ramach prac weryfikacyjnych wykonano 27 sondowań do głębokości 1 m z użyciem laski geologicznej (regularnie rozmieszczonych w ramach dwóch równoległych linii i pokrywających cały teren domniemanego grodziska), które miały wykazać ewentualną obecność warstw, które można byłoby uznać za archeologiczne. Oprócz wierceń otworzono także siedem wykopów sondażowych o wymiarach 1 x 1 m. Uzyskane profile stratygraficzne wykazywały, iż pod brązowym, częściowo ściółkowym, leśnym humusem o grubości 0,3-0,35 m znajduje się warstwa piaszczystej, szaro brunatnej ziemi o miąższości 0,1-0,3 m, niżej jasny, szary, sypki piasek o miąższości 0,1-0,15 m, a pod nim jednorodny piasek pomarańczowy ciągnący się na głębokość powyżej 1 m od powierzchni ziemi. Wszystkie wspomniane warstwy podhumusowe, wobec braku w nich jakichkolwiek wyróżników archeologicznych oraz zabytków, wydają się mieć calcowy charakter. Wyniki przeprowadzonych badań wskazują na naturalny charakter badanej formy terenowej.

16. Siemiany, st. 30 (wyspa Lipowa); AZP 25-53/26



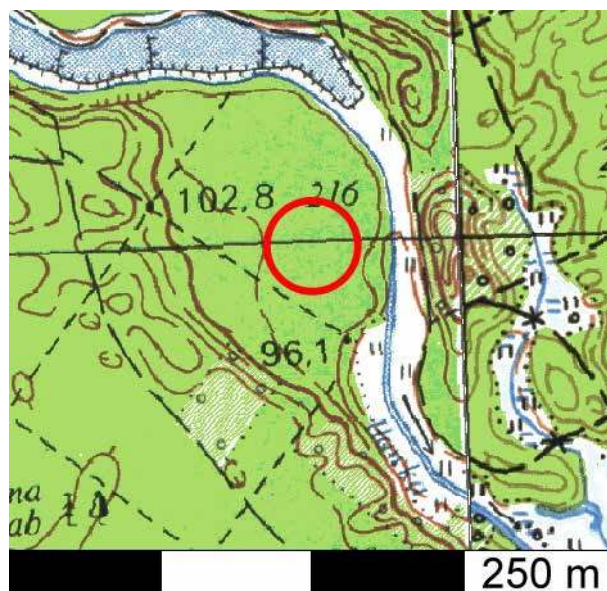
Położenie stanowiska: Znajdujące się w centralnej części wyspy Lipowej koliste wyniesienie.

Przyczyna podjęcia badań: Informacja z dawnej literatury na temat istnienia „szańca na wyspie naprzeciw Siemian”¹⁴

¹⁴ Hollack 1908: 148; najprawdopodobniej w informacji tej chodziło o rzeczywiście istniejące grodzisko na wyspie Bukowiec: Kobyliński *et al.* 2013: 309-314.

Badania archeologiczne: Na szczycie pagórka, w pobliżu nowożytnych grobów oraz na jego stoku południowym założono w ramach realizacji projektu dwa wykopy o wymiarach 2 x 2 m każdy. W żadnym z nich nie stwierdzono nawarstwień antropogenicznych, ani artefaktów. Obecność grodziska na wyspie Lipowej należy w związku z tym wykluczyć.

17. Smolniki, st. 1; AZP 29-53/10



Położenie stanowiska: Na prawym brzegu rzeki Iławki w zakolu tworzącym niewielki rozległy cypel przy rozlewisku, ok. 500 m na zachód od drogi Iława – Lubawa. Stanowisko zaznaczone na mapie AZP na dnie doliny rzeki, na terasie zalewowej.

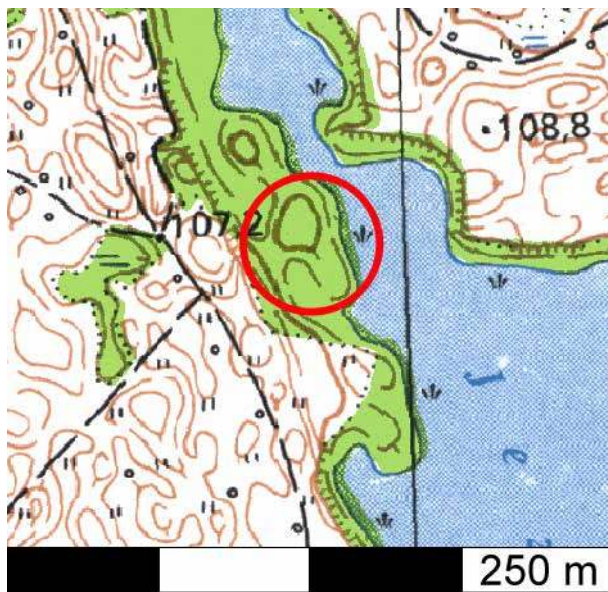
Przyczyna podjęcia badań: W trakcie badań powierzchniowych AZP omawiane miejsce zostało zidentyfikowane jako tożsame z danymi archiwalnymi i doniesieniami literatury niemieckiej i polskiej dotyczącymi obecności grodziska (por. wyżej nr 10), badanego rzekomo przez H. Conwentza¹⁵.

Badania archeologiczne: Badania powierzchniowe nie ujawniły śladów fortyfikacji. W ramach realizacji projektu przeprowadzono sondażowe badania poszukiwawcze. Obszar, który poddano weryfikacji miał ok. 440 m długości i 330 m szerokości. Północno-wschodnią część (od strony rzeki) zajmował pas szkółki leśnej, w obrębie której powierzchnia gruntu objęta była głęboką orką pod sadzenie drzew. Na pozostałej części badanego terenu znajdował się obszar poręby z powierzchnią silnie przekształconą orką i wyrębami (prawdopodobnie wielokrotnie). W ramach prac weryfikacyjnych wykonano 57 sondowań do głębokości 1 m z użyciem laski geologicznej, które miały wykazać ewentualną obecność warstw, które można byłoby uznać za archeologiczne. Oprócz

¹⁵ Lissauer 1897: 185; Łęga 1930: 558; Antoniewicz i Wartołowska 1964 (pod nazwą Dziarnówko).

sondowań otworzono także trzy wykopy sondażowe o wymiarach 1 x 1 m i 1 x 2 m. Zarówno w odwiertach, jak i w wykopach sondażowych odkryto prosty układ nawarstwień obejmujący humus i calec w postaci żółtego lub białego, sypkiego piasku. Mając na względzie fakt, iż nie znaleziono ani jednego zabytku, a także żadnych wyróżników archeologicznych, jak również biorąc pod uwagę naturalny charakter wszystkich znalezionych układów stratyfikacyjnych, należy zdyskwalifikować badany teren jako miejsce ewentualnej lokalizacji grodziska.

18. Szymbark, st. 4; AZP 27-52/41



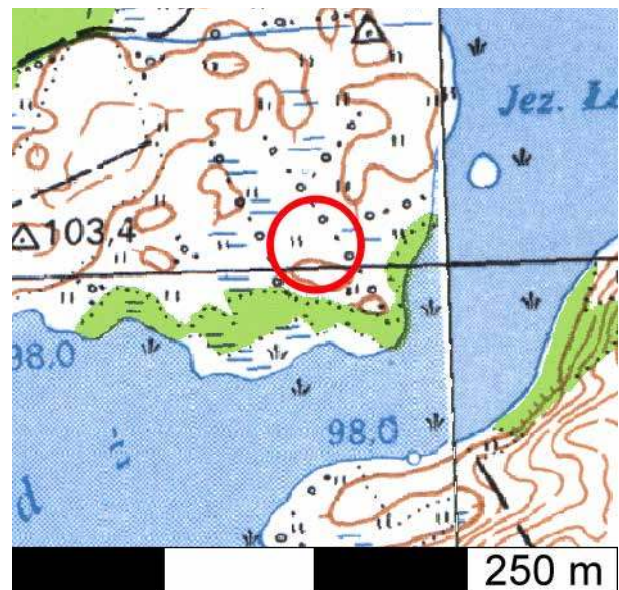
Położenie stanowiska: Stanowisko znajduje się w dolinie jeziora Szymbarskiego, na jego zachodnim brzegu, ok. 1,5 km na południe od zamku w Szymbarku, na cyplu wchodzącym w jezioro.

Przyczyna podjęcia badań: Miejsce zakwalifikowanie na karcie AZP jako prawdopodobny gródek strażniczy, mający być może związek z systemem obronnym zamku szymbarskiego.

Badania archeologiczne: W ramach realizacji projektu przeprowadzono sondażowe badania wykopaliskowe na obszarze domniemanego grodziska. Wytypowany do badań obszar znajduje się na łagodnym, podłużnie owalnym wyniesieniu, częściowo (w postaci cypla) wchodzącego w północno zachodnią część jeziora Szymbarskiego. Sam cypl stanowi partię dość wąskiego (50–100 m szerokości), niskiego, jeziornego pasa brzegowego leżącego u podnóża płaskowyżu, otaczającego jezioro Szymbarskie od zachodu. Badane wyniesienie ma kształt wydłużonego owalu o przebiegu mniej więcej po osi N–S i wymiarach, w przybliżeniu, 68 m długości i 32 m szerokości. W jego obrębie można wydzielić część środkową i północną, które stanowią dość jednorodny wyniesienie o przewyższeniu około 1 m (bardziej stromym od strony jeziora i łagodniejszym od strony północno zachodniej, gdzie istnieje łagodne przejście w stronę górującego od

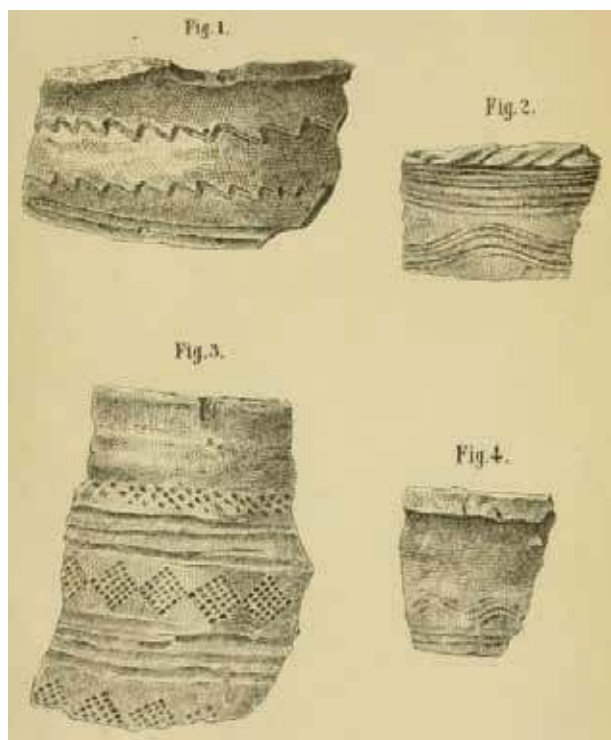
zachodu płaskowyżu), a także część południową, gdzie znajduje się lokalne podwyższenie o średnicy około 7–8 m i stokach łagodnych od strony północnej oraz bardziej stromych od strony wschodniej, zachodniej i południowej. W ramach prac weryfikacyjnych wykonano 30 sondowań do głębokości 1 m z użyciem laski geologicznej, które miały wykazać ewentualną obecność warstw, które można byłoby uznać za archeologiczne. Oprócz wierceń otworzono także dwa wykopy sondażowe o wymiarach 0,75 x 5,0 i 0,5 x 6,0 m. Linie wierceń bieły wzdłuż dwóch przecinających się osi na dystansie 34 m i 18 m w regularnych odstępach co 2 m. Jakkolwiek forma terenowa całego badanego pagórka (dość wyraźne zbocza z trzech stron), jak i jego wewnętrzna morfologia (istnienie osobnego podwyższenia w jego południowej części oraz, miejscowo, podłużnego garbu na skraju zbocza północno zachodniego), sugerowałyby, iż forma ta może być pochodzenia (przynajmniej częściowo) sztucznego, fakt, że nie znaleziono na badanym terenie ani jednego zabytku archeologicznego, a także prosta stratygrafia, bez warstw antropogenicznych, wskazuje, że należy wykluczyć możliwość, aby znajdowało się w tym miejscu grodzisko.

19. Windyki, AZP 27-53/4



Położenie stanowiska: Stanowisko znajdowało się na zachód od północnej zatoki jeziora Łabędź i ok. 2 km na wschód od wsi Wola Kamieńska.

Przyczyna podjęcia badań: Abraham Lissauer podał w 1876 r. informację na temat grodziska, które znajdowało się około 15 kroków od północnego brzegu jeziora Łabędź, otoczone od strony północno-zachodniej bagnami. Grodzisko miało owalny kształt o średnicy majdanu wynoszącej ok. 15 kroków, zaś całe grodzisko z wałami miało wymiary ok. 100–130 kroków. Wały miały 6 stóp (czyli 1,88 m) wysokości. Na terenie grodziska znaleziono



Ryc. 4. Windyki, gm. Ława – fragmenty ceramiki znalezione przez A. Lissauera na terenie grodziska (wg A. Lissauera 1876)

Fig. 4. Windyki, community of Ława – fragments of pottery found by A. Lissauer on the stronghold (according to A. Lissauer 1876)

liczne fragmenty ceramiki (ryc. 4), kości zwierząt domowych i dzikich, kamienie ze śladami działania ognia oraz belki dębowe. Kamienie i resztki dębowych pali i dranic znajdowały się także przy wale od strony podmokłego terenu przy jeziorze, gdzie były zagłębione na około 2 stopy.¹⁶ Informację tę powtórzył w 1930 r. W. Łęga, który pisał: „Grodzisko wyżynne, częściowo sztucznie usypane na pagórku otoczonym jeziorem Łabędź (Łąbędź) i łąkami. Wał, dziś już zniesiony, był wys. ca 2 m, tworzył owal o peryferji 230 kroków. Wewnątrz pogłębienie 15 kroków dł., w którym były kamienie zadymione zapewne od ogniska, popiół, węgle, kości i skorupy. Wewnątrz stwierdzono pale dębowe, połączone ze sobą poprzecznymi belkami”. Według M.J. Hoffmanna grodzisko w Windykach stanowiło główny ośrodek okręgu osadniczego złożonego z dwunastu osiedli, które odkryte zostały w latach 1980. wokół jeziora Łabędź.¹⁷ W 2011 r. pojawiła się w sieci Internetu informacja, że „zostały odnowione trzy grodziska znajdujące się na terenie sołectwa Wola Kamieńska”.¹⁸

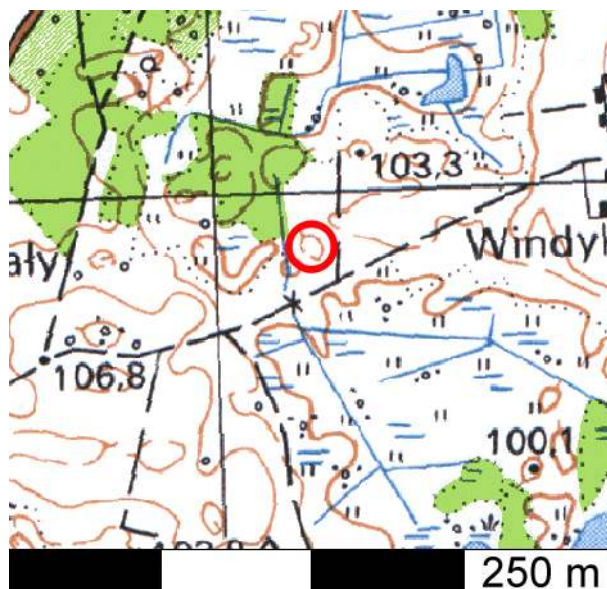
¹⁶ Lissauer 1876: 1-2, 1887: 186 i tabl. 5 ryc. 28; por. też Behla 1888: 193; Łęga 1930: 557-558; Antoniewicz i Wartołowska 1964; Szczepański 2013: 247.

¹⁷ Hoffmann 1999b: 14.

¹⁸ „Odnowienie grodzisk” miało być możliwe dzięki dotacji otrzymanej w ramach projektu „Działaj lokalnie” Polsko-Amerykańskiej Fundacji Wolność, realizowanego przez Akademię Rozwoju Filantropii

Badania archeologiczne: W ramach realizacji projektu przeprowadzono badania powierzchniowe, w wyniku których ustalono, że w miejscu domniemanej lokalizacji znanego z dawnej literatury grodziska znajduje się obecnie siedlisko gospodarstwa, którego budowa najprawdopodobniej zniszczyła całkowicie jakiegokolwiek ślady tego stanowiska.

19a. Windyki; AZP 27-53/51



Położenie stanowiska: Stanowisko znajduje się ok. 1 km na południe od Woli Kamieńskiej i ok. 300 metrów na zachód od przysiółka Windyki.

Przyczyna podjęcia badań: Stanowisko znane z badań AZP jako ślad osadnictwa, w roku 2000 zidentyfikowane zostało jako domniemane grodzisko na podstawie obserwacji aerofotograficznych, a także weryfikowane w następnym roku badaniami geofizycznymi metodą elektrooporową i magnetyczną i sondażowymi badaniami wykopaliskowymi¹⁹. Wyniki tych prac potwierdziły istnienie pod powierzchnią ziemi kilku linii kolistych rowów oraz występowania obszaru silnej anomalii wewnątrz obwodu tych rowów.

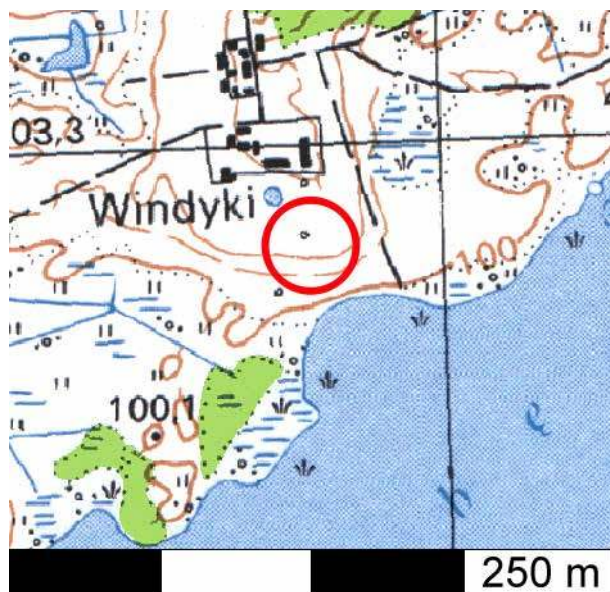
Badania archeologiczne: Celem badań była weryfikacja wspomnianego miejsca jako ewentualnej lokalizacji grodziska opisanego przez A. Lissauera (por. wyżej nr 19). W ramach realizacji projektu wykonano 68 sondowań laską geologiczną w miejscach domniemanej lokalizacji anomalii geofizycznej znajdującej się wewnątrz

w Polsce i Lokalną Organizację Grantową Stowarzyszenie „Przystań” w Ławie; <http://wiadomosci.ngo.pl/wiadomosc/679195.html>; <http://przystan.ilawa.pl/index.php/80-organizacjedl/organizacje2011/379-dziaaj-lokalnie-vii-wspolnie-moemy-wiecej>.

¹⁹ Kobylński, Misiewicz i Wach 2000: 81-88. Prospekcję aerofotograficzną przeprowadzili Otto Braasch i Dariusz Wach z IAE PAN; badania geofizyczne przeprowadzili K. Misiewicz z IAE PAN i Roman Krivanek z Instytutu Archeologii Czeskiej Akademii Nauk; badania sondażowe przeprowadził Dariusz Wach i Zbigniew Kobylński.

pierścieni rowów. Sondowania zlokalizowano w regularnych odstępach co 1 m na liniach przecinających się pod kątem prostym. Stratygrafia nawarstwień tej partii stanowiska wykazywała dużą jednorodność i zazwyczaj obejmowała cienką (do 0,1–0,2 m miąższości) warstwę humusu (ziemi ornej), niżej grubą na około 0,2 m (spordycznie do 0,3 m) ciemnobrązowo-szarą, piaszczystą warstwę podhumusową oraz niżej, w zależności od miejsca, różne rodzaje jasnych, piaszczystych, piaszczysto-żwirowych oraz gliniastych warstw calcowych. W żadnym z odwiertów nie znaleziono wyróżników archeologicznych, ani też zabytków. W konkluzji należy stwierdzić, że pomimo pokrycia liniami sondowań dużego obszaru, w obrębie którego, zgodnie z wynikami badań geofizycznych, poszukiwane miejsce występowania silnej anomalii musiało się znajdować, nie stwierdzono obecności żadnych struktur ani założeń obronnych. O ile istnienie kolistych założeń w formie rowów jest niewątpliwe i zostało archeologicznie potwierdzone, to należy wykluczyć istnienie w obrębie obwodu tych rowów pozostałości jakiegokolwiek konstrukcji czy budowli, która nadawałaby całości tego założenia charakter grodziska.

19b. Windyki; AZP 27-53/52

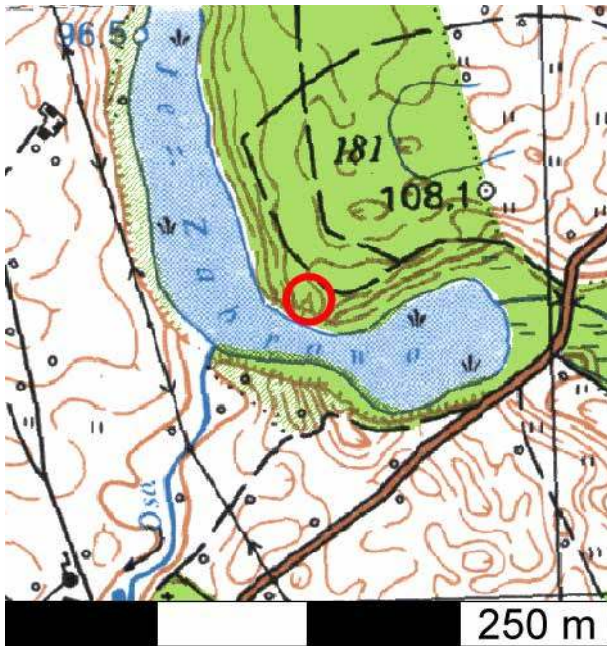


Położenie stanowiska: Stanowisko znajduje się na wysokim, północno zachodnim brzegu jeziora Łabędź, pomiędzy nim a skrajnymi od strony południowej zabudowaniami wsi Windyki. Badany obszar ma charakter niezbyt wyraźnego przewyższenia ze stromą częścią opadającą w stronę jeziora. Zarówno od strony zachodniej jak i wschodniej teren również opada w dół, jednak bardziej łagodnie.

Przyczyna podjęcia badań: Poszukiwanie grodziska w Windykach, znanego z informacji A. Lissauera (por. wyżej nr 19). Forma terenowa oraz nieliczne fragmenty ceramiki na powierzchni sugerowały możliwość, że grodzisko to znajdowało się w badanym miejscu.

Badania archeologiczne: W ramach realizacji projektu wykonano 46 sondowań do głębokości 1 m od powierzchni z użyciem laski geologicznej oraz otworzono cztery wykopy sondażowe. Dwie linie sondowań przecinające się pod kątem prostym poprowadzono w taki sposób, aby pokrywały cały teren potencjalnego stanowiska. Dłuższa oś (po linii N-S) miała 60 m długości, a punkty wierceń rozmieszczone były w regularnych, dwumetrowych odstępach. W miejscach, w których w odwiertach znaleziono potencjalne wyróżniki archeologiczne, otworzono wykopy sondażowe nr 1 i 4. Oś krótsza (E-W) miała 28 m długości, a punkty wierceń rozmieszczone były w czterometrowych, regularnych odstępach. W linii tej osi otworzono wykop sondażowy nr 2. Ponadto w środkowej badanego terenu otworzono dodatkowy wykop sondażowy nr 3. W wyniku przeprowadzonych odwiertów stwierdzono istnienie na badanym obszarze jednorodnego prostego układu występujących tam warstw ziemnych. Warstwę wierzchnią stanowiła gruba na 0,3–0,6 m warstwa brązowego humusu, pod którą z reguły znajdował się żółty, bądź ciemnożółty piasek, czasem drobny żwir, miejscami zaś piasek bądź żwirek zgliniony, ciągnący się na głębokość co najmniej 0,5–1 m. Warstwy te, nie zawierające żadnych śladów działalności ludzkiej, stanowiły całość. Jedynie w niektórych miejscach znajdowano także warstwę ciemniejszą, o miąższości około 0,1 m, którą stanowiła jednorodna szara ziemia. Wykop nr 1 o wymiarach 0,5 x 1 m otworzono w miejscu, gdzie na głębokości 0,55 m stwierdzono warstwę szarej i szaro-czarnej, piaszczystej, sypkiej ziemi o miąższości około 0,35 m z nielicznymi, małymi kamieniami w spągu. W dolnej partii tej warstwy znaleziono siedem fragmentów ceramiki zabytkowej, z których pięć fragmentów określono jako ceramikę z prawdopodobnie XIV w., jeden fragment z XII–XIII w. i jeden fragment ceramiki starożytnej. Wykop nr 2 miał wymiary 0,5 x 2 m. W jego obrębie, na głębokości 0,5 m, znaleziono warstwę ciemnoszarego, zbitego piasku o miąższości 0,1 m, a niżej warstwę ciemnobrązowej piaszczystej ziemi o grubości około 0,2 m. Z tych warstw pochodzą cztery fragmenty ceramiki datowane na późne średniowiecze i 1 fragment ceramiki starożytnej. W wykopie nr 3, o wymiarach 0,5 x 2 m, nie znaleziono żadnych wyraźnych nawarstwień ani innych wyróżników archeologicznych. W wykopie nr 4, o wymiarach 0,5 x 2 m, znaleziono obiekt o średnicy około 0,7–1 m, głębokości do 0,35 m, o nieregularnie owalnym kształcie stropu i nieckowatej formie. Wypełnisko obiektu stanowiły przemieszane warstwy ciemnej, szarej i brązowo-szarej oraz jaśniejszej, popielatej i popielato-jasnobrązowej, piaszczystej, zbitej ziemi, zawierającej cztery ornamentowane fragmenty wczesnośredniowiecznej ceramiki zabytkowej. Uwzględniając wyniki wszystkich wykonanych odwiertów oraz rezultaty badań wykopów sondażowych należy uznać, że badany obszar nie jest poszukiwanym grodziskiem, a znaleziony obiekt, jak i nieliczne fragmenty ceramiki sugerują raczej okazjonalny jedynie charakter użytkowania tego miejsca w przeszłości.

20. Ząbrowo, st. 8 – „Kopiec Napoleoński”; AZP 27-51/3



Położenie stanowiska: Stanowisko znajduje się na północnym brzegu południowej zatoki jeziora Ząbrowskiego, ok. 500 m na zachód od drogi z Ząbrowa do Szybarka i ok. 1 km na północny wschód od kościoła w Ząbrowie.

skiego, ok. 500 m na zachód od drogi z Ząbrowa do Szybarka i ok. 1 km na północny wschód od kościoła w Ząbrowie.

Przyczyna podjęcia badań: Stanowisko znane wcześniej jako „Kopiec Napoleoński”, znajdujące się w obrębie wielkoprzestrzennego założenia krajobrazowego majątku w Szybarku, w jego części zwanej „Zwierzyńcem” (ryc. 5).

Badania geologiczne: Badany pagórek ma kształt stożka o dosyć stromych zboczach, średnicy wierzchołka około kilkunastu metrów i wysokości względnej około 3 m. Wykonane na szczycie pagórka wiercenia udokumentowały warstwę o 2,3 m miąższości, która zawiera drobne węgle drzewne, humus, mułek piaszczysty z humusem, a zatem osady powstałe z udziałem człowieka. Głazik, który uniemożliwił wiercenie na głębokości 2,3 m pochodzi prawdopodobnie z poziomu, na którym osadzono wybudowany obiekt. Forma i budowa geologiczna obiektu wskazuje na jego antropogeniczne pochodzenie.

Badania archeologiczne: W trakcie badań powierzchniowych, przeprowadzonych w ramach realizacji projektu, na powierzchni, ani wokół obiektu nie odkryto żadnego ruchomego materiału zabytkowego, co mogłoby sugerować jego osadniczy charakter. Obiekt należy uznać za kurhan, być może pochodzący z okresu wpływów rzymskich.

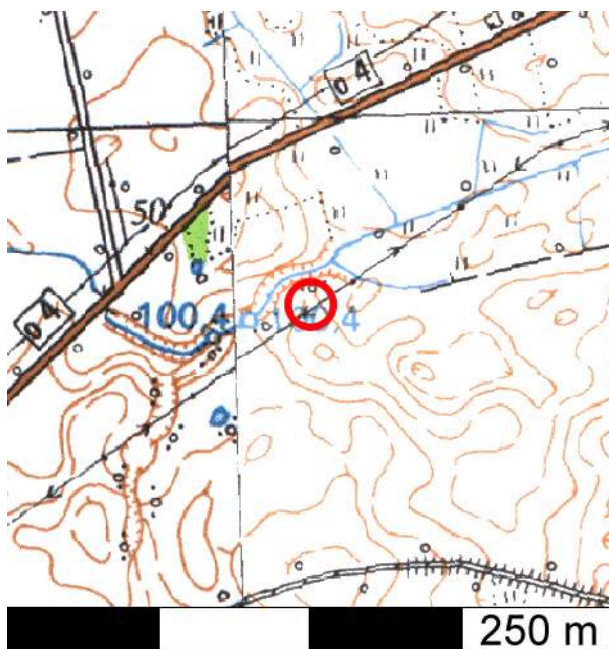
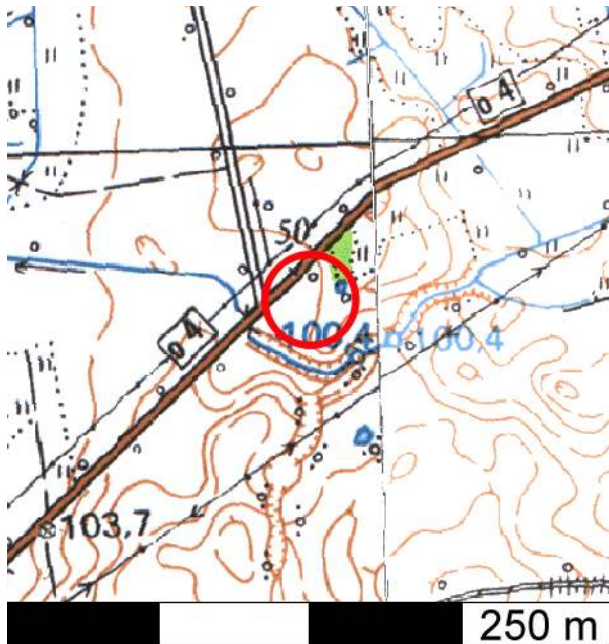


Ryc. 5. Ząbrowo, st. 8, gm. Iława – „Kopiec Napoleoński” (wg W. Skrobot 2009)

Fig. 5. Ząbrowo, site 8, community of Iława – the „Napoleonic Mound” (according to W. Skrobot 2009)

Gmina Zalewo

21-22. Bądky (dwie lokalizacje); nie uwzględniono w AZP (obszar 22-53)



Położenie stanowiska: Domniemane grodzisko znajduje się ok. 2 km na północny wschód od Zalewa, bezpośrednio na południe od drogi Zalewo – Małdyty, przy skrzyżowaniu z drogą w kierunku Bądek, między drogą a strumieniem, na jego prawym brzegu. Druga możliwa lokalizacja poszukiwanego grodziska znajduje się w tym samym rejonie, na lewym brzegu tego samego strumienia, bezpośrednio na południe od pierwszej lokalizacji.



Ryc. 6. Bądky, gm. Zalewo – lokalizacja domniemanego grodziska na mapie Schroettera (wg S. Szczepańskiego 2013)

Fig. 6. Bądky, community of Zalewo – location of the alleged stronghold on the Schroetter's map (according to S. Szczepański 2013).

Przyczyna podjęcia badań: Na mapie opracowanej przez Friedricha Leopolda von Schroettera²⁰ zaznaczone jest grodzisko (*Schanze*) nad rzeczką Młyńską Strugą na wschód od Zalewa (ryc. 6). Już w połowie XVII w. Caspar Stein wspominał o znajdującym się w pobliżu Zalewa wzgórzu *Burgberg*. W XVIII w. August Hermann Lucanus w dziele *Starożytności pruskie* pisał o grodzisku w okolicach Zalewa. Te informacje potwierdzali także późniejsi autorzy²¹.

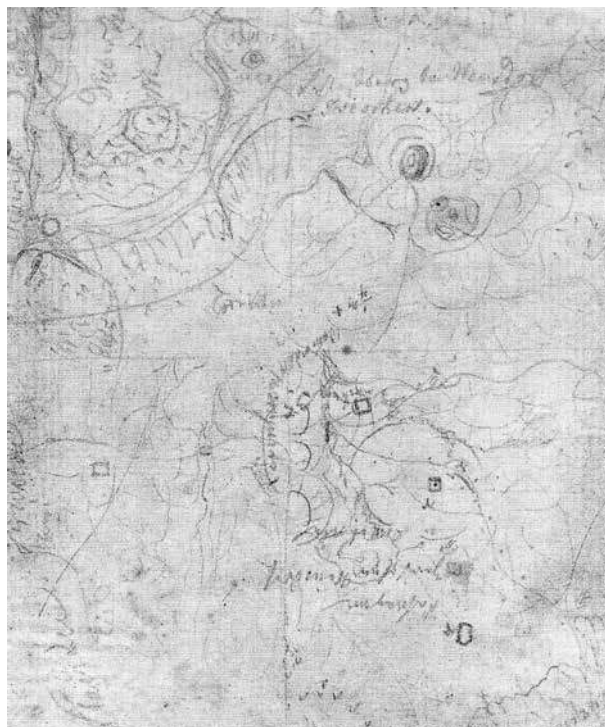
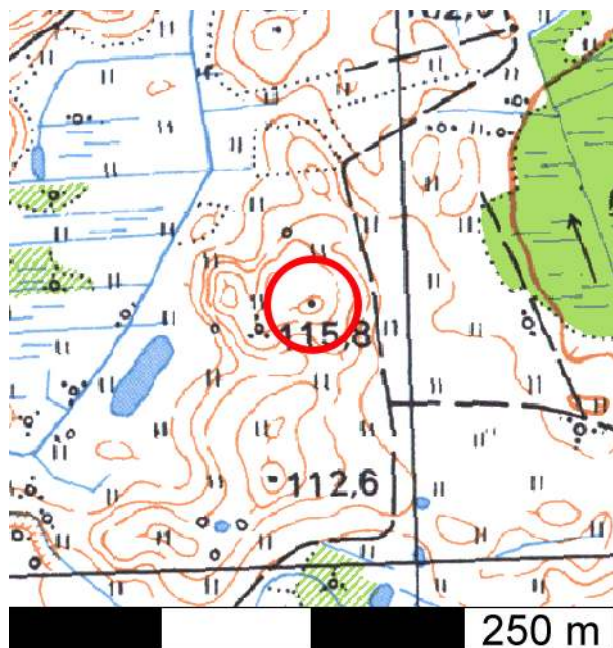
Badania geologiczne: Pierwsza seria odwiertów została zlokalizowana na niewielkim wzniesieniu usytuowanym między drogą a głębokim rozcięciem erozyjnym związanym z rzeką Zalewką. Drugą serię odwiertów wykonano za rozcięciem erozyjnym. Badany obszar można podzielić na dwie formy: jedna, występująca na północny-zachód od rozcięcia erozyjnego rzeki Zalewki jest pagórkem morenowym, jednym z wielu w tej okolicy, zbudowanym z gliny zwałowej i przykrytym warstwą żwirów pochodzących z intensywniejszego etapu wytapiania lodu lodowcowego. Druga forma nie posiada przykrycia z piasków i żwirów, a jedynie grubą na 0,5-1,0 m warstwę zwietrzelin gliny zwałowej (eluwia), leżącej na glinie. W geomorfologii pagórka niewidoczne są intencjonalne ingerencje człowieka, poza współczesnymi; również badane osady nie zawierają śladów aktywności ludzkiej. W przypadku obu lokalizacji nie potwierdzono istnienia grodziska.

Badania archeologiczne: Badania powierzchniowe przeprowadzone w ramach realizacji projektu nie doprowadziły do odkrycia żadnych zabytków archeologicznych.

²⁰ *Karte von Ost-Preussen nebst Preussisch Litthauen und West-Preussen nebst dem Netzdistrict aufgenommen unter Leitung des Königl. Preuss. Staats Ministers Frey Herrn von Schroetter in den Jahren von 1796 bis 1802.* Berlin 1802.

²¹ Stein 1730: 230; Lucanus 1748: 124; Beckherrn 1895: 363; Hollack 1908: 138; Crome 1940: 114-115; Szczepański 2009: 12, 2013: 236 (grodzisko wymieniane było też pod nazwami miejscowości Pozorty lub Kupin).

23. Dobrzyki (*Burghügel*); nie uwzględniono w AZP (obszar 23-52)



Położenie stanowiska: Stanowisko znajduje się około 2 km na północny zachód od Dobrzyków i około 750 m na północny wschód od dawnego folwarku Bednarzówka.

Przyczyna podjęcia badań: W archiwum dawnego Prussia Museum z Królewca znajdują się informacje o do-

Ryc. 7. Dobrzyki, gm. Zalewo – *Burghügel*. Szkic J.M. Guisego z lat 1826-1828 (wg S. Szczepańskiego 2013)

Fig. 7. Dobrzyki, community of Zalewo – the *Burghügel*. Sketch by J.M. Guise made in 1826-1828 (according to S. Szczepański 2013)



Ryc. 8. Dobrzyki, gm. Zalewo – *Burghügel*. Fotografia archiwalna domniemanego grodziska (SMPK MVF PM-A 598/1, k. 98)

Fig. 8. Dobrzyki, community of Zalewo – the *Burghügel*. Archival photograph of the alleged stronghold (SMPK MVF PM-A 598/1, c. 98)

mnianym grodzisku położonym na północny-zachód od wsi Dobrzyki. Sprawozdanie landrata morąskiego z 1 stycznia 1825 r. mówi o relikach fortyfikacji na wzgórzu na północ od Dobrzyk. Miejsce to oznaczone jest także na szkicu porucznika J.M. Guisego (ryc. 7). Elisabeth Lemke spisała w roku 1887 legendę o zamku, który miał znajdować się w tym miejscu. List B. Eckhardta do dyrektora

Prussia Museum z 24 lipca 1935 r. podaje, że grodzisko było już w owym czasie nieczytelne w terenie, ze względu na eksploatację piasku i żwiru (ryc. 8)²².

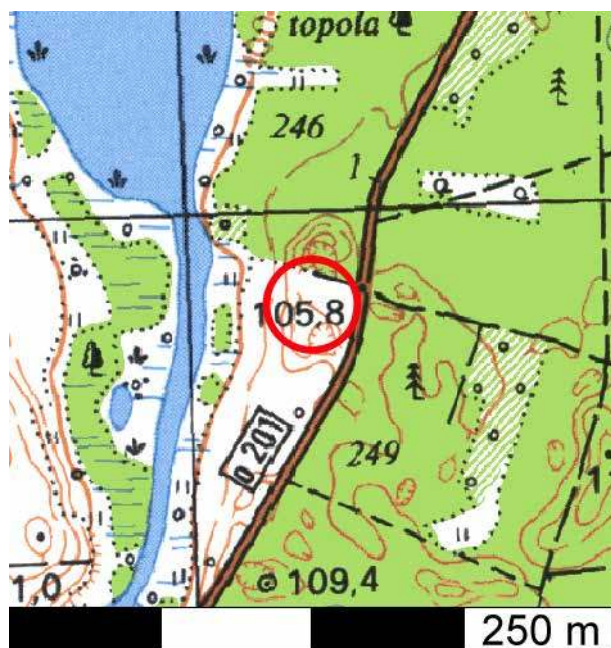
Badania geologiczne: Badany obiekt położony jest na wysoczyźnie polodowcowej o urozmaiconej świeżej

²² Guise Zettel PM IXh 00051a; SMPK, MVF, syg. PM-A 598/1; Lemke 1887; Crome 1940: 137-138; M. Haftka, notatka z dnia 21.09.1968; Szczepański 2009: 12-13, 2013: 237-239.

rzeźbie pochodzącej ze zlodowacenia Wisły. Niewielki, owalny obszar porośnięty jest starodrzewem. Badania ukierunkowano na stwierdzenie osadów fosy w brzeźnej partii badanego terenu i warstwy kulturowej w centrum obiektu. Wykonano cztery wiercenia i przekrój geologiczny, który posłużył rozpoznaniu ewentualnych przekształceń antropogenicznych. W wyniku wierzeń geologicznych okazało się, że pod 0,15 m (i tylko w jednym wierceniu 0,40 m) miąższości warstwą gleby, występuje glina zwłowa barwy brązowej, piaszczysto-ilasta z fragmentami korzeni, rozłożonych gałązek oraz głązików skandynawskich, nie zawierająca śladów aktywności ludzkiej. Na badanym obiekcie nie wykryto cech rzeźby, czy osadów wynikających z prehistorycznych lub średniowiecznych działań człowieka.

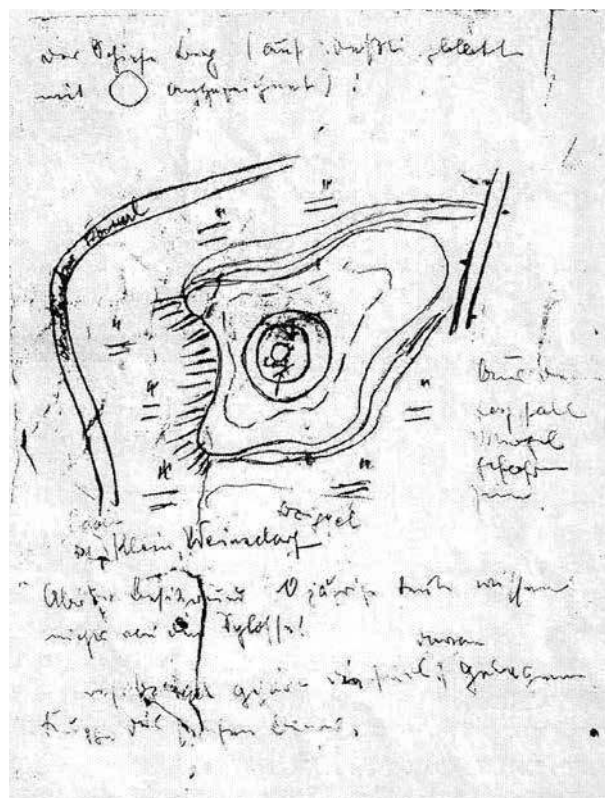
Badania archeologiczne: W wyniku badań powierzchniowych przeprowadzonych w ramach realizacji projektu nie odkryto żadnych śladów fortyfikacji, nie odkryto także żadnego materiału zabytkowego.

24. Dobrzyki (Schiefe Berg); nie uwzględniono w AZP (obszar 23-53)



Położenie stanowiska: Stanowisko miałoby się znajdować ok 1 km na wschód od wsi Dobrzyki na wschodnim brzegu kanału łączącego Jeziorak z jeziorem Ewingi, na wybitnym wyniesieniu między kanałem a drogą z Dobrzyków do Zalewa.

Przyczyna podjęcia badań: W archiwum dawnego Prussia Museum z Królewca znajduje się szkic, fotografia i opis z 1930 r. domniemanego grodziska na wzgórzu *Schiefe Berg* nad Kanałem Dobrzyckim, autorstwa Carla Engla (ryc. 9).²³



Ryc. 9. Dobrzyki, gm. Zalewo - *Schiefe Berg*. Szkic wykonany przez Carla Engla w 1930 r. (SMPK MVF, PM-A 598/1, k. 95)

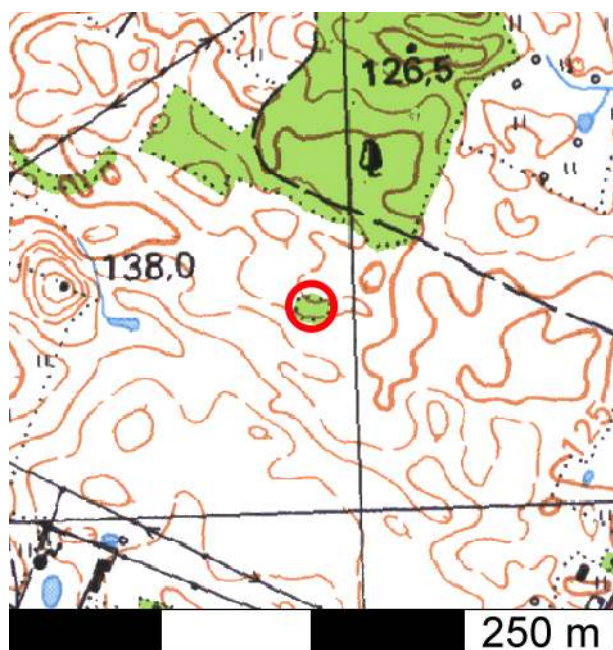
Fig. 9. Dobrzyki, community of Zalewo - the *Schiefe Berg*. Sketch made by Carl Engel in 1930 (SMPK MVF, PM-A 598/1, c. 95)

Badania geologiczne: Badane stanowisko położone jest na pagórku (wys. ok. 105 m n.p.m.) towarzyszącym obniżeniu łączącemu Jeziora Ewingi i Jeziorak (ok. 99 m n.p.m.). Pagórek ma dwa niewielkie wzniesienia. W ramach realizacji projektu nie dokonano wierzeń głębszych niż 1 m ponieważ w profilach tych wierzeń nie stwierdzono śladów ludzkiej aktywności. Profile glebowe są tu bardzo zredukowane - do 0,1 m głębokości, a pod głębą występuje glina zwłowa, której duża zwięzłość i zwarta struktura wykluczają przemieszczenie. Cienki poziom glebowy oraz ostry kontakt gleby z niżej leżącymi osadami może wskazywać na działania człowieka, ale brak warstwy kulturowej wyklucza długotrwałe i odległe w czasie działania. Najprawdopodobniej jest to efekt współczesnych działań rolniczych. Brak śladów prehistorycznej czy średniowiecznej aktywności ludzkiej.

Badania archeologiczne: Badania powierzchniowe przeprowadzone w ramach realizacji projektu nie ujawniły żadnych śladów fortyfikacji, ani żadnego materiału kulturowego na powierzchni. Zaobserwowano natomiast na zachodniej skarpie wyniesienia osuwiska humusu, co może świadczyć o odsunięciu warstwy gleby w celu eksploatacji skały znajdującej się w podglebiu (żwiru lub gliny). Być może w ten sposób zniszczono grodzisko i zdeformowano kształt wzgórza. O takiej eksploatacji może świadczyć również bardzo cienka warstwa humusu na wierzchołku wzgórza. Grodzisko, jeśli istniało, obecnie nie istnieje.

²³ SMPK, MVF, sygn. PM-A 598/1; Szczepański 2009: 13, 2013: 239-240.

25. Janiki Małe, st. 1; AZP 23-54/11



Położenie stanowiska: Domniemane stanowisko znajduje się ok. 1 km. na północ od dawnego folwarku Janiki Małe, w polach na południe od niewielkiego obszaru leśnego.

Przyczyna podjęcia badań: Obecność domniemanego grodziska stwierdzona została w czasie badań powierzchniowych M. Wielgus i W. Skrobot w 1988 r., którzy stwierdzili, że „Jest to prawdopodobnie grodzisko zniszczone

eksplorowaną niegdyś piaszczycą. W jednej z nor zwierzęcych w domniemanym wale znaleziono węgle drzewne” (ryc. 10).

Badania geologiczne: Badany obiekt stanowi niewielki obszar w obrębie wysoczyzny porośnięty starodrzewem. Pierwotnie był to pagórek, ale eksploatacja piasków doprowadziła do odwrócenia morfologii, czyli z pagórka powstało obniżenie z zachowanym fragmentem pagórka, niewyeksplorowanym, zapewne ze względu na obecność wiekowych drzew. Na wschód od obiektu zachował się płaski obszar, nie uprawiany, na którym są zdeponowane głązy. Jest sprawą trudną do ustalenia, czy głązy pochodzą z uprawianego pola, czy zostały w trakcie eksploatacji piasku odrzucone na bok oraz czy kolisty zarys głązów jest przypadkowy, czy intencjonalny. Wiercenie wykonane w obrębie owalu otoczonego głązami nie dostarczyło danych, które mogłyby rozwiązać powyższe problemy, ponieważ nie natrafiono na osady noszące piętno działań człowieka. Badania obiektu rozpoczęto od poszukiwań ewentualnych osadów wypełniających fosy lub tworzących wały. Wiercenia przeprowadzone w otoczeniu formy nie dostarczyły dowodów geologicznych na istnienie podobnych form. Kolejne wiercenie wykonano w najwyższym miejscu ocalałych resztek pagórka. Do głębokości 0,80 m stwierdzono glinę piaszczysto-ilastą, zwięzłą, barwy brązowej z licznymi wytrąceniami węgla wapnia, od 0,80 do 1,80 m piaski gliniaste brązowe i brązowo-szare, w spągu z wytrąceniami węgla wapnia, a od 1,80 do 4,0 m piaski średnioziarniste, warstwowane (warstewki zapadają pod kątem ok. 30 stopni), luźne, barwy brązowej z przewarstwieniami orsztynu



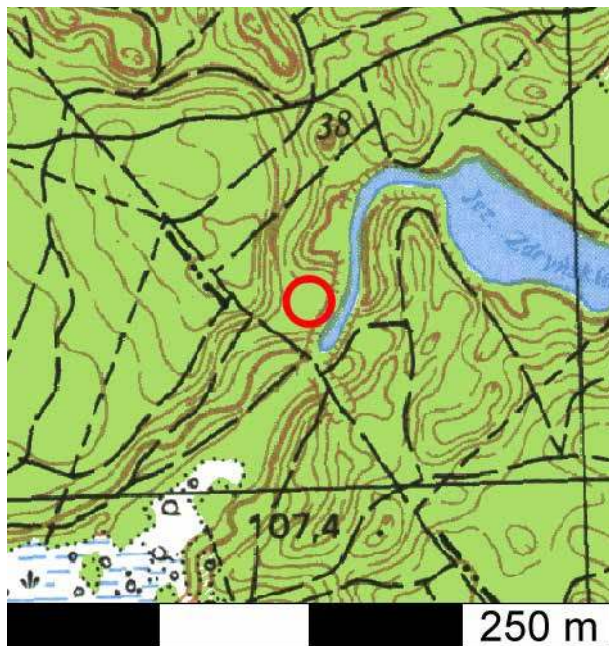
Ryc. 10. Janiki Małe, gm. Zalewo. Fotografia domniemanego grodziska (Archiwum WUOZ w Olsztynie)

Fig. 10. Janiki Małe, community of Zalewo - the alleged stronghold (Archive of the Provincial Office for Protection of Historical Monuments in Olsztyn)

i śladami po strukturach korzeniowych. Wiercenie w najniższym punkcie obiektu, czyli w dole eksploatacyjnym pokazało, że poniżej piasków średnioziarnistych występują piaski bardzo drobnoziarniste barwy szaro-brązowej. Opisowaną formę można uznać za kem z pokrywą gliniastą. Z przeprowadzonych badań geologicznych, mimo zniszczeń eksploatacyjnych dokonanych w centrum pagórka, wynika, że obiektu w Janikach Małych nie można uznać za grodzisko. Brak fos i wałów jest w tej dedukcji decydujący. Nagromadzenie głązów w sąsiedztwie pagórka, jest zagadkowe, ponieważ nie wiemy czy pochodzą z pagórka, czy z pola. Jednak nawet przy założeniu, że zostały odrzucone tu w trakcie eksploatacji piasku, nie mogą one świadczyć, że opisywana forma była kiedyś kurhanem. Duża wielkość pagórka to w zasadzie wyklucza. Niestety eksploatacja piasków kompletnie zniszczyła strukturę warstw, co uniemożliwia rozpoznanie cech wskazujących na działania człowieka.

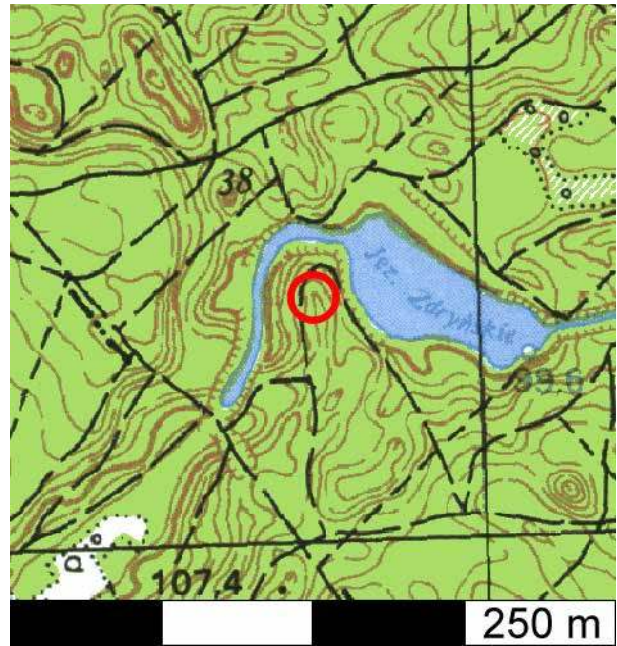
Badania archeologiczne: W wyniku badań, także powierzchniowych przeprowadzonych w ramach realizacji projektu, należy stwierdzić, że obiekt ten nie jest grodziskiem, lecz miejscem eksploatacji piasku z naturalnej formy terenowej.

26-27. Jerzwałd (dwie lokalizacje); nie uwzględnione w AZP (obszar 24-52)



Położenie stanowiska: Obiekty znajdują się ok. 1,5 km na wschód od leśniczówki Bukownica, przy kanale przekopanym między jeziorami Zdryńskie i Karpie, na zachód od kanału, którego wkop częściowo niszczy obie formy terenowe. Znajdują się one bezpośrednio na wschód od drogi leśnej, którą przebiega granica gmin Zalewo i Susz.

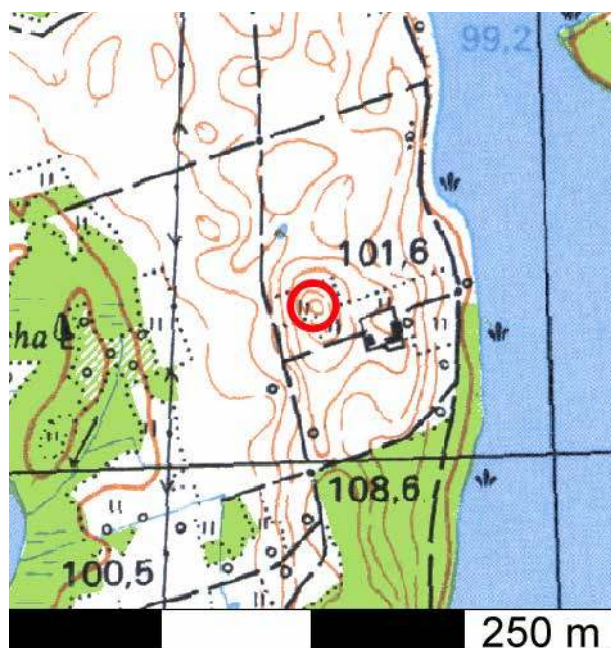
Przyczyna podjęcia badań: Obiekty znajdują się w bezpośredniej bliskości systemu dwóch wałów po-



dłużnych, co mogło sugerować istnienie w tym rejonie bardziej skomplikowanego systemu obronnego.

Badania geologiczne: Na badanym terenie występują dwie potencjalne lokalizacje grodzisk, rozdzielone południkowo przebiegającym kanałem wypływającym z jeziora Zdryńskiego. Lokalizacja wschodnia, to wydłużony południkowo pagórek wznoszący się na ponad 113,0 m n.p.m., czyli około 14 m ponad poziom wody. Natomiast lokalizację zachodnią tworzy owalny pagórek o wysokości 108,8 m n.p.m. Wzdłuż każdej lokalizacji wykonano przekrój geologiczny. Na wschodzie A-B o przebiegu N-S, na wschodzie C-D o przebiegu SW-NE. Na przekroju A-B osadem dominującym są piaski różnoziarniste bez śladów działań człowieka. W wierceniach wykonanych w poprzek wyraźnie widocznego w morfologii leja o kilkumetrowej średnicy, udokumentowano ciekawe następstwo warstw. W centrum leja nie stwierdzono organiki, która powinna tu się znajdować, ze względu na to, że obiekt znajduje się w lesie, gdzie produkowane są duże ilości substancji organicznej. Na wale otaczającym lej nawiercono piasek z humusem o miąższości 0,1–0,2 m, pod którym leży gruba na 0,2 m warstwa piasków z humusem, a niżej występuje gleba piaszczysta z organiczną o miąższości 0,2–0,3 m, rozwinięta na piasku różnoziarnistym występującym na tym pagórku powszechnie. Z sytuacji geologicznej wynika, że mamy tu do czynienia z okopem działa, który został wykonany podczas II Wojny Światowej. Pagórek po zachodniej stronie kanału ma owalny kształt, jest mniejszy, ale budują go również piaski różnoziarniste. Tylko w paru wierceniach pod piaskiem różnoziarnistym nawiercono piasek średnioziarnisty, prawdopodobnie kemowy. Na obu badanych pagórkach nie stwierdzono osadów ani form rzeźby powstałych z udziałem człowieka, poza wykopem na działo na pagórku wschodnim.

28. Matyty; nie uwzględnione w AZP (obszar 24-53)

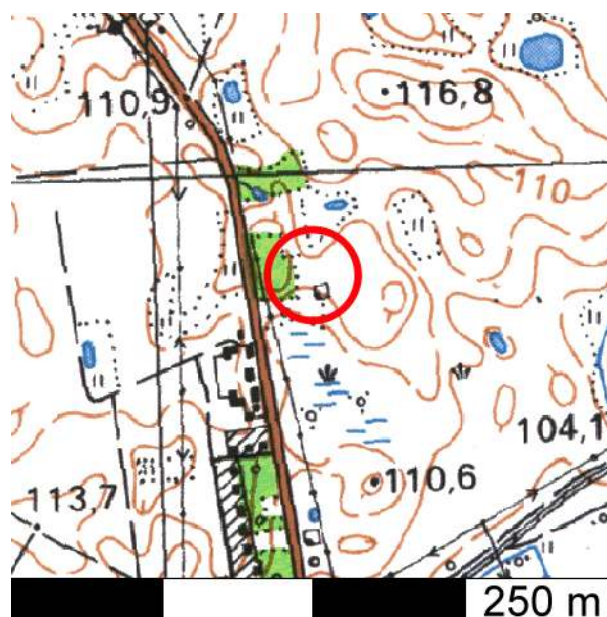


Położenie stanowiska: Wybitne wyniesienie terenu na cyplu między Jeziorakiem i jeziorem Płaskim, ok. 2 km na południe od wsi Matyty.

Przyczyna podjęcia badań: Sprawozdanie powiatowego opiekuna zabytków Bruno Eckarta, niegdyś nauczyciela w Borecznie, w 1936 r. zamieszkującego już w Sportynach, z którego wynika, że posiada on wiadomości na temat rzekomego grodziska w okolicy Likszan – Matyt. Eckart pisze, a ściślej odpowiada na jakieś wcześniejsze pismo z Prussia-Museum, że podejrzewa on istnienie jakiegoś „pradziejowego” umocnienia pomiędzy wspomnianymi wyżej miejscowościami. Jakkolwiek nie zachowały się żadne ślady umocnień w terenie, to dzięki informacjom pozyskanym od burmistrza (Zalewa?) na wzniesieniu 120 m n.p.m., położonym 2 km na północ od Bukowca (*Bukowitz*) znajduje się miejsce zwane przez lokalnych mieszkańców *Schlossberg*. Wskazane wzgórze faktycznie według Eckarta góruje nad okolicą, z tego też miejsca dobrze widoczne są (rzekome!) umocnienia na północ od Dobrzyk. Eckart koryguje też wcześniejsze informacje J.M. Guisego jakoby rzekome umocnienia w okolicy Likszan znajdowały się między Dobrzykami a Likszanami – przy drodze. Według jego obserwacji należałoby poszukiwać go właśnie na wzgórzu 120 m n.p.m. niedaleko drogi biegnącej z Dobrzyk przez Matyty do Likszan, wzdłuż brzegu jeziora. Eckart melduje, że wzgórze było w jego czasach jest zaorywane²⁴.

Badania archeologiczne: Badania powierzchniowe przeprowadzone w ramach realizacji projektu nie ujawniły istnienia śladów fortyfikacji, a jedynie ślady gospodarczej eksploatacji kruszywa. Nie odkryto także na powierzchni żadnego ruchomego materiału zabytkowego.

29. Zalewo – „Zameczek”; nie uwzględnione w AZP (obszar 22-53)



Położenie stanowiska: Niewielkie wyniesienie terenu po wschodniej stronie drogi z Zalewa do Paślęka, około 1 km na północ od skrzyżowania tej drogi z drogą w kierunku Starego Dzierzgonia.

Przyczyna podjęcia badań: Nazwa własna miejsca sugerująca istnienie osadnictwa sięgającego być może średniowiecza i mającego charakter obronny.

Badania geologiczne: Badaną formą jest niewielki pagórek otoczony obniżeniami. Budowa geologiczna tej formy pokazuje, że jądro pagórka buduje glina zwałowa nawiercona na głębokości 2,6 m, którą przykrywają piaski różnoziarniste z pojedynczymi gładzikami. Forma ta prawdopodobnie stanowi pagórek morenowy. Poza obszarem centralnej części pagórka nie są widoczne ślady przekształceń antropogenicznych. Na obszarze obejmującym skłon pagórka, na szczycie którego wykonano wiercenia, stwierdzono występowanie w licznych kretowinach średnich i dużych fragmentów cegieł oraz ceramiki, które znalazły się na wtórnym złożu, najpewniej na skutek ekstensywnej orki. Wyniki wierceń wskazują, że na pagórku znajdował się bliżej nieokreślony nowożytny, zapewne XIX-wieczny obiekt mieszkalny lub gospodarczy. Warto także zauważyć, że ilość materiału archeologicznego rośnie znacząco w pobliżu drogi, co może wskazywać, że na skutek procesów stokowych oraz prac rolniczych został on przemieszczony ze szczytu pagórka do jego podstawy.

Badania archeologiczne: Badania powierzchniowe tego terenu przeprowadzone w ramach realizacji projektu nie doprowadziły do ujawnienia zabytków ruchomych świadczących o osadnictwie średniowiecznym lub starszym. Brak także śladów fortyfikacji.

²⁴ Prussia-Archiv, Signatur PM-A 1459/1; Szczepański 2009: 13.

**POWIAT OSTRÓDZKI
Gmina Miłomłyn**

30. Karnitki; nie uwzględnione w AZP (obszar 24-54)



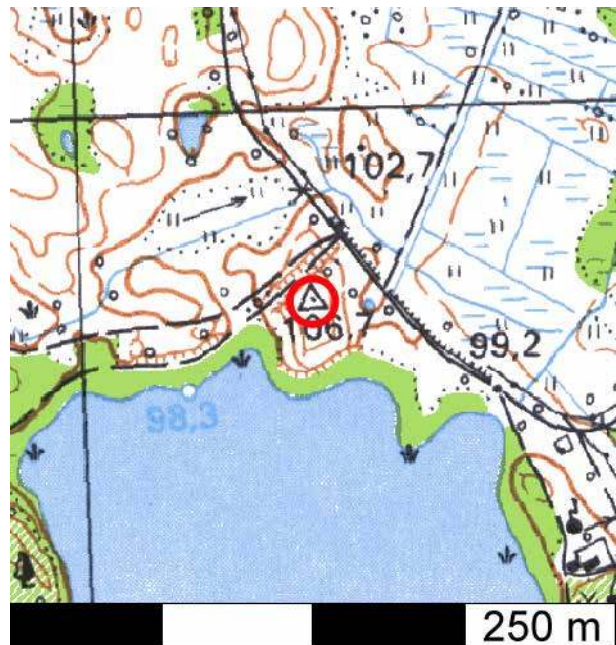
Położenie stanowiska: Domniemane grodzisko znajduje się ok. 50 m na południe od pałacu w Karnitkach w obrębie założenia pałacowo-parkowego. Na tym terenie znajduje się cmentarz rodowy ewangelicki i domki kempingowe.

Przyczyna podjęcia badań: Nazwa miejscowa „Zamczysko” sugerująca wcześniejsze osadnictwo (poprzedzające obecnie istniejący pałac), oraz formy terenowe na skarpie przypominające przekształcone pozostałości wałów i fos.

Badania geologiczne: Badana forma prawdopodobnie jest tarasem kemowym uformowanym na krawędzi rynny subglacjalnej o przebiegu SW-NE. Północny fragment tarasu został przecięty wkopem (droga z XIX w.), w efekcie czego część odciętego przez wkop tarasu kemowego utworzyła formę „wału” o przebiegu SW-NE, który sprawia wrażenie usypanego sztucznie. Na krawędzi północnej tarasu, wzdłuż drogi, widoczne są małe niecki i jęzory osuwiskowe utworzone przez procesy zbozcowe, które są nadal aktywne. W efekcie tych procesów powstał szereg płytkich i stosunkowo szerokich U-kształtnych zagłębień, które mogą przypominać fosy, z wyraźnymi jęzorami akumulacyjnymi - osuwiskowymi u ich wylotu. Najwyraźniejsza w rzeźbie „fosa” powstała prawdopodobnie tuż po przekopaniu drogi, a w późniejszym okresie była pogłębiana, po czym wypełniana osadami spływów powierzchniowych. W wykonanych wierceniach nie stwierdzono warstw kulturowych.

Badania archeologiczne: W wyniku badań powierzchniowych przeprowadzonych w ramach realizacji projektu nie odkryto żadnego ruchomego materiału zabytkowego.

31. Karnity, st. 1; AZP 24-54/4



Położenie stanowiska: Obiekt znajduje się na niewielkim cyplu przy północnym brzegu jeziora Kocioł, bezpośrednio na południe od skrzyżowania dróg z Karnit do Mozgowa i do Boreczna.

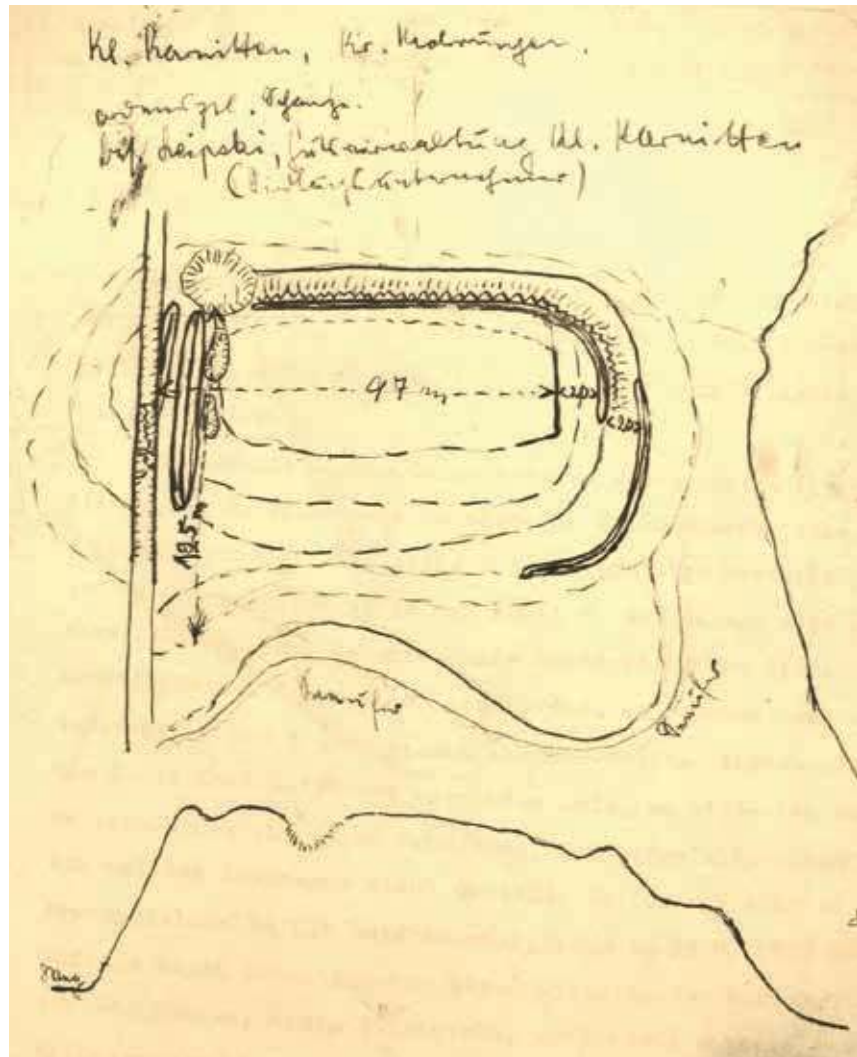
Przyczyna podjęcia badań: W archiwum dawnego Prussia Museum z Królewca znajduje się list jego dyrektora do właściciela ziemskiego Leipskiego z 29 czerwca 1934(?) r. w sprawie grodziska znajdującego się na jego polu i systematycznie niszczonego przez orkę. Fakt ten stwierdzony został przez powiatowego opiekuna zabytków Eckhardta z Boreczna, który jest też zapewne autorem szkicu tego grodziska (ryc. 11). Miało ono znajdować się na północnym brzegu jeziora Kocioł w pobliżu cieku *Buttergraben*, wpadającego do tego jeziora, bezpośrednio przy rozstajach dróg z Karnitek do Mozgowa i do Urowa, na wzgórzu o wys. 106,3 m n.p.m. Hans Crome uznał ten obiekt za grodzisko krzyżackie.²⁵ W trakcie badań powierzchniowych przeprowadzonych przez M. Wielgusa i J. Wysockiego w 1987 roku w miejscu tym znaleziono 2 fragm. ceramiki późnośredniowiecznej

Badania geologiczne: Stanowisko tworzy wzniesienie (106,73 m n.p.m.) około 8 m wysokości w stosunku do poziomu wody w jeziorze (98,3 m n.p.m.). Pagórek jest owalny, jego dłuższa oś jest zgodna z kierunkiem N-S. Opisywana forma jest pagórkiem kemowym, o czym świadczy budowa wewnętrzna, na którą składają się warstwy piasku drobnoziarnistego, przykrytego cienką (0,65 m) warstwą gliny zwałowej. Usytuowanie pagórka kemowego na linii ciągu rynnowo-jeziornego jest typowe dla tych form. W profilu rynien subglacjalnych charakterystyczne są obniżenia, obecnie zajęte przez wody jezior, i wyniesienia,

²⁵ SMPK MVF, sygn. PM-A 1759/1, karta 323 i 327; Crome 1937: 108, 1939: 274; Szczepański 2013: 242-243 (pod nazwą Karnitki).

Ryc. 11. Karnity, gm. Miłomłyn – rysunek domniemanego grodziska wykonany w latach 1930. (SMPK MVF, PM-A 1759/1, k. 323)

Fig. 11. Karnity, community of Miłomłyn – the drawing of the alleged stronghold made in the 1930s (SMPK MVF, PM-A 1759/1, c. 323)

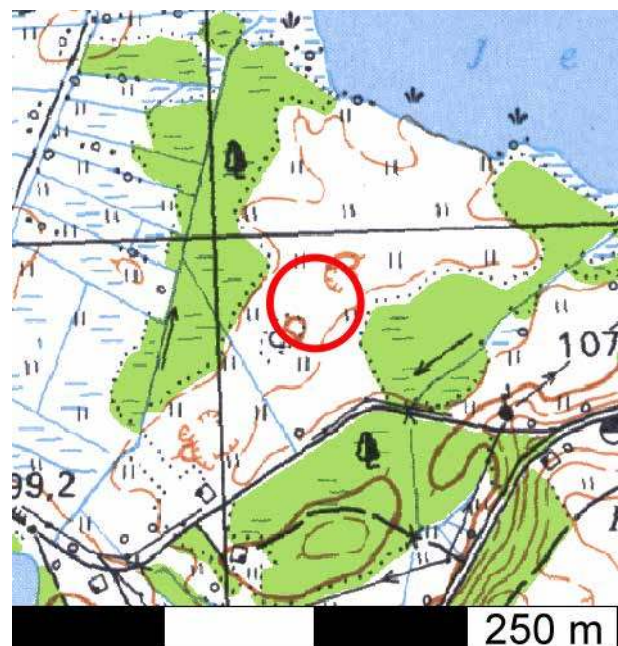


gdzie odbywała się sedymentacja piasków kemowych, między bryłami wytapiających się lodów. Formy kemowe występują obecnie między jeziorami, lub na wyspach. Jest to sytuacja bardzo typowa dla tych okolic. Warstwa gliny zwałowej przykrywająca piaski drobnoziarniste jest efektem spływów gliniastych przy podwyższonych temperaturach powodujących intensywniejsze wytapianie brył martwego lodu. W geomorfologii wzniesienia nie są widoczne ingerencje ludzkie. Forma pagórka o płaskim wierzchołku i stromych stokach jest bardzo typowa dla pagórków kemowych - wręcz klasyczna. W wykonanych wierceniach nie stwierdzono warstw kulturowych ani działań przekształcających morfologię tego miejsca.

Badania archeologiczne: W trakcie badań powierzchniowych przeprowadzonych w ramach realizacji projektu nie odkryto żadnego ruchomego materiału zabytkowego.

32. Ligi, st. 6; AZP 24-54/60

Położenie stanowiska: Na północ od parku pałacowego w Karnitkach i ok 700 m na północny wschód od pałacu, na południe od zachodniej zatoki jeziora Karnickiego; lekkie wyniesienie wśród podmokłych łąk.





Ryc. 12. Ligi, gm. Miłomłyn – badania wykopaliskowe domniemanego grodziska w roku 2016 (fot. K. Rabięga)

Fig. 12. Ligi, community of Miłomłyn – the archaeological excavation of the alleged stronghold in 2016 (photo by K. Rabięga)

Przyczyna podjęcia badań: Stanowisko wpisane do rejestru zabytków jako grodzisko pod numerem: C-138, decyzją z dnia 18.10.1989 r., położone jest na niewielkim piaszczystym wyniesieniu o kształcie elipsoidalnym, ułożonym dłuższą osią po linii W-E. według opisu stanowiska z owego czasu od strony wschodniej rysował się niski wał pierścieniowy i nikły ślad fosy. Wał zamykał płaski majdan. Do budowy wału użyto prawdopodobnie wielkich kamieni, widocznych na koronie wału. Od strony zachodniej wyniesienia widoczny był drugi odcinek nasypu zagięty po linii krawędzi wyniesienia, który mógł być dodatkowym wałem zaporowym. Od strony zachodniej przez zabagniony teren w kierunku wyniesienia ciągnął się odcinek grobli, który również miał być związany z tym założeniem. W trakcie badań w ramach AZP odkryto 1 fragment bardzo zniszczonej ceramiki.

Badania geologiczne: Generalnie płaski teren między jeziorami Kocioł i Karnickim urozmaicają trudno widoczne w morfologii pagórki przekraczające nieznacznie wysokość 100 m n.p.m. Obszar, który objęto rozpoznaniem położony jest na płaskiej równinie, prawdopodobnie zastoiskowej, urozmaiconej niewielkimi, najwyżej do 1 m wysokości względnej, pagórkami. Jeden z tych pagórków, podejrzany o antropogeniczne przekształcenie, został poddany badaniom. Morfologia tego pagórka jest urozmaicona niewielkimi obniżeniami w kształcie rowków - fos(?). Badaniami objęto owe „fosy” i towarzyszące im wzniesienia – „wały”. Przeprowadzone wiercenia pokazują bardzo konsekwentnie podobny charakter budowy geologicznej, na którą od góry składają się piaski drobnoziarniste, mułki ilaste z wytrąceniami węgla wapnia, piaski zailone, średnioziarniste i glina zwałowa

występująca na głębokości 1,50 m. Nie stwierdzono różniących się litologicznie wypełnień domniemanych „fos” czy „wałów”, co sprawiło, że uznano je za formy naturalne, zresztą nie posiadające w swoim kształcie intencjonalnych założeń. Pewną zagadką są osady nawiercone w wierceniu LIG - 3, na głębokości 0,50–0,90 m, na które składają się piaski drobnoziarniste, barwy szarej z ciemnoszarymi koncentrycznymi wytrąceniami, trudnymi do identyfikacji, które w spągu przechodzą w ciemnoszare przewarstwienia, które mogą stanowić specyficznie rozwinięty profil glebowy albo warstwę kulturową (?). Analiza koncentrycznych przebarwień w tych osadach i fakt ich występowania w najwyższej części pagórka, skłania jednak do wniosku, że może to być warstwa przemieszana przez krety. Brak jakichkolwiek artefaktów dodatkowo tą interpretację potwierdza. Zarówno w morfologii, jak i budowie geologicznej badanego stanowiska nie stwierdzono antropogenicznych przekształceń, co pozwala uznać je za naturalną formę.

Badania archeologiczne: W trakcie prac wykopaliskowych przeprowadzonych w ramach realizacji projektu wytyczono trzy wykopy o łącznej powierzchni 80 m². Odkryto ślady osadnicze w postaci warstw kulturowych i zabytków (łącznie 97 fragmenty ceramiki, 32 fragmenty kości, 4 krzemienie, 1 przedmiot żelazny), mieszczące się w dwóch fazach osadniczych (wczesna epoka żelaza i wczesne średniowiecze), jednak w żadnym wykopie nie stwierdzono nasypów ziemnych, ani innych elementów konstrukcyjnych świadczących o istnieniu w tym miejscu grodziska. Wykop 1, o powierzchni 40 m², miał 20 m długości na osi N-S i 2 m szerokości na osi W-E. Wytyczony został w celu uchwycenia domniemanego wału grodzi-

ska. Humus stanowiła gruba przemieszana warstwa, nieustannie wdeptywana i rozkopywana przez bydło. Pod warstwą humusu natrafiono na współczesne ślady osadnictwa w postaci przepalanej warstwy i pozostałości ogniska obłożonego kamieniami. Poniżej znajdowały się horyzontalne gliniaste przemieszane warstwy, w których odkryto kilkadziesiąt fragmentów ceramiki. Warstwy te znajdowały się na naturalnej warstwie jasnożółtego piasku. Wykop 2 (o wymiarach 10 m długości i 2 m szerokości, dłuższą osią zorientowany w kierunku północ-południe) założono 44 m na południe na przedłużeniu osi wykopu 1, na kolejnym podwyższeniu terenu. W tym wykopie nie natrafiono na materiał zabytkowy, a pod grubą warstwą przemieszanego humusu znajdowała się warstwa naturalna złożona z jasnego piasku i żwiru. Wykop 3 o długości 15 m i szerokości 1 m (z poszerzeniem na odcinku 5 m do 2 m szerokości) został wytyczony na północny wschód od wykopu 1. Usytuowany był na wzniesieniu opadającym w kierunku wschodnim. Celem badawczym było uchwycenie ewentualnych konstrukcji wału grodziska. Poniżej krawędzi wzniesienia znajdował się dawny teren zalewowy jeziora, na co wskazują odkryte warstwy zamuliska. W wykopie tym nie stwierdzono warstw kulturowych. Pod grubą warstwą zamuliska znajdowała się naturalna szara glina, a w najwyższym punkcie wyniesienia naturalna łacha piasku. Wyniki badań nie potwierdziły obecności grodziska w tym miejscu (ryc. 12).

33. Liksajny, st. 2; AZP 23-55/16



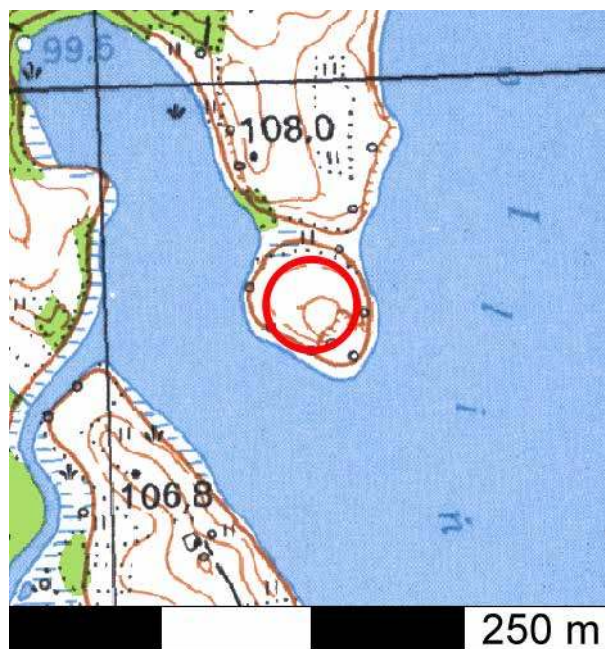
Położenie stanowiska: Na cyplu wchodzącym od południa w południową zatokę jeziora Ruda Woda, ok. 250 m na zachód od wyjścia Kanału Elbląskiego z jeziora w kierunku południowym.

Przyczyna podjęcia badań: Forma terenowa sugerująca obecność grodziska.

Badania geologiczne: Stanowisko położone jest na małym półwyspie występującym w południowej części jeziora Ruda Woda (Dudzkie). W obrębie półwyspu znajduje się pagórek, którego wysokość osiąga 108,6 m n.p.m., co przy wysokości lustra wody w jeziorze na poziomie 99,5 m n.p.m., daje deniwelację o wartości 9,1 m. Położenie oraz morfologia formy, a także jej budowa geologiczna przemawiają za genezą kemową. Zróżnicowane osady, od mułków, poprzez piaski, aż do glin spływowych, świadczą o zróżnicowanej dynamice wytapiania lądolodu. Jednak nie natrafiono tu na osady antropogeniczne - wypełniające domniemane "fosy", czy budujące "wały". W wykonanych sześciu wierceniach nie stwierdzono osadów, które zawierałyby ślady działań ludzkich.

Badania archeologiczne: Szczegółowa penetracja powierzchniowa przeprowadzona w ramach realizacji projektu także nie doprowadziła do odkrycia jakiegokolwiek materiału zabytkowego.

34. Majdany Małe, st. 1; AZP 24-55/57



Położenie stanowiska: Na południowym krańcu cypla wchodzącego od północy w jezioro Ilińskie.

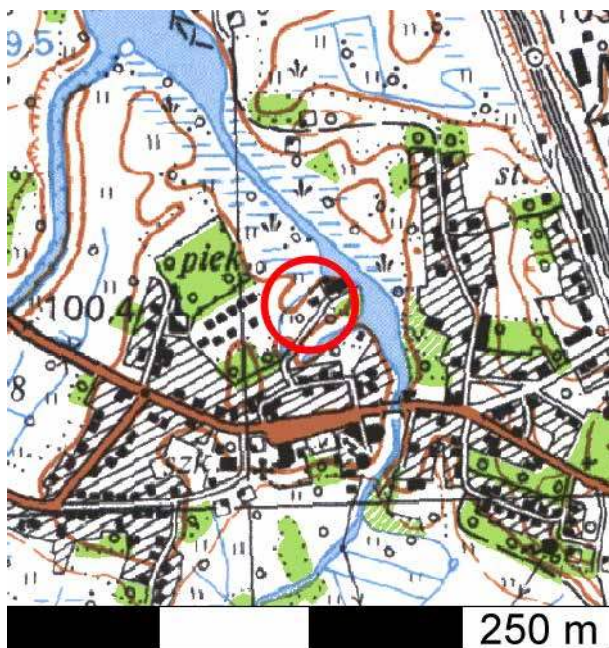
Przyczyna podjęcia badań: Konieczność weryfikacji tezy o istnieniu w tym miejscu grodziska, co sugerowała dokumentacja AZP.

Badania geologiczne: Wysokość pagórka wieńczącego półwysp to 106 m n.p.m., a poziom wody w jeziorze - 99,5 m n.p.m. Badany obszar położony jest na cyplu zorientowanym na południe. Kemowa geneza cypla sięga schyłkowej fazy wytapiania lodów wypełniających rynny subglacjalne. Półwysp jest zróżnicowany morfologicznie, tworząc wzniesiony pagórek na jego końcu, oddzielony obniżeniem od strony lądu, przez to posiadający dobre walory obronne. Morfologia pagórka jest urozmaicona licznymi wkopami, rowami i pagórkami, posiadającymi

jednak dosyć przypadkowy układ, a w paru miejscach charakteryzującymi się reliefem właściwym dla śladów eksploatacyjnych, które można zaobserwować w żwirowni. Przeprowadzone wiercenia wykazały, że najwyższe fragmenty pagórków rzeczywiście zbudowane są ze żwirów przydatnych dla budownictwa, pod którymi nawiercono mułek charakterystyczny dla sedimentacji limnoglacialnej - kemowej. Przykrywające mułki kemowe, żwiry i piaski, są dowodem na szybszy przepływ wód wskutek gwałtownego wytapiania lodów. Najbardziej południowa część półwyspu jest zajęta przez dawną żwirownię, co potwierdzają miejscowi mieszkańcy, a w okresie powojennym miejsce to było wykorzystane do ćwiczeń wojskowych. Cechy morfologiczne oraz budowa geologiczna nie wykluczają wykorzystania tego obszaru w celach osadniczych.

Badania archeologiczne: Szczegółowa penetracja powierzchniowa przeprowadzona w ramach realizacji projektu nie ujawniła śladów fortyfikacji ani żadnych zabytków ruchomych. Należy stwierdzić, że nie było tu grodziska.

35. Miłomłyn, st. 2; AZP 24-55/60



Położenie stanowiska: Cypel (dawniej wyspa) w północnej części starego miasta, przy Kanale Elbląskim.

Przyczyna podjęcia badań: Konieczność weryfikacji tezy o istnieniu w tym miejscu grodziska, co sugerowała dokumentacja AZP.

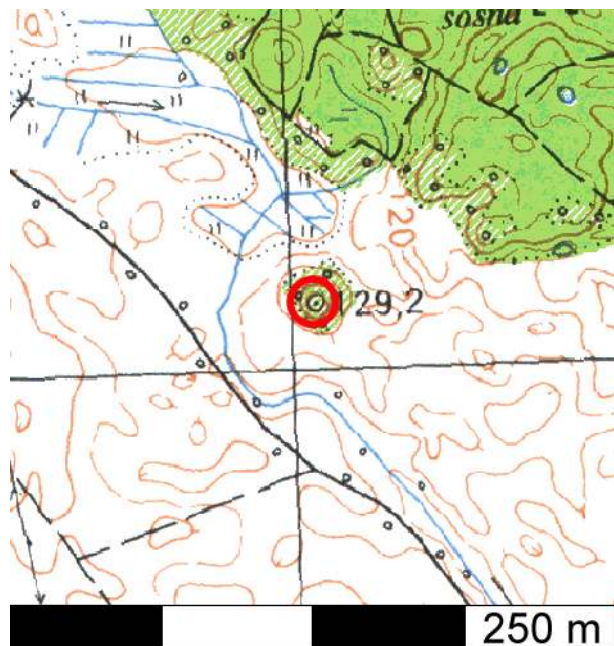
Badania geologiczne: Wiercenie MIŁ 2/1 wykonano na niewielkim, wolnym od budynków i dróg obszarze. W wierceniu stwierdzono warstwę 0,8 m miąższości, na którą składa się piasek średnioziarnisty z dużym udziałem humusu (brak spalenizny). Zmieniona ręką ludzką sytuacja geomorfologiczna nie pozwala usytuować tu obiektu archeologicznego. W blisko położonym wierceniu MIŁ 2/2 stwierdzone piaski różnoziarniste ze żwirem są efektem współczesnych prac budowlanych. O możliwej obecności

obiektu archeologicznego świadczy jedynie wspomniana warstwa 0,8 m miąższości, na którą składa się piasek średnioziarnisty z dużym udziałem humusu, przy braku spalenizny. Nie stwierdzono tu jednak żadnych artefaktów. W morfologii bardzo zmienionej wskutek współczesnego zasiedlania terenu nie stwierdzono śladów wałów ani fos.

Badania archeologiczne: Przed rozpoczęciem prac wykopaliskowych w ramach realizacji projektu przeprowadzono badania geofizyczne²⁶. Objęto nimi teren boiska i częściowo stanowiska. Nie stwierdzono tam anomalii mogących świadczyć o istnieniu zabudowy. Na powierzchni stanowiska i w warstwie podhumusowej znaleziono pojedyncze, drobne fragmenty ceramiki późnośredniowiecznej i nowożytnej. Badaniami wykopaliskowymi objęto dostępny teren w północnej części cypla i jego podnóże, zakładając trzy wykopy badawcze: wykop A – na osi W-E, o wym. 2 x 24 m; w wykopie uchwyciono część niewielkiej, płytkiej jamy wypełnionej materiałem nowożytnym (gwoździe, fragmenty polepy i węgla); wykop B – na osi N-S, o wym. 2 x 12 m; w północnej części wykopu stwierdzono płytko posadowiony kamienny fundament budynku, niewątpliwie XX-wiecznego; wykop C – na osi N-S, o wym. 2 x 22 m; w południowej części wykopu uchwyciono zarys nowożytnej konstrukcji i dół, w którym składowano glinę. Prace wykopaliskowe pozwoliły stwierdzić, że grodzisko na tym terenie nie istniało. Nieliczny materiał ceramiczny wskazuje, że stanowisko nie było regularnie zasiedlone przed początkiem XX w.

Gmina Małdyty

36. Kielkuty, st. 2 (Svantegora); AZP 21-55/11



²⁶ Buszek 2013.

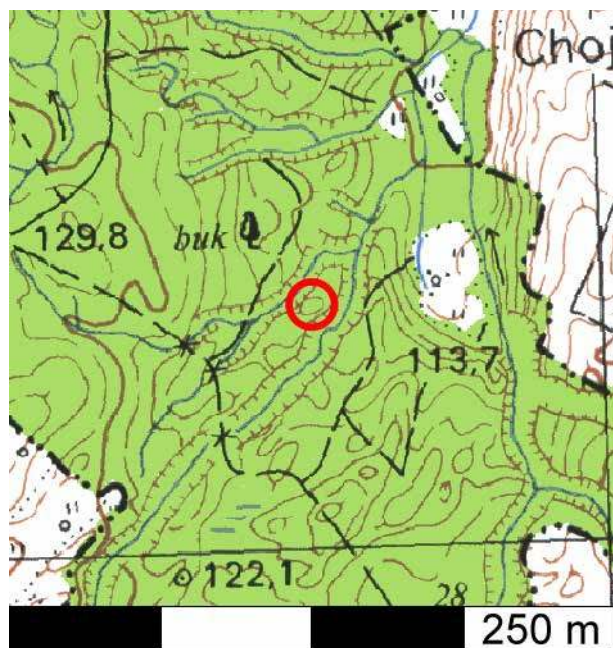
Położenie stanowiska: Obiekt znajduje się ok. 500 m na północny zachód od pałacu w Dobrocinie, ok. 100 m na wschód od drogi Dobrocin – Kiełkuty.

Przyczyna podjęcia badań: Nazwa miejscowa występująca na archiwalnych mapach - *Svantegora*.

Badania geologiczne: Jest to odizolowane wzgórze o powierzchni 1 ha, porośnięte lasem, które wyraźnie dominuje w otoczeniu, z najwyższym punktem na wys. 129,24 m n.p.m. W tych okolicach podobnych pagórków jest więcej, ale żaden z nich nie jest tak dobrze izolowany. Na stanowisku w ramach realizacji projektu wykonano pięć wierceń, które posłużyły do wykonania przekroju geologicznego o orientacji N-S. W profilach otworów wiertniczych stwierdzono glinę zwałową ze zlodowacenia Wisły i piaski gliniaste. W przypowierzchniowej warstwie osadów glina jest przekształcona przez procesy wietrzeńcowe w tzw. eluwiu gliny zwałowej. W żadnym wierceniu nie stwierdzono osadów przekształconych przez człowieka. W wyniku badań geologicznych nie wykryto dowodów na zasiedlenia pagórka.

Badania archeologiczne: Wzgórze jest obecnie zalesiony młodnikiem, co uniemożliwiło efektywne badania powierzchniowe, jednak forma nie wskazuje na istnienie tu jakichkolwiek fortyfikacji ziemnych.

37. Zduny, st. 1; AZP 20-54/12



Położenie stanowiska: Ok. 2 km na północny zachód od Chojnika, ok. 1 km na północny wschód od miejscowości Zduny, w lesie na zachodniej krawędzi doliny rzeki.

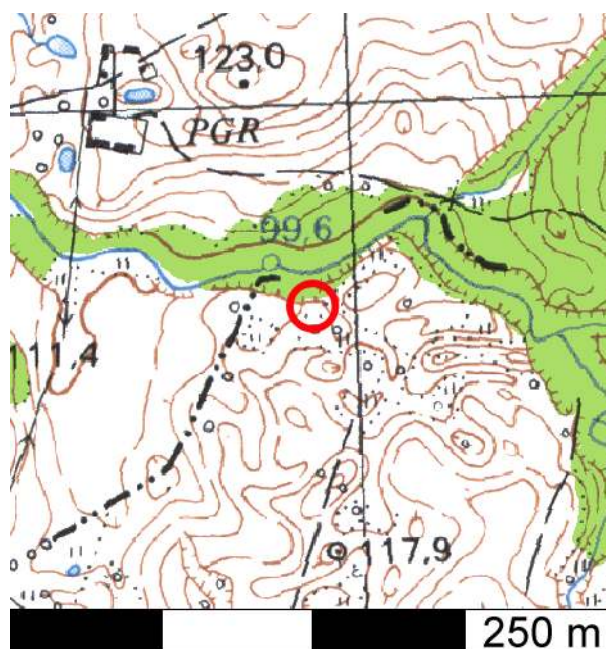
Przyczyna podjęcia badań: Informacja z badań powierzchniowych prowadzonych w ramach AZP w roku 1987 na temat istnienia grodziska cypelowego kultury pruskiej (?) z wczesnego średniowiecza (?)²⁷.

²⁷ Pawłowski 1990: 69; Jagodziński 1997: 167.

Badania archeologiczne: W wyniku powierzchniowych badań weryfikacyjnych prowadzonych w ramach realizacji projektu wykluczono istnienie grodziska w miejscu wskazanym na mapie i karcie AZP. Zaznaczone tam formy terenowe są tworem naturalnymi powstałymi na skutek erozji powierzchniowej gliniastych wysoczyzn, w wyniku czego utworzone zostały głębokie jary o stromych zboczach ograniczające ostańce wysoczyznowe w formie cypli płaskowyżów wchodzących w doliny strumieni. Nie znaleziono śladów fortyfikacji ani innych pozostałości antropogenicznych poza drogami, nie odkryto także żadnych ruchomych materiałów zabytkowych.

Gmina Morąg

38. Chojnik, st. 4; AZP 19-54/7



Położenie stanowiska: Cypel wysoczyzny wysunięty od południa w dolinę rzeki Sali, ok. 2 km na północ od Chojnika i ok. 700 m na wschód od folwarku Tulno.

Przyczyna podjęcia badań: Informacja o istnieniu grodziska z dawnej literatury²⁸ oraz z badań powierzchniowych (pod nazwą Tulno, gm. Paśtek, st. 3) prowadzonych w ramach AZP w roku 1987 przez A.J. Pawłowskiego: „relikt grodu założonego w dolinie rzeki Sała na jej lewym brzegu. Ma on kształt prostokąta z zaokrąglonymi narożnikami o długości około 35 m i szerokości ok. 20 m. Ślady po umocnieniach nie zachowały się, jedynie od południa znajduje się niewielkie obniżenie terenu o szerokości ok. 8 m, które może sugerować istnienie w tym miejscu fosy. W trakcie badań powierzchniowych nie znaleziono materiału archeologicznego”²⁹.

²⁸ Hollack 1908: 162; Crome 1937: 110.

²⁹ Jagodziński 1997: 145-146.

Badania geologiczne: Obiekt zajmuje wystający cypl wysoczyzny ukształtowany przez erozję związaną z doliną rzeki, która płynie w tym miejscu na wysokości 99,6 m n.p.m. W stanowisku wykonano sześć wierceń geologicznych, na podstawie których sporządzono przekrój o przebiegu WSW-ENE. Wśród rozpoznanych osadów występują głównie mułki, piaski, gliny i żwiry. Powszechne występowanie mułków we wszystkich wierceniach, często razem z piaskiem może wskazywać na kemowe pochodzenie tej formy. Występujące pod tymi osadami gliny zwałowe zapewne pochodzą ze zlodowacenia Wisły. W żadnym z wykonanych wierceń nie stwierdzono dowodów działalności człowieka.

Badania archeologiczne: W trakcie badań powierzchniowych prowadzonych w ramach realizacji projektu nie natrafiono na żaden ruchomy materiał zabytkowy. Wyniki badań geologicznych i powierzchniowych nakazują stwierdzić, że obiekt nie jest grodziskiem.

39. Dury, st. 2 - „Lisia Góra”; AZP 21-56/58



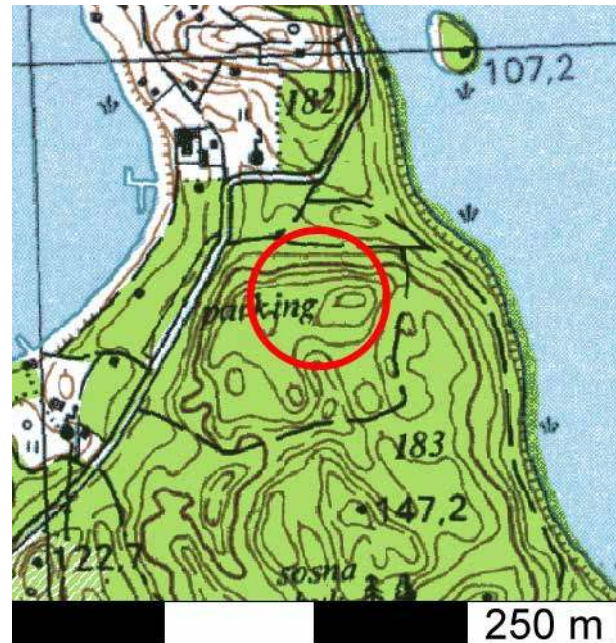
Położenie stanowiska: W lesie ok. 500 m na północ od południowej granicy cmentarza komunalnego w Durach, 50 m na zachód od drogi leśnej biegnącej od granicy cmentarza w kierunku północnym.

Przyczyna podjęcia badań: Szczególna forma terenu sugerująca możliwość istnienia grodziska.

Badania archeologiczne: Obiekt jest wyniesieniem o ekspozycji okrężnej zlokalizowanym na wale wysoczyznowym, znajdującym się między dwoma rynnowymi obniżeniami terenu. Pagórek wyniesiony ponad otaczający go teren na ok. 5 metrów, na szczycie ma zakłębienie otoczone niskim wałem pierścieniowym. W ramach realizacji projektu założono dwa wykopy, na wale oraz wewnątrz zakłębienia. W obu wykopach odkryto naturalny układ warstw obejmujący jedynie humus i calec,

przy czym calec był zróżnicowany, miejscami tworzyła go glina, a miejscami piasek lekko zgliniony, drobnoziarnisty. Okazało się, że „wał”, powstał w wyniku działalności zwierząt kopiących nory (lisy lub borsuki). W trakcie prac nie odkryto żadnego materiału kulturowego. Obiekt należy uznać za naturalny, bez komponentu antropogenicznego.

40. Kretowiny, st. 4; AZP 21-57/8



Położenie stanowiska: Na zboczu wybitnego cypla wysoczyzny wchodzącego od południa w basen jeziora Narie, na północno zachodnim zboczu wysoczyzny.

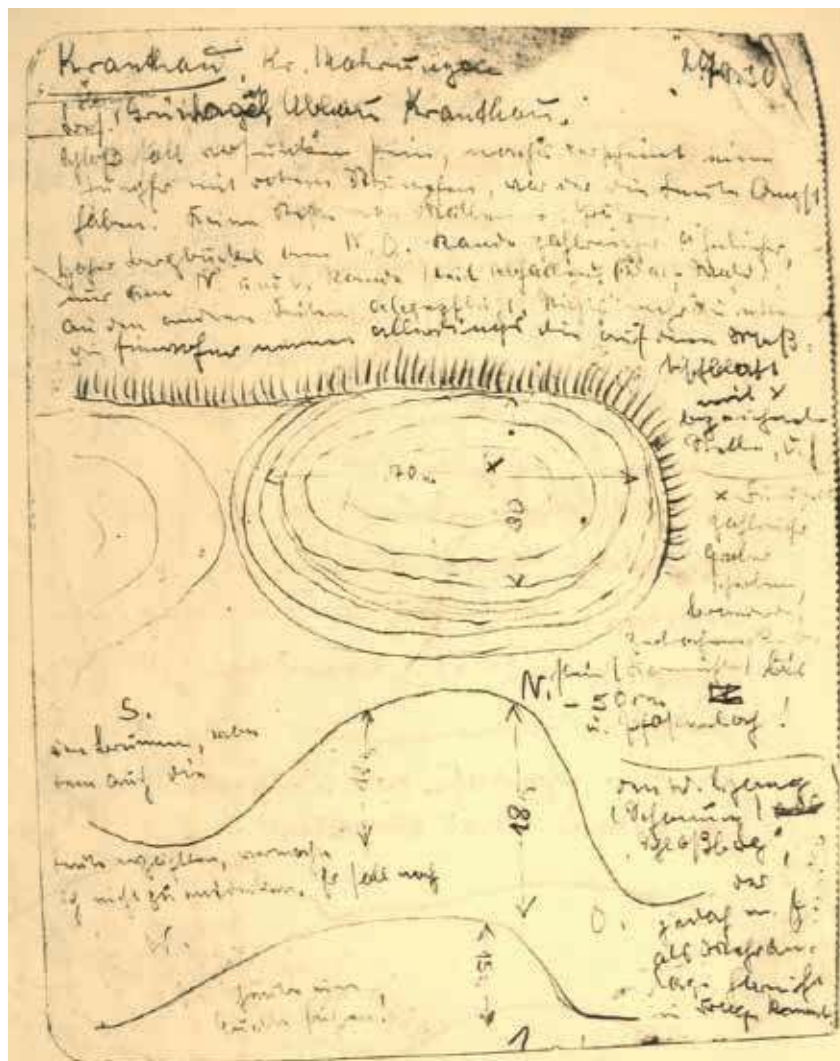
Przyczyna podjęcia badań: Próba zlokalizowania grodziska znanego z dawniejszej literatury i badań wykopaliskowych z początku XX wieku. W roku 1930 badania sondażowe przeprowadził na terenie tego grodziska C. Engel, a w roku 1935 badania wykopaliskowe przeprowadzili W. Gronau i E. Schmadtke. Zgodnie z informacjami pochodzącymi z tych badań majdan grodziska, o wymiarach 40 x 60 m, otoczony był drewniano-ziemnym wałem i dwiema suchymi fosami, znajdującymi się na stokach wzniesienia. W trakcie badań przedwojennych odkryto trzy domostwa słupowe, usytuowane równolegle do wału. Znalaziono wówczas zabytki z wczesnej epoki żelaza: ceramikę z wczesnej epoki żelaza, żelazny sierp i glinianą łyżkę (ryc. 13-16)³⁰.

Badania geologiczne: Obiekt położony jest na półwyspie w południowej części jeziora Narie. Stanowi strome wzgórze, o wysokości ponad 145 m n.p.m., co przy poziomie wody w jeziorze - 104,6 m n.p.m. daje 40 m deniwelacje. Wzgórze w części wschodniej urozmaica dodatko-

³⁰ M.in. Agde 1936: 8; Schmadtke 1936: 239-244, ryc. 1-5; Crome 1939: 279; Antoniewicz 1964: 130-133, tabl. 32; Ł. Okulicz 1970: 177; J. Okulicz 1973: 266 i ryc. 115 s. 268; Hoffmann 1999a: 79, tabl. 89: 139, 2000: 52.

Ryc. 13. Kretowiny, gm. Morąg
– szkic i krótki opis grodziska wykonany przez C. Engla w 1930 r. (SMPK MVF, PM-A 1862/1)

Fig. 13. Kretowiny, community of Morąg – sketch and short description of the stronghold made by C. Engel in 1930 (SMPK MVF, PM-A 1862/1)



wo zaznaczający się dobrze w morfologii pagórek, który był przedmiotem badań. Graniasty kształt tego pagórka ma charakter naturalny, niezaburzony żadnymi ingerencjami ludzkimi, co potwierdza również zobrazenie ALS. W stanowisku wykonano sześć wierceń, na podstawie których sporządzono przekrój o przebiegu W–E. Pagórek w Kretowinach zbudowany jest w strefie przypowierzchniowej z piasku drobnoziarnistego o zabarwieniu szarym lub ciemno-szarym do głębokości 0,7 m. Niżej występuje warstwa piasków średnioziarnistych z ostrokrawędzistym zwiernem lub piasków różnoziarnistych, osiagająca niekiedy 1,0 m miąższości, pod którymi nawiercono piaski drobnoziarniste, miejscami z mułkiem, typowy osad kemowy. Ciekawostką profilu występujących tu osadów jest ich ciemne zabarwienie, występujące powszechnie do głębokości 0,7 m. Ciemna barwa piasków pochodzi niewątpliwie od dużej zawartości drobnych szczątków materii organicznej lub związków humusowych. Jednak brak jakichkolwiek śladów działań człowieka, czy to w postaci artefaktów, czy zmian w morfologii. Domniemane grodzisko położone jest w gęstym bukowym lesie, który produkuje corocznie znaczne ilości rozkładającej się substancji organicznej. Las ów rośnie na osadach piaszczy-

stych, które świetnie przepuszczają wodę. Rozdrobniona organika może być zatem bardzo łatwo transportowana w głąb gleby, co tłumaczy ciemne zabarwienia piasków.

Badania archeologiczne: W ramach realizacji projektu podjęto próbę zlokalizowania znanego z literatury grodziska z wczesnej epoki żelaza. Ponieważ północna krawędź aktualnie kończy się niemal pionową skarpą, założono wykopy sondażowe wzdłuż krawędzi tej skarpy na długości 50 metrów, oraz wykop sondażowy prostopadły do poprzedniego, biegnący w głąb wysoczyzny. W żadnym z wykopów nie odkryto nawet najmniejszych śladów osadnictwa starożytnego czy średniowiecznego. Odkryto jedynie dość liczne ślady działalności „turystów” na przestrzeni minionego 50-lecia. Cały teren wysoczyzny jest aktualnie zalesiony około 60-letnim lasem, a krawędź wysoczyzny miejscami nieco młodszym (ok. 30 letnim). Ten zupełny brak jakiegokolwiek materiału zabytkowego, wobec udokumentowanych przez badaczy niemieckich wyraźnych struktur osadniczych, skłonił do ponownej analizy badanego terenu. Północna krawędź wysoczyzny aktualnie kończy się niemal pionową skarpą, biegnącą niemal w linii prostej. Poniżej skarpy biegnie droga, a za drogą znajduje się zupełnie płaski teren, na którym aktualnie urządzany



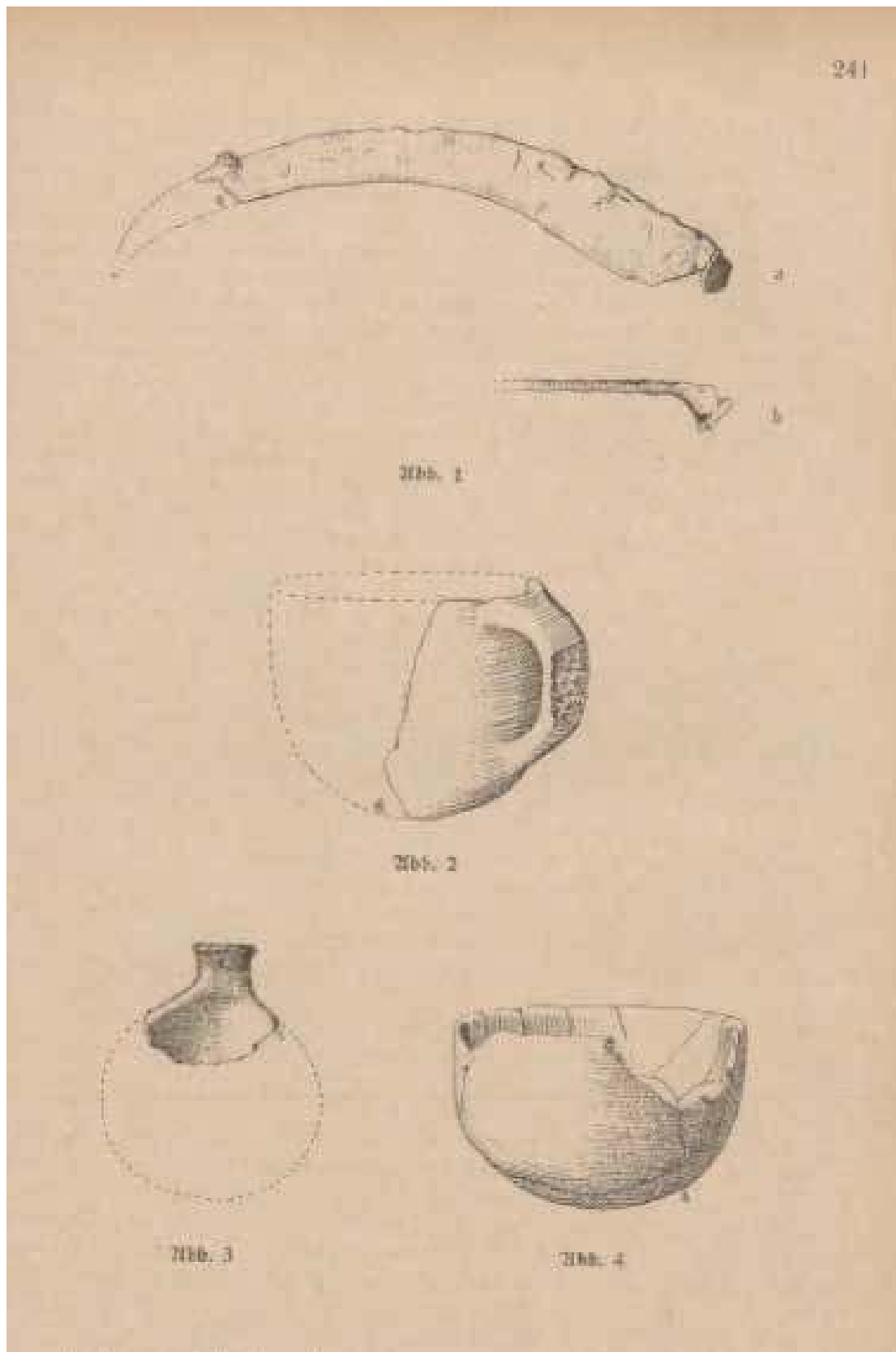
Ryc. 14. Kretowiny, gm. Morąg – fotografie wykonane w czasie wykopalisk w 1935 r. (SMPK MVF, PM-A 1862/1, k. 358)

Fig. 14. Kretowiny, community of Morąg – photographs made during the excavation in 1935 (SMPK MVF, PM-A 1862/1, k. 358)



Ryc. 15. Kretowiny, gm. Morąg – fotografia wykonana w czasie wykopalisk w 1935 r. (SMPK MVF, PM-A 1862/1, k. 356)

Fig. 15. Kretowiny, community of Morąg – photograph made during the excavation in 1935 (SMPK MVF, PM-A 1862/1, k. 356)

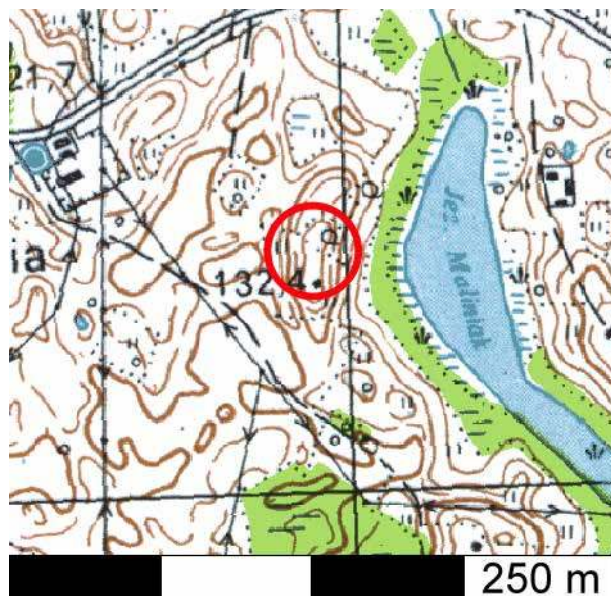


Ryc. 16. Kretowiny – znaleziska archeologiczne z terenu grodziska (wg E. Schmadtkego 1936)

Fig. 16. Kretowiny, community of Morąg – finds from the stronghold (according to E. Schmadtke 1936)

jest parking. Za tym parkingiem w kierunku północnym, teren nadal zalesiony, jest już niższy i posiada w miarę naturalną falistą rzeźbę. Zachodzi zatem podejrzenie, że na północno-zachodnim krańcu cypla mogła znajdować się plaśnica, z której eksploatowano kruszywo na okoliczne potrzeby budowlane i w ten sposób do końca lat 60. XX wieku mogło zniknąć poszukiwane przez nas stanowisko archeologiczne. Należy przyjąć, że stanowisko badane przez archeologów niemieckich obecnie nie istnieje.

41. Kruszewnia, st. 11; AZP 21-56/35



Położenie stanowiska: Stanowisko znajduje się na wschód od Morąga, ok. 300 m na południe od drogi Morąg – Bogaczewo. Znajduje się ono na wybitnym cyplu wysoczyzny ograniczonym od zachodu obniżeniem z mokradłem, a od wschodu niecką zarastającego jeziora śródleśnego Kalinek.

Przyczyna podjęcia badań: Stanowisko wpisane jest do rejestru zabytków jako grodzisko (nr rej. zab. C-137) na podstawie wcześniejszych badań AZP. W 1989 r. uznano, że usytuowane zostało ono na naturalnej formie polodowcowej. Naturalną obronność obiektu tworzyć miały duże spadki terenu. Od strony północnej teren miał być odcięty wałem.

Badania geologiczne: Stanowisko tworzy podłużne wzgórze o przebiegu osi dłuższej N-S. Maksymalna wysokość pagórka osiąga ponad 132,5 m n.p.m. Położone na E od pagórka jezioro Maliniak ma poziom wody na wysokości 112,9 m n.p.m., co daje około 20 m deniwelacji terenu. Długość pagórka nie przekracza 300 m, a szerokość 100 m. W północnej części pagórka występuje system płytkich wkopów, krzyżujących się ze sobą, które są najprawdopodobniej systemem okopów z czasów II wojny. Widoczne w S części pagórka leje po pociskach lub bombach potwierdzają wojenne dzieje odcisnięte w morfologii tej formy. W stanowisku wykonano osiem

wierceń geologicznych, na podstawie których sporządzono przekrój geologiczny A-B o przebiegu N-S, zgodnym z dłuższą osią pagórka. Południową część pagórka budują gliny zwałowe z cienkimi przewarstwieniami piaszczystymi, które są charakterystyczne dla gliny zwałowej zlodowacenia Wisły, stwierdzonej w tej okolicy. W warstwie gleby występują tu węgle drzewne. W części północnej pagórka stwierdzono piasek średnio- i drobnoziarnisty, leżący na glinie lodowcowej, który był kiedyś eksploatowany. Okopy były kopane w piaskach i miały pierwotnie głębokość do 1,7 m. Obecnie posiadają one wypełnienie gliniaste. W otoczeniu okopów odnotowano licznie występujące łuski karabinowe z okresu II wojny światowej, co potwierdza tezę o pochodzeniu tych form.

Badania archeologiczne: W trakcie prac wykopaliskowych w ramach realizacji projektu otworzono jeden wykop o powierzchni 22 m². Nie uzyskano pozwolenia od właściciela gruntu na przeprowadzenie badań na polu, na którym miał znajdować się potencjalny majdan grodziska. Wykop (11 m długości i 2 m szerokości) założono w północnej części stanowiska, w taki sposób, by przecinał cały potencjalny wał oraz domniemane zagłębienie przywałowe. W obrębie wykopu rozpoznano strukturę nawarstwień wału o wysokości do 40 cm. Nie znaleziono w jego wnętrzu żadnych śladów konstrukcji kamiennej bądź spalonych konstrukcji drewnianych. W trakcie prac nie odkryto żadnego fragmentu ceramiki. Zbadana konstrukcja ziemna jest pozostałością tranzei. Na podstawie odkrytych w trakcie badań geologicznych łusek karabinowych można datować stanowisko na okres I lub II wojny światowej. Nie jest ono grodziskiem i powinno zostać wykreślone z rejestru zabytków.

42. Plebania-Wólka, st. 1; nie uwzględniono w AZP (obszar 20-56)



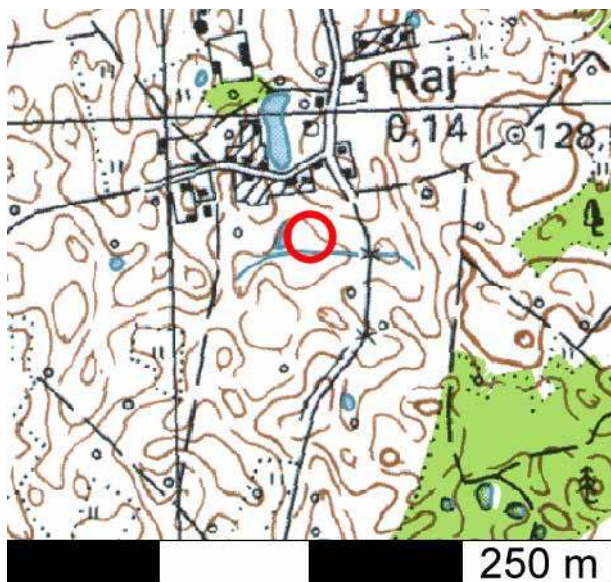
Położenie stanowiska: Stanowisko znajduje się około 750 metrów na wschód od dawnego folwarku Plebania Wólka, ok. 70 metrów na południe od polnej drogi biegnącej przez las od Plebanii-Wólki do miejscowości Malinnik.

Przyczyna podjęcia badań: W archiwum dawnego Prussia Museum z Królewca znajduje się szkic i krótki opis domniemanego grodziska, sporządzony przez Carla Engla 20 września 1930 r. (ryc. 17).³¹

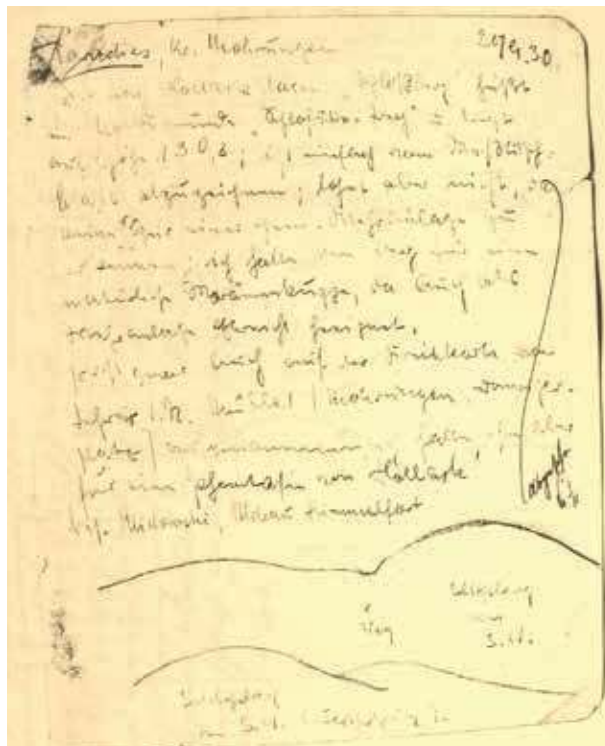
Badania geologiczne: Domniemane grodzisko jest owalnym wzniesieniem z najwyższym punktem 137,7 m n.p.m., które wznosi się na około 15 m w stosunku do otaczającego terenu. W stanowisku wykonano cztery wiercenia, które miały na celu udokumentowanie sytuacji geologicznej i ewentualny wpływ człowieka na wygląd formy i jej wykorzystanie dla celów osadniczych. Wiercenia dokumentują budowę geologiczną pagórka, w którym dominującym osadem jest glina zwałowa. Nie stwierdzono form morfologicznych i osadów ukształtowanych przez człowieka.

Badania archeologiczne: Szczegółowe badania powierzchniowe przeprowadzone w ramach realizacji projektu ujawniły, że teren wskazany jako miejsce grodziska został w niedalekiej przeszłości (ok. 30-40 lat) zniszczony przez eksploatację kruszywa. Pagórek został w wyniku tego obniżony co najmniej o 3 metry. Na powierzchni terenu właściwie nie ma humusu. Teren porośnięty jest ok. 20-letnim młodnikiem lasu mieszanego. Jeżeli znajdowało się tu grodzisko, to zostało całkowicie zniszczone na skutek prowadzonych prac ziemnych.

43. Raj, st. 1 – obszar AZP 22-56/1 (dotychczas nie badany)



Położenie stanowiska: Stanowisko powinno znajdować się ok. 500 m na południe od niwy siedliskowej wsi na wyraźnym wyniesieniu o ekspozycji okrężnej.



Ryc. 18. Raj, gm. Morąg – szkic i krótki opis domniemanego grodziska wykonany przez C. Engla w 1930 r. (SMPK MVF, PM-A 1209/1, k. 28)

Fig. 18. Raj, community of Morąg – sketch and short description of the alleged stronghold made by C. Engel in 1930 (SMPK MVF, PM-A 1209/1, k. 28)

Przyczyna podjęcia badań: W archiwum dawnego Prussia Museum z Królewca znajduje się szkic „Góry Zamkowej” w okolicy wsi Raj (*Paradies*), sporządzony przez Carla Engla 20 września 1930 r. (ryc. 18). Zgodnie z tym szkicem stanowisko miało wymiary 30 x 70 m i wysokość od 12 do 18 m.³²

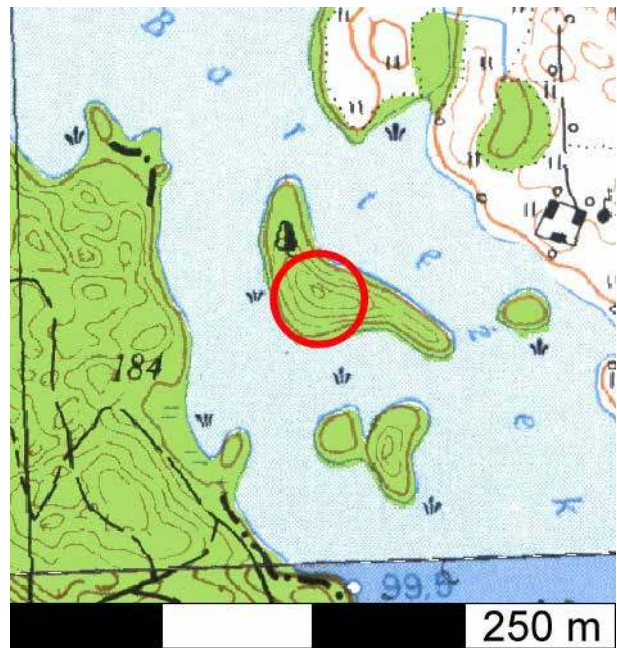
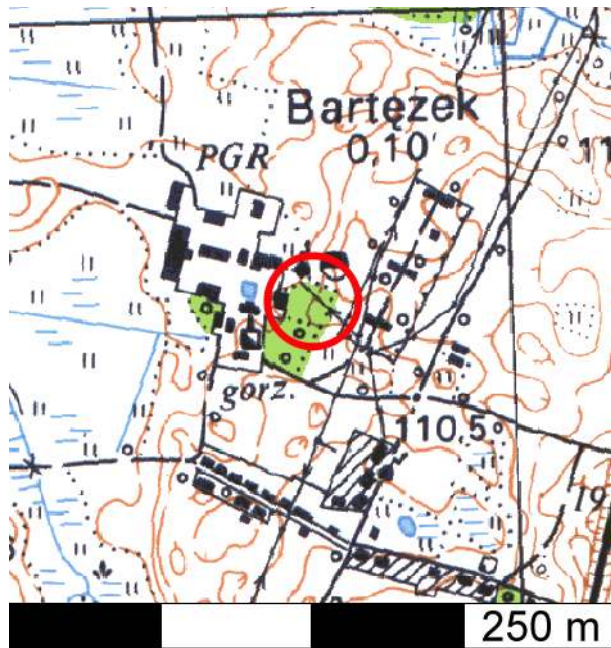
Badania archeologiczne: Szczegółowe penetracje powierzchniowe przeprowadzone w ramach realizacji projektu nie ujawniły żadnych śladów grodziska. W opisanej wyżej lokalizacji znajduje się wyraźny garb morenowy o dość dużym przewyższeniu, który jest użytkowany rolniczo, w związku z czym warunki obserwacji powierzchniowej były bardzo dobre. Na powierzchni nie znaleziono żadnych zabytków ruchomych, nie zaobserwowano też żadnych śladów fortyfikacji. Grodzisko, jeżeli znajdowało się na tym wyniesieniu, zostało całkowicie zniszczone.

44. Słonecznik, st. 17; AZP 23-55/25 [majątek Bartężek]

Położenie stanowiska: Kopiec z piwnicą znajduje się w obrębie zespołu dworsko parkowego Bartężek w pozostałościach parku około 30 metrów na wschód od budynku dawnego dworu.

³¹ sygn. PM-A 1165/1; Crome 1940: 97.

³² PM-A 1209/1; Hollack 1908: 110; Crome 1940: 93.



Przyczyna podjęcia badań: Sugestia zawarta w karcie AZP, że kopiec z piwnicą może być pozostałością pierwotnej lokalizacji obiektu rezydencjonalnego (dwór na kopcu).

Badania geologiczne: Wysokość względna obiektu, łącznie z występującą tu piwnicą, wynosi około 3 m. Obiekt położony jest w dawnym parku, w którym usytuowano piwnicę zbudowaną z cegieł obłożonych piaskiem. Piwnica tworzy charakterystyczny pagórek i nie jest efektem działań w starożytności czy w średniowieczu, dlatego celem rozpoznania był obszar wokół piwnicy. Wzdłuż wytypowanego przekroju geologicznego wykonano pięć wierceń, które miały na celu stwierdzenie elementów obronnych ewentualnego grodziska, które mogło tu być wcześniej. W wyniku wierceń, stwierdzono konsekwentnie leżące osady piaszczyste i piaszczysto-gliniaste leżące na glinie zwałowej. W żadnym z wierceń nie udało się udokumentować osadów wypełniających fosy czy budujące wały obronne. Zachowana piwnica pochodzi z czasów nowożytnych. Budowniczości piwnicy wykorzystali przykrywającą glinę zwałową piaski jako warstwę obłożeniową piwnicy, stąd obecne krawędzie w otoczeniu obiektu, pochodzące z eksploatacji najbliższych położonych piasków. Nie mają one jednak nic wspólnego z systemem obronnym ewentualnego grodziska. Wyniki badań geologicznych oraz szczegółowe oględziny piwnicy wykluczają możliwość istnienia tu wcześniejszej siedziby rycerskiej. Obiekt nie jest pozostałością gródka stożkowego, lecz XIX-wieczną lodownią, zlokalizowaną w parku w pobliżu dworu.

45. Wenecja - Wyspa Zamkowa; nie uwzględniono w AZP (obszar 23-55)

Położenie stanowiska: Wyspa na jeziorze Bartezek przy jego zachodnim brzegu, na wysokości miejscowości

Słonecznik, o kształcie półksiężyca, z ramionami skierowanymi ku południowi.

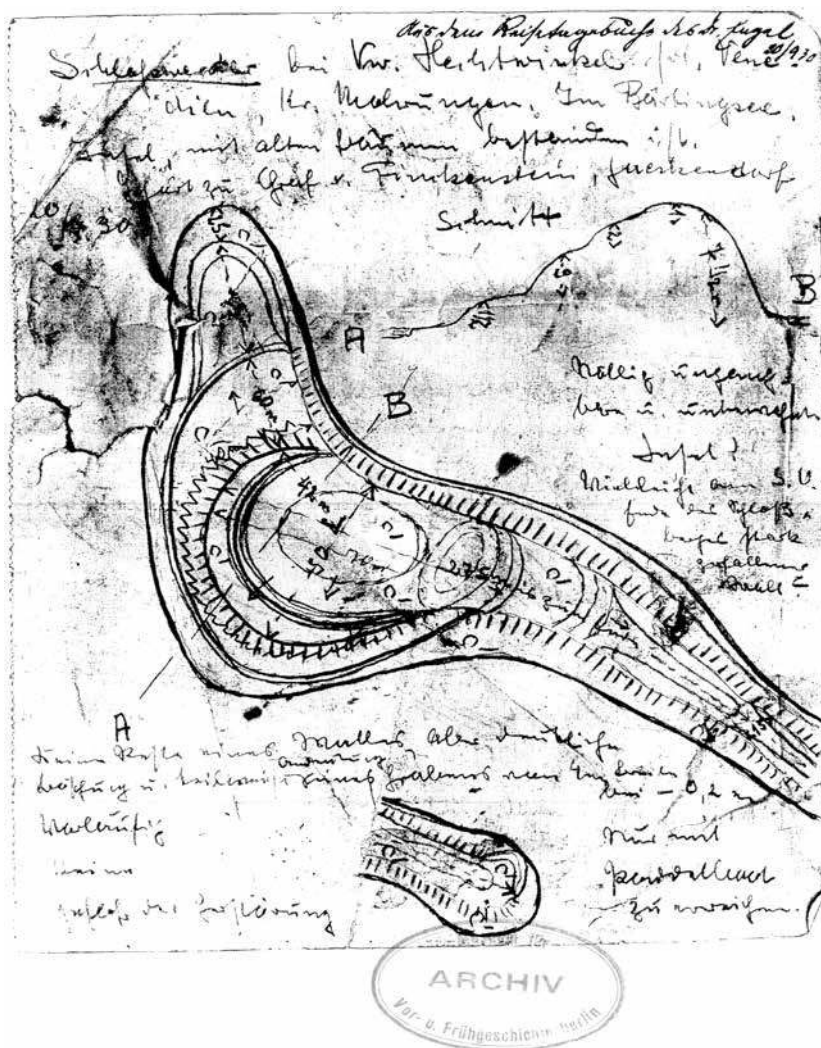
Przyczyna podjęcia badań: W latach 1826-1828, podczas inwentaryzacji miejsc obronnych, porucznik J.M. Guise wspominał o grodzisku (*Schlossberg*) i wale na wyspie (*Schlossewerder*) położonej na jeziorze Bartezek, rysując także szkic tego założenia. W archiwum dawnego Prussia Museum w Królewcu znajduje się ponadto informacja Bruno Eckhardta – nauczyciela z Boreczna – z dnia 25 lipca 1926 r. na temat grodziska na wyspie Zamkowy Ostrów oraz szkic i opis tego grodziska, autorstwa Carla Engla z 20 września 1930 r. (ryc. 19). Majdan grodziska miał mieć wymiary 42 x 50 m. Hans Crome uznał grodzisko za staropruskie. W dniu 15 listopada 1930 r. grodzisko wpisane zostało na listę zabytków wczesnohistorycznych³³

Badania geologiczne: Stanowisko położone jest na największej z wysp (o powierzchni 3,6 ha) w północnej części jeziora Bartezek. Morfologia wyspy jest urozmaicona, różnica wysokości między poziomem wody w jeziorze (99,5 m n.p.m.) a najwyższym punktem wyspy (110,5 m n.p.m.) wynosi 11 m. Wyspa ma wydłużony kształt, a jej środkiem przebiega wał o żywej rzeźbie i niesymetrycznych zboczach. Zbocze północno-wschodnie nosi ślady erozji brzegowej pochodzącej z okresu wyższego poziomu wody w jeziorze. Zbocze północno-zachodnie jest szersze i ma bardziej złożony charakter. W południowym, bardzo wąskim fragmencie wyspy wał środkowy jest bardzo ostro zaznaczony. W stanowisku wykonano osiem sondowań geologicznych wzdłuż grzbietu pagórka tworzącego badaną wyspę. W wierceniach stwierdzono szeroki wachlarz osadów od piasków, poprzez gliny do

³³ Guise Zettel PM IXh 00050a; SMPK MVF, sygn. PM-A 119/1; Crome 1937: 108, 1938: 199; Szczepański 2013: 236-237.

Ryc. 19. Wenecja, gm. Morąg – Wyspa Zamkowa – szkic i krótki opis domniemanego grodziska wykonany przez C. Engla w 1930 r. (SMPK MVF, PM-A 119/1, k. 113)

Fig. 19. Wenecja, community of Morąg – the „Castle Island” – sketch and short description of the alleged stronghold made by C. Engel in 1930 (SMPK MVF, PM-A 119/1, c. 113)

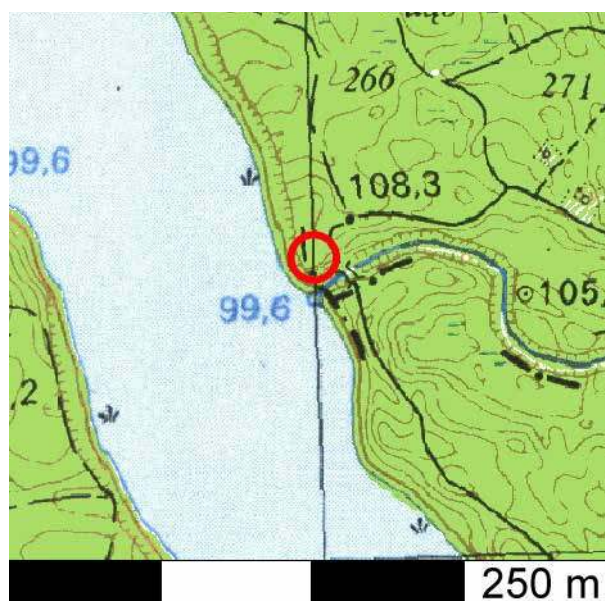


mułków. Na podstawie tak bardzo charakterystycznego wydłużonego kształtu wyspy, można jej genezę wiązać z formą ozową, lub formą szczelinową, które miały prawo powstać w obrębie rynny subglacialnej zajętej później przez jezioro Bartężek. W żadnym z wykonanych wierceń nie stwierdzono osadów powstałych przy udziale człowieka. Morfologia wyspy również nie nosi śladów ingerencji ludzkiej.

46. Wenecja, st. 1; AZP 22-55/1

Położenie stanowiska: Stanowisko położone jest na wschodnim brzegu jeziora Ruda Woda, tuż przy ujściu kanału odprowadzającego wody z jeziora Bartężek do jeziora Ruda Woda, obok po zachodniej stronie drogi, która prowadzi przez las, most na kanale, ze wsi Wenecja do wsi Winiec.

Przyczyna podjęcia badań: Obiekt wpisany do rejestru zabytków jako gródek średniowieczny pod nr C-043, decyzją z dnia 14.02.1989; nazwa miejscowa: „Zamek”. Badania powierzchniowe prowadzono tu już przed 1945 r., następnie badania powierzchniowe prowadzone tu były w różnych czasach m.in. przez r. Odoja i M. Haftkę w latach 1960. Uznano wówczas obiekt za strażnicę

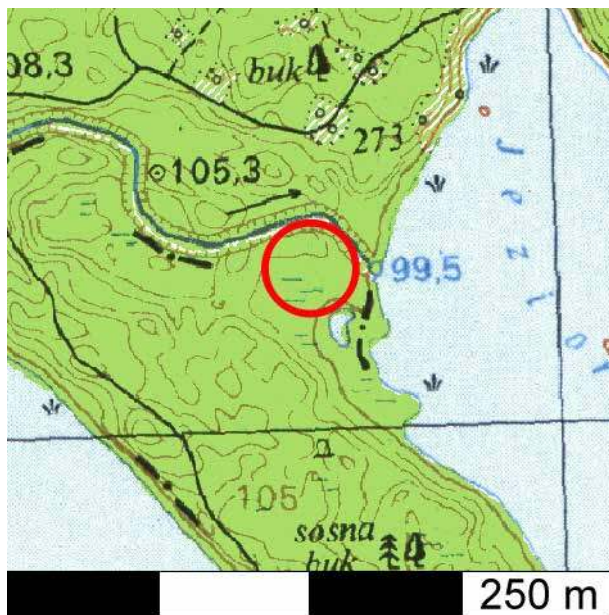


na planie zbliżonym do prostokąta o wymiarach 40 x 55 m. W północno zachodniej części majdanu odnotowano skupisko cegieł gotyckich i kamieni.

Badania geologiczne: Wysokość badanego obszaru zawiera się między 107 a 110 m n.p.m. Badany obiekt znajduje się w lesie i nie posiada cech morfologicznych dokumentujących przekształcenia intencjonalne. Występują tu natomiast licznie, do głębokości maksymalnie 0,50 m, fragmenty cegieł nowożytnych i węgli drzewnych. Poniżej stwierdzono warstwę piasku lekko zailonego, o miąższości 0,30 m, a głębiej glinę zwałową. Stwierdzone w wierceniach liczne fragmenty nowożytnych cegieł i kafli tworzą warstwę nasypową i są pozostałościami pochodzącymi z rozbiórki nowożytnego budynku.

Badania archeologiczne: W trakcie prac wykopaliskowych w ramach realizacji projektu otworzono dwa wykopy sondażowe o łącznej powierzchni 27 m². Wykop 1, o wymiarach 3 x 5 m, otworzono w północnej części stanowiska. Na stropie spoczywały duże kamienie. Pod warstwą humusu leśnego znajdowały się kamienie i fragmenty cegieł. Wykop 2, o wym. 3 x 4 m, wytyczono na skraju stanowiska. Na powierzchni humusu leśnego odkryto liczne fragmenty kafli. Pod warstwą humusu na i w stropie piaszczystej, sypkiej, niejednorodnej warstwy znajdowały się liczne fragmenty kafli i cegieł. W części tego wykopu, pod humusem leśnym, na stropie piaszczystej, sypkiej, niejednorodnej ziemi spoczywało skupisko kamieni i cegieł. Opisany układ stratygraficzny spoczywał na twardej, jednorodnej glinie – calcu. W trakcie eksploracji odkryto ok. 50 fragmentów ceramiki nowożytnej i ok. 500 fr. kafli. Odkryta ceramika oraz zabytki wydzielone nasuwają wniosek, że stanowisko to pochodzi z czasów nowożytnych i powinno zostać wykreślone z rejestru zabytków archeologicznych. Prawdopodobnie było to miejsce związane z okresem budowy mostu na kanale z jeziora Bartężek do jeziora Ruda Woda.

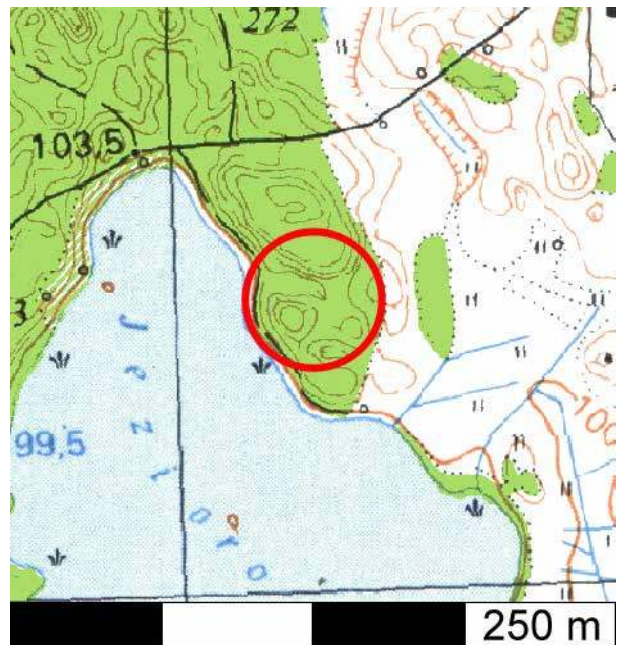
46a. Wenecja, st. 3; nie uwzględniono w AZP (obszar 22-55)



Położenie stanowiska: Miejsce położone w lesie w odległości około 600 m na wschód od murowanego mostu na kanale, na południowym brzegu kanału, w miejscu gdzie kanał wypływa z jeziora Bartężek.

Przyczyna podjęcia badań: W czasie badań powierzchniowych M. Haftka w 1968 r. uznał to miejsce za możliwe grodzisko.

Badania archeologiczne: Domniemane grodzisko stanowi lekkie wzniesienie terenu na planie zbliżonym do prostokąta, wokół którego teren jest zagłębiony. Po przeprowadzonym rozpoznaniu powierzchniowym w ramach realizacji projektu wykluczono istnienie tu grodziska. Jest to wyniesienie naturalne bez śladów antropogenicznych.



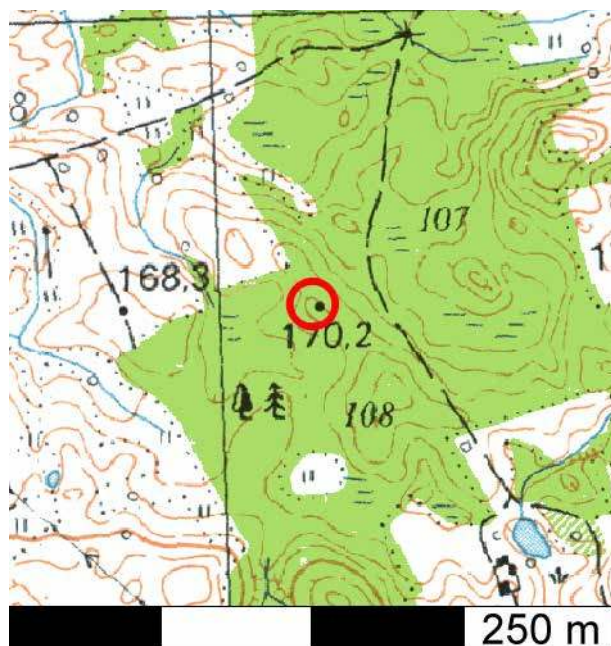
46b. Wenecja, st. 4; nie uwzględniono w AZP (obszar 22-55)

Położenie stanowiska: Miejsce położone w lesie w odległości około 1200 m na południowy zachód od wsi Wenecja, na północnym brzegu jeziora Bartężek, około 300 m na południe od drogi ze wsi Wenecja do wsi Winiec.

Przyczyna podjęcia badań: W czasie badań powierzchniowych M. Haftka w 1968 r. uznał to miejsce za możliwe grodzisko.

Badania archeologiczne: Domniemane grodzisko stanowi pagórek o wysokości około 5 m, owalny, o wym. ok. 60 x 70 m. Według M. Haftki posiadał pogłębiony majdan pogłębiony otoczony wałem (?). W wyniku badań powierzchniowych przeprowadzonych w ramach realizacji projektu stwierdzono, że grodzisko nie istnieje. Obiekt jest naturalnym wyniesieniem w podmokłym terenie.

47. Złotna; nie uwzględniono w AZP (obszar AZP 19-56)



Położenie stanowiska: Około 1 km na południowy wschód od Złotnej, na południe od drogi Złotna - Borzymowo.

Przyczyna podjęcia badań: W archiwum dawnego Prussia Museum z Królewca znajduje się korespondencja pomiędzy muzeum a landratem morąskim z października i listopada 1927 r. w sprawie lokalizacji „góry zamkowej” w Złotnej (*Goldbach*) oraz szkic terenowy i opis domniemanego grodziska wykonany przez Carla Engla 22 września 1930 r. (ryc. 20). Według rysunku grodzisko składało się z dwóch części i miało łącznie wymiary 61 x 65 m. „Gród główny” miał być broniony trzema liniami wałów i czterema liniami fos o szer. 1 m (fosa zewnętrzna miała być znacznie większa), czytelnymi w terenie. Wysokość majdanu „grodu głównego” względem dna fosy zewnętrznej wynosiła 12 m. W archiwum znajduje się także fotografia (ryc. 21) tego domniemanego grodziska, być może wykonana również przez Carla Engla.³⁴

Badania geologiczne: Występują tu dwa pagórki leżące na osi SW-NE, z których wyższy ma 196,92 m n.p.m., a niższy 190,8 m n.p.m. Ponieważ otoczenie pagórków wznosi się od 175 do 180 m n.p.m., obie formy są widoczne dobrze w okolicy. Oba pagórki noszą ślady ingerencji ludzkiej wynikające z eksploatacji kruszywa. W stanowisku wykonano pięć wierceń geologicznych, z czego trzy wykorzystano do przekroju geologicznego A-B o przebiegu NW-SE. Z profili wierceń widoczne jest, że badany pagórek budują piaski na glinach zwałowych. Piaski te były eksploatowane do celów budowlanych.

³⁴ PM-A 383/1; Crome 1939: 315.



Ryc. 20. Złotna, gm. Morąg – fotografia domniemanego grodziska, wykonana prawdopodobnie przez C. Engla w 1930 r. (SMPK MVF, PM-A 383/1, k. 30)

Fig. 20. Złotna, community of Morąg – photograph of the alleged stronghold, probably made by C. Engel in 1930 (SMPK MVF, PM-A 383/1, c. 30)

W wyniku prac rozpoznawczych nie stwierdzono dawnej aktywności ludzkiej.

Badania archeologiczne: Wypiętrzenie o nazwie „Góra Zamkowa” zostało szczegółowo spenetrowane powierzchniowo w ramach badań weryfikacyjnych w czasie realizacji projektu. Nie stwierdzono żadnych śladów umocnień w postaci fos czy pierścieni wałów. Wzgórze jest obecnie porośnięte około 40-letnim lasem. Od strony zachodniej widoczne jest miejsce po wybieraniu kruszywa. Żwirownia mogła zniszczyć nawet ¼ powierzchni obiektu, jednak jest mało prawdopodobne, aby pozostałości grodziska znajdowały się właśnie w tej zniszczonej części wzgórza. Należy uznać zatem, że wzgórze nie jest grodziskiem.

wiercenia zlokalizowano po obu stronach niewielkiego, asymetrycznego wału i na nim. Na podstawie wierceń sporządzono dwa przekroje geologiczne ilustrujące budowę geologiczną tej formy. Z obrazu budowy wglębnej wynika, że opisywany wał jest zbudowany z piasków, a jego otoczenie zawiera w podłożu glinę zwałową, z której uformowany jest pagórek. Z analizy geologii opisywanej formy wynika, że jest to forma szczelinowa. Szczelina, która powstała na lodzie została wypełniona piaskiem i po wytopieniu lądolodu Wisły utworzyła formę wypukłą. Asymetria wału wynika z eksploatacji piasków dla lokalnych potrzeb budowlanych. Poza tymi, nie ma tu śladów innych, dawnych form działań człowieka.

Badania archeologiczne: Na powierzchni wokół wału i na nim samym nie odkryto żadnych ruchomych materiałów zabytkowych. Wobec ekspertyzy geologicznej należy uznać, że nie jest to grodzisko.

49. Sportyny (Głodówko), st. 5; AZP 18-57/10



Położenie stanowiska: Stanowisko jest położone na E od trasy Miłakowo - Orneta, 6,5 km od Miłakowa.

Przyczyna podjęcia badań: Informacja z dawnej literatury na temat istnienia „kilkakrotnie badanego powierzchniowo” grodziska cyplowego kultury pruskiej (?) o nazwie miejscowej *Schlossberg*.³⁵

Badania geologiczne: Wzniesienie ma charakter cypla, który powstał podczas erozji wysoczyzny przez Pasłękę. Wysokość wzniesienia osiąga 50,83 m n.p.m., a wysokość rzeki 40,4 m n.p.m., co daje 10 m różnicy, zupełnie wystarczające do rozwoju intensywnych procesów erozyjnych. Na szczegółowym planie tego terenu,

rozcięcie erozyjne oddzielające pagórek od wysoczyzny ma rozwinięcie na zachód i postępującą w tym kierunku głębokość, co może świadczyć o jego naturalnym charakterze; wszak przekop sztuczny miałby w miarę stałą głębokość i byłby rozwinięty również na wschód. Rzeka Pasłęka wytworzyła w tym miejscu kiedyś duży meander, a obecnie wskutek przebiecia się wód rzeki część odciętego koryta rzecznego jeszcze jest powiązana z zasadniczym korytem, ale prowadzi wody pod prąd, co jest wymuszone wpływającym do odciętego koryta potokiem Miłakówka. Badany pagórek ma owalny kształt i jest odcięty od wysoczyzny lekkim, naturalnym obniżeniem. Od SW pagórek ogranicza skarpa o wysokości 3 m, a od S i E - krawędzie wysoczyzny. Zobrazowanie ALS ukazuje ślady dawnych zabudowań oraz ślady lejów po bombach lub pociskach, co wskazuje na okres wojny odpowiedzialny za zniszczenia. W stanowisku wykonano dziewięć wierceń dokumentujących przypowierzchniową budowę geologiczną. Wiercenia dokumentują zniszczenia budowli pochodzących z XIX lub XX wieku, które nastąpiły w wyniku bombardowań. Udokumentowane zostało również podłoże, na którym budynki wzniesiono. Sytuację geologiczną przedstawiono na przekroju o przebiegu W-E. Przekrój przecina pagórek, dokumentując w spągu osady pochodzące z okresu postojów wód w okresie późnego glacjału. Głównym osadem z tego okresu są mułki ilaste barwy beżowej, skonsolidowane. Ponad mułkami występują piaski dokumentujące przepływy fluwioglacjalne i rzeczne. Kolejną charakterystyczną warstwę tworzą osady zawierające pokruszone fragmenty cegieł, zaprawy, itd., które maksymalnie sięgają do 1,1 m głębokości.

Badania archeologiczne: W trakcie prac wykopaliskowych w ramach realizacji projektu otworzono trzy wykopy o łącznej powierzchni 48 m². Wykop 1 miał 20 m długości i 2 m szerokości. Dłuższą osią zorientowany był po linii N-S. Założony został w północnej części domniemanego grodziska. W obrębie tego wykopu przebadano wewnętrzną część stożka, zagłębienie oraz część obszaru do nich przylegającą. Nie znaleziono żadnych śladów konstrukcji kamiennej bądź spalonych konstrukcji drewnianych. Zagłębienie z kolei było formą sztuczną, którą zasypano cegłami. Wykop 2 (4 m długości i 1 m szerokości) wytyczono 4 m od południowej krawędzi wykopu 1 (w jednej linii z profilem E wykopu 1). Pod humusem zalegały piaszczysto-gliniaste warstwy. Przy E ścianie wykopu odkryto ślad obiektu nowożytnego. Wykop 3 (4 m długości i 1 m szerokości) założono pod kątem prostym do wykopu 2 (na E od wykopu 2), na majdanie domniemanego grodziska. W wykopie tym zaobserwowano podobny układ nawarstwień jak w wykopie 2. Wyniki badań wskazują, że stanowisko to nie jest grodziskiem. W trakcie badań wykopaliskowych znaleziono kilkadziesiąt fragmentów ceramiki nowożytnej. Odkryte liczne fragmenty cegieł pochodzą z rozbiórki znajdującego się na tym obszarze folwarku.

³⁵ PM-A 771/1; Crome 1937: 109, 1940: 125; Jagodziński 1997: 125-126 (grodzisko wymieniane również pod nazwą miejscowości *Maulfritzen*).

Gmina Ostróda

50. Bednarki, st. 1; AZP 28-56/8



Położenie stanowiska: Obiekt znajduje się ok. 1 km na południowy zachód od wsi Bednarki w miejscu zwanym Kaczeniec, na północ od drogi, na zachód od cmentarza ewangelickiego, w lesie.

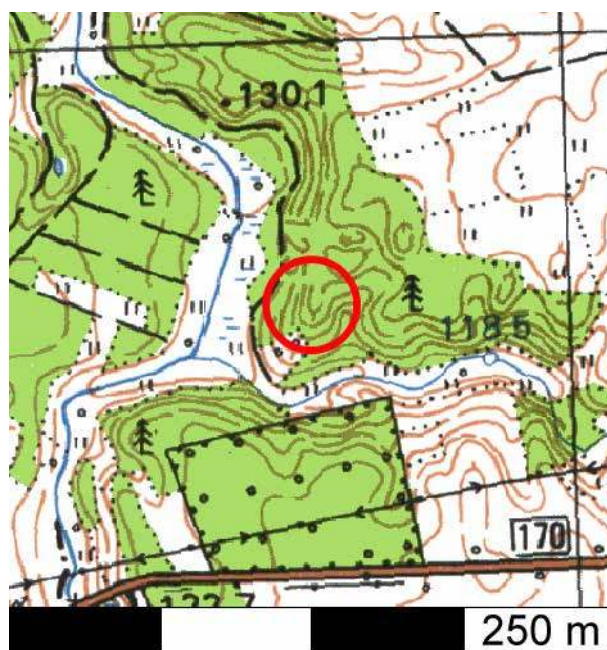
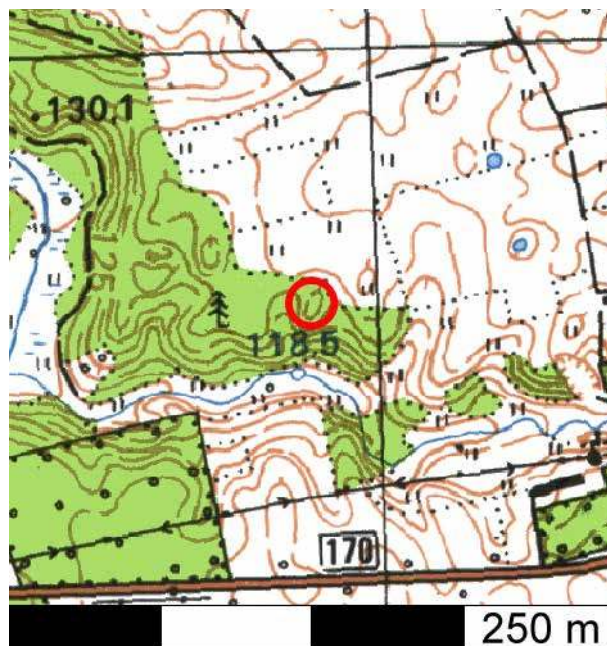
Przyczyna podjęcia badań: Informacja z dawnej literatury o grodzisku *Peterswalde* ulokowanym na wzniesieniu, którego walory podkreślono przez wyrównanie plateau majdanu i ustromienie stoków. Obiekt był zbliżony do owalu, wydłużony po linii W-E, o wymiarach *ca* 31 x 24 m, wys. *ca* 5 m, porośnięty b. wysoką trawą i nielicznymi krzewami i drzewami. Nie wykazywał śladów sztucznych umocnień i obwałowań.³⁶

Badania geologiczne: Wznosi się tu wyraźny, wydłużony pagórek o przebiegu NW-SE, którego najwyższy punkt ma wysokość około 258 m n.p.m. Przy wysokości szosy 230 m n.p.m. daje to prawie 30 m deniwelację terenu. Pagórek jest porośnięty lasem. Przez pagórek poprowadzono przekrój geologiczny o łamanym kierunku NE-SW/NW-SE, oparty na siedmiu wierceniach. Wiercenia dokumentują piasek drobnoziarnisty, a na samym dole przy szosie również mułek, co pozwala tą formę określić jako kem. Na stanowisku nie stwierdzono osadów ani form rzeźby powstałych z udziałem człowieka.

Badania archeologiczne: Penetracja powierzchniowa przeprowadzona w ramach realizacji projektu nie przyniosła efektów w postaci jakichkolwiek ruchomych materiałów kulturowych. Brak argumentów do uznania stanowiska za grodzisko.

³⁶ Crome 1940: 97.

51-52. Lipowo, st. 12 i st. 13 (dwie lokalizacje); AZP 28-55/112 i 113



Położenie stanowiska: Stanowisko 12 znajduje się ok. 500 m na zachód od miejscowości Lipowo. Jest to niewielki cypel wysoczyzny, wysunięty od północy w dolinę bezimiennego dopływu rzeki Gizeli. Obiekt od wschodu ograniczony jest płytkim jarem, od zachodu i południa zdaje się być ograniczony niskimi wałami. Obszar obiektu jest zalesiony. Stanowisko 13 znajduje się ok. 1 km na zachód od miejscowości Lipowo. Jest to wybitny cypel wysoczyzny wysunięty od północy w dolinę rzeki Gizeli i jej bezimiennego dopływu. Obszar stanowiska jest zalesiony.

Przyczyna podjęcia badań: Obie lokalizacje wskazywane były jako miejsca domniemanych grodzisk – odkryte w trakcie badań AZP. Badania weryfikacyjne przeprowadziła Anna Marciniak-Kajzer w 1998 roku. Wynik tych badań był negatywny: nie stwierdzono śladów domniemanego grodziska ani innego stanowiska archeologicznego.

Badania geologiczne: Stanowisko obejmuje dwie lokalizacje, które usytuowane są na północnym skłonie głębokiego na około 20 m rozcięcia erozyjnego, odwadnianego przez bezimienny ciek, który jest prawobrzeżnym dopływem rzeki Gizeli. Położona bardziej na zachód lokalizacja obejmuje obszar skłonu wysoczyzny, między doliną rzeki Gizeli, a dnem rozcięcia erozyjnego. Ujście bezimiennego cieku do Gizeli leży na wysokości 112,3 m n.p.m., a najwyższy punkt na badanym obszarze osiąga 136,4 m n.p.m. Druga lokalizacja leży w połowie drogi między Gizelą a Lipowem, na północnym skłonie rozcięcia erozyjnego. Dno rozcięcia położone jest na 120 m n.p.m., a wysoczyzna osiąga tu wysokość 140 m n.p.m. Towarzyszące głównej formie erozyjnej mniejsze rozcięcia sprawiają, że opisywany fragment skłonu wysoczyzny jest odizolowany, stanowiąc rodzaj pagórka. W pierwszej, bardziej zachodniej lokalizacji, wykonano osiem wierceń, które posłużyły do konstrukcji przekroju geologicznego A-B o przebiegu S-N. W drugiej lokalizacji wykonano sześć wierceń i przekrój C-D o przebiegu S-N. Przekrój A-B rozpoczęto wierceniem w dnie rozcięcia erozyjnego, w jego najniższej części, gdzie stwierdzono bardzo ciekawe następstwo osadów – namułów organogenicznych przechodzących w torfy, przewarstwionych piaskiem średnioziarnistym (L – 1). W osadach organogenicznych zanotowane są okresy spokojnej sedymentacji, a przewarstwienia piaszczyste pokazują momenty wezbrań i bardziej intensywnych przepływów w cieku odwadniającym rozcięcia erozyjne. W obu lokalizacjach, w wierceniach wykonanych w najniższej części skłonu wysoczyzny stwierdzono glinę zwałową, co bardzo dobrze tłumaczy duże nachylenia tej części skłonu, gdyż glina zwałowa jest odporna na erozję. W wyższych partiach skłonu spadki terenu nie są tak duże, a spowodowane jest to zmianą osadów z gliny zwałowej na piaski drobnoziarniste, które budują obszar wysoczyzny w tym rejonie. W drugiej lokalizacji wykonano wiercenia w poprzek pagórka i w miejscu występowania niewielkiego progu dobrze widocznego w rzeźbie terenu. Wiercenie wykonane powyżej progu i wiercenie poniżej, w bliskim sąsiedztwie, pokazały profile, które nie różnią się na tyle, żeby uznać ów próg za ślad intencjonalnych działań człowieka. Występująca w najwyższej strefie pagórka glina jest zapewne redeponowana z wyższych partii wysoczyzny. Analiza form rzeźby i budowy geologicznej w obu lokalizacjach nie wskazuje na udział człowieka prehistorycznego w jej kształtowaniu.

53-54. Samborowo, st. 6 (dwie lokalizacje); nie uwzględniono w AZP (obszar 26-55)



Położenie stanowiska: Domniemane grodziska znajdują się ok. 1 km na południowy wschód od wschodniego krańca niwy siedliskowej Samborowa, na lewym brzegu Poburzanki, na południe od jej koryta na krawędzi doliny. Ułożony w kierunku równoleżnikowym wał wysoczyzny dochodzi prostopadle do doliny Poburzanki.

Przyczyna podjęcia badań: Guise podał, że w Samborowie znajdują się „dwa pagórki okrągło usypane, dla mieszkania i obrony przez ludzi uczynione” nad strumieniem uchodzącym do Drwęcy. W archiwum dawnego Prussia Museum z Królewca znajduje się fotografia domniemanego grodziska wykonana w 1943 r. (ryc. 22)³⁷. Poszukiwania tych grodzisk przez M. Haftkę w 1968 r. przyniosły rezultat negatywny. W 2005 r. W. Skrobot dokonał jakoby odkrycia tych dwóch grodzisk.³⁸

Badania geologiczne: Wysokość pagórka osiąga nieco ponad 110 m n.p.m., a poziom wody w Poburzance - 99,0 m n.p.m., co daje deniwelację terenu ponad 11 m na niewielkiej przestrzeni. Przedmiotem sprawdzających sondowań był fragment pagórka, o przebiegu SWW-NEE, który kontynuuje się na mapach topograficznych i w zobrażeniach ALS również poza badanym fragmentem na przestrzeni ok. 500 m. W stanowisku wykonano siedem wierceń do głębokości 2 m, które posłużyły do wykonania przekroju geologicznego. Pierwsze wiercenie wykonane w dolinie rzeki Poburzanki dokumentuje typowe osady rzeczne, na które składają się piaski drobno- i średnioziarniste, poniżej których występuje piasek różnoziarnisty, który może pochodzić z erozji pagórka. W pozostałych wierceniach, pod cienką warstwą piasku drobnoziarnistego,

³⁷ PM-A 132/1; Crome 1938: 204.

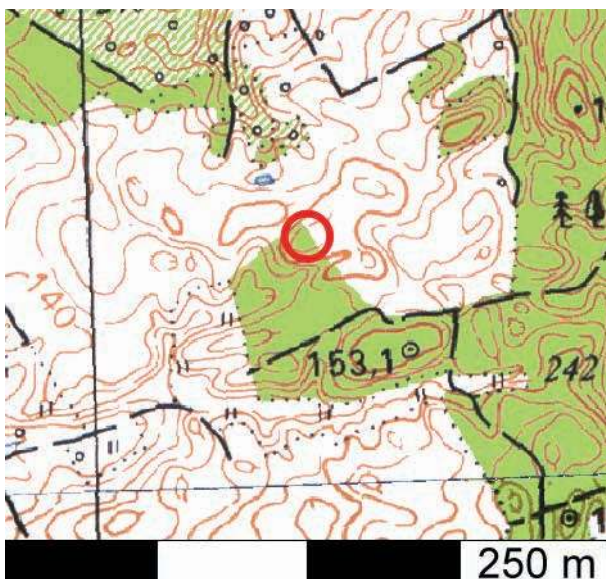
³⁸ Skrobot 2009: 648-650.



Ryc. 22. Samborowo, gm. Ostróda – fotografia domniemanego grodziska wykonana w 1943 r. (SMPK MVF, PM-A 132/1, k. 293)
Fig. 22. Samborowo, community of Ostróda – photograph of the alleged stronghold made in 1943 (SMPK MVF, PM-A 132/1, k. 293)

go występują piaski średnio- i gruboziarniste z domieszką żwirku i żwiru, świadczące o większej energii przepływu. Wydłużony kształt opisywanej formy oraz jej budowa geologiczna, pokazująca intensywne przepływy, dostarcza dowodów na to, że opisywany pagórek jest formą szczelinową lub ozem. Brak przykrycia tych osadów poprzez glinę zwałową wskazuje, że przepływ następował na lodzie, a nie pod lodem, co bardziej skłania do uznania jej za formę szczelinową. Również prostolinijny przebieg pagórka na to wskazuje. W obrębie stanowiska nie stwierdzono śladów dawnej działalności człowieka. Należy przyjąć, że domniemane grodziska nie istnieją.

55. Tyrowo, st. 20; AZP 26-55/47



Położenie stanowiska: Obiekt znajduje się na wysoczyźnie morenowej ok. 1,5 km na wschód od cmentarza w Wirwajdach, ok. 1 km na południe od drogi Samborowo – Ostróda.

Przyczyna podjęcia badań: Stanowisko odkryte w trakcie badań AZP, określone jako grodzisko.

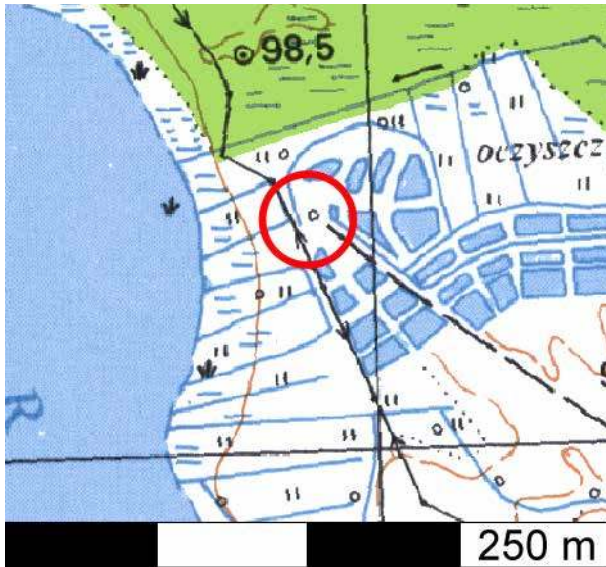
Badania archeologiczne: Badania powierzchniowe przeprowadzone w ramach realizacji projektu wykłuzyły istnienie w tym miejscu grodziska. We wskazanym miejscu znajduje się długotrwały nieużytek, częściowo zalesiony. Zróżnicowana rzeźba terenu, przypominająca miejscami wały ziemne, powstała na skutek eksploatacji kruszywa. Przy budowie kopalni humus z powierzchni obszaru eksploatacyjnego musiał być usunięty i stąd czytelne w terenie odcinki „wałów”. Poza głównym wybieżyskiem, stanowiącym zakłębienie terenu, znajdują się nieregularne formy powierzchniowe, powstałe na skutek przesunięcia i pozostawienia jakichś części urobku. W obrębie tego terenu zupełnie brak jakiegokolwiek ruchomego historycznego materiału kulturowego.

56. Wałdowo (obecnie Ostróda), st. 2 (także pod nazwą Mała Ruś); AZP 25-56/2

Położenie stanowiska: Obiekt znajdował się na wale wydymowym wchodzącym od wschodu w dolinę jeziora Drwęckiego od strony północno-wschodniej, się około 500 m na północny zachód od dawnego majątku Wałdowo, obecnie w granicach miasta Ostróda. Sam teren miejsca po grodzisku znajduje się w obrębie geodezyjnym Mała Ruś.

Przyczyna podjęcia badań: Informacje z dawnej literatury o istnieniu grodziska³⁹. Miejsce weryfikowane po-

³⁹ Crome 1940: 135.



zbliżony do prostokąta, majdan płaski, bez śladów umocnień obronnych. Zbocza od strony północnej i zachodniej były strome i miały być wysokie na ok. 4-5 m (ryc. 23).

Badania archeologiczne: Znajdujący się w tym miejscu wał wydmy wchodził w bagnistą dolinę jez. Drwęckiego, tworząc wyniesienie terenu otoczone mokradłami. Dawało to bardzo dobre warunki naturalne do budowy i użytkowania grodu. Na początku XX wieku na wzgórzu i w jego otoczeniu usytuowano oczyszczalnię ścieków dla miasta Ostródy, której budowa zniszczyła zarówno samo domniemane grodzisko, jak i jego otoczenie. Oczyszczalnia ta funkcjonowała również w okresie powojennym, prawie do końca lat 80. XX wieku. Następnie zdewastowany teren przejęła Agencja Własności Rolnej Skarbu Państwa, która sprzedała go prywatnemu inwestorowi. Nowy właściciel podjął prace ziemne mające na celu rekultywację obszaru dawnej oczyszczalni, skutkiem



Ryc. 23. Wałdowo, gm. Ostróda – fotografia domniemanego grodziska (Archiwum WUOZ w Olsztynie)

Fig. 23. Wałdowo, community of Ostróda – photograph of the alleged stronghold (Archive of the Provincial Office for Protection of Historical Monuments in Olsztyn)

wierzchniowo przez M. Haftkę w 1968, który potwierdził istnienie zniszczonego grodziska, stwierdzając, że jest ono położone na płaskim piaszczystym, nieznacznie wyrastającym ponad okoliczny teren, wzgórzu. Kształt miał być

czego nierówności terenu zostały zniwelowane na skutek przeprowadzonych dużych prac ziemnych. Skutkiem tego resztki grodziska – jeśli tam się znajdowało – w chwili obecnej nie istnieją.

Wykaz cytowanej literatury:

- Agde, H.
1936. Ostpreussische Vorgeschichtsforschung 1935. *Nachrichtenblatt für deutsche Vorzeit* 12: 7-9.
- Antoniewicz, J.
1964. Osiedla obronne okresu wczesnożelaznego w Prusach. *Światowid* 25: 5-211.
- Antoniewicz, W. i Z. Wartołowska
1964. *Mapa grodzisk w Polsce*. Wrocław: Ossolineum.
- Beckhenn, C.
1895. Ueber die Benennungen der ostpreussischen „Burgwälle“ und die Pillberge im Samlande. *Altpreussische Monatsschrift. Neue Folge der Neuen Preussischen Provinzial-Blätter. Vierte Folge* 32: 353-410. Königsberg.
- Behla, R.
1888. *Die vorgeschichtlichen Rundwälle im östlichen Deutschland*. Berlin: Asher.
- 1910.
- Buszek, A.
2013. *Raport z badań geofizycznych na stanowiskach w Miłomłynie, woj. warmińsko-mazurskie* Maszynopis niepublikowany.
- Crome, H.
1937. Karte und Verzeichnis der vor- und frühgeschichtlichen Wehranlagen in Ostpreussen. *Altpreussen* 2 (3): 97-125.
- 1938-1940. Alphabetisches Verzeichnis der Wehranlagen Ostpreussens mit Angabe des Schrifttums. *Sitzungsberichte der Altertumsgesellschaft Prussia: Zeitschrift für Heimatkunde* 32 (1): 173-209; (2): 297-324; 33 (3): 263-289; 34 (4): 83-154.
- Hoffmann, M.J.
1999a. *Źródła do kultury i osadnictwa południowo-wschodniej strefy nadbałtyckiej w I tysiącleciu p.n.e.* Olsztyn: Ośrodek Badań Naukowych.
- 1999b. Najdawniejsze dzieje Iławy i okolic, [w:] H. Królikowska (red.), *Iława*, 9-21. Olsztyn: Towarzystwo Miłośników Ziemi Iławskiej.
2000. *Kultura i osadnictwo południowo-wschodniej strefy nadbałtyckiej w I tysiącleciu p.n.e.* Olsztyn: Towarzystwo Naukowe i Ośrodek Badań Naukowych.
2013. *Dzieje archeologii Prus Wschodnich od początku XVIII wieku do 1920 roku*. Olsztyn: Pracownia Wydawnictw Naukowych. Monumenta Literaria Prussiae 4.
- Hollack, E.
1908. *Erläuterungen zur vorgeschichtlichen Übersichtskarte von Ostpreussen*. Glogau – Berlin: Kommissions-Verlag von Carl Flemming.
- Jagodziński, M.F.
1997. *Archeologiczne ślady osadnictwa między Wisłą a Paśką we wczesnym średniowieczu. Katalog stanowisk*. Adalbertus. Tło kulturowo-geograficzne wyprawy misyjnej św. Wojciecha na pogranicze polsko-pruskie 3. Warszawa: Instytut Archeologii i Etnologii PAN.
- Kobyliński, Z., K. Misiewicz i D. Wach
2000. Archeologia niedestrukcyjna w woj. warmińsko-mazurskim w roku 2000. *Warmińsko-Mazurski Biuletyn Konserwatorski* 2: 77-92.
- Kobyliński, Z., D. Wach, M. Rutyna, J. Wysocki i B. Klęczar
2013. Grodziska z czasów plemiennych(?) w Gulbiu, na wyspie Bukowiec na jeziorze Jeziorak, w Urowie i Dubie w powiecie iławskim: wstępne wyniki badań z 2012 roku, [w:] *Grodziska Warmii i Mazur 1. Stan wiedzy i perspektywy badawcze*, 305-325. Archaeologica Hereditas 2. Warszawa – Zielona Góra: Instytut Archeologii UKSW i Fundacja Archeologiczna.
- Lemke, E.
1887. *Volksthümliches in Ostpreussen II*. Mohrunen: W.E. Harich.
- Lissauer, A.
1876. Drei Burgwalle bei Deutsch-Eylau. *Schriften der Naturforschenden Gesellschaft in Danzig* 4 (1): 1-6.
1887. *Prähistorische Denkmäler der Provinz Westpreussen*. Leipzig: Wilhelm Engelmann.
- Lucanus, A.H.
1748. *Preussens uralter und heutigen Zustand*. Lötzen.
- Łęga, W.
1930. *Kultura Pomorza we wczesnym średniowieczu na podstawie wykopalisk*. Toruń: Towarzystwo Naukowe w Toruniu
- Morgenroth, E.
1924. *Deutsch-Eylauer Sagen*. Dt. Eylau.
- Okulicz, J.
1973. *Pradzieje ziem pruskich od późnego paleolitu do VII w. n.e.* Wrocław: Ossolineum.
- Okulicz, Ł.
1970. *Kultura kurhanów zachodniobałtyckich we wczesnej epoce żelaza*. Wrocław: Ossolineum.
- Pawłowski, A.J.
1990. Stan i potrzeby badań nad wczesnym średniowieczem Pomezanii, Pogezanii i Warmii, [w:] Z. Kurnatowska (red.), *Stan i potrzeby badań nad wczesnym średniowieczem w Polsce*, 55-69. Poznań: 55-69.
- Schmadtke, E.
1936. Der Laie und die Vorgeschichtsforschung. *Altpreussen* 1: 239-244.
- Skrobot, W.
2009. Słowo w sprawie weryfikacji terenowej archiwalnych stanowisk archeologicznych w okolicach Iławy i Ostródy, woj. warmińsko-mazurskie, [w:] A. Bitner-Wróblewska i G. Iwanowska (red.), *Bałtowie i ich sąsiedzi. Marian Kaczyński in memoriam*, 643-654. Warszawa: Państwowe Muzeum Archeologiczne w Warszawie.
- Stein, C.
1730. *Prussica Memorabilia*, [w:] *Acta Borussica ecclesiastica, civilia, literaria oder sorgfältige Sammlung allerhand zur Geschichte des Landes Preussen gehöriger*

- Nachrichten, Uhrkunden, Schrifften und Documenten* [1], 195-246. Königsberg: Eckart.
Szczepański, S.
2007. Ludowe postrzeganie pruskiej przeszłości na przykładzie podań z obszaru Pojezierza Iławskiego i dorzecza Drwęcy. *Studia Angerburgica* 14: 33-45.
2009. Średniowieczne założenia obronne z okolic Zalewa. *Zapiski Zalewskie. Historia. Kultura. Środowisko* 16: 11-18.
2013. „Wykopaliska” w archiwach – archeologia archiwalna na przykładzie wybranych stanowisk Pojezierza Iławskiego, [w:] Z. Kobyliński (red.), *Grodziska Warmii i Mazur 1. Stan wiedzy i perspektywy badawcze*, 233-252. Warszawa – Zielona Góra: Instytut Archeologii UKSW i Fundacja Archeologiczna.

Zbigniew Kobyliński, Jerzy Nitychoruk, Kamil Rabięga, Magdalena Rutyna, Dariusz Wach, Fabian Welc, Jacek Wysocki, Katarzyna Zeman-Wiśniewska and Magdalena Żurek

Reassessment of the nature of alleged Prehistoric and Medieval strongholds in the Iława and Ostróda counties

Summary

The preparation of a list of the strongholds in the western part of the Prussian lands in the Masurian-Warmian Province required us not only to obtain information on the chronology and function of the sites of obvious nature of Prehistoric and Medieval strongholds, but also to verify any information about the alleged strongholds derived from archival sources, scholarly literature, historical cartography, and even from legends and verbal communications. This article contains information about all sites investigated within the National Programme for Development of Humanities project *Catalogue of strongholds of Warmia and Masuria. Part I: Pomesania, Pogesania and*

Warmia during the years 2012-2016, which turned out not to be fortified settlements. In most cases, verification mainly included geological drilling and systematic fieldwalking in search for eventual remains of earthworks and for archaeological artefacts. In cases where this first stage did not provide clarity as to the existence of a stronghold, excavations were conducted, either in form of test pits or trenches of larger extent. In many cases it could be shown that many alleged strongholds were in fact spurious.

Translated by Zbigniew Kobyliński

Wstęp do problematyki gródków stożkowatych z terenu średniowiecznego państwa zakonu krzyżackiego, znajdujących się na obszarze województwa warmińsko-mazurskiego

Grodziska stożkowate są formą średniowiecznego osadnictwa obronnego, występującą na terenie niemal całej Europy. Obiekty tego typu pojawiły się w X w. we Francji, a dokładniej w Normandii. Z tego terenu rozprzestrzeniły się po kontynencie w ciągu XI w., docierając na tereny Świętego Cesarstwa Rzymskiego, a także za sprawą Wilhelma Zdobywcy na Wyspy Brytyjskie, co zostało przedstawione na tkaninie z Bayeux. W Europie Zachodniej gródki stożkowate funkcjonują pod nazwą *motte* i interpretowane są jako siedziby drobnych feudałów¹. Ta interpretacja funkcjonalna nie jest jedyną możliwą, o czym świadczy typowo militarny charakter obiektów budowanych przez Wilhelma Zdobywcę. Obiekty te stanowiły prostą i szybką w budowie fortyfikację. Najczęściej stosowaną metodą było wykopanie kolistej fosy i wykorzystanie urobku do usypania w jej centrum stożka². Na terenie środkowo-wschodniej Europy, w tym Polski, te niewielkie grody pojawiają się w XIII w. Badania grodzisk stożkowatych na terenie Polski, rozpoczęte w początkach lat 60. XX w., skupiały się do tej pory głównie na obszarze średniowiecznych ziem polskich. Tereny obecnego województwa warmińsko-mazurskiego nie znalazły się w głównym nurcie zainteresowań badaczy tej problematyki, gdyż w średniowieczu był to obszar państwa zakonu krzyżackiego, a później Księstwa oraz Królestwa Pruskiego.

Badania gródków stożkowatych na terenach Polski rozpoczęły się za sprawą Janiny Kamińskiej i jej badań w Siedlankowie³ w początkach lat 60. XX w. Niemal w tym samym czasie badania podobnego obiektu w Łącku przeprowadził Jerzy Kruppé. Te i inne badania nad grodziskami stożkowatymi w centralnej Polsce prowadzone przede wszystkim przez Łódzki ośrodek archeologiczny, pozwoliły na identyfikację tych gródków jako siedzib rycerskich i przesunięcie ich chronologii na okres późnego średniowiecza (XIII-XIV w.). W początkach lat 70. XX wieku, badania grodzisk stożkowatych, czy może szerzej, średnio-

wiecznych siedzib rycerskich zostały zintensyfikowane na terenie niemal całego kraju, w tym również podjęto na terenie dawnych Prus Wschodnich. Uniwersytet Mikołaja Kopernika w Toruniu rozpoczął badania na terenie historycznej Ziemi Chełmińskiej⁴, która częściowo znalazła się w obrębie woj. olsztyńskiego, a na terenie dawnego Oberlandu badania tego typu obiektów⁵ rozpoczęła ekspedycja „Komitetu Grunwaldzkiego” złożona przede wszystkim z badaczy IHKM PAN ze środowiska łódzkiego⁶.

W pracy tej zajmujemy się gródkami stożkowatymi znajdującymi się na obszarze dzisiejszego woj. warmińsko-mazurskiego. Tereny te w okresie funkcjonowania omawianych obiektów wchodziły w skład państwa zakonu krzyżackiego, a częściowo podlegały władzy biskupa i kapituły warmińskiej.

Określenie „grodzisko stożkowate” pierwotnie odnosiło się wyłącznie do obiektów, które miały formę niewielkiego ściętego stożka. Wraz z rozwojem badań nad tą kategorią stanowisk archeologicznych zbiór desygnatów tego określenia poszerzał się. Początek kształtowania się poglądów należy łączyć z wyodrębnieniem grodzisk stożkowatych od pozostałych grodzisk. Pierwszym, który użył tego określenia był Władysław Łęga. Zwrócił on uwagę na odmienną formę stożka od innych założeń obronnych. Interpretował je jako pozostałości obronnych grodów z czasów historycznych⁷. Za fundacje rycerskie uznał je Roman Jakimowicz, który łączył ich genezę z okresem rozbitcia dzielnicowego, wzrostem znaczenia rycerstwa i nadawanym temu stanowi prawom do budowy małych grodów⁸. Witold Hensel zwrócił uwagę na związek grodzisk stożkowatych z gospodarczą organizacją terenu i feudalnym rozdrobnieniem, a także na częste ich występowanie w okolicach zabudowań dworskich⁹. Józef Kaźmierczyk w pracy dotyczącej grodzisk z terenu Śląska zaobserwował dwa istotne zjawiska. Po pierwsze - lokowanie stożków na glebach gorszej jakości. Po drugie zaś

¹ Więcej na temat grodzisk stożkowatych z terenu Niemiec, Czech i Słowacji, patrz Marciniak-Kajzer 2011: 277-285; dalsza literatura dotycząca terenów Europy zarówno Wschodniej jak i Zachodniej, patrz Kola 1991: 25-28.

² De Meulemeester 2002.

³ Kamińska 1968: 15-88.

⁴ Kola 1991.

⁵ Dąbrowski 1964: 341-356.

⁶ Nadolski 1991: 24-33.

⁷ Łęga 1930: 295-327.

⁸ Jakimowicz 1948: 378-379.

⁹ Hensel 1950: 2.

zwiększenie rozmiaru fosy, co łączył ze wzrostem jej znaczenia, kosztem wałów¹⁰.

Poglądy o prywatnej fundacji małych założeń obronnych utrwalili Janina Kamińska i Stanisław Zajączkowski¹¹. Szczególnie istotne są poglądy Kamińskiej, które ukształtowały sposób interpretacji grodzisk stożkowatych w Polsce na długie lata. W początkowej fazie swoich badań Kamińska łączyła powstanie gródków stożkowatych z postępującą feudalizacją i skupianiem przez możnych coraz większych terenów rolniczych. Gródki te w jej opinii miały tworzyć system obrony prywatnych posiadłości ziemskich. Przyjmowała natomiast błędne ramy chronologiczne dla tego typu założeń, datując ich powstanie już na koniec XI w.¹² W późniejszych pracach Kamińska zaczęła łączyć grodziska stożkowe z fundacjami rycerstwa¹³. Wyodrębniła również cechy charakterystyczne dla tych obiektów:

- położenie w dolinie rzecznej lub na jej skraju;
- kolisty lub zbliżony do kolistego kształt podstawy o średnicy około 30 m;
- z kotlinką lub powierzchnią prawie płaską na szczycie stożka ściętego;
- z fosą i wałem okrężnym (nie zawsze zachowanym)¹⁴.

Dostrzegła także podobieństwo gródków stożkowatych do murowanych wież obronnych, między innymi z terenu Śląska. W oparciu o tego typu założenia stworzyła model stanowiska i wskazała, jakich obiektów należy się spodziewać w trakcie badań:

- w centrum stożka śladów konstrukcji drewnianych, ewentualnie ceglanych lub kamiennych;
- umocnień zewnętrznych w postaci palisady, fos i wałów;
- pozostałości osad przygodowych, spełniających funkcje gospodarcze w stosunku do skromnej w swych rozmiarach budowli obronnej¹⁵.

Stanisław Zajączkowski, recenzując pracę Kamińskiej¹⁶, zwrócił uwagę na zagadnienie funkcji gródków stożkowatych. W przytoczonym przez niego opisie Pieskowic pod Parzęczewem pojawia się określenie *fortalitiūm et curia*, którego interpretacja sprowokowała trwającą do dziś dyskusję. Kamińska w swojej pracy pisała tak: „te niewielkie twierdze wznoszono w pobliżu dworów rycerskich lub zabudowań gospodarczych. Mogło jednak być i tak, iż sama wieża stanowiła bardzo prosty typ dworu obronnego i stąd połączenie obu terminów w przekazie źródłowym”¹⁷. Autorka przyjmowała różne możliwości interpretacji funkcji gródków stożkowatych, ale skłaniała się raczej do ich militarnej roli¹⁸. Kamińska analizowała

także genezę gródków stożkowatych, nie mogąc jednak jednoznacznie określić czy były one pochodzenia rodzimego czy zaadaptowano je z terenów Europy Zachodniej. Postulowała intensyfikację badań nad prywatną własnością ziemską, a także analizę lokalizacji i funkcji grodziska w odniesieniu do lokalnych warunków gospodarczych i strategicznych. W pracy poświęconej badaniom grodziska w Siedlątkowie, Kamińska przeprowadziła również analizę porównawczą wież obronnych z terenu Polski, a także Czech i Słowacji. W oparciu o jej wyniki autorka, obok funkcji obronnej, coraz bardziej zaczyna podkreślać mieszkalny charakter tego rodzaju założeń¹⁹. W tej publikacji autorka wyraża również swoją opinię na temat genezy gródków stożkowatych. Jej zdaniem wzorce systemu obrony państwa, jak i zasady prawne umożliwiające budowę prywatnych fortyfikacji, mogły zostać przyjęte z Zachodu, jednakże sama forma architektoniczna wieży na kopcu może mieć rodzimą proveniencję²⁰.

Zagadnienie funkcji grodzisk stożkowatych od początku rodziło wiele dyskusji. Wojciech Szymański zwrócił uwagę na szeroki zakres funkcji, jakie mogły pełnić kopce – od funkcji rezydencjonalnych do refugialnych²¹. Odmienne poglądy reprezentowała Teresa Kiersnowska, podkreślająca ich mieszkalną i reprezentacyjną rolę. To ona zwróciła uwagę na określenie „słup” odnoszące się do wieży mieszkalnej, które pojawia się w źródłach historycznych²². Podążając tym tropem autorka wysunęła teorię, iż nazwa „słup” przeniknęła do toponomastyki i nazwy miejscowości typu Słup/Słupia należy łączyć z funkcjonowaniem na jej terenie wieży na kopcu²³, podobnie niemieckie *Stolpen* - stołp.

Istotny wpływ na kształtowanie się poglądów polskich badaczy miał Leszek Kajzer. W swoich pracach przedstawiał grodziska stożkowe jako redukcje zamków z wieżą mieszkalną przystosowane do możliwości finansowych fundatora²⁴. Uważał, że jest to zjawisko typowe dla całej Europy i odpowiada określonej fazie rozwoju społeczeństwa feudalnego. Zwrócił on również uwagę na częstą obecność grodzisk w pobliżu dworów lub pałaców, a także na fakt, iż część kopców może być nasypem pod siedzibę nowożytną²⁵. Badając genealogię dworów rycerskich, ustalił także zanik grodzisk stożkowatych na XVIII w. W późniejszych pracach prezentował pogląd, iż na przestrzeni XIII-XVIII w. tradycja budowania nasypów pod siedzibę prywatną przeszła od najwyższych warstw społecznych, czyli fundacji książęcych w okresie rozbitcia dzielnicowego, po najniższą warstwę zubożałej szlachty, która jeszcze w XVII-XVIII w. stawiała dwory na kopcu²⁶.

¹⁰ Kaźmierczyk 1966: 680-681.

¹¹ Kajzer 1986: 331.

¹² Kamińska 1953: 122-123.

¹³ Kamińska 1966: 43-78.

¹⁴ Kamińska 1966: 43.

¹⁵ Kamińska 1966: 47-48.

¹⁶ Zajączkowski 1956: 322-323.

¹⁷ Kamińska 1966: 60.

¹⁸ Marciniak-Kajzer 2011: 30.

¹⁹ Kamińska 1968: 37-46.

²⁰ Kamińska 1968: 70.

²¹ Szymański 1968: 69-71.

²² Kiersnowska 1973: 439.

²³ Kiersnowska 1973: 440-445.

²⁴ Kajzer 1972: 453-454.

²⁵ Kajzer 1977: 389-394.

²⁶ Kajzer 1987: 122-123.

Zagadnieniem morfologii i typologią gródków zajął się Edward Krause, który zwrócił uwagę, że określenie „grodzisko stożkowane” zostało na stałe powiązane z małą siedzibą rycerską z okresu średniowiecza. Oznacza to, że przypisuje mu się oprócz znaczenia formalnego, także funkcjonalne i chronologiczne. Przedstawił także małe grody średniowieczne, które pozbawione były formy kopca, ale spełniały identyczne funkcje. W oparciu o te założenia stworzył typologię gródków:

- Typowe grodziska „stożkowane” ze sztucznym nasypem w kształcie stożka z wieżą obronną na szczycie.
- Grodziska „stożkowane” wykorzystujące naturalne wyniesienia, niekiedy dodatkowo sztucznie podwyższone i odcinane od reszty terenu fosą.
- Małe grodziska kształtu pierścieniowego z wieżą lub bez niej, otoczone - oprócz wału - często fosą lub palisadą.
- Grodziska wyżynne i podgórskie, do których budowy bardzo często używano kamienia²⁷.

Wysunął także hipotezę, że zredukowane grodziska „pierścieniowe” są wcześniejszymi założeniami, a forma stożka dotarła do Polski dopiero w XIII w. z Zachodu²⁸.

Założenie to, być może prawidłowe dla terenów średniowiecznego osadnictwa słowiańskiego, nie jest właściwym dla obszarów zajmowanych od starożytności przez ludy bałtyckie, gdyż już we wczesnej epoce żelaza oprócz charakterystycznych osad nawodnych i oczywiście osad otwartych, pojawiają się tu formy osad obronnych, właśnie w formie stożka wykorzystującego naturalne wyniesienia, odpowiednio uformowane i wyprofilowane. Te formy osadnicze znane jako „pilkalnie”, inwentaryzowane i badane były już od pierwszej połowy XIX w. na terenie Litwy, Łotwy, Estonii, Finlandii oraz północno-wschodniej Rosji, między innymi także przez polskich starożytników, takich jak Adam Czarnocki (Zorian Dołęga Chodakowski)²⁹ czy Eustachy Tyszkiewicz³⁰.

Na potrzeby niniejszej pracy przyjęte zostały kryteria odpowiadające dwóm pierwszym grupom morfologicznym wyróżnionym przez Edwarda Krausego. Spośród pozostałych grup, jedna w ogóle nie występuje na terenie woj. warmińsko-mazurskiego, zaś obiekty pierścieniowe w świetle obecnego stanu badań nie posiadają zarejestrowanych nawarstwień późnośredniowiecznych.

Pojawienie się grodzisk stożkowatych na terenach Polski - jak już wspomniano wyżej - datuje się na wiek XIII. Datowanie to pokrywa się z czasem pojawienia się zakonu krzyżackiego na ziemiach polskich (Ziemia Chełmińska) i jego ekspansją na tereny pruskie (dzisiejsze woj. warmińsko-mazurskie). Z tymi wydarzeniami łączony jest koniec okresu wczesnego średniowiecza na tym obszarze. Podboje krzyżackie trwały prawie do końca XIII w. (1290 r.). Już od pierwszej połowy XIII w. Krzyżacy pro-

wadzili akcją kolonizacyjną mającą na celu wyodrębnienie i wyizolowanie warstwy rycerskiej z ludności plemion pruskich, nadając wybrańcom – pruskim możnym – przywileje rycerskie, które miały uzależnić ich jako lenników od władzy zakonnej. Proces ten został zatrzymany po wybuchu powstań pruskich, w czasie których nie prowadzono regularnej akcji osadniczej, ale być może rozpoczęto wystawianie przywilejów, nadających dobra ziemskie rycerzom uczestniczącym w wyprawach po stronie Zakonu³¹. Zintensyfikowana akcja osadnicza prowadzona była w latach 1310–1370. Do połowy XIV w. zostaje założonych 1400 wsi i 93 miasta³². Prawdopodobnie w tym okresie powstaje duża część omawianych w niniejszej pracy gródków. Część z nich przestaje funkcjonować już w XV w., ale niektóre były prawdopodobnie użytkowane również w okresie nowożytnym.

STAN BADAŃ I PODSTAWA ŹRÓDŁOWA OPRACOWANIA

Grodziska, w tym także stożkowane na terenie Prus Wschodnich, których częścią jest obecne województwo warmińsko-mazurskie, budziły zainteresowanie badaczy od dawna. Ziemne fortyfikacje na swoje mapy nanosili Kaspar Hennenberger³³ i Józef Naroński³⁴. Posłużyły one późniejszym badaczom niemieckim jako podstawa do dalszych opracowań. Akcją inwentaryzacyjną średniowiecznych warowni w Prusach zajmował się w latach 1826-1828 Johann Michael Guise³⁵. Podobne działania w ramach gdańskiego Towarzystwa Przyrodniczego prowadził Abraham Lissauer, ich zwieńczeniem było opublikowanie w 1887 r. monograficznego opracowania zabytków z Prus Zachodnich i okolicznych terenów³⁶. Konserwatorem zabytków prowincji Prusy Wschodnie od 1891 r. był Adolf Boetticher. Jest on autorem ośmiotomowej monografii zabytków sztuki i architektury z terenu Prus Wschodnich. Każdy tom omawia inny region, a publikacja zawiera także wzmianki o stanowiskach archeologicznych, w tym gródkach stożkowatych³⁷. Również Max Pollux Toeppen w swojej *Historii Mazur* poświęcił fragment „zabytkom z czasów pogańskich i wzgórzom zamkowym”, a także wspomina o historycznych fortyfikacjach w innych częściach pracy³⁸. Duży wkład w badania nad grodziskami z terenu Prus mieli dwaj członkowie Towarzystwa Starożytności Prussia - Emil Hollack i Hans Crome. Pierwszy z nich prowadził liczne badania i jest autorem katalogu grodzisk z terenu Prus³⁹. Drugi

²⁷ Krause 1976: 283.

²⁸ Krause 1976: 284.

²⁹ Blombergowa 1993; 11 i n.

³⁰ Blombergowa 1993: 42

³¹ Achremczyk 2010: 125.

³² Achremczyk 2010: 125.

³³ Hennenberger 1575.

³⁴ Antoniewicz 1951a: 1-21; Szeliga 1997.

³⁵ Szczepański 2011: 10.

³⁶ Lissauer 1887.

³⁷ Boetticher 1894, 1898a, 1898b.

³⁸ Töppen 1998.

³⁹ Hollack 1908.

jest autorem mapy przedstawiającej lokalizację grodzisk w Prusach; publikował również zestawienia historycznych fortyfikacji⁴⁰. Wśród polskich badaczy przedwojennych należy wymienić Władysława Łęgę, który zajmował się terenem Pomorza, ale część uwzględnionych w jego pracy grodzisk znajduje się na terenie dzisiejszego woj. warmińsko-mazurskiego⁴¹. Po wojnie pierwsze badania terenowe na tych terenach przeprowadził z ramienia Państwowego Muzeum Archeologicznego Jerzy Antoniewicz⁴². Pozostała po nim dokumentacja, znajdująca się w archiwach WUOZ w Olsztynie i jego delegatur, pokazuje ogrom wykonanej przez niego pracy. W okresie powojennym zestawienie grodzisk z terenu Warmii zawiera w swojej pracy Marzena Pollakówna⁴³. Obiekty z terenu województwa zostały także naniesione na opracowaną przez Włodzimierza Antoniewicza i Zofię Wartołowską *Mapę grodzisk w Polsce*⁴⁴. Na przełomie lat 60. i 70. XX w. z inicjatywy władz konserwatorskich Pracowni Archeologiczno-Konserwatorskie PP PKZ podjęły akcję weryfikacyjno-inwentaryzacyjną grodzisk woj. olsztyńskiego. Niestety po wykonaniu prac dla powiatów Braniewo⁴⁵ i Bartoszyce⁴⁶, została ona przerwana. Na początku lat 70. Instytut Archeologii Uniwersytetu Warszawskiego podjął archeologiczne prace inwentaryzacyjne w dolinie Gubra (pow. kętrzyński), w związku z planowanymi inwestycjami Agrokompleksu Kętrzyńskiego, zajmując się także weryfikacją grodzisk w tym rejonie. W ramach badań kompleksu osadniczego w okolicach Szestna, także w latach 70. IAUW, a potem IHKM O. Łódź, podjęły badania kopca w Wyszeboroku⁴⁷, zamku w Szestnie⁴⁸ i grodziska w Szestnie – Czarny Las⁴⁹. Niektóre obiekty będące podstawą tej pracy były badane w ramach Badań Grunwaldzkich⁵⁰. Intensyfikacja badań wykopaliskowych na omawianych w tej pracy grodziskach miała miejsce w ostatnich 20 latach. Duży wkład w rozpoznanie grodzisk stożkowatych z terenu woj. warmińsko-mazurskiego miały badania prowadzone w ramach Ekspedycji Galindzkiej UW. Istotny wkład miała również Anna Marciniak-Kajzer, która badała niewielkie kopce w okolicach Mrągowa, Dąbrówna i prowadziła ratownicze badania w Narzymiu. Prawie jedna trzecia przebadanych wykopaliskowo stanowisk (5), uwzględnionych w niniejszej pracy, była badana w ramach projektu NPRH *Katalog grodzisk Warmii i Mazur*.

⁴⁰ Crome 1937: 97-125, 1939: 263-290, 1940: 83-154.

⁴¹ Łęga 1930: 506-558.

⁴² Antoniewicz 1950: 51-77.

⁴³ Pollakówna 1953: 157-159.

⁴⁴ Antoniewicz i Wartołowska (red.) 1964.

⁴⁵ *Sprawozdanie z badań weryfikacyjnych grodzisk pow. Braniewo*, archiwum WUOZ w Olsztynie.

⁴⁶ *Sprawozdanie z badań weryfikacyjnych grodzisk pow. Bartoszyce*, archiwum WUOZ w Olsztynie.

⁴⁷ Nowakowski 1985, 1986, 1987.

⁴⁸ Głosek, Blomberg i Świętosławski 1987.

⁴⁹ Skrok i Kowalski 2003.

⁵⁰ Nadolski 1991: 24-33.

Część I: Pomezania, Pogezania i Warmia, kierowanego przez Zbigniewa Kobylińskiego.⁵¹

Podstawą źródłową niniejszej pracy są także informacje pozyskane w wyniku kwerendy źródłowej przeprowadzonej w archiwach Wojewódzkiego Urzędu Ochrony Zabytków w Olsztynie i jego delegatur w Elblągu i Ełku oraz w Archiwum Działu Archeologii Muzeum Warmii i Mazur w Olsztynie, a także zwiad terenowy przeprowadzony wiosną 2016 r. Wykorzystano dokumentację zawartą w teczkach AZP oraz teczkach stanowisk. Informacje pozyskano głównie z kart ewidencji stanowisk archeologicznych, sprawozdań i dokumentacji z badań wykopaliskowych, sprawozdań z badań powierzchniowych i weryfikacyjnych, dokumentacji badań AZP, notatek z wyjazdów służbowych pracowników powyższych instytucji, wyników kwerend historycznych i wypisów z literatury. Jakość i zasoby dokumentacji prezentują bardzo zróżnicowany poziom. Poszczególne źródła prezentują czasem niedokładne, niekiedy błędne informacje, zdarza się również, że dwa źródła podają sprzeczne ze sobą informacje. W wyniku kwerendy udało się pozyskać informacje dotyczące pięćdziesięciu trzech grodzisk stożkowatych spełniających przyjęte w niniejszej pracy kryteria. Jedynie na siedemnastu z nich przeprowadzono badania wykopaliskowe, które w niektórych przypadkach nie przyniosły oczekiwanych rezultatów. W dwóch przypadkach badania wykopaliskowe były prowadzone w sąsiedztwie omawianych obiektów (Sętań, st. 1 i Zyndaki, st. 1). Ponadto na jedenastu obiektach wykonano wkopy sondażowe lub odwierty. Na pozostałych stanowiskach przeprowadzono jedynie badania powierzchniowe lub weryfikacje terenowe. W niektórych przypadkach obserwacja powierzchniowa była niemożliwa bądź utrudniona ze względu na gęstą szatę roślinną pokrywającą stanowisko.

Obecny stan wiedzy wymaga dalszych badań i poszerzenia zasobów źródłowych dotyczących grodzisk stożkowatych z terenu woj. warmińsko-mazurskiego.

GEOGRAFIA WCZESNEGO OSADNICTWA REZYDENCJONALNEGO (GRODOWEGO) NA OBSZARZE WOJEWÓDZTWA

Wydzielony na podstawie wcześniej omówionych założeń zbiór stanowisk archeologicznych odpowiadających kryteriom „gródka stożkowatego” nie rozkłada się równomiernie na terenie całego województwa warmińsko-mazurskiego. Widoczne są obszary skupiające większą liczbę tego typu obiektów oraz takie, na których nie zarejestrowano żadnych obiektów. Różnicowanie to może być w pewnym stopniu odbiciem stanu badań, jednakże

⁵¹ W pracy nie uwzględniono badanych w ramach tego projektu grodzisk w Borecznie, st. 4, gm. Zalewo oraz Truplu, st. 1, gm. Kisielice ze względu na niemożność jednoznacznej interpretacji tych obiektów jako gródków stożkowatych oraz stanowiska w Wenecji, st. 2, gm. Morąg, które po zbadaniu okazało się kurhanem z okresu wpływów rzymskich.

nie jest możliwe aż takie zróżnicowanie, w obrębie obszaru, który w dużym stopniu został już przebadany według programu AZP.

Wyraźne pustki osadnicze występują w południowej i wschodniej części województwa, pokrywającej się tu z południowo-wschodnią granicą państwa krzyżackiego. Wyraźna pustka występuje także na niemal całym obszarze historycznego Dominium Biskupa Warmińskiego. Wydaje się, że stan ten ma uzasadnienie historyczne. Obszar Dominium Warmińskiego znajdował się w bezpośrednim władaniu biskupa i kurii diecezjalnej diecezji warmińskiej. Zarządzająca tym obszarem administracja kościelna nie była zainteresowana tworzeniem w jego obrębie dóbr rycerskich, na zarządzanie którymi nie miałyby bezpośredniego wpływu. Obiekty obronne znajdujące się w obrębie dominium to fortyfikacje miast i zamki biskupie. Tylko w nielicznych przypadkach mogły to być obiekty o charakterze ufortyfikowanych siedzib i to prawdopodobnie administratorów kościelnych (sołtysów, wójtów). Nie można też wykluczyć pochodzenia tych obiektów z okresu poprzedzającego organizację administracji biskupstwa. W rejonie Barczewa i Dobrego Miasta obiekty te mogą być związane z wcześniejszym systemem fortyfikacji w skład którego, oprócz grodów, wchodziły także systemy wałów podłużnych, a obiekty stożkowe mogły pełnić w tym systemie rolę stanowisk obserwacyjnych (gródki strażnicze), a nie siedzib rycerskich. Na całym pozostałym obszarze historycznego Dominium Warmińskiego, nie ma obiektów stożkowatych, które mogłyby być związane z nadaniami rycerskimi. Stan taki funkcjonował aż do likwidacji państwa krzyżackiego (1525), a na pewno do końca wojny 13-letniej. Zatem chronologicznie w całym okresie zwanym późnym średniowieczem nie było na terenie Dominium Warmińskiego warunków rozwoju osadnictwa rycerskiego.

Pusty obszar południowo-wschodni jest związany bezpośrednio z polityką Zakonu Krzyżackiego po opanowaniu terenu plemion jaćwieskich i ich spacyfikowaniu w końcu XIII w. Postanowiono wówczas odgrodzić się od południowego wschodu pasem puszczy granicznych, i teren na wschód od wielkich jezior mazurskich pozostawiono poza zasięgiem akcji kolonizacyjnej. Do ponownego zasiedlenia tych obszarów powrócono dopiero na przełomie XV i XVI w., to jest w czasie gdy średniowieczna wieża na kopcu, otoczona fosą lub wałem, przestała być obowiązującym modelem siedziby rycerza, czy już wówczas raczej właściciela ziemskiego i została zastąpiona przez dwór lub pałac z podjazdem przed elewacją frontową i parkiem za elewacją tylną (ogrodową) oraz folwarkiem w pobliżu. Być może dlatego właśnie teren wschodnich Mazur mimo istnienia majątków szlacheckich o długiej tradycji, jest pozbawiony takich form osadnictwa jak gródki stożkowe.

Południowa część terenów przy granicy mazowiecko-pruskiej pozbawiona jest gródków ze względu na charakter osadnictwa. Od XVI w. na pogranicznych terenach puszczańskich lokowano wsie czynszowe na prawie nie-

mieckim (osadnictwo szkatułowe) i nie było tu miejsca na siedziby rycerskie czy szlacheckie. Majątki pojawiają się dopiero w XIX w. i mają związek bardziej z przemysłem spożywczym (gorzelnie) niż kulturą szlachecką.

Nieco inna sytuacja społeczna i osadnicza miała miejsce w średniowieczu na zachodnich krańcach dzisiejszego województwa warmińsko-mazurskiego. Są to tereny najwcześniej skolonizowane przez Zakon, obszary diecezji chełmińskiej i pomezjańskiej, gdzie pierwotna akcja osadnicza miała miejsce jeszcze przed powstaniem pruskimi (połowa XIII w.) i obejmowała nadania ziemskie dla rycerstwa pomorskiego i pruskiego postępujące równoległe z lokacjami wsi chłopskich. Stąd na tych terenach pozostały liczniejsze ślady tych przedsięwzięć: Samplawa, Nowe Grodziczno, Słupnica. Oprócz siedzib rycerskich rozpoznano tu także obiekty mieszczące się w kategorii „stożkowatych”, ale w istocie spełniające nieco inne funkcje. Grodziska na Wielkiej Żuławie w Łławie oraz w Mozgowie były wprawdzie siedzibami rycerskimi, ale jednocześnie obiektami o charakterze typowo militarnym. W pierwszym przypadku, była to pierwotna siedziba załogi krzyżackiej na tym terenie, a w drugim, prawdopodobnie obiekt o charakterze strażniczym (być może komora celna) zlokalizowany przy przeprawie na szlaku z Ostródy do Malborka, pierwotnie drewniany, a następnie po odbudowie ze zniszczeń – murowany. Były to zatem obiekty mieszkalno-obronne, ale nie miały charakteru rezydencji rycerskiej w sensie dosłownym.

Jeszcze inny charakter miał, jak się okazało po badaniach, kopiec w Lasecznie Małym. Obiekt ten okazał się kopcem obserwacyjno-strażniczym. W tym przypadku na kopcu znajdowała się jakaś lekka konstrukcja drewniana (wiata, szopa, być może ambona) oraz urządzenie ogniowe (piec) znajdujące się poza nią. Obiekt służył do obserwacji terenu i być może przekazywania sygnałów między określonymi punktami. Był on prawdopodobnie wykorzystywany tylko okazjonalnie w okresach niepokoju.

Podobna sytuacja osadnicza panuje na przylegających do Ziemi Chełmińskiej obszarach Górnych Prus (Oberlandu) należących do Komturii Ostródzkiej. Tu również występują gródki stożkowe budowane na podstawie nadań rycerskich w ciągu XIV w. (Durąg, Grabin, Dąbrówno, Gardyny, Księży Dwór, Narzym). Część z nich nie przetrwała wojen z pierwszej połowy XV w., ale niektóre (Narzym) zostały przekształcone w murowane zamki prywatne, a następnie na tym samym terenie, w formie dworów, aż do 1945 r.

Drugim obszarem, gdzie obiekty stożkowe występują z dużym nasileniem, jest teren należący do prowincji natangijskiej, a leżący na północ i wschód od Dominium Warmińskiego. Obszar ten, opierający się od wschodu o linię wielkich jezior mazurskich, stanowił od przełomu XIII i XIV w. rzeczywistą granicę zasiedlonych i zagospodarowanych terenów państwa krzyżackiego. Znajduje się tu linia murowanych zamków i pomniejszych strażnic, mających strzec pogranicza. Tereny, gdzie dominują bardzo urodzajne gleby, prawdopodobnie już u schyłku wczesne-

go średniowiecza zostały odlesione. Duże arealy rolne stwarzały dobre warunki dla lokacji zarówno wsi chłopskich, jak i dóbr rycerskich, które nadawano już w XIV w., a proces ten zintensyfikowano w ciągu XV w., kiedy to zakon wyczerpany długotrwałymi wojnami zmuszony był płacić nadaniami ziemskimi zaciężnemu rycerstwu. Jest to czas, gdy powstaje i krzepnie większość prywatnej wielkiej własności ziemskiej na tym terenie, który staje się tym ważniejszy, że jest bezpośrednim zapleczem nowej stolicy państwa, jaką zostaje Królewiec. Oczywiście, podobnie jak w przypadku obszarów zachodnich, tu również nie wszystkie gródki stożkowate są pozostałościami wież mieszkalnych na kopcach. Część to z pewnością gródki, czy kopce strażnicze, z nikłymi pozostałościami osadniczymi na szczycie, czego dowiodła swymi badaniami A. Marciniak-Kajzer (Notyst Mały, st. 1, Stama, st. 1, Śpiglówka, st. 1, Zyndaki, st. 1, Wyszembork, st. 1). Wyniki przyszłych badań być może do tej kategorii zaliczą jeszcze obiekty w Cerkiewniku, st. 3, Rynie, st. 2 i Krzyżanach, st. 1. Niektóre obiekty są pozostałościami większych, wczesnych krzyżackich założeń obronnych (Równina Dolna, st. 1, Sątoczno, st. 2).

Jednak większość, mimo iż dotychczas przeważnie nie badana, to - z dużym prawdopodobieństwem - pozostałości siedzib rycerskich, które następnie przekształciły się we dwory lub pałace, ze „starożytnym” stożkiem po pierwotnej siedzibie, w obrębie parku, lub gdzieś indziej w pobliżu (Jegławki, st. 1, Garbno, gm. Korsze, st. 1, Mołtajny, st. 2, Boże, st. 9, Galiny, st. 2, Piaseczno, st. 1, Pogonowo, st. 1).

Należy się wszakże liczyć również z koniecznością usunięcia niektórych stanowisk z katalogu grodzisk, a nawet obiektów o charakterze antropogenicznym (Rydwagi, st. 1), lub radykalnej zmiany poglądów dotyczących ich chronologii i funkcji (Rygarby, st. 1, Krzyżany, st. 1, Ryn, st. 2, Wandajny, st. 1). Wymienione tu obiekty nasuwają wątpliwości w sferze interpretacji wyników prowadzonych badań (Rydwagi, st. 1), jak i przy analizie lokalizacji i warunków fizjograficznych niektórych obiektów. Wydaje się, że na przykład kopiec Wandajny, st. 1, bardziej przypomina gniazdo baterii przeciwlotniczej z II wojny światowej, niż grodzisko.

MAKRO- I MIKROGEOGRAFIA GRODZISK STOŻKOWATYCH

Aktualny zasób informacyjny w zakresie rozpoznania archeologicznego terenu województwa warmińsko-mazurskiego pozwolił na wydzielenie pięćdziesięciu trzech stanowisk mających formę różnego rodzaju nasypów, odpowiadających desygnatowi gródka stożkowatego (ryc. 1). Ich forma jest wynikiem zarówno działań budowniczych poszczególnych obiektów, jak i stanu ich zachowania. Poziom wiedzy na temat tych obiektów jest rezultatem różnorodnych badań terenowych, których wyniki dostarczyły źródeł o zróżnicowanym potencjale informacyjnym.

Chronologia średniowiecza dla terenów woj. warmińsko-mazurskiego nie została szczegółowo opracowana. Dla potrzeb tej pracy przyjęty zostanie podział na wczesne średniowiecze (okres pruski) i późne średniowiecze (okres krzyżacki), gdzie granicą między oboma okresami jest czas podboju danego terenu przez zakon krzyżacki⁵². W tej części rozdziału przeprowadzona zostanie analiza geograficznego rozmieszczenia interesujących nas stanowisk w odniesieniu do czasu ich powstania. Większość omawianych obiektów o ustalonej chronologii (20) powstała w okresie krzyżackim. Znacznie mniejsza część z nich (10) powstała przy wykorzystaniu istniejących już wcześniej założeń obronnych, bądź była kolejną fazą użytkowania wczesnośredniowiecznych grodów, na co wskazują wyraźnie wydzielone warstwy o metryce wczesno- i późnośredniowiecznej. Ponadto zidentyfikowano jedno stanowisko (Boże, st. 1), którego forma jest typowa dla późnego średniowiecza, ale badania wykopaliskowe dostarczyły materiał zabytkowy datowany wyłącznie na wczesne średniowiecze. Niestety bardzo duża część stanowisk (22) nie posiada dokładnie określonej chronologii, bądź jest ona określona w oparciu o materiał zabytkowy pozyskany z okolicznych terenów, nie zaś z samego stanowiska. Przedstawioną powyżej sytuację obrazuje tabela 1.

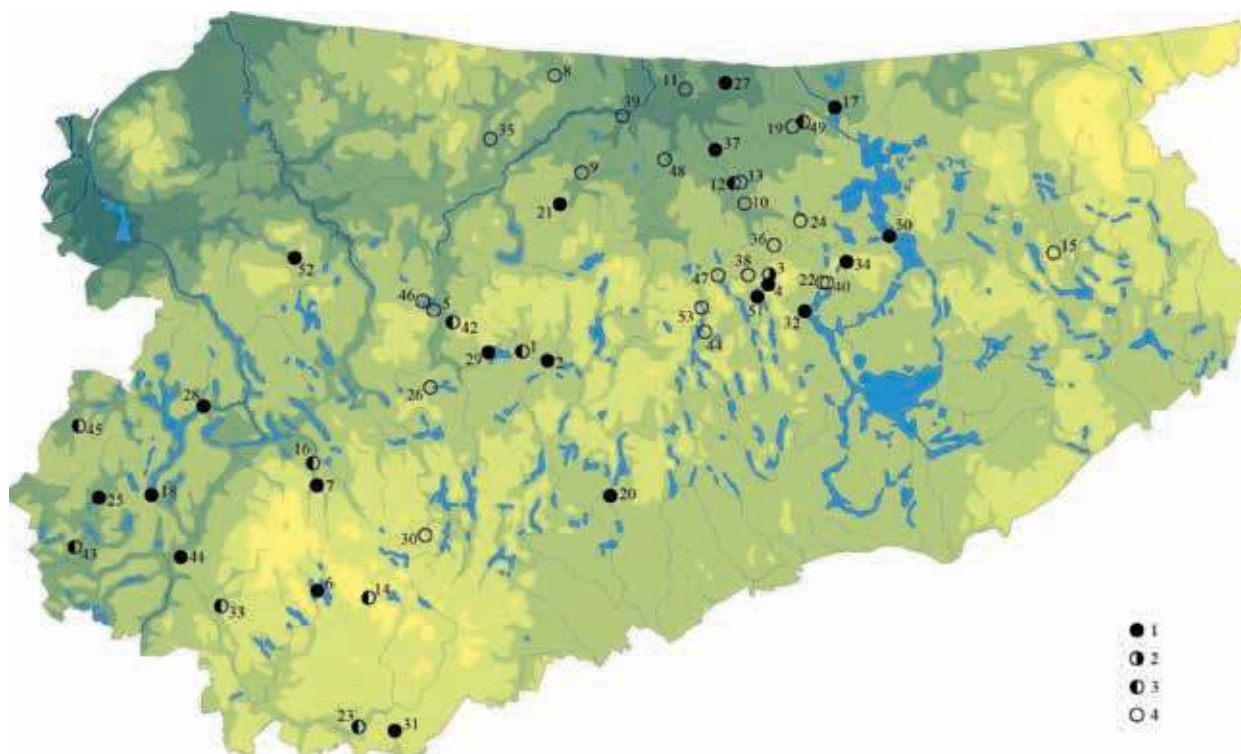
Pod względem kartograficznym można wskazać na omawianym terenie trzy obszary stanowiące skupiska interesujących nas grodzisk. Pierwsze skupisko obejmuje obszar na wschód od Pasłęki, czyli tereny Pomezanii i Pogezanii, a także Ziemię Lubawską; odpowiada to fizycznogeograficznym makroregionom Pojezierza Iławskiego i wschodniej części Pojezierza Chełmińsko-Dobrzyńskiego wraz z Garbem Lubawskim. Zarejestrowano tu 12 stanowisk, co stanowi 22% wszystkich interesujących nas obiektów. Liczba grodów o chronologii późnośredniowiecznej (6) jest prawie równa liczbie grodzisk, na których wystąpiły nawarstwienia zarówno wczesno- jak i późnośredniowieczne (5), tylko jeden obiekt z tego terenu nie ma określonej chronologii (Nadrowo, st. 1). Grodziska są rozrzucone po południowej części obszaru i nie tworzą mniejszych skupisk. Ponadto dwa grodziska (Księży Dwór, st. 1 i Narzym, st. 1) są bardziej oddalone od pozostałych i leżą na pograniczu mazowiecko-pruskim, już na terenie Niziny Północnomazowieckiej. Pierwsze z nich zalicza się do grupy, w której wystąpiły zarówno nawarstwienia wczesno- jak i późnośredniowieczne, zaś drugie powstało już w późnym średniowieczu. Spośród grodzisk o metryce późnośredniowiecznej większość (Duraż, st. 1, Iława, st. 33, Laseczno Małe, st. 1, Mozgowo, st. 1 i Samplawa, st. 1) usytuowana jest na obszarach krawędziowych różnych form geomorfologicznych. Tylko dwa spośród grodzisk o tej metryce mają położenie nizinne, jedno grodzisko położone jest w dolinie niewielkiej

⁵² Powoduje to co prawda przyjęcie różnej daty granicznej dla poszczególnych terenów województwa, ale pojawienie się zakonu na tym terenie jest dobrze widoczne w źródłach archeologicznych poprzez pojawienie się ceramiki toczzonej na kole i wypalanej w atmosferze redukcyjnej (tzw. siwaków).

Tabela 1. Zestawienie grodzisk stożkowatych z terenu woj. warmińsko-mazurskiego według chronologii

Table 1. List of the motte-type strongholds from the territory of the Warmian-Masurian Province in relation to their chronology

Grodziska z nawarstwieniami o metryce późnośredniowiecznej	Grodziska z nawarstwieniami o metryce wczesno- i późnośredniowiecznej	Grodziska z nawarstwieniami o metryce wyłącznie wczesnośredniowiecznej	Grodziska o nieustalonej lub niepewnej chronologii
Barczewo, st. 3 Boże, st. 9 Dąbrówno, st. 2 Durąg, st. 1 Guja, st. 9 Iława, st. 33 Jęcznik, st. 1 Kiwity, st. 1 Laseczno Małe, st. 1 Moltajny, st. 2 Mozgowo, st. 1 Myki, st. 1 Narzym, st. 1 Notyst Mały, st. 1 Orło, st. 1 Równina Dolna, st. 1 Samplawa, st. 1 Wrony, st. 1/2 Wyszembork, st. 1 Zimnochy, st. 1	Barczewko, st. 1 Garbno, gm. Korsze, st. 1 Gardyny, st. 1 Grabin, st. 1 Księży Dwór, st. 1 Nowe Grodziczno, st. 29 Sętań, st. 1 Słupnica, st. 1 Susz, st. 1 Wilczyny, st. 1	Boże, st. 1	Cerkiewnik, st. 3 Duża Wola, st. 1 Galiny, st. 2 Gałwuny, st. 2 Garbno, gm. Barciany, st. 1 Garbno, gm. Korsze, st. 2 Gorłówko, st. 1 Jegławki, st. 1 Krzyżany, st. 1 Kwiedzina, st. 2 Łupstych, st. 1 Nadrowo, st. 1 Piaseczno, st. 1 Poganowo, st. 1 Rydwągi, st. 1 Rygarby, st. 1 Ryn, st. 2 Stama, st. 1 Swobodna, st. 3 Śpiglówka, st. 1 Wandajny, st. 1 Zyndaki, st. 1



Ryc. 1. Lokalizacja grodzisk stożkowatych na terenie woj. warmińsko-mazurskiego według podziału chronologicznego: 1 – grodziska o metryce późnośredniowiecznej; 2 – grodziska o metryce wczesnośredniowiecznej; 3 – grodziska z nawarstwieniami zarówno wczesno- jak i późnośredniowiecznymi; 4 – grodziska o nieokreślonej lub niepewnej chronologii (oprac. J. Radkowski)

Fig. 1. Location of the motte-type strongholds in the territory of the Warmian-Masurian Province in respect to chronology: 1 – Late Medieval; 2 – Early Medieval; 3 – Early Medieval and Late Medieval; 4 – undetermined or uncertain chronology (elaborated by J. Radkowski)

rzeczki (Narzým, st. 1), drugie zaś zlokalizowane jest na przesmyku między jeziorami Dąbrowa Mała a Dąbrowa Wielka (Dąbrówno, st. 2). Wśród grodzisk, na których odkryto także nawarstwienia wczesnośredniowieczne, również dominują te o wysoczyznowym położeniu krawędziowym (Grabín, st. 1, Księży Dwór, st. 1, Nowe Grodziczno, st. 29 i Susz, st. 1). Również w tej grupie dwa grodziska mają położenie nizinne (Gardyny, st. 1 i Słupnica, st. 1). Pierwsze z nich położone jest w dolinie jeziora Gardejki, drugie zaś zlokalizowane jest w dolinie Młyńskiej Strugi. Jedyne grodzisko o nieokreślonej chronologii (Nadrowo, st. 1) ma lokalizację nizinną i położone jest pośród podmokłych łąk.

Drugie skupisko znajduje się na terenie Warmii i obejmuje obszar na północ od Olsztyna, w trójkącie między okolicami jeziora Limajno na północy, Barczewem na wschodzie i okolicami jeziora Ukiel na zachodzie. Jest to teren mezoregionu Pojezierza Mazurskiego. Zarejestrowano tu 7 grodzisk, co stanowi 13% ogółu interesujących nas stanowisk. Spośród tych obiektów dwa posiadają metrykę późnośredniowieczną, a na kolejnych dwóch zarejestrowano nawarstwienia zarówno wczesno- jak i późnośredniowieczne. Prawie połowa grodzisk w tym skupisku (3) ma nieokreśloną chronologię. Grodziska w Cerkiewniku (st. 3) i Swobodnej (st. 3) tworzą mniejsze skupisko wokół jeziora Limajno. Oba stanowiska o chronologii późnośredniowiecznej mają położenie wysoczyznowe: jedno zlokalizowane jest na krawędzi doliny Pisy (Barczewo, st. 3), a drugie leży na przykrawędziowej płaszczynie niewielkiego jaru (Myki, st. 1). Spośród grodzisk o metryce wczesno- i późnośredniowiecznej jedno ma położenie wysoczyznowe i zlokalizowane jest na krawędzi doliny, którą płynie kanał Sętał (Sętał, st. 1), drugie (Barczewko, st. 1) usytuowane jest w dolinie Pisy. Spośród grodzisk o nieokreślonej chronologii dwa ulokowane są na kulminacji wysoczyzn (Cerkiewnik, st. 3 i Łupstych, st. 1), a jedno ma położenie nizinne (Swobodna, st. 3) i ulokowane jest na podmokłym brzegu jeziora Limajno.

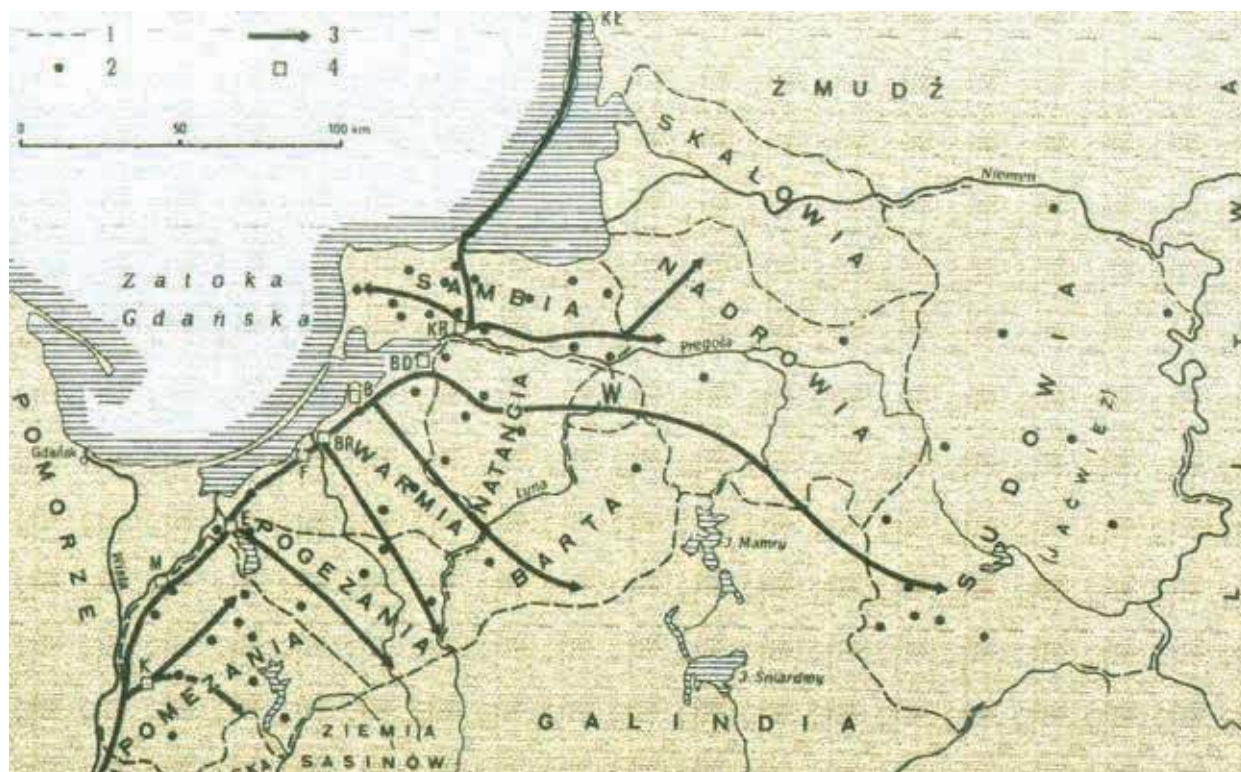
Trzecie skupisko położone jest na wschód od linii prostej łączącej Lidzbark Warmiński z Biskupcem, od południa i wschodu ograniczone jest linią Wielkich Jezior Mazurskich. Są to tereny Natangii i Barcji, a także północne pogranicze Galindii. Zarejestrowano na tym obszarze 29 obiektów, co stanowi 55% wszystkich interesujących nas grodzisk. Tworzą one dwa mniejsze skupiska. Pierwsze - w północnej części, na terenie Niziny Sępopolskiej, skupia 15 stanowisk. Prawie jedną trzecią spośród nich (4) stanowią gródki o metryce późnośredniowiecznej. Grodziska, na których odkryto nawarstwienia zarówno wczesno- jak i późnośredniowieczne reprezentowane są tylko przez dwa obiekty. W przypadku większości stanowisk z tego obszaru (9), chronologia nie została ustalona, bądź jest wątpliwa. Wszystkie grodziska z okresu krzyżackiego mają położenie nizinne. Jedno z nich (Guja, st. 9) położone jest na niewielkim płaskim wzniesieniu otoczonym przez podmokłe łąki, drugie (Mołtajny, st. 2)

znajduje się na płaskim wyniesieniu, przy brzegu jeziora Arklickiego, otoczonym podmokłymi terenami. Kolejna dwa obiekty znajdują się odpowiednio w dolinie Kiwickiej Strugi (Kiwity, st. 1) i Gubra (Równina Dolna, st. 1). Oba grodziska o metryce wczesnośredniowiecznej (Garbno, gm. Korsze, st. 1 i Wilczyny, st. 1) zlokalizowane są na wysoczyźnie przy krawędzi dolin rzecznych (odpowiednio Rawy i Ometu). Spośród grodzisk o nieustalonej chronologii ponad połowa ma lokalizację wysoczyznową, z czego cztery mają położenie krawędziowe (Gałwuny, st. 2, Garbno, gm. Korsze, st. 2, Jegławki, st. 1 i Piaseczno, st. 1), a jedno (Rygarby, st. 1) zlokalizowane jest na kulminacji wysoczyzny. Pozostałe cztery obiekty mają położenie nizinne, jeden z nich położony jest w dolinie Pisy (Galiny, st. 2), dwa usytuowane są na terenach podmokłych (Duża Wola, st. 1, Wandajny, st. 1), a ostatni (Garbno, gm. Barciany, st. 1) leży na nieznacznie wyniesionym pagórku (ozie) otoczonym z dwóch stron podmokłymi łąkami.

Drugie z mniejszych skupisk obejmuje tereny Pojezierza Mrągowskiego i Krainy Wielkich Jezior Mazurskich. W jego obrębie zarejestrowano 14 stanowisk. Ponad jedna trzecia grodzisk z tego terenu posiada metrykę późnośredniowieczną (5). Na tym obszarze brak jest grodzisk, na których odkryto nawarstwienia zarówno wczesno- jak i późnośredniowieczne, ale jeden ze stożków, w oparciu o odkryte na nim zabytki, datowany jest wyłącznie na wczesne średniowiecze. Pozostałe stanowiska (8) mają nieokreśloną bądź niepewną chronologię. Spośród grodzisk, na których odkryto nawarstwienia wyłącznie późnośredniowieczne, trzy mają położenie krawędziowe (Boże, st. 9, Notyst Mały, st. 1 i Orło, st. 1), a pozostałe dwa nizinne. Oba gródki ulokowane są na przesmykach, jeden między jeziorami Tajty a Kisajno (Wrony, st. 1/2), a drugi na jeziorze Salet⁵³ (Wyszembork, st. 1). Wczesnośredniowieczny gródek w Bożem (st. 1) położony jest na krawędzi doliny Boskiego Jeziora. Spośród grodzisk o nieokreślonej chronologii siedem zlokalizowanych jest na wysoczyznach. Trzy z nich mają położenie krawędziowe (Kwiedzina, st. 2, Stama, st. 1 i Śpigłówka, st. 1), dwa (Krzyżany, st. 1 i Ryn, st. 2) usytuowane są na kulminacji wysoczyzny, jedno zlokalizowane jest na pagórku morenowym (Poganowo, st. 1), a ostatnie (Rydwagi, st. 1) położone jest na pagórkowatym tarasie wysoczyzny. Jedno grodzisko o nieokreślonej chronologii położone jest na obszarach nizinnych: kopiec w Zyndakach (st. 1) zlokalizowany jest u nasady przesmyku między jeziorami Zyndackim a Warpuńskim.

Poza terenami opisanych skupisk znalazły się trzy grodziska. Obiekt w Jęczniku (st. 1) o chronologii wyłącznie późnośredniowiecznej, zlokalizowany jest na Równinie Mazurskiej. Gródek położony jest na cyplu wysoczyzny wcinającym się w dolinę Saskiej Strugi. Krawędziowe położenie ma również grodzisko w Zimnochach (st. 1), leżące na obszarze Pojezierza Ławskiego. Jego chronologia także określona została na późne średniowiecze, zloka-

⁵³ Przesmyk (pierwotnie wyspa bądź cypel) dzieli jezioro na dwa akweny: Salet Mały i Salet Wielki.



Ryc. 2. Podbój Prus: 1 – granice plemion; 2 – ośrodki włości; 3 – kierunek wypraw krzyżackich; 4 – miejsca, gdzie później powstały miasta; K – Kwidzyn; M – Malbork; E – Elbląg; BR – Braniewo; B – Bałga; BD – Pokarmin (Brandenburg); KR – Królewiec; KŁ – Kłajpeda; W – Wohnsdorf (ziemia Unsatrapis) (Górski 2003: 19)

Fig. 2. Conquest of the Prussian lands: 1 – tribal boundaries; 2 – centres of landed properties; 3 – directions of the Teutonic Knights' conquests; 4 – places where later towns emerged: K – Kwidzyn (Marienwerder); M – Malbork (Marienburg); E – Elbląg (Elbing); BR – Braniewo (Braunsberg); B – Balga; BD – Pokarmin (Brandenburg); KR – Królewiec (Königsberg); KŁ – Kłajpeda (Memel); W – Wohnsdorf (Unsatrapis land) (Górski 2003: 19)

lizowane jest na krawędzi jaru, którym płynie rzeka Wąska. Najbardziej wysunięte na wschód spośród wszystkich omawianych grodzisk, jest stanowisko w Gorłótku (st. 1), położone na Pojezierzu Ełckim. Ma ono lokalizację nizinną i otoczone jest przez podmokłe tereny i bagna.

Podsumowując powyższe uwagi o makrogeografii grodzisk, należy zwrócić uwagę na kilka kwestii. Po pierwsze, skupiska grodzisk tworzą swego rodzaju pasy terenu o orientacji północny-zachód – południowy-wschód. Odwzorowuje to kierunek ekspansji Zakonu Krzyżackiego w Prusach, od ośrodków położonych nad Wisłą i Zalewem Wiślanym (Kwidzyń, Elbląg, Braniewo i Bałga) w głąb Prus (patrz ryc. 2). Po drugie, zaskakujący jest brak grodzisk stożkowatych w pasie ok. 60 km od brzegu Zalewu Wiślanego (z wyjątkiem Zimnochów, st. 1), a także ich brak we wschodniej i południowo-wschodniej części województwa. Być może jest to wynikiem słabego rozpoznania archeologicznego tych terenów. W przypadku obszarów wschodnich i południowo-wschodnich województwa przyczyną może być także istnienie Puszczy Galindzkiej i późna kolonizacja tych terenów (XV-XVI w.)⁵⁴. Po trzecie, wyraźna różnica w lokalizacji grodzisk występuje wśród

obiektów z zarejestrowanymi nawarstwieniami zarówno wczesno- jak i późnośredniowiecznymi, 70% procent takich stanowisk jest zlokalizowanych na krawędziach wysoczyzn, a tylko 30% ma położenie nizinne. W przypadku grodzisk o nawarstwieńiach wyłącznie późnośredniowiecznych ten podział rozkłada się bardziej równomiernie, ale nadal na korzyść położenia krawędziowego w obrębie wysoczyzny (60%, w stosunku do 40% grodzisk o położeniu nizinnym). Na tej podstawie można wyciągnąć wniosek, że we wczesnym średniowieczu przywiązywano większą wagę do wysokości jako czynnika obronnego, a w późnym średniowieczu miał on mniejsze znaczenie przy wyborze lokalizacji. Być może wiąże się to z podziałem administracyjnym w państwie krzyżackim i potrzebą lokalizacji siedziby na ograniczonym terenie. To zagadnienie wymaga dalszej analizy struktury własności na terenie Prus oraz lokalizacji grodzisk w obrębie włości.

Powyższa analiza makrogeograficzna lokalizacji grodzisk na terenie województwa warmińsko-mazurskiego wykazała również wyraźny związek między grodziskami a siecią hydrograficzną. Większość obiektów położona jest na krawędzi dolin rzek i jezior, w przypadku lokalizacji wysoczyznowej oraz w tychże dolinach w przypadku położenia nizinnego. Sytuacja ta potwierdza wielokrot-

⁵⁴ Białuński 2002: 13-14.

nie stwierdzoną tezę o kluczowym znaczeniu hydrografii w kształtowaniu sieci osadniczej. Jeszcze bardziej uwiadczenia ją analiza mikrogeograficzna, rozumiana jako relacja grodów do podstawowych elementów środowiska fizyczno-geograficznego. Celem tego jest próba ustalenia, na ile poszczególne elementy krajobrazu naturalnego warunkowały lokalizację grodzisk. Pod uwagę przede wszystkim brana była relacja grodów w stosunku do morfologii terenu, odległość grodzisk w stosunku do obecnej sieci hydrograficznej oraz lokalizacja w stosunku do gleb. Analiza została przeprowadzona oddzielnie dla każdej z kategorii wydzielonych ze względu na zróżnicowany czas powstawania grodzisk.

Dla położenia topograficznego grodzisk przyjęto podział zastosowany już we wcześniejszych rozważaniach dotyczących makrogeografii, a mianowicie położenie wysoczyznowe i nizinne. Pierwszy typ położenia dominuje wśród grodzisk o zarejestrowanych nawarstwieniach zarówno wczesno- jak i późnośredniowiecznych⁵⁵. Sytuację taką stwierdzono w 70% przypadków (7); również obiekt w Bożem (st. 1) ulokowany jest przy krawędzi wysoczyzny. Obiekty te lokowane były na cyplach bądź krawędziach wysoczyzn i powstawały przez odcięcie fosą fragmentu wysoczyzny (5) lub usypanie stożka (3). W przypadku tych pierwszych brak jest wyraźnych deniwelacji pomiędzy powierzchnią grodziska a terenem wysoczyzny. W drugiej grupie deniwelacje w stosunku do wysoczyzny w dwóch przypadkach (Boże, st. 1 i Grabin, st. 1) nie przekraczają 2 m, a w jednym (Sętań, st. 1) sięgają ok. 7 m. Lokalizacja wszystkich grodzisk w stosunku do lustra wody zbiorników i cieków wodnych, w pobliżu których występowały omawiane obiekty, charakteryzuje się deniwelacjami pomiędzy 8 a 35 m. W grupie grodzisk odciętych fosą od wysoczyzny mieszczą się one w zakresie 8-14 m, zaś w przypadku obiektów usypanych na krawędzi wysoczyzny w zakresie 21–35 m.

Drugi typ obejmuje trzy grodziska o położeniu nizinnym, co stanowi 30% obiektów pośród tych z zarejestrowanymi nawarstwieniami zarówno wczesno- jak i późnośredniowiecznymi. We wszystkich przypadkach stanowiska te charakteryzują się typowo nizinnym położeniem w obrębie dolin rzecznych (Barczewko, st. 1 i Słupnica, st. 1) lub niecki jeziornej (Gardyny, st. 1).

Związek lokalizacji grodzisk z siecią hydrograficzną jest jeszcze lepiej widoczny przy rozpatrzeniu ich dokładnej odległości (tab. 2). Podane odległości zostały zmierzone w linii prostej i nie uwzględniają przeszkód terenowych oraz faktycznej odległości, którą musieli pokonać użytkownicy omawianych obiektów by dotrzeć do wody. Jako takie nie mogą być traktowane jako obraz dostępności wody, a mają jedynie na celu przedstawienie topograficznego położenia grodzisk względem cieków i zbiorników wodnych.

W tabeli przedstawiono relacje lokalizacji grodzisk w stosunku do sieci hydrograficznej. Przyjęte w niej podziały odzwierciedlają wcześniej zasygnalizowane spostrzeżenia o podstawowym znaczeniu hydrografii jako czynnika modelującego osadnictwo. W bezpośrednim sąsiedztwie zbiorników lub cieków wodnych znajduje się 55% grodzisk o metryce wczesnośredniowiecznej (6), a jeśli pod uwagę weźmiemy dwa pierwsze przedziały, czyli łącznie odległość do 100 m, w tym zakresie znajduje się aż 91% wszystkich stanowisk o tej metryce. Jedynie gródek w Bożem (st. 1) oddalony jest o więcej niż 250 m, ale w tym przypadku jest to konsekwencją wysokiego stożka, na którym jest położony (deniwelacje wynoszą 35 m).

Analiza położenia grodzisk w stosunku do gleb wykazała, że zdecydowana większość (73%) grodów o genezie wczesnośredniowiecznej zlokalizowana jest w rejonach średnich lub dobrych gleb brunatnych i płowych, które dominują na terenie całego województwa. W obrębie innych typów gleb wystąpiły jedynie trzy grodziska. Obiekt w Wilczynach (st. 1) położony jest w obrębie płatu gleb torfowych występujących wzdłuż doliny Ometu, podobnie Gardyny (st. 1) leżą w rejonie gleb torfowych, których płat ciągnie się od niecki jeziora Gardejki do Szkotowa i dalej na południe. Grodzisko w Garbnie, gm. Korsze (st. 1) położone jest na Nizinie Sępolskiej w rejonie występowania czarnych ziem. W przypadku omawianej grupy widać, że grodziska były lokowane na glebach typowych dla obszaru całego województwa, o średnich lub dobrych predyspozycjach rolniczych. Ponadto występowanie w obszarach krawędzi wysoczyzn w sąsiedztwie zbiorników i cieków wodnych, których doliny często porośnięte są podmokłymi łąkami, mogło sprzyjać wykorzystaniu tych terenów do hodowli. Dokładne rozpoznanie zagadnienia relacji grodzisk w stosunku do gleb wymaga bardziej szczegółowych badań gleboznawczych otoczenia omawianych stanowisk.

Przedstawiona powyżej analiza położenia topograficznego grodzisk i ich relacji do podstawowych składników środowiska fizyczno-geograficznego odnosiła się jedynie do obiektów wzniesionych we wczesnym średniowieczu. W tym miejscu omówione zostaną grodziska o metryce wyłącznie późnośredniowiecznej. Jak już wspomniano powyżej przy omawianiu makrogeografii grodów, podział topograficznego położenia tej grupy jest bardziej wyrównany niż w przypadku obiektów o genezie wczesnośredniowiecznej. Dwanaście (60%) spośród tych stanowisk posiada lokalizację wysoczyznową o położeniu mniej lub bardziej przykrawędziowym. Obiekty te dużo częściej powstawały przez usypanie stożka na krawędzi wysoczyzny (8) niż przez odcięcie fosą jej fragmentu (4). W pierwszej grupie deniwelacje w stosunku do wysoczyzny mieszczą się w zakresie 2–6 m, przy czym wszystkie cztery grodziska o deniwelacjach sięgających 2 m (Boże, st. 9, Mozgowo, st. 1, Myki, st. 1 i Zimnochy, st. 1), wydają się być mocno spłaszczone w stosunku do swojej pierwotnej wysokości, również kopiec w Notyście Małym, st. 1 (4 m) ma zniszczony szczyt grodziska. W przypadku

⁵⁵ W tej kategorii chronologicznej rozpatrujemy wyłącznie wczesnośredniowieczne stanowisko w Bożem (st. 1).

Tabela 2. Zestawienie grodzisk stożkowatych z terenu woj. warmińsko-mazurskiego ze względu na odległość od współczesnych zbiorników wodnych

Table 2. List of the motte-type strongholds from the territory of the Warmian-Masurian Province in relation to their distance from the contemporary freshwater reservoirs

Bezpośrednie sąsiedztwo (nie więcej niż 30 m)	Do 100 m	100–250 m	Powyżej 250 m
Barczewko, st. 1	Garbno, gm. Korsze, st. 1	Duża Wola, st. 1	Boże, st. 1
Barczewo, st. 3	Gardyny, st. 1	Gałwuny, st. 2	Cerkiewnik, st. 3
Boże, st. 9	Jęcznik, st. 1	Gorłówko, st. 1	Krzyżanki, st. 1
Dąbrówno, st. 2	Kiwity, st. 1	Łupstych, st. 1	Rydwągi, st. 1
Durąg, st. 1	Mołtajny, st. 2	Nadrowo, st. 1	Rygarby, st. 1
Galiny, st. 2	Myki, st. 1	Poganowo, st. 1	Ryn, st. 2
Garbno, gm. Barciany, st. 1	Mozgowo, st. 1	Stama, st. 1	
Garbno, gm. Korsze, st. 2	Nowe Grodziczno, st. 29	Wandajny, st. 1	
Grabin, st. 1	Orło, st. 1		
Guja, st. 9	Samplawa, st. 1		
Iława, st. 33	Sętał, st. 1		
Jegławki, st. 1	Wyszembork, st. 1		
Księży Dwór, st. 1	Zyndaki, st. 1		
Kwiedzina, st. 2			
Laseczno Małe, st. 1			
Narzym, st. 1			
Notyst Mały, st. 1			
Piaseczno, st. 1			
Równina Dolna, st. 1			
Słupnica, st. 1			
Susz, st. 1			
Swobodna, st. 3			
Śpiglówka, st. 1			
Wilczyny, st. 1			
Wrony, st. 1/2			
Zimnochy, st. 2			

drugiej grupy brak jest wyraźnych deniwelacji w stosunku do wysoczyzny, grodziska zajmują cyple wysoczyzn. Lokalizacja wysoczyznowych grodzisk późnośredniowiecznych w stosunku do lustra wody pobliskich zbiorników i cieków wodnych charakteryzuje się deniwelacjami na poziomie 10–35 m. W grupie stożków usypanych przy krawędzi wysoczyzny deniwelacje również mieściły się w zakresie 10–35 m, zaś w przypadku obiektów odciętych fosą od wysoczyzny zakres wynosił od 13 do 20 m.

Drugą grupę, reprezentowaną przez osiem obiektów (42%), stanowią grodziska o lokalizacji nizinnej. W tej grupie obserwujemy bardziej zróżnicowane położenie topograficzne obiektów. Cztery z nich charakteryzują się położeniem typowo nizinnym w otoczeniu podmokłych łąk (Guja, st. 9), bądź w dolinach rzecznych (Kiwity, st. 1, Narzym, st. 1 i Równina Dolna, st. 1). Odrębną grupę stanowią grodziska znajdujące się na przesmykach między jeziorami. Zaliczamy do niej trzy grodziska (Dąbrówno, st. 2, Wrony, st. 1/2 i Wyszembork, st. 1). Ponadto jedno z grodzisk (Mołtajny, st. 2) położone jest na nieznanym płaskim wyniesieniu terenu w strefie przybrzeżnej, które otoczone jest podmokłym obniżeniem terenu.

Związek grodków późnośredniowiecznych z siecią hydrograficzną jest bardzo wyraźny. Spośród tej grupy grodzisk dwanaście (60%) leży w bezpośrednim sąsiedztwie zbiorników lub cieków wodnych. Natomiast wszystkie obiekty (20) mieszczą się z zakresie pierwszych dwóch kategorii, czyli w odległości do 100 m od źródła wody. Wśród tych grodzisk warto wyróżnić grupę pozostającą w specyficznej relacji do zbiorników wodnych, którą tworzą cztery obiekty położone na przesmykach jezior (Dąbrówno, st. 2, Notyst Mały, st. 1, Wrony, st. 1/2 i Wyszembork, st. 1). Taka lokalizacja nie występuje w przypadku stanowisk o metryce wczesnośredniowiecznej.

Położenie grodzisk o chronologii późnośredniowiecznej względem gleb odbiega nieco od tego zaobserwowanego w przypadku grodzisk o metryce wczesnośredniowiecznej. W rozpatrywanej grupie aż osiemnaście grodzisk (90%) położonych jest w rejonach średnich i dobrych gleb brunatnych i płowych. Jedynie grodziska w Jęczniku (st. 1) i Zimnochach (st. 1) leżą na obszarze gleb rdzawych, których przydatność rolnicza jest słaba.

Powyżej omówione zostały grodziska o określonej chronologii, które z punktu widzenia wartości naukowej są cenniejsze. W tym miejscu zostaną krótko omówione

grodziska o nieokreślonej bądź niepewnej chronologii. Podobnie jak w pozostałych przypadkach i tutaj zastosowany został podział ze względu na lokalizację wyróżniający grupy grodzisk o położeniu wysoczyznowym i nizinnym. Ta pierwsza grupa stanowi 59% wszystkich stanowisk o nieokreślonej lub niepewnej chronologii (13). Spośród grodzisk należących do tej grupy siedem ma położenie krawędziowe, a pięć zostało usytuowanych na kulminacji wysoczyzny. W tych kategoriach położenia geograficznego nie mieści się gród w Poganowie (st. 1), który usytuowany został na pagórku morenowym. Wśród obiektów zlokalizowanych na krawędzi wysoczyzny cztery powstały przez odcięcie fosą fragmentu wysoczyzny, a trzy przez usypanie stożka. W przypadku grodzisk odciętych od wysoczyzny, inaczej niż w przypadku grodzisk o określonej chronologii, w większości przypadków (3) występują deniwelacje między plateau stożka a poziomem wysoczyzny, które sięgają od 3 do 6 m. Jedynie w przypadku stanowiska w Gałwunach (st. 2) brak jest wyraźnych deniwelacji. Sytuacja wygląda podobnie w przypadku obiektów powstałych przez usypanie stożka na krawędzi. Te trzy grodziska mają deniwelacje względem wysoczyzny sięgające od 4 do 7 m. Stanowisko w Poganowie (st. 1) jest wyniesione o ok. 14 m ponad okoliczne tereny. Lokalizacja wszystkich grodzisk w stosunku do lustra wody zbiorników i cieków wodnych, w pobliżu których występowały omawiane obiekty, charakteryzuje się deniwelacjami na poziomie 10 do 54 m. W przypadku grodzisk powstałych przez odcięcie fragmentu wysoczyzny mieszczą się one w zakresie od 10 do 21 m, podobnie w przypadku usypania stożka na krawędzi wysoczyzny, gdzie zakres ten wynosi od 10 do 21 m. Największe deniwelacje osiągają grodziska położone na kulminacji wysoczyzn (Cerkiewnik, st. 3, Krzyżany, st. 1 i Ryn, st. 2).

Drugą grupę stanowią grodziska o lokalizacji nizinnej, których wśród obiektów o nieokreślonej lub niepewnej chronologii jest dziewięć (41%). Cztery z nich charakteryzują się typowo nizinnym położeniem w otoczeniu podmokłych łąk bądź w dolinie rzecznej lub jeziornej. Kolejne cztery grodziska położone są na niewielkich płaskich wyniesieniach terenu otoczonych terenami nizinnymi. Stanowisko w Zyndakach (st. 1) położone jest u nasady przesmyku między jeziorami.

Wśród grodzisk o nieokreślonej lub niepewnej chronologii relacje do sieci hydrograficznej kształtują się inaczej niż w przypadku grodzisk o ustalonej chronologii. W bezpośrednim sąsiedztwie cieków lub zbiorników wodnych położonych jest dziewięć grodzisk, a biorąc pod uwagę także kategorię do 100 m liczba ta zwiększa się do dziesięciu. Jest to jedyna grupa grodzisk, która reprezentuje kategorię odległości od 100 do 250 m, do której zalicza się aż osiem stanowisk (35%). Grodziska o nieokreślonej lub niepewnej chronologii mają także najwięcej grodzisk (5) zaliczających się do kategorii odległości powyżej 250 m. Wśród nich dominują grodziska położone na kulminacji wysoczyzn (4), których deniwelacje w stosunku do sieci hydrograficznej są największe.

Również w przypadku grodzisk o nieokreślonej lub niepewnej chronologii ich położenie względem gleb nie odbiega od pozostałych kategorii chronologicznych. Dominuje położenie w obrębie średnich i dobrych gleb pławych (13) i brunatnych (6). Dwa grodziska (Gałwuny, st. 2 i Garbno, gm. Korsze, st. 2) położone są w rejonie czarnych ziem, których predyspozycje rolnicze są bardzo dobre. W tej grupie jedno grodzisko położone jest w obrębie mad rzecznych ciągnących się wzdłuż doliny Łyny (Rygarby, st. 1).

Przeprowadzona powyżej analiza makro- i mikrogeograficzna średniowiecznych gródków stożkowatych z terenu woj. warmińsko-mazurskiego pozwala na wyciągnięcie pewnych wniosków na temat czynników wpływających na ich lokalizację. Jak zostało to już zakomunikowane wcześniej, we wszystkich kategoriach chronologicznych dominują grodziska położone na wysoczyznach (64%), zwykle przy ich krawędziach. Być może wynika to z polodowcowego ukształtowania terenu województwa, gdzie wysoczyzny poprzecinane są licznymi dolinami cieków wodnych oraz rynnami i nieckami jezior. Taka sytuacja powoduje występowanie dużej liczby naturalnie obronnych miejsc o dużych deniwelacjach, które były preferowane na tym terenie zarówno we wczesnym, jak i późnym średniowieczu. Analiza lokalizacji względem sieci hydrograficznej potwierdziła wielokrotnie stwierdzoną tezę o istotnej roli hydrografii w kształtowaniu osadnictwa. Przy okazji tego zagadnienia warto zwrócić uwagę na grodziska występujące na przesmykach między jeziorami bądź u ich nasady. Tą specyficzną lokalizację można prawdopodobnie łączyć z potrzebą kontroli szlaków biegnących przez te przesmyki. Uwagę zwraca także wyraźny związek lokalizacji grodów z glebami pławymi (47%) i brunatnymi (36%) wytworzonymi na piaskach i glinach zwałowych. W podziale na kategorie chronologiczne odsetek tych gleb jest bardzo wysoki dla stanowisk o chronologii późnośredniowiecznej i stanowi aż 90%. W przypadku obiektów o metryce wczesnośredniowiecznej odsetek ten był nieco niższy i wynosił 73%. Sytuacja taka jest zrozumiała dla grodzisk o genezie wczesnośredniowiecznej, co potwierdza rolę zajęć rolniczych w społecznościach wczesnośredniowiecznych. Natomiast w przypadku grodów późnośredniowiecznych sytuacja ta jest odmienna od tego co zostało zaobserwowane na innych obszarach Polski. Na Pomorzu, w centralnej Polsce i na Śląsku badania grodzisk stożkowatych wykazały, że najczęściej wybierano lokalizacje w rejonach zabagnionych, dolinach rzecznych lub na terenach o glebach mało przydatnych rolniczo⁵⁶.

Forma terenowa może sugerować chronologię danego obiektu. Powyższa analiza wykazała, że niewielkie gródki o typowej formie ściętego stożka pojawiają się dopiero

⁵⁶ Porównaj dla terenu Pomorza: Olczak 1974: 277-278; dla terenów centralnej Polski: Kamińska 1966: 43, 46; dla terenów Śląska: Kaźmierczyk 1966: 681-682; porównaj także Marciniak-Kajzer 2011: 51-60.

w późnym średniowieczu⁵⁷. Kwadratowe formy powstały w późnym średniowieczu (Hawa, st. 33, Równina Dolna, st. 1) bądź były efektem późnośredniowiecznych przekształceń (Gardyny, st. 1, Słupnica, st. 1, Susz, st. 1). Grody przystosowane kształtem do formy terenowej, na której zostały ulokowane, powstawały zarówno we wczesnym (Grabiny, st. 1, Książ Dwór, st. 1 i Nowe Grodziczno, st. 29), jak i późnym średniowieczu (Barczewo, st. 3 i Jęcznik, st. 1).

W tym miejscu warto wspomnieć o dodatkowych konstrukcjach obronnych w postaci fos i wałów. Wśród grodzisk o nieokreślonej lub niepewnej chronologii dodatkowe elementy występują w dziewięciu przypadkach. Wał dookolny pojawia się na sześciu grodziskach w postaci reliktovej. W przypadku pięciu obiektów jest to przypuszczenie, oparte na obecności zagłębienia na majdanie. Trzem gródkom poza wałem towarzyszy również fosa. Fosa występuje także jako jedyny dodatkowy element obronny - w czterech przypadkach posłużyła do odcięcia fragmentu wysoczyzny w celu utworzenia grodu.

Wśród wszystkich grodzisk stożkowatych z terenu województwa warmińsko-mazurskiego najczęściej spotykanym typem jest klasyczny niewielki stożek, usypany na „surowym korzeniu”. Obiekty tego typu występują zarówno w lokalizacjach wysoczyznowych, jak i nizinnych. Wśród nich największy stosunek wielkości powierzchni użytkowej w stosunku do ich całkowitego rozmiaru wynosi 28% (Boże, st. 9). Ten typ reprezentuje dwadzieścia jeden obiektów, co stanowi 40% wszystkich gródków stożkowatych z terenu województwa. Być może ten typ obiektów reprezentowały pierwotnie, obecnie w różnym stopniu zniszczone, obiekty w Gui (st. 9), Zimnochach (st. 1), Cerkiewniku (st. 3), Łupstychu (st. 1), Garbnie, gm. Korsze (st. 1), Sętalu (st. 1) i Narzymiu (st. 1), a także mniejszy z dwóch obiektów we Wronach (st. 1). Drugi typ grodzisk również ma formę stożka, czy raczej ostrosłupa, gdyż ich podstawy mają formę kwadratu. Są to obiekty większe, którym ponadto towarzyszą dodatkowe elementy fortyfikacji w postaci fos, a w niektórych przypadkach także wałów. Do tego grona zalicza się osiem grodzisk, w tym dwa największe z omawianego obszaru (Gardyny, st. 1 i Piaseczno, st. 1). Obiekty te powstawały zarówno przez odcięcie fosą fragmentu wysoczyzny, jak i w lokalizacjach nizinnych. W przypadku tego drugiego położenia, w celu podniesienia obronności grodów, występują dodatkowo wały dookolne. Być może do tego typu mógł się zaliczać także obiekt w Dąbrównie (st. 2), którego forma przez zniszczenie północnego stoku stała się bardziej prostokątna. Przeciw takiej interpretacji może przemawiać brak fosy czy wału, ale biorąc pod uwagę, iż obiekt znajduje się na terenie miasta, nie można wykluczyć, że bezpośrednie otoczenie gródka zostało całkowicie zniwelowane. Trzeci typ grodzisk jest różnorodny morfologicznie, ale cechą wspólną tych obiektów jest dostosowanie kształtu do formy terenowej, na

której powstały. Wśród tych form są zarówno cyple wysoczyzn, jak i różnego rodzaju wzniesienia morenowe. W tej grupie znalazło się dziewięć grodzisk, od niewielkich obiektów odciętych fosą od wysoczyzny (Wilczyny, st. 1 – 750 m²) po duże obiekty zajmujące całe wzniesienia morenowe (Pogonowo, st. 1 – 3850 m²). Być może do tej grupy zalicza się również obiekt w Dużej Woli (st. 1), ale bez przeprowadzania badań geologicznych nie da się stwierdzić, czy obiekt jest całkowicie antropomorficzny, czy powstał na wzniesieniu morenowym. W zakresie wymienionych typów grodzisk nie mieszczą się obiekty w Moltajnach (st. 2) i Durągu (st. 1). Niemożliwe do sklasyfikowania są również grodziska, których stopień zniszczenia uniemożliwia ich rekonstrukcję (Barczewko, st. 1, Galiny, st. 2, Gorłówko, st. 1 i większy z obiektów we Wronach, st. 2).

PODSUMOWANIE

Na terenie województwa warmińsko-mazurskiego zlokalizowano pięćdziesiąt trzy grodziska stożkowate o średniowiecznej chronologii. Spośród nich dwadzieścia zostało wzniesionych w późnym średniowieczu, a jedenaście ma metrykę wczesnośredniowieczną. Jedynie obiekt w Bożem, st. 1 przestał być użytkowany już w okresie pruskim, pozostałe, prawdopodobnie po różnego rodzaju przekształceniach, były użytkowane również w okresie krzyżackim. Pozostałe dwadzieścia dwa obiekty (co stanowi 41% wszystkich omawianych stanowisk) mają niepewną lub nieokreśloną chronologię. Lokalizacje w przestrzeni omawianego terenu tworzą obraz trzech stref na obszarze województwa, układających się wzdłuż linii północny-zachód – południowy-wschód. Pierwsza z nich zajmuje jego południowo-zachodnią część, a jej granicę stanowi dolina Pasłęki (12 obiektów). Druga zajmuje obszar centralnej części województwa i skupia się na terenach między okolicami jeziora Limajno i jeziora Ukiel, a Barczewem (7 obiektów). Trzecia strefa obejmuje północne tereny województwa, sięgając na południowy-wschód okolic Rynu (29 obiektów). Omówione grodziska można podzielić na dwie kategorie pod względem fizjograficznym. Pierwsza obejmuje grodziska położone na wysoczyznach, w większości przy ich krawędziach (33 obiekty). Druga kategoria to stanowiska o położeniu nizinnym, wśród których dominuje lokalizacja w dolinach rzecznych lub nieckach jeziornych (20 obiektów). Sytuacja ta odbiega od przyjętego w Polsce obrazu grodziska stożkowatego lokowanego na nizinach, głównie w obrębie terenów podmokłych⁵⁸.

Analizy makro- i mikrogeograficzne gródków stożkowatych potwierdziły, jak ważny dla lokalizacji obiektów osadniczych jest bliski związek z siecią hydrograficzną. Większość omawianych grodzisk (87%) położona jest w bezpośrednim sąsiedztwie lub w pobliżu (100-250 m)

⁵⁷ Jedyny wyjątek stanowi obiekt w Bożem (st. 1).

⁵⁸ Kamińska 1966: 43; Marciniak-Kajzer 2011: 51.

cieków lub zbiorników wodnych. Analiza lokalizacji omawianych stanowisk w stosunku do gleb, w przypadku obiektów powstałych w późnym średniowieczu ukazała odmienną sytuację niż w przypadku pozostałych terenów Polski. Większość obiektów (90%) położona jest w obrębie średnich i dobrych gleb płowych i brunatnych, co odbiega od lokalizacji w obrębie gleb o niskiej predyspozycji rolniczej typowej dla pozostałych terenów Polski⁵⁹.

Analiza morfologiczna omawianych obiektów wykazała, że najczęściej występującą formą jest niewielki stożek o owalnej lub czworobocznej podstawie z kotlinką lub płaską powierzchnią na szczycie. Występują one na krawędziach i kulminacjach wysoczyzn, a także w lokalizacjach nizinnych otoczone przez tereny podmokłe. Drugi typ formy terenowej spotykanej na terenie woj. warmińsko-mazurskiego można by określić mianem ostrosłupowej. Są to nasypy o czworobocznej, często kwadratowej podstawie, którym zwykle towarzyszą dodatkowe fortyfikacje w postaci fos i wałów. Występują one w dolinach rzecznych bądź powstały na krawędziach wysoczyzn, poprzez odcięcie fosą ich fragmentu. Trzeci typ obejmuje obiekty zróżnicowane morfologicznie, które przyjęły kształt formy terenowej, na której powstały. Grupa ta obejmuje zarówno grodziska położone na pagórkach morenowych, jak i grody powstałe w wyniku odcięcia fragmentu wysoczyzny fosą, ale ich stoki od strony doliny zachowały naturalny kształt krawędzi. Grodziska, nie mieszczące się w kryteriach wyżej opisanych typów, są zdeformowane w takim stopniu, że określenie ich pierwotnej formy jest bardzo trudne.

Część omawianych grodzisk posiadała również dodatkowe konstrukcje obronne w postaci fos i wałów. Fosa wystąpiła na dwudziestu dwóch stanowiskach. W jedenastu przypadkach posłużyła do utworzenia grodu poprzez odcięcie fragmentu wysoczyzny, w pozostałych miały charakter dookolny. W przypadku grodziska w Suszu (st. 1) wystąpiły dwie fosi. Spośród omawianych obiektów szesnaście posiadało wały. W sześciu przypadkach miały postać dodatkowego obwodu warownego, w pozostałych występowały na grodzisku i najczęściej miały charakter dookolny, w niektórych przypadkach wystąpiły jedynie od strony wysoczyzny, ale może to być również wynikiem niezachowania się pozostałej ich części.

Wyniki badań wykopaliskowych i sondażowych, nie były szczegółowo analizowane w tej pracy, ale zostały zawarte w opisach katalogowych poszczególnych stanowisk. W tym miejscu należy pokrótce podsumować ich wyniki skupiając się na odkrytych pozostałościach architektury. Stan zachowania reliktyw i fragmentaryczny charakter ich rozpoznania, w większości przypadków nie pozwala na szczegółową analizę, a jedynie na stwierdzenie faktu ich istnienia. Wykopaliskowo przebadano siedemnaście z omawianych obiektów, na kolejnych dziewięciu wykonano wkopy sondażowe. Pozwoliło to na ujawnienie reliktyw dookolnych konstrukcji obronnych na sze-

ściu stanowiskach. Były to pozostałości konstrukcji wałów i drewnianych palisad, a w Dąbrównie (st. 2) odkryto fundament kamienny muru. Na trzynastu stanowiskach odkryto relikty zabudowy majdanu. W sześciu przypadkach były to fundamenty bądź ślady po nich, na pięciu obiektach odkryto bruki kamienne, zaś pozostałe ślady to doły postłupowe, pozostałości drewnianych konstrukcji o nieokreślonym charakterze oraz materiał ruchomy w postaci gruzu ceglanego, fragmentów dachówek, kałków zaprawy i polepy czy kamieni.

Funkcja omawianych grodów w większości przypadków jest trudna do rozstrzygnięcia. Jedynie obiekty badane wykopaliskowo (nie wszystkie), dostarczają wystarczającej ilości danych do podjęcia próby interpretacji. W niektórych przypadkach pomocne są źródła historyczne. W Suszu (st. 1) grodzisko jest reliktem siedziby urzędnika kapituły pomezkańskiej, w Kwiatach (st. 1) obiekt miałby być miejscem schronienia dla mieszkańców wsi opisanym w dokumencie nadania. Gród w Równinie Dolnej (st. 1) interpretuje się jako krzyżacki zamek Wisenburg, w oparciu o opis Piotra z Duisburga, ale nie wszyscy badacze podzielają tę opinię. Podobnie obiekt w Sątocznie jest częścią większego wczesnego założenia krzyżackiego o charakterze zamkowym, który nawet przez krótki czas był siedzibą komturii. Obiekt w Dąbrównie (st. 2) ze względu na położenie w sąsiedztwie miasta interpretowany jest jako relikty siedziby prokuratora lub wójta krzyżackiego, ale w źródłach historycznych potwierdzone jest tylko jego zniszczenie wraz z miastem, na krótko przed bitwą pod Grunwaldem. W pozostałych przypadkach źródła nie odnoszą się do samych obiektów, a jedynie do właścicieli, którym nadano okoliczne tereny. Obiekt w Durągu (st. 1) - interpretowany jako siedziba rycerska - nie jest wzmiankowany w źródłach historycznych, ale może być identyfikowany z rycerzem Konradem, który występuje w dokumencie nadania 200 włók z 1328 r. Obiekt w Narzymiu (st. 1) z całą pewnością był siedzibą prywatną, która po przekształceniu w bardziej reprezentacyjną budowlę przetrwała do XVI w., a za jej pierwszego właściciela uznaje się Menczela (Menzelinusa), który występuje w dokumencie potwierdzenia nadania z 1371 r. Gródek w Bożem (st. 9) interpretowany jako siedziba rycerska, może być łączony z braćmi Reimannami, którzy otrzymali nadanie w 1369 r.

W pozostałych przypadkach brak jest wzmianek w źródłach historycznych, które można by odnieść w jakikolwiek sposób do omawianych obiektów. Grodzisko w Iławie (st. 33) mogło pełnić funkcję strażnicy bądź ośrodka administracyjnego, przeniesionego później na teren miasta. Obiekt w Mozgowie (st. 1) interpretowany jest jako siedziba rycerska, ale nic nie wiadomo o jego właścicielach. Podobny obiekt w Bożem (st. 1) interpretowany jest jako siedziba możnowładcy, chociaż podczas badań nie odkryto reliktyw zabudowy na majdanie, a jedynie konstrukcję wału. W niektórych przypadkach o funkcji grodziska może świadczyć także jego lokalizacja; tak

⁵⁹ Kamińska 1966: 53; Kaźmierczyk 1966: 681.

zapewne jest w przypadku obiektów zlokalizowanych na przesmykach między jeziorami (m. in.: Wyszebork, st. 1, Zyndaki, st. 1 i być może Notyst Mały, st. 1), które mogły pełnić rolę strażnic przy traktach. Podobnie interpretuje się także obiekt w Grabinie (st. 1) uznany za strażnicę kontrolującą szlak na Grabiczku. Problemy interpretacyjne stwarzają obiekty, na których badania nie ujawniły reliktyw zabudowy, a niska warstwa kulturowa wyklucza raczej ich stałe użytkowanie. Do tej grupy zaliczają się gródki w Lasecznie Małym (st. 1) i Rydwągach (st. 1). Pierwsze z nich interpretuje się jako kopiec strażniczy bądź obserwacyjny, w przypadku drugiego obiektu autorzy badań nie wysunęli żadnej propozycji interpretacji. Według autorów tego opracowania, należy wątpić, czy jest to rzeczywiście grodzisko. Problem z określeniem funkcji jest również w przypadku obiektu w Zimnochach (st. 1), gdzie odkryto jedynie wapiennik. Interpretacja funkcji, jaką pełniły gródki stożkowate, często zależy od ich lokalizacji. Jeśli obiekt położony jest w pobliżu miasta średniowiecznego, interpretowany jest jako ośrodek administracyjny. Jeśli leży w pobliżu domniemanego szlaku komunikacyjnego przypisuje mu się funkcję strażnicy. W pozostałych przypadkach najczęstszą interpretacją jest siedziba rycerska, zwłaszcza jeśli na grodzisku odkryto relikty zabudowy. Wszystkim grodziskom stożkowatym przypisuje się charakter militarny, który w przypadku odkrycia reliktyw stałej zabudowy łączony jest zwykle z funkcją rezydencjonalną.

Zagadnienie grodzisk stożkowatych na terenie województwa warmińsko-mazurskiego wymaga dalszych badań. Niezbędne jest poszerzenie zasobu źródeł archeologicznych. Do tej pory przebadano wykopaliskowo jedynie siedemnaście obiektów, a nadal nieokreśloną lub niepewną chronologię mają aż dwadzieścia dwa stanowiska. Na niebadanych stanowiskach należałoby wykonać przynajmniej wkopy sondażowe by stwierdzić z całą pewnością iż nie są to formy naturalne i określić ich datowanie. Warto przeprowadzić również weryfikację stanowisk o podobnych formach terenowych (kurhanów), które podobnie jak w przypadku obiektu w Mozgowie mogą ujawnić osadniczy charakter nasypu. W zakresie prac terenowych należy ująć także badania najbliższego otoczenia grodzisk w celu lokalizacji towarzyszących im podgrodzi lub osad otwartych. W celu lepszego poznania funkcji omawianych obiektów, niezbędna jest również analiza źródeł historycznych, także pod kątem własności terenów, na których położone są relikty grodów. Na terenie województwa warmińsko-mazurskiego występowały w średniowieczu trzy kategorie właścicieli: zakon krzyżacki, biskupi i kapituła warmińska oraz rycerstwo, ustalenie właściciela obiektu, może pomóc w określeniu jego funkcji. Konieczne jest zatem podjęcie szczegółowych badań historycznych poszczególnych obszarów regionu w celu wskazania wczesnych nadań rycerskich i każdorazowo w miejscach wskazanych przez historyków wykonać szczegółowe badania terenowe i analizy kartograficzne, zarówno kartograficznych źródeł archiwalnych

jak i współczesnych obrazów aerofotograficznych i będących wynikiem laserowych skanowań terenu. Powinno to pozwolić na wytypowanie obiektów topograficznych do dalszych prac weryfikacyjnych.

KATALOG GRÓDKÓW STOŻKOWATYCH Z TERENU WOJEWÓDZTWA WARMIŃSKO-MAZURSKIEGO

1. Barczewko, gm. Barczewo, pow. olsztyński, st. 1

Obszar AZP: 22-62 (3)

Numer w rejestrze zabytków: C-002 (19.07.1948)

Grodzisko (ryc. 3-5) usytuowane jest na lewym brzegu Pisy, w jej zakolu, ok. 2 km na południowy-wschód od wsi Barczewko. Grodzisko ma obecnie formę ściętego stożka, prostokątnego w kształcie, o wymiarach podstawy 30 x 34 m i powierzchni górnej ok. 20 x 20 m. Z trzech stron otoczone jest przez rzekę i posiada strome zbocza o wysokości ok. 2,5-3 m. Od strony południowej pierwotnie znajdowała się fosa, która została całkowicie zniwelowana. Na jego szczycie stoi dom, ale forma stożka jest nadal czytelna. Od wschodniej strony grodzisko zostało dodatkowo podcięte w celu utworzenia ścieżki prowadzącej wzdłuż Pisy, zaś strona zachodnia została zdeformowana przez budowę budynków gospodarczych. Grodzisko uległo zniszczeniu w okresie międzywojennym (1928/1929 r.), kiedy to ówczesny właściciel August Fabek zniwelował szczyt stożka w celu budowy domu i budynków gospodarczych.

Pierwsze wzmianki na temat grodziska pojawiają się w pracy Adolfa Boettichera⁶⁰, obiekt występuje tam pod nazwą Klein Maraunen. Stanowisko odnotowane jest także w opracowaniach Emila Hollacka⁶¹ i Hansa Cromego⁶². Gródek został uwzględniony przez Marzenę Pollakównę⁶³, jak również na *Mapie grodzisk w Polsce*⁶⁴. Gródek był badany powierzchniowo w 1928 r. przez Wilhelma Gaertego⁶⁵, a rok później badania wykopaliskowe przeprowadził Carl Engel⁶⁶. Po wojnie badania powierzchniowe prowadził Jerzy Antoniewicz w 1947 r.⁶⁷, Romuald Odoj w 1967 r. oraz Tadeusz Kufel w 1968 r.⁶⁸ Na stanowisku przeprowadzono również badania AZP w 1980 roku pod kierunkiem Wojciecha Nowakowskiego⁶⁹. Wyniki przedwojennych badań nie zostały opublikowane, a dokumentacja nie zachowała się do dnia dzisiejszego. W 1932 r. odkryto na terenie grodziska dwa naczynia, które Antoniewicz datuje na okres wczesnego średnio-

⁶⁰ Boetticher 1894: 258.

⁶¹ Hollack 1908: 71.

⁶² Crome 1937: 117.

⁶³ Pollakówna 1953: 158.

⁶⁴ Antoniewicz i Wartołowska (red.) 1964: 29, 54, II H 27.

⁶⁵ Informacja z notatki znajdującej się w Archiwum WUOZ w Olsztynie.

⁶⁶ Antoniewicz 1950: 67.

⁶⁷ Antoniewicz 1950: 66-67.

⁶⁸ Informacja z Karty Ewidencyjnej Zabytku Archeologicznego znajdującej się w Archiwum WUOZ w Olsztynie.

⁶⁹ Archiwum WUOZ w Olsztynie, teczką AZP 22-62.



Ryc. 3. Barczewko, st. 1. Lokalizacja grodziska na mapie w skali 1:25000

Fig. 3. Barczewko, site 1. Location of the stronghold on a 1:25,000 map



Ryc. 4. Barczewko, st. 1. Numeryczny model terenu (źródło: geoportal.nid.pl/nid/)

Fig. 4. Barczewko, site 1. Digital terrain model (source: <https://geoportal.nid.pl/nid/>)



Ryc. 5. Barczewko, st. 1 – stan wiosną 2016 roku (fot. J. Radkowski)

Fig. 5. Barczewko, site 1 – the state in the Spring of 2016 (photo by J. Radkowski)

wieczą⁷⁰. Rok później miało miejsce odkrycie formy odlewniczej u podnóża grodziska, o czym informował Leonhard Fromm⁷¹.

Grodzisko było użytkowane przynajmniej w dwóch fazach. Dawniejsi badacze sugerowali, że pierwsza faza przypadała na okres wpływów rzymskich, jednakże Antonie-

wicz nie zgadza się z tą opinią i uważa, że ceramika, której formy przypominają te z kultury halszackiej czy lateńskiej, w istocie jest wyrobem wczesnośredniowiecznym. Jego zdaniem pierwszą fazę należy datować na ok. X-XI wiek. Druga faza przypada na okres kolonizacji krzyżackiej i wiązana jest z budową strażnicy na stożku grodu. O jej istnieniu miałyby świadczyć odkrycia pozostałości dwóch budynków drewnianych, z których jeden interpretowany jest jako strażnica, drugi zaś jako budynek mieszkalny dla

⁷⁰ Antoniewicz 1955: 236-238.

⁷¹ Informacja z notatki znajdującej się w Archiwum WUOZ w Olsztynie; formę odlewniczą dokładniej opisuje Antoniewicz: Antoniewicz 1955: 235-243.

załogi⁷². Antoniewicz podczas badań powierzchniowych odkrył również fragmenty ceramiki późnośredniowiecznej. U podnoża stożka Antoniewicz odkrył ceramikę datowaną na VI-VII w. i XII-XIII w. Odkryta ceramika mogłaby świadczyć o istnieniu w tym miejscu osady przyrodowej.

W źródłach historycznych wieś Barczewko występuje jako miejsce pierwszej lokalizacji Barczewa, która miała miejsce w 1325 roku (Barczewko, st. 2). Wtedy też najprawdopodobniej zbudowano drewniano-ziemny „zamek”. Nie można wykluczyć, że grodzisko jest pozostałością tej fortyfikacji. Być może koniec funkcjonowania obiektu można łączyć ze zniszczeniem miasta przez Litwinów, które miało mieć miejsce w 1354 roku⁷³.

Bibliografia: Boetticher 1894: 258; Hollack 1908: 71; Crome 1937: 117; Antoniewicz 1950: 66-67, 1955: 235-243; Pollakówna 1953: 158; Antoniewicz i Wartołowska (red.) 1964: 29, 54, II H 27; Töppen 1998: 93; Archiwum WUOZ w Olsztynie, Archiwum Działu Archeologii MWiM.

2. Barczewo, gm. Barczewo pow. olsztyński, st. 3

Obszar AZP: 23-63 (1)

Numer w rejestrze zabytków: C-010 (31.01.1949)

Grodzisko (ryc. 6-8) znajduje się na lewym brzegu Pisy, ok. 1 km na wschód od miasta, na krawędzi doliny Pisy. Gródek obecnie posiada formę ściętego stożka na planie nieregularnego czworoboku o bokach podstawy 52 x 52 x 40 x 40 m i wymiarach górnej platformy ok. 26 x 32 x 24 x 24 m. Powstał poprzez odcięcie fragmentu wysoczyzny morenowej i nadsypanie ziemią wydobywaną z fosy. Od strony Pisy stok jest bardzo stromy i wysoki na ok. 20 m, od strony wschodniej i południowej grodzisko otacza fosa głęboka na ok. 6 m. Nieregularność formy może być spowodowana erozją północnego stoku. Na szczycie stożka ustawiony jest krzyż.

Grodzisko znane było już od XVI w., kiedy to zostało oznaczone na mapie Caspara Hennenbergera i opisane przez niego w 1545 r.⁷⁴. Stanowisko pojawia się również w późniejszych publikacjach niemieckich, m. in. u Adolfa Boettichera⁷⁵, Emila Hollacka⁷⁶ i Hansa Cromego⁷⁷. Obiekt uwzględniono także w pracy Marzeny Pollakówny⁷⁸ oraz na *Mapie grodzisk w Polsce*⁷⁹. Przed wojną obiekt był badany powierzchniowo przez Wilhelma Gaertego w 1928 r.⁸⁰. Po wojnie, w 1948 r., badania powierzchniowe na grodzisku przeprowadził Jerzy Antoniewicz, wy-

konał również mały wykop sondażowy⁸¹. W 1983 roku przeprowadzono badania powierzchniowe w ramach AZP⁸², a w 1984 roku grodzisko weryfikował Mirosław Hoffmann⁸³.

Podczas badań powierzchniowych Gaerte odkrył dużą ilość przepalanej polepy z odciskami słomy. Antoniewicz, poza badaniami powierzchniowymi, wykonał również mały wykop sondażowy, o wymiarach 0,5 x 0,5 m i głębokości 0,5 m, na zachodnim stoku. On również znalazł polepę z odciskami słomy, podobnie jak Hoffmann podczas weryfikacji terenowej w 1984 roku. Podczas badań AZP odkryto 10 fragmentów ceramiki oraz 5 fragmentów polepy. Na podstawie ceramiki chronologia została określona dość szeroko na średniowiecze. Antoniewicz sugerował, iż grodzisko może być pełnośredniowieczne⁸⁴, postulował także potrzebę przeprowadzenia przynajmniej jednosezonowych badań wykopaliskowych w celu bliższego określenia zarówno chronologii, jak i funkcji, jaką pełnił omawiany obiekt. Obecność polepy interpretował jako pozostałości drewnianego budynku krytego słomą, jednakże należałoby wskazać raczej konstrukcję szkieletową jako bardziej prawdopodobną.

Na polu położonym na południowy wschód od grodziska odkryto w 1938 roku średniowieczny grot żelazny. Ślady osadnictwa średniowiecznego zostały odkryte na drugim brzegu Pisy, a także na południowy zachód od omawianego obiektu. Odkrycie w najbliższym otoczeniu grodziska jedynie grotu żelaznego, każe raczej wykluczyć możliwość istnienia osady przyrodowej. Ślady osadnictwa średniowiecznego w okolicy mogłyby świadczyć o istnieniu jakichś wsi służebnych w okolicy, chociaż mogą być one również powiązane z lokowanym w 1364 r. miastem. Postulat Antoniewicza dotyczący przeprowadzenia badań wykopaliskowych nadal pozostaje aktualny.

Bibliografia: Hennenberger 1595: 469; Boetticher 1894: 257; Hollack 1908: 175; Crome 1937: 118, 1940: 136; Antoniewicz 1950: 65-66; Pollakówna 1953: 158; Antoniewicz i Wartołowska (red.) 1964: 29, 54, II H 29; Archiwum WUOZ w Olsztynie; Archiwum Działu Archeologii MWiM.

3. Boże, gm. Mrągowo, pow. mrągowski, st. 1

Obszar AZP: 20-69 (33)

Numer w rejestrze zabytków: -

Grodzisko (ryc. 9-10) zlokalizowane jest na morenowym wzgórzu, położonym na wschód od Boskiego Jeziora, ok. 1,5 km na północ od wsi Boże. Grodzisko ma kształt ściętego stożka o wysokości ok. 1 m. Pierwotna średnica podstawy wynosiła prawdopodobnie ok. 20 m, górna platforma ma średnicę ok. 10-12 m.

⁷² Informacja z notatki znajdującej się w Archiwum WUOZ w Olsztynie. Autor notatki nie podał informacji, kiedy miało dojść do odkrycia tych obiektów, być może podczas badań Engela lub prac budowlanych.

⁷³ Töppen 1998: 93.

⁷⁴ Hennenberger 1595: 469.

⁷⁵ Boetticher 1894: 257.

⁷⁶ Hollack 1908: 175.

⁷⁷ Crome 1937: 118, 1940: 136; pozostała literatura niemiecka podana w notatce znajdującej się w Archiwum Działu Archeologii MWiM.

⁷⁸ Pollakówna 1953: 158.

⁷⁹ Antoniewicz i Wartołowska (red.) 1964: 29, 54, II H 29.

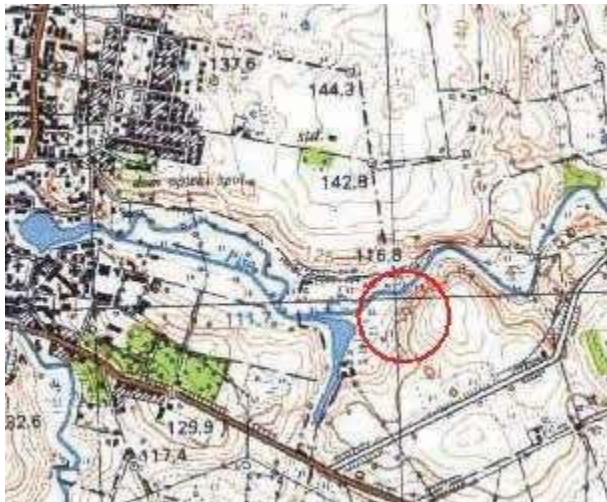
⁸⁰ Informacja z notatki znajdującej się w Archiwum WUOZ w Olsztynie.

⁸¹ Antoniewicz 1950: 65-66.

⁸² Archiwum WUOZ w Olsztynie, teczką AZP 23-63.

⁸³ Informacja z notatki znajdującej się w Archiwum Działu Archeologii MWiM.

⁸⁴ Antoniewicz 1950: 66.



Ryc. 6. Barczewo, st. 3. Lokalizacja grodziska na mapie w skali 1:25000

Fig. 6. Barczewo, site 3. Location of the stronghold on a 1:25,000 map



Ryc. 7. Barczewo, st. 3. Numeryczny model terenu (źródło: geoportal.nid.pl/nid/)

Fig. 7. Barczewo, site 3. Digital terrain model (source: <https://geoportal.nid.pl/nid/>)



Ryc. 8. Barczewo, st. 3 – stan wiosną 2016 roku (fot. J. Radkowski)

Fig. 8. Barczewo, site 3 – the state in the Spring of 2016 (photo by J. Radkowski)

Na północ od grodziska znajduje się głęboki jar podnoszący jego walory obronne. Na majdanie znajduje się wyraźne zakłębienie, świadectwo istnienia wału dookólnego. Grodzisko jest mocno zniszczone w części północno-zachodniej przez wkopaną w stok piwniczkę, a także przez wybieranie kamieni i piasku oraz postępującą w jego wyniku erozję. Ślady podobnego wybierziska znajdują się na zachodnim stoku. Dodatkowo od strony wschodniej stok gródka podcinany jest w wyniku orki. Na całej powierzchni stanowiska występuje duża ilość kamieni.

Gródek jest znany przynajmniej od końca XIX w., kiedy to Georg Bujack przeprowadził na nim badania sondażowe⁸⁵. Grodzisko odnotowane jest także w pracach Emila Hollacka⁸⁶ i Hansa Cromego⁸⁷, uwzględnia je też *Mapa grodzisk w Polsce*⁸⁸. W 1997 r. badania wykopaliskowe

⁸⁵ Nie wiadomo kiedy dokładnie prowadził badania, sprawozdanie zostało opublikowane w 1887 roku; Bujack 1887: 119-121, za Nowakiewicz 2004: 276.

⁸⁶ Hollack 1908: 18.

⁸⁷ Crome 1937: 122.

⁸⁸ Antoniewicz i Wartołowska (red.) 1964: 30, 55, II i 5.

Ryc. 9. Boże, st. 1. Lokalizacja grodziska na mapie w skali 1:25000

Fig. 9. Boże, site 1. Location of the stronghold on a 1:25,000 map



Ryc. 10. Boże, st. 1 – stan wiosną 2016 (fot. J. Radkowski)

Fig. 10. Boże, site 1 – the state in the Spring of 2016 (photo by J. Radkowski)

proceeding Tomasz Nowakiewicz⁸⁹, zostały one poprzedzone badaniami powierzchniowymi AZP na jesieni 1996 r. i wiosną roku 1997⁹⁰.

Podczas badań sondażowych Bujack natrafił na dużą ilość kamieni oraz na ceramikę wczesnośredniowieczną. Podczas badań prowadzonych przez Nowakiewicza na grodzisku założono trzy wykopy o łącznej powierzchni 27 m². Na stoku południowo-zachodnim odkryto pozostałości konstrukcji grodziska w postaci płaszcza kamiennego, u podnóża kończącego się linią dołków postępujących, być może zabezpieczających stoki przed osuwaniem się. Zaobserwowano także doły postępowe będące pozostałościami po drewnianej konstrukcji wału. Z materiału

ruchomego odkryto 110 fragmentów ceramiki, a także fragment kościanego przęślika. Natrafiono także na fragmenty kościanego grzebienia, który stanowi dobry datownik na terenach Europy północnej i północno-wschodniej.

Na wschód od kopca znajduje się teren osady (st. 2), który był badany równolegle. W wykopie o powierzchni 24 m² odkryto warstwę kulturową o miąższości 8-10 cm, nie odkryto pozostałości żadnych konstrukcji. Z wykopu pochodzi 147 fragmentów ceramiki, dominują kawałki o barwie ceglastej ze śladami obtaczania, pojawia się także ceramika nawiązująca stylistycznie do okresu wędrówek ludów. Układ stratygraficzny i niewielka miąższość warstw wskazują na jednofazowość założenia i krótki okres jego użytkowania. Zarówno grodzisko jak i osada

⁸⁹ Nowakiewicz 1997, 2004:275-290.

⁹⁰ Archiwum WUOZ w Olsztynie, teczką AZP 20-69.

funkcjonowały w tym samym okresie, ich chronologia została określana na XI-XII w. Gródek interpretowany jest jako siedziba możnowładcy.

Wieś Boże pojawia się w źródłach historycznych, ale informacje dotyczą okresu późnego średniowiecza i prawdopodobnie odnoszą się do drugiego gródka (st. 9).

Wydaje się, że jeśli zaproponowane datowanie obiektu jest prawidłowe, to jest mało prawdopodobne, aby był on siedzibą „możnowładcy” pruskiego. Brak pozostałości zabudowy w obrębie majdanu świadczy raczej o refugialnym charakterze obiektu obronnego. Zatem wczesnośredniowieczne, jednofazowe datowanie grodu wyklucza go raczej z rzędu późnośredniowiecznych gródków stożkowatych.

Bibliografia: Bujack 1887: 119-122; Hollack 1908: 18; Crome 1937: 122; Antoniewicz i Wartołowska (red.) 1964: 30, 55 II I 5; Nowakiewicz 1997; 2004: 275-290; Archiwum WUOZ w Olsztynie; Archiwum Działu Archeologii MWiM.

4. Boże, gm. Mrągowo, pow. mrągowski, st. 9

Obszar AZP: 20-69 (2)

Numer w rejestrze zabytków: -

Grodzisko (ryc. 11-12) położone jest przy zachodnim krańcu wsi Boże, ok. 100 m od budynku kościoła, na stoku opadającym w kierunku Boskiego Jeziora. Kopiec ma kształt ściętego stożka o średnicy podstawy ok. 15 m i plateau ok. 8 m oraz wysokości ok. 2 m. Około 50 m na północ znajduje się dość głęboki jar, podnoszący walory obronne obiektu. Na szczycie grodziska znajduje się niewielkie zakłębienie.

Gródek został zlokalizowany w 1983 r. przez Zdzisława Skroka i Tomasza Wildego podczas badań AZP⁹¹. Obszar AZP, na którym leży grodzisko, był ponownie badany w latach 1996-1997 przez Tomasza Nowakiewicza⁹². On także kierował badaniami wykopaliskowymi na stanowisku w lecie 1997 r.⁹³

Podczas badań Nowakiewicza na kopcu założono dwa wykopy o łącznej powierzchni ok. 21 m². Cała centralna część grodziska została zniszczona przez przemieszane warstwy „ogniskowe”. Odkryto pozostałości zabudowy grodziska w postaci konstrukcji z kamieni łączonych zaprawą wapienną. Z materiału ruchomego odkryto siwą ceramikę średniowieczną, a także drobne fragmenty ceramiki wcześniejszej zalegające najprawdopodobniej na złożu wtórnym, ale autor sprawozdania dopuszcza możliwość istnienia w tym miejscu wcześniejszej konstrukcji, być może kurhanu. Grodzisko miało najprawdopodobniej dwie fazy średniowieczne. Śladami pierwszej z nich są pozostałości kamiennej zabudowy, być może pozostałości wieży. Drugiej fazie odpowiada niwelacyjna warstwa gliny, która prawdopodobnie posłużyła do podwyższenia i wzmocnienia kopca. Nowakiewicz uważa, że

gródek mógł funkcjonować także wcześniej, równoległe do drugiego kopca (Boże, st. 1). Argumentem ma być wczesnośredniowieczna ceramika znaleziona na terenie przylegającym do grodziska. Stanowisko interpretowane jest jako siedziba rycerska z okresu państwa krzyżackiego.

Wieś Boże pojawia się w źródłach historycznych przy okazji nadania majątku ziemskiego braciom Reimannom przez wielkiego mistrza Winrycha von Kniprode w 1369 roku⁹⁴.

Bibliografia: Leyding 1975:143-144; Nowakiewicz 1998, 2004: 281-282; Archiwum WUOZ w Olsztynie; Archiwum Działu Archeologii MWiM.

5. Cerkiewnik, gm. Dobre Miasto, pow. olsztyński, st. 3

Obszar AZP: 21-60 (3)

Numer w rejestrze zabytków: C-254 (24.11.1999)

Kopiec (ryc. 13-15) znajduje się na wzgórzu morenowym położonym przy południowej krawędzi kotliny jeziora Limajno, ok. 500 metrów na północny-zachód od wsi Cerkiewnik. Obiekt ma kształt stożka, w planie owalnego, rozciągniętego po linii wschód-zachód, o wymiarach podstawy 30 x 20 m, plateau ok. 22 x 12 m i wysokości ok. 5 m. Na szczycie grodziska widoczne są pozostałości wałów od strony północnej, w części południowej ich ślady zostały niszczone przez nieokreślone prace ziemne. Kopiec zbudowany jest z utworów gliniastych z dodatkiem żwirów. Na południe od grodziska znajduje się owalne wypłaszczenie o wymiarach ok. 40 x 20 m – domniemany teren osady.

Grodzisko odkryte zostało w 1928 r. przez Wilhelma Gaertego⁹⁵. Odnotowane zostało w publikacjach Hansa Cromego⁹⁶, Marzeny Pollakówny⁹⁷ oraz na *Mapie grodzisk w Polsce*⁹⁸. Obiekt był badany powierzchniowo w 1969 r. przez Dariusza Członkowskiego⁹⁹, a także w ramach badań AZP w 1989 r. przez Mirosława Hoffmanna¹⁰⁰. W 1999 r., w związku z planami przekształcenia okolicznych terenów jak i samego grodziska w ośrodek rekreacyjny, przeprowadzona została inspekcja terenowa przez Zbigniewa Kobylńskiego, wykonano także odwierty na terenie domniemanej osady¹⁰¹.

Na grodzisku nie prowadzono badań wykopaliskowych, w czasie badań powierzchniowych nie odkryto materiału zabytkowego pozwalającego na określenie jego chronologii. Członkowski sugeruje średniowieczną proveniencję w oparciu o znalezione „liczne ślady i okruchy ceramiki średniowiecznej” na polu położonym na północ od grodziska. Niestety nie wskazuje on, czy chodzi o tereny w bezpośrednim sąsiedztwie stożka, co mogłoby sugerować istnienie osady przygodowej

⁹¹ Archiwum WUOZ w Olsztynie, teczką AZP 20-69.

⁹² Archiwum WUOZ w Olsztynie, teczką AZP 20-69.

⁹³ Nowakiewicz 1998.

⁹⁴ Gustaw Leyding podaje błędnie rok 1370: Leyding 1975: 143; Nowakiewicz 2004: 281-282.

⁹⁵ Kobylński 1999.

⁹⁶ Crome 1937: 107.

⁹⁷ Pollakówna 1953: 158.

⁹⁸ Antoniewicz i Wartołowska (red.) 1964: 31, 54, II H 13.

⁹⁹ Notatka w Archiwum WUOZ w Olsztynie.

¹⁰⁰ Archiwum WUOZ w Olsztynie, teczką AZP 21-60.

¹⁰¹ Kobylński 1999.

Ryc. 11. Boże, st. 9. Lokalizacja grodziska na mapie w skali 1:25000

Fig. 11. Boże, site 9. Location of the stronghold on a 1:25,000 map



Ryc. 12. Boże, st. 9 – stan wiosną 2016 roku (fot. J. Radkowski)

Fig. 12. Boże, site 9 – the state in the Spring of 2016 (photo by J. Radkowski)

w tym miejscu. Na terenie domniemanej osady wykonano 13 odwiertów, w których nie stwierdzono warstwy kulturowej. Na obszarze AZP występuje zagęszczenie osadnictwa o różnej chronologii, pojawia się również osadnictwo wczesno- i późnośredniowieczne, na zachód od grodziska odkryto także wczesnośredniowieczne cmentarzysko o charakterze wyraźnie przedchrześcijańskim. Mogłoby to sugerować przetrwanie tradycji osadniczej do pełnego średniowiecza i występowanie osadnictwa otwartego (wiejskiego) w powiązaniu z siedzibą rycerską (grodziskiem). Położenie obiektu sugeru-

je raczej funkcję strażniczo-obszerną, niż obronno-rezydencjonalną.

Obiekt wymaga co najmniej badań geomorfologicznych i sondażowo-weryfikacyjnych.

Wieś Cerkiewnik leży na terenach dominium warmińskiego, została nadana w 1383 roku Janowi Monsterbergowi przez biskupa warmińskiego Henryka Sorboma¹⁰².

Bibliografia: SGKP VI: 797; Crome 1937: 107; Polakówna 1953: 158; Antoniewicz i Wartołowska (red.) 1964: 31, 54, II H 13; Archiwum WUOZ w Olsztynie; Archiwum Działu Archeologii MWiM.

¹⁰² Hasło *Muensterberg* SGKP VI: 797.



Ryc. 13. Cerkiewnik, st. 3. Lokalizacja grodziska na mapie w skali 1:25000

Fig. 13. Cerkiewnik, site 3. Location of the stronghold on a 1:25,000 map



Ryc. 14. Cerkiewnik, st. 3. Numeryczny model terenu (źródło: geoportal.nid.pl/nid/)

Fig. 14. Cerkiewnik, site 3. Digital terrain model (source: <https://geoportal.nid.pl/nid/>)



Ryc. 15. Cerkiewnik, st. 3 – stan wiosną 2016 roku (fot. J. Radkowski)

Fig. 15. Cerkiewnik, site 3 – the state in the Spring of 2016 (photo by J. Radkowski)

6. Dąbrówno, gm. Dąbrówno, pow. ostródzki, st. 2

Obszar AZP: 31-57 (2)

Numer w rejestrze zabytków: -

Grodzisko (ryc. 16-18) znajduje się w miejscowości Dąbrówno przy ulicy Powstańców, na przesmyku między jeziorami Dąbrowa Mała i Dąbrowa Wielka, 20 metrów od wschodniego brzegu tego pierwszego. Obiekt ma kształt ściętego stożka na planie prostokąta o wymiarach podstawy ok. 54 x 42 m, a górnej powierzchni ok. 30 x 25 m. i wysokości ok. 10 m. Grodzisko jest mocno zniszczone. Po I wojnie światowej wyrównano szczyt stożka i ustawiono pomnik ku czci poległych oraz zbudowano schody na wschodnim stoku. Ponadto część północna jest zdeformowana starymi wkopami, a wydeptane ścieżki prowadzące na szczyt sprzyjają dalszej erozji stoków.

Grodzisko pojawia się w literaturze dopiero w XX w. w publikacjach Helmutha Meye¹⁰³ i Hansa Cromego¹⁰⁴, uwzględnia je także *Mapa grodzisk w Polsce*¹⁰⁵. Stanowisko było badane wykopalskowo w ramach prac archeologicznych na polach Grunwaldu w 1959 r.; badania prowadził Jan Dąbrowski¹⁰⁶. Grodzisko było także badane powierzchniowo przez Mieczysława Haftkę w 1969 r.¹⁰⁷ oraz w ramach badań AZP w 1998 r. przez Jana Michalskiego¹⁰⁸.

¹⁰³ Meye 2001: 14-15.

¹⁰⁴ Crome 1937: 120.

¹⁰⁵ Antoniewicz i Wartołowska (red.) 1964: 31, 54, II H 46.

¹⁰⁶ Dąbrowski 1964; *Sprawozdanie z prac wykopalskowych na polach Grunwaldu*, maszynopis w Archiwum WUOZ, Delegatura w Elblągu.

¹⁰⁷ Notatka w Archiwum WUOZ, Delegatura w Elblągu.

¹⁰⁸ Archiwum WUOZ, Delegatura w Elblągu, teczką AZP 31-57.



Ryc. 16. Dąbrówno, st. 2. Lokalizacja grodziska na mapie w skali 1:25000

Fig. 16. Dąbrówno, site 2. Location of the stronghold on a 1:25,000 map



Ryc. 17. Dąbrówno, st. 2. Numeryczny model terenu (źródło: geoportal.nid.pl/nid/)

Fig. 17. Dąbrówno, site 2. Digital terrain model (source: <https://geoportal.nid.pl/nid/>)



Ryc. 18. Dąbrówno, st. 2 – stan wiosną 2016 roku (fot. J. Radkowski)

Fig. 18. Dąbrówno, site 2 – the state in the Spring of 2016 (photo by J. Radkowski)

W trakcie badań prowadzonych w 1959 r. założono trzy wykopy o łącznej powierzchni ok. 90 m². W trakcie badań stwierdzono, iż grodzisko powstało na niewielkim wzniesieniu otoczonym przez tereny podmokłe¹⁰⁹. Zostało ono podwyższone o około 2 m poprzez nasypanie żwirów i mułów jeziornych. Odkryto pozostałości konstrukcji obronnych na zachodniej krawędzi grodziska. Posiadały one kamienny fundament wzmocniony drewnianymi palami wkopanymi po stronie wewnętrznej. Obok fundamentu odkryto rozsypano kamieni, fragmenty gotyckich cegieł oraz przepaloną glinę i ślady spalenizny¹¹⁰. We

wschodniej części grodziska odnaleziono bruk kamienny o powierzchni ok. 25 m². Ułożony z niewielkich kamieni, wzmocnianych co ok. 1 m szeregiem większych. Podobnie z większych kamieni, nachylonych ku sobie, zbudowany został ściek ciągnący się przez długość całego bruku. W bruku, od strony północnej, widoczne jest regularne półkoliste wcięcie, będące być może śladem po jakiejś budowli. Dąbrowski interpretuje odkryty bruk jako powierzchnię dziedzińca¹¹¹.

Z odkrytych zabytków ruchomych na szczególną uwagę zasługuje brakteat krzyżacki, według Stanisława Suchodolskiego pochodzący z końca XIII lub początku XIV

¹⁰⁹ Dąbrowski 1964: 341.

¹¹⁰ Dąbrowski 1964:344-345.

¹¹¹ Dąbrowski 1964: 347.

w.¹¹². Materiał ceramiczny, bardzo liczny, jest jednak bardzo rozdrobniony, w jego obrębie występują oprócz fragmentów naczyń ułamki kafla oraz bryły polepy. Fragmenty ceramiki pochodzą głównie z naczyń obtaczanych wypalanych zarówno w atmosferze utleniającej, jak i redukcyjnej¹¹³. Odkryto także ponad 150 zabytków metalowych, wśród których dominują gwoździe żelazne w liczbie około 100. Spośród militariów odkryto 3 groty bełtów oraz fragmenty kilku noży. Pozostałe zabytki metalowe to prawdopodobnie fragment świdra, kółko żelazne, blaszka brązowa, skobel oraz znaczna ilość sztabek żelaznych, będących zapewne fragmentami okuc¹¹⁴. Odkryto również dużą liczbę cegieł palcówek, fragmenty dachówek¹¹⁵, kawałki polewanych cegieł, fragment szklanego naczynia oraz kilka kości ludzkich¹¹⁶. Przy okazji badań grodziska przeprowadzono również prospekcję podwodną pobliskich akwenów. W jej wyniku zlokalizowano prawdopodobne miejsce przeprawy przez jezioro Dąbrowa Wielka oznaczone kamieniami¹¹⁷.

Obiekt znany był ze źródeł historycznych i na ich podstawie określono okres funkcjonowania grodziska na lata 1326-1410, kiedy to miał być zniszczony przez wojska Jagiełły zmierzające pod Grunwald¹¹⁸. Prawdopodobnie jednak gródek powstał między rokiem 1321 a 1326¹¹⁹. Być może była to siedziba prokuratora, a w późniejszym okresie wójta krzyżackiego¹²⁰.

Bibliografia: Crome 1937: 120; Antoniewicz i Wartołowska (red.) 1964: 31, 54, II H 46; Dąbrowski 1964: 341-356; Suchodolski 1964: 361; Kuczyński 1987: 365; Meye 2001: 12-24; Archiwum Delegatury WUOZ w Elblągu; Archiwum Działu Archeologii MWiM.

7. Durąg, gm. Ostróda, pow. ostródzki, st. 1

Obszar AZP: 27-57 (1)

Numer w rejestrze zabytków: C-015 (1.06.1949)

Grodzisko (ryc. 19-21) usytuowane jest na ostańcu wysoczyzny utworzonym na skutek erozji dolin Dylewki i Grabiczka, ok. 1 km na północny-wschód od obecnej wsi i majątku Durąg. Obiekt posiada kształt ściętego stożka, w planie owalnego, rozciągniętego po linii północ-południe, o wymiarach podstawy ok. 62 x 24 m i plateau ok. 43 x 15 m, jego wysokość sięga ok. 6 m. W centralnej części grodziska znajduje się owalne zagłębienie o średnicy ok. 7 m i głębokości 1 m. Niektórzy badacze opisywali grodzisko jako wieloczołonowe, doszukując się drugiego członu bezpośrednio na północny-wschód od kopca, a trzeciego dalej na północ na końcu cypla wysoczyzny.

Grodzisko po raz pierwszy wymienione jest w pracy Adolfa Boettichera¹²¹, wzmiankowane jest także w pracach Emila Hollacka¹²² i Hansa Cromego¹²³. Obiekt uwzględniony jest też przez *Mapę grodzisk w Polsce*¹²⁴. Po wojnie grodzisko było badane powierzchniowo przez Jerzego Antoniewicza w 1949 r.¹²⁵, Mieczysława Haftkę w 1969 r.¹²⁶, Marię Wielgus i Wiesława Skrobota w 1987 r. oraz przez Mirosława Jonakowskiego w ramach badań AZP w 1999 r.¹²⁷. W 2015 roku przeprowadzone zostały badania wykopaliskowe w ramach projektu *Katalog grodzisk Warmii i Mazur. Część I: Pomezania, Pogezania i Warmia*¹²⁸.

Podczas badań powierzchniowych w 1999 r. w kretonie natrafiono na fragment ceramiki nowożytniej oraz trzy kawałki polepy¹²⁹. W trakcie badań wykopaliskowych w 2015 r. założono 3 wykopy o łącznej powierzchni 60 m². Na stanowisku odkryto pozostałości piwnicy ze ścianami licowanymi drewnem i fundament kamienny, budowli dwukondygnacyjnej wzniesionej w konstrukcji szachulcowej, która uległa spaleni. Pozostałości budowli - warstwa przepalanej polepy i belek drewnianych - zapadły się do piwnicy. Poziom użytkowy piwnicy miał podłogę drewnianą. Odkryto także dwie inne konstrukcje kamienne, jedna z nich o kształcie prostokąta interpretowana jest jako pozostałość naziemnego zabudowania gospodarczego. Z zabytków ruchomych natrafiono na 1424 fragmenty ceramiki w większości datowanej na XIV-XV w. oraz nieliczne fragmenty nowożytnie, dużą ilość polepy, a także 202 fragmenty kości zwierzęcych, w tym rzeźbione okładziny. Ponadto odkryto 31 przedmiotów metalowych, w tym grot bełtu, nóż, 2 podkowy, klamrę, okucie szpadla, narzędzia rybackie, a także okucia, skoble i gwoździe. Duża część zabytków ruchomych znajdowała się wewnątrz zasypiska piwnicy. Chronologia stanowiska w oparciu o ceramikę została określona na XIV-XV w. Obiekt jednofazowy, po zniszczeniu na skutek pożaru nie został odbudowany.

Założenie interpretowane jest jako pozostałość obronnej siedziby rycerskiej.

W źródłach historycznych wieś Durąg pojawia się przy okazji nadania 200 włók Konradowi Durągowi przez komturę Lutera z Brunszwiku w 1328 r.¹³⁰

Bibliografia: Boetticher 1898b: 49; Hollack 1908: 27; Crome 1937: 120; Antoniewicz 1950: 70; Antoniewicz i Wartołowska (red.) 1964: 32, 54, II H 42; Lietz 1976: 174; Skoczylas 2016; Archiwum WUOZ, Delegatura w Elblągu; Archiwum Działu Archeologii MWiM.

¹¹² Suchodolski 1964: 361.

¹¹³ Więcej na temat ceramiki, patrz Dąbrowski 1964: 347-349.

¹¹⁴ Dąbrowski 1964: 349-350.

¹¹⁵ Dąbrowski 1964: 347.

¹¹⁶ *Sprawozdanie z prac wykopaliskowych na polach Grunwaldu*, maszynopis w Archiwum WUOZ, Delegatura w Elblągu.

¹¹⁷ Dąbrowski 1964: 347.

¹¹⁸ Dąbrowski 1964: 341-342; Kuczyński 1987: 365.

¹¹⁹ Meye 2001: 14.

¹²⁰ Meye 2001: 12, 18.

¹²¹ Boetticher 1898b: 49.

¹²² Hollack 1908: 27.

¹²³ Crome 1937: 120.

¹²⁴ Antoniewicz i Wartołowska (red.) 1964: 32, 54, II H 42.

¹²⁵ Antoniewicz 1950: 70.

¹²⁶ Notatka w Archiwum WUOZ, Delegatura w Elblągu.

¹²⁷ Archiwum WUOZ, Delegatura w Elblągu, teczka AZP 27-57.

¹²⁸ Skoczylas 2016.

¹²⁹ Archiwum WUOZ, Delegatura w Elblągu, teczka AZP 27-57.

¹³⁰ Lietz 1976: 174.



Ryc. 19. Durąg, st. 1. Lokalizacja grodziska na mapie w skali 1:25000

Fig. 19. Durąg, site 1. Location of the stronghold on a 1:25,000 map



Ryc. 20. Durąg, st. 1. Numeryczny model terenu (źródło: geoportal.nid.pl/nid/)

Fig. 20. Durąg, site 1. Digital terrain model (source: <https://geoportal.nid.pl/nid/>)



Ryc. 21. Durąg, st. 1 – stan wiosną 2016 roku (fot. J. Wysocki)

Fig. 21. Durąg, site 1- the state in the Spring of 2016 (photo by J. Wysocki)

8. Duża Wola, gm. Bartoszyce, pow. bartoszycki, st. 1
Obszar AZP: 13-63 (1)

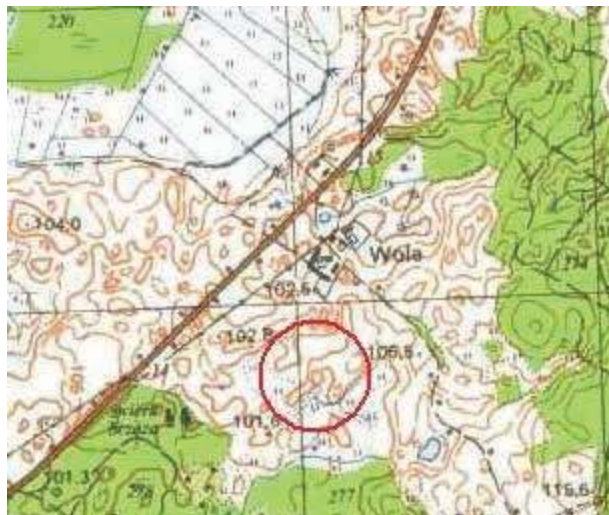
Numer w rejestrze zabytków: C-214 (30.06.1996)

Gródek (ryc. 22-23) położony jest na naturalnym cyplu wysoczyzny, gliniastym wzniesieniu otoczonym przez podmokłe łąki, obecnie w dużej mierze obsadzone młodnikiem. Stanowisko znajduje się ok. 300 m na południe od zabudowań PGR Wola. Obiekt ma kształt owalny, zbliżony do prostokąta, rozciągnięty po linii północny-zachód – południowy-wschód i formę ściętego stożka o wymiarach podstawy ok. 50 x 65 m, zaś górnej platformy ok. 30 x 40 m. Jego wysokość dochodzi do 6,5 m w części

południowej i wschodniej, natomiast w północnej i zachodniej do ok. 4 m. Od strony południowej i wschodniej widoczne są prawdopodobnie ślady fosy, od strony północnej i południowo-wschodniej wyniesienie ograniczone dolinami naturalnych cieków wodnych. Grodzisko stanowi długotrwały nieużytek rolny porośnięty roślinnością łąkową, częściowo zakrzaczony.

Grodzisko znane przynajmniej od początku XX w., wzmiankowane jest w pracach Emila Hollacka¹³¹ i Han-

¹³¹ Hollack 1908:187.



Ryc. 22. Duża Wola, st. 1. Lokalizacja grodziska na mapie w skali 1:25000

Fig. 22. Duża Wola, site 1. Location of the stronghold on a 1:25,000 map



Ryc. 23. Duża Wola, st. 1 – stan wiosną 2016 roku (fot. J. Radkowski)

Fig. 23. Duża Wola, site 1 – the state in the Spring of 2016 (photo by J. Radkowski)

sa Cromego¹³². Weryfikację stanowiska w 1969 r. przeprowadził Dariusz Członkowski¹³³. Obiekt był badany powierzchniowo w ramach AZP w 2011 r. przez Jerzego Brzozowskiego¹³⁴.

Grodzisko nie było badane wykopaliskowo. Ekipa weryfikacyjna Członkowskiego nie pozyskała ze stanowiska żadnego materiału zabytkowego, nie stwierdziła także obecności warstwy kulturowej. Negatywne wyniki dały także badania powierzchniowe okolicznych łąk. Członkowski wskazuje na podobieństwo stanowiska do gródka strażniczego w Sętalu (st. 1). Podczas badań AZP również nie pozyskano materiału zabytkowego. Brzozowski

postuluje przeprowadzenie badań sondażowych w celu określenia chronologii stanowiska.

Wieś Wola została założona przez polskich osadników w XIV wieku¹³⁵.

Bibliografia: Hollack 1908: 187; Crome 1937: 109; Pietraszko i Wakar 1987: 348; Brzozowski 2011; Archiwum WUOZ w Olsztynie; Archiwum działu archeologii MWiM.

9. Galiny, gm. Bartoszyce, pow. bartoszycki, st. 2

Obszar AZP: 16-64 (2)

Numer w rejestrze zabytków: C-222 (18.12.1996)

Gródek (ryc. 24-25) ulokowany jest na prawym brzegu Pisy, ok. 150 m na południowy-zachód od średniowiecznego kościoła w Galinach. Grodzisko jest obecnie w zasadzie niewidoczne w terenie, ma kształt elipsy wydłużonej

¹³² Crome 1937:109, 1939: 288.

¹³³ Członkowski 1969.

¹³⁴ Brzozowski 2011.

¹³⁵ Pietraszko i Wakar 1987: 348.

Ryc. 24. Galiny, st. 2. Lokalizacja grodziska na mapie w skali 1:25000

Fig. 24. Galiny, site 2. Location of the stronghold on a 1:25,000 map



Ryc. 25. Galiny, st. 2 – stan wiosną 2016 roku (fot. J. Radkowski)

Fig. 25. Galiny, site 2 – the state in the Spring of 2016 (photo by J. Radkowski)

po osi północ-południe. Jego wymiary są trudne do określenia ze względu na brak wyraźnych granic obiektu. Grodzisko zostało najprawdopodobniej rozorane i pierwotnie było niewielkim kopcem o owalnej lub czworobocznej podstawie oraz większej wysokości. Obecnie obiekt jest pokryty użytkiem zielonym. Na północ od grodziska w zakolu Pisy znajduje się osada średniowieczna (Galiny, st. 3).

Grodzisko po raz pierwszy wzmiankowane jest przez Hansa Cromego¹³⁶. Po wojnie badania powierzchniowe na stanowisku prowadził Dariusz Członkowski w 1969 r.¹³⁷ oraz Jacek Wysocki w ramach badań AZP w 2005 r.¹³⁸

Członkowski podczas swojej wizyty na stanowisku stwierdził brak wyraźnej warstwy kulturowej, nie natrafił także na materiał zabytkowy. Brak jest informacji na temat zabytków ruchomych z badań AZP. Na terenie osady

(st. 3) Członkowski znalazł 22 fragmenty ceramiki średniowiecznej, w tym siwaki. Chronologia grodziska została ustalona na średniowiecze, prawdopodobnie w oparciu o ceramikę z terenu osady i sąsiedztwo XIV-wiecznego kościoła. Bez przeprowadzenia badań wykopaliskowych, nie można określić jednoznacznie jego funkcji. Być może pełnił on jedynie funkcję refugialną bądź strażniczą, na co wskazywać mógłby brak śladów długotrwałego użytkowania.

Galiny leżą na pograniczu państwa krzyżackiego i terenów należących do biskupów Warmińskich, na ziemiach należących do zakonu. Przywilej lokacyjny został wystawiony w 1336 r., pierwszym właścicielem Galin był rycerz saski Eulenburg¹³⁹.

Bibliografia: Crome 1937: 103; Pietraszko i Wakar 1987: 286-288; Wysocki 2005; Archiwum WUOZ w Olsztynie; Archiwum Działu Archeologii MWiM.

¹³⁶ Crome 1937: 103.

¹³⁷ Notatka w Archiwum Działu Archeologii MWiM.

¹³⁸ Wysocki 2005.

¹³⁹ Pietraszko i Wakar 1987: 286.



Ryc. 26. Gałwuny, st. 2. Lokalizacja grodziska na mapie w skali 1:25000

Fig. 26. Gałwuny, site 2. Location of the stronghold on a 1:25,000 map



Ryc. 27. Gałwuny, st. 2. Numeryczny model terenu (źródło: geoportal.nid.pl/nid/)

Fig. 27. Gałwuny, site 2. Digital terrain model (source: <https://geoportal.nid.pl/nid/>)



Ryc. 28. Gałwuny, st. 2 – stan wiosną 2016 roku (fot. J. Radkowski)

Fig. 28. Gałwuny, site 2 – the state in the Spring of 2016 (photo by J. Radkowski)

10. Gałwuny, gm. Kętrzyn, pow. kętrzyński, st. 2

Obszar AZP: 17-69 (12)

Numer w rejestrze zabytków: C-219 (09.12.1996)

Grodzisko (ryc. 26-28) położone jest na krawędzi doliny rzeki Guber, ok. 1,5 km na południowy-zachód od wsi Gałwuny. Powstało przez odcięcie fragmentu wysoczyzny głęboką fosą i podwyższenie powstałego w ten sposób stożka. Obiekt powstał na planie czworoboku, zbliżonego do kwadratu, o wymiarach podstawy ok. 40 x 44 m, majdanu ok. 25 x 30 m oraz wysokości ok. 5 m. Stanowisko jest zdeformowane przez drogę biegnącą wzdłuż

zachodniego i północnego stoku, ponadto zniszczony jest południowo-zachodni narożnik oraz widoczne są ślady po wkopie przy wschodniej krawędzi stożka. Obecnie na zakrzaczonym majdanie ulokowana jest pasieka.

Grodzisko zostało zaznaczone na mapie Caspara Hennenbergera, jest obecne również w zapiskach Johanna Guise¹⁴⁰. W opracowaniu Emila Hollacka pojawia się wzmianka o dwóch grodziskach na prawym brzegu Gubry¹⁴¹, obiekt wzmiankowany w publikacji Hansa Crom-

¹⁴⁰ Klimek 2011: 22-24.

¹⁴¹ Hollack 1908: 47.

go¹⁴² odnosi się raczej do znajdującego się w pobliżu grodziska cyplowego. Stanowisko zostało uwzględnione na *Mapie grodzisk w Polsce*¹⁴³. Stanowisko zaewidencjonowane w ewidencji konserwatorskiej, wpisane do rejestru zabytków. W 1995 r. wykonano pomiar inwentaryzacyjny i plan warstwowy. Kolejna wzmianka na temat gródka pojawia się dopiero w 2011 r. w pracy Roberta Klimka¹⁴⁴.

Na stanowisku nie prowadzono badań, brak jest także informacji o odnalezieniu zabytków ruchomych. W odległości ok. 500 m na północ od grodziska zlokalizowana została osada (Gałwuny, st. 4), której chronologia została określona na okres wpływów rzymskich oraz średniowiecze. Niestety trudno jest stwierdzić, czy istniało jakieś powiązanie między osadą a grodziskiem.

Bibliografia: Hollack 1908: 47; Crome 1937: 111; Antoniewicz i Wartołowska (red.) 1964: 32, 50 II 28; Swat 1978: 171; Klimek 2011: 21-24; Archiwum WUOZ w Olsztynie; Archiwum Działu Archeologii MWiM.

11. Garbno, gm. Barciany, pow. kętrzyński, st. 1

Obszar AZP: 13-68 (1)

Numer w rejestrze zabytków: C-209 (05.01.1996)

Gródek (ryc. 29-31) położony jest na przesmyku pomiędzy dwoma podmokłymi dolinami, ok. 500 m na zachód od wsi Garbno. Obiekt ma kształt ściętego stożka o owalnej podstawie o średnicy ok. 40 m i plateau o średnicy ok. 15 m, jego wysokość sięga ok. 10 m. Na szczycie stożka widoczne jest niewyraźne zakłębienie. Grodzisko jest lekko zdeformowane przy podstawie od strony północnej i południowo-zachodniej.

Grodzisko po raz pierwszy wzmiankowane było przez Hansa Cromego¹⁴⁵. Zostało wpisane do rejestru zabytków w 1996 r. po badaniach powierzchniowych Marii Wielgus i Jacka Wysockiego. Badania powierzchniowe prowadzone były również w ramach AZP przez Magdalenę Nowakowską w 2001 r.¹⁴⁶

Na stanowisku nie prowadzono badań wykopaliskowych, brak jest także informacji na temat zabytków ruchomych. W pobliżu grodziska ok. 300 m na południe znajdują się ruiny gotyckiego kościoła i cmentarzisko średniowieczne (st. 2). Prawdopodobnie zarówno grodzisko, jak i kościół z cmentarzem łączą się z okresem kolonizacji tych ziem przez zakon krzyżacki. Około 400 m na wschód od grodziska znajduje się dwór z parkiem oraz zespołem folwarcznym, co świadczy o długotrwałej i stabilnej tradycji osadniczej.

Wieś pruska została założona w połowie XV w. Nadanie na prawie chełmińskim na rzecz braci Nicela i Jacoba Rittau miało miejsce przed 1480 r.¹⁴⁷

Bibliografia: Crome 1937: 105, 1939: 282; Swat 1978: 171-172; Archiwum WUOZ w Olsztynie.

¹⁴² Crome 1937: 111.

¹⁴³ Antoniewicz i Wartołowska (red.) 1964: 32, 50, II 28.

¹⁴⁴ Klimek 2011: 21-24.

¹⁴⁵ Crome 1937: 105, 1939: 282.

¹⁴⁶ Archiwum WUOZ w Olsztynie, teczka AZP 13-68.

¹⁴⁷ Swat 1978: 171-172.

12. Garbno, gm. Korsze, pow. kętrzyński, st. 1

Obszar AZP: 16-69 (11)

Numer w rejestrze zabytków: C-213 (30.09.1996)

Grodzisko (ryc. 32-34) położone jest na lewym brzegu Rawy, w odległości ok. 100 m od rzeki. Gródek ma formę owalnego stożka, rozciągniętego po osi północny-wschód – południowy-zachód, o wymiarach 34 x 20 m i wysokości ok. 15 m w stosunku do doliny rzecznej. Było otoczone fosą, której ślady znajdują się przy północno-zachodnim stoku. Grodzisko zostało częściowo zniekształcone przez cmentarz, który został tutaj ulokowany w XIX w.

Gródek był znany badaczom niemieckim już w XIX w., badania powierzchniowe prowadził kapitan Wülff¹⁴⁸, a po nim Adolf Boetticher¹⁴⁹. Wzmianki na jego temat pojawiają się w pracach Emila Hollacka¹⁵⁰ i Hansa Cromego¹⁵¹ oraz Roberta Klimka¹⁵², uwzględnia je także *Mapa grodzisk w Polsce*¹⁵³. W latach 1960. badania sondazowe na grodzisku przeprowadził Mackiewicz¹⁵⁴. Później prowadzono wyłącznie prospekcję powierzchniową (w 1976 r. Joanna Kalaga¹⁵⁵, w 1996 r. Mirosław Hoffmann i Jarosław Sobieraj¹⁵⁶, w 2001 r. badania AZP¹⁵⁷).

Z XIX-wiecznych badań wiadomo o obecności dużej ilości gruzu i zaprawy na grodzisku, a także o odkryciu fundamentów na podgrodzium. Chronologia towarzyszącej im ceramiki została określona na XIII-XIV w.¹⁵⁸. Badania sondazowe Mackiewicza wykazały duże przemieszanie ziemi, nie natrafiono na materiał zabytkowy. Kalaga w czasie badań powierzchniowych odkryła niewielką ilość ceramiki datowanej na wczesne i pełne średniowiecze oraz fragmenty polepy¹⁵⁹. Podgrodzie znajdowało się na południowy wschód od grodziska, Kalaga pisze o obecności dużej ilości ceramiki na tym terenie. Obecnie teren podgrodzia jest w dużej części zabudowany. Fundamenty odkryte w XIX w. znajdują się bardziej na wschód od terenu podgrodzia określonego przez Kalagę. Ich zarys sugeruje jednak budowlę nowożytną, być może powiązaną z istniejącym na tym terenie majątkiem szlacheckim. Około 300 m na północ od grodziska znajduje się zespół dworsko-parkowy z folwarkiem, a około 500 m na południowy zachód gotycki kościół, co świadczy o długotrwałej i stabilnej tradycji osadniczej tego terenu.

W Garbnie od 1328 r. miał się znajdować krzyżacki „zamek”, zniszczony w czasie wojny trzynastoletniej. W 1339 r. wielki mistrz Dytrych von Altenburg nadał zie-

¹⁴⁸ Wülff 1869: 369-371.

¹⁴⁹ Boetticher 1898a: 110-112.

¹⁵⁰ Hollack 1908: 86.

¹⁵¹ Crome 1937: 111.

¹⁵² Klimek 2011: 25-30.

¹⁵³ Antoniewicz i Wartołowska (red.) 1964: 32, 50, II 26.

¹⁵⁴ Rysunek profilu wykopu w Archiwum Działu Archeologii MWiM.

¹⁵⁵ Mazurowski, Nowakowski i Wałuś 2000: 280; Sprawozdanie z badań w Archiwum WUOZ w Olsztynie.

¹⁵⁶ Hoffmann 1996a.

¹⁵⁷ Archiwum WUOZ w Olsztynie, teczka AZP 16-69.

¹⁵⁸ Boetticher 1898a: 112.

¹⁵⁹ Sprawozdanie z badań w Archiwum WUOZ w Olsztynie.



Ryc. 29. Garbno, gm. Barciany, st. 1. Lokalizacja grodziska na mapie w skali 1 : 25000

Fig. 29. Garbno, community of Barciany, site 1. Location of the stronghold on a 1:25,000 map



Ryc. 30. Garbno, gm. Barciany, st. 1. Numeryczny model terenu (źródło: geoportal.nid.pl/nid/)

Fig. 30. Garbno, community of Barciany, site 1. Digital terrain model (source: <https://geoportal.nid.pl/nid/>)



Ryc. 31. Garbno, gm. Barciany, st. 1 – stan wiosną 2016 roku (fot. J. Radkowski)

Fig. 31. Garbno, community of Barciany, site 1 – the state in the Spring of 2016 (photo by J. Radkowski)

mie wolnym Prusom: braciom Thedemu i Laustenemu oraz Wnymynsowi¹⁶⁰.

Bibliografia: Wülff 1869: 369-371; Boetticher 1898a: 110-112; Hollack 1908: 86; Crome 1939: 111; Antoniewicz i Wartołowska (red.) 1964: 32, 50 I I 26; Swat 1978: 172-174; Mazurowski, Nowakowski i Waluś 2000: 280; Klimek 2011: 25-30; Archiwum WUOZ w Olsztynie; Archiwum Działu Archeologii MWiM.

¹⁶⁰ Swat 1978: 172.

13. Garbno, gm. Korsze, pow. kętrzyński, st. 2
Obszar AZP: 16-69 (10)

Numer w rejestrze zabytków: C-111 (07.08.1973)
Grodzisko (ryc. 35-37) znajduje się na krawędzi doliny, na prawym brzegu rzeki Rawy, ok. 800 m na wschód od Garbna. Obiekt ma kształt ściętego stożka na planie kwadratu o wymiarach podstawy ok. 54 x 54 m i plateau ok. 35 x 35 m, a jego wysokość sięga ok. 3 m w stosunku do otaczającej go wysoczyzny. Jest to fragment wysoczyzny morenowej odcięty fosą głębokości ok. 5 m. Grodzisko



Ryc. 32. Garbno, gm. Korsze, st. 1. Lokalizacja grodziska na mapie w skali 1:25000

Fig. 32. Garbno, community of Korsze, site 1. Location of the stronghold on a 1:25,000 map



Ryc. 33. Garbno, gm. Korsze, st. 1. Numeryczny model terenu (źródło: geoportal.nid.pl/nid/)

Fig. 33. Garbno, community of Korsze, site 1. Digital terrain model (source: <https://geoportal.nid.pl/nid/>)



Ryc. 34. Garbno, gm. Korsze, st. 1 – stan wiosną 2016 roku (fot. J. Radkowski)

Fig. 34. Garbno, community of Korsze, site 1 – the state in the Spring of 2016 (photo by J. Radkowski)

jest obecnie gęsto zarośnięte krzakami. Obiekt znajduje się około 1,5 km na wschód od zespołu dworsko-folwarcznego w Garbnie.

Grodzisko znane było przed wojną Emilowi Hollackowi¹⁶¹ i Hansowi Cromemu¹⁶². Wzmiankowane jest także w pracy Roberta Klimka¹⁶³. Najprawdopodobniej było

badane jedynie powierzchniowo, przez Mirosława Hoffmanna i Jarosława Sobieraja w 1996 r.¹⁶⁴ oraz w 2001 r. w ramach AZP¹⁶⁵.

Brak jest informacji o zabytkach ruchomych. Grodzisko datowane jest na okres wczesnego średniowiecza¹⁶⁶. In-

¹⁶¹ Hollack 1908: 86.

¹⁶² Crome 1937: 111.

¹⁶³ Klimek 2011: 25-30.

¹⁶⁴ Hoffmann 1996a.

¹⁶⁵ Archiwum WUOZ w Olsztynie,teczka AZP 16-69.

¹⁶⁶ Taka informacja znajduje się w karcie AZP, jednocześnie w rubryce „materiał masowy” podana jest informacja „brak



Ryc. 35. Garbno, gm. Korsze, st. 2. Lokalizacja grodziska na mapie w skali 1:25000

Fig. 35. Garbno, community of Korsze, site 2. Location of the stronghold on a 1:25,000 map



Ryc. 36. Garbno, gm. Korsze, st. 2. Numeryczny model terenu (źródło: geoportal.nid.pl/nid/)

Fig. 36. Garbno, community of Korsze, site 2. Digital terrain model (source: <https://geoportal.nid.pl/nid/>)



Ryc. 37. Garbno, gm. Korsze, st. 2, stan wiosną 2016 roku (fot. J. Radkowski)

Fig. 37. Garbno, community of Korsze, site 2 - the state in the Spring of 2016 (photo by J. Radkowski)

formacje historyczne na temat wsi zostały zawarte przy opisie stanowiska Garbno st. 1.

Bibliografia: Hollack 1908: 86; Crome 1937: 111; Klimek 2011: 25-30; Archiwum WUOZ w Olsztynie; Archiwum Działu Archeologii MWiM.

z powierzchni". Crome datował stanowiska na okres staropruski i być może jest to powtórzenie jego oceny: Crome 1937:111.

14. Gardyny, gm. Dąbrówno, pow. ostródzki, st. 1
Obszar AZP: 31-58 (46)

Numer w rejestrze zabytków: C-018 (11.06.1949)

Obiekt (ryc. 38-40) położony jest ok. 150 m od południowego brzegu jeziora Gardejki. Grodzisko ma kształt ściętego stożka na planie czworoboku. Wymiary podstawy wynoszą 75 x 75 m, a plateau 40 x 40 m, wysokość stoków sięga ok. 11 m. Grodzisko otoczone jest wyraźną fosą o szerokości 4-6 m oraz wałem, którego wysokość



Ryc. 38. Gardyny, st. 1. Lokalizacja grodziska na mapie w skali 1:25000

Fig. 38. Gardyny, site 1. Location of the stronghold on a 1:25,000 map



Ryc. 39. Gardyny, st. 1. Numeryczny model terenu (źródło: geoportal.nid.pl/nid/)

Fig. 39. Gardyny, site 1. Digital terrain model (source: <https://geoportal.nid.pl/nid/>)



Ryc. 40. Gardyny, st. 1 – stan wiosną 2016 roku (J. Radkowski)

Fig. 40. Gardyny, site 1 – the state in the Spring of 2016 (photo by J. Radkowski)

wynosi 2-3,5 m. Grodzisko jest dobrze zachowane, lekko zniszczone są stoki, które uległy erozji, a także narożnik południowo-wschodni, uszkodzony prawdopodobnie przez wybieranie ziemi przez miejscową ludność. Na szczycie odkryto kilka wkopów o bliżej nieokreślonym charakterze. Wał w części południowo-wschodniej został zniwelowany pod nieistniejącą już zabudowę.

Grodzisko obecne jest w literaturze od 1595 r.¹⁶⁷, wzmiankowane później przez wielu badaczy niemiec-

kich¹⁶⁸. Uwzględnia je także *Mapa grodzisk w Polsce*¹⁶⁹. W 1884 r. przeprowadzono badania sondażowe, ale za-
bytki i sprawozdanie z tych badań nie zachowały się¹⁷⁰.
Obiekt był badany powierzchniowo przez Antoniewicza
w 1949 r.¹⁷¹ Stanowisko zostało włączone do progra-
mu badań ekspedycji grunwaldzkiej, w ramach którego

¹⁶⁷ Hennenberger 1595: 137.

¹⁶⁸ Boetticher 1898b: 131; Hollack 1908: 47; Crome 1937:120; Meye 2001: 11; Bock 2003: 38.

¹⁶⁹ Antoniewicz i Wartołowska (red.) 1964: 32, 54, II H 48.

¹⁷⁰ Lemke 1884: 442-444.

¹⁷¹ Antoniewicz 1950: 65.

w 1959 r. zostały przeprowadzone badania powierzchniowe oraz wykonane odwierty¹⁷². Grodzisko było weryfikowane w 1974 r. przez Dariusza Lempke, Izabelę Sikorską-Ulfik oraz Włodzimierz Ziemińską-Odojową¹⁷³, w 1998 r. przez Adama Mackiewicza i Wiesława Skrobota w ramach AZP¹⁷⁴ oraz w 2002 r. przez Mirosława Hoffmanna i Adama Mackiewicza¹⁷⁵.

Ze stanowiska zebrano kilka fragmentów ceramiki, nieco większą ilość polepy oraz kość. Odnaleziono także fragment płyty kamiennej. Odwierty wykazały obecność warstwy spalenizny. Okres użytkowania grodziska został określony na wczesne i pełne średniowiecze. Badacze niemieccy łączyli powstanie grodziska z Krzyżakami, Antoniewicz zasugerował, że grodzisko powstało jeszcze we wcześniejszym okresie, a po podboju krzyżackim zostało ono przebudowane.

Gardyny występują po raz pierwszy w źródłach historycznych w 1328 r. jako majątek rycerski¹⁷⁶.

Bibliografia: Hennenberger 1595: 137; Lemke 1884: 442-444; Boetticher 1898b: 131; Hollack 1908: 47; Crome 1937: 120; Antoniewicz 1950: 65; Antoniewicz i Wartołowska (red.) 1964: 32, 54, II H 48; Odoj 1964: 217; Nadolski 1991: 27-28; Meye 2001: 11; Bock 2003: 38; Hoffmann i Mackiewicz 2004: 13-14; Archiwum Delegatury WUOZ w Elblągu; Archiwum Działu Archeologii MWiM.

15. Gorłówko, gm. Stare Juchy, pow. ełcki, st. 1

Obszar AZP: 19-77

Numer w rejestrze zabytków: C-069 (12.11.1969)

Grodzisko (ryc. 41-43) położone jest ok. 2,5 km na północny-zachód od Gorłówka i w podobnej odległości od wschodniego brzegu jeziora Szóstak. Obiekt jest mocno zniszczony, jego forma w terenie jest trudna do określenia, co dodatkowo utrudnia gęsta roślinność. Grodzisko pierwotnie miało formę ściętego stożka o wymiarach podstawy ok. 65 x 90 m, plateau ma średnicę ok. 30 m, a wysokość sięga ok. 9 m. Gródek jest nieobwałowany, brak jest także śladów fosy, być może wynika to ze złego stanu zachowania.

Grodzisko po raz pierwszy odnotował Johann Guise pod nazwą Polommen¹⁷⁷. Pod tą nazwą występuje także u Emila Hollacka¹⁷⁸, dopiero Hans Crome użył nazwy Gorlowken¹⁷⁹. Stanowisko uwzględnia *Mapa grodzisk w Polsce*¹⁸⁰ oraz Aleksander Kamiński¹⁸¹. Obiekt był weryfikowany dwukrotnie w 1969 r. przez Jana Jaskanisa

i A. Zawadzkiego¹⁸². W 2009 r. inspekcję konserwatorską przeprowadził Leszek Godzieba¹⁸³. Grodzisko nie zostało uwzględnione w badaniach AZP prowadzonych przez Józefa Niedźwiedzia w październiku 2011 r.

Na stanowisku nie prowadzono żadnych badań archeologicznych, przeprowadzono jedynie inspekcje konserwatorskie w latach 1969 i 2009. Crome określił chronologię grodziska na okres staropruski¹⁸⁴. Grodzisko wymaga przeprowadzenia przynajmniej badań sondażowych, nie można bowiem wykluczyć, że jest to forma naturalna.

Bibliografia: Hollack 1908: 120; Crome 1937: 119, 1938/39: 315; Kamiński 1956: 216; Antoniewicz i Wartołowska (red.) 1964: 33, 55, II K 2; Archiwum Delegatury WUOZ w Ełku.

16. Grabin, gm. Ostróda, pow. ostródzki, st. 1

Obszar AZP: 26-57 (1)

Numer w rejestrze zabytków: C-019 (11.06.1949)

Grodzisko (ryc. 44-46) znajduje się na prawym brzegu potoku Grabiczek, ok. 2 km od wsi Grabin i ok. 500 m od jeziora Lichtajny, na cyplu wysoczyzny. Obiekt został w dużej części zniszczony. Część zachodnia i centralna uległa zniszczeniu w wyniku wybierania piasku lub żwiru, zaś wschodni stok został uszkodzony przez drogę gruntową. Obecnie zachował się fragment wschodniej i południowej części nasypu szerokości ok. 20 m i wysokości ok. 2 m, pierwotnie średnica majdanu mogła wynosić ok. 40 m, a podstawy ok. 52 m. Cypel był odcięty od wysoczyzny fosą, której pozostałości, głębokie na ok. 2 m, są widoczne przy południowym stoku.

Grodzisko znane przynajmniej od końca XIX w., kiedy to zostało opisane przez Abrahama Lissauera¹⁸⁵. Obiekt został uwzględniony przez Hansa Cromego¹⁸⁶ oraz przez *Mapę grodzisk w Polsce*¹⁸⁷. Po wojnie gródek był badany powierzchniowo przez Jerzego Antoniewicza¹⁸⁸ w 1949 r. oraz Mieczysława Haftkę¹⁸⁹ w 1969 r. W 2015 r. przeprowadzono badania wykopaliskowe w ramach projektu NPRH *Katalog grodzisk Warmii i Mazur. Część I: Pomezania, Pogezania i Warmia*¹⁹⁰.

Podczas badań powierzchniowych Antoniewicz natrafił na ceramikę, której chronologię określił na średniowieczną. Haftka również znalazł ceramikę – siwą,

¹⁷² Brak jest bliższych informacji na ten temat; Odoj 1964: 217; Nadolski 1991:27-28.

¹⁷³ Informacja z notatki w Archiwum WUOZ, Delegatura w Elblągu.

¹⁷⁴ Archiwum WUOZ, Delegatura w Elblągu, teczką AZP 31-58.

¹⁷⁵ Hoffmann i Mackiewicz 2004: 13-14.

¹⁷⁶ Hoffmann i Mackiewicz 2004: 13.

¹⁷⁷ Kamiński 1956: 216.

¹⁷⁸ Hollack 1908: 120.

¹⁷⁹ Crome 1937: 119.

¹⁸⁰ Antoniewicz i Wartołowska (red.) 1964: 33, 55, II K 2.

¹⁸¹ Kamiński 1956: 216.

¹⁸² Notatka w Archiwum Delegatury WUOZ w Ełku.

¹⁸³ Protokół czynności kontrolnych w Archiwum Delegatury WUOZ w Ełku.

¹⁸⁴ Crome 1937: 119.

¹⁸⁵ Lissauer 1887: 190; Antoniewicz podaje, że pierwszy raz zostało opisane przez Töppea w 1870 r., jednakże nie udało się natrafić na żadną informację dotyczącego tego grodziska w polskim tłumaczeniu (Toeppen 1998), być może Antoniewicz pomylił Grabin z Grebinem (Toeppen 1998: 95); Antoniewicz 1950: 69.

¹⁸⁶ Crome 1937: 121, 1939: 273.

¹⁸⁷ Pod nazwą „Grabin” odnotowywane było także grodzisko w Lipowcu, st. 1: Antoniewicz i Wartołowska (red.) 1964: 33, 54, II H 33.

¹⁸⁸ Antoniewicz 1950: 69.

¹⁸⁹ Notatka w Archiwum WUOZ w Olsztynie, teczką Grabin.

¹⁹⁰ Solecki 2015.



Ryc. 41. Gorłówko, st. 1. Lokalizacja grodziska na mapie w skali 1:25000

Fig. 41. Gorłówko, site 1. Location of the stronghold on a 1:25,000 map



Ryc. 42. Gorłówko, st. 1. Numeryczny model terenu (źródło: geoportal.nid.pl/nid/)

Fig. 42. Gorłówko, site 1. Digital terrain model (source: <https://geoportal.nid.pl/nid/>)



Ryc. 43. Gorłówko, st. 1 – stan wiosną 2016 roku (fot. J. Radkowski)

Fig. 43. Gorłówko, site 1 – the state in the Spring of 2016 (photo by J. Radkowski)

ze śladami obtaczania. Podczas badań wykopaliskowych w 2015 r. założono cztery wykopy o łącznej powierzchni 35 m². Natrafiono na bruk kamienny w warstwie odpowiadającej pierwszej fazie użytkowania grodziska, a także na pozostałości konstrukcji dookólnej palisady oraz relikty drewnianej piwniczki, łączone z krzyżacką fazą użytkowania grodziska. Ponadto natrafiono na węgle i fragmenty polepy. Podczas badań udało się pozyskać dużą liczbę zabytków ruchomych. Odnaleziono 2333 fragmenty ceramiki, wśród nich dominowała ceramika siwa, ale natrafiono także na kilkadziesiąt fragmentów

ceramiki obtaczanej o grubej ścianie wypalanej w atmosferze utleniającej. Spośród ceramiki wyróżniają się trzy fragmenty siwaków zdobionych ornamentem stempelkowym, wykonanym prawdopodobnie brakteatem krzyżackim. Pozyskano także kilkadziesiąt zabytków metalowych, pośród nich m. in. 5 grotów strzał, 2 noże, 2 elementy wiadra (ucho i kabłąk), 2 ośniki, fragment zamka i skobel, 4 klamerki, guzik srebrny, monetę srebrną (brakteat), haczyk, fragment naczynia z brązu, 24 gwoździe oraz kilkanaście przedmiotów o nieokreślonej funkcji. Ponadto odkryto 251 fragmentów kości zwierzęcych.



Ryc. 44. Grabin, st. 1. Lokalizacja grodziska na mapie w skali 1:25000

Fig. 44. Grabin, site 1. Location of the stronghold on a 1:25,000 map



Ryc. 45. Grabin, st. 1. Numeryczny model terenu (źródło: geoportal.nid.pl/nid/)

Fig. 45. Grabin, site 1. Digital terrain model (source: <https://geoportal.nid.pl/nid/>)



Ryc. 46. Grabin, st. 1 - stan wiosną 2016 roku (fot. J. Wysocki).

Fig. 46. Grabin, site 1 - the state in the Spring of 2016 (photo by J. Wysocki)

Gródek był użytkowany w dwóch fazach, pierwsza z nich datowana jest na XII-XIII w. (pruska), druga zaś przypada na okres krzyżacki. Zabudowa została zniszczona w XIV lub XV w., prawdopodobnie w wyniku walki¹⁹¹. Grabinek i Grabin występują po raz pierwszy w źródłach w r. 1325¹⁹².

¹⁹¹ Świadczyć o tym ma duża ilość węgli drzewnych oraz grotki znalezione w linii palisady. Okoliczne tereny były niszczone w czasie najazdu Kiejstuta w 1381 r., po bitwie pod Grunwaldem oraz w trakcie wojny trzynastoletniej: Solecki 2015: 10.

¹⁹² Lietz 1976: 180.

Bibliografia: Lissauer 1887: 190; Crome 1937: 121, 1939: 273; Antoniewicz 1950: 69; Antoniewicz i Wartołowska (red.) 1964: 33, 54, II H 33; Lietz 1976: 180-181; Solecki 2015; Archiwum Delegatury WUOZ w Elblągu; Archiwum Działu Archeologii MWiM.

17. Guja, gm. Węgorzewo, pow. węgorzewski, st. 9
Obszar AZP: 14-71 (1)

Numer w rejestrze zabytków: -

Gródek (ryc. 47-48) znajduje się ok. 1200 m na północ od jeziora Rydzówka i ok. 1,5 km na zachód od miejscowości

Ryc. 47. Guja, st. 9. Lokalizacja grodziska na mapie w skali 1:25000

Fig. 47. Guja, site 9. Location of the stronghold on a 1:25,000 map



Ryc. 48. Guja, st. 9 – stan wiosną 2016 roku (fot. J. Radkowski)

Fig. 48. Guja, site 9 – the state in the Spring of 2016 (photo by J. Radkowski)

wości Guja. Obiekt ma formę nieregularnego okrągłego stożka o średnicy podstawy ok. 35 m i plateau ok. 25 m oraz wysokości ok. 2 m. Do grodziska przylega od strony południowo-zachodniej łukowato wygięty wał, nieco niższy od grodziska, tworzący łuk, również wyniesiony ponad otaczający teren.

Grodzisko zostało odkryte w czasie badań powierzchniowych przeprowadzonych w ramach AZP w 2001 r. pod kierownictwem Zbigniewa Kobylińskiego¹⁹³.

Na grodzisku została odkryta nowożytna ceramika i fragmenty kafli. W pobliżu znajdują się dwa stanowiska osadnicze: jedno ok. 700 m na południowy wschód od grodziska, na którym odkryto 10 fragmentów ceramiki późnośredniowiecznej oraz drugie ok. 1200 m na północ-

ny wschód od stanowiska, gdzie z powierzchni pozyskano 4 fragmenty ceramiki nowożytnej.

W XIV w., najprawdopodobniej na terenie byłego pruskiego grodziska, istniał „zamek” krzyżacki, który miał zostać zniszczony w 1370 r. podczas najazdu Kiejstuta. Został odbudowany w 1384 r.¹⁹⁴. W 1406 r. Niclas Witkop otrzymał nadanie 120 włók we wsi Guja od wielkiego mistrza Konrada von Jungingena¹⁹⁵.

Bibliografia: Wakar i Wilamowski 1968: 121; Töppen 1998: 125; Kucharska 2001; Białuński 2002: 168; 2014: 587-589; Archiwum WUOZ w Olsztynie.

¹⁹³ Kucharska 2001a: 2.

¹⁹⁴ Białuński 2002: 168; Wakar i Wilamowski 1968: 121; więcej na temat historii Guji patrz Białuński 2014: 587-589.

¹⁹⁵ Töppen 1998: 125.



Ryc. 49. Iława, st. 33. Lokalizacja grodziska na mapie w skali 1 : 25000

Fig. 49. Iława, site 33. Location of the stronghold on a 1:25,000 map



Ryc. 50. Iława, st.33. Numeryczny model terenu (źródło: geoportal.nid.pl/nid/)

Fig. 50. Iława, site 33. Digital terrain model (source: <https://geoportal.nid.pl/nid/>)



Ryc. 51. Iława, st. 33 – stan latem 2012 roku (fot. Z. Kobyliński)

Fig. 51. Iława, site 33 – the state in the Summer of 2012 (photo by Z. Kobyliński)

18. Iława, gm. Iława, pow. iławski, st. 33

Obszar AZP: 27-52 (15)

Numer w rejestrze zabytków: C-134 (03.11.1986)

Grodzisko (ryc. 49-51) znajduje się na wyspie Wielka Żuława na jeziorze Jeziorak, w jej południowo-wschodniej części. Ulokowano je na wysokim brzegu, stromo opadającym do jeziora. Wysoczyzna, od której został odcięty stożek, jest pozostałością wzgórza kemowego¹⁹⁶. Grodzisko ma kształt ściętego stożka na planie czworoboku, wymiary jego podstawy to ok. 50 x 50 m, a plate-

au ok. 20 x 25 m. Wysokość od dna fosy sięga ok. 10 m. Stożek został odcięty od wysoczyzny fosą od strony północnej i zachodniej. Grodzisko zostało uszkodzone przez istniejący tu w XIX w. cmentarz oraz powstały w drugiej połowie XX w. ośrodek wypoczynkowy.

Grodzisko po raz pierwszy pojawia się w publikacji Abrahama Lissauera w 1887 r.¹⁹⁷ Przed wojną wzmiankowane było także przez Władysława Łęgę¹⁹⁸ i Hansa

¹⁹⁶ Klęczar i Wysocki 2013: 331.

¹⁹⁷ Lissauer 1887: 186.

¹⁹⁸ Łęga 1930: 557.

Cromeo¹⁹⁹. Gródek uwzględniony został na *Mapie grodzisk w Polsce*²⁰⁰. Badania powierzchniowe prowadziła w 1984 r. Maria Wielgus²⁰¹, a w 2002 r. Seweryn Szczepański²⁰². W 2012 r. przeprowadzone zostały badania wykopaliskowe prowadzone w ramach projektu NPRH *Katalog grodzisk Warmii i Mazur. Część I: Pomezania, Pogezania i Warmia*²⁰³.

Podczas badań powierzchniowych Wielgus natrafiła na kilka mało charakterystycznych fragmentów ceramiki, której chronologię określiła na późne średniowiecze. Szczepański zebrał z powierzchni 19 fragmentów naczyń wypalonych w atmosferze redukcyjnej, również późnośredniowiecznych. Podczas badań wykopaliskowych w 2012 r. otwarto 6 wykopów o łącznej powierzchni 105 m². Na grodzisku odkryto bruki kamienne, w jednym miejscu ograniczone belką podwalinową. Brak większej ilości polepy, jak również obecność dużej liczby gwoździ może świadczyć, że istniejąca na grodzisku zabudowa była drewniana. Nie odkryto śladów wałów dookólnych, jednakże nie można wykluczyć ich istnienia – majdan został zniwelowany przy pracach związanych z utworzeniem cmentarza, a jego krawędzie ulegają dalszej erozji. Spośród zabytków ruchomych, poza ceramiką datowaną na XIII-XIV w., odkryto 120 zabytków żelaznych, między innymi związanych z budownictwem (okucia, gwoździe), militariów (ostroga, groty bełtu i strzał), a także kłódkę, klucze oraz okucia ksiąg. W najbliższym otoczeniu gródka przeprowadzono badania geofizyczne, które nie wykazały śladów podgrodzia. Przeprowadzono także penetrację podwodną otoczenia wyspy, w wyniku której odkryto pozostałości mostu prowadzącego na wyspę²⁰⁴.

Grodzisko interpretowane jest jako relikwiny wczesnej fazy osadnictwa krzyżackiego na tym terenie. Ponieważ stanowisko jest jednofazowe, należy uznać, że istniała w tym miejscu drewniano-ziemna fortyfikacja krzyżacka wzniesiona około 1275 r., która na początku XIV w. została zniszczona i przeniesiona w inne miejsce.

Bibliografia: Lissauer 1887: 186; Łęga 1930: 557; Crome 1937: 123; Antoniewicz i Wartołowska (red.) 1964: 34, 54, II G 50; Popek *et al.* 2013: 373-380; Pydyn 2013: 368-371; Wysocki i Klęczar 2013: 327-335; Archiwum Delegatury WUOZ w Elblągu; Archiwum Działu Archeologii MWiM.

19. Jegławki, gm. Srokowo, pow. kętrzyński, st. 1

Obszar AZP: 14-70

Numer w rejestrze zabytków: C-207 (05.02.1996)

Grodzisko (ryc. 52-53) znajduje się w parku pałacowym przy północnym brzegu stawu. Ma ono postać niewielkiego stożka o nieregularnym kształcie i wymiarach

podstawy ok. 40 x 35 m, a majdanu 10 x 5 m, usypanego na małym wzniesieniu, jego wysokość sięga ok. 7 m. Stoki gródka są strome, tylko od strony północno-zachodniej podejście jest łagodniejsze. Stanowisko zostało uszkodzone przez nieistniejący obecnie budynek wkopany w jego północny stok.

Grodzisko oznaczone było już na mapach Józefa Narońskiego²⁰⁵, wzmiankowane jest także w późniejszych pracach badaczy niemieckich²⁰⁶. Obiekt uwzględnia też *Mapa grodzisk w Polsce*²⁰⁷. Stanowisko było badane powierzchniowo w 2001 r. w ramach AZP²⁰⁸.

Na grodzisku nie prowadzono badań wykopaliskowych, nie odkryto również zabytków podczas badań powierzchniowych. W roku 1990 przeprowadzono badania podwodne w pobliskim jeziorze, które nie przyniosły jednak żadnych efektów²⁰⁹.

Grodzisko w oparciu o źródła historyczne można datować na wiek XIV. Prawdopodobnie osadnictwo na tym terenie istniało już wcześniej, jednakże powstanie gródka łączy się z pierwszymi nadaniami zakonu na tym terenie (1363 r.). Stanowisko jest prawdopodobnie pozostałością strażnicy krzyżackiej bądź siedziby pierwszego właściciela Jegławek Prusa Praytixe²¹⁰.

Bibliografia: Bujack 1878: 162; Beckherrn 1884: 639-640; Crome 1937: 111, 1939: 266; Antoniewicz i Wartołowska (red.) 1964: 34, 50, II 12; Gackowski 1991: 1; Białyński 2014: 585-591; Archiwum WUOZ w Olsztynie; Archiwum Działu Archeologii MWiM.

20. Jęcznik, gm. Szczytno, pow. szczycieński, st. 1

Obszar AZP: 28-65 (1)

Numer w rejestrze zabytków: C-153 (25.10.1948)

Grodzisko (ryc. 54-55) położone jest na cyplu wysoczyzny, w zakolu rzeki Saski, ok. 2,5 km na południe od wsi Jęcznik. Obiekt ma formę ściętego stożka o owalnym planie i wymiarach podstawy ok. 30 x 40 m, a plateau ok. 20 x 25 m oraz wysokości ok. 3 m powyżej poziomu wysoczyzny. Gródek jest odcięty od nasady cypla fosą, której głębokość sięga do ok. 5 m poniżej poziomu wysoczyzny. Po zachodniej stronie grodziska prowadzi grobla w kierunku rzeki, na której północnym brzegu prawdopodobnie znajdowała się osada przyrodowa.

Grodzisko znane jest od 1881 r., zlokalizował je Georg Bujack, on też przeprowadził pierwsze badania sondazowe w latach 1888-1889²¹¹. Gródek wzmiankowany był także przez Hansa Cromeo²¹². Badania wykopaliskowe na stanowisku były prowadzone w 2007 r., a ich kontynu-

¹⁹⁹ Crome 1937: 123.

²⁰⁰ Antoniewicz i Wartołowska (red.) 1964: 34, 54, II G 50.

²⁰¹ Notatka służbowa w Archiwum WUOZ, Delegatura w Elblągu.

²⁰² Notatka w Archiwum Działu Archeologii MWiM.

²⁰³ Klęczar i Wysocki 2013: 327-335.

²⁰⁴ Pydyn 2013: 368-371; Popek *et al.* 2013: 373-380.

²⁰⁵ Szeliga 1997: mapa 6.

²⁰⁶ Bujack 1878: 162; Beckherrn 1884: 639-640; Crome 1937: 111, 1939: 266.

²⁰⁷ Antoniewicz i Wartołowska (red.) 1964: 34.

²⁰⁸ Archiwum WUOZ w Olsztynie,teczka AZP 14-70.

²⁰⁹ Gackowski 1991: 1.

²¹⁰ Białyński 2014: 589.

²¹¹ Brzóska 2009-2010: 213.

²¹² Crome 1937: 120.



Ryc. 52. Jegławki, st. 2. Lokalizacja grodziska na mapie w skali 1:25000

Fig. 52. Jegławki, site 2. Location of the stronghold on a 1:25,000 map



Ryc. 53. Jegławki, st. 2 – stan wiosną 2016 roku (fot. J. Radkowski)

Fig. 53. Jegławki, site 2 – the state in the Spring of 2016 (photo by J. Radkowski)

acja miała miejsce w r. 2010. Prace były kierowane przez Artura Brzóske²¹³.

Podczas badań w latach 1888-1889 odkryto palenisko, którego chronologię Bujack określił na czasy krzyżackie. Natrafiono na pozostałości dymarki i żuźle nad rzeką, a na terenie osady zlokalizowano trzy lub cztery obiekty mogące być pozostałościami po chatkach. W 2007 r. założono na majdanie wykop o powierzchni 60 m², którego eksplorację kontynuowano także w r. 2010. Dodatkowo w drugim sezonie badań umiejscowiono dwa kolejne wykopy, o łącznej powierzchni 19 m², na terenie osady. Na majdanie odkryto warstwę o miąższości 80 cm tworzącą nasyp stożka, która zawierała fragmenty ceramiki

kultury kurhanów zachodniobałtyjskich. Odkryto także relikty dwóch faz zabudowy. Pozostałości pierwszej fazy w postaci warstwy spalenizny i fragmentów desek sugerują całkowicie drewnianą konstrukcję. Drugi budynek powstały w tym miejscu posadowiony był na glinianym fundamencie, miał konstrukcję szkieletową i kryty był dachówką. W jego północnej części odkryto pozostałości urządzenia ogniowego. Z zabytków ruchomych pozyskano dużą ilość ceramiki i polepy, fragmenty dachówek, kości zwierzęce, 25 zabytków żelaznych oraz ok. 2 kg żużli. Chronologię gródka ustalono na początek XIV w. do końca w. XV. Dwa wykopy założone na terenie domniemanej osady nie dostarczyły materiału zabytkowego. W odległości kilkuset metrów na północny-zachód od grodziska

²¹³ Brzóska 2010, 2009-2010: 213-214.

Ryc. 54. Jęcznik, st. 1. Lokalizacja grodziska na mapie w skali 1:25000

Fig. 54. Jęcznik, site 1. Location of the stronghold on a 1:25,000 map



Ryc. 55. Jęcznik, st. 1 – stan wiosną 2016 roku (fot. J. Radkowski)

Fig. 55. Jęcznik, site 1 – the state in the Spring of 2016 (photo by J. Radkowski)

znajduje się podłużny wał pomiędzy rzeką Saską a jeziorem Sawica.

W źródłach historycznych wieś Jęcznik pojawia się po raz pierwszy w 1385 r., kiedy to niejaki Nikusz otrzymał 10 włók w celu założenia majątku ziemskiego²¹⁴. Grodzisko w publikacjach niemieckich występuje jako Johanni-stal, czyli obecne Janowo.

Bibliografia: Bujack 1885: 89, 1890: 132-135; Crome 1937: 120; Leyding 1962: 76; Brzóska 2009-2010: 213-214, 2010; Archiwum WUOZ w Olsztynie; Archiwum Działu Archeologii MWiM.

²¹⁴ Leyding 1962: 76.

21. Kiwity, gm. Kiwity, pow. lidzbarski, st.1

Obszar AZP: 17-64

Numer w rejestrze zabytków: C-064 (12.06.1969)

Grodzisko (ryc. 56-57) ulokowane jest na południe od wsi Kiwity na prawym brzegu strumienia. Otoczone jest przez tereny podmokłe, pierwotnie prawdopodobnie otaczały go wody spiętrzone przez młyn. Obiekt powstał na wzgórzu morenowym. Grodzisko ma formę ściętego stożka na planie kwadratu o wymiarach podstawy 24 x 24 m i plateau ok. 12 x 12 m oraz wysokości ok. 6 m. W północno-wschodniej części grodziska znajduje się niezbyt głęboki wkop niewiadomego pochodzenia. Gródek znany był badaczom niemieckim już pod koniec



Ryc. 56. Kiwity, st. 1. Lokalizacja grodziska na mapie w skali 1:25000

Fig. 56. Kiwity, site 1. Location of the stronghold on a 1:25,000 map



Ryc. 57. Kiwity, st. 1 – stan wiosną 2016 roku (fot. J. Radkowski)

Fig. 57. Kiwity, site 1 – the state in the Spring of 2016 (photo by J. Radkowski)

XIX w. i wzmiankowany był w kilku publikacjach²¹⁵. Obiekt uwzględnia także *Mapa grodzisk w Polsce*²¹⁶. Stanowisko było weryfikowane przez Dariusza Członkowskiego w 1969 r.²¹⁷ oraz Mirosława Hoffmanna i Bogdana Radzickiego w 2002 r.²¹⁸. W 2006 r. przeprowadzono badania powierzchniowe w ramach AZP pod kierownictwem Adama Walusia²¹⁹.

Na stanowisku nie prowadzono badań wykopaliskowych. W czasie prospekcji powierzchniowej na grodzisku

oraz w jego najbliższym otoczeniu odkryto ceramikę datowaną na XIII-XIV w.

Grodzisko potwierdzone jest w źródłach historycznych, gdzie w akcie nadania dla wsi Schumpiten (późniejsze Kiwity) z 1319 r., znajduje się informacja o umocnieniu warownym mającym służyć schronieniu przed najazdami litewskimi. Wnioskować należy z tego, iż było to gródek refugialny, a więc wykorzystywany jedynie okresowo, ponadto nie był prywatną własnością, a służyć miał całej ludności wsi²²⁰.

Bibliografia: Bötticher 1894: 163; Hollack 1908: 69; Crome 1937: 106, 1939: 273; Antoniewicz i Wartołowska (red.) 1964: 35, 50, I H 34; Hoffmann 2002; Klimek 2013a: 593-594, 2013b: 206; Archiwum WUOZ w Olsztynie; Archiwum Działu Archeologii MWiM.

²¹⁵ Bötticher 1894: 163; Hollack 1908: 69, Crome 1937: 129, 1939: 273.

²¹⁶ Antoniewicz i Wartołowska (red.) 1964: 35, 50, I H 34.

²¹⁷ Notatka w Archiwum WUOZ w Olsztynie.

²¹⁸ Hoffmann 2002.

²¹⁹ Archiwum WUOZ w Olsztynie, teczka AZP 17-64.

²²⁰ Klimek 2013a: 593, 2013b: 206.



Ryc. 58. Krzyżany, st. 1. Lokalizacja grodziska na mapie w skali 1:25000

Fig. 58. Krzyżany, site 1. Location of the stronghold on a 1:25,000 map



Ryc. 59. Krzyżany, st. 1. Numeryczny model terenu (źródło: geoportal.nid.pl/nid/)

Fig. 59. Krzyżany, site 1. Digital terrain model (source: <https://geoportal.nid.pl/nid/>)



Ryc. 60. Krzyżany, st. 1 – stan wiosną 2016 roku (fot. J. Radkowski)

Fig. 60. Krzyżany, site 1 – the state in the Spring of 2016 (photo by J. Radkowski)

22. Krzyżany, gm. Ryn, pow. giżycki, st. 1

Obszar AZP: 20-71 (46)

Numer w rejestrze zabytków: -

Kopiec (ryc. 58-60) znajduje się w centralnej części rozległego wzniesienia, ok. 1,8 km na zachód od jeziora Ołów i ok. 300 m na zachód od podobnego kopca określonego jako Ryn st. 2. Obiekt ma formę ściętego stożka o średnicy podstawy ok. 20 m, obwałowany majdan ma średnicę ok. 9 m, a wysokość grodziska sięga ok. 2,5 m. Szerokość wału wynosi ok. 1-1,5 m, ponadto stożek otoczony jest płytką fosą o szerokości ok. 2-3 m. Obecnie mocno zarośnięty krzakami.

Grodzisko nieznanie w starszej literaturze, zlokalizowane zostało przez Jerzego Miałduna na podstawie zdjęć lotniczych i zweryfikowane w terenie w 1998 r. wraz z Izabelą Mirkowską²²¹. W 2000 r. miała miejsce inspekcja pracownika SOZ Ełk²²². W 2004 r. kopiec był badany powierzchniowo w ramach AZP przez Antoniego Smolińskiego²²³.

Na kopcu nie prowadzono badań wykopaliskowych, nie znaleziono na nim również materiału zabytkowego.

²²¹ Mirkowska 1998b; Mirkowska i Miałdun 2002: 333-346.

²²² Notatka służbowa w Archiwum WUOZ, Delegatura w Ełku.

²²³ Smoliński 2004.



Ryc. 61. Książ Dwór, st. 1. Lokalizacja grodziska na mapie w skali 1:25000

Fig. 61. Książ Dwór, site 1. Location of the stronghold on a 1:25,000 map



Ryc. 62. Książ Dwór, st. 1. Numeryczny model terenu (źródło: geoportal.nid.pl/nid/)

Fig. 62. Książ Dwór, site 1. Digital terrain model (source: <https://geoportal.nid.pl/nid/>)



Ryc. 63. Książ Dwór, st. 1. - stan wiosną 2016 (fot. J. Radkowski)

Fig. 63. Książ Dwór, site 1 - the state in the Spring of 2016 (photo by J. Radkowski)

Obiekt ma ewidentnie antropogeniczną formę, ale nie ma żadnych przesłanek do określenia jego chronologii. W pobliżu kopca znajdują się ślady okopów, nie można wykluczyć, że jest to pozostałość stanowiska artyleryjskiego. Bez przeprowadzenia badań przynajmniej sondazowych, nie można określić z całą pewnością jego chronologii, a tym bardziej funkcji.

Kopiec leży w zbyt dużej odległości od Rynu, by mógł być bezpośrednio związany z historycznym miastem, a w źródłach historycznych nie istnieją żadne wzmianki mogące się odnosić do omówionego obiektu.

Bibliografia: Mirkowska 1998b; Mirkowska i Miałdun 2002: 333-346; Smoliński 2004; Archiwum WUOZ, Delegatura w Elku; Archiwum Działu Archeologii MWiM.

23. Książ Dwór, gm. Działdowo, pow. działdowski, st. 1

Obszar AZP: 36-58 (1)

Numer w rejestrze zabytków: C-089

Grodzisko (ryc. 61-63) ulokowane jest na krawędzi wysoczyzny na południowy wschód od wsi Książ Dwór, nad tak zwanym kanałem młyńskim. Gródek ma kształt ściętego stożka o średnicy podstawy ok. 56 m, plateau ok. 10 m.

m i wyniesiony jest ok. 1,5 m ponad poziom wysoczyzny. Obiekt jest odcięty od wysoczyzny fosą głęboką na ok. 6 m. Grodzisko otoczone było wałem, którego pozostałości najlepiej widoczne są w północno-zachodniej części. Wał jest uszkodzony wykopany rowem, prawdopodobnie strzeleckim z okresu II wojny światowej. Na majdanie po wschodniej stronie znajduje się zagłębienie głębokości ok. 2 m o średnicy ok. 12 m.

Grodzisko pierwszy raz występuje w literaturze w pracy Adolfa Böttichera²²⁴. Wzmiankowane jest także przez Emila Hollacka²²⁵ i Hansa Cromego²²⁶. Po wojnie gródek był weryfikowany przez Jerzego Antoniewicza²²⁷, uwzględnia go także *Mapa grodzisk w Polsce*²²⁸. W 1969 r. obiekt weryfikowany był przez Andrzeja Kolę i Wiesławę Matuszewską-Kolę, którzy wykonali także niewielki sondaż²²⁹. Stanowisko było badane powierzchniowo w ramach AZP w 1980 r. przez J. Kowalskiego²³⁰.

Wykop sondażowy z 1969 r. miał wymiary 0,5 x 0,5 m. Wykazał obecność warstwy kulturowej w postaci czarnej, tłustej próchnicy. Na grodzisku odkryto fragmenty ceramiki obtaczanej zdobioną poziomymi pasami oraz toczoną na kole. Na jej podstawie okres użytkowania grodziska określono na XII-XIV w. Nie odkryto pozostałości osady przyrodowej na południe od stożka. Być może teren osady znajduje się bardziej na zachód i obecnie jest niemożliwy do zweryfikowania ze względu na obecność lasu z bogatym poszyciem.

Lokalizacja grodziska na pograniczu Prus i Mazowsza sugeruje funkcję granicznego gródka strażniczego.

Bibliografia: Bötticher 1898b: 124; Hollack 1908: 105; Crome 1937: 125; Sukertowa-Biedrawina 1937: 20; Antoniewicz 1950: 56, 1951: 21; Antoniewicz i Wartołowska (red.) 1964: 36, 55, II H 56; Archiwum WUOZ w Olsztynie; Archiwum Działu Archeologii MWiM.

24. Kwiedzina, gm. Kętrzyn, pow. kętrzyński, st. 2

Obszar AZP: 18-70 (5)

Numer w rejestrze zabytków: C-225 (30.12.1996)

Grodzisko (ryc. 64-66) znajduje się na cyplu wysoczyzny w zakolu Kwiedzianki, w południowej części wsi. Gródek ma formę ściętego stożka o nieregularnym czworobocznym kształcie zbliżonym do trójkąta. Wymiary jego podstawy to ok. 47 x 58 x 58 m, a plateau 20 x 30 x 30 m, gdzie krótszy bok znajduje się od strony wysoczyzny, a wysokość sięga ok. 6 m ponad jej poziom. Grodzisko oddzielone jest głęboką na ok. 3 m fosą od pozostałej części cypla, na której najprawdopodobniej zlokalizowane jest podgrodzie, przez niektórych raczej błędnie interpretowane jako grodzisko.

²²⁴ Bötticher 1898b: 124.

²²⁵ Hollack 1908: 104.

²²⁶ Crome 1937: 125.

²²⁷ Antoniewicz 1950: 56, 1951a: 21; Notatka w Archiwum Działu Archeologii MWiM.

²²⁸ Antoniewicz i Wartołowska (red.) 1964: 36, 55, II H 56.

²²⁹ Notatka w Archiwum WUOZ w Olsztynie.

²³⁰ Archiwum WUOZ w Olsztynie, teczka AZP 36-58.

Grodzisko znane było już Józefowi Narońskiemu, który umieścił je na swojej mapie²³¹. Wzmianki na jego temat pojawiają się w pracach Emila Hollacka²³² i Hansa Cromego²³³. W latach 1960. na grodzisku Mackiewicz wykonał dwa wkopy sondażowe²³⁴. Obiekt uwzględnia *Mapa grodzisk w Polsce*²³⁵. Weryfikację terenową w 1996 r. przeprowadził Mirosław Hoffmann i Jarosław Sobieraj²³⁶.

Na stanowisku nie prowadzono badań wykopaliskowych. Wykonano jedynie wkopy sondażowe na podgrodzie. Wykazały one obecność przemieszanej warstwy humusu z piaskiem, prawdopodobnie jest to ślad po pracach niwelacyjnych. Mackiewicz informuje również, że na powierzchni grodziska występuje ceramika, ale nie podaje jej chronologii. Na północny-wschód od grodziska, w odległości ok. 400 m znajduje się teren osady, datowanej na podstawie ceramiki na średniowiecze²³⁷.

W źródłach historycznych pierwsza wzmianka na temat Kwiedziny pochodzi z 1343 r., kiedy to Ludolf König nadaje Prusom Warpunowi, Weysnorowi, Meirunowi i Bartoldowi 33 włóki ziemi²³⁸.

Bibliografia: Hollack 1908: 125; Crome 1937: 111; Antoniewicz 1951a: 21; Antoniewicz i Wartołowska (red.) 1964: 36, 50, II 35; Swat 1978: 200; Mazurowski i Waluś 2000: 277; Archiwum WUOZ w Olsztynie; Archiwum Działu Archeologii MWiM.

25. Laseczno Małe, gm. Iława, pow. iławski, st.1

Obszar AZP: 28-51 (24)

Numer w rejestrze zabytków: C-050 (25.11.1968)

Grodzisko (ryc. 67-69) położone jest przy wschodnim brzegu jeziora Gulbińskiego, na krawędzi jego doliny. Leży na wysoczyźnie moreny dennej. Obiekt ma formę ściętego stożka o średnicy podstawy ok. 30 m i 10 m średnicy plateau oraz wysokość ok. 6 m.

Grodzisko po raz pierwszy opisuje Töppen²³⁹. Kolejne wzmianki na jego temat pojawiają się dopiero w latach 30. XX wieku²⁴⁰. Obiekt uwzględnia *Mapa grodzisk w Polsce*²⁴¹. Badania powierzchniowe w 1968 r. prowadził Mieczysław Haftka²⁴², a w 1988 r. weryfikowane było przez Marię Wielgus i Wiesławę Skrobotą²⁴³. Tenże prowadził

²³¹ Antoniewicz 1951a: 21.

²³² Hollack 1908: 125.

²³³ Crome 1937: 111.

²³⁴ Mackiewicz za teren grodziska uznał raczej teren podgrodzia; notatka i rysunki w Archiwum Działu Archeologii MWiM.

²³⁵ Antoniewicz i Wartołowska (red.) 1964: 36, 50, II 35.

²³⁶ Hoffmann 1996b.

²³⁷ Mazurowski i Waluś 2000: 277; Karta rejestracyjna znaleziska i zabytku archeologicznego oraz rysunki w Archiwum Działu Archeologii MWiM.

²³⁸ Swat 1978: 200.

²³⁹ Töppen 1876: 129-153.

²⁴⁰ Łęga 1930: 557 (jako Gulb); Heym 1933: 215-230; Crome 1937: 123.

²⁴¹ Antoniewicz i Wartołowska (red.) 1964: 36, 54, II G 49 (jako Laseczno).

²⁴² Haftka 1968a.

²⁴³ Informacja z notatki w Archiwum Delegatury WUOZ w Elblągu.



Ryc. 64. Kwidzina, st. 2. Lokalizacja grodziska na mapie w skali 1:25000

Fig. 64. Kwidzina, site 2. Location of the stronghold on a 1:25,000 map



Ryc. 65. Kwidzina, st. 2. Numeryczny model terenu (źródło: geoportal.nid.pl/nid/)

Fig. 65. Kwidzina, site 2. Digital terrain model (source: <https://geoportal.nid.pl/nid/>)



Ryc. 66. Kwidzina, st. 2 – stan wiosną 2016 roku (fot. J. Radkowski)

Fig. 66. Kwidzina, site 2 – the state in the Spring of 2016 (photo by J. Radkowski)

także badania powierzchniowe w 2007 r. w ramach AZP²⁴⁴. Badania wykopaliskowe na stanowisku przeprowadzone zostały w 2012 r. w ramach projektu NPRH *Katalog grodzisk Warmii i Mazur. Część I: Pomezania, Pogezania i Warmia*²⁴⁵.

Na grodzisku odkryto ceramikę średniowieczną i niewielką ilość ceramiki o nieokreślonej chronologii,

być może wczesnośredniowiecznej²⁴⁶. Podczas badań w 2012 r. wytyczono dwa wykopu o łącznej powierzchni 46 m² oraz jeden u podnóża obiektu o powierzchni 20 m². W centralnej części majdanu natrafiono na niewielkie zagłębienie, gdzie odkryto nieliczne ułamki ceramiki późnośredniowiecznej, a także fragment noża żelaznego. Na północ od zagłębienia odkryto pozostałości pieca z popiołem i węglami oraz kawałkami przepalanej polepy. Odkryto

²⁴⁴ Archiwum WUOZ, Delegatura w Elblągu, teczką AZP 28-51.

²⁴⁵ Wysocki i Kłęczar 2013: 335-339.

²⁴⁶ Informacja pochodzi z notatki znajdującej się w Archiwum Delegatury WUOZ w Elblągu, nie ma bliższych informacji o tym, kto i kiedy na nią natrafił.



Ryc. 67. Laseczno Małe, st. 1. Lokalizacja grodziska na mapie w skali 1 : 25000

Fig. 67. Laseczno Małe, site 1. Location of the stronghold on a 1:25,000 map



Ryc. 68. Laseczno Małe, st. 1. Numeryczny model terenu (źródło: geoportal.nid.pl/nid/)

Fig. 68. Laseczno Małe, site 1. Digital terrain model (source: <https://geoportal.nid.pl/nid/>)



Ryc. 69. Laseczno Małe, st.1 – stan wiosną 2016 roku (fot. J. Wysocki)

Fig. 69. Laseczno Małe, site 1 – the state in the Spring of 2016 (photo by J. Wysocki)

także fosę, której obecności nie wykazały badania geofizyczne. Nasyp zbudowany jest z tłustej brunatnej gliny wybieranej z fosy, która najprawdopodobniej po zakończeniu prac została ponownie zasypiana. Nie natrafiono na ślady osadnictwa w najbliższym sąsiedztwie obiektu. Ponadto przeprowadzono prospekcję podwodną wzdłuż brzegu jez. Gulbińskiego, która nie przyniosła rezultatów²⁴⁷.

Grodzisko interpretuje się jako pozostałość kopca strażniczego lub obserwacyjnego. Zagłębienie w central-

nej części jest prawdopodobnie śladem po lekkiej konstrukcji osłaniającej od warunków pogodowych. Stanowisko można datować na okres średniowiecza w oparciu o odkrytą ceramikę.

Bibliografia: Töppen 1876: 134-135; Łęga 1930: 557; Heym 1933: 221; Crome 1937: 123; Antoniewicz i War-tołowska (red.) 1964: 36, 54, II G 49; Haftka 1968; Pydyn 2013: 366; Wysocki i Klęczar 2013: 335-339; Archiwum WUOZ, Delegatura w Elblągu; Archiwum Działu Archeologii MWiM.

²⁴⁷ Pydyn 2013: 366.



Ryc. 70. Łupstych, st. 1. Lokalizacja grodziska na mapie w skali 1:25000

Fig. 70. Łupstych, site 1. Location of the stronghold on a 1:25,000 map



Rys. 71. Łupstych, st. 1. Numeryczny model terenu (źródło: geoportal.nid.pl/nid/)

Fig. 71. Łupstych, site 1. Digital terrain model (source: <https://geoportal.nid.pl/nid/>)



Ryc. 72. Łupstych, st. 1 – stan wiosną 2016 roku (fot. J. Radkowski)

Fig. 72. Łupstych, site 1 – the state in the Spring of 2016 (photo by J. Radkowski)

26. Łupstych, gm. Gietrzwałd, pow. olsztyński, st. 1

Obszar AZP: 24-60 (27)

Numer w rejestrze zabytków: C-008 (28.01.1949)

Grodzisko (ryc. 70-72) położone jest na wysoczyźnie nad zachodnim brzegiem jeziora Ukiel. Obiekt leży ok. 200 m na wschód od wsi Łupstych. Gródek ma formę ściętego stożka o owalnym kształcie, o wymiarach podstawy ok. 40 x 35 m i majdanu ok. 30 x 25 m oraz wysokości ok. 2 m. Stożek usypany jest z piasków i glin polodowcowych. Grodzisko prawdopodobnie było obwałowane, ale zostało mocno zniszczone przez orkę. Teren został zalesiony przed wojną, by zapobiec dalszej destrukcji obiektu.

Grodzisko po raz pierwszy pojawia się w pracy Hansa Cromego²⁴⁸. Po wojnie było weryfikowane przez Jerzego Antoniewicza w 1949 r.²⁴⁹ Obiekt został uwzględniony w pracy Marzeny Pollakówny²⁵⁰, a także na *Mapie grodzisk w Polsce*²⁵¹. Gródek był badany powierzchniowo w 1967 r. przez Romualda Odoja i w 1968 r. przez To-

²⁴⁸ Crome 1937: 117.

²⁴⁹ Antoniewicz 1950: 68.

²⁵⁰ Pollakówna 1953: 159.

²⁵¹ Antoniewicz i Wartołowska (red.) 1964: 37, 54, II H 35 (jako Łubstych).

Ryc. 73. Mołtajny, st. 2. Lokalizacja grodziska na mapie w skali 1:25000

Fig. 73. Mołtajny, site 2. Location of the stronghold on a 1:25,000 map



Ryc. 74. Mołtajny, st. 2 – stan badań wiosną 2016 roku (fot. J. Radkowski)

Fig. 74. Mołtajny, site 2 – the state in the Spring of 2016 (photo by J. Radkowski)

masza Kufla²⁵². W 1988 r. przeprowadzono badania w ramach AZP²⁵³.

Na stanowisku nie prowadzono badań wykopaliskowych. Antoniewicz natrafił pod humusem na węgle drzewne. Brak jest materiału zabytkowego z powierzchni, który pozwoliłby określić okres użytkowania gródka. Chronologię określono szeroko na średniowieczne. Obiekt interpretowany jest jako gródek strażniczy. Na południowy-wschód od grodziska, w odległości ok. 600 m, natrafiono na 4 ślady osadnicze pochodzące z późnego średniowiecza oraz nowożytną ceramikę. Być może istniała w tym miejscu osada powiązana z gródkiem.

Wieś Łupstych (pod niemiecką nazwą Abestichen) powstała w 1380 r.²⁵⁴ Nazwa pochodzi prawdopodobnie od

pruskiego imienia Abstike²⁵⁵, być może pierwszego właściciela. Grodzisko występuje także pod nazwą Ubstych.

Bibliografia: Crome 1937: 117; Antoniewicz 1950: 68; Pollakówna 1953: 159; Antoniewicz i Wartołowska (red.) 1964: 37, 54, II H 35; Wakar 1971: 19, 28; Archiwum WUOZ w Olsztynie; Archiwum Działu Archeologii MWiM.

27. Mołtajny, gm. Barciany, pow. kętrzyński, st. 2

Obszar AZP: 13-69

Numer w rejestrze zabytków: C-226 (30.12.1996)

Grodzisko (ryc. 73-74) położone jest we wsi Mołtajny przy północnym brzegu jeziora Arklickiego. Od północy i zachodu otoczone jest terenami podmokłymi. Gródek ma formę ściętego stożka o prostokątnym kształcie i wymiarach podstawy ok. 40 x 50 m, zaś górnej płaszczyzny ok. 20 x 30 m i wysokości ok. 3 m. Obiekt jest zniszczony od strony południowej przez XIX-wieczny budynek gospo-

²⁵² Informacja pochodzi z Karty Ewidencyjnej Zabytku Archeologicznego znajdującej się w Archiwum WUOZ w Olsztynie.

²⁵³ Archiwum WUOZ w Olsztynie, teczką 24-60.

²⁵⁴ Pollakówna 1953: 154.

²⁵⁵ Wakar 1971: 28.

darczy, a od strony zachodniej został zdeformowany przez wybieranie piasku. Brak jest śladów fosy lub wałów. Grodzisko jest całkowicie zarośnięte przez krzaki. W pobliżu grodziska stoi XV-wieczny kościół gotycki.

Grodzisko znane było badaczom niemieckim przynajmniej od początku XX w., wzmiankowane jest w pracach Emila Hollacka²⁵⁶ i Hansa Cromego²⁵⁷. Obiekt uwzględnia także *Mapa grodzisk w Polsce*²⁵⁸. Prawdopodobnie był badany powierzchniowo i sondażowo, brak jest informacji, kiedy i przez kogo takie badania były prowadzone.²⁵⁹

Na grodzisku nie prowadzono badań wykopaliskowych. Badania sondażowe wykazały brak warstwy kulturowej na stanowisku. W decyzji o wpisie do rejestru zabytków znajduje się informacja o licznie występującej ceramice średniowiecznej.

W źródłach historycznych istnieje informacja o zamku krzyżackim w Mołtajnach, który w 1384 r. miał wizytować wielki marszałek Konrad von Wallenrod²⁶⁰.

Bibliografia: Hollack 1908: 100; Crome 1937: 105; Antoniewicz i Wartołowska (red.) 1964: 38, 50, II 5; SGKP VI: 23, 641; Archiwum WUOZ w Olsztynie; Archiwum Działu Archeologii MWiM.

28. Mozgowo, gm. Zalewo, pow. iławski, st. 1

Obszar AZP: 24-54 (11)

Numer w rejestrze zabytków: C-139 (18.10.1989)

Grodzisko (ryc. 75-77) znajduje się na krawędzi doliny jeziora Dauby, przy jego południowo-wschodnim brzegu. Obiekt ma obecnie kształt niewielkiego okrągłego kopca o średnicy podstawy ok. 18 m, a plateau ok. 8 m i wysokości dochodzącej do 2 m. Brak jest śladów fosy, również badania geofizyczne metodą magnetyczną nie wykazały jej obecności²⁶¹.

Gródek w Mozgowie był interpretowany jako kurhan²⁶², dopiero badania wykopaliskowe prowadzone w 2012 r. w ramach programu NPRH *Katalog grodzisk Warmii i Mazur. Część I: Pomezania, Pogezania i Warmia* pozwoliły jednoznacznie określić jego charakter jako gródka stożkowatego²⁶³.

Na stanowisku założono dwa wykopy o łącznej powierzchni 34,5 m². Stwierdzono, iż kopiec usypano z tłustej brunatnej gliny, z której zbudowana jest otaczająca go wysoczyzna. Podczas badań odkryto niewielką ilość ceramiki późnośredniowiecznej, liczne fragmenty ceramiki typu przejściowego (XIII w.) oraz zabytki metalowe, m. in. okucia, nóż i gwoździe. Odkryto także skupisko przepalonych ludzkich kości oraz ceramikę z wczesnej

epoki żelaza. Relikty zabudowy gródka są reprezentowane przez pozostałości fundamentów dwóch budowli. Pierwsza była najprawdopodobniej konstrukcji drewnianej opartej na kamiennym fundamencie i uległa spaleni. Druga natomiast była murowana i została rozebrana do fundamentu. Pozostał jedynie fragment kamienny oraz gruz ceglany fragmentów cegieł nie nadających się do ponownego użycia i gruz zaprawy wapiennej. Budynek ten posiadał brukowaną posadzkę. Badania metodą magnetyczną wykazały obecność dalszych fundamentów, a także nagromadzenie prawdopodobnie przedmiotów żelaznych w sąsiedztwie pozostałości wieży. Nie wykazały jednak obecności osady przyrodowej.

Brak jest informacji historycznych na temat właścicieli, rozmiar obiektu sugeruje, że raczej była to strażnica zakonu, a nie prywatna własność rycerska.

Bibliografia: Hoffmann 1987; Wysocki i Klęczar 2013: 340-347; Herbich 2013: 351; Archiwum delegatury WUOZ w Elblągu; Archiwum Działu Archeologii MWiM.

29. Myki, gm. Dywity, pow. olsztyński, st. 1

Obszar AZP: 22-62 (1)

Numer w rejestrze zabytków: C-205 (02.02.1996)

Gródek (ryc. 78-79) położony jest na krawędzi wysoczyzny, przy południowym brzegu zachodniej zatoki jeziora Wadąg, na wschód od niewielkiego jaru. Grodzisko leży w bezpośrednim sąsiedztwie dworu w Słupach, na terenie pozostałości parku dworskiego. Obiekt ma kształt stożka o średnicy podstawy ok. 25 m, a plateau ok. 12 m i wysokości ok. 2 m. Gródek jest mocno zniwelowany, brak jest śladów fosy lub wałów.

Grodzisko w Słupach (niem. Stolpen) pojawia się w pracach Hansa Cromego²⁶⁴. Obiekt wzmiankowany jest w pracy Marzeny Pollakówny²⁶⁵, uwzględnia go także *Mapa grodzisk w Polsce*²⁶⁶. Gródek zlokalizowany w 1991 r. przez Jacka Wysockiego podczas wizytacji pobliskiego dworu²⁶⁷.

Na grodzisku nie prowadzono badań wykopaliskowych. Podczas weryfikacji powierzchniowej Wysocki natrafił na nieliczne drobne fragmenty ceramiki późnośredniowiecznej. Obiekt jest prawdopodobnie pozostałością późnośredniowiecznej siedziby rycerskiej. Może o tym świadczyć zarówno położenie obiektu (sąsiedztwo dworu), jak i jego forma oraz materiał ceramiczny. Ponadto nazwa miejscowości Słupy wiązana jest z istnieniem na jej terenie w czasach historycznych wieży rycerskiej²⁶⁸.

Wieś Słupy pojawia się po raz pierwszy w źródłach historycznych w 1374 r., kiedy to nadano 13 włók ziemi Prusowi o imieniu Prejture. Wieś lokowana była prawdopodobnie ok. 1360 r. na prawie chełmińskim²⁶⁹.

²⁵⁶ Hollack 1908: 100.

²⁵⁷ Crome 1937: 105.

²⁵⁸ Antoniewicz i Wartołowska (red.) 1964: 38, 50, II 5.

²⁵⁹ Informacja o badaniach sondażowych pochodzi z karty zabytku w Archiwum Działu Archeologii MWiM. Brak jest podpisu czy informacji o prowadzącym badania.

²⁶⁰ Hasło „Malteinen” - SGKP VI: 23.

²⁶¹ Herbich 2013: 351.

²⁶² Hoffmann 1987.

²⁶³ Wysocki i Klęczar 2013: 340-347.

²⁶⁴ Crome 1940: 127.

²⁶⁵ Pollakówna 1953: 158.

²⁶⁶ Antoniewicz i Wartołowska (red.) 1964: 43, 54, II H 26.

²⁶⁷ Informacja pochodzi z karty znajdującej się w Archiwum WUOZ w Olsztynie.

²⁶⁸ Kiersnowska 1973: 437-450.

²⁶⁹ Lewicka i Tomkiewicz 1994: 72.



Ryc. 75. Mozgowo, st. 1. Lokalizacja grodziska na mapie w skali 1:25000

Fig. 75. Mozgowo, site 1. Location of the stronghold on a 1:25,000 map



Ryc. 76. Mozgowo, st. 1. Numeryczny model terenu (źródło: geoportal.nid.pl/nid/)

Fig. 76. Mozgowo, site 1. Digital terrain model (source: <https://geoportal.nid.pl/nid/>)



Ryc. 77. Mozgowo, st. 1 – stan wiosną 2016 roku (fot. J. Wysocki)

Fig. 77. Mozgowo, site 1 – the state in the Spring of 2016 (photo by J. Wysocki)

Bibliografia: Crome 1940: 127; Pollakówna 1953: 158; Antoniewicz i Wartołowska (red.) 1964: 43, 54, II H 26; Lewicka i Tomkiewicz 1994: 72; Archiwum WUOZ w Olsztynie; Archiwum Działu Archeologii MWiM.

30. Nadrowo, gm. Olsztynek, pow. olsztyński, st. 1
Obszar AZP: 29-60 (1)
Numer w rejestrze zabytków: C-201 (30.12.1995)

Grodzisko (ryc. 80-82) położone jest na krańcu cypla wchodzącego w podmokłe łąki, ok. 250 m na zachód od

wsi. Obiekt jest mocno zdeformowany, prawdopodobnie w wyniku orki. Grodzisko pierwotnie miało kształt stożka o średnicy ok. 30 m oraz wysokości ok. 5 m. Od grodziska odchodzi grobla idąca w kierunku północno-wschodnim, czytelna w terenie na odcinku ok. 150 m.

Grodzisko znane było Johanowi Guise²⁷⁰, wzmiankowane jest także w pracy Hansa Cromego²⁷¹. W 1969 r. bada-

²⁷⁰ Informacja pochodzi z Karty Ewidencji Stanowiska Archeologicznego znajdującej się w Archiwum WUOZ w Olsztynie, teczka AZP 29-60.

²⁷¹ Crome 1940: 88.



Ryc. 78. Myki, st. 1. Lokalizacja grodziska na mapie w skali 1:25000

Fig. 78. Myki, site 1. Location of the stronghold on a 1:25,000 map



Ryc. 79. Myki, st. 1. Numeryczny model terenu (źródło: geoportal.nid.pl/nid/)

Fig. 79. Myki, site 1. Digital terrain model (source: <https://geoportal.nid.pl/nid/>)



Ryc. 80. Nadrowo, st. 1. Lokalizacja grodziska na mapie w skali 1:25000

Fig. 80. Nadrowo, site 1. Location of the stronghold on a 1:25,000 map



Ryc. 81. Nadrowo, st. 1. Model numeryczny terenu (źródło: geoportal.nid.pl/nid/)

Fig. 81. Nadrowo, site 1. Digital terrain model (source: <https://geoportal.nid.pl/nid/>)



Ryc. 82. Nadrowo, st. 1 - stan wiosną 2016 roku (fot. J. Radkowski)

Fig. 82. Nadrowo, site 1 - the state in the Spring of 2016 (photo by J. Radkowski)

nia powierzchniowe przeprowadził Mieczysław Haftka²⁷², zaś w 1992 r. badania były prowadzone w ramach AZP²⁷³.

Na stanowisku nie prowadzono badań wykopaliskowych, w czasie badań powierzchniowych nie odkryto materiału zabytkowego, Haftka zwrócił uwagę jedynie na dużą ilość kamieni. Grodzisko nie ma określonej chronologii, nie ma również pewności co do jego antropogenicznej genezy. Bez przeprowadzenia badań przynajmniej sondażowych nie da się stwierdzić, czy nie jest to obiekt naturalny.

Wieś Nadrowo znana jest ze źródeł historycznych od 1405 r., jako własność rycerska²⁷⁴, zaś sama nazwa miejscowości pochodzenia pruskiego wzięła się prawdopodobnie od nazwiska zasadzcy²⁷⁵.

Bibliografia: Crome 1940: 88; Haftka 1969; Lietz 1976: 163, 166; Archiwum WUOZ w Olsztynie.

31. Narzym, gm. Hłowo Osada, pow. działdowski, st. 1
Obszar AZP: 36-59 (1)

Numer w rejestrze zabytków: C-269 (24.05.2004)

Grodzisko (ryc. 83-85) znajduje się w południowej części wsi Narzym, w dolinie rzeczki Dwukółki, na jej lewym brzegu. Od strony północno-zachodniej znajduje się krawędź wysoczyzny. Obiekt jest to kolistą wyspa-kępa o średnicy ok. 45 m i wysokości dochodzącej do 2 m. Grodzisko było otoczone stawami od strony północnej i południowej, zaś od strony wysoczyzny znajdowała się fosa. Obecnie wyspa otoczona jest mokradłami, a stawy zredukowały się do fosy otaczającej obiekt. Na grodzisko prowadzi grobla usypana w czasach współczesnych. Grodzisko było regularnie niszczone przez okolicznych mieszkańców wybierających materiał budowlany.

Grodzisko, określane także jako zamczysko, znane jest przynajmniej od lat 20. XX wieku. Wzmiankowane jest przez Emilię Sukertową-Biedrawinę²⁷⁶, a także przez Hansa Cromego²⁷⁷. Uwzględnia je też *Mapa grodzisk w Polsce*²⁷⁸. Weryfikację terenową i wykop sondażowy wykonali w 1969 r. Kola i Matuszewska-Kola²⁷⁹. Ze względu na regularną dewastację przez okolicznych mieszkańców oraz zagrożenie ze strony wylewającej Dwukółki przeprowadzono badania ratownicze w latach 2003-2006 pod kierownictwem Anny Marciniak-Kajzer²⁸⁰.

Obiekt był użytkowany w kilku fazach, z czego pierwsza przypadła na okres późnego średniowiecza (XIV-XV w.). Podczas badań wykopaliskowych udało się ustalić, iż pierwotnie obiekt był mniejszy, ale za to wyższy i miał charakter grodziska stożkowatego.

Podczas badań odkryto materiał ceramiczny datowany na wczesne średniowiecze, ale najprawdopodobniej zalegał on za złożu wtórnym. W warstwach odpowiadających pierwszej fazie użytkowania odkryto ceramikę późnośredniowieczną. Wśród licznych śladów zabudowy nowożytniej udało się zlokalizować fundamenty pierwotnej zabudowy, jaką była najprawdopodobniej okrągła wieża. Fundament stanowiły duże kamienie eratyczne, a konstrukcja wieży prawdopodobnie była kamiennie-ceglana²⁸¹. Marciniak-Kajzer uważa, że wieża nie była jedynym budynkiem znajdującym się na kopcu, ale towarzyszyła jej zabudowa drewniana, której elementy miały zostać wykorzystane przy późniejszym powiększaniu wyspy²⁸². Badania powierzchniowe najbliższej okolicy nie wykazały śladów osadnictwa²⁸³, we wsi znajduje się XIV-wieczny kościół, który powstał prawdopodobnie w tym samym czasie, co pierwsza faza zabudowy.

Grodzisko było siedzibą rycerską przekształconą później w zamek - dwór. Jej pierwszym właścicielem i budowniczym był najprawdopodobniej Menczel (Menczelinus), któremu nadano te ziemie w XIV w. Zachował się dokument potwierdzenia tego nadania z 1371 r.²⁸⁴

Bibliografia: Sukertowa-Biedrawina 1925: 26; Crome 1937: 125; Antoniewicz i Wartołowska (red.) 1964: 38, 55, II H 59; Matuszewska-Kola i Kola 1969; Marciniak-Kajzer 2003, 2004, 2004-2005: 187-204, 2005, 2006, 2006-2007: 275-296, 2007: 261-273, 2011b: 243-250, 2013:34; Archiwum WUOZ w Olsztynie; Archiwum Działu Archeologii MWiM.

32. Notyst Mały, gm. Mrągowo, pow. mrągowski, st. 1
Obszar AZP: 21-70 (1)

Numer w rejestrze zabytków: C-025 (17.11.1949)

Gródek (ryc. 86-87) położony jest na przesmyku pomiędzy jeziorami Ryńskim a Notyst, na krawędzi doliny niewielkiego ciek wodnego łączącego oba jeziora. Stożek został usypany na cyplu pagórka moreny bocznej z glin i piasków polodowcowych. Grodzisko leży na terenie dawnego majątku Notyst Wielki. Obiekt pierwotnie miał formę ściętego stożka o średnicy podstawy ok. 16 m i górnej platformy ok. 6 m oraz wysokości ok. 4 m. Gródek w dużej części został zniszczony na początku XX w., w wyniku wybierania ziemi.

Grodzisko znane było już Józefowi Narońskiemu, który umieścił je na swojej mapie z 1663 r.²⁸⁵ W r. 1926 badania prowadził Hans Heß von Wichdorff²⁸⁶. Obiekt wzmiankowany jest także przez Hansa Cromego²⁸⁷. Po wojnie weryfikowany był przez Jerzego Antoniewicza w 1949 r.²⁸⁸

²⁷² Haftka 1969.

²⁷³ Archiwum WUOZ w Olsztynie, teczka AZP 29-60.

²⁷⁴ Lietz 1976: 166.

²⁷⁵ Lietz 1976: 163.

²⁷⁶ Sukertowa-Biedrawina 1925: 26.

²⁷⁷ Crome 1937: 125, 1940: 88.

²⁷⁸ Antoniewicz i Wartołowska (red.) 1964: 38, 55, II H 59.

²⁷⁹ Kola i Matuszewska-Kola 1969.

²⁸⁰ Anna-Marciniak Kajzer 2003, 2004, 2005, 2006.

²⁸¹ Marciniak-Kajzer 2006-2007: 286-287.

²⁸² Marciniak-Kajzer 2011b: 246.

²⁸³ Matuszewska-Kola i Kola 1969.

²⁸⁴ Marciniak-Kajzer 2004-2005: 188.

²⁸⁵ Antoniewicz 1951a: 13; Klimek 2007: 174.

²⁸⁶ Antoniewicz 1950: 60, 1951a: 13-14; Klimek 2007: 174.

²⁸⁷ Crome 1937: 118, 1939: 319.

²⁸⁸ Antoniewicz 1950: 60.



Ryc. 83. Narzym, st. 1. Lokalizacja grodziska na mapie w skali 1:25000

Fig. 83. Narzym, site 1. Location of the stronghold on a 1:25,000 map



Ryc. 84. Narzym, st. 1. Numeryczny model terenu (źródło: geoportal.nid.pl/nid/)

Fig. 84. Narzym, site 1. Digital terrain model (source: <https://geoportal.nid.pl/nid/>)



Ryc. 85. Narzym st. 1 - stan wiosną 2016 (fot. J. Radkowski)

Fig. 85. Narzym, site 1 - the state in the Spring of 2016 (photo by J. Radkowski)

Gródek uwzględnia również *Mapa grodzisk w Polsce*²⁸⁹. W 1997 r. badania wykopaliskowe na stanowisku przeprowadziła Anna Marciniak-Kajzer²⁹⁰.

Heß von Wichdorff natrafił na pozostałości drewnianej zabudowy gródka, niestety nie był w stanie określić jej formy. Zanotował także dużą ilość ceramiki średniowiecznej wokół obiektu, którą określił jako krzyżacką. Podczas badań prowadzonych przez Marciniak-Kajzer w 1997 r.

przebadano pięć wykopów o łącznej powierzchni 61 m². Trzy z nich umieszczone były na kopcu, dwa kolejne – na zachód od grodziska, w miejscu domniemanej osady przyrodowej. Nie odkryto w nich warstwy kulturowej o charakterze osadniczym, a jedynie warstwy odpowiadające okresowi sypania stożka. Materiał zabytkowy pochodzący z terenu gródka był nieliczny, odnaleziono fragmenty naczyń, polepę, fragmenty szklanych butelek oraz kilka zabytków metalowych. Ich chronologię określono na okres nowożytny. Badania na terenie domniemanego podgrodzia, przyniosły większe efekty, odkryto

²⁸⁹ Antoniewicz i Wartołowska (red.) 1964: 39, 55, II I 12 (jako Notyst Wielki).

²⁹⁰ Marciniak-Kajzer 1997, 2001: 137-161.



Ryc. 86. Notyst Mały, st. 1. Lokalizacja grodziska na mapie w skali 1:25000

Fig. 86. Notyst Mały, site 1. Location of the stronghold on a 1:25,000 map



Ryc. 87. Notyst Mały, st. 1 – stan wiosną 2016 roku (fot. J. Radkowski)

Fig. 87. Notyst Mały, site 1 – the state in the Spring of 2016 (photo by J. Radkowski)

czarno-brunatną warstwę kulturową, a także dużo większą liczbę zabytków, wśród których dominował rozdrobniony materiał ceramiczny, co uniemożliwiło inną analizę niż technologiczną. W oparciu o nią chronologię zbioru określono na okres między połową XVII w. a początkiem w. XIX. W wykopie 4 odkryto pozostałości konstrukcji drewnianej w postaci dwóch pionowych słupów umocnionych kamieniami eratycznymi. Marciniak-Kajzer proponowała nowożytnie datowanie i interpretację obiektu jako kopca widokowego lub kommemoratywnego²⁹¹.

Wieś Notyst Wielki powstała przed 1422 r., ale w źródłach historycznych brak jest dokładnej daty. Najwcześ-

niejsza wzmianka dotycząca wsi pochodzi właśnie z 1422 r. z księgi czynszowej zakonu. Dotyczyła ona karczmy, uposażonej dwoma łanami. W 1444 r. w Notyście Wielkim powstały dwa dobra służebne, ale wcześniejsza obecność karczmy sugeruje, że były to nadania ponowne²⁹². Gródek występuje także pod nazwą Notyst Wielki i Wejdyki.

Bibliografia: Crome 1937: 118; 1939: 319; Antoniewicz 1950: 60; 1951a: 13-14; Antoniewicz i Wartołowska (red.) 1964: 39, 55, II I 12; Marciniak-Kajzer 1997, 2001: 137-161, 2013: 38-40; Sikorski 1997; Klimek 2007: 172-176; Archiwum WUOZ w Olsztynie; Archiwum Działu Archeologii MWiM.

²⁹¹ Taką interpretację skrytykował Robert Klimek w recenzji artykułu poświęconego wykopaliskom w Notyście Małym: Klimek 2007: 174-176.

²⁹² Sikorski 1997: 2.



Ryc. 88. Nowe Grodziczno, st. 29. Lokalizacja grodziska na mapie w skali 1:25000

Fig. 88. Nowe Grodziczno, site 29. Location of the stronghold on a 1:25,000 map



Ryc. 89. Nowe Grodziczno, st. 29. Numeryczny model terenu (źródło: geoportal.nid.pl/nid/)

Fig. 89. Nowe Grodziczno, site 29. Digital terrain model (source: <https://geoportal.nid.pl/nid/>)



Ryc. 90. Nowe Grodziczno, st. 29 – stan wiosną 2016 roku (J. Radkowski)

Fig. 90. Nowe Grodziczno, site 29 – the state in the Spring of 2016 (photo by J. Radkowski)

33. Nowe Grodziczno, gm. Grodziczno, pow. nowomiejski, st. 29

Obszar AZP: 32-54 (77)

Numer w rejestrze zabytków: -

Grodzisko (ryc. 88-90) znajduje się na terenie wysoczyzny, będącej młodoglacjalną moreną falistą, przylegającej do doliny rzeki Wel. Zajmuje teren cypla położone-

go na prawym brzegu rzeki, na północ od niewielkiego jeziorka, ok. 1 km na zachód od wsi Nowe Grodziczno. Obiekt ma kształt stożka zbliżony do czworobocznego, z półokrągłym północnym i zachodnim stokiem, o wymiarach podstawy ok. 60 x 60 m i plateau o wymiary ok. 40 x 40 m. Jest odcięty od wysoczyzny suchą fosą, której głębokość sięga do 7 m. W części wschodniej grodziska

znajduje się zagłębienie średnicy ok. 15 m i głębokości ok. 2,5 m, być może ślad po amatorskich badaniach przedwojennych.

Grodzisko zostało zlokalizowane w 2006 r. podczas akcji weryfikacyjnej prowadzonej przez Muzeum w Brodnicy²⁹³. W tymże roku przeprowadzono także badania sondażowe na stanowisku pod kierunkiem Kazimierza Grążawskiego²⁹⁴.

Na grodzisku wykonano kilka dołkowań o wymiarach 30 x 30 cm oraz dwa wykopy sondażowe o łącznej powierzchni 14 m². Podczas badań weryfikacyjnych i sondażowych odkryto dużą ilość materiału ceramicznego. Wśród materiału pochodzącego z powierzchni i z dołkowań przeważa ceramika późnośredniowieczna (tzw. siwaki), natomiast materiał pochodzący z wykopów sondażowych w większości należy datować na XII-XIII w. Trudno powiedzieć coś więcej na temat zabudowy grodziska. Odkryto jedynie dołek postłupowy, niewielką ilość polepy, a także dwa skupiska kamieni, z których jedno interpretowane jest jako palenisko, ze względu na obecność węgla, w drugim natomiast natrafiono na średniowieczny gwóźdź żelazny. Brak jest informacji na temat poszukiwań prowadzonych w najbliższej okolicy grodziska, więc nie można stwierdzić, czy istniało tutaj jakieś osadnictwo przyrodowe.

Grodzisko było zasiedlone w dwóch fazach. Pierwszą, przypadającą na XII-XIII w., należy łączyć z osadnictwem pruskim. Druga faza to zaadaptowanie pruskiego grodziska na siedzibę rycerską w okresie kolonizacji tych terenów przez zakon krzyżacki. Prawdopodobnie siedzibę tę można łączyć z osobą Bertholda z Grodziczna, który pojawia się po raz pierwszy w źródłach historycznych w 1403 r., zaś w 1423 r. otrzymał nadanie wsi Grodziczno²⁹⁵.

Bibliografia: Grążawski 2006, 2009: 166-168, 2013: 87-89.

34. Orło, gm. Ryn, pow. giżycki, st. 1

Obszar AZP: 20-71

Numer w rejestrze zabytków: C-027 (28.11.1949)

Grodzisko (ryc. 91-93) znajduje się przy północnym brzegu jeziora Orło, na krawędzi jego niecki. Obiekt ma kształt ściętego stożka o czworobocznej podstawie z zaokrąglonymi narożnikami, o wymiarach ok. 25 x 30 m przy podstawie oraz 10 x 12 m na majdanie i wysokości ok. 6 m. Na plateau gródka znajduje się owalne zagłębienie średnicy ok. 2 m i głębokości ok. 1 m.

Grodzisko po raz pierwszy pojawia się na mapie Józefa Narońskiego²⁹⁶. Było wzmiankowane w przedwojennych publikacjach badaczy niemieckich, między innymi Adolfa Boettichera²⁹⁷, Emila Hollacka²⁹⁸ i Hansa Cromego²⁹⁹.

²⁹³ Grążawski 2009: 166.

²⁹⁴ Grążawski 2006.

²⁹⁵ Grążawski 2009: 167-168.

²⁹⁶ Antoniewicz 1953: 421.

²⁹⁷ Boetticher 1896: 83.

²⁹⁸ Hollack 1908: 107.

²⁹⁹ Crome 1937: 118, 1940: 92

Po wojnie gródek weryfikowany był przez Antoniewicza w 1949 r.³⁰⁰ Grodzisko uwzględnia praca Aleksandra Kamińskiego³⁰¹, a także *Mapa grodzisk w Polsce*³⁰². W 1996 r. ponowną weryfikację wykonała Izabela Mirkowska³⁰³. Kolejne weryfikacje miały miejsce w 1999 r. (Piotr Górny i Jacek Wysocki)³⁰⁴ oraz w 2001 r. (Leszek Godzieba)³⁰⁵. Ponadto w 2004 r. przeprowadzono badania powierzchniowe w ramach AZP pod kierunkiem Antoniego Smolińskiego³⁰⁶.

Brak jest informacji na temat prowadzonych badań wykopaliskowych, ale Górny sugeruje, iż zagłębienie na majdanie może być pozostałością wykopu archeologicznego³⁰⁷. Materiały ze stanowiska są bardzo nieliczne i pochodzą jedynie z powierzchni. W 1996 r. Mirkowska odkryła na grodzisku grudki polepy, a u jego podnóżka – rozorane palenisko z okopconymi kamieniami i fragment ceramiki datowanej na XII-XIII w.

Ze względu na słabe rozpoznanie stanowiska jego chronologia jest niepewna. Stanowisko było określane przez badaczy niemieckich i Antoniewicza jako krzyżackie. Bez przeprowadzenia badań wykopaliskowych nie da się również określić charakteru zabudowy, jaka mogła istnieć na kopcu, o czym mogłaby świadczyć obecność polepy. Na wschód od grodziska Antoniewicz odkrył dymarkę datowaną na XIV-XV w.³⁰⁸ i w tym miejscu lokalizował osadę przyrodową (Orło, st. 2)³⁰⁹.

Wieś Orło została założona na 80 włókach na podstawie przywileju lokacyjnego z 1437 r. wystawionego przez wielkiego mistrza Pawła von Rüssdorfa³¹⁰.

Bibliografia: Bötticher 1896: 83; Hollack 1908: 107; Crome 1937: 188, 1940: 92; Antoniewicz 1950: 59, 1951a: 12-13, 1953: 421; Modrzewska 1952: 197; Kamiński 1956: 236; Antoniewicz i Wartołowska (red.) 1964: 39, 55, II I 6; Wakar 1983: 257-258; Archiwum WUOZ, Delegatura w Ełku; Archiwum Działu Archeologii MWiM.

35. Piaseczno, gm. Górowo Iławeckie, pow. bartoszycki, st. 1

Obszar AZP: 14-62 (1)

Numer w rejestrze zabytków: C-200 (29.12.1995)

Grodzisko (ryc. 94-96) zlokalizowane jest przy krawędzi wysoczyzny, na wschód od niewielkiego cieku wodnego zwanego Powierszynką, na ostańcu morenowym. Obiekt ma kształt czworobocznego stożka o wymiarach przy podstawie ok. 75 x 75 m, a na majdanie ok. 45 x 45 m i wysokości ok. 10 m. Grodzisko od strony południo-

³⁰⁰ Antoniewicz 1950: 59-60.

³⁰¹ Kamiński 1956: 236.

³⁰² Antoniewicz i Wartołowska (red.) 1964: 39, 55, II I 6.

³⁰³ Informacja z notatki znajdującej się w Archiwum MWiM w Olsztynie.

³⁰⁴ Notatka służbowa w Archiwum Delegatury WUOZ w Ełku.

³⁰⁵ Godzieba 2001.

³⁰⁶ Archiwum WUOZ, Delegatura w Ełku, teczka AZP 20-71.

³⁰⁷ Informacja pochodzi z notatki służbowej znajdującej się w Archiwum Delegatury WUOZ w Ełku.

³⁰⁸ Modrzewska 1952: 197.

³⁰⁹ Archiwum WUOZ, Delegatura w Ełku, teczka AZP 20-71.

³¹⁰ Wakar 1983: 257.



Ryc. 91. Orło, st. 1. Lokalizacja grodziska na mapie w skali 1:25000

Fig. 91. Orło, site 1. Location of the stronghold on a 1:25,000 map



Ryc. 92. Orło, st. 1. Numeryczny model terenu (źródło: geoportal.nid.pl/nid/)

Fig. 92. Orło, site 1. Digital terrain model (source: <https://geoportal.nid.pl/nid/>)



Ryc. 93. Orło, st. 1 – stan wiosną 2016 roku (fot. J. Radkowski)

Fig. 93. Orło, site 1 – the state in the Spring of 2016 (photo by J. Radkowski)

wo-wschodniej jest zniszczone przez drogę. Na plateau grodziska znajdują się pozostałości kaplicy i cmentarza rodowego byłych właścicieli majątku.

Grodzisko zostało zweryfikowane dopiero w 1994 r. przez Marię Wielgus i Jacka Wysockiego, a w 1995 r. wpisane do rejestru zabytków. W 2006 r. było badane powierzchniowo w ramach AZP przez Zbigniewa Sawickiego³¹¹.

Brak jest informacji na temat prowadzonych badań czy odnalezionych zabytków, chronologia stanowiska została

wstępnie określona na średniowiecze. Na polu leżącym na zachód od grodziska, podczas badań AZP, natrafiono na ceramikę wczesnośredniowieczną i nowożytną, a także na fragmenty żużla (Piaseczno, st. 9).

Piaseczno pojawia się w źródłach historycznych po raz pierwszy w 1288 r. pod pruską nazwą Sixdelauken³¹².

Bibliografia: Pietraszko i Wakar 1987: 317; Sawicki 2006; Archiwum Działu Archeologii MWiM.

³¹¹ Sawicki 2006.

³¹² Pietraszko i Wakar 1987: 317.



Ryc. 94. Piaseczno, st. 1. Lokalizacja grodziska na mapie w skali 1:25000

Fig. 94. Piaseczno, site 1. Location of the stronghold on a 1:25,000 map



Ryc. 95. Piaseczno, st. 1. Numeryczny model terenu (źródło: geoportal.nid.pl/nid/)

Fig. 95. Piaseczno, site 1. Digital terrain model (source: <https://geoportal.nid.pl/nid/>)



Ryc. 96. Piaseczno, st. 1 – stan wiosną 2016 roku (fot. J. Radkowski)

Fig. 96. Piaseczno, site 1 – the state in the Spring of 2016 (photo by J. Radkowski)

36. Poganowo, gm. Kętrzyn, pow. kętrzyński, st. 1

Obszar AZP: 19-70 (7)

Numer w rejestrze zabytków: C-054 (29.11.1968)

Gródek (ryc. 97-98) znajduje się ok. 500-700 m na północny-wschód od Zalesia Kętrzyńskiego. Stanowisko położone jest na wzniesieniu morenowym. Obiekt ma formę stożka w kształcie elipsy, o wymiarach podstawy ok. 70 x 55 m, a majdanu ok. 45 x 30 m oraz wysokości ok. 17 m. Stok północno-zachodni jest bardzo łagodny, wszystkie pozostałe są raczej strome. Grodzisko jest gęsto porośnięte lasem. Na jego szczycie znajduje się pamiątkowy kamień i tablica informacyjna.

Gródek znany był badaczom niemieckim przynajmniej od początku XX w., wzmiankowany był przez Adolfa Boettichera³¹³, Emila Hollacka³¹⁴, jak i Hansa Crome³¹⁵. Obiekt uwzględnia *Mapa grodzisk w Polsce*³¹⁶. Gródek był badany powierzchniowo i sondażowo w latach 1960. przez Józefa Mackiewicza³¹⁷. Później stanowisko było we-

³¹³ Boetticher 1989b: 149.

³¹⁴ Hollack 1908:59.

³¹⁵ Crome 1937:111. 1939: 265.

³¹⁶ Antoniewicz i Wartołowska (red.) 1964: 46, 50, II 40. (jako Zalesie Kętrzyńskie)

³¹⁷ Rysunki i opis znajdują się w Archiwum Działu Archeologii MWiM,teczka Zalesie Kętrzyńskie.



Ryc. 97. Poganowo, st. 1. Lokalizacja grodziska na mapie w skali 1:25000

Fig. 97. Poganowo, site 1. Location of the stronghold on a 1:25,000 map



Ryc. 98. Poganowo, st. 1 – stan wiosną 2016 roku (fot. J. Radkowski)

Fig. 98. Poganowo, site 1 – the state in the Spring of 2016 (photo by J. Radkowski)

ryfikowane w 1968 r. przez Tomasza Kufla oraz w 1989 r. przez Marię Wielgus³¹⁸. W 2003 r. przeprowadzono badania powierzchniowe w ramach AZP³¹⁹.

Podczas badań sondażowych w latach 1960. na grodzisku otwarto dwa wykopy: jeden na koronie wału, drugi w centralnej części obiektu. Mackiewicz stwierdził obecność dużej liczby kamieni, które interpretował jako pozostałości konstrukcji wału. W trakcie badań znaleziono tylko jeden fragment ceramiki. Wielgus, nie stwierdzając warstwy kulturowej, uznała grodzisko za formę naturalną. W odległości ok. 400 m na północ od grodziska zlokalizowana została osada późnośredniowieczna

³¹⁸ Informacje pochodzą z karty stanowiska znajdującej się w Archiwum WUOZ w Olsztynie, teczka Zalesie Kętrzyńskie.

³¹⁹ Rybicka 2003.

(Poganowo, st. 3). Grodzisko występuje także pod nazwą Zalesie Kętrzyńskie.

Bibliografia: Boetticher 1898a: 149; Hollack 1908: 59; Crome 1937: 111, 1939: 265; Antoniewicz i Wartołowska (red.) 1964: 46, 50, I I 40; Archiwum WUOZ w Olsztynie; Archiwum Działu Archeologii MWiM.

37. Równina Dolna, gm. Korsze, pow. kętrzyński, st. 1
Obszar AZP: 15-68 (4)

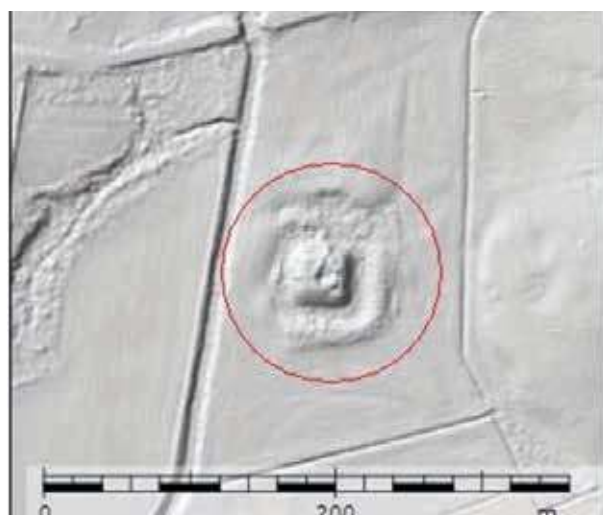
Numer w rejestrze zabytków: C-123 (25.06.1981)

Grodzisko (ryc. 99-101) zlokalizowane jest w dolinie rzeki Guber na jej wschodnim brzegu. Jest to gliniasta wyseпка, na terenach podmokłych, która została podwyższona. Obiekt posiada formę czworobocznego stożka o wymiarach podstawy ok. 40 x 40 m oraz plateau ok.



Ryc. 99. Równina Dolna, st. 1. Lokalizacja grodziska na mapie w skali 1:25000

Fig. 99. Równina Dolna, site 1. Location of the stronghold on a 1:25,000 map



Ryc. 100. Równina Dolna, st. 1. Numeryczny model terenu (źródło: geoportal.nid.pl/nid/)

Fig. 100. Równina Dolna, site 1. Digital terrain model (source: <https://geoportal.nid.pl/nid/>)



Ryc. 101. Równina Dolna, st. 1 – stan wiosną 2016 roku (fot. J. Radkowski)

Fig. 101. Równina Dolna, site 1 – the state in the Spring of 2016 (photo by J. Radkowski)

25 x 25 m i wysokości ok. 5-6 m. Otoczony jest fosą o szerokości 10-12 m i wałem, którego pozostałości widoczne są od strony południowej i wschodniej. Jego wysokość sięga 1,5 m³²⁰. Na majdanie widoczne są ślady po przeprowadzonych badaniach.

Grodzisko po raz pierwszy pojawia się w pracy Kaspara Hennenbergera³²¹. Obecne jest także w kilku publikacjach

przedwojennych badaczy niemieckich, którzy prowadzili amatorskie poszukiwania na jego terenie³²². Po wojnie stanowisko było weryfikowane przez Włodzimierza Ziemińską w 1955 r.³²³, a w 1959 roku przeprowadzono badania wykopaliskowe pod kierownictwem Romualda Odoja³²⁴. Gródek uwzględnia także *Mapa grodzisk w Pol-*

³²⁰ Autorzy Karty Ewidencji Stanowiska Archeologicznego sugerują, że może to być również pozostałość po pierwotnym kształcie gliniastej wysepki: Archiwum WUOZ w Olsztynie, teczka AZP 15-68.

³²¹ Hennenberger 1595: 470.

³²² Beckherrn 1893: 636-651; Hollack 1908: 169; Crome 1937: 111, 1940: 134-135.

³²³ Ziemińska 1955.

³²⁴ Odoj 1959, 1960: 287-291.

sce³²⁵. W 1999 r. grodzisko było badane powierzchniowo w ramach AZP³²⁶.

Podczas badań w 1959 r. przebadano trzy wykopy na majdanie o łącznej powierzchni 75 m². Natrafiono na nawarstwienia odpowiadające dwóm fazom użytkowania. Pierwsza faza rozpoczęła się od podwyższenia wysepki o ok. 3 m przy pomocy nawiezionej gliny. W warstwie tej odkryto kości zwierzęce, prawdopodobnie resztki po posiłkach budowniczych gródka. Warstwa użytkowa zawierała polepę, dużą ilość gwoździ, a także inne zabytki metalowe, m. in. noże i siekiere. Natrafiono również na relikty drewnianej budowli oblepionej gliną o średnicy 7-9 m. Budowla uległa spaleni, o czym świadczy obecność dużej ilości węgla przykrytych warstwą wypalonych polepy. Ponadto w części środkowej grodziska znajdowała się tzw. „studnia”. Miała ona kształt kwadratu o boku długości 216 cm i sięgała ok. 10 m poniżej dzisiejszego poziomu majdanu. Budowano ją prawdopodobnie równolegle z sypaniem stożka. Powstała z dartych belek w konstrukcji zrębowej zabezpieczanych kołkami. Odoj interpretuje ją jako zbiornik na wodę lub magazyn żywności. Podczas jej eksploracji natrafiono na część kołowrotu, kilka „kluk”, drewniane naczynia toczone, wrzeciona, liny z łyka, rzemienie, obuwie skórzane, fragmenty tkaniny oraz inne niezidentyfikowane przedmioty, kilka szkieletów kotów, a także cegły, których obecność może świadczyć o użytkowaniu tego obiektu w obydwu fazach zamieszkiwania grodziska³²⁷. Odkryto także brakteaty krzyżackie, które pozwoliły określić chronologię tej fazy na drugą i trzecią ćwierć XIII w.

Pomiędzy obiema fazami nastąpił krótki okres, kiedy grodzisko nie było zamieszkane, o czym świadczą spływy deszczowe polepy. Druga faza użytkowania rozpoczęła się od niwelacji i ponownego nadsypania gródka o ok. 1-1,5 m. W tym czasie na grodzisku istniała zabudowa, ale jej rozplanowania i charakteru nie da się określić ze względu na zniszczenia starszymi wkopami. Można przypuszczać, iż materiałami wykorzystanymi przy budowie było drewno, glina, kamienie i cegła. Ceramika odkryta w warstwach odpowiadających obydwu fazom użytkowania jest bardzo podobna. W oparciu o to, początek drugiej fazy datuje się na ostatnią ćwierć XIII w. Trwała ona prawdopodobnie do XV w., o czym miałyby świadczyć choćby odkryta ostroga.

Wał otaczający grodzisko zbudowany był wyłącznie z gliny. Być może posiadał on jakąś konstrukcję drewnianą od strony wewnętrznej i palisadę od zewnętrznej z dodatkowymi umocnieniami na narożnikach. Wał był użytkowany na pewno w pierwszej fazie, w przypadku drugiej jest to trudne do stwierdzenia ze względu na brak śladów naprawy a także silne rozmycie wału. Na północ od grodziska, otoczony drugą fosą (obecnie prawie niewidoczną) znajduje się teren podgrodzia o wymia-

rach 40 x 60 m. W wykopie sondażowym stwierdzono obecność zabudowy mieszkalno-gospodarczej związanej z drugą fazą użytkowania gródka. Jej konstrukcja, ze względu na brak cegieł, została określona jako szachulcowa, kryta dachówką typu „mnich-mniszka”.

Grodzisko identyfikowane jest często z krzyżackim zamkiem Wisenburg (prus. Wallewona)³²⁸. Sama wieś pruska była lokowana w XIV w. na obszarze 27 włók z obowiązkiem służby rycerskiej. W jej pobliżu znajdowały się także dwie zagrody na prawie chełmińskim³²⁹.

Bibliografia: Hennenberger 1595: 470; Beckherra 1893: 636-651; Hollack 1908: 169; Crome 1937: 111, 1940: 134-135; Ziemińska 1955; Odoj 1959, 1960: 287-291; Żurowski 1963; Antoniewicz i Wartołowska (red.) 1964: 42, 50, I I 18; Swat 1978: 220; Brzozowski 1999; Klimek 2011: 30-34, 2012: 166-167; Ościłowski 2013: 276-278; Archiwum WUOZ w Olsztynie; Archiwum Działu Archeologii MWiM.

38. Rydwągi, gm. Mrągowo, pow. mrągowski, st. 1

Obszar AZP: 20-69 (9)

Numer w rejestrze zabytków: C-239 (04.08.1997)

Grodzisko (ryc. 102-103) znajduje się ok. 1 km na północny-zachód od wsi, na wzniesieniu morenowym. Obiekt ma kształt stożka na planie elipsy, rozciągniętej po linii północny-wschód – południowy-zachód. Jego wymiary wynoszą przy podstawie ok. 50 x 30 m, zaś na plateau ok. 30 x 15 m, jego wysokość sięga ok. 3 m. Stoki od strony wschodniej wydają się być zdeformowane, być może w wyniku wcześniejszej orki. Uszkodzony jest także stok zachodni, ponadto na grodzisku występuje dużo nor. Na majdanie w części zachodniej widoczne jest zagłębienie, być może jest to ślad po wykopie archeologicznym.

Grodzisko nieznanne w starszej literaturze, odkryte w 1983 r. przez Zdzisława Skroka i Tomasza Wildego podczas badań powierzchniowych w ramach AZP. Zweryfikowane w 1997 r. przez Tomasza Nowakiewicza przy ponownym badaniu tego obszaru³³⁰. W 1998 r. zostały podjęte badania wykopaliskowe w ramach Ekspedycji Galindziej IA UW prowadzone przez Nowakiewicza. Grodzisko wzmiankowane jest również w kilku publikacjach syntetyzujących³³¹.

W trakcie badań wykopaliskowych w 1998 r. stwierdzono obecność śladowej warstwy kulturowej. Może to świadczyć o krótkim okresie użytkowania stanowiska. Z terenu grodziska nie udało się pozyskać żadnego materiału zabytkowego. Chronologia stanowiska została określona na podstawie fragmentów ceramiki znalezionej w najbliższej okolicy grodziska, datowanej na okres wczesnego średniowiecza.

³²⁵ Antoniewicz i Wartołowska (red.) 1964: 42, 50, I I 18.

³²⁶ Brzozowski 1999.

³²⁷ Odoj 1960: 289-290.

³²⁸ Więcej na temat lokalizacji tego zamku patrz Klimek 2012: 159-190; Ościłowski 2013: 271-286.

³²⁹ Swat 1978: 220.

³³⁰ Archiwum WUOZ w Olsztynie, teczka AZP 20-69.

³³¹ Nowakiewicz 2002: 314-315; Wróblewski, Nowakiewicz i Bogucki 2003: 162.

Ryc. 102. Rydwągi, st. 1. Lokalizacja grodziska na mapie w skali 1:25000

Fig. 102. Rydwągi, site 1. Location of the stronghold on a 1:25,000 map



Ryc. 103. Rydwągi, st. 1 – stan wiosną 2016 roku (fot. J. Radkowski)

Fig. 103. Rydwągi, site 1 – the state in the Spring of 2016 (photo by J. Radkowski)

Rydwągi powstały na podstawie przywileju wielkiego mistrza Winryka von Kniprode z 1367 r. Nadał on po 11 włók na prawie chełmińskim Heinzowi Gropemu, Janowi karczmarzowi i Jankowi, bratankowi Gilera z obowiązkiem służby w ciężkiej zbroi³³².

Bibliografia: Leyding 1975: 185-186; Töppen 1998: 116, 118; Nowakiewicz 2002: 314-315; Wróblewski, Nowakiewicz i Bogucki 2003: 162; Archiwum WUOZ w Olsztynie.

³³² Leyding 1975: 185-186; Töppen 1998: 116, 118.

39. Rygarby, gm. Sępól, pow. bartoszycki, st. 1
Obszar AZP: 14-66 (1)

Numer w rejestrze zabytków: C-189 (18.11.1993)

Grodzisko (ryc. 104-106) zlokalizowane jest na płaskiej łące pomiędzy dwoma rzekami, ok. 600 m na zachód od ujścia Pisy do Łyny. Jest to teren morenowy zbudowany z glin zwałowych lub zandrowych. Obiekt ma kształt ściętego stożka o średnicy podstawy ok. 35 m, średnicy majdanu ok. 14 m i wysokości ok. 5 m. Na plateau grodziska znajduje się zagłębienie średnicy ok. 10 m i głębokości ok. 1,5 m, być może ślad po amatorskich badaniach



Ryc. 104. Rygarby, st. 1. Lokalizacja grodziska na mapie w skali 1:25000

Fig. 104. Rygarby, site 1. Location of the stronghold on a 1:25,000 map



Ryc. 105. Rygarby, st. 1. Numeryczny model terenu (źródło: geoportal.nid.pl/nid/)

Fig. 105. Rygarby, site 1. Digital terrain model (source: <https://geoportal.nid.pl/nid/>)



Ryc. 106. Rygarby, st. 1 – stan wiosną 2016 (fot. J. Radkowski)

Fig. 106. Rygarby, site 1 – the state in the Spring of 2016 (photo by J. Radkowski)

przedwojennych lub świadectwo istnienia wału dookólnego. Zagłębienie wykorzystywane jest jako miejsce ogniskowe.

Grodzisko znane przynajmniej od początku XX w. z publikacji inwentarzowych Emila Hollacka³³³ i Hansa Cromego³³⁴. Po wojnie grodzisko było weryfikowane przez ekipę Dariusza Członkowskiego w 1969 r.³³⁵, Mirosława Hoff-

mana w 1984 r.³³⁶, Marię Wielgus w 1984 r., Wiesławę Skrobotą w 1992 r.³³⁷ i Izabelę Mirkowską w 1998 r.³³⁸. W 2001 roku grodzisko było badane powierzchniowo w ramach AZP przez Jerzego Brzozowskiego i Jerzego Siemaszkę³³⁹.

³³³ Hollack 1908: 137-138.

³³⁴ Crome 1937: 102.

³³⁵ Członkowski 1969.

³³⁶ Hoffmann 1984a.

³³⁷ Informacja pochodzi z Karty Ewidencji Stanowiska Archeologicznego znajdującej się w Archiwum WUOZ w Olsztynie.

³³⁸ Mirkowska 1998a.

³³⁹ Brzozowski 2001.

Na stanowisku nie prowadzono badań wykopaliskowych, również z powierzchni nie udało się pozyskać materiału zabytkowego. W profilach wkopów brak jest śladów warstwy kulturowej, występuje gliniasty calec ze żwirem. Hoffmann zaobserwował przy północnej krawędzi majdanu duże kamienie tworzące bruk. Na polach otaczających grodzisko od północy i zachodu odkryto liczne fragmenty ceramiki średniowiecznej. Na ich podstawie określono chronologię gródka. Być może na tym terenie znajdowała się osada przyrodowa.

Bez przeprowadzenia badań przynajmniej sondażowych nie można określić funkcji tego grodziska. Członkowski sugeruje, że może być to kurhan, który mógłby zostać wtórnie wykorzystany w średniowieczu. Wieś Rygarby była lokowana w 1376 r. jako majątek rycerski i wieś szlachecka, brak jest wzmianek na temat jej właścicieli³⁴⁰.

Bibliografia: Hollack 1908: 137-138; Crome 1937: 102; Członkowski 1969; Hoffmann 1984a; Pietraszko i Wakar 1987: 326; Mirkowska 1998a; Brzozowski 2001; Archiwum WUOZ w Olsztynie; Archiwum Działu Archeologii MWiM.

40. Ryn, gm. Ryn, pow. giżycki, st. 2

Obszar AZP: 20-71 (4)

Numer w rejestrze zabytków: C-257 (11.12.2002)

Kopiec (ryc. 107-109) znajduje się we wschodniej części rozległego wzniesienia ok. 1,5 km na zachód od jeziora Otów i ok. 300 m na wschód od podobnego kopca określanego jako Krzyżany, st. 1. Obiekt ma formę ściętego stożka o średnicy podstawy ok. 18 m, obwałowany majdan ma średnicę ok. 8 m, a jego wysokość sięga ok. 3 m. Gródek otoczony jest płytką fosą o szerokości ok. 2-3 m. Na kopcu i wokół niego znajduje się duża liczba kamieni³⁴¹.

Grodzisko nieznanne w starszej literaturze, zlokalizowane zostało przez Jerzego Miałduna na podstawie zdjęć lotniczych i zweryfikowane w terenie w 1998 r. wraz z Izabelą Mirkowską³⁴². W 2000 r. miała miejsce inspekcja pracownika SOZ Elk³⁴³. W 2004 r. kopiec był badany powierzchniowo w ramach AZP przez Antoniego Smolińskiego³⁴⁴.

Na grodzisku nie prowadzono badań wykopaliskowych, nie znaleziono na nim również materiału zabytkowego. Obiekt ma ewidentnie antropogeniczną formę, ale nie ma żadnych przesłanek do określenia jego chronologii. Jedynie przez analogię do podobnych kopców występujących na Mazurach można wstępnie datować go na okres średniowieczny, ale bez przeprowadzenia badań przynajmniej sondażowych, nie można określić z całą pewnością jego chronologii, a tym bardziej funkcji.

³⁴⁰ Pietraszko i Wakar 1987: 326.

³⁴¹ Być może zwożonych z okolicznych pól.

³⁴² Mirkowska 1998b; Mirkowska i Miałdun 2002: 333-346.

³⁴³ Notatka służbowa w Archiwum WUOZ, Delegatura w Elku.

³⁴⁴ Smoliński 2004.

Kopiec leży w zbyt dużej odległości od Rynu by mógł być bezpośrednio związany z historycznym miastem, a w źródłach historycznych nie istnieją żadne wzmianki mogące się odnosić do omówionego obiektu.

Bibliografia: Mirkowska 1998b; Mirkowska i Miałdun 2002: 333-346; Smoliński 2004; Archiwum WUOZ, Delegatura w Elku; Archiwum Działu Archeologii MWiM.

41. Samplawa, gm. Lubawa, pow. iławski, st. 1

Obszar AZP: 30-53

Numer w rejestrze zabytków: C-060 (26.04.1969)

Grodzisko (ryc. 110-112) znajduje się na północno-wschodnim krańcu wsi Samplawa. Jest ono położone przy krawędzi wysoczyzny morenowej, na wschód od rzeczki Sandeli. Obiekt ma kształt ściętego stożka o średnicy podstawy ok. 30 m i czworobocznym majdanie o wymiarach ok. 10 x 14 m, jego wysokość od strony doliny Sandeli wynosi ok. 16 m. Na szczycie gródka znajduje się niewielkie owalne zagłębienie. Od strony wysoczyzny znajduje się płytkie zagłębienie, być może pozostałość fosy.

Grodzisko po raz pierwszy pojawia się w niemieckiej publikacji dotyczącej Lubawy autorstwa Gustava Lieka z 1892 r.³⁴⁵ Wzmianki na jego temat obecne są w pracach Stanisława Kujota³⁴⁶ oraz Władysława Łęgi³⁴⁷. W okresie powojennym gródek weryfikowany był przez Jerzego Antoniewicza w 1949 r. W archiwum Muzeum Warmii i Mazur znajdują się również dwie notatki nieznanymi autorami, dotyczące tego stanowiska³⁴⁸. Grodzisko uwzględnia *Mapa grodzisk w Polsce*³⁴⁹. W 1968 r. badania powierzchniowe i sondażowe przeprowadzili Wiesława Matuszewska-Kola i Andrzej Kola³⁵⁰. Stanowisko weryfikowane było w 1988 r. przez Marię Wielgus i Wiesława Skrobot³⁵¹ oraz ponownie przez Skrobot w ramach badań AZP w 2008 r.³⁵²

W trakcie badań sondażowych na grodzisku założono dwa niewielkie wykopy na jego szczycie. Bezpośrednio pod darnią stwierdzono ok. 30 cm warstwę szarego humusu, pod którą wystąpiła warstwa jasno-szarej próchnicy zawierająca gruz, szczątki organiczne oraz fragmenty siwej ceramiki toczony na kole, zdobionej poziomymi rowkami. Poniżej wystąpiła 15 cm warstwa spalenizny zalegająca na szarawym piasku stanowiącym calec. Ponadto na grodzisku odkryto fragmenty cegieł nowożytnych, będących najprawdopodobniej pozostałościami istniejącej tutaj w XIX w. kaplicy oraz fragmenty polepy. Przebadano również powierzchniowo najbliższe otoczenie gródka, natrafiając, na południowy-zachód od obiektu,

³⁴⁵ Liek 1892: 13-14.

³⁴⁶ Kujot 1913: 176.

³⁴⁷ Łęga 1930: 539.

³⁴⁸ Jedna z datą 1957 lub 1959 (nieczytelne), druga z datą 1965: Archiwum Działu Archeologii MWiM.

³⁴⁹ Antoniewicz i Wartołowska (red.) 1964: 42, 54, II G 70.

³⁵⁰ Matuszewska-Kola i Kola 1968.

³⁵¹ Informacja pochodzi z karty stanowiska znajdującej się w Archiwum WUOZ w Olsztynie.

³⁵² Skrobot 2008.



Ryc. 107. Ryn, st. 2. Lokalizacja grodziska na mapie topograficznej w skali 1:25000

Fig. 107. Ryn, site 2. Location of the stronghold on a 1:25,000 map



Ryc. 108. Ryn, st. 2. Numeryczny model terenu (źródło: geoportal.nid.pl/nid/)

Fig. 108. Ryn, site 2. Digital terrain model (source: <https://geoportal.nid.pl/nid/>)



Ryc. 109. Ryn, st.2 – stan wiosną 2016 roku (fot. J. Radkowski)

Fig. 109. Ryn, site 2 – the state in the Spring of 2016 (photo by J. Radkowski)

na liczną ceramikę, identyczną z tą odkrytą na grodzisku, świadcząca o istnieniu na tym terenie podgrodzia (st. 2). Pod koniec lat 1950. na południe od gródka zebrano ceramikę, polepę, węgle oraz pręcik żelazny. We wsi znajduje się kościół gotycki, z połowy XIV w.³⁵³

Chronologia stanowiska została określona na późne średniowiecze. Bez przeprowadzenia badań wykopaliskowych nie można określić funkcji stanowiska, a także charakteru jego zabudowy. W źródłach historycznych

Samplawa pojawia się po raz pierwszy przy okazji nadania na prawie chełmińskim Fryderykowi ze Skarlina 10 łanów z obowiązkiem służby w zbroi i konno³⁵⁴.

Bibliografia: Liek 1892: 13-14; Kujot 1913: 176; Łęga 1930: 539; Antoniewicz i Wartołowska (red.) 1964: 42, 54, II G 70; Matuszewska-Kola i Kola 1968; Śliwiński 1982: 302-304; Skrobot 2008; Archiwum WUOZ w Olsztynie; Archiwum Działu Archeologii MWiM.

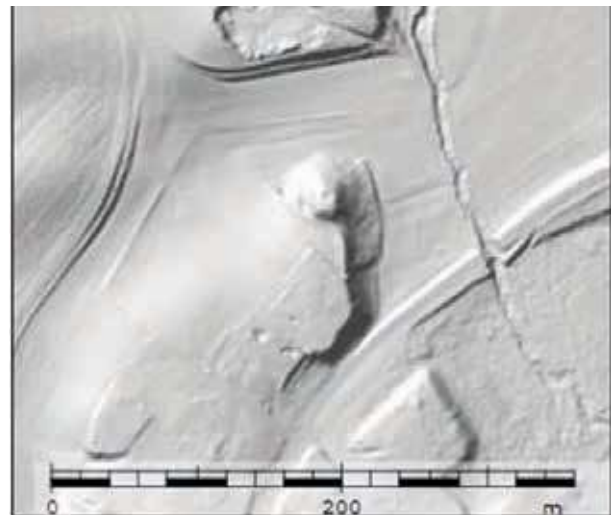
³⁵³ Śliwiński 1982: 304

³⁵⁴ Śliwiński 1982: 302.



Ryc. 110. Samplawa, st. 1. Lokalizacja grodziska na mapie w skali 1:25000

Fig. 110. Samplawa, site 1. Location of the stronghold on a 1:25,000 map



Ryc. 111. Samplawa, st. 1. Numeryczny model terenu (źródło: geoportal.nid.pl/nid/)

Fig. 111. Samplawa, site 1. Digital terrain model (source: <https://geoportal.nid.pl/nid/>)



Ryc. 112. Samplawa, st. 1 – stan wiosną 2016 roku (fot. J. Radkowski)

Fig. 112. Samplawa, site 1 – the state in the Spring of 2016 (photo by J. Radkowski)

42. Sętał, gm. Dywity, pow. olsztyński, st. 1

Obszar AZP: 21-61 (3)

Numer w rejestrze zabytków: C-118 (02.11.1973)

Gródek (ryc. 113-115) znajduje się ok. 1,5 km na północ od wsi Sętał. Położony jest nad doliną strumienia Dratwa i dodatkowo otoczony od zachodu głębokim jarem. Obiekt ma obecnie kształt owalnego stożka rozciągniętego po linii północny-wschód – południowy-zachód o wymiarach ok. 30 x 45 m i wysokości dochodzącej do 7 m. Pierwotnie mógł mieć kształt kolisty o średnicy podstawy ok. 40 m i górnego plateau ok. 26 m. Jest nieobwa-

lowany, brak jest również śladów fosy. Grodzisko zostało rozorane w południowo-zachodniej części, w wyniku czego jego pierwotny kształt został zaburzony. Stanowisko położone jest na wysoczyźnie morenowej, zbudowanej z utworów żwirowych i gliniastych.

Grodzisko znane przynajmniej od początku XX w., wzmiankowane jest w pracach Emila Hollacka³⁵⁵ i Hansa Crome³⁵⁶. W 1938 r. było badane powierzchniowo

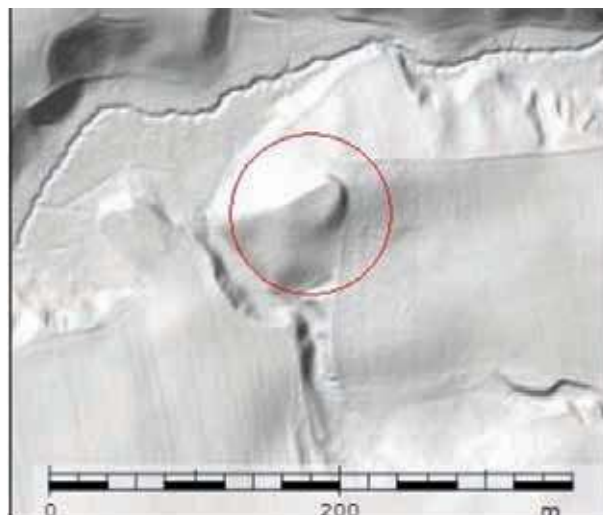
³⁵⁵ Hollack 1908:160.

³⁵⁶ Crome 1937:118.



Ryc. 113. Setał, st. 1. Lokalizacja grodziska na mapie w skali 1:25000

Fig. 113. Setał, site 1. Location of the stronghold on a 1:25,000 map



Ryc. 114. Setał, st. 1. Numeryczny model terenu (źródło: geoportal.nid.pl/nid/)

Fig. 114. Setał, site 1. Digital terrain model (source: <https://geoportal.nid.pl/nid/>)



Ryc. 115. Setał, st. 1 (fot. R. Klimek)

Fig. 115. Setał, site 1 (photo by R. Klimek)

przez Ludwika Fromma³⁵⁷. Gródek został uwzględniony w pracy Marzény Pollakówny³⁵⁸, a także na *Mapie grodzisk w Polsce*³⁵⁹. W roku 1969 r. weryfikację stanowiska przeprowadził Dariusz Członkowski³⁶⁰. W 1973 r. badania weryfikacyjno-sondazowe przeprowadziła Maria Mączkowska³⁶¹. W 2000 r. miały miejsce badania powierzch-

niowe w ramach AZP³⁶² oraz badania wykopaliskowe na terenie osady przygodowej (st. 4)³⁶³.

Podczas badań powierzchniowych w 1938 r. Fromm odkrył ceramikę z okresu wczesno-żelaznego i wczesno-średniowiecznego. Członkowski nie stwierdził obecności warstwy kulturowej. Zwrócił natomiast uwagę na płaszcz kamienny, chroniący stoki ze wszystkich stron poza zdeformowaną częścią. Podczas badań w 1973 r. wykonano dwa sondáže. Mączkowska nie stwierdziła obecności warstwy kulturowej. W sondażu N na głębokości 25 cm natrafiła na bruk kamienny. Okoliczne tereny były zasie-

³⁵⁷ Informacja pochodzi z Karty Ewidencji Stanowiska Archeologicznego znajdującej się w Archiwum WUOZ w Olsztynie.

³⁵⁸ Pollakówna 1953: 158.

³⁵⁹ Antoniewicz i Wartołowska (red.) 1964: 42, 54, II H 22.

³⁶⁰ Członkowski 1969.

³⁶¹ Informacja pochodzi z Karty Ewidencji Stanowiska Archeologicznego znajdującej się w Archiwum WUOZ w Olsztynie.

³⁶² Wysocki i Górny 2000.

³⁶³ Kobylińska 2002: 7-58.

dłona od wczesnej epoki żelaza, w 2000 r. przeprowadzono badania ratownicze na osadzie, które objęły rozległy teren. Wykop 7 został zlokalizowany w bezpośrednim sąsiedztwie gródka, na zachód od niego. Poza obiektami z wcześniejszych okresów, odkryto tutaj także obiekty i ceramikę wczesnośredniowieczną (XI w.), a w warstwie ornej dużą ilość ceramiki późnośredniowiecznej toczonej na kole, w tym również siwej³⁶⁴.

Okres użytkowania grodziska został ustalony na wczesną epokę żelaza oraz wczesne średniowiecze, jednakże bez przeprowadzenia badań wykopaliskowych nie można wykluczyć możliwości funkcjonowania tego stanowiska w późniejszym okresie, jak również tego, że ceramika na grodzisku zalega na złożu wtórnym, powstałym w wyniku sypania stożka w późniejszym okresie. Gródek łączony jest ze znajdującym się w pobliżu grodziskiem w Kąbikmach Górnych (st. 1). Przez Członkowskiego określony został jako strażnica tego większego założenia. Brak jest informacji na temat gródka w Sętału w źródłach historycznych.

Bibliografia: Hollack 1908: 160; Crome 1937: 118; Pollakówna 1953: 158; Antoniewicz i Wartołowska (red.): 42, 54, II H 22; Członkowski 1969; Wysocki i Górny 2000; Kobylńska 2002: 7-58; Archiwum WUOZ w Olsztynie; Archiwum Działu Archeologii MWiM.

43. Słupnica, gm. Biskupiec Pomorski, pow. nowomiejski, st. 1

Obszar AZP: 29-50 (26)

Numer w rejestrze zabytków: C-045 (20.11.1968)

Gródek (ryc. 116-118) położony jest we wsi Słupnica, między rzeczką Młynówką, a skarpią jej doliny. Od północnego-zachodu otoczony jest łąkami. Grodzisko ma kształt czworobocznego stożka o wymiarach: podstawy ok. 45 x 45 m, górnej platformy ok. 20 x 20 m i wysokości w stosunku do dna fosy ok. 7-8 m. Obiekt otoczony jest fosą i wałem o wysokości ok. 1 m. Grodzisko zniszczone jest od strony wschodniej współczesnym wkopem niewiadomego pochodzenia, a także licznymi norami. Stożek zbudowany jest z piasków i glin.

Grodzisko znane było pod nazwą Stęgwald (niem. Stangewalde) i pod tą nazwą występuje u Stanisława Łęgi³⁶⁵. Obiekt uwzględnia *Mapa grodzisk w Polsce*³⁶⁶. W latach 1996-1997 badania weryfikacyjno-sondazowe na stanowisku prowadziła Małgorzata Kurzyńska³⁶⁷.

Podczas badań w 1996 r. założono dwa wykopy na majdanie i jeden u podnóża stożka, o łącznej powierzchni 19 m² oraz wykonano odwierty. W wykopie 1, zlokalizowanym w południowej części majdanu, odkryto pozostałości zabudowy grodziska w postaci gruzu ceglanego, kamieni i zaprawy wapiennej. W wykopie 2 natrafiono na bruk kamienny na głębokości ok. 90 cm. Z wykopów

pozyskano ceramikę stalowoszarą oraz 3 fragmenty metalu. W wykopie u podnóża stożka zarejestrowano krawędź wewnętrzną fosy, nie stwierdzono dodatkowych umocnień. Pozyskano 2 fragmenty ceramiki wypalanej w atmosferze utleniającej datowane na wczesne średniowiecze oraz fragment ceramiki stalowoszarej pozyskany z fosy. Odwierty potwierdziły obecność pozostałości zabudowy w dwóch fazach, poniżej starszej odkryto ponadto warstwę spalenizny. Dodatkowo pozwoliły stwierdzić dwa poziomy w fosie. Wiercenia na wale wykazały istnienie bruku kamiennego. Nie udało się ustalić, czy istniało podgrodzie. Od strony Młynówki odkryto pozostałości drewnianej konstrukcji, być może pozostałości przeprawy.

Badania pozwoliły wydzielić trzy fazy użytkowania stanowiska. Pierwsza faza, wczesnośredniowieczna (XIII-XIV w.), odpowiada okresowi przed usypaniem stożka. Druga faza, późnośredniowieczna (XIV-XV w.), rozpoczęła się od usypania stożka i posadowieniu na nim zabudowy, której pozostałościami jest gruz ceglany i rumowisko kamieni oraz bruk. Grodzisko było użytkowane także w okresie nowożytnym, o czym świadczy obecność drugiego poziomu fosy oraz niewielkie pozostałości drugiej fazy zabudowy we wschodniej części majdanu. By określić dokładny charakter zabudowy istniejącej na grodzisku, potrzebne są badania wykopaliskowe na większą skalę.

Słupnica pojawia się w źródłach pisanych wraz z dokumentem lokacyjnym z 1346 r., w którym biskup pomieżański nadaje sołectwo niejakiemu Mateuszowi. Dokument jest prawdopodobnie odnowieniem starego przywileju lokacyjnego, gdyż we wcześniejszych dokumentach występuje jako świadek Jan Stengel ze Słupnicy (dokument lokacyjny Kisielic z 1331 r.) oraz proboszcz Słupnicy Arnold (dokument określający granice Piotrowic z 1335 r.)³⁶⁸

Bibliografia: Łęga 1930: 557; Antoniewicz i Wartołowska (red.) 1964: 43, 54, II G 46; Koziełło-Poklewski i Martuszeński 1972: 255-256; Kurzyńska 1996, 1997; Archiwum WUOZ w Olsztynie.

44. Stama, gm. Sorkwity, pow. mrągowski, st. 1

Obszar AZP: 22-68 (5)

Numer w rejestrze zabytków: C-023 (29.06.1949)

Grodzisko (ryc. 119-121) położone jest na krawędzi skarpy na wschodnim brzegu Jeziora Gielądzkiego, na północ od dolinki niewielkiego cieku wodnego wpadającego do jeziora. Obiekt oddalony jest od wsi o ok. 100 m. Gródek ma formę ściętego stożka o średnicy podstawy ok. 25 m, ok. 10 m średnicy plateau i wysokości ok. 4 m. Na jego szczycie znajduje się zagłębienie głębokości ok. 1 m i średnicy ok. 4 m. Grodzisko uszkodzone jest kilkoma wkopami na szczycie, a także od strony wschodniej i południowej.

Gródek, znany też jako grodzisko w Młyniku, po raz pierwszy został zaznaczony na mapie Caspara Hennena

³⁶⁴ Kobylńska 2002: 25-34.

³⁶⁵ Łęga 1930: 557.

³⁶⁶ Antoniewicz i Wartołowska (red.) 1964: 43, 54, II G 46.

³⁶⁷ Kurzyńska 1996, 1997.

³⁶⁸ Koziełło-Poklewski i Martuszeński 1972: 255.



Ryc. 116. Słupnica, st. 1. Lokalizacja grodziska na mapie w skali 1:25000

Fig. 116. Słupnica, site 1. Location of the stronghold on a 1:25,000 map



Ryc. 117. Słupnica, st. 1. Numeryczny model terenu (źródło: geoportal.nid.pl/nid/)

Fig. 117. Słupnica, site 1. Digital terrain model (source: <https://geoportal.nid.pl/nid/>)



Ryc. 118. Słupnica, st. 1 – stan wiosną 2016 roku (fot. J. Radkowski)

Fig. 118. Słupnica, site 1 – the state in the Spring of 2016 (photo by J. Radkowski)

bergera z 1576 r.³⁶⁹ Obiekt pojawia się w pracy Maxa Töppe³⁷⁰ i Adolfa Boettichera³⁷¹. Wzmiankowany jest także przez Emila Hollacka³⁷² i Hansa Crome³⁷³. Stanowisko weryfikowane było przez Jerzego Antoniewicza w 1949 r.³⁷⁴ i zostało wpisane do rejestru zabytków.

³⁶⁹ Hennenberger 1576.

³⁷⁰ Töppen 1998: 69.

³⁷¹ Boetticher 1896: 111.

³⁷² Hollack 1908: 87.

³⁷³ Crome 1937:121, 1939: 284.

³⁷⁴ Antoniewicz 1950: 64-65 (jako Laski-Pniewo).

Obiekt uwzględnia także *Mapa grodzisk w Polsce*³⁷⁵. Badania powierzchniowe na grodzisku miały miejsce w 1974 r.³⁷⁶, przeprowadzono je także w 1997 r. pod kierunkiem Anny Marciniak-Kajzer oraz dodatkowo wykonano odwierty³⁷⁷.

Badania powierzchniowe w 1974 r. nie dostarczyły materiału zabytkowego. Podczas badań Marciniak-Kajzer oczyszczono profile wkopów i wykonano odwierty.

³⁷⁵ Antoniewicz i Wartołowska (red.) 1964: 38, 55, II I 15.

³⁷⁶ Lempka, Mazurowski i Waluś 2000: 376.

³⁷⁷ Marciniak-Kajzer 2001: 159-160.



Ryc. 119. Stama, st. 1. Lokalizacja grodziska na mapie w skali 1:25000

Fig. 119. Stama, site 1. Location of the stronghold on a 1:25,000 map



Ryc. 120. Stama, st. 1. Numeryczny model terenu (źródło: geoportal.nid.pl/nid/)

Fig. 120. Stama, site 1. Digital terrain model (source: <https://geoportal.nid.pl/nid/>)



Ryc. 121. Stama, st. 1 – stan wiosną 2016 roku (fot. J. Radkowski)

Fig. 121. Stama, site 1 – the state in the Spring of 2016 (photo by J. Radkowski)

Nie zaobserwowano obecności warstwy osadniczej ani nie znaleziono materiału zabytkowego, jednakże potwierdzono antropomorficzny charakter obiektu. Brak materiału zabytkowego nie pozwala na dokładne określenie chronologii obiektu, Antoniewicz datował go na średniowiecze i interpretował jako strażnicę. Około 700 m na północ od gródka znajduje się osada średniowieczna³⁷⁸.

Młynik był osadą młyńską wymienioną w 1450 r. w księgach wójtostwa w Szestnie³⁷⁹. Stanowisko występuje także pod nazwami Młynik oraz Laski-Pniewo.

Bibliografia: Hennenberger 1576; Boetticher 1896: 111; Hollack 1908: 87; Crome 1937: 121, 1939: 284; Antoniewicz 1950: 64-65, 1951: 19; Antoniewicz i Wartołowska (red.) 1964: 38, 55, II I 15; Leyding 1975: 188; Töppen 1998: 69; Lempka, Mazurowski i Waluś 2000: 276; Marciniak-Kajzer 2001: 159-160; Klimek 2007: 174-175; Archiwum WUOZ w Olsztynie; Archiwum Działu Archeologii MWiM.

³⁷⁸ Archiwum WUOZ w Olsztynie, teczką AZP 22- 68.

³⁷⁹ Leyding 1975: 188.



Ryc. 122. Susz, st. 1. Lokalizacja grodziska na mapie w skali 1:25000

Fig. 122. Susz, site 1. Location of the stronghold on a 1:25,000 map



Ryc. 123. Susz, st. 1. Numeryczny model terenu (źródło: geoportal.nid.pl/nid/)

Fig. 123. Susz, site 1. Digital terrain model (source: <https://geoportal.nid.pl/nid/>)



Ryc. 124. Susz, st. 1 – stan wiosną 2016 roku (fot. J. Wysocki)

Fig. 124. Susz, site 1 – the state in the Spring of 2016 (photo by J. Wysocki)

45. Susz, gm. Susz, pow. iławski, st. 1

Obszar AZP: 25-50 (1)

Numer w rejestrze zabytków: C-052 (29.11.1968)

Grodzisko (ryc. 122-124) znajduje się na zachodnim brzegu jeziora Suskiego, w parku miejskim w Suszu. Zlokalizowane jest na cyplu wysoczyzny zbudowanym z glin, z frakcjami piasku i żwiru. Obiekt ma kształt ściętego stożka na planie kwadrat o wymiarach podstawy ok. 50 x 50 m, a majdanu ok. 30 x 30 m i wysokości ok. 9 m. Otoczony jest fosą szeroką i głęboką na ok. 5 m oraz wałem wysokości ok. 4 m. Od strony południowej znajduje się druga fosa odcinająca południową część cypla. Grodzisko

jest dobrze zachowane, zaś teren otaczający je mocno przekształcony.

Pierwsze informacje na temat grodziska w Suszu pojawiają się w drugiej połowie XIX w., gdy zostaje ono opisane przez Maxa Toeppena³⁸⁰. Wzmiankowane jest także przez XX-wiecznych badaczy przedwojennych Władysława Łęgę³⁸¹ i Hansa Cromego³⁸². Obiekt uwzględnia *Mapa grodzisk w Polsce*³⁸³. Po wojnie grodzisko było badane

³⁸⁰ Toeppen 1876: 548.

³⁸¹ Łęga 1930: 557.

³⁸² Crome 1937: 123.

³⁸³ Antoniewicz i Wartołowska (red.) 1964: 44, 53, II G 39.

powierzchniowo przez Romualda Odoja i w 1968 r. przez Mieczysława Haftkę³⁸⁴. Obiekt był badany także w ramach AZP w 1979 r.³⁸⁵ W 1996 r. miały miejsce pierwsze badania wykopaliskowe prowadzone przez Wojciecha Chudziaka³⁸⁶. Kolejne badania miały miejsce w r. 2013 w ramach projektu NPRH *Katalog grodzisk Warmii i Mazur. Część I: Pomezania, Pogezenia i Warmia*³⁸⁷.

Podczas badań w 1996 r. założono 3 wykopy o łącznej powierzchni 12 m², dwa z nich umiejscowiono na majdanie, zaś trzeci na wale. Ponadto wykonano 5 odwiertów. Natrafiono na warstwy niwelacyjne, a także na warstwę osadniczą, datowaną na późne średniowiecze w oparciu o jeden fragment ceramiki siwej. W wykopach nie natrafiono na więcej materiału zabytkowego, ale na stokach grodziska, w fosie oraz w najbliższym otoczeniu występuje duża ilość identycznej ceramiki datowanej na XIII-XIV w. Poza nią natrafiono także na fragmenty naczyń wczesnośredniowiecznych. W 2001 r. podczas zwiedzania grodziska Seweryn Szczepański zebrał z powierzchni gródka kilkadziesiąt fragmentów ceramiki, głównie XIV-wiecznej, ale także kilka fragmentów datowanych na XII/XIII wiek³⁸⁸.

Podczas badań w 2013 r. założono 5 wykopów o łącznej powierzchni 104,5 m². Trzy z nich umiejscowiono na majdanie, jeden w fosie i jeden na wale. Badania potwierdziły użytkowanie stanowiska zarówno w okresie „pruskim”, jak i „krzyżackim”. Pierwsza faza, datowana na wczesne średniowiecze, łączona jest z osadnictwem pruskim i prawdopodobnie miała miejsce przed powstaniem grodu. Pozostałości po tym okresie to 11 dołów postłupowych i 3 obiekty o nieokreślonej funkcji. Drugą fazę można łączyć z okresem podboju tego terenu przez Krzyżaków w pierwszej połowie XIII w. Odkryto warstwy niwelacyjne, poprzedzające powstanie zabudowy. Z relikwów zabudowy odkryto 3 doły postłupowe, z dwoma zachowanymi palami wkopanymi na głębokość 1,5 m. Ślady te interpretuje się jako pozostałości drewnianej palisady i być może wieży w południowo-wschodniej części majdanu. Trzecia faza datowana jest na początek w. XIV do XVII/XVIII w. Odkryto ślady zabudowy murowanej w postaci pozostałości fundamentów muru, a także wkopów rozbiórkowych. Poza tym natrafiono na pozostałości piwnicy, która posiadała drewniane ściany oblepione gliną. Wśród materiału zabytkowego dominuje ceramika datowana od XII do XVII w. Drugą pod względem liczebności grupę stanowi materiał kostny, zdominowany przez kości zwierząt udomowionych (90%). Pośród zabytków metalowych można wyróżnić 3 groty bełtów, 2 noże, fragment ostrza piły i podkowę do chodzenia po lodzie. Ponadto odkryto 3 monety, jedną datowaną na przełom XVII i XVIII w., pozostałe na pierwszą połowę w. XX. Wśród zabytków

metalowych dominują gwoździe różnego typu. Ponadto należy wymienić nieliczne fragmenty szkła i kafli, a także fragmenty kilku rodzajów dachówek.

Nazwa miejscowości Susz wywodzi się od pruskiego imienia Suse, którego być może można łączyć z pierwszą fazą użytkowania stanowiska. Tereny Pomezanii, na których leży Susz, zostały podbite do 1236 r. W tym czasie prawdopodobnie powstał gród wraz z drewnianą zabudową, mający ugruntować panowanie zakonu na tym terenie. W 1285 r. tereny, na których znajduje się Susz, zostały przekazane kapitule pomezaniej³⁸⁹. Dokładna data lokacji miasta nie jest znana, wystawiony przez kapitułę odnowiony przywilej lokacyjny opatrzony jest datą 1315³⁹⁰. Równoległe do miasta powstawała prawdopodobnie murowana zabudowa na grodzisku, interpretowana jako zamek/dwór urzędników kapitulnych. Kres funkcjonowania tego założenia na przełomie XVII i XVIII w. poświadczony jest odkrytą we wkopie rozbiórkowym XVII-wieczną monetą, a także fragmentami ceramiki i kafli w warstwach niwelacyjnych.

Bibliografia: Toeppen 1876: 548; Łęga 1930: 557; Crome 1937: 123; Antoniewicz i Wartołowska (red.) 1964: 44, 53, II G 39; Bojarski 1996; Achremczyk 2006: 33-48; Sikorski 2006: 49-64; Solecki 2013; Archiwum WUOZ w Olsztynie; Archiwum Działu Archeologii MWiM.

46. Swobodna, gm. Dobre Miasto, pow. olsztyński, st. 3
Obszar AZP: 21-60 (9)

Numer w rejestrze zabytków: C-224 (23.12.1996)

Gródek (ryc. 125-127) położony jest w kotlinie jeziora Limajno, zaraz przy jego zachodnim brzegu. Teren wokół jest pofałdowany, zbudowany ze żwirów z licznymi utworami gliniastymi. Obiekt od północy i zachodu otoczony jest podmokłymi łąkami. Grodzisko ma kształt wydłużonej elipsy o wymiarach przy podstawie ok. 27 x 18 m, z kulminacją w części południowej o wymiarach 13 x 8 m. Jego wysokość w najwyższym miejscu sięga ok. 10 m. Brak jest śladów fosy bądź wałów. Grodzisko jest prawdopodobnie lekko zdeformowane, strome stoki ulegają erozji.

Grodzisko znane jest przynajmniej od początku XX w., pojawia się w pracach Emila Hollacka³⁹¹ i Hansa Cromego³⁹². Obiekt został uwzględniony w pracy Marzeny Pollakówny³⁹³, a także na *Mapie grodzisk w Polsce*³⁹⁴. Stanowisko było badane powierzchniowo przez Dariusza Członkowskiego w 1969 r.³⁹⁵ oraz w ramach AZP w 1989 lub 1990 r. przez Mirosława Hoffmanna³⁹⁶.

Grodzisko nie było badane wykopaliskowo. Członkowski nie stwierdził istnienia warstwy kulturowej, nie udało

³⁸⁴ Informacje pochodzą z Karty Ewidencyjnej Zabytku Archeologicznego znajdującej się w Archiwum WUOZ w Olsztynie, teczka Susz.

³⁸⁵ Archiwum WUOZ w Olsztynie, teczka AZP 25-50.

³⁸⁶ Bojarski 1996.

³⁸⁷ Solecki 2013.

³⁸⁸ Informacja z notatki znajdującej się w Archiwum Działu Archeologii MWiM.

³⁸⁹ Achremczyk 2006: 34.

³⁹⁰ Jerzy Sikorski interpretuje datę jako 20 grudnia 1314 r. porównaj: Sikorski 2006: 50.

³⁹¹ Hollack 1908: 186.

³⁹² Crome 1937: 107.

³⁹³ Pollakówna 1953: 158. (jako Wilki).

³⁹⁴ Antoniewicz i Wartołowska (red.) 1964: 44, 54, II H 12.

³⁹⁵ Członkowski 1969.

³⁹⁶ Hoffmann 1990.



Ryc. 125. Swoboda, st. 3. Lokalizacja grodziska na mapie w skali 1:25000

Fig. 125. Swoboda, site 3. Location of the stronghold on a 1:25,000 map



Ryc. 126. Swoboda, st. 3. Numeryczny model terenu (źródło: geoportal.nid.pl/nid/)

Fig. 126. Swoboda, site 3. Digital terrain model (source: <https://geoportal.nid.pl/nid/>)



Ryc. 127. Swoboda, st. 3 – stan wiosną 2016 roku (fot. J. Radkowski)

Fig. 127. Swoboda, site 3 – the state in the Spring of 2016 (photo by J. Radkowski)

mu się również pozyskać materiału zabytkowego. Hoffmann również nie natrafił na zabytki.

Brak jest źródeł historycznych dotyczących tego obiektu. Grodzisko występuje także pod nazwą dawnego majątku Wilki (niem. Wölken).

Bibliografia: Hollack 1908: 186; Crome 1937: 107; Pollakówna 1953: 158; Antoniewicz i Wartołowska (red.) 1964: 44, 54, II H 12; Archiwum WUOZ w Olsztynie; Archiwum Działu Archeologii MWiM.

47. Śpiglówka, gm. Reszel, pow. kętrzyński, st. 1

Obszar AZP: 20-68 (3)

Numer w rejestrze zabytków: C-243 (15.06.1998)

Gródek (ryc. 128-129) położony jest na skraju doliny rzeki Dajny, po jej wschodniej stronie, pomiędzy jeziorami Kiersztanowskim a Śpigiel. Obiekt ma kształt ściętego stożka o średnicy podstawy ok. 25 m, zaś górnej platformy ok. 6 m i wysokości ok. 4 m. Nasyp zbudowany jest z utworów gliniastych. Na plateau znajduje się wkop, być może

Ryc. 128. Śpigłówka, st. 1. Lokalizacja grodziska na mapie w skali 1:25000

Fig. 128. Śpigłówka, site 1. Location of the stronghold on a 1:25,000 map



Ryc. 129. Śpigłówka, st. 1 – stan wiosną 2016 roku (fot. J. Radkowski)

Fig. 129. Śpigłówka, site 1 – the state in the Spring of 2016 (photo by J. Radkowski)

ślad po działalności detektorystów. Od strony północnej zachowały się prawdopodobnie pozostałości fosy i wału.

Grodzisko znane było przynajmniej od początku XX w., pojawia się w pracach Emila Hollacka³⁹⁷ i Hansa Crome³⁹⁸. Weryfikowane było przez Jerzego Antoniewicza w 1949 r.³⁹⁹, później w 1982 r. w ramach AZP powierzchniowo badali je Zdzisław Skrok i Tomasz Wilde⁴⁰⁰. W 1997 r. miała miejsce kolejna weryfikacja przez Leszka Kajzera i Annę Marciniak-Kajzer, podczas której wykonano wiercenia⁴⁰¹.

³⁹⁷ Hollack 1908: 154.

³⁹⁸ Crome 1937: 111, 1940: 124.

³⁹⁹ Podpis pod planem sytuacyjnym kopca znajdującym się w Archiwum Działu Archeologii MWiM (jako Szpigiel).

⁴⁰⁰ Archiwum WUOZ w Olsztynie, teczka AZP 20-68.

⁴⁰¹ Marciniak-Kajzer 2001: 160.

Na grodzisku nie prowadzono badań wykopaliskowych. Podczas badań powierzchniowych nie znaleziono materiału zabytkowego. Marciniak-Kajzer nie stwierdziła obecności warstwy kulturowej na stanowisku, nie odnalazła również materiału zabytkowego. Robert Klimek przypuszcza, że gródek pochodzi z okresu krzyżackiego i prawdopodobnie pełnił funkcję strażnicy przy brodzie⁴⁰².

W źródłach historycznych po raz pierwszy Śpigiel pojawia się w rejestrze czynszowym z 1422 r.⁴⁰³. Grodzisko występuje także pod nazwą Śpigiel bądź Szpigiel.

Bibliografia: Hollack 1908: 154; Crome 1937: 111, 1940: 124; Töppen 1998: 116; Marciniak-Kajzer 2001: 160; Klimek 2007: 173-175; Archiwum WUOZ w Olsztynie; Archiwum Działu Archeologii MWiM.

⁴⁰² Klimek 2007: 175.

⁴⁰³ Töppen 1998: 116.



Ryc. 130. Wandajny, st. 1. Lokalizacja grodziska na mapie w skali 1:25000

Fig. 130. Wandajny, site 1. Location of the stronghold on a 1:25,000 map



Ryc. 131. Wandajny, st. 1. Numeryczny model terenu (źródło: geoportal.nid.pl/nid/)

Fig. 131. Wandajny, site 1. Digital terrain model (source: <https://geoportal.nid.pl/nid/>)



Ryc. 132. Wandajny, st. 1 - stan wiosną 2016 roku (fot. J. Radkowski)

Fig. 132. Wandajny, site 1 - the state in the Spring of 2016 (photo by J. Radkowski)

48. Wandajny, gm. Korsze, pow. kętrzyński, st. 1

Obszar AZP: 16-67(10)

Numer w rejestrze zabytków: -

Grodzisko (ryc. 130-132) znajduje się na wzgórzu morenowym zwanym „Lisie Jamy”, ok. 700 m na północny-wschód od Wandajny i ok. 300 m na wschód od niewielkiego ciek wodny. Obiekt ma formę stożka o podstawie elipsy, lekko wydłużonej po osi północ-południe, o wymiarach podstawy ok. 34 x 45 m, a plateau 12 x 15 m i wysokości ok. 5 m. Powierzchnia gródka jest

zniszczona w wyniku prac fortyfikacyjnych z okresu II wojny światowej. Prawdopodobnie majdan był obwałowany, brak jest natomiast śladów fosy. Na południe od grodziska, w odległości ok. 15 m, znajduje się drugi kopiec. Ma kształt stożka na planie elipsy rozciągniętej po linii wschód-zachód. Wymiary podstawy wynoszą ok. 45 x 30 m, a górna platforma ma średnicę ok. 10 m. Obydwa kopce są połączone ze sobą groblą⁴⁰⁴. Grodzisko otoczone jest podmokłymi terenami od północy i wschodu.

⁴⁰⁴ Wszystkie opisy tego stanowiska skupiają się na północnym kopcu, czasem tylko wspominając o istnieniu drugiego. Obecność

Gródek znany przynajmniej od początku XX w., pojawia się w zestawieniach stanowisk Hollacka⁴⁰⁵ i Cromego⁴⁰⁶. Grodzisko było weryfikowane po wojnie⁴⁰⁷. Obiekt uwzględnia *Mapa grodzisk w Polsce*⁴⁰⁸. W 2001 r. badania powierzchniowe w ramach AZP przeprowadził Piotr Górny⁴⁰⁹.

Na stanowisku nie prowadzono badań wykopaliskowych. Podczas powojennej weryfikacji nie stwierdzono istnienia warstwy kulturowej, nie udało się również pozyskać materiału zabytkowego. Jedynie w domniemanym wale natrafiono na kamienie. Prawdopodobnie jest to forma naturalna o charakterze drumlinowym, ale bez przeprowadzenia przynajmniej badań sondażowych, a najlepiej geologicznych, nie można tego z pewnością stwierdzić.

Wieś powstała prawdopodobnie pod koniec XIV w., pierwsza wzmianka na jej temat pochodzi z 1418 r. Nazwa miejscowości pochodzi od pruskiego imienia Wande, być może pierwszego właściciela, który otrzymał Wandajny jako dobro rycerskie na prawie pruskim⁴¹⁰.

Bibliografia: Hollack 1908: 176; Crome 1937: 111; Antoniewicz i Wartołowska (red.): 45, 50, II 25; Górny 2001; Korowaj 2007: 170-171; Archiwum WUOZ w Olsztynie; Archiwum Działu Archeologii MWiM.

49. Wilczyny, gm. Srokowo, pow. kętrzyński, st. 1

Obszar AZP: 14-70 (4)

Numer w rejestrze zabytków: C-117

Gródek (ryc. 133-134) zlokalizowany jest na krawędzi wzniesienia morenowego nad doliną rzeki Omet, na jej południowym brzegu, ok. 100 m na zachód od wsi Wilczyny. Obiekt ma kształt ściętego stożka o nieregularnym kształcie zbliżonym do trapezu. Wymiary jego podstawy to ok. 30 x 30 x 25 x 20 m, zaś górnej platformy ok. 20 x 20 x 20 x 15 m, jego wysokość sięga ok. 6 m. Lekko zdeformowany, otoczony jest fosą od strony wschodniej i południowej.

Grodzisko znane przynajmniej od początku XX w., wzmiankowane jest w pracach Emila Hollacka⁴¹¹ i Hansa Cromego⁴¹². Obiekt uwzględnia *Mapa grodzisk w Polsce*⁴¹³. Zweryfikowane w 1971 r. przez Łucję Okulicz⁴¹⁴, było również badane powierzchniowo w r. 1976 przez Wojciecha Piotrowskiego⁴¹⁵. Kolejne badania powierzch-

niowe miały miejsce w 2001 r. w ramach AZP, pod kierownictwem Zbigniewa Kobylińskiego⁴¹⁶.

Na grodzisku nie prowadzono badań wykopaliskowych. Podczas badań powierzchniowych odkryto fragmenty ceramiki datowane na wczesną epokę żelaza oraz wczesne i późne średniowiecze oraz fragmenty polepy. W najbliższym otoczeniu obiektu odkryto ślady osadnictwa z tych okresów. Chronologia stanowiska nie jest łatwa do ustalenia bez przeprowadzenia badań wykopaliskowych. Badacze niemieccy łączyli je z późnym średniowieczem i obecnością Krzyżaków, Okulicz określiła jego chronologię na wczesną epokę żelaza, zaś Piotrowski ogólnie na średniowiecze. Być może ceramika z wczesnej epoki żelaza pojawiła się tutaj na złożu wtórnym przy sypaniu stożka. Obecność dużej ilości polepy mogłaby świadczyć o istnieniu na kopcu konstrukcji szachulcowej.

Wieś Wilczyny została założona w 1403 r. na 54 łanach jako wieś czynszowa⁴¹⁷.

Bibliografia: Hollack 1908: 186; Crome 1937: 111; Antoniewicz i Wartołowska (red.) 1964: 45, 50, II 13; Okulicz 1972: 245; Piotrowski 1976; Swat 1978: 238; Mazurowski, Nowakowski i Waluś 2000: 282; Kucharska 2001b; Archiwum WUOZ w Olsztynie; Archiwum Działu Archeologii MWiM.

50. Wrony, gm. Giżycko, pow. giżycki, st.1/2

Obszar AZP: 18-73 (68/38)

Numer w rejestrze zabytków: C-252 (19.06.1999)

Gródek (ryc. 135-138) położony jest na przesmyku pomiędzy jeziorami Tajty a Kisajno, u nasady Półwyspu Mały Ostrów. Obiekt figurujący w rejestrze zabytków (st. 1/68) ma kształt stożka o średnicy podstawy ok. 35 m, a plateau ok. 10 m i wysokości ok. 6 m w stosunku do poziomu jeziora. Szczyt grodziska jest zdeformowany nieregularnym wkopem, prawdopodobnie pozostałością z czasów II wojny światowej. Stok od strony jeziora został zdeformowany prawdopodobnie w wyniku erozji. Drugi obiekt, wskazywany przez autorów badań AZP (st. 2/38), ma nieregularny kształt, wymiary podstawy to ok. 60 x 50 m, a plateau ok. 45 x 40 m. Jego wysokość dochodzi do ok. 1,5 m od strony zachodniej. Grodzisko jest bardzo mocno zniszczone, dodatkowo wokół majdanu istnieje obecnie zabudowa ośrodka jachtowego.

Grodzisko znane było już Józefowi Narońskiemu, który oznaczył je na mapie w XVII w. Wzmiankowane było przez niemieckich badaczy z końca XIX i początku XX w., m. in. Adolfa Boettichera⁴¹⁸, Maxa Toeppena⁴¹⁹, Emila Hollacka⁴²⁰ i Hansa Cromego⁴²¹. Obiekt był weryfikowany w 1949 r. przez Jerzego Antoniewicza⁴²². Grodzisko

łączącej oba kopce grobli świadczyłaby, że tworzą one jeden kompleks.

⁴⁰⁵ Hollack 1908: 176.

⁴⁰⁶ Crome 1937: 111.

⁴⁰⁷ Informacja pochodzi z karty stanowiska znajdującej się w Archiwum Działu Archeologii MWiM; brak jest informacji o autorze i czasie wykonania.

⁴⁰⁸ Antoniewicz i Wartołowska (red.) 1964: 45, 50, II 25.

⁴⁰⁹ Górny 2001.

⁴¹⁰ Korowaj 2007: 170.

⁴¹¹ Hollack 1908:186.

⁴¹² Crome 1937: 111.

⁴¹³ Antoniewicz i Wartołowska (red.) 1964: 45, 50, II 13.

⁴¹⁴ Okulicz 1972:245.

⁴¹⁵ Piotrowski 1976.

⁴¹⁶ Kucharska 2001b.

⁴¹⁷ Swat 1978: 238.

⁴¹⁸ Boetticher 1896: 5, 58.

⁴¹⁹ Töppen 1998: 67.

⁴²⁰ Hollack 1908:52.

⁴²¹ Crome 1937:118, 1939: 288.

⁴²² Karczewski 1997.



Ryc. 133. Wilczyny, st. 1. Lokalizacja grodziska na mapie w skali 1:25000

Fig. 133. Wilczyny, site 1. Location of the stronghold on a 1:25,000 map



Ryc. 134. Wilczyny, st. 1 – stan wiosną 2016 roku (fot. J. Radkowski)

Fig. 134. Wilczyny, site 1 – the state in the Spring of 2016 (photo by J. Radkowski)

uwzględnia praca Aleksandra Kamińskiego⁴²³, a także *Mapa grodzisk w Polsce*⁴²⁴. W r. 1997 została przeprowadzona kolejna weryfikacja terenowa przez Grzegorza Białuńskiego i Jerzego Łapo⁴²⁵, a także badania powierzchniowe w ramach AZP prowadzone przez Macieja Karczewskiego⁴²⁶. Kolejną weryfikację przeprowadził w 2001 r. Leszek Godzieba⁴²⁷.

Badacze niemieccy oraz Antoniewicz za grodzisko uznawali wzgórze zwane Starym Zamkiem, położone bez-

pośrednio na północ od drogi (st. 2/38). Töppen twierdził, że „podczas wyrównywania terenu miano odkryć tu dawne przejścia i różnorodne starożytności”⁴²⁸. Antoniewicz zwrócił uwagę, że jest ono bardzo zniszczone i nie znalazł na nim śladów osadnictwa. Pierwotnie posiadało wał, którego wysokość według kapitana Wulffa miała wynosić 10-15 stóp⁴²⁹. Białuński i Łapo nie znajdując śladów osadnictwa na Starym Zamku, wskazali niewielkie wzniesienie leżące nad samym brzegiem jeziora Kisajno jako bardziej prawdopodobną lokalizację (st. 1/68). W tym miejscu pojawia się pewien problem. Białuński i Łapo wspominają o splantowanym wzgórzu, które odpowiadałoby st. 2/38 i dwóch wzniesieniach, na których mieli by odkryć mate-

⁴²³ Tam podana pozostała literatura przedwojenna: Kamiński 1956: 214, 241, 260.

⁴²⁴ Antoniewicz i Wartołowska (red.) 1964: 40, 50, II H. (jako Piękna Góra).

⁴²⁵ Łapo 1997.

⁴²⁶ Karczewski 1997.

⁴²⁷ Godzieba 2001.

⁴²⁸ Töppen 1998: 67.

⁴²⁹ Kamiński 1956: 214.



Ryc. 135. Wrótno, st. 1/2. Lokalizacja grodziska na mapie w skali 1:25000

Fig. 135. Wrótno, site 1/2. Location of the stronghold on a 1:25,000 map



Ryc. 136. Wrótno, st. 1/2. Numeryczny model terenu (źródło: geoportal.nid.pl/nid/)

Fig. 136. Wrótno, site 1/2. Digital terrain model (source: <https://geoportal.nid.pl/nid/>)



Ryc. 137. Wrótno, st. 1 – stan wiosną 2016 roku (fot. J. Radkowski)

Fig. 137. Wrótno, site 1 – the state in the Spring of 2016 (photo by J. Radkowski)



Ryc. 138. Wrótno, st. 2 – stan wiosną 2016 roku (fot. J. Radkowski)

Fig. 138. Wrótno, site 2 – the state in the Spring of 2016 (photo by J. Radkowski)

riał zabytkowy. Na tym terenie istnieje tylko jedno wzniesienie (st. 1/68), które dodatkowo odpowiada opisowi mniejszego z dwóch opisanych pagórków. Odkryto na nim dużą ilość polepy i kości zwierzęcych, a także fragment zdobionego siwaka. Na drugim wzgórzu odkryto ceramikę późnośredniowieczną i nowożytną, bryłki polepy oraz fragment dachówki. Podczas badań AZP uznano, iż pierwsze wzniesienie jest nowym stanowiskiem i oznaczono je jako osadę z numer stanowiska 2/68⁴³⁰. Nie natrafiliśmy najprawdopodobniej na drugie wzgórze uznano, iż opis odnosi się do pierwotnej lokalizacji grodziska (st. 2/38), tą samą interpretację przyjął później Godzieba. Do tego dochodzą również problemy z nazewnictwem, obydwie stanowiska występują pod nazwą Wrony lub Piękna Góra. Bez przeprowadzenia badań wykopaliskowych nie można rozstrzygnąć, które stanowisko faktycznie jest grodziskiem, a nawet to może nie przynieść rezultatu, ze względu na bardzo zły stan zachowania st. 2/38.

Chronologię obu stanowisk określono na późne średniowiecze i okres nowożytny. Łapo interpretuje to stanowisko jako pierwszą lokalizację „zamku” krzyżackiego w Giżycku z I połowy XIV w.

Bibliografia: Boetticher 1896: 5, 58; Hollack 1908: 94; Crome 1937: 118, 1939: 288; Kamiński 1956: 214, 241, 260; Antoniewicz i Wartołowska (red.) 1964: 40, 50, II 44; Karczewski 1997; Łapo 1997; Töppen 1998: 67; Godzieba 2001; Archiwum WUOZ w Olsztynie; Archiwum Delegatury WUOZ w Ełku; Archiwum Działu Archeologii MWiM.

51. Wyszembork, gm. Mrągowo, pow. mrągowski, st. 1 Obszar AZP: 21-69 (3)

Numer w rejestrze zabytków: C-024 (29.07.1949)

Grodzisko (ryc. 139-140) jest zlokalizowane na przemyku (niegdysiejszej wyspie) na jeziorze Sałęt, blisko jego wschodniego brzegu. Obiekt ma formę ściętego stożka o kształcie zbliżonym do prostokąta, o wymiarach podstawy ok. 32 x 25 m, a plateau ok. 15 x 11 m i wysokości ok. 3 m. Majdan grodziska jest zagłębiony w części centralnej. Brak jest śladów fosy.

Grodzisko było znane XIX-wiecznym badaczom, ale pojawiają się jedynie drobne wzmianki na jego temat⁴³¹. Wyszembork występuje również w późniejszych publikacjach Maxa Toeppena⁴³², Emila Hollacka⁴³³ i Hansa Cromego⁴³⁴. Gródek był weryfikowany przez Jerzego Antoniewicza w 1949 r.⁴³⁵ oraz Mirosława Hoffmanna w 1984 r.⁴³⁶ Obiekt uwzględnia *Mapa grodzisk w Polsce*⁴³⁷. W latach 1985-1987 na stanowisku prowadzono

badania wykopaliskowe pod kierunkiem Andrzeja Nowakowskiego⁴³⁸. Jesienią 1996 r. i wiosną 1997 r. badania powierzchniowe w ramach AZP prowadził Paweł Szymański⁴³⁹.

Antoniewicz podczas weryfikacji stanowiska natrafił u podnóża kopca na fragmenty ceramiki średniowiecznej oraz węgle drzewne, stwierdził także obecność XIX-wiecznego wkopu. Na grodzisku prowadzono prace wykopaliskowe w latach 1985-1987. W trakcie dwóch pierwszych sezonów badań założono 3 wykopy układające się w linii od środka obiektu do jego krawędzi. Nasyp zbudowany jest z żółto-brunatnej gliny, podczas jej eksploracji na koronie nasypu natrafiono na 2-3 cm warstwę spalonego drewna, interpretowaną jako pozostałość konstrukcji przekładkowej. W wykopach odkryto przemieszany materiał ceramiczny z okresu wpływów rzymskich, późnego średniowiecza oraz nowożytny, kilka fragmentów cegieł oraz bryłki polepy. Przemieszczenie materiału wynikało z istnienia wkopu zajmującego większość powierzchni wykopu II. Ze względu na brak potwierdzenia średniowiecznego pochodzenia obiektu, uznano za prawdopodobne, iż jest to kurhan i zmieniono metodę eksploracji. W trzecim sezonie badaniami objęto całą ćwiartkę południowo-zachodnią obiektu. Na koronie wału ponownie natrafiono na skupiska spalonego drewna, prawdopodobnie są to pozostałości drewnianej konstrukcji z elementami pionowymi. W warstwie zalegającej bezpośrednio nad próchnicą pierwotną natrafiono na bierwiono z równoległymi nacięciami po obu jego bokach. Na tym poziomie odkryto również owalną jamę o regularnym kształcie, której wypełnisko stanowiły węgle drzewne, przepalone kamienie oraz ceramika z okresu wpływów rzymskich. Obecność tego obiektu i ceramiki z okresu wpływów rzymskich świadczy o tym, że stożek usypano na terenie osady z tego okresu, której część była już badana w latach 40. i 70. Przeprowadzone badania nie pozwoliły określić chronologii tego stanowiska i pełnionej przez nie funkcji. Odpowiedź mogłaby dać analiza radiowęglowa odkrytego bierwiona lub pozostałości konstrukcji na wale. W dokumentacji znajduje się adnotacja, że takie próbki pobrano, brak jest natomiast wyników analizy, o ile została przeprowadzona.

Najwcześniejsza wzmianka w źródłach historycznych pochodzi z r. 1376, kiedy to wielki mistrz Winrich von Kniprude nadał cztery 10-włótkowe dobra w Wyszemborku⁴⁴⁰.

Bibliografia: Hollack 1908: 176; Crome 1937: 122; 1940: 138; Antoniewicz 1950: 63-64; Antoniewicz i Wartołowska (red.) 1964: 46, 55, II I 10; Hoffmann 1984b; Nowakowski 1985, 1986, 1987; Töppen 1998: 69, 116-117; Archiwum WUOZ w Olsztynie; Archiwum Działu Archeologii MWiM.

⁴³⁰ Później, prawdopodobnie przy wpisie do rejestru zabytków, zamieniono numery obu stanowisk.

⁴³¹ Starsza literatura: patrz karta stanowiska znajdująca się w Archiwum Działu Archeologii MWiM w Olsztynie.

⁴³² Toeppen 1998: 69.

⁴³³ Hollack 1908: 176.

⁴³⁴ Crome 1937: 122, 1940: 138.

⁴³⁵ Antoniewicz 1950: 63-64.

⁴³⁶ Hoffmann 1984b.

⁴³⁷ Antoniewicz i Wartołowska (red.) 1964: 46, 55, II I 10.

⁴³⁸ Nowakowski 1985, 1986, 1987.

⁴³⁹ Szymański 1997.

⁴⁴⁰ Töppen 1998: 116-117.

Ryc. 139. Wyszembork, st. 1. Lokalizacja grodziska na mapie w skali 1:25000

Fig. 139. Wyszembork, site 1. Location of the stronghold on a 1:25,000 map



Ryc. 140. Wyszembork, st. 1 – stan wiosną 2016 roku (fot. J. Radkowski)

Fig. 140. Wyszembork, site 1 – the state in the Spring of 2016 (photo by J. Radkowski)

52. Zimnochy, gm. Godkowo, pow. elbląski, st. 2

Obszar AZP: 19-56 (56)

Numer w rejestrze zabytków: -

Grodzisko (ryc. 141-143) położone jest ok. 1,5 km na południowych wschód od wsi, na cyplu wysoczyzny wcinającym się w jar, którym płynie rzeczka Wąska. Obiekt został prawdopodobnie mocno zniwelowany i ma obecnie postać niewielkiej okrągłej platformy wyniesionej ok. 2 m ponad okoliczny teren. Pierwotnie miało najprawdopodobniej formę ściętego stożka o średnicy podstawy ok. 40 m i plateau ok. 26 m. Obiekt otoczony był fosą i wałem dookołnym, których reliktów są jeszcze zauważalne w terenie.

Grodzisko nie jest znane z wcześniejszej literatury, zostało zlokalizowane podczas badań weryfikacyjnych poprzedzających badania wykopaliskowe w ramach projektu NPRH

Katalog Grodzisk Warmii i Mazur. Część I: Pomezania, Pogezania i Warmia. Badania wykopaliskowe przeprowadzone w ramach tego projektu miały miejsce w 2015 roku⁴⁴¹.

Podczas badań założono na grodzisku dwa wykopy o łącznej powierzchni 44 m². Pierwszy umiejscowiono tak by obejmował wał i strefę przywałową na majdanie, drugi umiejscowiono w taki sposób by obejmował wał oraz fosę. Odkryto warstwy kulturowe zawierające drobne kamienie i węgle drzewne. Natrafiono także na ceramikę datowaną na XIII-XIV w. Na stoku wału natrafiono na kamienną konstrukcję z warstwami polepy, na dnie tej konstrukcji natrafiono na warstwę wapna. Obiekt ten jest interpretowany jako średniowieczny wapiennik. Pod nim natrafiono na fragmenty drewnianej konstrukcji, któ-

⁴⁴¹ Rabiega 2016.



Ryc. 141. Zimnochy, st. 2. Lokalizacja grodziska na mapie w skali 1:25000

Fig. 141. Zimnochy, site 2. Location of the stronghold on a 1:25,000 map



Ryc. 142. Zimnochy, st.2. Numeryczny model terenu (źródło: geoportal.nid.pl/nid/)

Fig. 142. Zimnochy, site 2. Digital terrain model (source: <https://geoportal.nid.pl/nid/>)



Ryc. 143. Zimnochy, st.2 – stan wiosną 2016 roku (fot. J. Wysocki)

Fig. 143. Zimnochy, site 2 – the state in the Spring of 2016 (photo by J. Wysocki)

rym towarzyszyły mocno zniszczone fragmenty ceramiki starożytnej. Na grodzisku odkryto łącznie 23 fragmenty ceramiki i jeden przedmiot żelazny.

Zimnochy były pierwotnie pruską wsią czynszową. Pierwsza wzmianka na ich temat pojawia się w 1378 r., a w 1380 r. komtur elbląski Ulrich Fricke nadał dwa łany ziemi dwóm braciom z Zimnochów⁴⁴².

Bibliografia: Słodownik 2006; Rabiega 2016.

⁴⁴² Słodownik 2006.

53. Zyndaki, gm. Sorkwity, pow. mrągowski, st. 1
Obszar AZP: 21-68 (4)

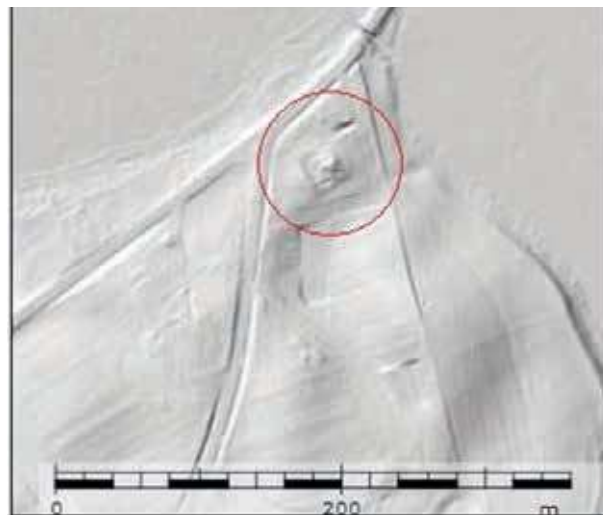
Numer w rejestrze zabytków: C-021 (29.06.1949)

Stanowisko (ryc. 144-146) położone jest na zachód od przesmyku pomiędzy jeziorami Zyndackim a Warpuńskim, u jego nasady. Grodzisko jest prawie całkowicie zniszczone prawdopodobnie przez pierwsze amatorskie badania wykopaliskowe, ale przede wszystkim w wyniku późniejszego wybierania żwiru. Obiekt pierwotnie miał prawdopodobnie kształt stożka o średnicy ok. 28 m.



Ryc. 144. Zyndaki, st. 1. Lokalizacja grodziska na mapie w skali 1:25000

Fig. 144. Zyndaki, site 1. Location of the stronghold on a 1:25,000 map



Ryc. 145. Zyndaki, st. 1. Numeryczny model terenu (źródło: geoportal.nid.pl/nid/)

Fig. 145. Zyndaki, site 1. Digital terrain model (source: <https://geoportal.nid.pl/nid/>)



Ryc. 146. Zyndaki, st. 1 – stan wiosną 2016 roku (fot. J. Radkowski)

Fig. 146. Zyndaki, site 1 – the state in the Spring of 2016 (photo by J. Radkowski)

Obiekt w Zyndakach znany był już w XVIII w., wtedy też przeprowadzono na nim pierwsze amatorskie badania, którymi kierował proboszcz Sorkwit Johann Riedel. Wspomina o tym Max Töppen cytując Christiana Fridricha Reuscha⁴⁴³. Grodzisko obecne jest również w pracach Emila Hollacka⁴⁴⁴ i Hansa Cromego⁴⁴⁵. W 1930 r. badania ratownicze na niszczonej stanowisku przeprowadził Carl

Engel⁴⁴⁶. Po wojnie gródek był weryfikowany przez Antoniewiczza w 1949 r.⁴⁴⁷, w 1974 r. przez Danutę Lempkę, Ryszarda Mazurowskiego i Adama Walusia⁴⁴⁸ oraz przez Izabelę Mirkowską w 1997 r.⁴⁴⁹ Grodzisko uwzględnia także *Mapa grodzisk w Polsce*⁴⁵⁰. W 2007 r. prowadzono badania powierzchniowe w ramach AZP pod kierunkiem

⁴⁴³ Töppen 1998: 69.

⁴⁴⁴ Hollacka 1908: 152-153.

⁴⁴⁵ Crome 1937: 122, 1940: 123-124.

⁴⁴⁶ Engel 1931: 11, za wypisem z literatury znajdującym się w Archiwum Działu Archeologii MWiM.

⁴⁴⁷ Antoniewicz 1950: 64.

⁴⁴⁸ Lempka, Mazurowski i Waluś 2000: 276.

⁴⁴⁹ Notatka w Archiwum Działu Archeologii MWiM, teczką Zyndaki.

⁴⁵⁰ Antoniewicz i Wartołowska (red.) 1964: 47, 55, II I 3.

Izabeli Mellin-Wyczółkowskiej i Mariusza Wyczółkowskiego⁴⁵¹. Ponadto w najbliższym sąsiedztwie grodziska przeprowadzono badania ratownicze w 2008 r. prowadzone przez Justynę Szymonik-Polak⁴⁵².

Podczas pierwszych amatorskich badań nie natrafiono na żadne zabytki. Gdy badania ratownicze prowadził Engel, stanowisko było już bardzo zniszczone, udało mu się odkryć pozostałości drewnianej ściany. Na stanowisku nie znaleziono materiału ceramicznego, który pozwoliłby na określenie jego chronologii. Stanowisko to było interpretowane jako kurhan przez XVIII-wiecznych badaczy niemieckich, później przyjęło się interpretować je jako pozostałości XIV-wiecznego krzyżackiego gródka strażniczego. Przy okazji kontroli poprzedzającej badania ratownicze w 2008 r. natrafiono na 6 fragmentów cerami-

ki. Antoniewicz odnotował dużą ilość ceramiki wczesnośredniowiecznej i średniowiecznej kilkanaście metrów na południe od obiektu. Podczas badań AZP zlokalizowano „osadę” (Zyndaki, st. 7), na terenie której odkryto fragmenty ceramiki późnośredniowiecznej oraz nowożytnej.

W źródłach historycznych Zyndaki pojawiają się przy okazji przywileju lokacyjnego, jaki nadał w 1373 r. wielki mistrz Winrich von Kniprode Prusowi Sanglobe i jego synom⁴⁵³.

Bibliografia: Hollack 1908: 152-153; Engel 1931: 11; Crome 1937:122, 1940: 123-124; Antoniewicz 1950: 64; Antoniewicz i Wartołowska (red.) 1964: 47, 55, II I 3; Töppen 1998:69, 117; Lempka, Mazurowski i Waluś 2000: 276; Szymonik-Polak 2008; Mellin-Wyczółkowska i Wyczółkowski 2010; Archiwum WUOZ w Olsztynie; Archiwum Działu Archeologii MWiM.

⁴⁵¹ Mellin-Wyczółkowska i Wyczółkowski 2010.

⁴⁵² Szymonik-Polak 2008.

⁴⁵³ Töppen 1998: 117.

Wykaz cytowanej literatury:

Achremczyk, S.

2006. Susz – polityczne dzieje miasta, [w:] J. Cygański (red.) *Susz. Z dziejów miasta i okolic*, 33-48, Olsztyn: Muzeum Warmii i Mazur.

2010. *Historia Warmii i Mazur. Tom 1: Pradzieje -1772*. Olsztyn: Towarzystwo Naukowe i Ośrodek Badań Naukowych im. Wojciecha Kętrzyńskiego w Olsztynie.

Antoniewicz, J.

1950. Z zagadnień ochrony zabytków wczesnośredniowiecznego budownictwa obronnego na Warmii i Mazurach. *Sprawozdania P.M.A.* 3: 51-77.

1951. Józef Naroński, polski inwentaryzator grodzisk w XVII wieku w Prusach. *Wiadomości Archeologiczne* 17: 1-22.

1953. Polscy badacze najstarszej przeszłości Mazur i Warmii. *Wiedza i Życie* 20: 420-423.

1955. Niektóre dowody kontaktów słowiańsko-pruskich w okresie wczesnośredniowiecznym w świetle źródeł archeologicznych. *Wiadomości Archeologiczne* 22: 233-277.

Antoniewicz, W. i Z. Wartołowska (red.)

1964. *Mapa grodzisk w Polsce*. Wrocław: IHKM PAN

Beckhenn, C.

1884. Das Ordenshaus Bäslack. *Altpreussische Monatschrift* 21: 637-649.

1893. Die Wiesenburg (Wallewona). *Altpreussische Monatschrift* 30: 636-651.

Białuński, G.

2002. *Kolonizacja "Wielkiej Puszczy" (do 1568 roku) – starostwa piskie, etckie, straduńskie, zelkowskie i węgorzowskie (węgorzewskie)*. Olsztyn: Ośrodek Badań Naukowych im. Wojciecha Kętrzyńskiego w Olsztynie.

2014. O strażnicy krzyżackiej w Jegławkach. *Komunikaty Mazursko-Warmińskie* 281: 285-291.

Blombergowa M.M.

1993. *Badania archeologiczne Polaków na terytorium Imperium Rosyjskiego w XIX i początkach XX wieku*. Łódź: ŁTN.

Bock, C.B.

2003. *Kronika miasta Dąbrówna*, tłum. J. Siedlecka. Dąbrówno: Retman.

Boetticher, A.

1894. *Die Bau – und Kunstdenkmäler in Ermland*. Die Bau – und Kunstdenkmäler der Provinz Ostpreußen 4. Königsberg: Kommissionsverlag von Bernh. Teichert.

1896. *Die Bau – und Kunstdenkmäler in Masuren*. Die Bau – und Kunstdenkmäler der Provinz Ostpreußen 6. Königsberg: Kommissionsverlag von Bernh. Teichert.

1898a. *Die Bau – und Kunstdenkmäler in Natangen*. Die Bau – und Kunstdenkmäler der Provinz Ostpreußen 2. Königsberg: Kommissionsverlag von Bernh. Teichert.

1898b. *Die Bau – und Kunstdenkmäler des Oberlandes*. Die Bau – und Kunstdenkmäler der Provinz Ostpreußen 3. Königsberg: Kommissionsverlag von Bernh. Teichert.

Bojarski, J.

1996. *Sprawozdanie z badań na stanowisku 1 w Suszu, gm. loco w 1996 r.* Maszynopis w Archiwum WUOZ w Olsztynie.

Brzozowski, J.

1999. *Analiza wyników badań AZP na obszarze 15-68*. Maszynopis w Archiwum WUOZ w Olsztynie.

2001. *Analiza wyników badań AZP na obszarze 14-66*. Maszynopis w Archiwum WUOZ w Olsztynie.

2011. *Sprawozdanie z badań powierzchniowych AZP na obszarze 13-63*. Maszynopis w Archiwum WUOZ w Olsztynie.

- Brzóska, A.
2009-2010. Jęcznik (D. Johannisthal), St. I, woj. warmińsko-mazurskie. Badania w roku 2010. *Światowit* 7 (49)/B: 213-214.
2010. *Sprawozdanie z ratowniczych badań archeologicznych w miejscowości Jęcznik, st. I, AZP(28-65/1), gm. Szczytno, woj. warmińsko-mazurskie w sezonie 2010*. Maszynopis w archiwum WUOZ w Olsztynie.
- Bujack, G.
1878. Alterthumsgesellschaft Prussia 1877/78. *Altpreußische Monatsschrift* 15: 160-166.
- Crome, H.
1937. Karte und Verzeichnis der vor- und frühgeschichtlichen Wehrlagen in Ostpreußen. *Altpreußen* 2: 97-125.
1939. Verzeichnis der Vehrnanlagen Ostpreußen. *Prussia* 33: 263-290.
1940. Verzeichnis der Vehrnanlagen Ostpreußen. *Prussia* 34: 83-154.
- Członkowski, D.
1969. *Rygarby, pow. Bartoszyce, P-ta: Wiatrowiec, GRN Sępopol*. Maszynopis w Archiwum WUOZ w Olsztynie.
1969. *Sętal, pow. Olsztyn, p-ta i GRN Dywity, stanowisko 1*. Maszynopis w Archiwum Działu Archeologii MWiM.
1969. *WILKI-Swobodna, pow. Lidzbark Warmiński, p-ta i GRN Glotowo*. Maszynopis w Archiwum WUOZ w Olsztynie.
1969. *Wola koło Bezledów, powiat Bartoszyce, P-ta i GRN Bezledy*. Maszynopis w Archiwum WUOZ w Olsztynie.
- Dąbrowski, J.
1964. Badania w Dąbrównie. *Rocznik Olsztyński* 4: 341-356.
- De Meulemeester, J.
2002. „How to raise a motte”. Some data on construction techniques for earth and timber castles from excavations in Belgium, [w:] A. Abramowicz i J. Maik (red.), *Budownictwo i budowniczość w przeszłości*, 257-263. Łódź: Instytut Archeologii i Etnologii PAN.
- Gackowski, J.
1991. *Sprawozdanie z badań weryfikacyjnych*. Maszynopis w Archiwum WUOZ w Olsztynie.
- Głosek, M., M. Blomberg i W. Świętosławski
1987. Szestno, gm. Mrągowo, woj. olsztyńskie. *Informator Archeologiczny. Badania 1986*: 202.
- Godzieba, L.
2001. *Notatki służbowe z inspekcji i oględzin terenowych stanowisk archeologicznych przeprowadzonych na obszarze działania delegatury w Elku WO SOZ w Olsztynie*. Maszynopis w Archiwum Delegatury WUOZ w Elku.
- Górny, P.
2001. *Sprawozdanie z badań powierzchniowych obszaru AZP 16-67 przeprowadzonych jesienią 2001 r.* Maszynopis w Archiwum WUOZ w Olsztynie.
- Górski, K.
2003. *Zakon krzyżacki a powstanie państwa pruskiego*. Bydgoszcz: Excalibur.
- Grązawski, K.
2006. *Sprawozdanie z weryfikacyjnych badań archeologicznych przeprowadzonych na grodzisko w Nowym Grodzicznie gm. Grodzicznie stan. 1, woj. warmińsko-mazurskie*. Maszynopis w Archiwum WUOZ w Olsztynie.
2009. *Ziemia lubawska na pograniczu słowiańsko-pruskim w VIII-XIII wieku*. Olsztyn: Wydawnictwo Uniwersytetu Warmińsko-Mazurskiego
2013. Z nowszych badań nad grodziskami pogranicza słowiańsko-pruskiego, [w:] Z. Kobyliński (red.), *Grodziska Warmii i Mazur 1. Stan wiedzy i perspektywy badawcze*, 83-108. Archaeologica Hereditas 2. Warszawa – Zielona Góra: Instytutu Archeologii UKSW i Fundacja Archeologiczna.
- Haftka, M.
1968a. *Laseczno Małe, GRN Laseczno, pow. Iława*. Maszynopis w Archiwum Delegatury WUOZ w Elblągu.
- 1968b. *Rotajny, GRN Miłakowo, pow. Morąg*. Maszynopis w Archiwum WUOZ w Olsztynie.
1969. *Nadrowo, pow. Ostróda*. Maszynopis w Archiwum WUOZ w Olsztynie.
- Hennenberger, C.
1575. Grosse Landtafel von Preussen. Königsberg. Internet: http://www.klaus-michael-zimmermann.de/index.html?/ahnen/henneberger_landtafel.htm (wgląd 28.09.2016)
1595. *Erklärung der Preussischen grösseren Landtaffel oder Mappen*. Königsberg.
- Hensel, W.
1950. *Studia i materiały do osadnictwa Wielkopolski wczesnohistorycznej*. Poznań: Polskie Towarzystwo Prehistoryczne.
- Herbich, T.
2013. Wyniki badań metodą magnetyczną wybranych stanowisk archeologicznych w rejonie Iławy w 2012 roku, [w:] Z. Kobyliński (red.), *Grodziska Warmii i Mazur 1. Stan wiedzy i perspektywy badawcze*, 351-359. Archaeologica Hereditas 2. Warszawa – Zielona Góra: Instytutu Archeologii UKSW i Fundacja Archeologiczna.
- Heym, W.
1933. *Mittlealterliche Burgen aus Lehm Und Holz and der Weichsle. Alterpreußische Forschungen* 10: 216-230.
- Hoffmann, M.
1984a. *Rygarby, gm. Sępopol*. Notatka w Archiwum Działu Archeologii MWiM w Olsztynie.
- 1984b. *Wyszembork, gm. Mrągowo*. Notatka w Archiwum Działu Archeologii MWiM w Olsztynie.
1987. *Mozgowo, gm. Zalewo*. Notatka w Archiwum Działu Archeologii MWiM w Olsztynie.
1990. *Sprawozdanie z badań przeprowadzonych na obszarze 21-60 AZP w województwie olsztyńskim*. Maszynopis w Archiwum WUOZ w Olsztynie.
- 1996a. *Sprawozdanie z wyjazdu służbowego*. Maszynopis w Archiwum Działu Archeologii MWiM w Olsztynie, teczka Garbno, gm. Korsze.
- 1996b. *Sprawozdanie z wyjazdu służbowego*. Maszynopis w Archiwum Działu Archeologii MWiM w Olsztynie, teczka Kwiedzina.
2002. *Sprawozdanie z wyjazdu służbowego*. Maszynopis w Archiwum Działu Archeologii MWiM w Olsztynie.

- Hoffmann, M. i A. Mackiewicz
2004. *Średniowieczne założenia obronne powiatu ostródzkiego*. Ostróda: Muzeum w Ostródzie.
- Hollack, E.
1908. *Erläuterungen zur vorgeschichtlichen Übersichtskarte von Ostpreußen*. Glogau – Berlin: Kommissions - Verlag von Carl Flemming, A. G.
- Jakimowicz, R.
1948. Okres wczesnohistoryczny [w:] S. Krukowski, J. Kostrzewski i R. Jakimowicz *Prehistoria ziem polskich*, 361-428. Kraków: Polska Akademia Umiejętności.
- Kajzer, L.
1972. W sprawie genealogii wiejskiej siedziby obronnej w Polsce. *Kwartalnik Historii Kultury Materialnej* 20 (1): 451-465.
1977. W kwestii identyfikacji i datowania „grodzisk stożkowatych”. *Kwartalnik Historii Kultury Materialnej* 25 (3): 389-394.
1987. Czy tzw. gródki stożkowate były fundacjami „średniego rycerstwa”? [w:] A. Kola (red.) *Średniowieczne siedziby rycerskie w ziemi chełmińskiej na tle badań podobnych obiektów na ziemiach polskich*, 105-126. Toruń: Muzeum Regionalne w Brodnicy, Instytut Archeologii i Etnografii UMK w Toruniu.
- Kamińska, J.
1953. *Grody wczesnośredniowieczne ziem Polski środkowej na tle osadnictwa*. Łódź: Łódzkie Towarzystwo Naukowe.
1966. Grodziska stożkowate śladem posiadłości rycerskich XIII-XIV w. *Prace i Materiały Muzeum Archeologicznego i Etnograficznego w Łodzi* 13: 43-78.
1968. Siedlątków, obronna siedziba rycerska z XIV wieku. *Prace i Materiały Muzeum Archeologicznego i Etnograficznego w Łodzi* 15: 15-88.
- Kamiński, A.
1956. Materiały do bibliografii archeologicznej Jaćwieży od I do XIII w. *Materiały Starożytne* 1: 193-273.
- Karczewski, M.
1997. *Analiza badań AZP na obszarze 18-73*. Maszynopis w Archiwum WUOZ w Olsztynie.
- Kaźmierczyk, J.
1966. Z badań nad grodami i miastami wczesnego średniowiecza na Śląsku. *Archeologia Polski* 10 (2): 655-700.
- Kiersnowska, T.
1973. „Słupy” rycerskie w Polsce średniowiecznej. *Kwartalnik Historii Kultury Materialnej* 20(1): 437-450.
- Klimek, R.
2007. [rec.] Anna Marciniak-Kajzer, Z problematyki badań nowożytnych kopców w rejonie Mrągowa w świetle wykopalisk w Notyście Wielkim, *Acta Universitatis Lodzianensis, Folia Archaeologica* 23, 2001, s. 137-161. *Masovia* 10: 172-176.
2011. *Grodziska nad Gubrem. W poszukiwaniu Wallewony*. Kętrzyn: Kengraf.
2012. Gdzie położone były zamki Wiesenburg (Wallewona) i Weistotepila? Przegląd grodzisk nad Gubrem w kontekście próby ustalenia ich lokalizacji. *Pruthenia* 7: 159-190.
- 2013a. Mons Geckenstein, Castrum Medyn – czyli o zaginionej warowni w Medynach. *Komunikaty Mazursko-Warmińskie* 281: 593-596.
2013b. Zaginione zamki i strażnice poświadczone w źródłach z pierwszej połowy XIV wieku z obszaru Warmii biskupiej oraz propozycje ustalenia ich lokalizacji, [w:] Z. Kobyliński (red.), *Grodziska Warmii i Mazur 1. Stan wiedzy i perspektywy badawcze*, 205-224. *Archaeologica Hereditas* 2. Warszawa – Zielona Góra: Instytutu Archeologii UKSW i Fundacja Archeologiczna.
- Kobylińska, U.
2002. Sąsiedzi czy wrogowie? Wyniki ratowniczych badań archeologicznych osad przygodowych w Sętału i Kąbikiejmach w roku 2000. *Warmińsko-Mazurski Biuletyn Konserwatorski* 6: 7-58.
- Kobyliński, Z.
1999. *Opinia w sprawie stanowiska archeologicznego w Cerkiewniku, woj. warmińsko-mazurskie*. Maszynopis w archiwum WUOZ w Olsztynie.
- Kola, A.
1991. *Grody Ziemi Chełmińskiej w późnym średniowieczu*. Toruń: Towarzystwo Naukowe w Toruniu.
- Kołodziejki, S.
1993. Późnośredniowieczne rezydencje obronne możnowładztwa ziem krakowskiej i sandomierskiej. *Prace i Materiały Muzeum Archeologicznego i Etnograficznego w Łodzi. Seria Archeologiczna* 36: 45-55.
- Korowaj, T.
2007. *Dzieje miasta i gminy Korsze: przewodnik historyczny*. Korsze: Tadeusz Korowaj.
- Koziełło-Poklewska, B. i E. Martuszczyk
1972. *Dzieje wsi*, [w:] M. Lossman (red.) *Itawa. Z dziejów miasta i powiatu*, 205-266. Olsztyn: Pojezierze.
- Krause, E.
1976. Z problematyki badań tzw. „grodzisk stożkowatych” w Polsce. *Sprawozdania Archeologiczne* 28: 283-284.
- Kucharska, A.
2001a. *Sprawozdanie z badań terenowo-powierzchniowych obszaru AZP 14-71 w województwie warmińsko-mazurskim*. Maszynopis w Archiwum WUOZ w Olsztynie.
2001b. *Sprawozdanie z badań terenowo-powierzchniowych obszaru AZP 14-70 w województwie warmińsko-mazurskim*. Maszynopis w Archiwum WUOZ w Olsztynie.
- Kuczyński, S. M.
1987. *Wielka wojna z zakonem krzyżackim w latach 1409-1411*. Warszawa: Wydawnictwo MON.
- Kujot, S.
1913. *Dzieje Prus Królewskich. Część 1: do roku 1309*. Toruń: Towarzystwo Naukowe w Toruniu.
- Kurzyńska, M.
1996. *Sprawozdanie z badań weryfikacyjno-sondazowych gródka stożkowatego w Słupnicy, gm. Biskupiec, stan. 1*. Maszynopis w archiwum WUOZ w Olsztynie.

1997. *Sprawozdanie z badań weryfikacyjno-wiertniczych na gródku stożkowatym w Słupnicy, gm. Biskupiec, stan. 1*. Maszynopis w archiwum WUOZ w Olsztynie.
- Lemke, E.
1884. Burgberg von Gross – Gardienen (Ostpreussen). *Zeitschrift für Ethnologie* 16: 442-444.
- Lempka, D., R. F. Mazurowski i A. Waluś
2000. Wyniki archeologicznych badań weryfikacyjno-poszukiwawczych, przeprowadzonych w 1974 roku, w okolicach Mrągowa. *Barbaricum* 6: 275-277.
- Lewicka, D. i R. Tomkiewicz
1994. *Gmina Dywity: teraźniejszość i przeszłość*. Olsztyn: Ośrodek Badań Naukowych im. Wojciecha Kętrzyńskiego.
- Leyding, G.
1962. Opanowanie Galindii przez Zakon Krzyżacki, [w:] J. Jąkoszyński (red.), *Szczytno. Z dziejów miasta i powiatu*, 68-109. Olsztyn: Pojezierze.
1975. Dzieje wsi, [w:] T. Kurzyńska (red.), *Mrągowo. Z dziejów miasta i powiatu*, 137-216. Olsztyn: Pojezierze.
- Lietz, Z.
1976. Z dziejów wsi, [w:] E. Kulig (red.), *Ostróda. Z dziejów miasta i okolic*, 161-204, Olsztyn: Pojezierze.
- Lissauer, A.
1887. *Die prähistorischen Denkmäler der Provinz Westpreussen und der angrenzenden Gebiete*. Leipzig: Commissions-Verlag von Wilhelm Engelmann.
- Łapo, J.
1997. *Notatka z wizytacji grodziska w Pięknej Górze, gm. Giżycko*. Maszynopis w archiwum delegatury WUOZ w Elku teczka Wrony „Piękna Góra”.
- Łęga, W.
1930. *Kultura Pomorza we wczesnym średniowieczu na podstawie wykopalisk*. Toruń: Towarzystwo Naukowe w Toruniu.
- Marciniak-Kajzer, A.
1997. *Opracowanie wyników ratowniczych badań wykopaliskowych przeprowadzonych w sierpniu 1997 roku na stanowisku nr 1 w miejscowości Notyst Mały (majątek Notyst Wielki) w gminie Mrągowo w woj. olsztyńskim*. Maszynopis w Archiwum WUOZ w Olsztynie.
2001. Z problematyki badań nowożytnych kopców w rejonie Mrągowa w świetle wykopalisk w Notyście Wielkim. *Folia Archaeologica* 23: 137-161.
2003. *Opracowanie wyników ratowniczych badań wykopaliskowych przeprowadzonych w lipcu 2003 roku na stanowisku nr 1 w miejscowości Narzym gm. Iłowo-Osada, w woj. warmińsko-mazurskim*. Maszynopis w Archiwum WUOZ w Olsztynie.
2004. *Wyniki ratowniczych badań wykopaliskowych przeprowadzonych w lipcu 2004 roku na stanowisku nr 1 w miejscowości Narzym gm. Iłowo-Osada, w woj. warmińsko-mazurskim*. Maszynopis w Archiwum WUOZ w Olsztynie.
2004-2005. *Wstępne wyniki badań ratowniczych przeprowadzonych w 2003 roku na stanowisku nr 1 w miejscowości Narzym, gm. Iłowo-Osada, w woj. warmińsko-mazurskim*. *Łódzkie Sprawozdania Archeologiczne* 9: 187-204.
2005. *Wstępne opracowanie wyników ratowniczych badań wykopaliskowych przeprowadzonych w lipcu 2005 roku na stanowisku nr 1 w miejscowości Narzym gm. Iłowo-Osada, w woj. warmińsko-mazurskim*. Maszynopis w Archiwum WUOZ w Olsztynie.
2006. *Wstępne opracowanie wyników ratowniczych badań wykopaliskowych przeprowadzonych w czerwcu i lipcu 2006 roku na stanowisku nr 1 w miejscowości Narzym gm. Iłowo-Osada, w woj. warmińsko-mazurskim*. Maszynopis w Archiwum WUOZ w Olsztynie.
2006-2007. *Obraz obronnej siedziby w Narzymiu w woj. warmińsko-mazurskim po badaniach w latach 2004-2005*. *Łódzkie Sprawozdania Archeologiczne* 10: 275-296.
2007. *Warownia w Narzymiu po pierwszych sezonach badań wykopaliskowych*, [w:] K. Grążawski (red.) *Pogranicze polsko-pruskie i krzyżackie (II)*, 261-273. Włocławek – Brodnica: Włocławskie Towarzystwo Naukowe i Muzeum w Brodnicy.
- 2011a. *Średniowieczny dwór rycerski w Polsce. Wizerunek archeologiczny*. Łódź: Wydawnictwo Uniwersytetu Łódzkiego.
2011b. *Za wcześnie i za późno, czyli o badaniach warowni w Narzymiu*. *Czasopismo Techniczne* 108 (23). *Architektura* 7-A: 243-250.
2013. *Czego reliktów skrywają średniowieczne „grodziska”*. Refleksja po badaniach nie tylko w województwie warmińsko-mazurskim, [w:] Z. Kobyliński (red.), *Grodziska Warmii i Mazur 1. Stan wiedzy i perspektywy badawcze*, 31-44. *Archaeologica Hereditas* 2. Warszawa – Zielona Góra: Instytutu Archeologii UKSW i Fundacja Archeologiczna.
- Matuszewska-Kola, W. i A. Kola
1968. *Samplawa, pow. Nowe Miasto Lubawskie*. Maszynopis w Archiwum WUOZ w Olsztynie.
1969. *Narzym, gromada loco, pow. Działdowo*. Maszynopis w Archiwum Działu Archeologii MWiM.
- Mazurowski, R.F., W. Nowakowski i A. Waluś
2000. *Archeologiczne badania poszukiwawczo-weryfikacyjne na obszarze północnej-wschodniej części województwa olsztyńskiego*. *Barbaricum* 6: 279-283
- Mazurowski, R.F. i A. Waluś
2000. *Wyniki archeologicznych badań weryfikacyjno-poszukiwawczych na obszarze gminy Kętrzyn, w 1975 roku*. *Barbaricum* 6: 277-278.
- Mellin-Wyczółkowska, I. i M. Wyczółkowski
2010. *Sprawozdanie z badań AZP obszaru 21-68*. Maszynopis w Archiwum WUOZ w Olsztynie, teczka AZP 21-68.
- Meye, H.
2001. *Dzieje miasta Dąbrówno w Prusach Wschodnich 1326-1926*, tłum. R. Wolski. Warszawa – Dąbrówno: Retman.
- Mirkowska, I.
1998a. *Notatka służbowa z penetracji terenowej stanowisk archeologicznych w miejscowościach: Wirwilty, Ry-*

- garby i posągów kamiennych w Bartoszycach. Maszynopis w Archiwum WUOZ w Olsztynie.
- 1998b. *Notatka z wyjazdu w dniu 15 lipca 1998 roku*. Maszynopis w Archiwum MWiM w Olsztynie.
- Mirkowska, I. i J. Miałdun
2002. Nieznane lub prawie nieznane kopce z okolicy Rynu, [w:] M. Karczevska i M. Karczewski (red.) *Badania archeologiczne w Polsce północno-wschodniej i na zachodniej Białorusi w latach 2000-2001: materiały z konferencji, Białystok 6-7 grudnia 2001*, 311-320. Białystok: Instytut Historii Uniwersytetu w Białymstoku.
- Modrzewska, H.
1952. Działalność Państwowego Muzeum Archeologicznego w rok 1951. *Sprawy P.M.A.* 4 (4): 194-208.
- Nadolski, A.
1991. Stan archeologicznych badań pól Grunwaldu (do roku 1988). *Studia Grunwaldzkie* 1: 24-33.
- Nowakiewicz, T.
1997. *Sprawozdanie z badań wykopaliskowych przeprowadzonych w miejscowości Boże, st. I, pow. Mrągowo, woj. olsztyńskie*. Maszynopis w Archiwum WUOZ w Olsztynie.
1998. *Sprawozdanie z badań wykopaliskowych przeprowadzonych w miejscowości Boże, st. IX, gm. Mrągowo, pow. Mrągowo, woj. warmińsko-mazurskie*. Maszynopis w Archiwum WUOZ w Olsztynie.
2002. Wstępne uwagi na temat pogranicza Galindii i Barcji w wczesnym średniowieczu, [w:] M. Karczevska i M. Karczewski (red.), *Badania archeologiczne w Polsce północno-wschodniej i na zachodniej Białorusi w latach 2000-2001: materiały z konferencji, Białystok 6-7 grudnia 2001*, 311-320. Białystok: Instytut Historii Uniwersytetu w Białymstoku.
2004. Piłkarnia nad Boskim Jeziorem. O „wysokich domach” wczesnośredniowiecznych Prusów (na przykładzie północnej Galindii). *Barbaricum* 7: 275-290.
- Nowakowski, A.
1985. *Badania wykopaliskowe na gródku w Wyszemborku (st. 3) gm. Mrągowo. Merytoryczne sprawozdanie z wykonania zadania w roku 1985*. Maszynopis w Archiwum WUOZ w Olsztynie.
1986. *Sprawozdanie z badań gródka w Wyszemborku (st. 3) gm. Mrągowo, woj. Olsztyn, prowadzonych w 1986 r.* Maszynopis w Archiwum WUOZ w Olsztynie.
1987. *Badania archeologiczne „gródka – kopca strażniczego” w Wyszemborku (st. 3), gm. Mrągowo prowadzone w 1987 r. Informacja wstępna*. Maszynopis w Archiwum WUOZ w Olsztynie.
- Odoj, R.
1959. *Sprawozdanie z prac wykopaliskowych na grodzisku krzyżackim z XIII-XV wieku w miejscowości Równina Dolna, pow. Kętrzyn, w 1959 r.* Maszynopis w Archiwum WUOZ w Olsztynie, teczka Równina Dolna.
1960. *Sprawozdanie z prac wykopaliskowych. Komunikaty Mazursko-Warmińskie* 68: 287-291.
1964. *Badania wykopaliskowe w latach 1958–1960. Rocznik Olsztyński* 4: 209-218.
- Okulicz, Ł.
1972. *Sprawozdanie z weryfikacji stanowisk archeologicznych we wschodniej części Mazur w 1971 r. Komunikaty Mazursko-Warmińskie* 115: 244-247.
- Olczak, J.
1974. *Niektóre aspekty badań grodzisk stożkowatych na Pomorzu Środkowym. Studia Archaeologica Pomeranica* 2: 255-278.
- Ościłowski, J.
2013. *Jeszcze w sprawie lokalizacji Wallewony-Wisenburga. Pruthenia* 8: 271-286.
- Pietraszko, M. i A. Wakar
1987. *Z dziejów wsi, [w:] H. Witkowska (red.), Bartoszyce. Z dziejów miasta i okolic*, 243-353. Olsztyn: Pojezierze.
- Piotrowski, W.
1976. *Wilczyny st. I a*. Maszynopis w Archiwum WUOZ w Olsztynie.
- Pollakówna, M.
1953. *Osadnictwo Warmii w okresie krzyżackim*. Poznań: Instytut Zachodni.
- Popek, M., A. Pydyn, R. Solecki i P. Stencel
2013. *Przeprawa mostowa na wyspę Wielka Żuława na jeziorze Jeziorak, [w:] Z. Kobyliński (red.), Grodziska Warmii i Mazur 1. Stan wiedzy i perspektywy badawcze*, 373-380. *Archaeologica Hereditas* 2. Warszawa – Zielona Góra: Instytut Archeologii UKSW i Fundacja Archeologiczna.
- Pydyn, A.
2013. *Wyniki archeologicznych prospekcji podwodnych w wybranych jeziorach Pojezierza Iławskiego, [w:] Z. Kobyliński (red.), Grodziska Warmii i Mazur 1. Stan wiedzy i perspektywy badawcze*, 361-372. *Archaeologica Hereditas* 2. Warszawa – Zielona Góra: Instytut Archeologii UKSW i Fundacja Archeologiczna.
- Rabiega, K.
2016. *Sprawozdanie z badań wykopaliskowych na stanowisku 2 w Zimnochach (AZP 19/56-56), woj. warmińsko-mazurskie*. Maszynopis w Instytucie Archeologii UKSW.
- Rybicka, M.
2003. *Sprawozdanie z badań powierzchniowych obszaru AZP 19-70 przeprowadzonych wiosną 2003 r.* Maszynopis w Archiwum WUOZ w Olsztynie, teczka AZP 19-70.
- Sawicki, Z.
2006. *Sprawozdanie z badań powierzchniowych przeprowadzonych na obszarze AZP 14-62 w woj. warmińsko-mazurskim*. Maszynopis w Archiwum WUOZ w Olsztynie, teczka AZP 14-62.
- Sikorski, J.
1997. *Notyst Wielki*. Maszynopis w Archiwum WUOZ w Olsztynie.
2006. *Lokalizacja i rozwój przestrzenny miasta, [w:] J. Cygański (red.), Susz. Z dziejów miasta i okolic*, 49-64. Olsztyn: Muzeum Warmii i Mazur.

- Skoczylas, D.
2016. *Opracowanie wyników badań wykopaliskowych st. Durąg gm. Ostróda, nr st. 1/1 obszar AZP 25-57*. Maszynopis w Instytucie Archeologii UKSW.
- Skrobot, W.
2008. *Sprawozdanie z badań AZP na obszarze 30-53 w województwie warmińsko-mazurskim (17-31 października 2008)*. Maszynopis w Archiwum WUOZ w Olsztynie, teczka 30-53.
- Skrok, Z. i J. Kowalski
2003. Wyniki sondażowych badań archeologicznych grodziska w Szestnie-Czarnym Lesie, pow. Mrągowo, [w:] W. Wróblewski (red.), *Studia galindzkie*, t. 1, s. 149-155. Warszawa: Instytutu Archeologii UW.
- Słodownik, L.
2006. *Zimnochy*. Internet: <http://www.glospasleka.pl/index.php?id=news&idd=16439> (wgląd: 28.09.2016)
- Smoliński, A.
2004. *Sprawozdanie z badań powierzchniowych obszaru AZP 20-71 przeprowadzonych w 2004 r.* Maszynopis w Archiwum Delegatury WUOZ w Elku, teczka AZP 20-71.
- Solecki, R.
2013. *Sprawozdanie z badań archeologicznych na grodzisku w Suszu, gm. Susz. Stanowisko 1 (AZP 25-50/1)*. Maszynopis w Instytucie Archeologii UKSW.
2014. *Sprawozdanie z badań archeologicznych na grodzisku w Pawełkach (Rotajnach), gm. Miłakowo. Stanowisko V (AZP 18-57/21)*. Maszynopis w Instytucie Archeologii UKSW.
2015. *Sprawozdanie z badań archeologicznych na grodzisku w Grabinku, gm. Ostróda. Stanowisko I/I (AZP 26/57)*. Maszynopis w Instytucie Archeologii UKSW.
- Suchodolski, S.
1964. Monety odkryte na polach Grunwaldu. *Rocznik Olsztyński* 4: 357-366.
- Sukertowa-Biedrawina, E.
1925. Zabytki przedhistoryczne w pow. działdowskim. *Ziemia* 13: 24-27.
- Swat, T.
1978. Dzieje wsi, [w:] A. Wakar et al. (red.), *Kętrzyn. Z dziejów miasta i okolic*, 161-242. Olsztyn: Pojezierze.
- Szczepański, S.
2011. Osadnictwo pruskie w okolicy Prabut we wczesnym średniowieczu. *Kronikarskim Piórem Prabuty – Riesenburg* 1: 5-15.
- Szeliga, J.
1997. *Rękopiśmienne mapy Prus Książęcych Józefa Narona-wicza-Naronańskiego z drugiej połowy XVII wieku*. Warszawa: Biblioteka Narodowa.
- Szymański, P.
1997. *Opracowanie badań powierzchniowych przeprowadzonych na obszarze AZP 21-69 w 1996 i 1997 r.* Maszynopis w Archiwum WUOZ w Olsztynie, teczka AZP 21-69.
- Szymański, W.
1968. Przyczynek do badań nad problematyką grodzisk stożkowatych (Orszymowo i Wilkanowo w pow. płońskim). *Kwartalnik Historii Kultury Materialnej* 16 (1): 55-72
- Szymonik-Polak, J.
2008. *Sprawozdanie z archeologicznych badań wykopaliskowych przeprowadzonych na działce nr 209/8 w miejscowości Zyndaki, gm. Sorkwity*. Maszynopis w Archiwum WUOZ w Olsztynie.
- Śliwiński, J.
1982. *Lubawa. Z dziejów miasta i okolic*. Olsztyn: Pojezierze.
- Toeppen, M.
1876. Ueber einige Alterthümer aus der Zeit des Heidenthums in der Nachbarschaft von Marienwerder. *Altpreussische Monatsschrift* 13: 129-153, 513-554.
1998. *Historia Mazur. Przyczynek do dziejów krainy i kultury pruskiej*, tłum. M. Szymańska-Jasińska. Olsztyn: Borussia
- Wakar, A.
1971. *Olsztyn 1353-1945*. Olsztyn: Pojezierze.
1983. Dzieje wsi, [w:] I. Berentowicz et al. (red.) *Giżycko. Z dziejów miasta i okolic*, 201-315, Olsztyn: Pojezierze
- Wakar, A. i B. Wilamowski
1968. *Węgorzewo. Z dziejów miasta i powiatu*. Olsztyn: Pojezierze
- Wróblewski, W., T. Nowakiewicz i M. Bogucki
2003. Terra desolata. Wczesnośredniowieczna Galindia w świetle badań mikroregionu Jeziora Salęt, [w:] W. Wróblewski (red.), *Studia Galindzkie* 1: 157-180.
- Wülff
1869. Lamgarben und Cremitten. *Altpreussen Monatsschrift* 6: 369-371.
- Wysocki, J.
2005. *Sprawozdanie z badań powierzchniowych obszaru AZP 16-64 przeprowadzonych jesienią 2005 r.* Maszynopis w Archiwum WUOZ w Olsztynie, teczka AZP 16-64.
- Wysocki, J. i P. Górny
2000. *Sprawozdanie z badań powierzchniowych obszaru AZP 21-61 przeprowadzonych w 2000 r.* Maszynopis w Archiwum WUOZ w Olsztynie, teczka AZP 21-61.
- Wysocki, J. i B. Klęczar
2013. Grodziska typu stożkowatego na wyspie Wielka Żuława w Iławie, w Lasecznie Małym i Mozgowie w powiecie iławskim: wstępne wyniki badań z 2012 roku, [w:] Z. Kobyliński (red.), *Grodziska Warmii i Mazur 1. Stan wiedzy i perspektywy badawcze*, 327-350. Archaeologica Hereditas 2. Warszawa – Zielona Góra: Instytutu Archeologii UKSW i Fundacja Archeologiczna.
- Zajączkowski, S.
1956. [rec.] J. Kamińska, Grody wczesnośredniowieczne ziem Polski środkowej na tle osadnictwa Łódź 1953. *Roczniki Historyczne* 21: 322-323.
- Ziemlińska, W.
1955. *Sprawozdanie z pracy wykonanych w ramach zlecenia Insp. rzecz. zabytków archeologicznych z dnia 8.VIII.1955*. Maszynopis w Archiwum Działu Archeologii MWiM.
- Żurowski, T.
1963. *Rekonstrukcja strażnicy krzyżackiej z okresu wczesnego*. Maszynopis w Archiwum WUOZ w Olsztynie.

Introduction to the question of the motte-type strongholds from the area of the Medieval state of the Teutonic Order, located in the Warmian-Masurian Province

Summary

The motte-type strongholds are a form of Medieval fortified settlements, occurring in almost all of Europe. Structures of this type appeared in the 10th cent. in France, and more specifically in Normandy. From that area they spread across the continent during the eleventh cent. and reached the territory of the Holy Roman Empire, and also - thanks to William the Conqueror - of the British Isles, as shown in the Bayeux Tapestry.

In the former East Prussia research of the enclosed settlements began in the late nineteenth century, but then nobody paid much attention to objects of motte-type, treating them just like other defense sites.

Research of the motte-type strongholds in the Polish soil started in the early 1960s. In the early 1970s research of the Medieval knights' seats has been intensified throughout almost the entire country, including to a very limited extent also the former Prussian territory.

This paper deals with the motte-type strongholds located in the area of today's Warmian-Masurian Province. These areas during the period of functioning of these fortifications belonged to the state of the Teutonic Order, and partly were subject to the power of the bishop and the Chapter of Warmia.

The term "motte-type stronghold" originally referred exclusively to the fortifications, which had the form of a small truncated cone. With the development of research on this category of archaeological sites the assemblage of designates of the term widened by the sites which were surrounded by a moat, sometimes located on a promontory, and even provided with surrounding rampart. The discussion continues also on the functional diversity of these sites. To this category both typically military sites are included (defensive towers, stands of observation and signaling), and those of residential or even economic functions, combined with defense values.

No systematic study of this category of archaeological sites in the territory of the former state of the Teutonic Knights was conducted, with the exception of the area of Culmland (Ziemia Chełmińska), where such research was conducted by the Toruń University.

Excavations of the motte-type sites were undertaken sporadically, usually under wider regional research projects. In the 1970s during the project of the Grunwald Expedition such a site was excavated at Dąbrówno. Strongholds at Wyszemborku and at Boże were excavated as part of a comprehensive research of archaeological sites in the area of Szestno in the 1980s by the expedition from the University of Warsaw, and research of strongholds around Sorkwity and Mrągowo, and in the region of Narzym were undertaken at the end of the twentieth century by archaeologists from the University of Łódź. Recent studies of several sites of this type from the Iława Lake District were conducted by the Cardinal Stefan Wyszyński University in War-

saw as part of a wider project of the National Programme for Development of Humanities named *Catalogue of strongholds of Warmia and Masuria* led by Professor Zbigniew Kobylński.

For the purposes of this study, an analysis of strongholds from the area of former East Prussia has been conducted, and the group of sites that meet the criteria laid down by Krause has been isolated:

- typical motte-type strongholds with an artificial mound in the shape of a cone with a defensive tower at the top;
- motte-type strongholds using natural elevations, sometimes also artificially additionally elevated and cut off from the rest of the area by a moat;
- small ring-shaped forts with a tower or without it, surrounded by - in addition to the rampart - often a moat or palisade.

53 sites have been subjected to further analysis. Of these, twenty were built in the Late Middle Ages, and eleven are Early Medieval. Only the stronghold at Boże, site 1 ceased to be used already in the Prussian period, the other, probably after various transformations, were also used during the Teutonic Knights period. The remaining twenty two sites have an uncertain or indefinite chronology.

Locations of the motte-type strongholds form three zones within the province, arranged along a line north-west - south-east. The first of these is in its south-western part, and its border is the valley of the Pasłęka River (12 strongholds). The second area is in the central part of the province and focuses on the areas between the surroundings of the lakes Limajno and Ukiel, and Barczewo (7 strongholds). The third zone includes the northern areas of the province, reaching towards the south-east the vicinity of Ryn (29 strongholds).

The discussed type of strongholds can be divided into two categories in terms of their physiography. The first group includes the strongholds situated on the uplands, mostly at their edges (33 strongholds). The second group includes sites located in lowlands, mostly in river valleys and in lake basins (20 strongholds).

Seventeen of these strongholds were excavated, and the next nine were surveyed with the use of test trenches. This allowed the disclosure of relics of circular defensive structures in six sites. These were the remains of the construction of ramparts and wooden palisades, and at Dąbrówno (site 2) foundations of stone wall were discovered. At thirteen sites relics of buildings were found. In six cases these were foundations or traces of them; at five sites stone pavements were discovered, and the remaining traces were the postholes, the remains of wooden structures of unspecified nature, and movable material in the form of bricks, pieces of roof tiles, pieces of mortar and daub, or stones.

The function of the discussed strongholds in most cases is difficult to resolve. Only the excavated sites provide enough data to attempt any interpretation. In some cases historical sources are helpful. At Susz (site 1) the stronghold is a relic of the official seat of the Warmia Chapter; at Kiwity (site 1), the stronghold would be a refuge for the villagers, described in the location document. The stronghold at Równina Dolna (site 1) is interpreted as a Teutonic Knights castle Wisenburg, based on the description of Peter of Duisburg, although not all researchers share this view. Similarly, the stronghold at Sątoczno is part of a larger castle complex of the Teutonic Knights, which even for a short time was the seat of the Commandery. The stronghold at Dąbrówno (site 2) due to its location in the vicinity of the city is interpreted as a relic of the office of the prosecutor's or the mayor's of the Teutonic Knights, but in historical sources only its destruction confirmed along with the town, shortly before the Battle of Grunwald. In other cases, the written sources do not refer to the stronghold itself, but only to the owners, to whom the surrounding lands belonged. The stronghold at Durąg (site 1) - interpreted as the seat of a knight - is not mentioned in historical sources, but it can be identified with a knight Konrad, who appears in the document from 1328. The stronghold at Narzym (site 1) certainly was a private seat which, when converted into the more stately castle, survived until the sixteenth century. Its first owner was Menczel (Menczelinus), which occurs in the document from 1371. The stronghold at Boże (site 9) is interpreted as knight's seat and can be connected with the Reimann brothers, who received the land in 1369.

In other cases, there is no mention in historical sources, which could refer in any way to these strongholds. The stronghold on the island at Hława (site 33) could serve as guarding stand of the Teutonic Knights or as an administrative center,

later transferred to the area of the town. The stronghold at Mozgowo (site 1) is interpreted as a knight seat, but nothing is known about its owner. The stronghold at Boże (site 1) is also interpreted as a knight seat, although no relics of any residential buildings were discovered there.

In some cases the function of the stronghold can be inferred from its location. This probably is the case with strongholds located on passes between lakes (*e.g.*: Wyszembork, site 1, Zyndaki, site 1, and perhaps Notyst Mały, site 1), which could serve as observation points or watchtowers. Similarly is interpreted the stronghold at Grabin (site 1), considered a watchtower controlling the trail along the Grabiczek River.

Serious problems in interpretation are created by the strongholds where no relics of buildings were revealed, and a thin occupation layer exclude rather their permanent use. To this group belong strongholds at Laseczno Małe (site 1) and Rydwągi (site 1). The first of these is interpreted as a sentry or observation mound, in the case of the second site no interpretation is offered by the authors of the fieldwork. A problem with the definition of the functions occurs also in the case of stronghold at Zimnochy (site 1), where only a lime kiln was discovered.

In the region of Warmia and Masuria in the Middle Ages there were three categories of owners: the Teutonic Knights, the bishops and the Warmia Chapter, and the individual knights, and identification of the owner of the stronghold can help to determine its function. It is therefore necessary to undertake detailed historical studies, as well as to make detailed fieldwork and mapping of the archival cartographic sources and contemporary aerophotographic images and results of aerial laser scanning of the terrain.

Translated by Zbigniew Kobylński

Noty o autorach

Felix Biermann – dr hab., archeolog, docent Instytutu Historii Uniwersytetu w Greifswaldzie

Maciej J. Bojanowski – dr hab., petrograf i geochemik, profesor nadzwyczajny Instytutu Nauk Geologicznych Polskiej Akademii Nauk

Urszula Czarniecka - dr, petrograf, adiunkt w Instytucie Nauk Geologicznych Polskiej Akademii Nauk

Marcin Engel – dr, archeolog, kustosz w Państwowym Muzeum Archeologicznym w Warszawie

Arkadiusz Gąsiński – dr, mineralog, adiunkt na Wydziale Geologii Uniwersytetu Warszawskiego

Paulina Gątarek - mgr inż. chemik, doktorantka w Instytucie Chemii Ogólnej i Ekologicznej na Wydziale Chemicznym Politechniki Łódzkiej

Christofer Herrmann - prof. dr hab., historyk sztuki, wykładowca Instytutu Historii Sztuki Uniwersytetu Gdańskiego

Petras Jokubauskas – mgr, petrograf i mineralog, asystent na Wydziale Geologii Uniwersytetu Warszawskiego

Joanna Kałużna-Czaplińska – dr hab. inż, chemik, profesor Instytutu Chemii Ogólnej i Ekologicznej na Wydziale Chemicznym Politechniki Łódzkiej

Robert Klimek - mgr, politolog, Ośrodek Badań Naukowych im. Wojciecha Kętrzyńskiego w Olsztynie

Urszula Kobylńska – mgr, archeolog, emerytowany pracownik Instytutu Archeologii i Etnologii PAN w Warszawie

Zbigniew Kobylński – prof. dr hab., archeolog i zabytkoznawca, teoretyk zarządzania dziedzictwem kulturowym, profesor zw. Uniwersytetu Kardynała Stefana Wyszyńskiego w Warszawie, Instytut Archeologii

Arkadiusz Koperkiewicz – dr, archeolog, adiunkt w Instytucie Archeologii i Etnologii Uniwersytetu Gdańskiego

Łukasz Kruszewski – dr, mineralog, adiunkt w Instytucie Nauk Geologicznych Polskiej Akademii Nauk

Maria Lityńska-Zajac – dr hab., archeobotanik, profesor Instytutu Archeologii i Etnologii Polskiej Akademii Nauk w Krakowie

Magdalena Moskal-del Hoyo – dr, archeolog, archeobotanik, adiunkt w Instytucie Botaniki im. W. Szafera Polskiej Akademii Nauk w Krakowie

Jerzy Nitychoruk – prof. dr hab., geolog, profesor zw. Państwowej Szkoły Wyższej w Białej Podlaskiej, Wydział Nauk Ekonomicznych i Technicznych, Zakład Budownictwa

Andrzej Pydyn – dr hab., archeolog, adiunkt w Instytucie Archeologii Uniwersytetu Mikołaja Kopernika w Toruniu

Kamil Rabięga – mgr, archeolog, doktorant w Instytucie Archeologii Uniwersytetu Kardynała Stefana Wyszyńskiego w Warszawie

Jacek Radkowski – mgr, archeolog, absolwent Uniwersytetu Kardynała Stefana Wyszyńskiego w Warszawie

Angelina Rosiak - mgr inż. chemik, doktorantka w Instytucie Chemii Ogólnej i Ekologicznej na Wydziale Chemicznym Politechniki Łódzkiej

Magdalena Rutyna – mgr, archeolog, doktorantka w Instytucie Archeologii Uniwersytetu Kardynała Stefana Wyszyńskiego w Warszawie

Cezary Sobczak - mgr, archeolog, adiunkt w Państwowym Muzeum Archeologicznym w Warszawie

Tomasz Stępnik – dr, archeolog, Pracownia Archeologiczna Uni-Art w Poznaniu

Dariusz Wach – dokumentalista w Instytucie Archeologii i Etnologii PAN w Warszawie

Fabian Welc – dr, archeolog i geoarcheolog, adiunkt w Instytucie Archeologii Uniwersytetu Kardynała Stefana Wyszyńskiego w Warszawie

Jacek Wysocki – dr, archeolog, adiunkt w Instytucie Archeologii Uniwersytetu Kardynała Stefana Wyszyńskiego w Warszawie

Katarzyna Zeman-Wiśniewska - dr, archeolog, adiunkt w Instytucie Archeologii Uniwersytetu Kardynała Stefana Wyszyńskiego w Warszawie

Magdalena Żurek - dr, archeolog i historyk sztuki, adiunkt w Instytucie Archeologii Uniwersytetu Kardynała Stefana Wyszyńskiego w Warszawie